2.11 使用済燃料プールからの燃料取り出し設備

2.11.1 基本設計

2.11.1.1 設置の目的

使用済燃料プールからの燃料取り出しは，燃料取り出し用カバー（構台及び換気設備含む）の設置による作業環境の整備，燃料等を取り扱う燃料取扱設備の設置を行い，燃料を使用済燃料プール内の使用済燃料貯蔵ラックから取り出し原子炉建屋から搬出することを目的とする。

使用済燃料プールからの燃料取り出し設備（以下，「燃料取り出し設備」という。）は，燃料取扱設備，構内用輸送容器，燃料取り出し用カバーで構成される。燃料取扱設備は，燃料取扱機，クレーンで構成され，燃料取り出し用カバーにより支持される。なお，燃料の原子炉建屋外への搬出には，構内用輸送容器を使用する。

また，クレーンはオペレーティングフロア上での資機材運搬や揚重等にも使用する。

2.11.1.2 要求される機能

(1) 燃料取扱設備

燃料取扱設備は，二重のワイヤなどにより落下防止を図る他，駆動源喪失時にも燃料集合体を落下させない設計とする。

また，遮蔽，臨界防止を考慮した設計とする。

(2) 構内用輸送容器

構内用輸送容器は，除熱，密封，遮蔽，臨界防止を考慮した設計とする。また，破損燃料集合体を収納して輸送する容器については，燃料集合体の破損形態に応じて輸送中に放射性物質の飛散・拡散を防止できる設計とする。

(3) 燃料取り出し用カバー

燃料取り出し用カバーは，燃料取扱設備の支持，作業環境の整備及び放射性物質の飛散・拡散防止ができる設計とする。

2.11.1.3 設計方針

燃料取り出し設備は，「特定原子力施設への指定に際し東京電力株式会社福島第一原子力発電所に対して求める措置を講ずべき事項について（平成 24 年 11 月 7 日原子力規制委員会決定。以下，「措置を講ずべき事項」という。）」等の規制基準を満たす設計とする。

その上で，燃料取り出し設備の設計において特に留意すべき点は，以下のとおり。

(1) 燃料取扱設備

a. 落下防止

(a) 使用済燃料貯蔵ラック上には，重量物を吊ったクレーンを通過できないようにインターロックを設け，貯蔵燃料への重量物の落下を防止できる設計とする。

(b) 燃料取扱機の燃料把握機は，二重のワイヤや種々のインターロックを設け，また，

クレーンの主要要素は，二重化を施すことなどにより，燃料移送操作中の燃料集合体等の落下を防止できる設計とする。

b. 遮蔽

燃料取扱設備は，使用済燃料プールから構内用輸送容器への燃料集合体の収容操作を，燃料の遮蔽に必要な水深を確保した状態で，水中で行うことができる設計とするか，放射線防護のための適切な遮蔽を設けて行う設計とする。

c. 臨界防止

燃料取扱設備は，燃料集合体を一体ずつ取り扱う構造とすることにより，燃料の臨界を防止する設計とする。

d. 放射線モニタリング

燃料取扱エリアの放射線モニタリングのため，放射線モニタを設け放射線レベルを測定し，これを免震重要棟集中監視室に表示すると共に，過度の放射線レベルを検出した場合には警報を発し，放射線業務従事者に伝える設計とする。

e. 単一故障

(a) 燃料取扱機の燃料把握機は，二重のワイヤや燃料集合体を確実につかんでいない場合には吊上げができない等のインターロックを設け，圧縮空気等の駆動源が喪失した場合にも，フックから燃料集合体が外れない設計とする。

(b) 燃料取扱機の安全運転に係わるインターロックは電源喪失，ケーブル断線で安全側になる設計とする。

(c) クレーンの主要要素は，二重化を施すことなどにより，移送操作中の構内用輸送容器等の落下を防止できる設計とする。

f. 試験検査

燃料取扱設備のうち安全機能を有する機器は，適切な定期的試験及び検査を行うことができる設計とする。

また，破損燃料を取り扱う場合，燃料取扱設備は，破損形態に応じた適切な取扱手法により，移送中の放射性物質の飛散・拡散を防止できる設計とする。

(2) 構内用輸送容器

a. 除熱

使用済燃料の健全性及び構内用輸送容器構成部材の健全性が維持できるように，使用済燃料の崩壊熱を適切に除去できる設計とする。

b. 密封

周辺公衆及び放射線業務従事者に対し，放射線被ばく上の影響を及ぼすことのないよう，使用済燃料が内包する放射性物質を適切に閉じ込める設計とする。

c. 遮蔽

内部に燃料を入れた場合に放射線障害を防止するため，使用済燃料の放射線を適切に遮蔽する設計とする。

d. 臨界防止

想定されるいかなる場合にも，燃料が臨界に達することを防止できる設計とする。

また，破損燃料集合体を収納して輸送する容器は燃料集合体の破損形態に応じて輸送中に放射性物質の飛散・拡散を防止できる設計とする。

(3) 燃料取り出し用カバー

a. 燃料取り出し作業環境の整備

燃料取り出し用カバーは，燃料取り出し作業に支障が生じることのないよう，風雨を遮る設計とする。

また，必要に応じ燃料取り出し用カバー内にローカル空調機を設置し，カバー内の作業環境の改善を図るものとする。

b. 放射性物質の飛散・拡散防止

燃料取り出し用カバーは，原子炉建屋から大気への開放部分を低減するとともに，換気設備を設け，排気はフィルタユニットを通じて大気へ放出することにより，カバー内の放射性物質の大気への放出を抑制し，敷地周辺の線量への影響を達成できる限り低減できる設計とする。

(4) 大型カバー（燃料取り出し用カバー）

大型カバーは，その必要な安全機能について，十分に高い信頼性を確保し，かつ，維持し得る設計とする。

大型カバーは，その健全性及び能力を確認するため，適切な方法により，その必要な安全機能を検査ができる設計とする。

2.11.1.4 供用期間中に確認する項目

(1) 燃料取扱設備

燃料取扱設備は，動力源がなくなった場合においても吊り荷を保持し続けること。

(2) 構内用輸送容器

構内用輸送容器は，除熱，密封，遮蔽，臨界防止の安全機能が維持されていること。

(3) 燃料取り出し用カバー

対象外とする。

2.11.1.5　主要な機器

(1) 燃料取扱設備

燃料取扱設備は，燃料取扱機，クレーンで構成する。なお，２号機の燃料取扱設備には，これらに加えてジブクレーンを備える。

a. 燃料取扱機

燃料取扱機は，使用済燃料プール及びキャスクピット上を水平に移動するブリッジ並びにその上を移動するトロリで構成する。なお，２号機の燃料取扱機は，低床ジブクレーンとし，原子炉建屋オペレーティングフロア，燃料取り出し用カバー間を水平に移動する走行台車とその上に設置する旋回体で構成する。

b. クレーン

クレーンは，オペレーティングフロア上部を水平に移動するガーダ及びその上を移動するトロリで構成する。なお，２号機のクレーンは，低床ジブクレーンとし，原子炉建屋オペレーティングフロア，燃料取り出し用カバー間を水平に移動する走行台車とその上に設置する旋回体で構成する。

(2) 構内用輸送容器

構内用輸送容器は，容器本体，蓋，バスケット等で構成する。

(3) 燃料取り出し用カバー

燃料取り出し用カバーは，２号機を除き使用済燃料プールを覆う構造としており，必要により，燃料取扱機支持用架構及びクレーン支持用架構を有する。

なお，２号機については，燃料取扱機支持用架構及びクレーン支持用架構を有する燃料取り出し用構台を新設し，既存の原子炉建屋に新たに設ける開口部から，燃料取扱設備を出し入れする構造とする。

また，燃料取り出し用カバーは換気設備及びフィルタユニットを有する。

１号機の燃料取り出し用カバーは，大型カバーとその内部に設ける内部カバーで構成する。

なお，換気設備の運転状態やフィルタユニット出入口で監視する放射性物質濃度等の監視状態は現場制御盤及び免震重要棟集中監視室に表示され，異常時は警報を発するなどの管理を行う。

2.11.1.6　自然災害対策等

(1) 津波

燃料取扱設備は，東北地方太平洋沖地震津波相当の津波が到達しないと考えられる原子炉建屋オペレーティングフロア上（地上からの高さ約 30m）に設置する。

燃料取り出し用カバーは鉄骨構造と鋼製の外装材により構成されているが，閉空間になっておらず，津波襲来時には，水は燃料取り出し用カバーの裏側に回り込み，津波による影響を受けない。

(2) 豪雨，台風，竜巻，落雷

燃料取り出し用カバーは，建築基準法及び関係法令に基づいた風圧力に対し耐えられるよう設計する。

燃料取扱設備は，建築基準法及び関係法令に基づいた風圧力に対し耐えられるよう設計している燃料取り出し用カバー内に設置する。

燃料取出し用カバーは外装材で覆うことにより風雨を遮る設計とする。燃料取扱設備は，風雨を遮る設計である燃料取出し用カバー内に設置する。

燃料取扱設備および燃料取り出し用構台は建築基準法及び関連法令に従い必要に応じて避雷設備を設ける。

(3) 外部人為事象

外部人為事象に対する設計上の考慮については，Ⅱ.1.14　参照。

(4) 火災

燃料取り出し用カバー及び燃料取り出し用カバー内外の主要構成部材は不燃性のものを使用し，電源盤については不燃性又は難燃性，ケーブルについては難燃性のものを可能な限り使用し，火災が発生することを防止する。火災の発生が考えられる箇所について，火災の早期検知に努めるとともに，消火器を設置することで初期消火活動を可能にし，火災による影響を軽減する。

(5) 環境条件

燃料取扱設備については，燃料取り出し用カバーに換気設備を設け，排気はフィルタユニットを通じて大気へ放出することとしている。

燃料取り出し用カバーの外部にさらされている鉄骨部及び機器等は，劣化防止を目的に，塗装を施す。

(6) 被ばく低減対策

放射線業務従事者が立ち入る場所の外部放射線に係る線量率を把握し，作業時間等を管理することで，作業時の被ばく線量が法令に定められた線量限度を超えないようにする。

また，放射線業務従事者の被ばく線量低減策として，大組した構造物をクレーンにてオペレーティングフロアへ吊り込むことにより，オペレーティングフロア上での有人作業の削減を図る。

2.11.1.7　運用

(1) 燃料集合体の健全性確認

使用済燃料プールに貯蔵されている燃料集合体について，移送前に燃料集合体の機械的健全性を確認する。

(2) 破損燃料の取り扱い

燃料集合体の機械的健全性確認において，破損が確認された燃料集合体を移送する

場合には，破損形態に応じた適切な取扱手法及び収納方法により，放射性物質の飛散・拡散を防止する。

2.11.1.8　構造強度及び耐震性

(1) 構造強度

a. 燃料取扱設備

燃料取扱設備は，設計，材料の選定，製作及び検査について，適切と認められる規格及び基準による。

燃料取扱設備は，地震荷重等の適切な組合せを考慮しても強度上耐え得る設計とする。

b. 構内用輸送容器

構内用輸送容器は取扱中における衝撃，熱等に耐え，かつ，容易に破損しない設計とする。

構内用輸送容器は，設計，材料の選定，製作及び検査について適切と認められる規格及び基準によるものとする。

c. 燃料取り出し用カバー

燃料取り出し用カバーは，設計，材料の選定，製作及び検査について，適切と認められる規格及び基準を原則とするが，特殊な環境下での設置となるため，必要に応じ解析や試験等を用いた評価により確認する。

燃料取り出し用カバーは，燃料取扱設備を支持するために必要な構造強度を有する設計とする。

(2) 耐震性

a. 燃料取扱設備

(a) 燃料取扱機

燃料取扱機は，2021 年 9 月 8 日及び 2022 年 11 月 16 日の原子力規制委員会で示された耐震設計の考え方を踏まえ，その安全機能の重要度，地震によって機能の喪失を起こした場合の安全上の影響（公衆への被ばく影響）や廃炉活動への影響等を考慮した上で，核燃料物質を非密封で扱う燃料加工施設や使用施設等における耐震クラス分類を参考にして適切な耐震設計上の区分を行うとともに，適切と考えられる設計用地震力に十分耐えられる設計とする。

ただし，2021 年 9 月 8 日以前に認可された設備については，「発電用原子炉施設に関する耐震設計審査指針」を参考にして耐震クラスを分類している。

(b) クレーン

クレーンは，2021 年 9 月 8 日及び 2022 年 11 月 16 日の原子力規制委員会で示された耐震設計の考え方を踏まえ，その安全機能の重要度，地震によって機能の喪失を起こした場合の安全上の影響（公衆への被ばく影響）や廃炉活動への影響等

を考慮した上で，核燃料物質を非密封で扱う燃料加工施設や使用施設等における耐震クラス分類を参考にして適切な耐震設計上の区分を行うとともに，適切と考えられる設計用地震力に十分耐えられる設計とする。

ただし，2021 年 9 月 8 日以前に認可された設備については，「発電用原子炉施設に関する耐震設計審査指針」を参考にして耐震クラスを分類している。

b. 燃料取り出し用カバー

燃料取り出し用カバーは，2021 年 9 月 8 日及び 2022 年 11 月 16 日の原子力規制委員会で示された耐震設計の考え方を踏まえ，その安全機能の重要度，地震によって機能の喪失を起こした場合の安全上の影響（公衆への被ばく影響）や廃炉活動への影響等を考慮した上で，核燃料物質を非密封で扱う燃料加工施設や使用施設等における耐震クラス分類を参考にして適切な耐震設計上の区分を行うとともに，適切と考えられる設計用地震力に十分耐えられる設計とする。

ただし，2021 年 9 月 8 日以前に認可された設備については，「発電用原子炉施設に関する耐震設計審査指針」を参考にして耐震クラスを分類している。

2.11.2　基本仕様

2.11.2.1　主要仕様

(1) 燃料取扱設備

（２号機，３号機及び４号機を除く）

a. 燃料取扱機

個数	1 式

b. クレーン

個数	1 式

（４号機）

a. 燃料取扱機

型式	燃料把握機付移床式	
基数	1 基	
定格荷重	燃料把握機	：450kg
	補助ホイスト	：450kg

b. クレーン

型式	天井走行式	
基数	1 基	
定格荷重	主巻	：100t
	補巻	：5t
	ホイスト	：10t

c. エリア放射線モニタ

検出器の種類	半導体検出器
計測範囲	10^{-3}～10mSv/h
個数	2 個
取付箇所	4 号機　原子炉建屋 5FL（燃料取り出し用カバーオペフロ階）

（３号機）

a. 燃料取扱機

型式	燃料把握機付移床式	
基数	1基	
定格荷重	燃料把握機	：1t
	西側補助ホイスト	：4.9t
	東側補助ホイスト	：4.9t
	テンシルトラス	：1.5t

b. クレーン

型式	床上走行式	
基数	1基	
定格荷重	主巻	：50t
	補巻	：5t

c. エリア放射線モニタ

検出器の種類	半導体検出器
計測範囲	10^{-2}～10^{2}mSv/h
個数	2個
取付箇所	3号機　燃料取り出し用カバー　燃料取り出し作業フロア

（２号機）

a. 燃料取扱機

型式	低床ジブクレーン
基数	1基
定格荷重	：1t

b. クレーン

型式	低床ジブクレーン
基数	1基
定格荷重	：47t

c. ジブクレーン

型式	低床ジブクレーン
基数	1基
定格荷重	：3.9t

d. エリア放射線モニタ

検出器の種類	半導体検出器
計測範囲	10^{-2}～10^{2}mSv/h
個数	2 個
取付箇所	2 号機　燃料取り出し用構台作業エリア

(2) 構内用輸送容器

（３号機及び４号機を除く）

基数	1 式

（４号機）

型式	NFT-22B 型
収納体数	22 体
基数	2 基

型式	NFT-12B 型
収納体数	12 体
基数	2 基

（３号機）

種類	密封式円筒形
収納体数	7 体
基数	2 基

種類	密封式円筒形
収納体数	2 体
基数	1 基

(3) 燃料取り出し用カバー（構台及び換気設備含む）

（４号機）

a. 燃料取り出し用カバー

種類	鉄骨造
寸法	約 69m（南北）×約 31m（東西）×約 53m（地上高） （作業環境整備区画） 約 55m（南北）×約 31m（東西）×約 23m（オペレーティングフロア上部高さ）
個数	1 個

b. 送風機（給気フィルタユニット）

種類	遠心式
容量	25,000m^3/h
台数	3 台

c. プレフィルタ（給気フィルタユニット）

種類	中性能フィルタ（袋型）
容量	25,000m^3/h
台数	3 台

d. 高性能粒子フィルタ（給気フィルタユニット）

種類	高性能粒子フィルタ
容量	25,000m^3/h
効率	97%（粒径 0.3μm）以上
台数	3 台

e. 排風機（排気フィルタユニット）

種類	遠心式
容量	25,000m^3/h
台数	3 台

f. プレフィルタ（排気フィルタユニット）

種類	中性能フィルタ（袋型）
容量	25,000m^3/h
台数	3 台

g. 高性能粒子フィルタ（排気フィルタユニット）

種類	高性能粒子フィルタ
容量	25,000m^3/h
効率	97%（粒径 0.3μm）以上
台数	3 台

h. 放射性物質濃度測定器（排気フィルタユニット出入口）

(a) 排気フィルタユニット入口

検出器の種類	シンチレーション検出器
計測範囲	10^0～10^4s^{-1}
台数	1 台

(b) 排気フィルタユニット出口

排気フィルタユニット出口については，Ⅱ2.15 放射線管理関係設備等参照

i. ダクト

(a) カバー内ダクト

種類	長方形はぜ折りダクト／鋼板ダクト
材質	溶融亜鉛めっき鋼板（SGCC 又は SGHC）／SS400

(b) 屋外ダクト

種類	長方形はぜ折りダクト／鋼板ダクト
材質	溶融亜鉛めっき鋼板 （SGCC 又は SGHC，ガルバニウム付着）／SS400

(c) 柱架構ダクト

種類	柱架構
材質	鋼材

（3 号機）

a. 燃料取り出し用カバー

種類	鉄骨造
寸法	約 19m（南北）×約 57m（東西）×約 54m（地上高） （作業環境整備区画） 約 19m（南北）×約 57m（東西）×約 24m（オペレーティングフロア上部高さ）
個数	1 個

b. 排風機

種類	遠心式
容量	30,000m^3/h
台数	2台

c. プレフィルタ（排気フィルタユニット）

種類	中性能フィルタ
容量	10,000m^3/h
台数	4台

d. 高性能粒子フィルタ（排気フィルタユニット）

種類	高性能粒子フィルタ
容量	10,000m^3/h
効率	97%（粒径0.3μm）以上
台数	4台

e. 放射性物質濃度測定器（排気フィルタユニット出入口）

(a) 排気フィルタユニット入口

検出器の種類	シンチレーション検出器
計測範囲	10^{-1}～$10^{5}s^{-1}$
台数	1台

(b) 排気フィルタユニット出口

排気フィルタユニット出口については，Ⅱ2.15放射線管理関係設備等参照

f. ダクト

種類	はぜ折りダクト／鋼板ダクト
材質	ガルバリウム鋼板／SS400

（2号機）

a. 燃料取り出し用構台

種類	鉄骨造
寸法	約33m（南北）×約27m（東西）×約45m（地上高） （作業環境整備区画） 約33m（南北）×約27m（東西）×約17m（オペレーティングフロア上部高さ）
個数	1個

b. 排風機

種類	遠心式
容量	30,000m^3/h
台数	2 台

c. プレフィルタ（排気フィルタユニット）

種類	中性能フィルタ
容量	10,000m^3/h
台数	4 台

d. 高性能粒子フィルタ（排気フィルタユニット）

種類	高性能粒子フィルタ
容量	10,000m^3/h
効率	97%（粒径 0.3μm）以上
台数	4 台

e. 放射性物質濃度測定器（排気フィルタユニット出入口）

(a) 排気フィルタユニット入口

検出器の種類	シンチレーション検出器
計測範囲	10^{-1}～$10^{5}s^{-1}$
台数	4 台

(b) 排気フィルタユニット出口

排気フィルタユニット出口については，Ⅱ2.15 放射線管理関係設備等参照

f. ダクト

種類	はぜ折りダクト／鋼板ダクト
材質	ガルバリウム鋼板／SS400

（1 号機）

a. 大型カバー

種類 鉄骨造

寸法 約 66m（南北）×約 56m（東西）×約 68m（地上高）

（作業環境整備区画）

約 66m（南北）×約 56m（東西）×約 40m（オペレーティングフロア上部高さ）

個数 1 個

b. 排風機

種類	遠心式
容量	30,000m^3/h
台数	2台（うち1台予備）

c. プレフィルタ（排気フィルタユニット）

種類	中性能フィルタ
容量	30,000m^3/h
台数	2台（うち1台予備）

d. 高性能粒子フィルタ（排気フィルタユニット）

種類	高性能粒子フィルタ
容量	30,000m^3/h
効率	97%（粒径0.3μm）以上
台数	2台（うち1台予備）

e. 放射性物質濃度測定器（排気フィルタユニット出入口）

(a) 排気フィルタユニット入口

検出器の種類	シンチレーション検出器
計測範囲	10^0～10^4s^{-1}
台数	2台

(b) 排気フィルタユニット出口

排気フィルタユニット出口については，Ⅱ2.15放射線管理関係設備等参照

f. ダクト

種類	はぜ折りダクト／鋼板ダクト
材質	ガルバリウム鋼板／SS400

2.11.3　添付資料

添付資料－１　燃料取扱設備の設計等に関する説明書

添付資料－１－１　燃料の落下防止，臨界防止に関する説明書※1

添付資料－１－２　放射線モニタリングに関する説明書※1

添付資料－１－３　燃料の健全性確認及び取り扱いに関する説明書※2

添付資料－２　構内用輸送容器の設計等に関する説明書

添付資料－２－１　構内用輸送容器に係る安全機能及び構造強度に関する説明書※2

添付資料－２－２　破損燃料用輸送容器に係る安全機能及び構造強度に関する説明書※2

添付資料－２－３　構内輸送時の措置に関する説明書※2

添付資料－３　燃料取り出し用カバーの設計等に関する説明書

添付資料－３－１　放射性物質の飛散・拡散を防止するための機能に関する説明書

添付資料－３－２　がれき撤去等の手順に関する説明書

添付資料－３－３　移送操作中の燃料集合体の落下※1

添付資料－４　構造強度及び耐震性に関する説明書

添付資料－４－１　燃料取扱設備の構造強度及び耐震性に関する説明書※1

添付資料－４－２　燃料取り出し用カバーの構造強度及び耐震性に関する説明書

添付資料－４－３　燃料取り出し用カバー換気設備の構造強度及び耐震性に関する説明書

添付資料－５　使用済燃料プールからの燃料取り出し工程表※1

添付資料－６　福島第一原子力発電所第１号機原子炉建屋カバーに関する説明書

添付資料－７　福島第一原子力発電所第１号機原子炉建屋カバー解体について

添付資料－８　福島第一原子力発電所第１・２号機原子炉建屋作業エリア整備に伴う干渉物解体撤去について

添付資料－９　福島第一原子力発電所第２号機原子炉建屋西側外壁の開口設置について

添付資料－１０　福島第一原子力発電所１号機原子炉建屋オペレーティングフロアのガレキの撤去について

添付資料－１０－１　福島第一原子力発電所１号機原子炉建屋オペレーティングフロア北側のガレキの撤去について

添付資料－１０－２　福島第一原子力発電所１号機原子炉建屋オペレーティングフロア中央および南側のガレキの一部撤去について

添付資料－１０－３　福島第一原子力発電所１号機原子炉建屋オペレーティングフロア外周鉄骨の一部撤去について

添付資料－１０－４　福島第一原子力発電所１号機原子炉建屋オペレーティングフロア床上のガレキの一部撤去について

添付資料－１１　福島第一原子力発電所１号機及び２号機非常用ガス処理系配管の一部撤去について

※1（２号機，３号機及び４号機を除く）及び※2（３号機及び４号機を除く）の説明書については，別途申請する。

添付資料－３

燃料取り出し用カバーの設計等に関する説明書

1　本説明書の記載範囲

本説明書は，１号機，２号機，３号機及び４号機燃料取り出し用カバーの設計等について，「特定原子力施設への指定に際し東京電力株式会社福島第一原子力発電所に対して求める措置を講ずべき事項について（平成 24 年 11 月 7 日原子力規制委員会決定。以下，「措置を講ずべき事項」という。)」等の規制基準への適合性を記載するものである。

2　措置を講ずべき事項への適合性について

（１）放射性固体廃棄物の保管・管理

燃料取り出し用カバーの設置に伴い発生する瓦礫類の処理・保管・管理については，実施計画Ⅲ特定原子力施設の保安 第３編「2.1.1 放射性固体廃棄物等の管理」の規定に基づく，発電所全体の方針に従うものとする。

具体的には，瓦礫類の想定発生量に対して，十分な保管容量を計画的に確保するとともに，これらの瓦礫類については，表面線量率に応じたエリアにおいて保管し，定期的に巡視，保管量の確認等を行う。

（２）放射性気体廃棄物の処理・管理

燃料取り出し用カバーは，同カバー内で発生が想定される放射性気体廃棄物の処理に当たって，その性状に応じ，当該廃棄物の放出量を抑制するとともに，換気設備の設置や定期的な放出管理により放射性気体廃棄物の適切な処理・管理を行い，敷地周辺の線量を達成できる限り低減する設計とする。

（３）放射性物質の放出抑制等による敷地周辺の放射線防護等

燃料取り出し用カバーは，同カバー内から大気中へ放出される放射性物質の適切な抑制対策を実施することにより，敷地周辺の線量を達成できる限り低減する設計とする。特に同施設内に保管される発災以降に発生した瓦礫類による敷地境界における実効線量（施設全体からの放射性物質の追加的放出を含む実効線量の評価値）が，１mSv/年未満となるような設計とする（実施計画Ⅲ3.2.2 参照)。

（４）作業者の被ばく線量の管理等

燃料取り出し用カバーの設置等においては，実施計画Ⅱ特定原子力施設の設計，設備「1.12　作業者の被ばく線量の管理等」及び実施計画Ⅲ特定原子力施設の保安 第３編「3 放射線管理に係る補足説明」の規定に基づき，現存被ばく状況での放射線業務従事者の作業性等を考慮して，高線量エリアでの遮蔽，遠隔操作，除染等の所要の放射線防護上の措

置に加え，作業時における放射線被ばく管理措置（防護具の着用等）や低線量エリアでの構造物のブロック化等を講じることにより，放射線業務従事者が立ち入る場所の線量及び作業に伴う被ばく線量を達成できる限り低減する設計及び運用とする。

（５）緊急時対策

燃料取り出し用カバーの設置等に当たっては，大規模な地震，津波等の事態に備え，事故時において必要な安全避難通路等の他，事故時に施設内に居るすべての人に対し的確に指示ができる適切な警報系（ページング，スピーカ等）及び通信連絡設備（PHS 等）を整備する。

（６）設計上の考慮

①　準拠規格及び基準

燃料取り出し用カバーの設計，材料の選定，製作及び検査については，日本産業規格（JIS）等の適切と認められる規格及び基準によるものとする。

②　自然現象に対する設計上の考慮

a. 地震に対する設計上の考慮

燃料取り出し用カバーは，2021 年 9 月 8 日及び 2022 年 11 月 16 日の原子力規制委員会で示された耐震設計の考え方を踏まえ，その安全機能の重要度，地震によって機能の喪失を起こした場合の安全上の影響（公衆被ばく影響）や廃炉活動への影響等を考慮した上で，核燃料物質を非密封で扱う燃料加工施設や使用施設等における耐震クラス分類を参考にして耐震設計上の区分を行うとともに，適切と考えられる設計用地震力に耐えられる設計とする。

ただし，2021 年 9 月 8 日以前に認可された燃料取り出し用カバーについては，この限りでない。

a-1.　燃料取り出し用カバー（１号機）

燃料取り出し用カバー（１号機）は，2021 年 9 月 8 日及び 2022 年 11 月 16 日の原子力規制委員会で示された耐震設計の考え方を踏まえ，その安全機能が喪失した場合における公衆への放射線影響を評価した結果，原子炉建屋上部の瓦礫類の飛散等による実効線量は 50 μSv/事象以下と評価されることから，耐震 C クラスと位置付けるとともに，当該クラスに適用される設計用地震力（水平方向の静的地震力 1.0Ci）に対して十分耐えられる設計とする。

また，燃料取り出し用カバー（１号機）は，検討用地震動（最大加速度 900gal。以下「Ss900」という。）に対する地震応答解析を実施し，Ss900 に対する耐震性を確保することにより，地震時においても安全上重要な設備である使用済燃料プール等に対して波及的影響を及ぼさない設計とする。

a-2.　燃料取り出し用構台（２号機）

燃料取り出し用構台（２号機）は，2021 年 9 月 8 日及び 2022 年 11 月 16 日の原子力規制委員会で示された耐震設計の考え方及び当該構台自体には直接的な安全機能がないことを踏まえ，その安全機能が喪失した場合における公衆への放射線影響はない。

ただし，燃料取り出し用構台（２号機）については，耐震 B+クラスに分類される２号機燃料取扱設備の間接支持構造物として，耐震 B+クラス相当の地震力に対して耐えられる設計とする。

a-3.　燃料取り出し用カバー（３号機）

燃料取り出し用カバー（３号機）は，「発電用原子炉施設に関する耐震設計審査指針」上，耐震 B クラスに分類される３号機燃料取扱設備の間接支持構造物として，耐震 B クラス相当の地震力に対して耐えられる設計とする。

また，燃料取り出し用カバー（３号機）は，基準地震動 Ss（最大加速度 600gal。以下「Ss600」という。）に対する地震応答解析を実施し，Ss600 に対する耐震性を確保することにより，地震時においても原子炉建屋，使用済燃料プール及び使用済燃料ラックに波及的影響を及ぼさない設計とする。

a-4.　燃料取り出し用カバー（４号機）

燃料取り出し用カバー（４号機）は，「発電用原子炉施設に関する耐震設計審査指針」上，耐震 B クラスに分類される４号機燃料取扱設備の間接支持構造物として，耐震 B クラス相当の地震力に対して耐えられる設計とする。

また，燃料取り出し用カバー（４号機）は，基準地震動 Ss（最大加速度 600gal。以下「Ss600」という。）に対する地震応答解析を実施し，Ss600 に対する耐震性を確保することにより，地震時においても原子炉建屋，使用済燃料プール及び使用済燃料ラックに波及的影響を及ぼさない設計とする。

b. 地震以外に想定される自然現象(津波，豪雨，台風，竜巻等)に対する設計上の考慮

燃料取り出し用カバーは，地震以外の想定される自然現象（津波，豪雨，台風，竜巻等）によって施設の安全性が損なわれないよう設計する。

具体的に，津波，豪雨，強風（台風等）に対しては，津波到達時の波力を受けにくい閉空間のない構造とすること，建築基準法及び関係法令等に基づく風荷重に耐えられる設計とすること等により，施設の安全性が損なわれないよう設計する。また，その他竜巻等の自然現象に対しては，施設の破損等の発生を想定して，作業を中断し，計画を立てて速やかに復旧することにより，施設の安全性を確保する。

③　外部人為事象に対する設計上の考慮

燃料取り出し用カバーは，想定される外部人為事象によって，施設の安全性を損なうことのない設計とする。また，第三者の不法な接近等に対し，これを防御するため，適切な措置を講じた設計とする。

④　火災に対する設計上の考慮

燃料取り出し用カバーは，火災の発生を防止し，火災の検知及び消火を行い，並びに火災の影響を軽減するための対策を適切に組み合わせることにより，火災により施設の安全性を損なうことのない設計とする。

⑤　環境条件に対する設計上の考慮

燃料取り出し用カバーは，経年事象を含む想定されるすべての環境条件に適合できる設計とする。特に，燃料取り出し用カバーの設計及び設置においては，事故や地震等により被災した原子炉建屋の健全性を十分に評価し，必要な対策を講じる。

⑥　運転員操作に対する設計上の考慮

燃料取り出し用カバーは，運転員の誤操作を防止するための適切な措置を講じた設計とする。

⑦　信頼性に対する設計上の考慮

燃料取り出し用カバーは，その安全上の重要度等を考慮して，十分に高い信頼性を確保し，かつ，維持し得る設計とする。

⑧　検査可能性に対する設計上の考慮

燃料取り出し用カバーは，その健全性及び能力を確認するために，適切な方法によりその機能を検査できる設計とする。

放射性物質の飛散・拡散を防止するための機能に関する説明書

1　本説明書の記載範囲

本説明書は，１号機，２号機，３号機及び４号機燃料取り出し用カバーの放射性物質の飛散・拡散を防止するための機能について記載するものである。

2　４号機放射性物質の飛散・拡散を防止するための機能について

2.1　燃料取り出し用カバーについて

2.1.1　概要

燃料取り出し用カバーは，作業に支障が生じることのないよう作業に必要な範囲をカバーし，風雨を遮る構造とする。また，使用済燃料プール内がれき撤去時の放射性物質の舞い上がり，燃料取り出し作業に伴い建屋等に付着した放射性物質の舞い上がりによる大気放出を抑制するため，燃料取り出し用カバーは隙間を低減した構造とするとともに，換気設備を設け，排気はフィルタユニットを通じて大気へ放出する。また，現在，発電所敷地内でよう素（I-131）は検出されていないことから，フィルタユニットは，発電所敷地内等で検出されているセシウム（Cs-134,137）の大気への放出が低減できる設計とする。

2.1.2　燃料取り出し用カバー

燃料取り出し用カバーの大きさは，約 69m（南北）×約 31m（東西）×約 53m（地上高）である。主体構造は鉄骨造であり，壁面及び屋根面は風雨を遮る外装材で覆う計画である。屋根面及び壁面上部には勾配を設けて，雨水の浸入を防止する構造とする。（図 2-1　燃料取り出し用カバー概略図参照）

2.1.3　換気設備

2.1.3.1　系統構成

換気設備は，燃料取り出し用カバー内気体を吸引し，排気ダクトを経由して燃料取り出し用カバーの外部に設置した排気フィルタユニットへ導く。排気フィルタユニットは，プレフィルタ，高性能粒子フィルタ，排風機等で構成され，各フィルタで放射性物質を捕集した後の気体を吹上用排気ダクトから大気へ放出する。

排気フィルタユニットは，換気風量約 25,000m^3/h のユニットを 3 系列（うち 1 系列は予備）設置し，約 50,000m^3/h の換気風量で運転する。

また，燃料取り出し用カバー内の放射性物質や吹上用排気ダクトから大気に放出される放射性物質の濃度を測定するため，放射性物質濃度測定器を排気フィルタユニットの出入口に設置する。（図 2-2　燃料取り出し用カバー換気設備概略構成図，図 2-3 燃料取り出し用カバー換気設備配置図，図 2-4　燃料取り出し用カバー換気設備系統図参照）

燃料取り出し用カバー換気設備の電源は，異なる系統の所内高圧母線から受電可能な構成とする。(図 2-5　燃料取り出し用カバー換気設備電源系統図参照)

なお，４号機での燃料取り出し作業は，有人での作業を計画していることから，燃料取り出し用カバー内の放射性物質濃度の低減のため，給気フィルタユニットを有する構造とする。給気フィルタユニットは，プレフィルタ，送風機，高性能粒子フィルタ等で構成され，各フィルタで放射性物質を捕集した後の気体を燃料取り出し用カバー内へ放出する。

給気フィルタユニットは，換気風量約 25,000m^3/h のユニットを 3 系列（うち 1 系列は予備）設置し，約 50,000m^3/h の換気風量で運転する。

表 2-1　換気設備構成

設備名	構成・配置等
給気フィルタユニット	配置：原子炉建屋南側の屋外に 3 系列（うち予備 1 系列）設置 構成：プレフィルタ 送風機 高性能粒子フィルタ（効率 97%（粒径 0.3μm）以上） フィルタ線量計（高性能粒子フィルタに設置） フィルタ差圧計（プレフィルタ，高性能粒子フィルタに設置）
給気吹出口	配置：カバー内の側部に設置
排気吸込口	配置：カバー内の天井部に設置
排気フィルタユニット	配置：原子炉建屋南側の屋外に 3 系列（うち予備 1 系列）設置 構成：プレフィルタ 高性能粒子フィルタ（効率 97%（粒径 0.3μm）以上） 排風機 フィルタ線量計（高性能粒子フィルタに設置） フィルタ差圧計（プレフィルタ，高性能粒子フィルタに設置）
吹上用排気ダクト	配置：排気フィルタユニットの下流側に設置
放射性物質濃度測定器	測定対象：カバー内及び大気放出前の放射性物質濃度 仕様　　：検出器種類　シンチレーション検出器 計測範囲　10^0～10^4s^{-1} 台数　排気フィルタユニット入口　1 台 排気フィルタユニット出口　2 台

2.1.3.2　換気風量について

燃料取り出し用カバー内の環境は，燃料取扱機，クレーン及び電源盤の設備保護のため40℃以下（設計値）となる換気設備を設けるものとする。また，カバー内での燃料取り出し作業は，有人による作業を計画していることから，作業エリアには，局所的にローカル空調機を設け夏期及び冬期の作業環境の向上を図るものとする。

燃料取り出し用カバー内の熱負荷を除熱するのに必要な換気風量は，下式により求められ約50,000m^3/hとなる。

$Q=q/(Cp \cdot \rho \cdot (t1-t2) \cdot 1/3600)$

Q　：換気（排気）風量（m^3/h）

q　：設計用熱負荷，約143（kW）（機器発熱）※1

Cp　：定圧比熱，1.004652（kJ/kg・℃）

ρ　：密度，1.2（kg/m^3）

t1　：カバー内温度，40（℃）

t2　：設計用外気温度，31.5（℃）※2

※1　10%の余裕を含む

※2　28.5℃（小名浜気象台で観測された1971年～1975年の5年間の観測データにおける累積出現率が99%となる最高温度）+約3℃（送風機のヒートアップによる温度上昇）

2.1.3.3　運転管理および保守管理

(1) 運転管理

送風機・排風機の起動/停止操作は，屋外地上部に設置した現場制御盤で行うものとし，故障等により送風機・排風機が停止した場合には，予備機が自動起動する。

現場制御盤では，送風機・排風機の運転状態（起動停止状態），放射性物質濃度が表示され，それらの異常を検知した場合には，警報を発する。また，免震重要棟でも同様に，送風機・排風機の運転状態（起動停止状態），放射性物質濃度が表示され，それらの情報に異常を検知した場合は，警報を発するシステムとなっている。

放射性物質濃度測定器を排気フィルタユニットの出入口に設置し，燃料取り出し用カバー内から大気に放出される放射性物質濃度を測定する。

(2) 保守管理

換気設備については安全上重要な設備ではなく，運転継続性の要求が高くない。保守作業に伴う被ばくを極力低減する観点から，異常の兆候が確認された場合に対応する。なお，排気フィルタユニット出口の放射性物質濃度測定器については，外部への放射性物質放出抑制の監視の観点から多重化し，機器の単一故障により機能が喪失した場合でも測定可能な設備構成とする。

また，フィルタについては，差圧計（プレフィルタ，高性能粒子フィルタに設置）又は線量計（高性能粒子フィルタに設置）の値を確認しながら，必要な時期に交換する。

2.1.3.4　異常時の措置

燃料取り出し用カバー換気設備が停止しても，セシウムの使用済燃料プールから大気への移行割合は，1×10^{-3}～1×10^{-5}%程度であり，４号機から放出される放射性物質は小さいと評価されている（Ⅱ.2.3 使用済燃料プール設備参照）ことから，放射性物質の異常な放出とならないと考えられる。また，４号機の使用済燃料プール水における放射性物質濃度は，Cs-134：4.5×10^{0}Bq/cm^3，Cs-137：6.6×10^{0}Bq/cm^3（平成 24 年 1 月 30 日に使用済燃料プールより採取した水の分析結果）である。

なお，燃料取り出し用カバー換気設備は，機器の単一故障が発生した場合を想定して，送風機，排風機及び電源の多重化を実施しており，切替等により機能喪失後の速やかな運転の再開を可能とする。また，排気フィルタユニット出口の放射性物質濃度測定器については，２台の連続運転とし，１台故障時においても放射性物質濃度を計測可能とする。

2.2　放射性物質の飛散・拡散を防止するための機能について

2.2.1　排気フィルタによる低減効果

燃料取り出し用カバー内から排気フィルタユニットを通じて大気へ放出される放射性物質は，高性能粒子フィルタ（効率 97%（粒径 0.3μm)以上）により低減される。

セシウムの使用済燃料プールから大気への移行割合は，1×10^{-3}～1×10^{-5}%程度であり，４号機から放出される放射性物質は小さいと評価されている。（Ⅱ.2.3 使用済燃料プール設備参照）

表 2-2 に発電所敷地内で測定された放射性物質濃度を示す。仮に，燃料取り出し用カバー内が表 2-2 に示す放射性物質濃度のうち，濃度の高い４号機オペレーティングフロア上の放射性物質濃度であった場合，排気フィルタを通過して大気へ放出される放射性物質濃度は表 2-3 の通りとなる。

表 2-2　発電所敷地内の放射性物質濃度　　(Bq/cm^3)

核種	4 号機原子炉建屋オペレーティングフロア上の濃度（平成 23 年 6 月 18 日測定）	福島第一原子力発電所西門の濃度（平成 23 年 6 月 18 日測定）※
Cs-134	約 1.2×10^{-4}	約 5.4×10^{-6}
Cs-137	約 1.1×10^{-4}	約 6.2×10^{-6}

※現在は，検出限界値以下であるが，4 号機オペレーティングフロア上の測定値との比較のため，平成 23 年 6 月 18 日の測定値とした。

$Q=C\cdot(1-f)$

Q　：フィルタ通過後の放射性物質濃度（Bq/cm^3）

C　：カバー内に吸い込まれる外気の放射性物質濃度（Bq/cm^3）（表 2-2 参照）

f　：フィルタ効率（高性能粒子フィルタ　97%）

表 2-3　フィルタ通過後の放射性物質濃度

核種	濃度（Bq/cm^3）
Cs-134	約 3.6×10^{-6}
Cs-137	約 3.3×10^{-6}

以上の結果，表 2-2 及び表 2-3 より，フィルタ通過後の放射性物質濃度は西門での放射性物質濃度よりも低いレベルとなる。

2.2.2　敷地境界線量

2.2.2.1　評価条件

(1) 燃料取り出し用カバー内が，表 2-2 に示す 4 号機オペレーティングフロア上の放射性物質濃度であった場合に排気フィルタユニットを介して大気に放出されるものと仮定する。

(2) 減衰は考慮しない。

(3) 地上放出と仮定する。

(4) 燃料取り出し用カバーの供用期間である 5 年間（想定）に放出される放射性物質が地表に沈着し蓄積した時点のγ線に起因する実効線量と仮定し評価する。

(5) 大気拡散の評価に用いる気象条件は，福島第一原子力発電所原子炉設置変更許可申請書で採用したものと同じ気象データを使用する。

2.2.2.2　評価方法

燃料取り出し用カバー排気フィルタユニットから放出される放射性物質による一般公衆の実効線量は，以下の被ばく経路について年間実効線量(mSv/年)を評価する。

(1) 放射性雲からのγ線に起因する実効線量

(2) 吸入摂取による実効線量

(3) 地面に沈着した放射性物質からのγ線に起因する実効線量

2.2.2.3　放射性雲からのγ線に起因する実効線量

放射性物質のγ線に起因する実効線量については，「発電用軽水型原子炉施設周辺の線量目標値に対する評価指針」の放射性雲からのγ線による実効線量の評価の評価式を用いて評価する。

(1) 計算地点における空気カーマ率の計算

計算地点（x，y，0）における空気カーマ率は，次式により計算する。

$$D = K_1 \cdot E \cdot \mu_{en} \int_0^{\infty} \int_{-\infty}^{\infty} \int_0^{\infty} \frac{e^{-\mu \cdot r}}{4\pi r^2} \cdot B(\mu r) \cdot \chi(x', y', z')\, dx'\, dy'\, dz' \quad \cdots \quad 2\text{-}1$$

ここで，　D　　：計算地点(x，y，0)における空気カーマ率（μGy/y）

K_1　　：空気カーマ率への換算係数（$4.46\times10^{-4}\ \frac{dis\cdot m^3\cdot \mu Gy}{MeV\cdot Bq\cdot h}$）

E　　：γ線の実効エネルギ（0.5MeV/dis）

μ_{en}　　：空気に対するγ線の線エネルギ吸収係数（m^{-1}）

μ　　：空気に対するγ線の線減衰係数（m^{-1}）

r　　：放射性雲中の点(x', y', z')から計算地点（x，y，0）までの距離（m）

B(μr)　：空気に対するγ線の再生係数

$$B(\mu r) = 1 + \alpha(\mu r) + \beta(\mu r)^2 + \gamma(\mu r)^3$$

ただし，μ_{en}，μ，α，β，γについては，0.5MeVのγ線に対する値を用い，以下のとおりとする。

$\mu_{en}=3.84\times10^{-3}(m^{-1})$，　$\mu=1.05\times10^{-2}(m^{-1})$

$\alpha=1.000$，　　$\beta=0.4492$，　$\gamma=0.0038$

$\chi(x', y', z')$　：放射性雲中の点(x', y', z')における濃度（Bq/m^3）

なお，$\chi(x', y', z')$は，次式により計算する。

$$\chi(x', y', z') = \frac{Q}{2\pi \cdot \sigma_y \cdot \sigma_z \cdot U} \cdot e^{-\frac{y'^2}{2\sigma_y^2}} \cdot \left\{ e^{-\frac{(z' - H)^2}{2\sigma_z^2}} + e^{-\frac{(z' + H)^2}{2\sigma_z^2}} \right\} \quad \cdot \quad 2\text{-}2$$

ここで，　Q　　：放射性物質の放出率（Bq/s）

U　：放出源高さを代表する風速（m/s）

H　：放出源の有効高さ（m）

σ_y　：濃度分布のy’方向の拡がりのパラメータ（m）

σ_z　：濃度分布のz’方向の拡がりのパラメータ（m）

このとき，有効高さと同じ高度（z’= H）の軸上で放射性物質濃度が最も濃くなる。被ばく評価地点は地上（z’= 0）であるため，地上放散が最も厳しい評価を与えることになる。

(2) 実効線量の計算

計算地点における年間の実効線量は，計算地点を含む方位及びその隣接方位に向かう放射性雲のγ線からの空気カーマを合計して，次式により計算する。

$$H_\gamma = K_2 \cdot f_h \cdot f_0 \cdot (\overline{D}_L + \overline{D}_{L-1} + \overline{D}_{L+1}) \quad \cdots\cdots\cdots \quad 2\text{-}3$$

ここで，　H_γ　：放射性物質のγ線に起因する年間の実効線量（μSv/y）

K_2　：空気カーマから実効線量への換算係数（0.8μSv/μGy）

f_h　：家屋の遮蔽係数（1.0）

f_0　：居住係数（1.0）

$(\overline{D}_L + \overline{D}_{L-1} + \overline{D}_{L+1})$　：計算地点を含む方位(L)及びその隣接方位に向かう放射性雲による年間平均のγ線による空気カーマ(μGy/y)。これらは2-1式から得られる空気カーマ率Dを放出モード，大気安定度別風向分布及び風速分布を考慮して年間について積算して求める。

2.2.2.4　吸入摂取による実効線量

吸入摂取による実効線量については，「発電用軽水型原子炉施設周辺の線量目標値に対する評価指針」の吸入摂取による実効線量の評価の評価式を用いて評価する。

(1) 放射性物質の年平均地表空気中濃度の計算

計算地点における年平均地表空気中濃度$\overline{\chi}$は，2-2式を用い，隣接方位からの寄与も考慮して，次式により計算する。

$$\overline{\chi} = \sum_j \overline{\chi}_{jL} + \sum_j \overline{\chi}_{jL-1} + \sum_j \overline{\chi}_{jL+1} \quad \cdots\cdots\cdots\cdots\cdots \quad 2\text{-}4$$

ここで，　j　：大気安定度（A～F）

L　：計算地点を含む方位

(2) 線量の計算

放射性物質の呼吸による実効線量は，次式により計算する。

$$H_I = 365 \cdot \sum_i K_{Ii} \cdot A_{Ii} \quad \cdots\cdots\cdots\cdots\cdots\cdots \quad 2\text{-}5$$

$$A_{Ii} = M_a \cdot \overline{\chi}_i \quad \cdots\cdots\cdots\cdots\cdots\cdots\cdots\cdots \quad 2\text{-}6$$

ここで，　H_I　：吸入摂取による年間の実効線量（μSv/y）

365　：年間日数への換算係数（d/y）

K_{Ii}　：核種ｉの吸入摂取による成人実効線量換算係数（μSv/Bq）

A_{Ii}　：核種ｉの吸入による摂取率（Bq/d）

M_a　：人間の呼吸率（m^3/d）

（成人の１日平均の呼吸率：22.2m^3/d を使用）

$\overline{\chi}_i$　：核種ｉの年平均地表空気中濃度（Bq/m^3）

表 2-4　吸入摂取による成人の実効線量換算係数（μSv/Bq）

核種	Cs-134	Cs-137
K_{Ii}	2.0×10^{-2}	3.9×10^{-2}

2.2.2.5　地面に沈着した放射性物質からのγ線に起因する実効線量

地面に沈着した放射性物質からのγ線に起因する実効線量については，「発電用軽水型原子炉施設の安全審査における一般公衆の線量評価について」の地面に沈着した放射性物質濃度を計算し，放射性物質濃度からの実効線量への換算係数を用いて評価する。

(1) 放射性物質の年平均地上空気中濃度の計算

計算地点における年平均地上空気中濃度$\overline{\chi}$は，2-4 式により計算する。

(2) 線量の計算

地面に沈着した放射性物質からのγ線に起因する実効線量は，次式により計算する。

$$H_G = \sum_i K_{Gi} \cdot S_{Oi} \quad \cdots\cdots\cdots\cdots\cdots\cdots\cdots\cdots \quad 2\text{-}7$$

$$S_{Oi} = \overline{\chi}_i \cdot V_g \cdot \frac{f_1}{\lambda_i} \cdot \left(1 - e^{-\lambda_i \cdot T_O}\right) \quad \cdots\cdots\cdots\cdots \quad 2\text{-}8$$

ここで，　H_G　：地面に沈着した放射性物質からのγ線に起因する年間の実効線量（μSv/y）

K_{Gi}　：核種ｉの地表沈着による外部被ばく線量換算係数（$\frac{\mu Sv/y}{Bq/m^2}$）

S_{0i}　：核種ｉの地表濃度（Bq/m^2）

$\overline{\chi}_i$　：核種ｉの年平均地表空気中濃度（Bq/m^3）

V_g　：沈着速度（0.01m/s）

λ_i　：核種ｉの物理的減衰係数（s^{-1}）

T_o　：放射性物質の放出期間（s）（カバー供用期間の 5 年を想定）

f_1　：沈着した放射性物質のうち残存する割合（保守的に 1 を用いる）

表 2-5　核種 i の地表沈着による外部被ばく線量換算係数（(Sv/s)/(Bq/m^2)）

核種	Cs-134	Cs-137
K_{Gi}	1.5×10^{-15}	5.8×10^{-16}

2.2.2.6　評価結果

表 2-3 に示す濃度の放射性物質の放出が燃料取り出し用カバーの供用期間である 5 年間（想定）続くと仮定して算出した結果，年間被ばく線量は敷地境界で約 0.008mSv／年であり，法令の線量限度 1mSv／年に比べても十分低いと評価される。（表 2-6 参照）

また，「Ⅲ特定原子力施設の保安 第 3 編　2　放射性廃棄物等の管理に関する補足説明」での評価（約 0.03mSv/年）に比べても十分に低いと評価される。

表 2-6　燃料取り出し用カバー排気フィルタユニットからの
放射性物質の放出による一般公衆の実効線量（mSv/年）

評価項目			合計
放射性雲	吸入摂取	地表沈着	
約 1.3×10^{-7}	約 5.4×10^{-5}	約 7.4×10^{-3}	約 7.5×10^{-3}

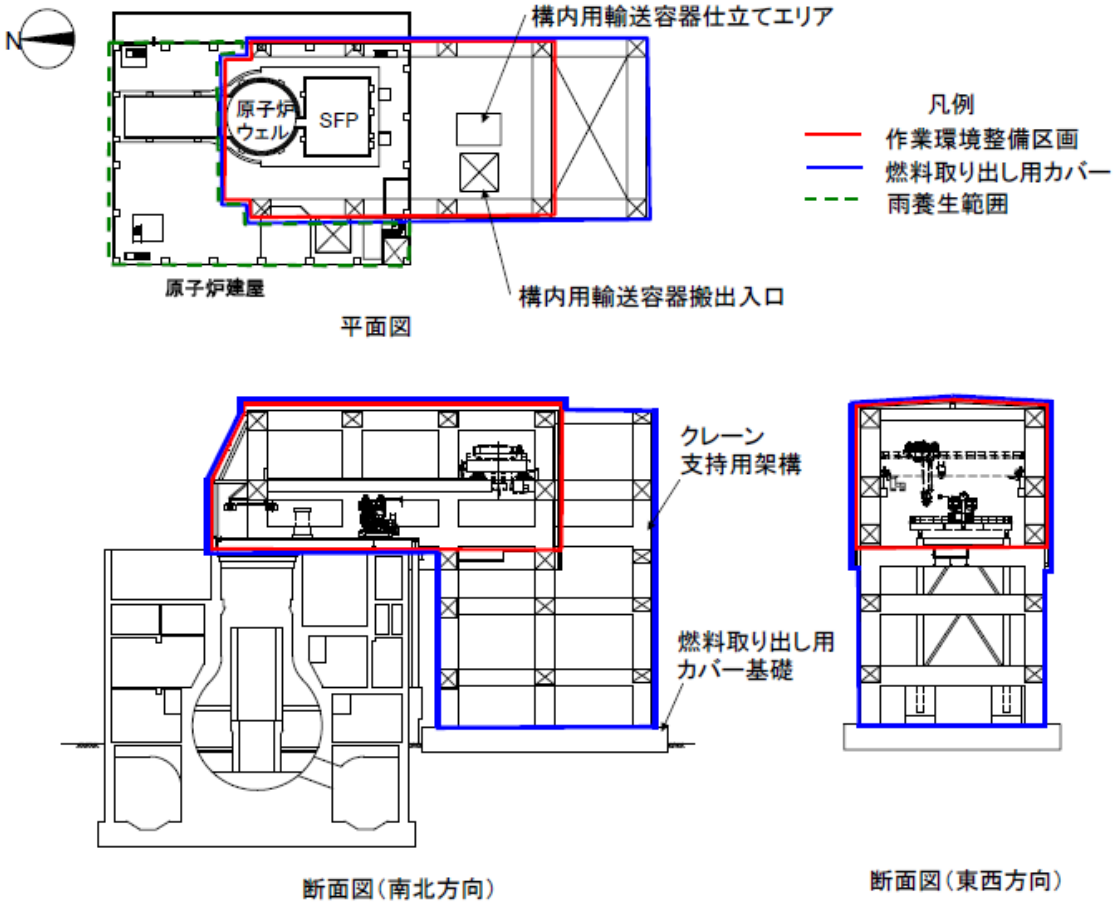

【燃料取り出し用カバー】

- 作業環境整備区画を構成・支持する架構及び附属設備を指す。
- 燃料取り出し用カバーのうち，作業環境整備区画は外装材等により区画し，換気対象範囲とする。

【雨養生範囲】

- 燃料取り出し用カバー以外のオペレーティングフロアエリアは雨水対策を施す。
- 換気対象範囲外とする。

図 2-1　燃料取り出し用カバー概略図

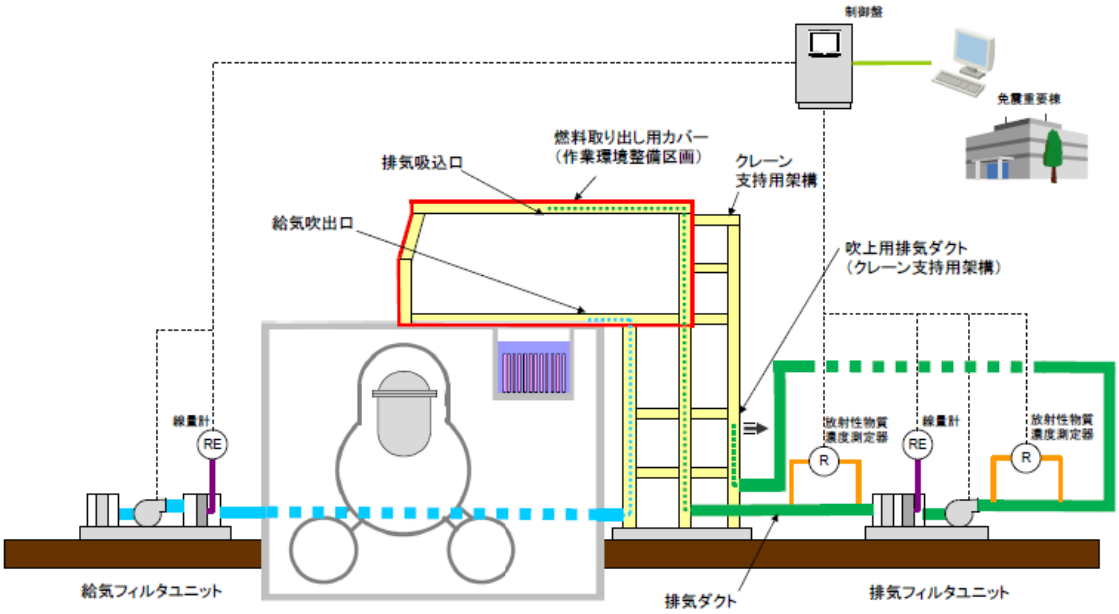

図 2-2　燃料取り出し用カバー換気設備概略構成図

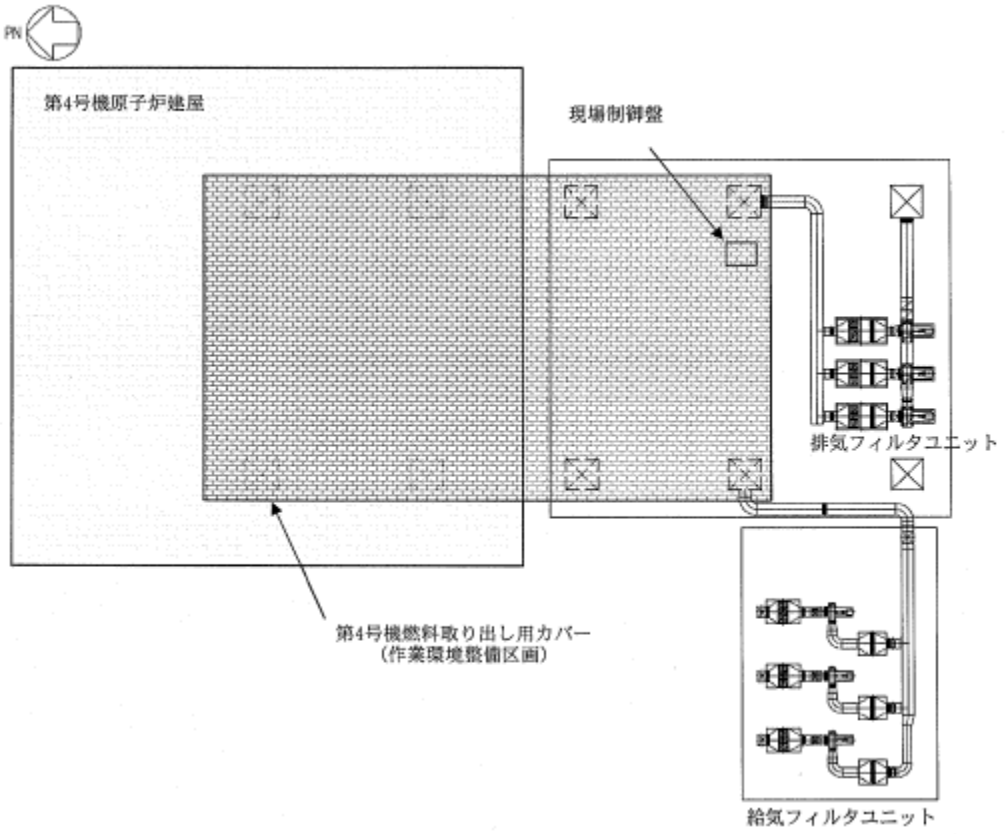

図 2-3　燃料取り出し用カバー換気設備配置図

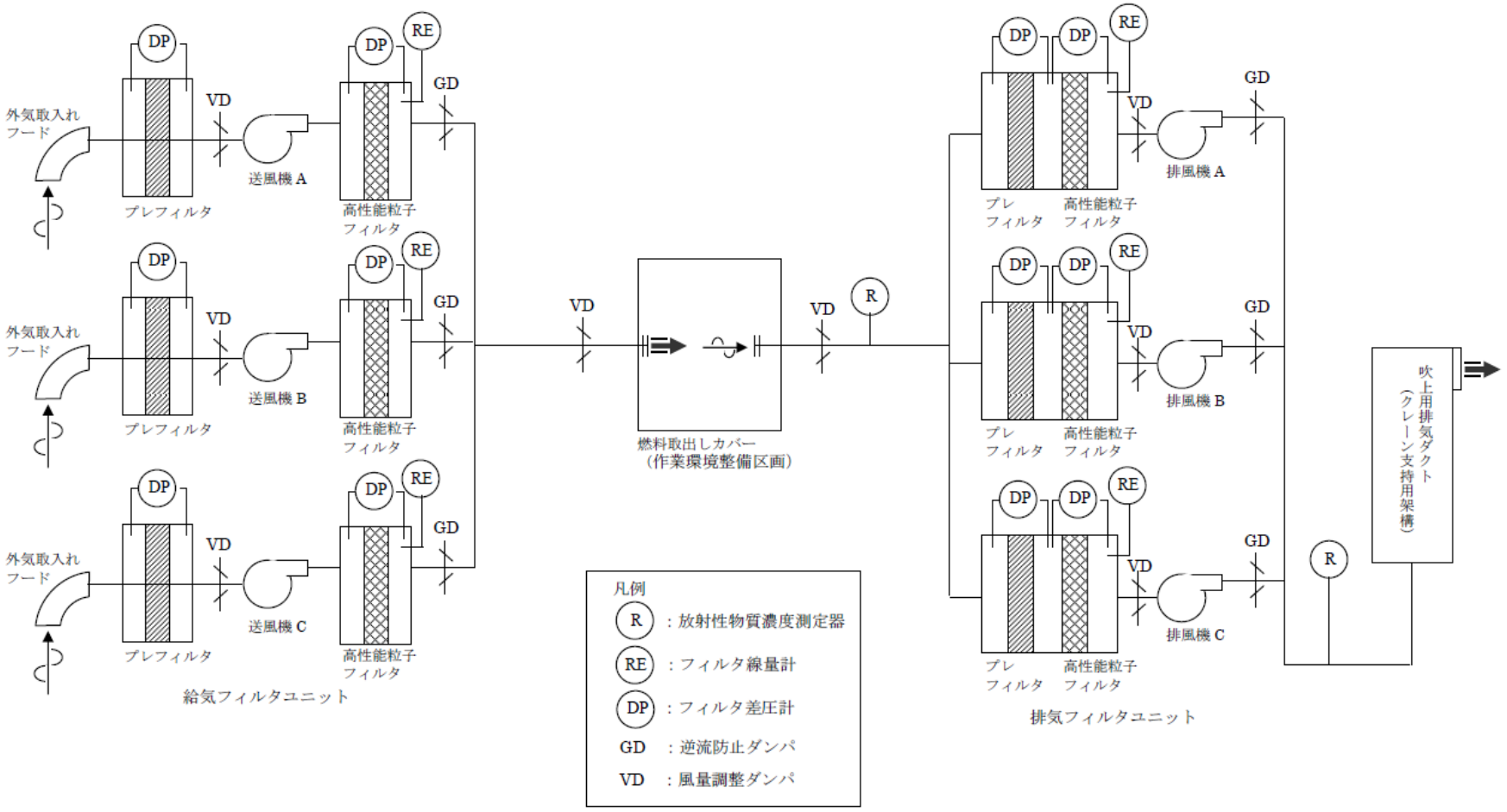

図 2-4　燃料取り出し用カバー換気設備系統図

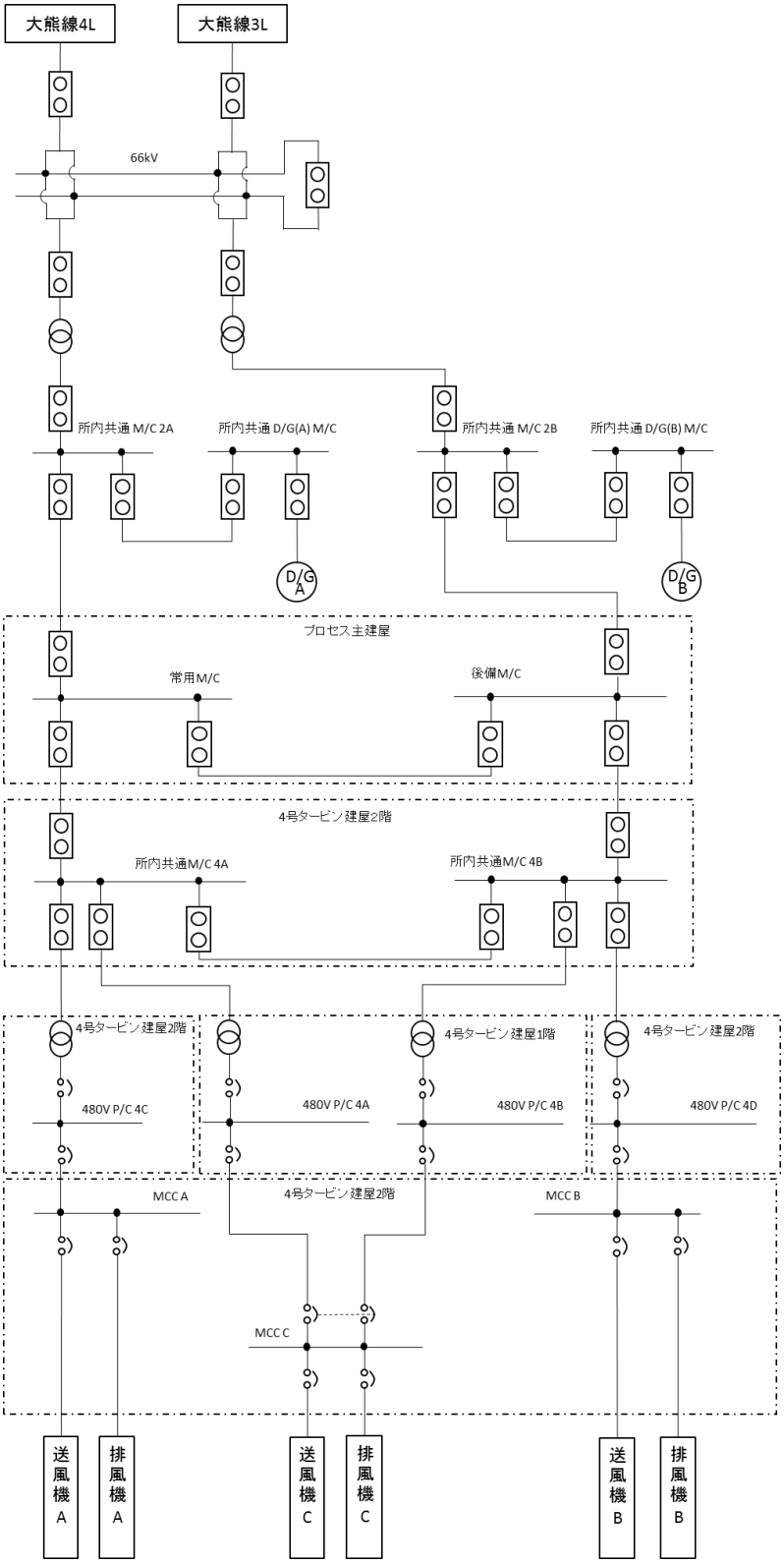

※平成 29 年 9 月時点

図 2-5　燃料取り出し用カバー換気設備電源系統図

3　３号機放射性物質の飛散・拡散を防止するための機能について

3.1　燃料取り出し用カバーについて

3.1.1　概要

燃料取り出し用カバーは，作業に支障が生じることのないよう作業に必要な範囲をカバーし，風雨を遮る構造とする。また，使用済燃料プール内がれき撤去時の放射性物質の舞い上がり，燃料取り出し作業に伴い建屋等に付着した放射性物質の舞い上がりによる大気放出を抑制するため，燃料取り出し用カバーは隙間を低減した構造とするとともに，換気設備を設け，排気はフィルタユニットを通じて大気へ放出する。また，現在，発電所敷地内でよう素（I-131）は検出されていないことから，フィルタユニットは，発電所敷地内等で検出されているセシウム（Cs-134,137）の大気への放出が低減できる設計とする。

3.1.2　燃料取り出し用カバー

燃料取り出し用カバーの大きさは，約 19m（南北）×約 57m（東西）×約 54m（地上高）である。主体構造は鉄骨造であり，ドーム状の屋根を外装材で覆い，風雨を遮る構造とする。（図 3-1　燃料取り出し用カバー概略図参照）

3.1.3　換気設備

3.1.3.1　系統構成

換気設備は，燃料取り出し用カバー内気体を吸引し，排気ダクトを経由して燃料取り出し用カバーの外部に設置した排気フィルタユニットへ導く。排気フィルタユニットは，プレフィルタ，高性能粒子フィルタ等で構成され，各フィルタで放射性物質を捕集した後の気体を吹上用排気ダクトから大気へ放出する。

排気フィルタユニットは，約 10,000m^3/h のユニットを 4 系列（うち 1 系列は予備），排風機は，換気風量約 30,000m^3/h のユニットを 2 系列（うち 1 系列は予備）設置し，約 30,000m^3/h の 換気風量で運転する。

また，燃料取り出し用カバー内の放射性物質や吹上用排気ダクトから大気に放出される放射性物質の濃度を測定するため，放射性物質濃度測定器を排気フィルタユニットの出入口に設置する。（図 3-2　燃料取り出し用カバー換気設備概略構成図，図 3-3 燃料取り出し用カバー換気設備配置図，図 3-4 燃料取り出し用カバー換気設備系統図参照）

燃料取り出し用カバー換気設備の電源は，異なる系統の所内高圧母線から受電可能な構成とする。（図 3-5　燃料取り出し用カバー換気設備電源系統図参照）

表 3-1　換気設備構成

設備名	構成・配置等
排気吸込口	配置：カバー内の天井部に設置
排気フィルタユニット	配置：原子炉建屋西側の屋外に 4 系列（うち予備 1 系列）設置 構成：プレフィルタ 高性能粒子フィルタ（効率 97%（粒径 0.3μm）以上） フィルタ線量計（高性能粒子フィルタに設置） フィルタ差圧計（プレフィルタ，高性能粒子フィルタに設置）
排風機	配置：原子炉建屋西側の屋外に 2 系列（うち予備 1 系列）設置
吹上用排気ダクト	配置：排気フィルタユニットの下流側に設置
放射性物質濃度測定器	測定対象：カバー内及び大気放出前の放射性物質濃度 仕様　：検出器種類　シンチレーション検出器 計測範囲　10^{-1}～$10^{5}s^{-1}$ 台数　排気フィルタユニット入口　1 台 排気フィルタユニット出口　2 台

3.1.3.2　換気風量について

燃料取り出し用カバー内の環境は，燃料取扱機，クレーン及び電源盤の設備保護のため 40℃以下（設計値）となる換気設備を設けるものとする。

燃料取り出し用カバー内の熱負荷を除熱するのに必要な換気風量は，下式により求められる風量に余裕をみた約 30,000m^3/h とする。

$Q=q/(Cp \cdot \rho \cdot (t1-t2) \cdot 1/3600)$

Q：換気（排気）風量（m^3/h）

q：設計用熱負荷，約 60（kW）

（機器発熱，日射，使用済燃料プールからの熱，原子炉からの熱）※1

Cp：定圧比熱，1.004652（kJ/kg・℃）

ρ：密度，1.2（kg/m^3）

t1：カバー内温度，40（℃）

t2：設計用外気温度，28.5（℃）※2

※1　約 10%の余裕を含む

※2　小名浜気象台で観測された 1972 年～1976 年の 5 年間の観測データにおける累積出現率が 99%となる最高温度

3.1.3.3　運転管理および保守管理

(1) 運転管理

排風機の起動/停止操作は，屋外地上部に設置したコンテナハウス内の現場制御盤で行うものとし，故障等により排風機が停止した場合には，予備機が自動起動する。

現場制御盤では，排風機の運転状態（起動停止状態），放射性物質濃度が表示され，それらの異常を検知した場合には，警報を発する。また，免震重要棟でも同様に，排風機の運転状態（起動停止状態），放射性物質濃度が表示され，それらの情報に異常を検知した場合は，警報を発するシステムとなっている。

放射性物質濃度測定器を排気フィルタユニットの出入口に設置し，燃料取り出し用カバー内から大気に放出される放射性物質濃度を測定する。

(2) 保守管理

換気設備については安全上重要な設備ではなく，運転継続性の要求が高くない。保守作業に伴う被ばくを極力低減する観点から，異常の兆候が確認された場合に対応する。なお，排気フィルタユニット出口の放射性物質濃度測定器については，外部への放射性物質放出抑制の監視の観点から多重化し，機器の単一故障により機能が喪失した場合でも測定可能な設備構成とする。

また，フィルタについては，差圧計（プレフィルタ，高性能粒子フィルタに設置）又は線量計（高性能粒子フィルタに設置）の値を確認しながら，必要な時期に交換する。

3.1.3.4　異常時の措置

燃料取り出し用カバー換気設備が停止しても，セシウムの使用済燃料プールから大気への移行割合は，1×10^{-3}～1×10^{-5}%程度であり，３号機から放出される放射性物質は小さいと評価されている（Ⅱ.2.3 使用済燃料プール設備参照）ことから，放射性物質の異常な放出とならないと考えられる。また，３号機の使用済燃料プール水における放射性物質濃度は，Cs-134：2.4×10^{3}Bq/cm^3，Cs-137：3.9×10^{3}Bq/cm^3（平成 24 年 9 月 24 日に使用済燃料プールより採取した水の分析結果）である。

なお，燃料取り出し用カバー換気設備は，機器の単一故障が発生した場合を想定して，送風機，排風機及び電源の多重化を実施しており，切替等により機能喪失後の速やかな運転の再開を可能とする。また，排気フィルタユニット出口の放射性物質濃度測定器については，２台の連続運転とし，１台故障時においても放射性物質濃度を計測可能とする。

3.2　放射性物質の飛散・拡散を防止するための機能について

3.2.1　排気フィルタによる低減効果

燃料取り出し用カバー内から排気フィルタユニットを通じて大気へ放出される放射性物質は，高性能粒子フィルタ（効率 97%（粒径 0.3μm)以上）により低減される。

セシウムの使用済燃料プールから大気への移行割合は，1×10^{-3}～1×10^{-5}%程度であり，３号機から放出される放射性物質は小さいと評価されている。(Ⅱ.2.3 使用済燃料プール設備参照)

表 3-2 に３号機原子炉建屋上部で測定された放射性物質濃度を示す。仮に，燃料取り出し用カバー内が表 3-2 に示す放射性物質濃度であった場合，排気フィルタを通過して大気へ放出される放射性物質濃度は表 3-3 の通りとなる。

表 3-2　３号機原子炉建屋上部の放射性物質濃度（Bq/cm^3）

核種	原子炉上北東側（横方向）※
Cs-134	約 5.2×10^{-4}
Cs-137	約 8.0×10^{-4}

※平成 24 年 9 月 6 日測定

$Q=C\cdot(1-f)$

Q　：フィルタ通過後の放射性物質濃度（Bq/cm^3）

C　：カバー内に吸い込まれる外気の放射性物質濃度（Bq/cm^3）（表 3-2 参照）

f　：フィルタ効率（高性能粒子フィルタ　97%）

表 3-3　フィルタ通過後の放射性物質濃度

核種	濃度（Bq/cm^3）
Cs-134	約 1.6×10^{-5}
Cs-137	約 2.4×10^{-5}

以上の結果，表 3-2 及び表 3-3 より，フィルタ通過後の放射性物質濃度は約 1/30 となる。

3.2.2　敷地境界線量

3.2.2.1　評価条件

(1) 燃料取り出し用カバー内が，表 3-2 に示す３号機オペレーティングフロア上の放射性物質濃度であった場合に排気フィルタユニットを介して大気に放出されるものと仮

定する。

(2) 減衰は考慮しない。

(3) 地上放出と仮定する。

(4) 燃料取り出し用カバーの供用期間である5年間（想定）に放出される放射性物質が地表に沈着し蓄積した時点のγ線に起因する実効線量と仮定し評価する。

(5) 大気拡散の評価に用いる気象条件は，福島第一原子力発電所原子炉設置変更許可申請書で採用したものと同じ気象データを使用する。

3.2.2.2　評価方法

燃料取り出し用カバー排気フィルタユニットから放出される放射性物質による一般公衆の実効線量は，以下の被ばく経路について年間実効線量(mSv/年)を評価する。

(1) 放射性雲からのγ線に起因する実効線量

(2) 吸入摂取による実効線量

(3) 地面に沈着した放射性物質からのγ線に起因する実効線量

3.2.2.3　放射性雲からのγ線に起因する実効線量

放射性物質のγ線に起因する実効線量については，「発電用軽水型原子炉施設周辺の線量目標値に対する評価指針」の放射性雲からのγ線による実効線量の評価の評価式を用いて評価する。

(1) 計算地点における空気カーマ率の計算

計算地点（x，y，0）における空気カーマ率は，次式により計算する。

$$D = K_1 \cdot E \cdot \mu_{en} \int_0^{\infty} \int_{-\infty}^{\infty} \int_0^{\infty} \frac{e^{-\mu \cdot r}}{4\pi r^2} \cdot B(\mu r) \cdot \chi(x', y', z')\, dx'\, dy'\, dz' \quad \cdots \quad 3\text{-}1$$

ここで，　D　：計算地点(x，y，0)における空気カーマ率（μGy/h）

K_1　：空気カーマ率への換算係数（$4.46\times10^{-4}\ \frac{dis\cdot m^3\cdot \mu Gy}{MeV\cdot Bq\cdot h}$）

E　：γ線の実効エネルギ（0.5MeV/dis）

μ_{en}　：空気に対するγ線の線エネルギ吸収係数（m^{-1}）

μ　：空気に対するγ線の線減衰係数（m^{-1}）

r　：放射性雲中の点(x', y', z')から計算地点（x，y，0）までの距離（m）

$B(\mu r)$：空気に対するγ線の再生係数

$$B(\mu r) = 1 + \alpha(\mu r) + \beta(\mu r)^2 + \gamma(\mu r)^3$$

ただし，μ_{en}，μ，α，β，γについては，0.5MeVのγ線に対する値を用い，以下のとおりとする。

$\mu_{en}=3.84\times10^{-3}(m^{-1})$，　$\mu=1.05\times10^{-2}(m^{-1})$

$\alpha=1.000$，　　$\beta=0.4492$，　$\gamma=0.0038$

$\chi(x',y',z')$：放射性雲中の点(x',y',z')における濃度（Bq/m^3）

なお，$\chi(x',y',z')$は，次式により計算する。

$$\chi(x',y',z') = \frac{Q}{2\pi\cdot\sigma_y\cdot\sigma_z\cdot U}\cdot e^{-\frac{y'^2}{2\sigma_y^2}}\cdot\left\{e^{-\frac{(z'-H)^2}{2\sigma_z^2}}+e^{-\frac{(z'+H)^2}{2\sigma_z^2}}\right\}\quad\cdots\ 3\text{-}2$$

ここで，　Q　　：放射性物質の放出率（Bq/s）

U　　：放出源高さを代表する風速（m/s）

H　　：放出源の有効高さ（m）

σ_y　：濃度分布のy’方向の拡がりのパラメータ（m）

σ_z　：濃度分布のz’方向の拡がりのパラメータ（m）

このとき，有効高さと同じ高度（z’= H）の軸上で放射性物質濃度が最も濃くなる。被ばく評価地点は地上（z’= 0）であるため，地上放散が最も厳しい評価を与えることになる。

(2) 実効線量の計算

計算地点における年間の実効線量は，計算地点を含む方位に向かう放射性雲のγ線からの空気カーマを合計して，次式により計算する。

$$H_\gamma = K_2\cdot f_h\cdot f_0\cdot \overline{D}_L \qquad\cdots\cdots\cdots\ 3\text{-}3$$

ここで，　H_γ　：放射性物質のγ線に起因する年間の実効線量（$\mu Sv/y$）

K_2　：空気カーマから実効線量への換算係数（$0.8\,\mu Sv/\mu Gy$）

f_h　：家屋の遮蔽係数（1.0）

f_0　：居住係数（1.0）

$\overline{D}_L$　：計算地点を含む方位(L)に向かう放射性雲による年間平均のγ線による空気カーマ($\mu Gy/y$)。

3.2.2.4　吸入摂取による実効線量

吸入摂取による実効線量については，「発電用軽水型原子炉施設周辺の線量目標値に対する評価指針」の吸入摂取による実効線量の評価の評価式を用いて評価する。

(1) 放射性物質の年平均地表空気中濃度の計算

計算地点における年平均地表空気中濃度$\overline{\chi}$は，3-2式を用い，隣接方位からの寄与も考慮して，次式により計算する。

$$\bar{\chi} = \sum_{j} \overline{\chi}_{jL} + \sum_{j} \overline{\chi}_{jL-1} + \sum_{j} \overline{\chi}_{jL+1} \quad \cdots\cdots\cdots\cdots \quad 3\text{-}4$$

ここで，　j　：大気安定度（A～F）

L　：計算地点を含む方位

(2) 線量の計算

放射性物質の呼吸による実効線量は，次式により計算する。

$$H_I = 365 \cdot \sum_{i} K_{Ii} \cdot A_{Ii} \quad \cdots\cdots\cdots\cdots\cdots\cdots\cdots\cdots \quad 3\text{-}5$$

$$A_{Ii} = M_a \cdot \overline{\chi}_i \quad \cdots\cdots\cdots\cdots\cdots\cdots\cdots\cdots \quad 3\text{-}6$$

ここで，　H_I　：吸入摂取による年間の実効線量（μSv/y）

365　：年間日数への換算係数（d/y）

K_{Ii}　：核種 i の吸入摂取による成人実効線量換算係数（μSv/Bq）

A_{Ii}　：核種 i の吸入による摂取率（Bq/d）

M_a　：人間の呼吸率（m^3/d）

（成人の 1 日平均の呼吸率：22.2m^3/d を使用）

$\overline{\chi}_i$　：核種 i の年平均地表空気中濃度（Bq/m^3）

表 3-4　吸入摂取による成人の実効線量換算係数（μSv/Bq）

核種	Cs-134	Cs-137
K_{Ii}	2.0×10^{-2}	3.9×10^{-2}

3.2.2.5　地面に沈着した放射性物質からのγ線に起因する実効線量

地面に沈着した放射性物質からのγ線に起因する実効線量については，「発電用軽水型原子炉施設の安全審査における一般公衆の線量評価について」の地面に沈着した放射性物質濃度を計算し，放射性物質濃度からの実効線量への換算係数を用いて評価する。

(1) 放射性物質の年平均地上空気中濃度の計算

計算地点における年平均地上空気中濃度$\bar{\chi}$は，3-4 式により計算する。

(2) 線量の計算

地面に沈着した放射性物質からのγ線に起因する実効線量は，次式により計算する。

$$H_G = \sum_{i} K_{Gi} \cdot S_{Oi} \quad \cdots\cdots\cdots\cdots\cdots\cdots\cdots\cdots \quad 3\text{-}7$$

$$S_{Oi} = \overline{\chi}_i \cdot V_g \cdot \frac{f_1}{\lambda_i} \cdot \left(1 - e^{-\lambda_i \cdot T_O}\right) \quad \cdots\cdots\cdots\cdots \quad 3\text{-}8$$

ここで,　H_G　：地面に沈着した放射性物質からのγ線に起因する
年間の実効線量（μSv/y）

K_{Gi}　：核種ｉの地表沈着による外部被ばく線量換算係数（$\frac{\mu Sv/y}{Bq/m^2}$）

S_{0i}　：核種ｉの地表濃度（Bq/m^2）

$\overline{\chi}_i$　：核種ｉの年平均地表空気中濃度（Bq/m^3）

V_g　：沈着速度（0.01m/s）

λ_i　：核種ｉの物理的減衰係数（s^{-1}）

T_o　：放射性物質の放出期間（s）（カバー供用期間の５年を想定）

f_1　：沈着した放射性物質のうち残存する割合（保守的に 1 を用いる）

表 3-5　核種ｉの地表沈着による外部被ばく線量換算係数（(Sv/s)/(Bq/m^2)）

核種	Cs-134	Cs-137
K_{Gi}	1.5×10^{-15}	5.8×10^{-16}

3.2.2.6　評価結果

表 3-3 に示す濃度の放射性物質の放出が燃料取り出し用カバーの供用期間である 5 年間（想定）続くと仮定して算出した結果，年間被ばく線量は敷地境界で約 0.015mSv／年であり，法令の線量限度 1mSv／年に比べても十分低いと評価される。（表 3-6 参照）

また，「Ⅲ特定原子力施設の保安 第３編　2　放射性廃棄物等の管理に関する補足説明」での評価（約 0.03mSv/年）に比べても低いと評価される。

表 3-6　燃料取り出し用カバー排気フィルタユニットからの
放射性物質の放出による一般公衆の実効線量（mSv/年）

評価項目			合計
放射性雲	吸入摂取	地表沈着	
約 4.5×10^{-7}	約 1.3×10^{-4}	約 1.5×10^{-2}	約 1.5×10^{-2}

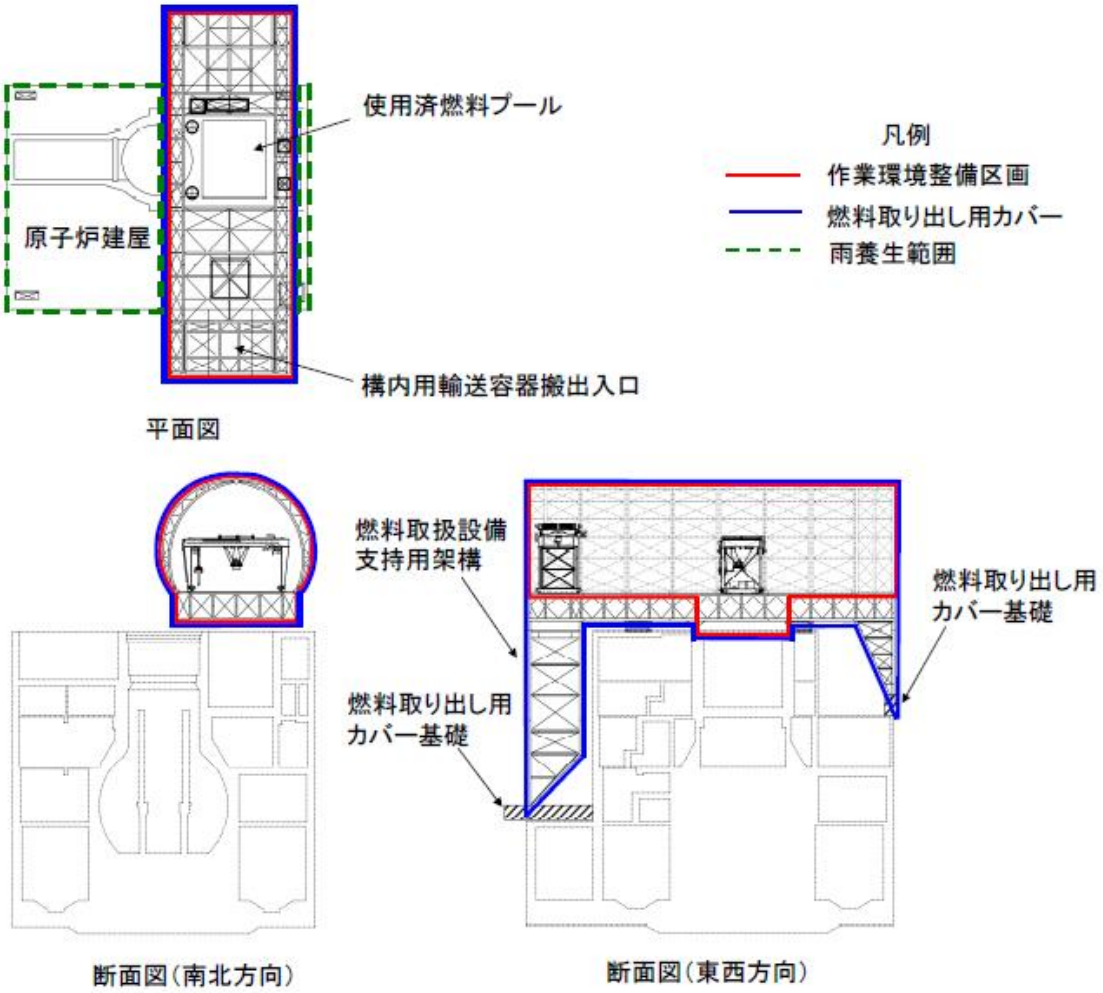

【燃料取り出し用カバー】

- 作業環境整備区画を構成・支持する架構及び附属設備を指す。
- 燃料取り出し用カバーのうち，作業環境整備区画は外装材等により区画し，換気対象範囲とする。

【雨養生範囲】

- 燃料取り出し用カバー以外のオペレーティングフロアエリアは雨水対策を施す。
- 換気対象範囲外とする。

図 3-1　燃料取り出し用カバー概略図

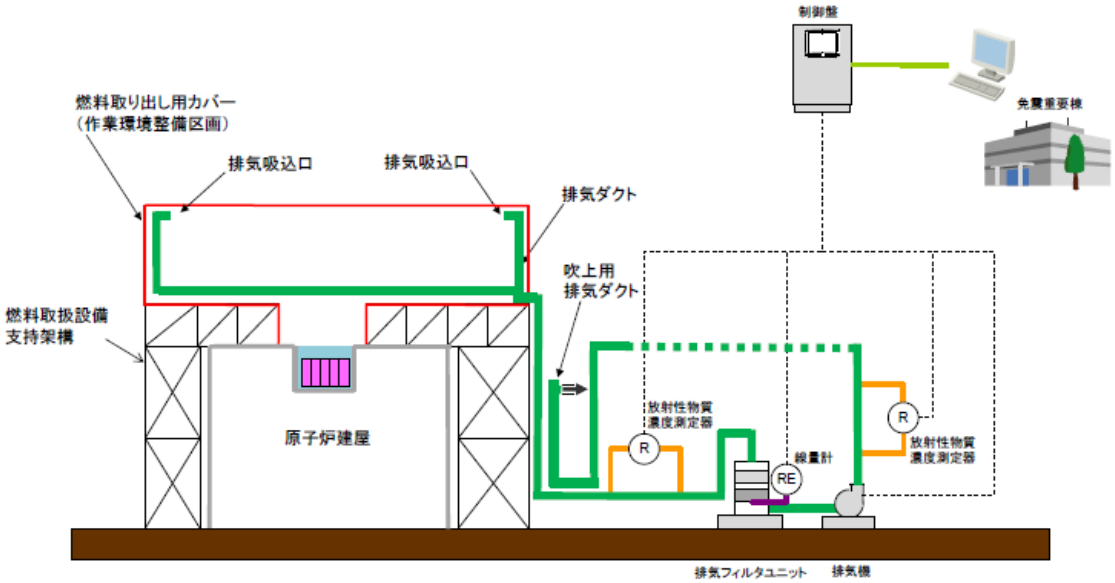

図 3-2　燃料取り出し用カバー換気設備概略構成図

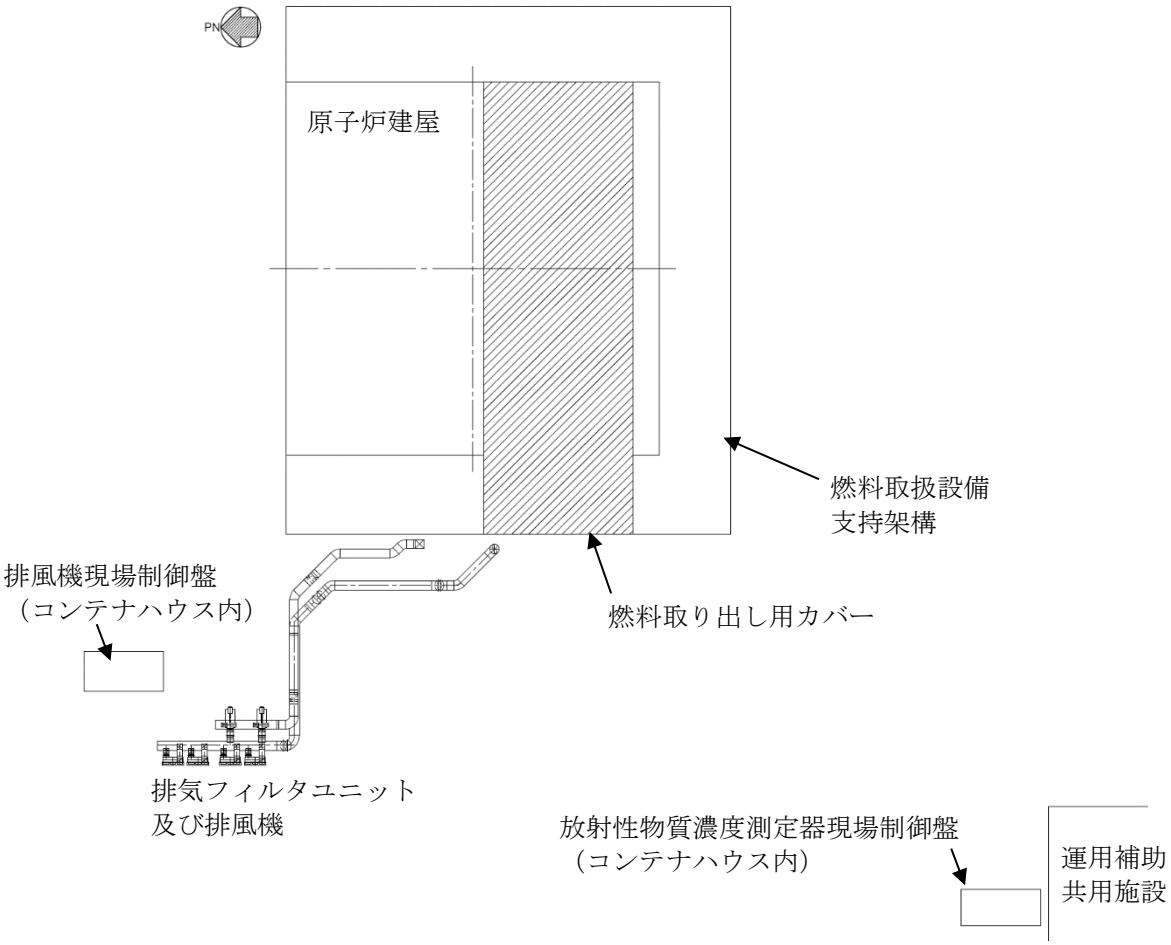

図 3-3　燃料取り出し用カバー換気設備配置図

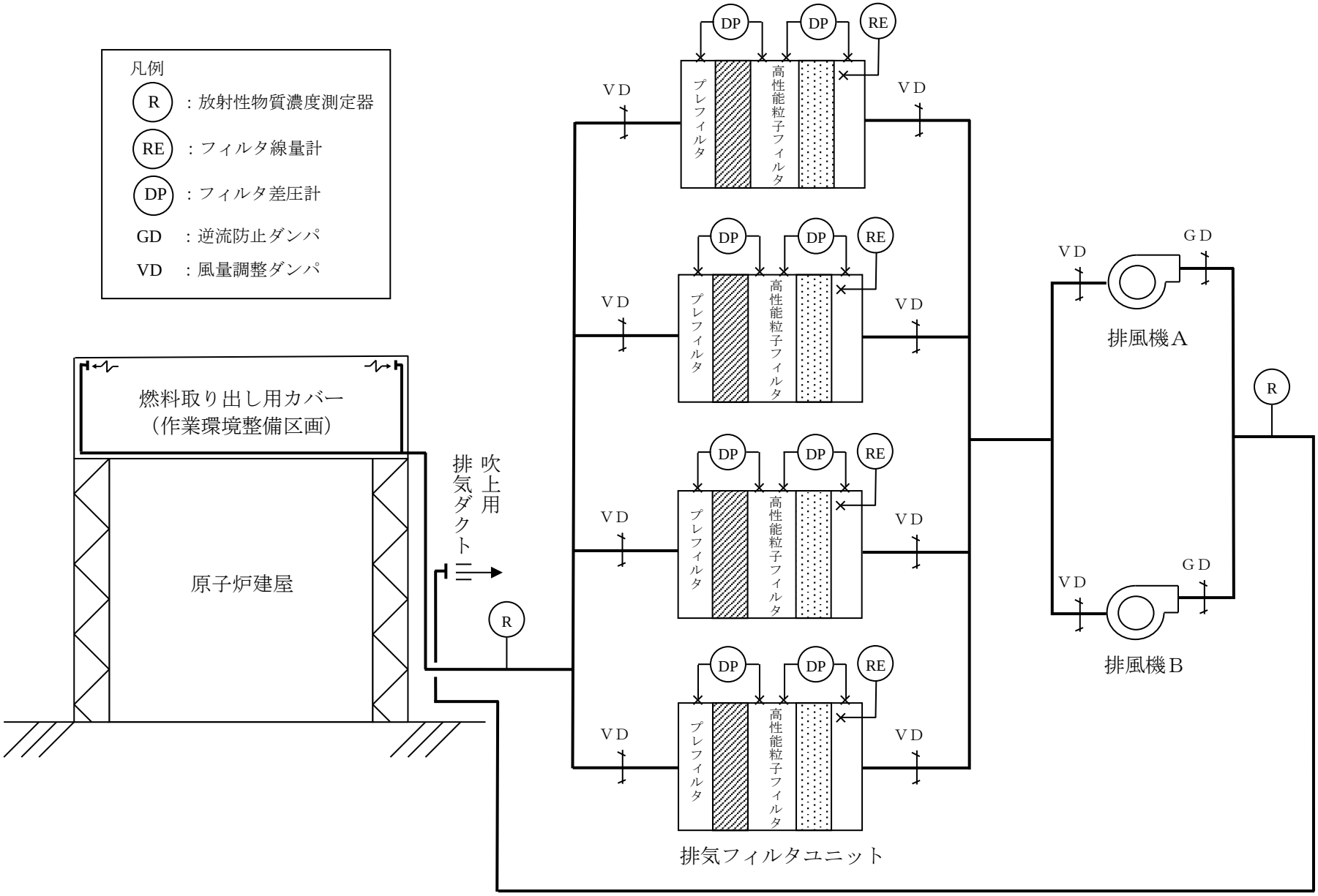

図 3-4　燃料取り出し用カバー換気設備系統図

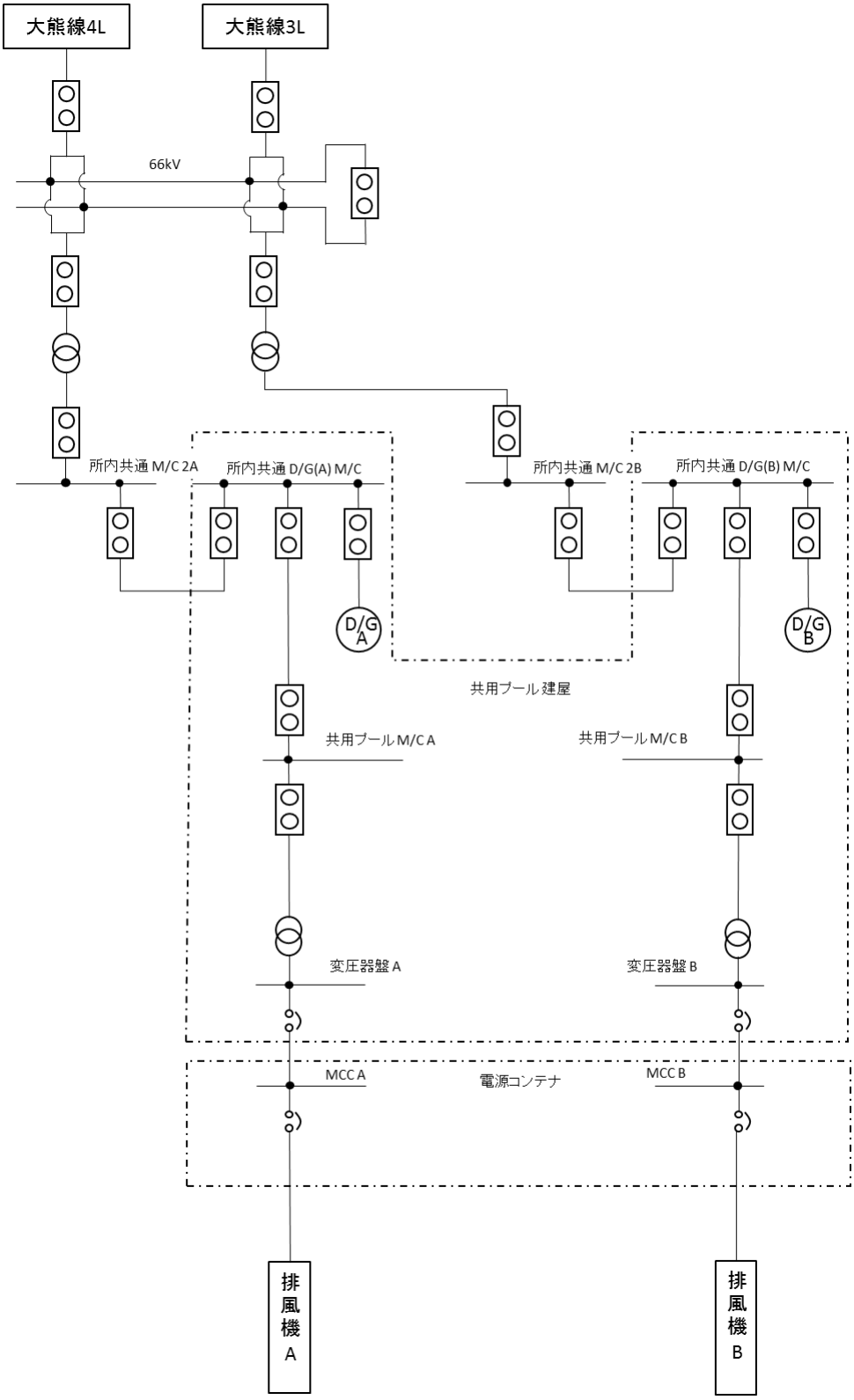

※平成 29 年 9 月時点

図 3-5　燃料取り出し用カバー換気設備電源系統図

4　２号機放射性物質の飛散・拡散を防止するための機能について

4.1　燃料取り出し用構台について

4.1.1　概要

燃料取り出し用構台は，作業に支障が生じることのないよう作業に必要な範囲をカバーし，風雨を遮る構造とする。また，燃料取り出し作業に伴い建屋等に付着した放射性物質の舞い上がりによる大気放出を抑制するため，燃料取り出し用構台は隙間を低減した構造とするとともに，換気設備を設け，排気はフィルタユニットを通じて大気へ放出する。また，現在，発電所敷地内でよう素（I-131）は検出されていないことから，フィルタユニットは，発電所敷地内等で検出されているセシウム（Cs-134,137）の大気への放出が低減できる設計とする。

4.1.2　燃料取り出し用構台

燃料取り出し用構台の大きさは，約 33m（南北）×約 27m（東西）×約 45m（地上高）である。主体構造は鉄骨造であり，燃料取り出し用構台作業エリアの壁面及び屋根面を外装材で覆い，風雨を遮る構造とする。（図 4-1　燃料取り出し用構台概略図参照）

4.1.3　換気設備

4.1.3.1　系統構成

換気設備は，原子炉建屋オペレーティングフロア及び燃料取り出し用構台内の気体を吸引し，排気ダクトを経由して燃料取り出し用構台地上階に設置した排気フィルタユニットへ導く。排気フィルタユニットは，プレフィルタ，高性能粒子フィルタ等で構成され，各フィルタで放射性物質を捕集した後の気体を吹上用排気ダクトから大気へ放出する。

排気フィルタユニットは，約 10,000m^3/h のユニットを 4 系列（うち 1 系列は予備），排風機は，換気風量約 30,000m^3/h のユニットを 2 系列（うち 1 系列は予備）設置し，原子炉建屋オペレーティングフロア及び燃料取り出し用構台作業エリアを約 30,000m^3/h の換気風量で運転する。

また，原子炉建屋オペレーティングフロア内，燃料取り出し用構台内及び吹上用排気ダクトから大気に放出される放射性物質の濃度を測定するため，放射性物質濃度測定器を排気フィルタユニットの出入口に設置する。（図 4-2　原子炉建屋オペレーティングフロア及び燃料取り出し用構台換気設備概略構成図，図 4-3　原子炉建屋オペレーティングフロア及び燃料取り出し用構台換気設備配置図，図 4-4　原子炉建屋オペレーティングフロア及び燃料取り出し用構台換気設備系統図参照）

原子炉建屋オペレーティングフロア及び燃料取り出し用構台換気設備の電源は，異なる系統の所内高圧母線から受電可能な構成とする。（図 4-5　原子炉建屋オペレーティングフロア及び燃料取り出し用構台換気設備電源系統図参照）

表 4-1　換気設備構成

設備名	構成・配置等
排気吸込口	配置：原子炉建屋オペレーティングフロア壁面及び燃料取り出し用構台床上に設置
排気フィルタユニット	配置：燃料取り出し用構台地上階に 4 系列（うち予備 1 系列）設置 構成：プレフィルタ／高性能粒子フィルタ （効率 97%（粒径 0.3μm）以上） フィルタ線量計（各排気フィルタユニットに設置） フィルタ差圧計（プレフィルタ，高性能粒子フィルタに設置）
排風機	配置:燃料取り出し用構台地上階に 2 系列（うち予備 1 系列）設置
吹上用排気ダクト	配置：排気フィルタユニットの下流側に設置
放射性物質濃度測定器	測定対象：原子炉建屋オペレーティングフロア内，燃料取り出し用構台内及び大気放出前の放射性物質濃度 仕様　：検出器種類　シンチレーション検出器 計測範囲　10^{-1}～$10^{5}s^{-1}$ 台数　排気フィルタユニット入口　4 台 (原子炉建屋側，燃料取り出し用構台側 2 台ずつ) 排気フィルタユニット出口　2 台

4.1.3.2　換気風量について

原子炉建屋オペレーティングフロア及び燃料取り出し用構台内の環境は，燃料取扱機，クレーン及び電源盤の設備保護のため 40℃以下（設計値）となる換気設備を設けるものとする。

原子炉建屋オペレーティングフロア及び燃料取り出し用構台内の熱負荷を除熱するのに必要な換気風量は，下式により求められる風量に余裕をみた約 30,000m^3/h とする。

$$Q=q/(Cp\cdot\rho\cdot(t1-t2)\cdot 1/3600)$$

Q：換気（排気）風量（m^3/h）

q：設計用熱負荷，約 80（kW）

（機器発熱，日射，使用済燃料プールからの熱，原子炉からの熱）※1

Cp：定圧比熱，1.004652（kJ/kg・℃）

ρ ：密度，1.2（kg/m^3）

t1：燃料取り出し用構台内温度，40（℃）

t2：設計用外気温度，28.5（℃）※2

※1　約 10%の余裕を含む

※2　小名浜気象台で観測された 1972 年～1976 年の 5 年間の観測データにおける累積出現率が 99%となる最高温度

4.1.3.3　運転管理および保守管理

(1) 運転管理

排風機の起動/停止操作は，免震重要棟集中監視室で行うものとし，故障等により排風機が停止した場合には，予備機が自動起動する。

免震重要棟集中監視室では，排風機の運転状態（起動停止状態），放射性物質濃度が表示され，それらの異常を検知した場合には，警報を発する。

放射性物質濃度測定器を排気フィルタユニットの出入口に設置し，原子炉建屋オペレーティングフロア及び燃料取り出し用構台から大気に放出される放射性物質濃度を測定する。

(2) 保守管理

換気設備については安全上重要な設備ではなく，運転継続性の要求が高くない。保守作業に伴う被ばくを極力低減する観点から，異常の兆候が確認された場合に対応する。なお，排気フィルタユニット出入口の放射性物質濃度測定器については，現場の放射性物質監視及び外部への放射性物質飛散抑制の観点から多重化し，機器の単一故障により機能が喪失した場合でも測定可能な設備構成とする。

また，フィルタについては，差圧計（プレフィルタ，高性能粒子フィルタに設置）又は線量計（排気フィルタユニットに設置）の値を確認しながら，必要な時期に交換する。

4.1.3.4　異常時の措置

原子炉建屋オペレーティングフロア及び燃料取り出し用構台換気設備が停止しても，セシウムの使用済燃料プールから大気への移行割合は，1×10^{-5}～1×10^{-3}%程度であり，２号機から放出される放射性物質は小さいと評価されている（Ⅱ.2.3 使用済燃料プール設備参照）ことから，放射性物質の異常な放出とならないと考えられる。また，２号機の使用済燃料プール水における放射性物質濃度は，Cs-134：1.42×10^4Bq/L，Cs-137：5.89×10^5Bq/L（令和 2 年 10 月 15 日に使用済燃料プールより採取した水の分析結果）である。

なお，原子炉建屋オペレーティングフロア及び燃料取り出し用構台換気設備は，機器の単一故障が発生した場合を想定して，排風機及び電源の多重化を実施しており，切替等により機能喪失後の速やかな運転の再開を可能とする。また，排気フィルタユニット出入口の放射性物質濃度測定器については，２台の連続運転とし，１台故障時においても放射性物質濃度を計測可能とする。

4.2　放射性物質の飛散・拡散を防止するための機能について

4.2.1　排気フィルタによる低減効果

原子炉建屋オペレーティングフロア及び燃料取り出し用構台内から排気フィルタユニットを通じて大気へ放出される放射性物質は，プレフィルタ／高性能粒子フィルタ（効率 97%(粒径 0.3μm)以上）により低減される。

セシウムの使用済燃料プールから大気への移行割合は，1×10^{-5}～1×10^{-3}%程度であり，２号機から放出される放射性物質は小さいと評価されている。（Ⅱ.2.3 使用済燃料プール設備参照）

表 4-2 に２号機原子炉建屋オペレーティングフロア上で測定された放射性物質濃度を示す。仮に，原子炉建屋オペレーティングフロア及び燃料取り出し用構台内が表 4-2 に示す放射性物質濃度であった場合，排気フィルタを通過して大気へ放出される放射性物質濃度は表 4-3 の通りとなる。

表 4-2　２号機原子炉建屋オペレーティングフロア上の放射性物質濃度（Bq/cm^3）

核種	オペレーティングフロア上の濃度（令和１年８月～令和２年８月の検出濃度の平均値）
Cs-134	約 7.6×10^{-6}
Cs-137	約 5.0×10^{-5}

$Q=C\cdot(1-f)$

Q　：フィルタ通過後の放射性物質濃度（Bq/cm^3）

C　：原子炉建屋オペレーティングフロア及び燃料取り出し用構台内の放射性物質濃度（Bq/cm^3）（表 4-2 参照）

f　：フィルタ効率（プレフィルタ／高性能粒子フィルタ　97%）

表 4-3　フィルタ通過後の放射性物質濃度

核種	濃度（Bq/cm^3）
Cs-134	約 2.3×10^{-7}
Cs-137	約 1.5×10^{-6}

以上の結果，表 4-2 及び表 4-3 より，フィルタ通過後の放射性物質濃度は約 1/30 となる。

4.2.2　敷地境界線量

4.2.2.1　評価条件

(1) 原子炉建屋オペレーティングフロア及び燃料取り出し用構台内が，表 4-2 に示す２号機原子炉建屋オペレーティングフロア上の放射性物質濃度であった場合に排気フィルタユニットを介して大気に放出されるものと仮定する。

(2) 減衰は考慮しない。

(3) 地上放出と仮定する。

(4) 燃料取り出し用構台の供用期間である 5 年間（想定）に放出される放射性物質が地表に沈着し蓄積した時点のγ線に起因する実効線量と仮定し評価する。

(5) 大気拡散の評価に用いる気象条件は，福島第一原子力発電所原子炉設置変更許可申請書で採用したものと同じ気象データを使用する。

4.2.2.2　評価方法

原子炉建屋オペレーティングフロア及び燃料取り出し用構台排気フィルタユニットから放出される放射性物質による一般公衆の実効線量は，以下の被ばく経路について年間実効線量(mSv/年)を評価する。

(1) 放射性雲からのγ線に起因する実効線量

(2) 吸入摂取による実効線量

(3) 地面に沈着した放射性物質からのγ線に起因する実効線量

具体的な計算方法等については，「Ⅲ特定原子力施設の保安 第 3 編 2.2 線量評価」に準じる。

4.2.2.3　評価結果

表 4-3 に示す濃度の放射性物質の放出が燃料取り出し用構台の供用期間である 5 年間（想定）続くと仮定して算出した結果，年間被ばく線量は敷地境界で約 0.0004mSv／年であり，法令の線量限度 1mSv／年に比べても十分低いと評価される。（表 4-4 参照）

また，「Ⅲ特定原子力施設の保安 第 3 編 2 放射性廃棄物等の管理に関する補足説明」での評価（約 0.03mSv/年）に比べても低いと評価される。

表 4-4　原子炉建屋オペレーティングフロア及び燃料取り出し用構台排気フィルタユニットからの放射性物質の放出による一般公衆の実効線量（mSv/年）

評価項目			合計
放射性雲	吸入摂取	地表沈着	
約 6.4×10^{-9}	約 7.9×10^{-7}	約 4.4×10^{-4}	約 4.4×10^{-4}

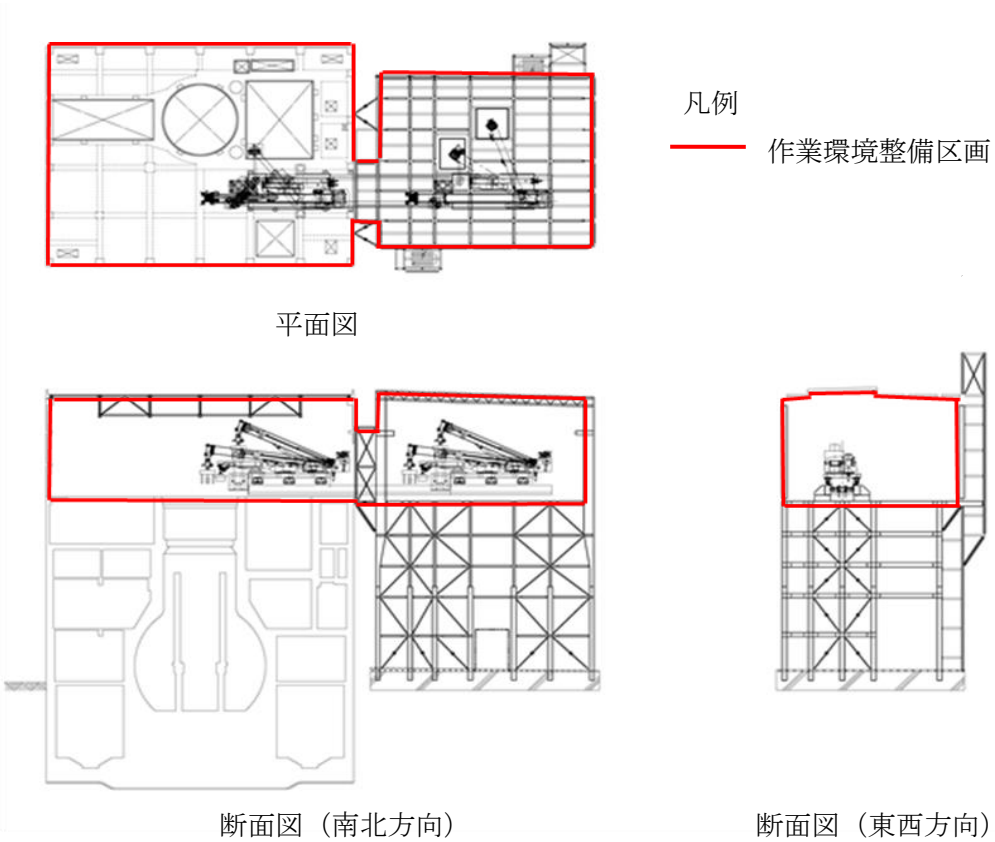

【燃料取り出し用構台】

- 作業環境整備区画を構成・支持する架構及び附属設備を指す。
- 燃料取り出し用構台のうち，作業環境整備区画は外装材等により区画し，換気対象範囲とする。

図 4-1　燃料取り出し用構台概略図

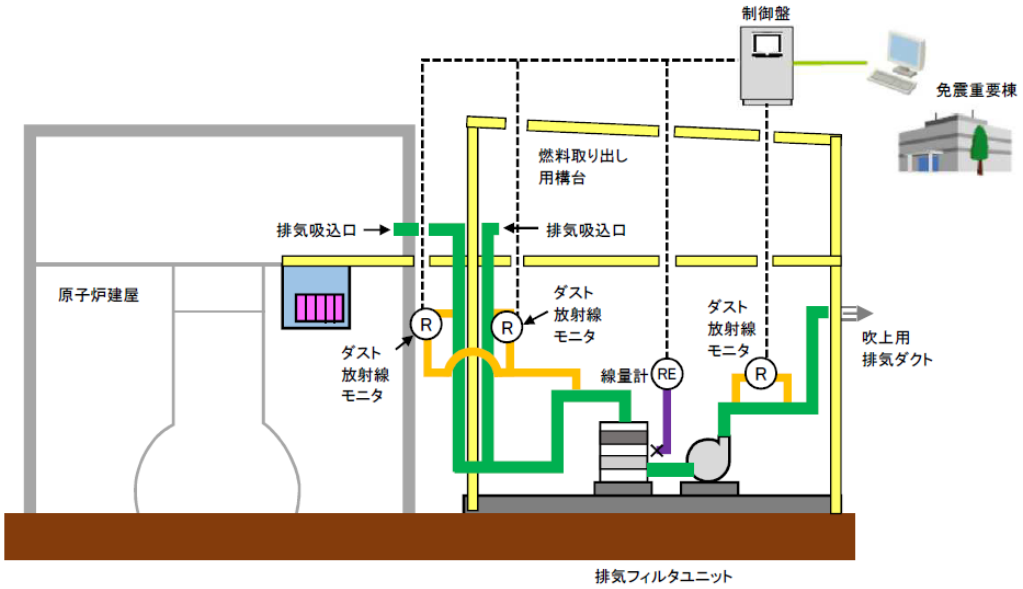

図 4-2　原子炉建屋オペレーティングフロア及び燃料取り出し用構台換気設備　概略構成図

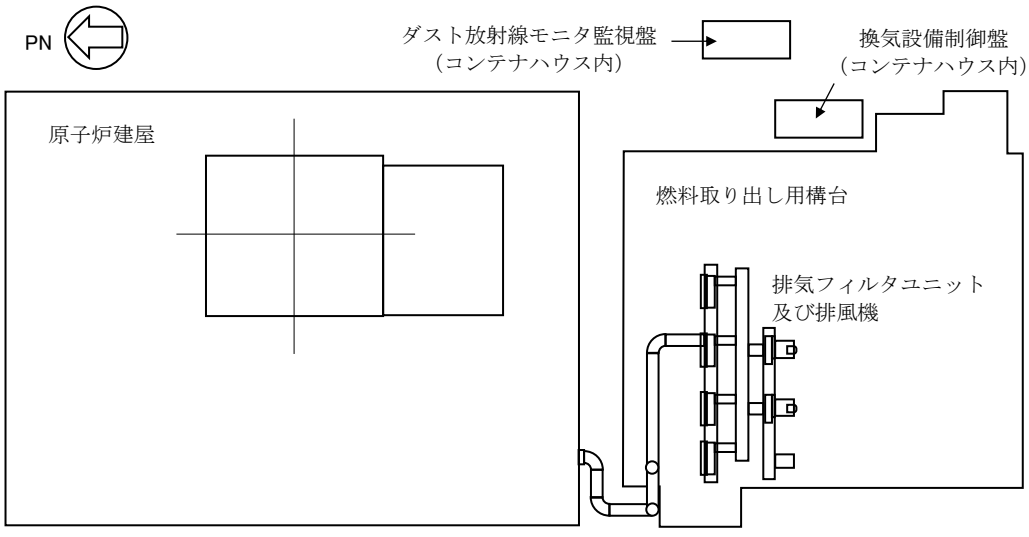

図 4-3　原子炉建屋オペレーティングフロア及び燃料取り出し用構台換気設備配置図

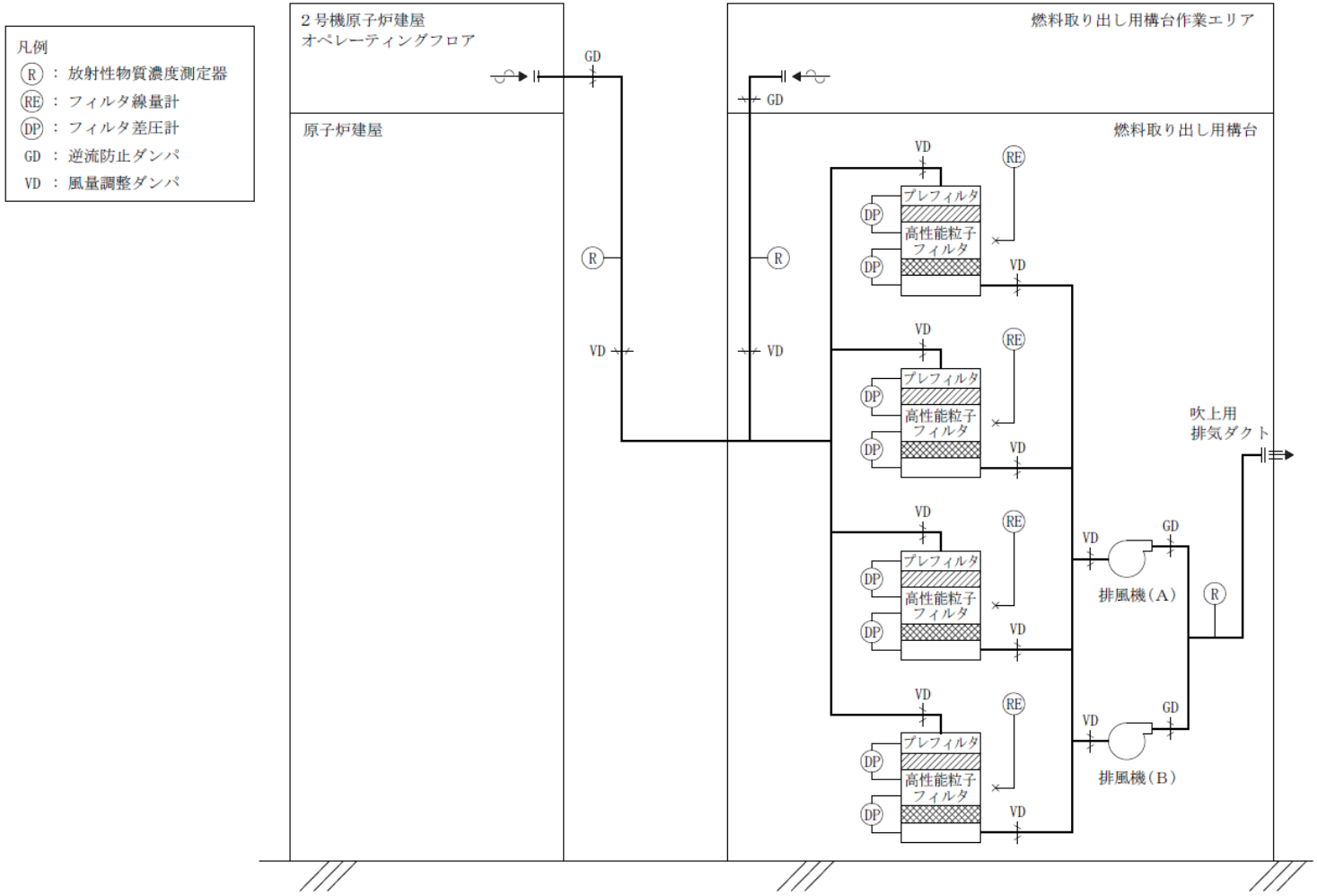

図 4-4　原子炉建屋オペレーティングフロア及び燃料取り出し用構台換気設備系統図

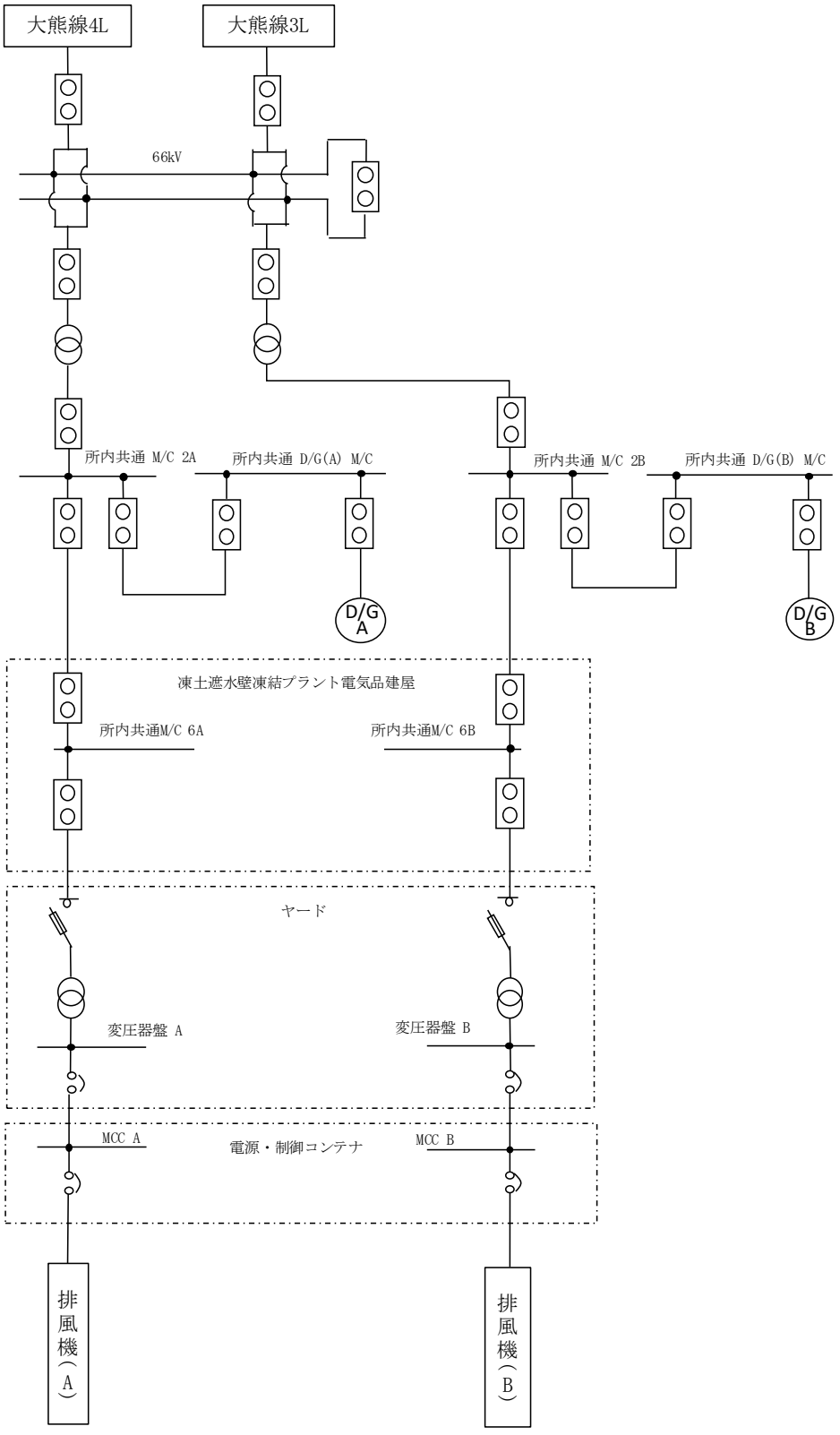

※令和 4 年 7 月時点

図 4-5　原子炉建屋オペレーティングフロア及び燃料取り出し用構台換気設備電源系統図

5　1号機放射性物質の飛散・拡散を防止するための機能について

5.1　大型カバーについて

5.1.1　概要

大型カバーは，作業に支障が生じることのないよう作業に必要な範囲をカバーし，風雨を遮る構造とする。また，オペレーティングフロア上にあるガレキ撤去時の放射性物質の舞い上がりによる大気放出を抑制するため，大型カバーは隙間を低減した構造とするとともに，換気設備を設け，排気はフィルタユニットを通じて大気へ放出する。また，現在，発電所敷地内でよう素（I-131）は検出されていないことから，フィルタユニットは，発電所敷地内等で検出されているセシウム（Cs-134,137）の大気への放出が低減できる設計とする。

5.1.2　大型カバー

大型カバーの大きさは，約66m（南北）×約56m（東西）×約68m（地上高）である。主体構造は鉄骨造であり，作業エリアの壁面及び屋根面は風雨を遮る外装材で覆う計画である。屋根面及び壁面上部には勾配を設けて，雨水の浸入を防止する構造とする。（図 5-1　大型カバー概略図参照）

5.1.3　換気設備

5.1.3.1　系統構成

換気設備は，大型カバー内の気体を吸引し，排気ダクトを経由して大型カバーの外部に設置した排気フィルタユニットへ導く。排気フィルタユニットは，プレフィルタ，高性能粒子フィルタ等で構成され，各フィルタで放射性物質を捕集した後の気体を吹上用排気ダクトから大気へ放出する。

排気フィルタユニットは，換気風量約30,000m^3/hのユニットを2系列（うち1系列は予備）設置し，約30,000m^3/hの換気風量で運転する。

また，大型カバー内の放射性物質や吹上用排気ダクトから大気に放出される放射性物質の濃度を測定するため，放射性物質濃度測定器を排気フィルタユニットの出入口に設置する。（図5-2　大型カバー換気設備概略構成図，図5-3　大型カバー換気設備配置図，図5-4　大型カバー換気設備系統図参照）

大型カバー換気設備の電源は，異なる系統の所内高圧母線から受電可能な構成とする。（図5-5　大型カバー換気設備電源系統図参照）

表 5-1　換気設備構成

設備名	構成・配置等
排気吸込口	配置：大型カバー壁面に設置
排気フィルタユニット	配置：原子炉建屋北側の屋外に 2 系列（うち予備 1 系列）設置 構成：プレフィルタ 高性能粒子フィルタ（効率 97%（粒径 0.3μm）以上） フィルタ線量計（高性能粒子フィルタに設置） フィルタ差圧計（プレフィルタ，高性能粒子フィルタに設置）
排風機	配置：原子炉建屋北側の屋外に 2 系列（うち予備 1 系列）設置
吹上用排気ダクト	配置：排気フィルタユニットの下流側に設置
放射性物質濃度測定器	測定対象：大型カバー内及び大気放出前の放射性物質濃度 仕様　：検出器種類　シンチレーション検出器 計測範囲　10^{0}～$10^{4}s^{-1}$ 台数　排気フィルタユニット入口　2 台 排気フィルタユニット出口　2 台

5.1.3.2　換気風量について

大型カバー内の環境は，ガレキ撤去用天井クレーン及び電源盤等の設備保護のため 40℃以下（設計値）となる換気設備を設けるものとする。

大型カバー内の熱負荷を除熱するのに必要な換気風量は，下式により求められる風量に余裕をみた約 30,000m^3/h とする。

$Q=q/(Cp・\rho・(t1-t2)・1/3600)$

Q　：換気（排気）風量（m^3/h）

q　：設計用熱負荷，約 103（kW）（機器発熱）※1

Cp　：定圧比熱，1.004652（kJ/kg・℃）

ρ　：密度，1.2（kg/m^3）

t1　：カバー内温度，40（℃）

t2　：設計用外気温度，29.7（℃）※2

※1　約 10%の余裕を含む

※2　小名浜気象台で観測された 2015 年～2019 年の 5 年間の観測データにおける累積出現率が 99%となる最高温度

5.1.3.3　運転管理および保守管理

(1) 運転管理

排風機の起動/停止操作は，免震重要棟集中監視室で行うものとし，故障等により排風機が停止した場合には，予備機が自動起動する。

免震重要棟集中監視室では，排風機の運転状態（起動停止状態），放射性物質濃度が表示され，それらの異常を検知した場合には，警報を発する。

放射性物質濃度測定器を排気フィルタユニットの出入口に設置し，大型カバー内から大気に放出される放射性物質濃度を測定する。

(2) 保守管理

換気設備についてはオペレーティングフロア上のガレキ撤去作業時に運転が必要な設備であり，運転継続性の要求が高くない。保守作業に伴う被ばくを極力低減する観点から，異常の兆候が確認された場合に対応する。なお，排気フィルタユニット出入口の放射性物質濃度測定器については，現場の放射性物質濃度監視及び外部への放射性物質飛散抑制の観点から多重化し，機器の故障により機能が喪失した場合でも測定可能な設備構成とする。

また，フィルタについては，差圧計（プレフィルタ，高性能粒子フィルタに設置）又は線量計（高性能粒子フィルタに設置）の値を確認しながら，必要な時期に交換する。

5.1.3.4　異常時の措置

大型カバー換気設備が停止しても，セシウムの使用済燃料プールから大気への移行割合は，1×10^{-5}～1×10^{-3}%程度であり，１号機から放出される放射性物質は小さいと評価されている（Ⅱ.2.3 使用済燃料プール設備参照）ことから，放射性物質の異常な放出とならないと考えられる。また，１号機の使用済燃料プール水における放射性物質濃度は，Cs-134：2.32×10^{5}Bq/L，Cs-137：7.02×10^{6}Bq/L（令和 3 年 4 月 23 日に使用済燃料プールより採取した水の分析結果）である。

なお，大型カバー換気設備は，機器の故障が発生した場合を想定して，排風機及び電源の多重化を実施しており，切替等により機能喪失後の速やかな運転の再開を可能とする。また，排気フィルタユニット出入口の放射性物質濃度測定器については，２台の連続運転とし，１台故障時においても放射性物質濃度を計測可能とする。

5.2　放射性物質の飛散・拡散を防止するための機能について

5.2.1　排気フィルタによる低減効果

大型カバー内から排気フィルタユニットを通じて大気へ放出される放射性物質は，プレフィルタ／高性能粒子フィルタ（効率 97%（粒径 0.3μm)以上）により低減される。

セシウムの使用済燃料プールから大気への移行割合は，1×10^{-5}～1×10^{-3}%程度であり，１号機から放出される放射性物質は小さいと評価されている。（Ⅱ.2.3 使用済燃料プール設備参照）

１号機原子炉建屋オペレーティングフロア上のガレキ撤去実施に伴う大型カバー内での放射性物質の放出率は，下式により求められ表 5-2 の通りとなる。

$R_1=Sd\cdot A\cdot S/h$

R_1　：ガレキ撤去実施に伴う大型カバー内での放射性物質の放出率（Bq/h）

Sd　：崩落屋根鉄骨の表面汚染密度，1.69×10^{8}（Bq/cm^2）※1

A　：ガレキ撤去（鉄骨切断）に伴う欠損面積，約 190（cm^2）

S　：飛散率，0.02（%）※2

h　：1 切断にかかる作業時間，0.23（h）

※1　2016 年 10 月に実施した 1 号機オペレーティングフロア上の空間線量率の測定結果から遮蔽計算コードにて表面汚染密度へ換算

※2　（財）電力中央研究所「廃止措置工事環境影響ハンドブック（第 3 次版）」（平成 19 年 3 月）より引用

表 5-2　１号機原子炉建屋オペレーティングフロア上のガレキ撤去時の放射性物質の放出率（Bq/h）

放出率
約 2.8×10^{7}

仮に，ガレキ撤去実施に伴い大型カバー内で放射性物質が表 5-2 に示す放出率で飛散する場合，排気フィルタを通過して大気へ放出される放射性物質の放出率は下式により求められ表 5-3 の通りとなる。

$R_2=R_1\cdot(1-f)\cdot h_1/h_2$

R_2　：フィルタ通過後の放射性物質の放出率（Bq/h）

R_1　：大型カバー内の放射性物質の放出率（Bq/h）（表 5-2 参照）

f　：フィルタ効率（プレフィルタ／高性能粒子フィルタ　97%）

h_1　：1 月あたりのガレキ撤去作業時間，約 100（h/月）

h_2　：1 月の総時間数，720（h/月）

表 5-3　フィルタ通過後の放射性物質の放出率（Bq/h）

核種	放出率※
Cs-134	約 6.8×10^{3}
Cs-137	約 1.1×10^{5}

※核種比を考慮して算出

5.2.2　敷地境界線量

5.2.2.1　評価条件

(1) ガレキ撤去実施時において，大型カバー内が，表 5-2 に示す放出率で放射性物質が飛散した場合に排気フィルタユニットを介して大気に放出されるものと仮定する。

(2) 減衰は考慮しない（地表沈着を除く）。

(3) 地上放出と仮定する。

(4) 大型カバーの供用期間である 6 年間（想定）に放出される放射性物質が地表に沈着し蓄積した時点のγ線に起因する実効線量と仮定し評価する。

(5) 大気拡散の評価に用いる気象条件は，福島第一原子力発電所原子炉設置変更許可申請書で採用したものと同じ気象データを使用する。

5.2.2.2　評価方法

大型カバー排気フィルタユニットから放出される放射性物質による一般公衆の実効線量は，以下の被ばく経路について年間実効線量(mSv/年)を評価する。

(1) 放射性雲からのγ線に起因する実効線量

(2) 吸入摂取による実効線量

(3) 地面に沈着した放射性物質からのγ線に起因する実効線量

具体的な計算方法等については，「Ⅲ特定原子力施設の保安 第 3 編 2.2 線量評価」に準じる。

5.2.2.3　評価結果

表 5-3 に示す放出率で放射性物質の放出が大型カバーの供用期間である 6 年間(想定)続くと仮定して算出した結果，年間被ばく線量は敷地境界で約 0.001mSv／年であり，法令の線量限度 1mSv／年に比べても十分低いと評価される。(表 5-4 参照)

また，「Ⅲ特定原子力施設の保安 第 3 編 2 放射性廃棄物等の管理に関する補足説明」での評価（約 0.03mSv/年）に比べても低いと評価される。

表 5-4　大型カバー排気フィルタユニットからの
放射性物質の放出による一般公衆の実効線量（mSv/年）

評価項目			合計
放射性雲	吸入摂取	地表沈着	
約 1.2×10^{-8}	約 1.6×10^{-6}	約 1.1×10^{-3}	約 1.1×10^{-3}

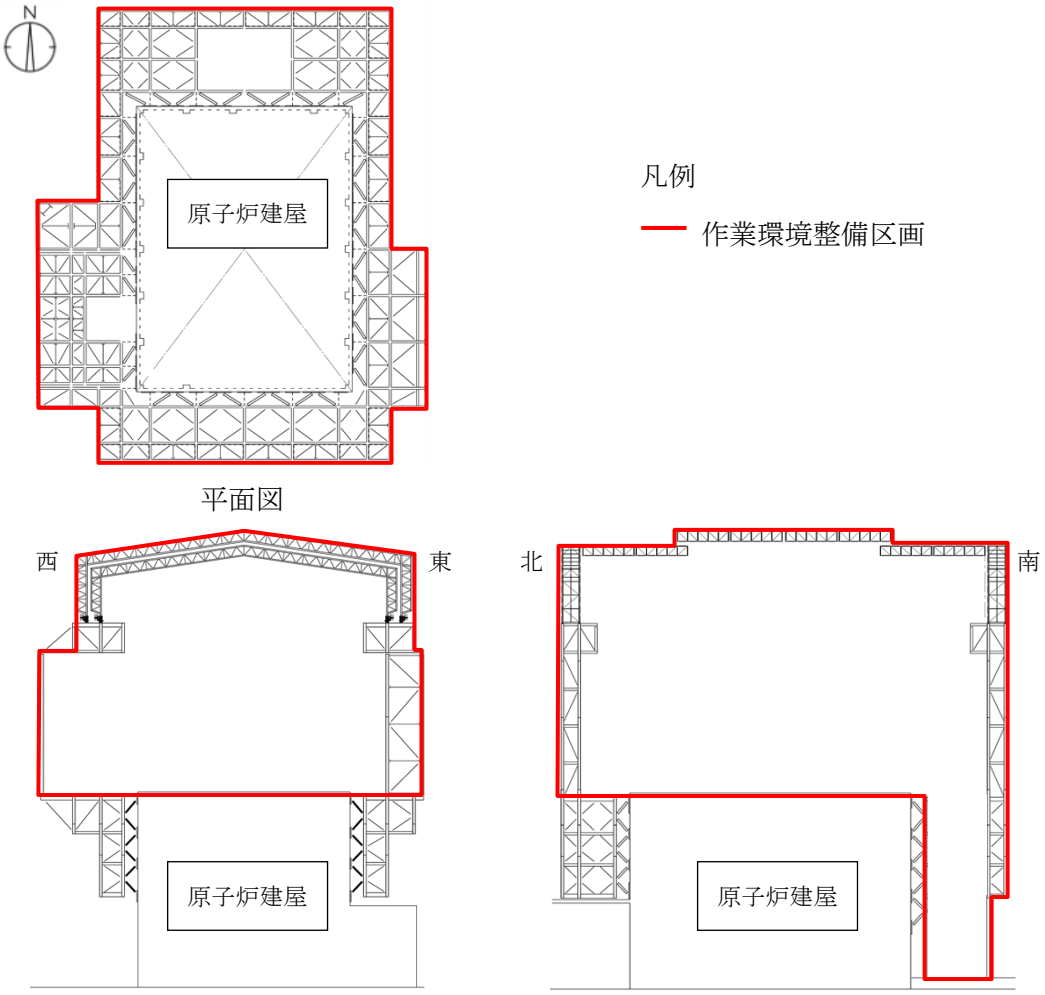

【大型カバー】

- 作業環境整備区画を構成・支持する架構及び附属設備を指す。
- 大型カバーのうち，作業環境整備区画は外装材等により区画し，換気対象範囲とする。

図 5-1　大型カバー概略図

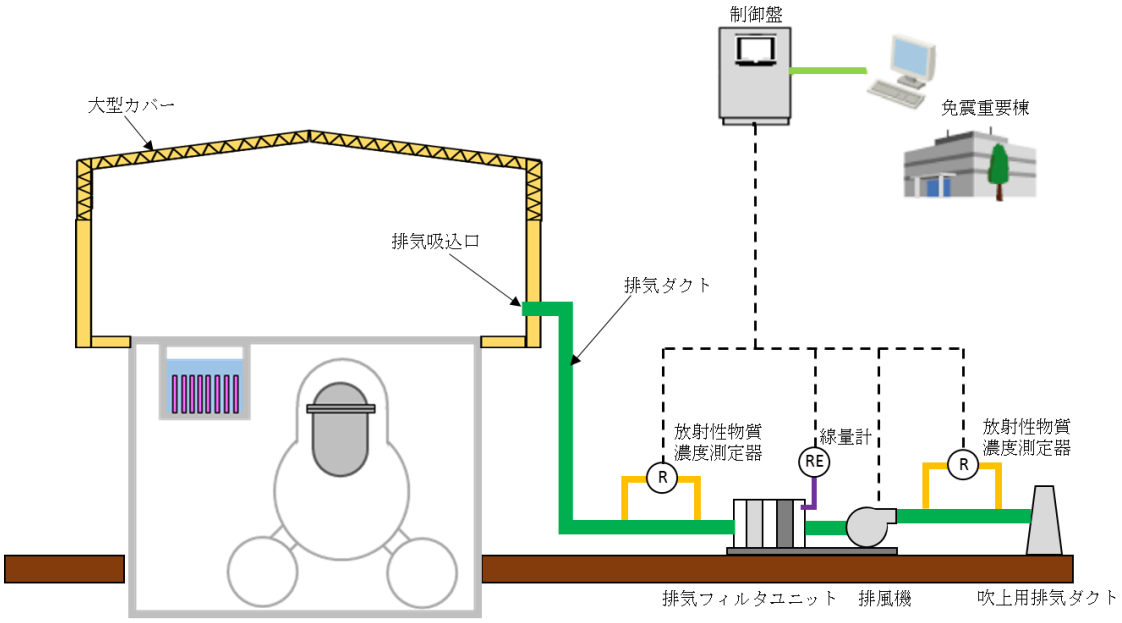

図 5-2　大型カバー換気設備概略構成図

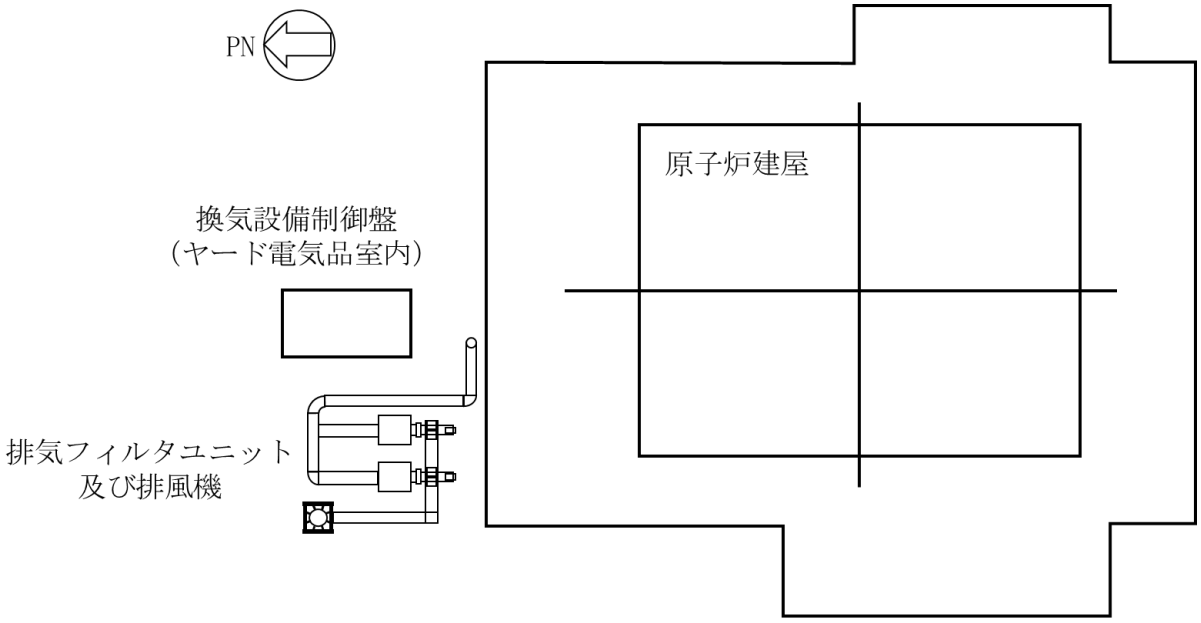

図 5-3　大型カバー換気設備配置図

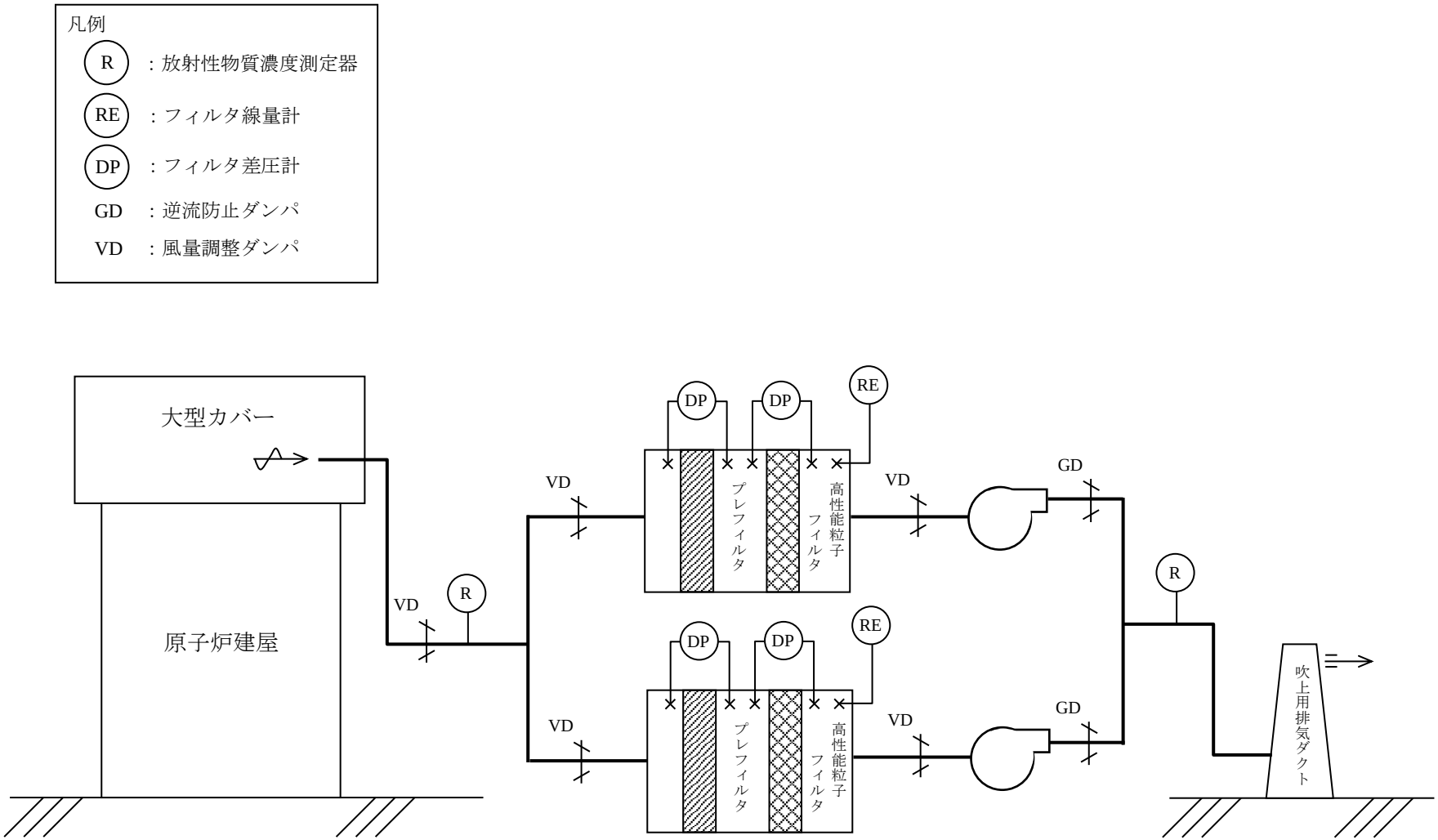

図 5-4　大型カバー換気設備系統図

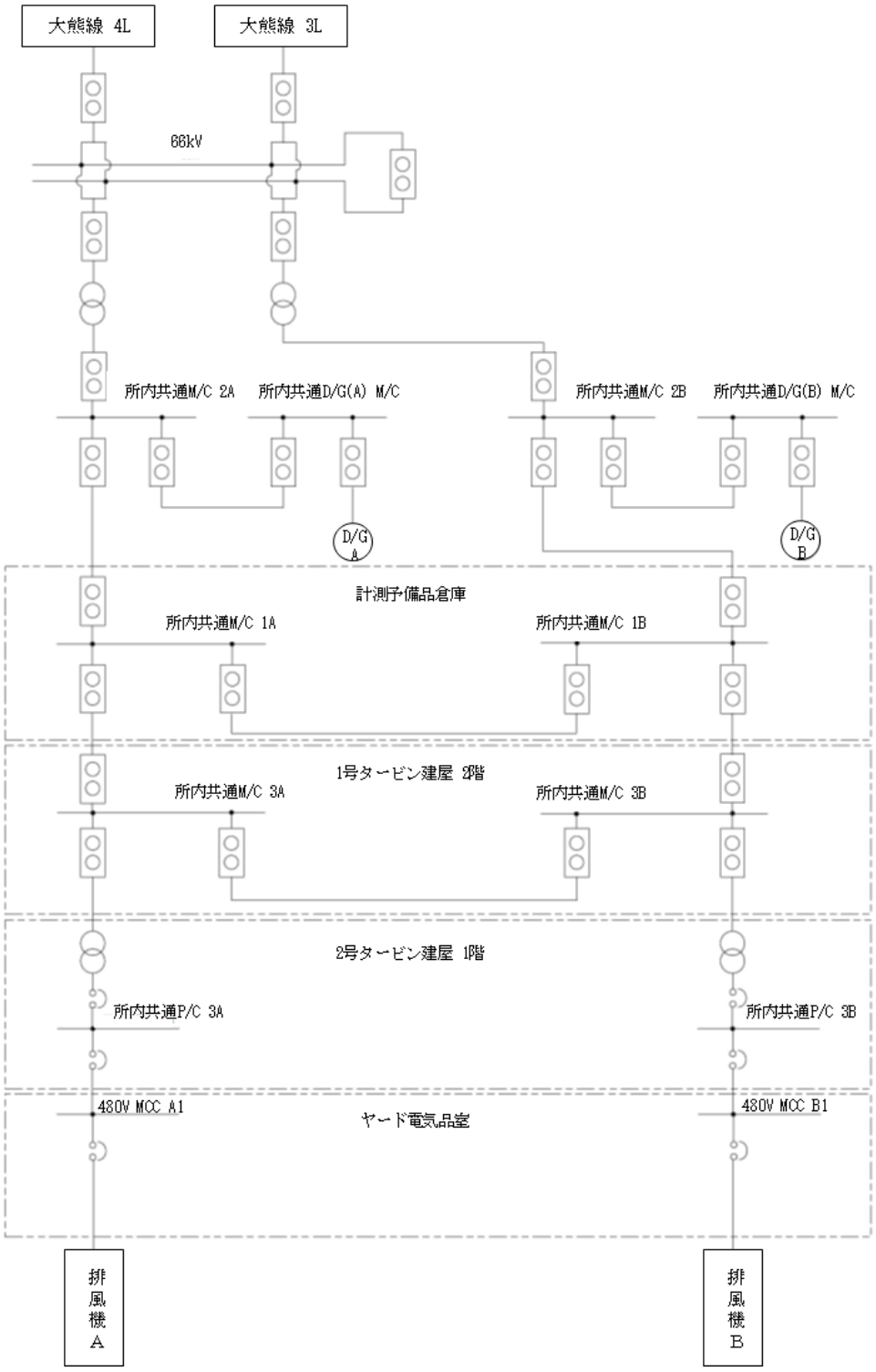

※令和３年８月時点

図 5-5　大型カバー換気設備電源系統図

6　別添

別添－１　４号機燃料取り出し用カバー換気設備に係る確認事項

別添－２　３号機燃料取り出し用カバー換気設備に係る確認事項

別添－３　２号機原子炉建屋オペレーティングフロア及び燃料取り出し用構台換気設備に係る確認事項

別添－４　１号機大型カバー換気設備に係る確認事項

４号機燃料取り出し用カバー換気設備に係る確認事項

４号機燃料取り出し用カバー換気設備に係る主要な確認事項を表－１に示す。

表－１　４号機燃料取り出し用カバー換気設備に係る確認事項

確認事項	確認項目		確認内容	判定基準
放出抑制	機能確認	風量確認	送風機・排風機の換気風量を確認する。	送風機・排風機が１台当たり 25,000m^3/h 以上であること。
				送風機・排風機が定格運転（２台運転１台予備）において，50,000m^3/h 以上であること。
		フィルタ性能確認	フィルタの放射性物質の除去効率を確認する。	放射性物質の除去効率が 97%以上であること。
	構造確認	据付確認	放射性物質濃度の測定箇所を確認する。	放射性物質濃度測定箇所が実施計画通りであること。
監視	機能確認	監視機能確認	監視設備により運転状態等が監視できることを確認する。	送風機・排風機の運転状態，放射性物質濃度が免震重要棟内のモニタに表示され監視可能であること。

３号機燃料取り出し用カバー換気設備に係る確認事項

３号機燃料取り出し用カバー換気設備に係る主要な確認事項を表－１に示す。

表－１　３号機燃料取り出し用カバー換気設備に係る確認事項

確認事項	確認項目		確認内容	判定基準
放出抑制	機能確認	風量確認	排風機の出口風量を確認する。	排風機が１台当たり30,000m^3/h 以上であること。
		フィルタ性能確認	フィルタの放射性物質の除去効率を確認する。	放射性物質の除去効率が 97%以上であること。
	構造確認	据付確認	放射性物質濃度の測定箇所を確認する。	放射性物質濃度測定箇所が実施計画通りであること。
監視	機能確認	監視機能確認	監視設備により運転状態等が監視できることを確認する。	排風機の運転状態，放射性物質濃度が免震重要棟内のモニタに表示され監視可能であること。
			設定値において警報及び表示灯が作動することを確認する。	許容範囲以内で警報及び表示灯が作動すること。
			標準線源を用いて検出器性能を確認する。	計数効率が規定値以上であること。
			放射性物質濃度が現場と免震重要棟に表示されることを確認する。	各指示値が許容値範囲以内に入っていること。

２号機原子炉建屋オペレーティングフロア及び燃料取り出し用構台換気設備に係る確認事項

２号機原子炉建屋オペレーティングフロア及び燃料取り出し用構台換気設備に係る主要な確認事項を表－１に示す。また，原子炉建屋オペレーティングフロア及び燃料取り出し用構台換気設備の系統図，排風機の外形図及び排気フィルタユニットの外形図を図－１，図―２，図―３に示す。

表－１　２号機原子炉建屋オペレーティングフロア及び燃料取り出し用構台換気設備に係る確認事項

確認事項	確認項目		確認内容	判定基準	検査場所
放出抑制・監視	構造確認	外観確認	各部の外観を確認する。	有意な欠陥がないこと。	現地
		据付確認	系統構成を確認する。	系統構成が図－１の通りであること。	現地
	機能確認	風量確認	排風機の出口風量を確認する。	排風機が１台当たり30,000m³/h 以上であること。	現地
		フィルタ性能確認	フィルタの放射性物質の除去効率を確認する。	放射性物質の除去効率が97%(粒径 0.3μm)以上であること。	現地
		監視機能確認	監視設備により運転状態等が監視できることを確認する。	排風機の運転状態，放射性物質濃度が免震重要棟内のモニタに表示され監視可能であること。	現地
			設定値において警報及び表示灯が作動することを確認する。	許容範囲以内で警報及び表示灯が作動すること。	現地
			標準線源を用いて検出器性能を確認する。	計数効率が規定値以上であること。	現地
			放射性物質濃度が現場と免震重要棟に表示されることを確認する。	放射性物質濃度が現地と免震重要棟に表示され監視可能であること。	現地

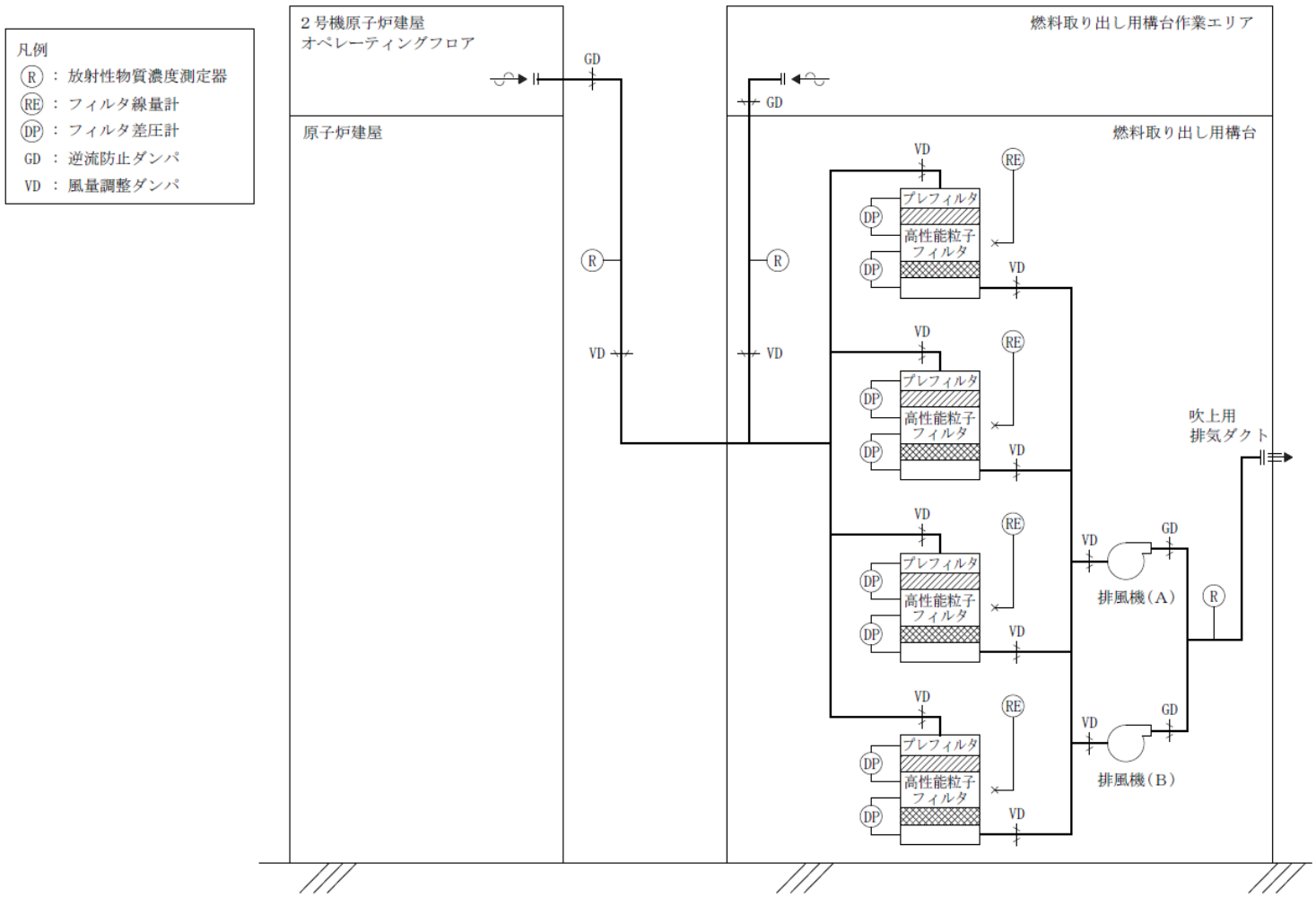

図－１　原子炉建屋オペレーティングフロア及び燃料取り出し用構台換気設備系統図（添付３－１　図４－４再掲）

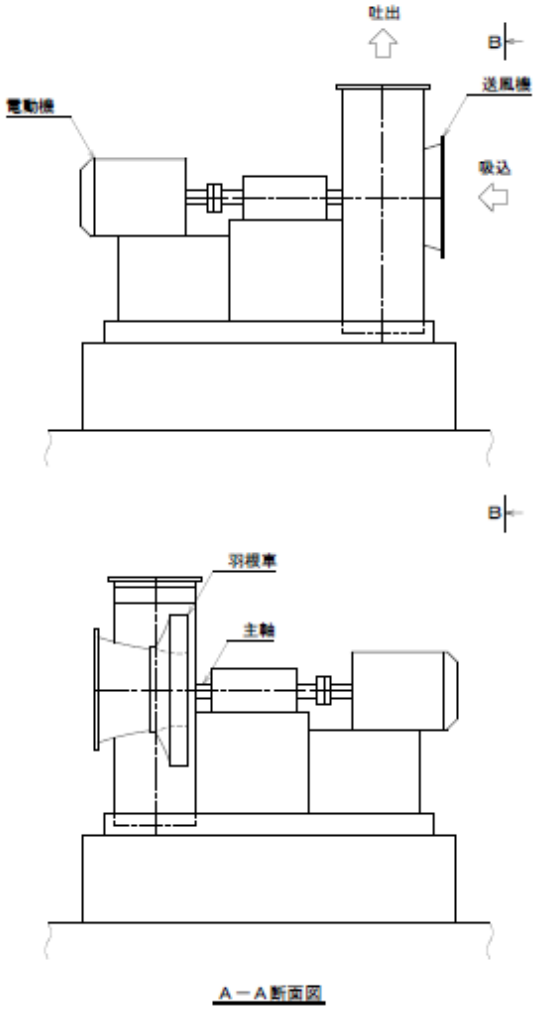

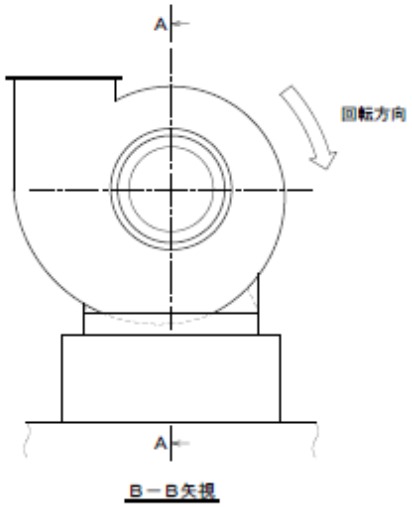

機器名称
排風機（A）
排風機（B）

図－２　排風機　外形図

機器名称
排気フィルタユニット（A）
排気フィルタユニット（B）
排気フィルタユニット（C）
排気フィルタユニット（D）

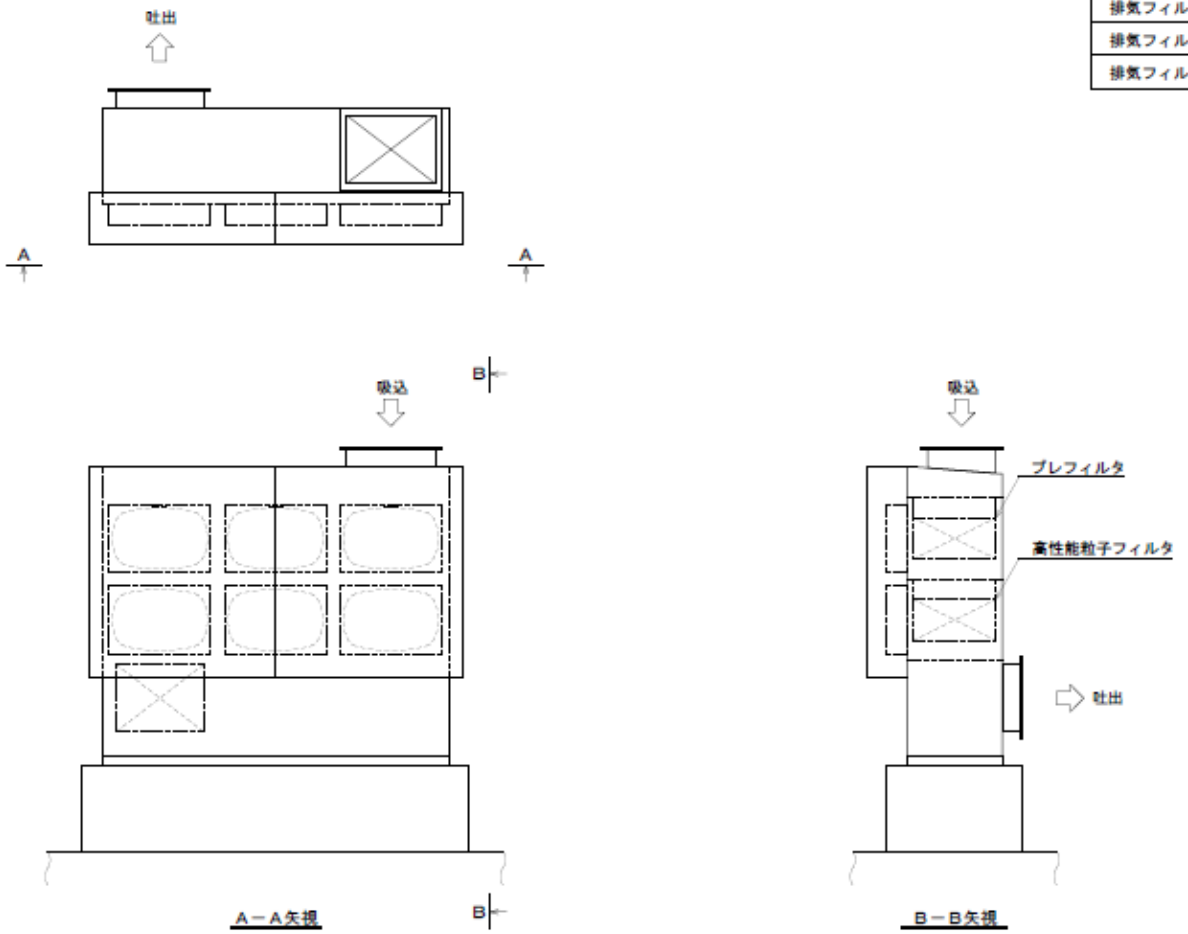

図－３　排気フィルタユニット　外形図

１号機大型カバー換気設備に係る確認事項

１号機大型カバー換気設備に係る主要な確認事項を表－１に示す。また，大型カバー換気設備の系統図，排風機の外形図及び排気フィルタユニットの外形図を図－1，図－２，図－３に示す。

表－１　１号機大型カバー換気設備に係る確認事項

確認事項	確認項目		確認内容	判定基準	検査場所
放出抑制・監視	構造確認	外観確認	各部の外観を確認する。	有意な欠陥がないこと。	現地
		据付確認	系統構成を確認する。	系統構成が図－１の通りであること。	
	機能確認	風量確認	排風機の出口風量を確認する。	排風機が１台当たり 30,000m^3/h 以上であること。	
		フィルタ性能確認	フィルタの放射性物質の除去効率を確認する。	放射性物質の除去効率が 97%(粒径 0.3μm)以上であること。	
		監視機能確認	監視設備により運転状態等が監視できることを確認する。	排風機の運転状態，放射性物質濃度が免震重要棟内のモニタに表示され監視可能であること。	
			設定値において警報及び表示灯が作動することを確認する。	許容範囲以内で警報及び表示灯が作動すること。	
			標準線源を用いて検出器性能を確認する。	計数効率が規定値以上であること。	
			放射性物質濃度が現場と免震重要棟に表示されることを確認する。	放射性物質濃度が現地と免震重要棟に表示され監視可能であること。	

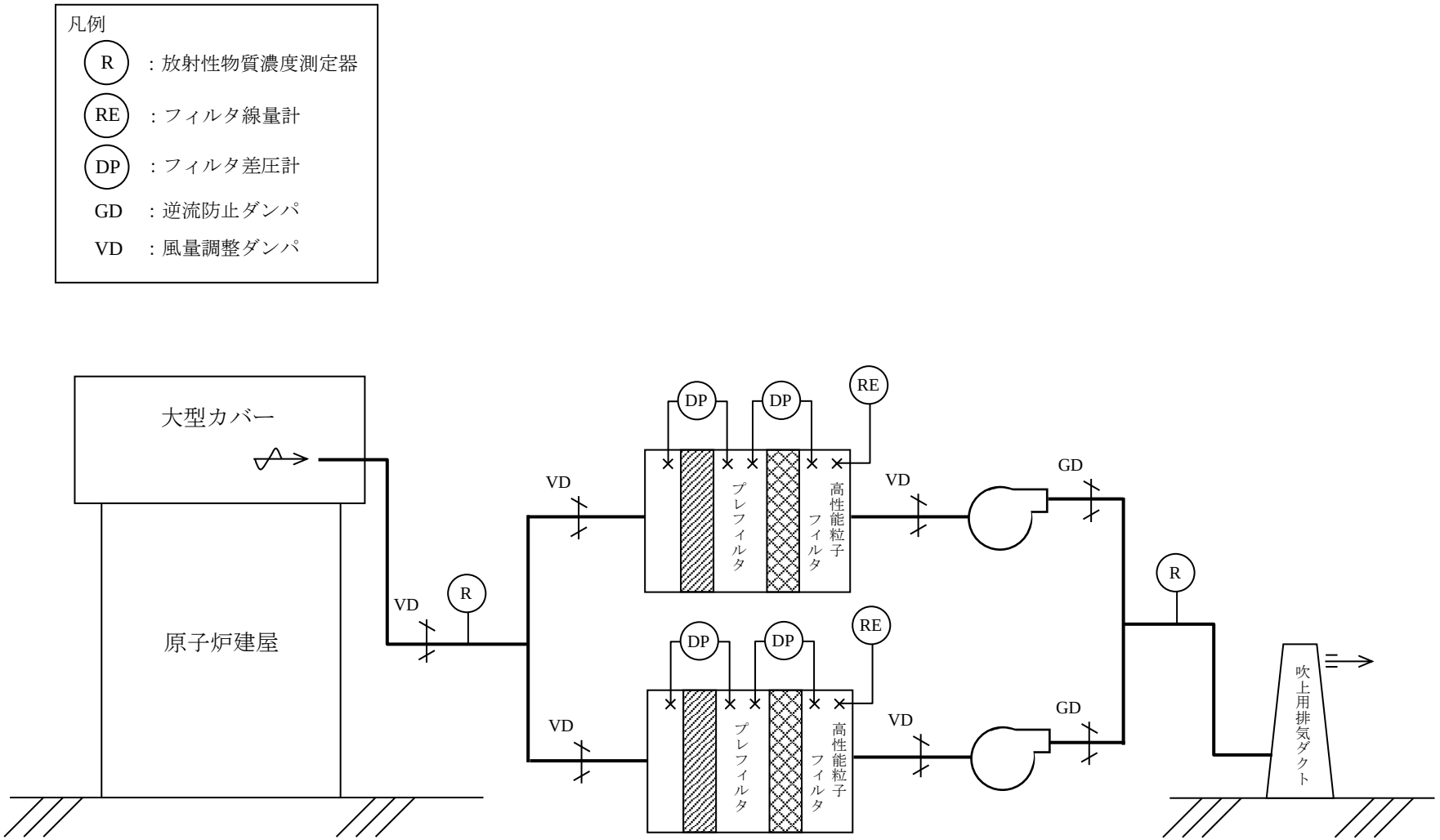

図－１　大型カバー換気設備系統図（添付３－１　図５－４再掲）

機器名称
排風機（A）
排風機（B）

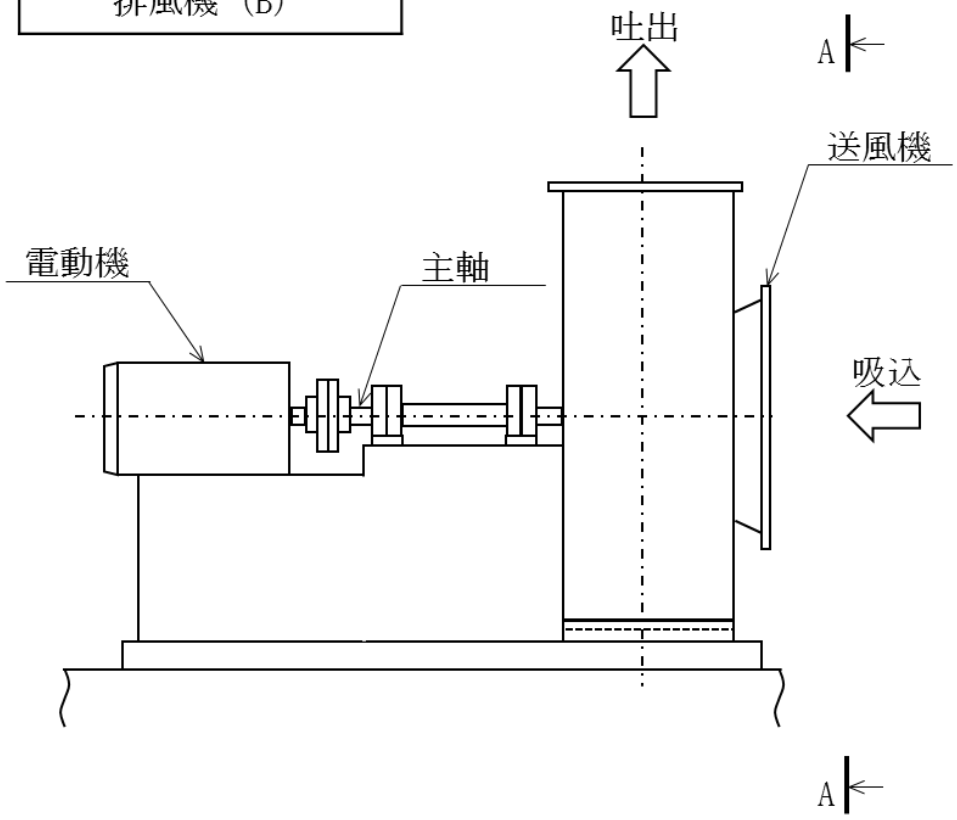

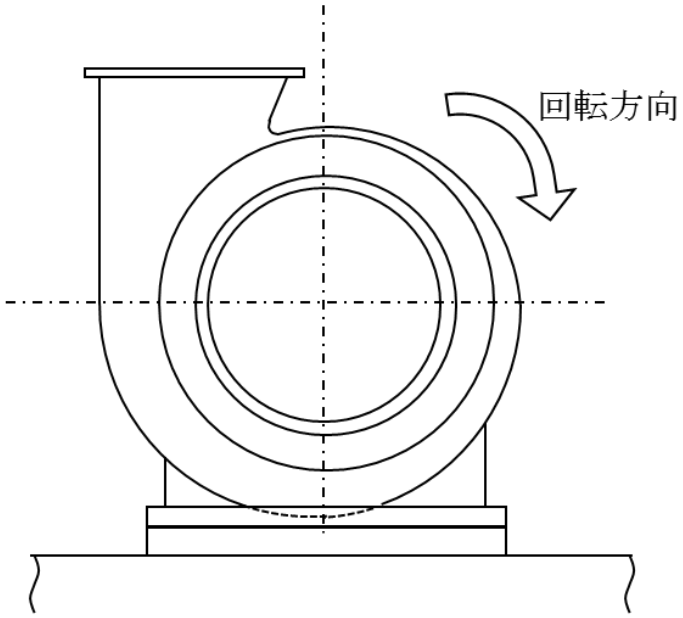

A－A矢視

図－２　排風機　外形図

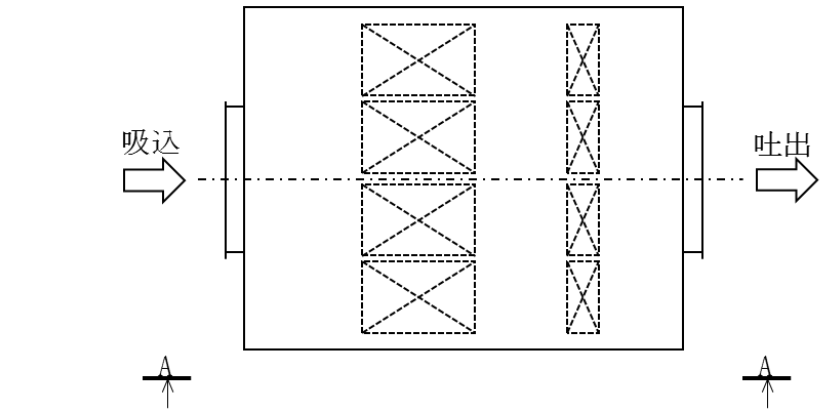

機器名称
排気フィルタユニット（A）
排気フィルタユニット（B）

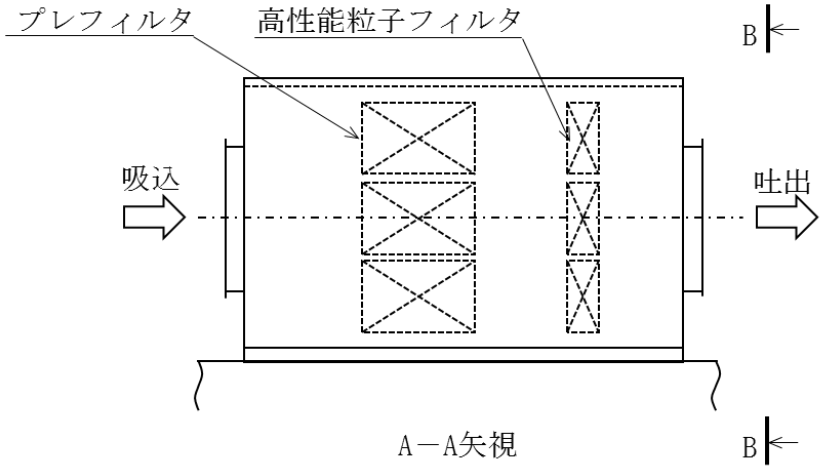

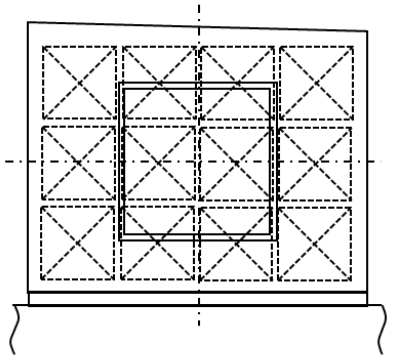

図－３　排気フィルタユニット　外形図

燃料取り出し用カバーの構造強度及び耐震性に関する説明書

1.　本説明書の記載範囲

本説明書は，１号機，２号機，３号機及び４号機燃料取り出し用カバーの構造強度及び耐震性について記載するものである。

2.　４号機燃料取り出し用カバーの構造強度及び耐震性について

2.1　概要

2.1.1　一般事項

4 号機燃料取り出し用カバーは，使用済燃料プールを覆う構造としており，クレーン支持用架構と燃料取扱機支持用架構を有し，それぞれについて構造強度と耐震性について検討を行う。なお，耐震設計上の重要度分類は，燃料取扱設備の間接支持構造物としてＢクラス相当とする。

燃料取り出し用カバーの構造強度は一次設計に対応した許容応力度設計を実施し，耐震性は基準地震動 Ss に対する地震応答解析を実施し，燃料取り出し用カバーの損傷が原子炉建屋，使用済燃料プール及び使用済燃料ラックに波及的影響を及ぼさないことを確認する。ここで，波及的影響の確認は，架構が崩壊機構に至らないことを確認する。図 2.1.1-1 に燃料取り出し用カバーのイメージを示す。

なお，一部損壊した原子炉建屋に接合される燃料取扱機支持用架構の施工前において，本説明書で想定しているように，原子炉建屋の接合部が施工に十分な状態かどうか確認した点検結果を別途報告するとともに，不具合が見つかった場合には，適切に補修等を実施する。

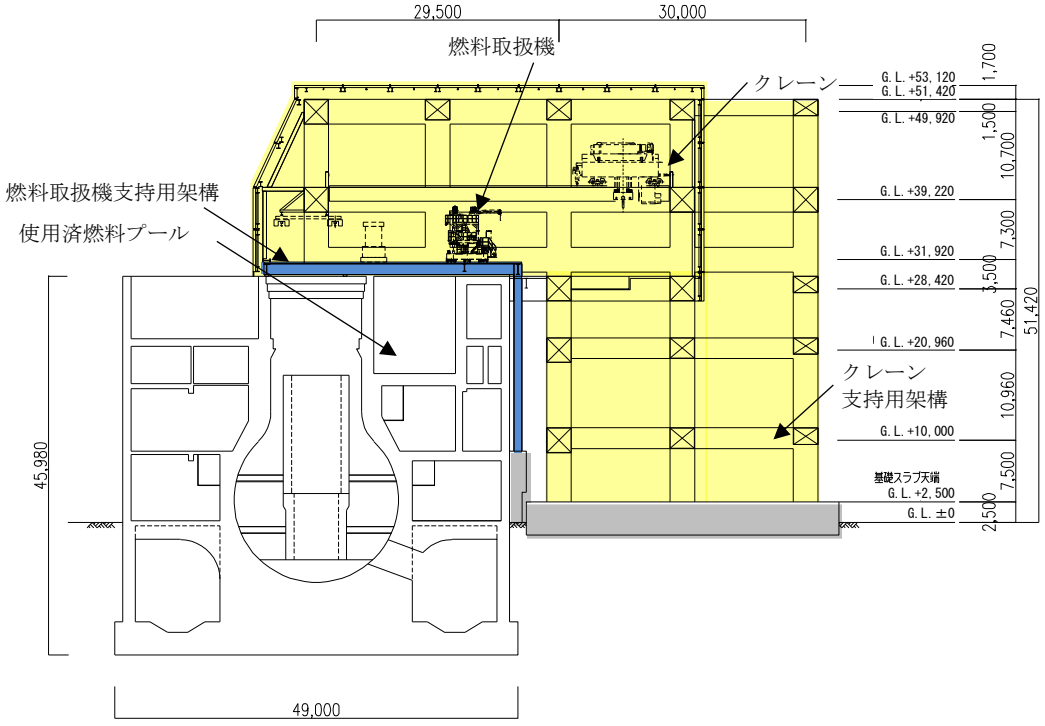

図 2.1.1-1　燃料取り出し用カバーのイメージ

燃料取り出し用カバーの検討は原則として下記の法規及び基規準類に準拠して行う。

(1) 建築基準法・同施行令及び関連告示
(2) 原子力施設鉄筋コンクリート構造計算規準・同解説（日本建築学会，2005 制定）
(3) 鉄筋コンクリート構造計算規準・同解説（日本建築学会，2010 改定）
(4) 鋼構造設計規準（日本建築学会，2005 改定）
(5) 建築基礎構造設計指針（日本建築学会，2001 改定）
(6) 2007 年版 建築物の構造関係技術基準解説書(国土交通省住宅局建築指導課･国土交通省 国土技術政策総合研究所･独立行政法人建築研究所･日本建築行政会議，2007 刊行)
(7) 鋼構造塑性設計指針（日本建築学会，1975 発行）
(8) 建築工事標準仕様書・同解説 JASS14 カーテンウォール工事（日本建築学会，1996 改定）
(9) 各種合成構造設計指針・同解説（日本建築学会，2010 改定）

また，原子力施設の設計において参照される下記の指針及び規程を参考にして検討を行う。

(1) 原子力発電所耐震設計技術指針(JEAG 4601-1987)（日本電気協会 電気技術基準調査委員会，昭和 62 年 8 月 改訂)
(2) 原子力発電所耐震設計技術指針(JEAG 4601-1991 追補版)（日本電気協会 電気技術基準調査委員会，平成 3 年 6 月 発刊)
(3) 原子力発電所耐震設計技術規程(JEAC 4601-2008)（日本電気協会 原子力規格委員会，平成 20 年 12 月 改定)
(4) 乾式キャスクを用いる使用済燃料中間貯蔵建屋の基礎構造の設計に関する技術規程（JEAC 4616-2009)（日本電気協会 原子力規格委員会，平成 21 年 12 月 制定)

添付資料－4－2 では，G.L.±0mm＝T.P.8,564(※)とする。
(※)震災後の地盤沈下量(-709mm)と，O.P.から T.P.への
読替値(-727mm)を用いて，下式に基づき換算している。
＜ 換算式 ＞ T.P.＝旧 O.P.-1,436mm

2.1.2　クレーン支持用架構

クレーン支持用架構はキャスク搬出入用の天井クレーンを支持する架構で，南北方向に 30.00m，東西方向に 25.50m，地盤面からの高さが 51.42m の柱部分と，北方向に 29.50m 跳ね出した片持ち梁部分からなる逆 L 字型の架構である。構造形式はラーメン構造で，構造種別は鉄骨造である。柱，大梁には，箱型断面部材を用いる。

基礎形式は基礎スラブによる直接基礎とし，地震時の基礎の転倒防止対策として地盤アンカーを用い，基礎スラブを支持する地盤は地盤改良により強固な支持地盤を形成する。改良地盤は既存の原子炉建屋と同様に泥岩に着底している。

クレーン支持用架構の概要を図 2.1.2-1 に，基礎スラブ及び改良地盤の概要を図 2.1.2-2 に示す。

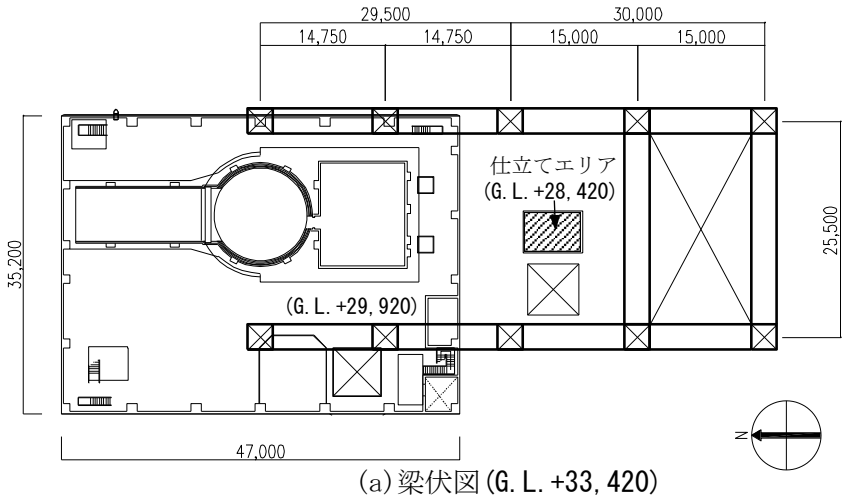

(a)梁伏図(G.L.+33,420)

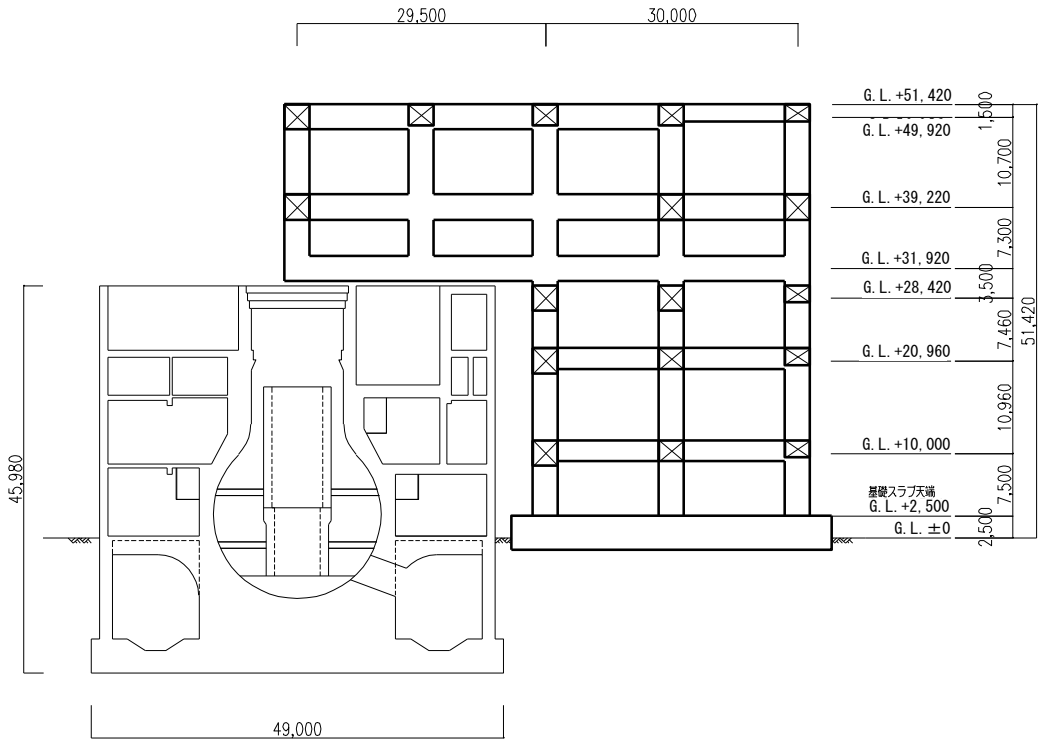

(b) 軸組図

図 2.1.2-1　クレーン支持用架構の概要（単位：mm）

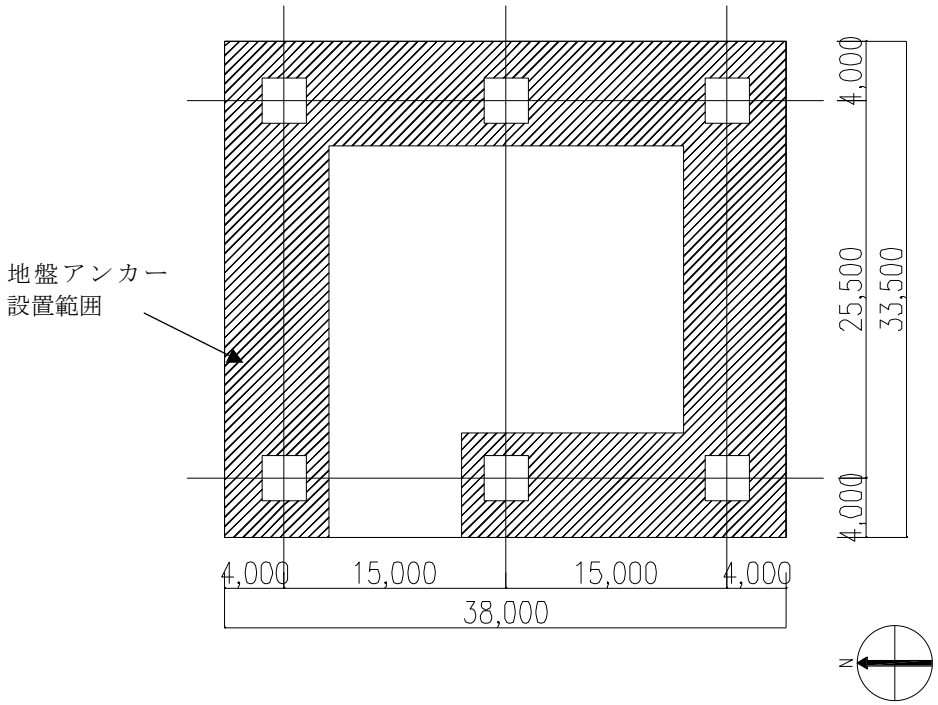

(a) 基礎伏図

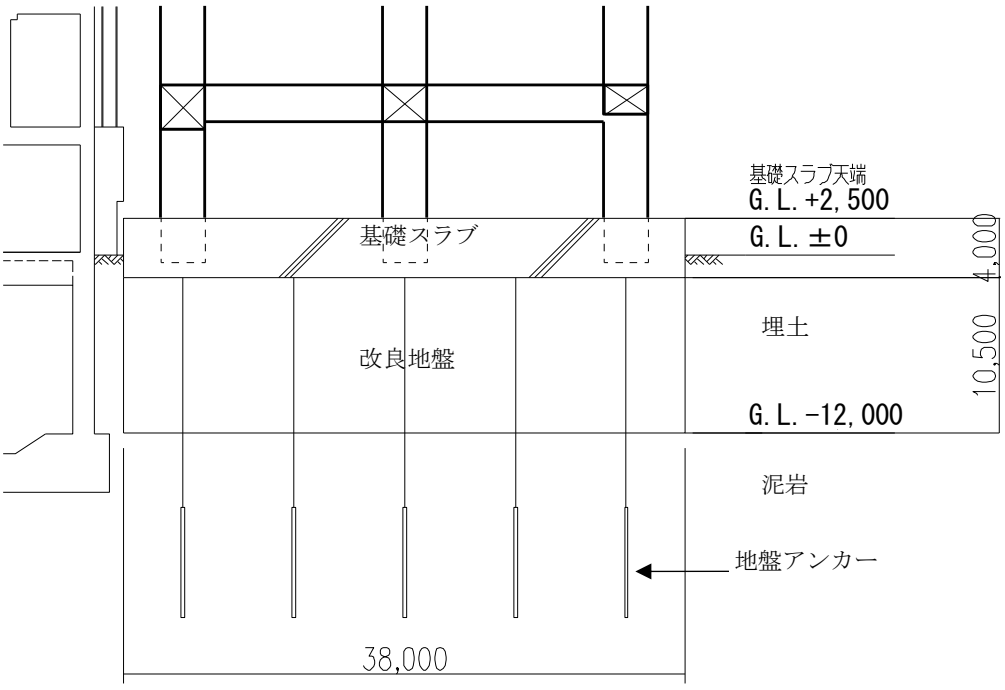

(b) 基礎断面図

図 2.1.2-2　基礎スラブ及び改良地盤の概要（単位：mm）

2.1.3　燃料取扱機支持用架構

燃料取扱機支持用架構は燃料取扱機を支持する架構で，南北方向に 30.50m，東西方向に 13.36m，地盤面からの高さが 30.77m の柱及び梁からなる逆 L 字型の架構である。構造形式はラーメン構造で，構造種別は鉄骨造である。

支持形式は，原子炉建屋シェル壁上端及び 1 階から 2 階の南側外壁に支持する構造である。燃料取扱機支持用架構の概要を図 2.1.3-1(1)及び図 2.1.3-1(2)に示す。

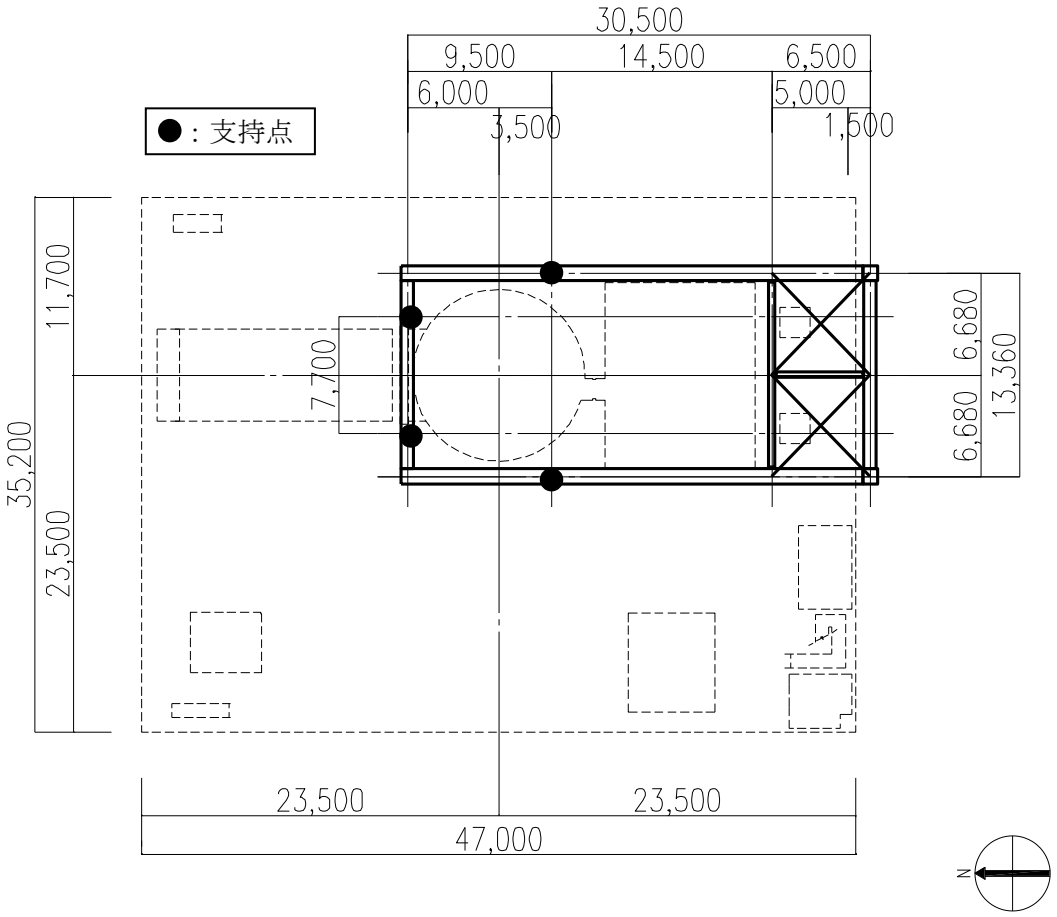

図 2.1.3-1(1)　燃料取扱機支持用架構の概要(梁伏図（G.L.+31,420））（単位：mm）

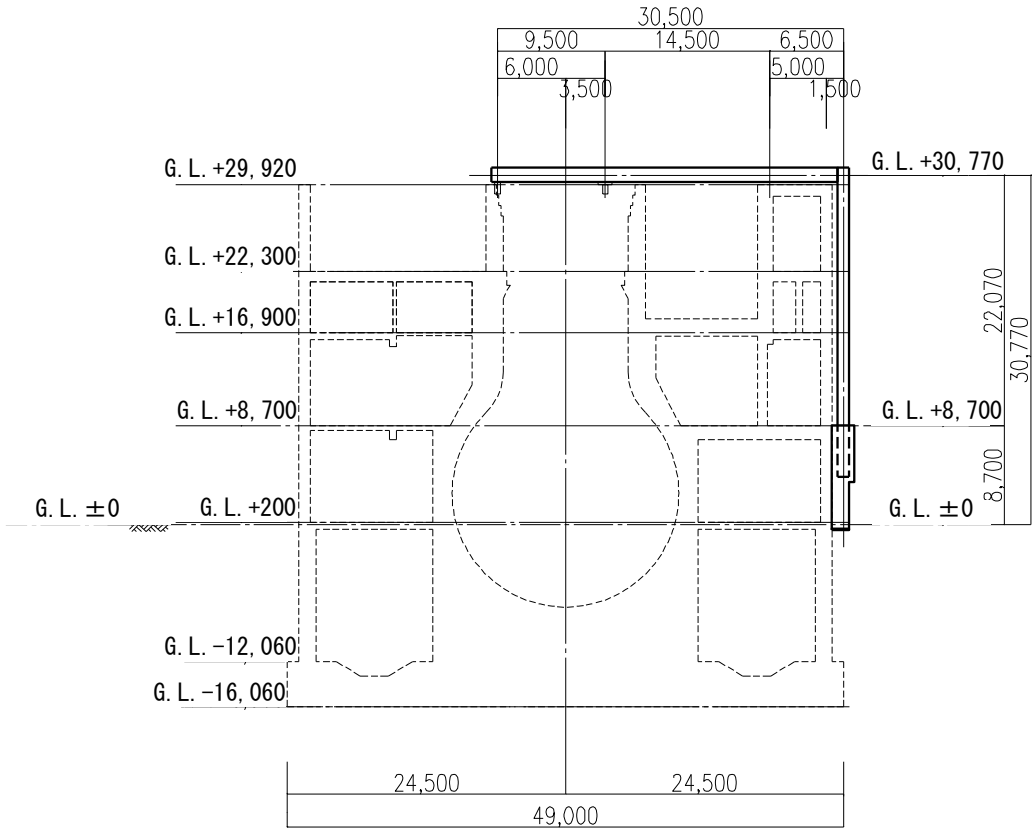

(a)断面図

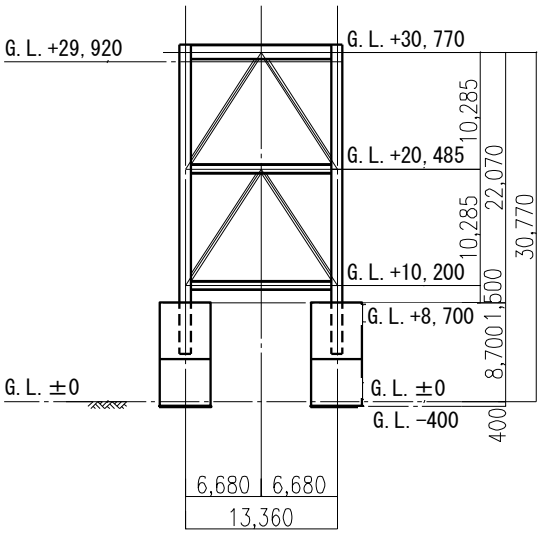

(b)立面図

図 2.1.3-1(2)　燃料取扱機支持用架構の概要（単位：mm）

2.2　クレーン支持用架構の構造強度及び耐震性について

クレーン支持用架構の構造強度及び耐震性の検討フローを図 2.2-1 に示す。

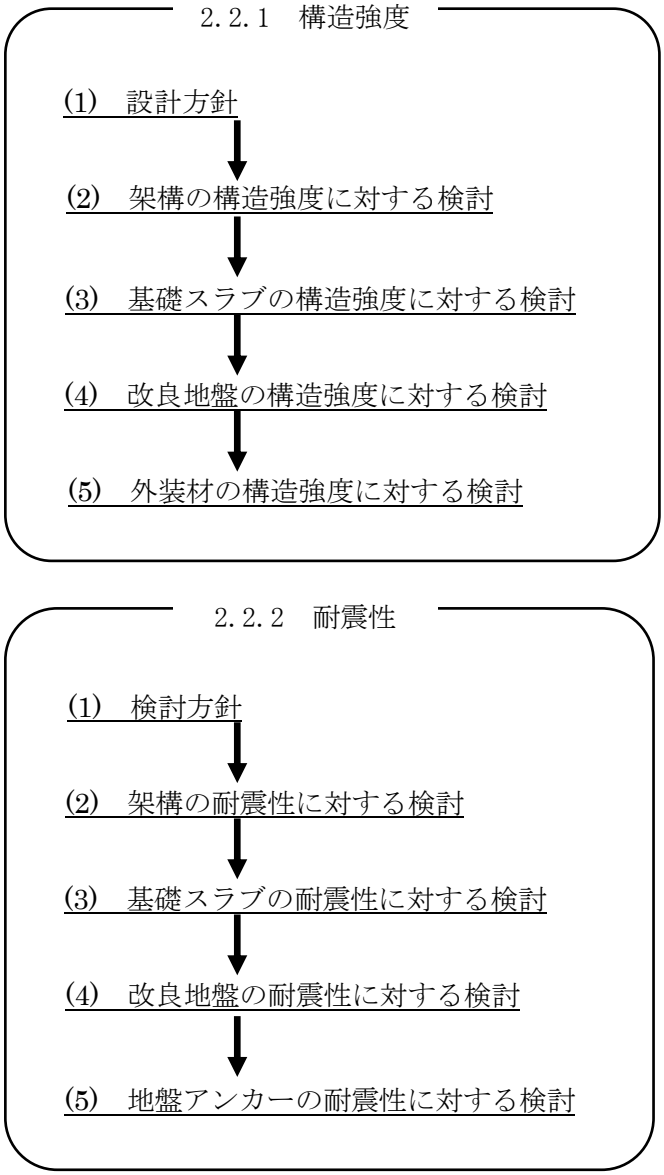

図 2.2-1　クレーン支持用架構の検討フロー

2.2.1　構造強度

(1)　設計方針

構造強度の検討は，クレーン支持用架構，基礎スラブ，改良地盤及び外装材について許容応力度設計を実施する。

1)　使用材料及び許容応力度

使用材料の物性値及び許容応力度を表 2.2.1-1(1)及び表 2.2.1-1(2)に示す。

表 2.2.1-1(1)　クレーン支持用架構の物性値及び許容応力度

材料定数

部位	材料	ヤング係数 E（N/mm²）	ポアソン比 ν	単位体積重量 γ（kN/m³）
架　　構	鉄骨	2.05×10^5	0.3	77.0
基礎スラブ	コンクリート	2.44×10^4	0.2	24.0

コンクリートの許容応力度　（単位：N/mm²）

	長期			短期		
設計基準強度＝30	圧縮	引張	せん断	圧縮	引張	せん断
	10.0	－	0.790	20.0	－	1.185

鉄筋の許容応力度　（単位：N/mm²）

記号	鉄筋径	長期		短期	
		引張及び圧縮	せん断補強	引張及び圧縮	せん断補強
SD345	D29 未満	215	195	345	345
	D29 以上	195			
SD390	D29 未満	215	195	390	390
	D29 以上	195			

構造用鋼材の許容応力度　（単位：N/mm²）

板厚	材料	基準強度 F	許容応力度
T≦40mm	SS400，SN400B	235	「鋼構造設計規準」に従い，左記 F の値より求める
T＞40mm	SN400B	215	
T≦40mm	SM490A，SN490B	325	
T≦40mm	SM520B	355	

表 2.2.1-1(2)　改良地盤，支持地盤の物性値及び許容応力度

改良地盤の許容応力度　（単位：kN/m²）

設計基準強度=2300*1	長期			短期		
	圧縮	引張	せん断	圧縮	引張	せん断
改良地盤	766	－	153	1533	－	306
断面欠損を考慮*2	750	－	114	1502	－	229

*1：施工結果を反映した

*2：「JEAC4616-2009」に準拠し，断面欠損を鉛直方向に 2%，せん断方向に 25%考慮した

支持地盤の許容支持力度　（単位：kN/m²）

種別	長期*1	短期*1
泥岩（岩盤）	1960	3920

*1：「福島第一原子力発電所第４号機工事計画認可申請書」による

2)　荷重及び荷重組合せ

設計で考慮する荷重を以下に示す。

・鉛直荷重（VL）

クレーン支持用架構に作用する鉛直方向の荷重で，固定荷重，機器荷重，配管荷重，積載荷重及び地盤アンカーの効果を考慮した荷重とする。

・クレーン荷重（CL）

天井クレーンによる荷重を表 2.2.1-2 に示す。

表 2.2.1-2　クレーン荷重一覧表

クレーン自重	1666 kN
トロリ自重	1010 kN
吊荷	980 kN

・積雪荷重（SL）

積雪荷重は建築基準法施行令及び福島県建築基準法施行規則細則に準拠し以下の条件とする。

積雪量：30cm，単位荷重：20N/m²/cm

・風圧力（WL）

風圧力は建築基準法施行令第 87 条および建設省告示第 1454 号に基づき，基準風速を 30m/s，地表面粗度区分Ⅱとして算定する。速度圧の算定結果を表 2.2.1-3 に示す。

表 2.2.1-3　速度圧の算定結果

建物高さ* H (m)	平均風速の 鉛直分布係数 Er	ガスト 影響係数 Gf	建物高さと粗度 区分による係数 E	基準風速 Vo (m/s)	速度圧 q (N/m²)
52.73	1.28	2.00	3.28	30	1769

＊：　建物高さは，軒高さ（52.34m）と最高高さ（53.12m）の平均値とした

・地震荷重（K）

水平地震力はG.L.±0mを基準面として，下式により算定し，算定結果を表2.2.1-4に示す。

$$Qi=n \cdot Ci \cdot Wi$$
$$Ci=Z \cdot Rt \cdot Ai \cdot Co$$

ここで，

Qi ：水平地震力（kN）

n ：施設の重要度に応じた係数（n=1.5）

建築基準法で定める地震力の1.5倍を考慮する。

Ci ：地震層せん断力係数

Wi：当該部分が支える重量（kN）

Z ：地震地域係数（Z=1.0）

Rt ：振動特性係数（Rt=1.0）

Ai ：地震層せん断力係数の高さ方向の分布係数で，クレーン支持用架構の固有値を用いたモーダル法（二乗和平方根法）により求める。

C_0 ：標準せん断力係数（C_0=0.2）

表2.2.1-4　水平地震力の算定結果

階	G.L.(m)	各階重量 (kN)	Wi (kN)	Ai		n・Ci		Qi (kN)	
				NS方向	EW方向	NS方向	EW方向	NS方向	EW方向
R	+51.42	10569	－	－	－	－	－	－	－
6	+40.72～+51.42	13780	10569	1.443	1.477	0.433	0.443	4576	4683
5	+33.42～+40.72	5195	24349	1.302	1.328	0.391	0.398	9514	9702
4	+29.92～+33.46	9019	29544	1.254	1.272	0.376	0.382	11118	11271
3	+22.46～+29.92	5782	38563	1.183	1.187	0.355	0.356	13685	13730
2	+11.50～+22.46	6390	44345	1.113	1.114	0.334	0.334	14807	14818
1	+2.50～+11.50	－	50735	1.000	1.000	0.300	0.300	15221	15221

・荷重組合せ

設計で考慮するクレーンの位置を図 2.2.1-1 に，荷重組合せを表 2.2.1-5 に示す。

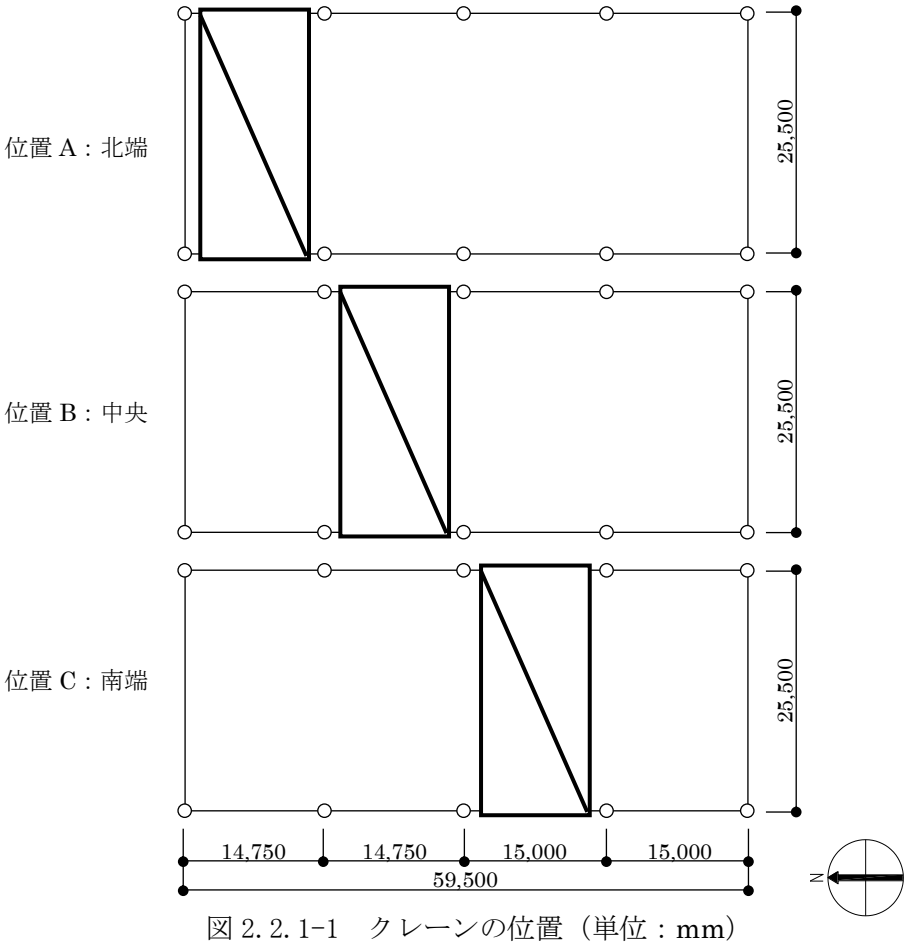

図 2.2.1-1　クレーンの位置（単位：mm）

表 2.2.1-5　クレーン支持用架構の荷重組合せ

想定する状態	荷重ケース	荷重組合せ内容	許容応力度
常時	C	VL+CL*1	長期
積雪時*3	S	VL+CL*1+SL	短期
暴風時*3	W	VL+CL*1+WL	
地震時	E1	VL+CL*1+K(＋NS)*2	
	E2	VL+CL*1+K(－NS)*2	
	E3	VL+CL*1+K(＋EW)*2	
	E4	VL+CL*1+K(－EW)*2	

*1：　吊荷重量は，常時，積雪時及び暴風時はクレーン位置，地震時は仕立てエリアにて考慮する。

*2：　地震荷重は NS 方向及び EW 方向を考慮する。

*3：　短期事象では地震時が支配的であることから，積雪時及び暴風時の検討は省略する。ただし，外装材の検討は暴風時が支配的であることから暴風時に対し検討を行う。

なお，地震時と暴風時のクレーン支持用架構の層せん断力について，風荷重の受圧面積が最大になる EW 方向で比較した結果を図 2.2.1-2 に示す。図 2.2.1-2 より，地震時の層せん断力は暴風時の層せん断力を包絡しており，支配的な荷重である。

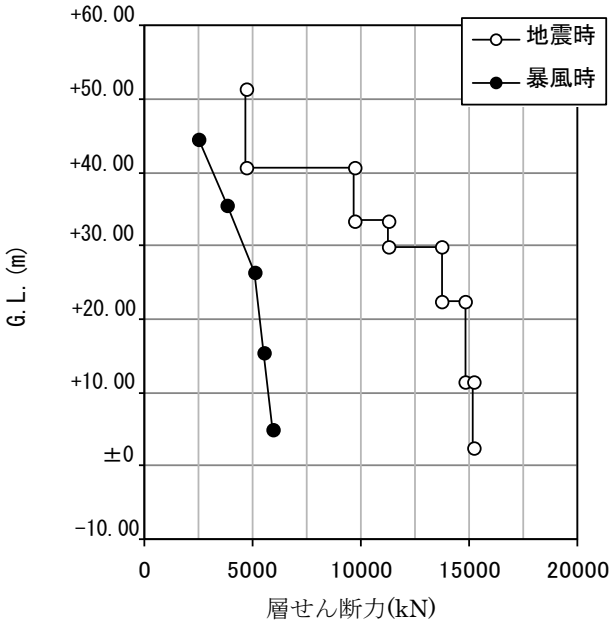

図 2.2.1-2　地震時と暴風時の層せん断力の比較

(2)　架構の構造強度に対する検討

1)　解析モデル

クレーン支持用架構の解析モデルは，基礎スラブ厚中央（G.L.+0.5m）より上部を立体架構モデルとし，柱及び梁の部材端部の条件は剛接，柱脚部は基礎下でピン支持とする。解析モデル，部材寸法及び応力検討箇所を図 2.2.1-3 に示す。ここに，使用する材質は SM490A とする。

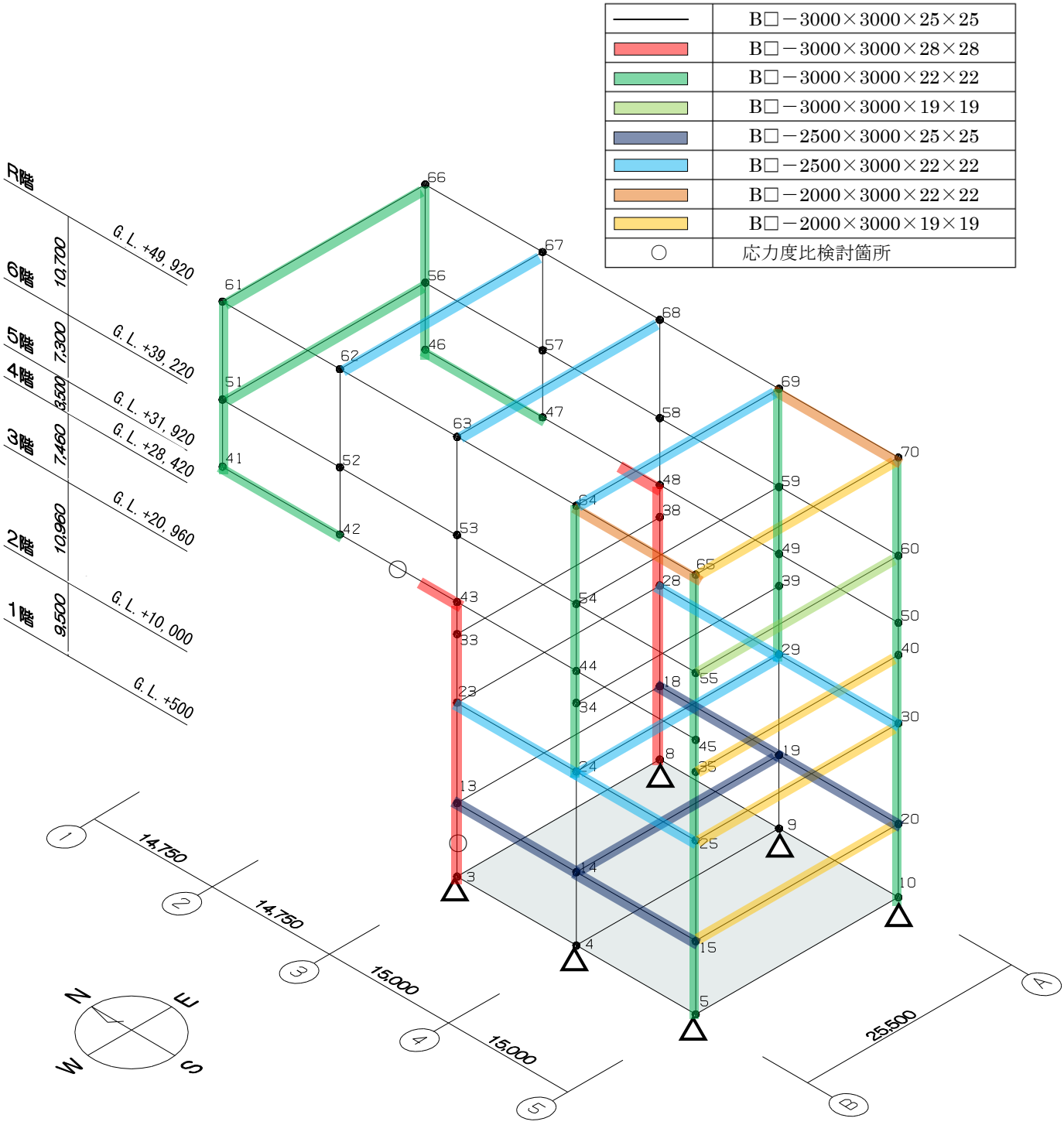

図 2.2.1-3　解析モデル図（単位：mm）

2)　断面検討

応力解析結果を用い，断面検討は二方向の曲げを図 2.2.1-4 に示すように考慮する。

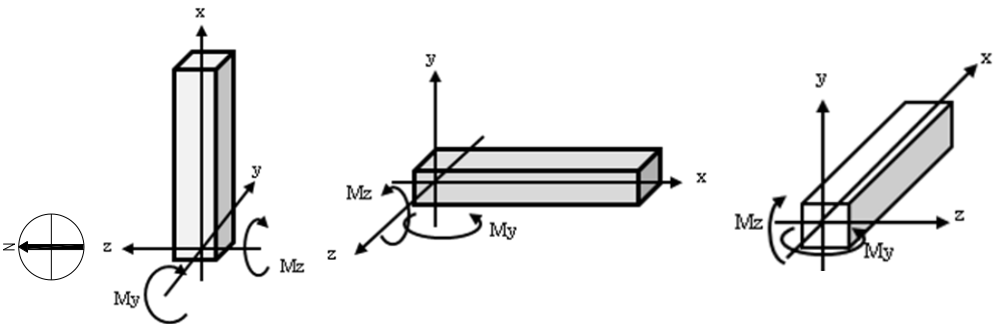

柱要素　　NS 方向梁要素　　EW 方向梁要素

図 2.2.1-4　曲げモーメントの方向

応力度比の検討は「鋼構造設計規準」に従い，軸力及び曲げモーメントに対する検討は下式にて行う。

・軸圧縮の場合　　$\dfrac{\sigma_c}{f_c}+\dfrac{\sigma_{bz}+\sigma_{by}}{f_b}\leqq 1$

・軸引張の場合　　$\dfrac{\sigma_c+\sigma_{bz}+\sigma_{by}}{f_t}\leqq 1$

ここで，

σ_c：軸応力度（=N／A）

N：軸力，A：断面積

σ_{bz}：部材 z 軸方向曲げ応力度（＝M_z／Z_z）

M_z，Z_z：部材 z 軸回りモーメント及び断面係数

σ_{by}：部材 y 軸方向曲げ応力度（＝M_y／Z_y）

M_y，Z_y：部材 y 軸回りモーメント及び断面係数

f_c：許容圧縮応力度

f_b：許容曲げ応力度

f_t：許容引張応力度

また，せん断力に対する検討は下式にて行う。

$$\frac{\sqrt{(\sigma_c+\sigma_{bz}+\sigma_{by})^2+3\tau_z^{\,2}}}{f_t}\leqq 1 \quad \text{かつ} \quad \frac{\sqrt{(\sigma_c+\sigma_{bz}+\sigma_{by})^2+3\tau_y^{\,2}}}{f_t}\leqq 1$$

ここで，

τ_z：部材 z 軸方向せん断応力度（＝Q_z／A_{wz}）

Q_z，A_{wz}：部材 z 軸方向せん断力及びせん断断面積

τ_y：部材 y 軸方向せん断応力度（＝Q_y／A_{wy}）

Q_y，A_{wy}：部材 y 軸方向せん断力及びせん断断面積

表 2.2.1-6 及び表 2.2.1-7 に応力度比が最大となる部位の断面検討結果を示す。

断面検討の結果，全ての部材に対する応力度比が 1 以下になることを確認した。

表 2.2.1-6　断面検討結果（常時）

部位	検討箇所	部材形状 (mm)	荷重ケース (位置)*1	作用応力度 (N/mm²)		許容応力度 (N/mm²)	応力度比	判定
柱	1 階 3-B	B□-3000×3000 ×28×28	C (A)	曲げ Mz	37.3	216.7	0.52	OK
				曲げ My	8.4	216.7		
				圧縮 N	65.1	213.6		
				せん断 Qz	0.8	125.1		
				せん断 Qy	8.9	125.1		
梁	5 階 2-3/B	B□-3000×3000 ×28×28	C (A)	曲げ Mz	93.0	216.7	0.55	OK
				曲げ My	0.4	216.7		
				圧縮 N	19.2	214.1		
				せん断 Qz	0.4	125.1		
				せん断 Qy	20.1	125.1		

*1：クレーンの位置を示す

表 2.2.1-7　断面検討結果（地震時）

部位	検討箇所	部材形状 (mm)	荷重ケース (位置)*1	作用応力度 (N/mm²)		許容応力度 (N/mm²)	応力度比	判定
柱	1 階 3-B	B□-3000×3000 ×28×28	E3 (A)	曲げ Mz	160.6	325.0	0.86	OK
				曲げ My	31.9	325.0		
				圧縮 N	79.5	320.4		
				せん断 Qz	7.9	187.6		
				せん断 Qy	37.1	187.6		
梁	5 階 2-3/B	B□-3000×3000 ×28×28	E3 (A)	曲げ Mz	93.1	325.0	0.55	OK
				曲げ My	58.9	325.0		
				圧縮 N	20.0	321.1		
				せん断 Qz	8.3	187.6		
				せん断 Qy	20.5	187.6		

*1：クレーンの位置を示す

(3)　基礎スラブの構造強度に対する検討

1)　解析モデル

基礎スラブの応力解析は，弾性地盤上に支持された版として有限要素法を用いて行い，解析モデルは図 2.2.1-5 に示すように四辺形の均質等方な板要素により構成し，支持地盤は等価な弾性ばねとしてモデル化する。

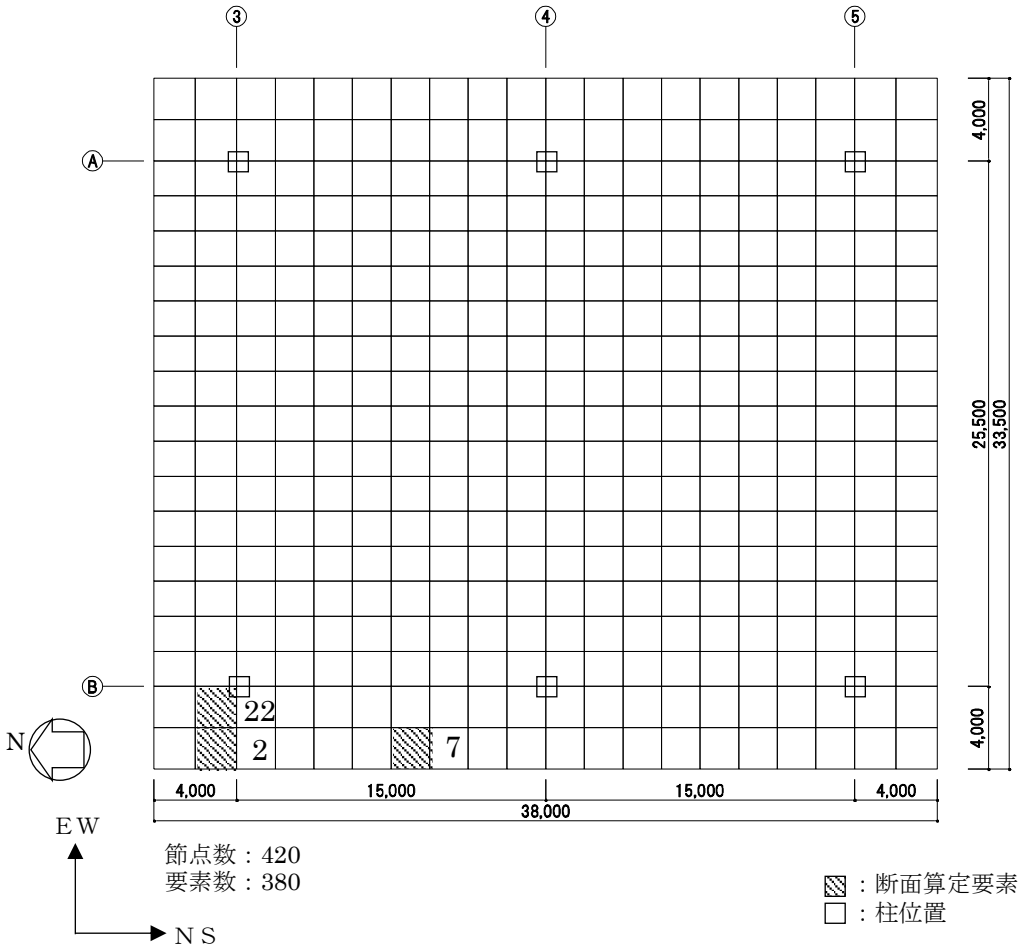

図 2.2.1-5　解析モデル図（単位：mm）

2)　断面検討

組合せた応力より，各要素の必要鉄筋比を「原子力施設鉄筋コンクリート構造計算規準・同解説」より求め，設計配筋が必要鉄筋比を上回ること及び面外せん断力が許容せん断力以下であることを確認する。必要鉄筋比が最大となる要素と設計面外せん断力と許容せん断力との比が最大になる要素の断面検討結果を表 2.2.1-8 に示し，必要鉄筋比が最大となる要素を含む EW 方向の配筋図を図 2.2.1-6 に示す。

断面検討の結果，設計配筋は必要鉄筋比を上回り，また面外せん断力は許容せん断力以下であることを確認した。

表 2.2.1-8　基礎スラブの断面算定表

要素番号	方向	荷重ケース(位置)*1	設計応力 N*2 (kN/m)	設計応力 M (kN･m/m)	N/(b･D) *2 (×10⁻²N/mm²)	M/(b･D²) (×10⁻²N/mm²)	Pt (%)	at (mm²/m)	設計配筋 上段：上端筋 [断面積 mm²/m] (pt:%) 下段：下端筋 [断面積 mm²/m] (pt:%)	荷重ケース(位置)*1	設計面外せん断力 Q (kN/m)	許容せん断力 fs･b･j (kN/m)	判定
2	NS	C(A)	-53	2397	-1.4	15.0	0.09	3600	D38@200+D38@400 [8550] (0.21)	C(C)	126	2627	OK
		E3(A)	-264	2643	-6.6	16.6	0.06	2400	D38@200+D38@400 [8550] (0.21)	E1(C)	215	3940	OK
	EW	C(A)	16	1589	0.4	10.0	0.06	2400	3-D38@200 [17100] (0.43) 2-D38@200 [11400] (0.29)	C(A)	1583	2627	OK
		E3(A)	110	2111	2.8	13.2	0.03	1200		E3(A)	1925	3940	OK
7	NS	C(A)	47	3678	1.2	23.0	0.13	5200	D38@200+D38@400 [8550] (0.21)	C(C)	245	2627	OK
		E2(A)	29	3932	0.8	24.6	0.07	2800	1-D38@200 [5700] (0.14)	E2(C)	396	3940	OK
	EW	C(C)	-2	40	-0.1	0.3	0.00	0	1-D38@200 [5700] (0.14)	C(B)	135	2627	OK
		E4(A)	-26	112	-0.7	0.7	0.00	0	1-D38@200 [5700] (0.14)	E2(A)	154	3940	OK
22	NS	C(A)	13	2582	0.4	16.2	0.09	3600	D38@200+D38@400 [8550] (0.21)	C(C)	104	2627	OK
		E2(A)	239	4038	6.0	25.3	0.06	2400	D38@200+D38@400 [8550] (0.21)	E1(C)	541	3940	OK
	EW	C(A)	77	2818	2.0	17.7	0.10	4000	3-D38@200 [17100] (0.43) 2-D38@200 [11400] (0.29)	C(C)	575	2627	OK
		E3(A)	470	4754	11.8	29.8	0.07	2800		E4(A)	1227	3940	OK

＊1：クレーンの位置を示す
＊2：圧縮を正とする

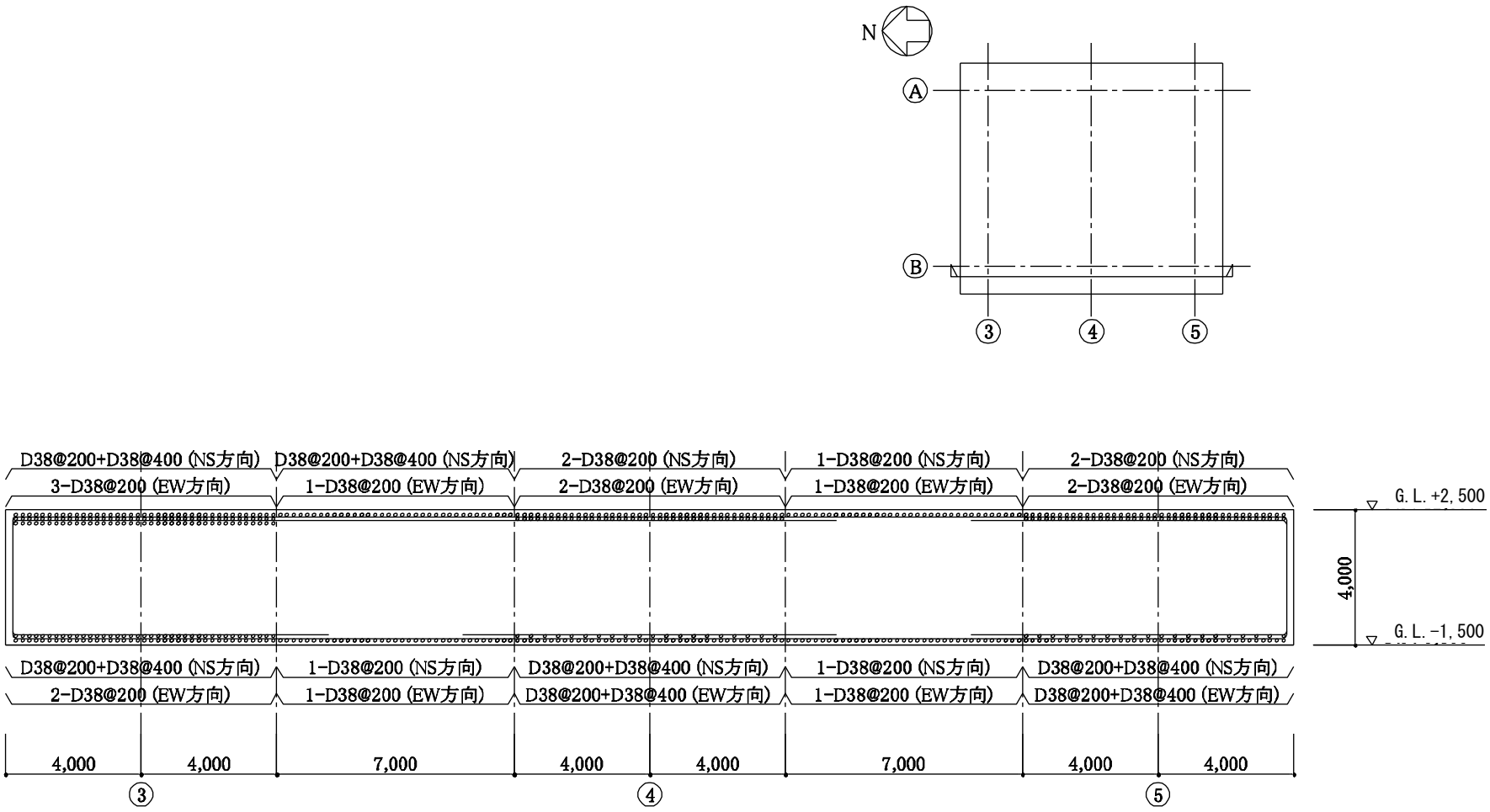

図 2.2.1-6　基礎スラブの配筋図（B 通り）（単位：mm）

(4)　改良地盤の構造強度に対する検討

1)　設計方針

クレーン支持用架構を支持する改良地盤は，基礎スラブ直下の地盤を南北方向に 38.0m，東西方向に 33.5m，改良厚さ 10.5m とし，G.L.-12.0mの泥岩に支持する。検討は「JEAC4616-2009」に準拠し，常時及び地震時の改良地盤に生じる最大応力が許容応力度以下であることを確認する。さらに，改良地盤直下の支持地盤の支持力に対して，常時及び地震時の改良地盤に生じる最大接地圧が許容支持力度以下であることを確認する。

2)　常時に対する検討

・改良地盤の検討

常時において，改良地盤底面に生じる最大接地圧が改良地盤の長期許容圧縮応力度以下であることを確認する。図 2.2.1-7 に作用荷重を示す。

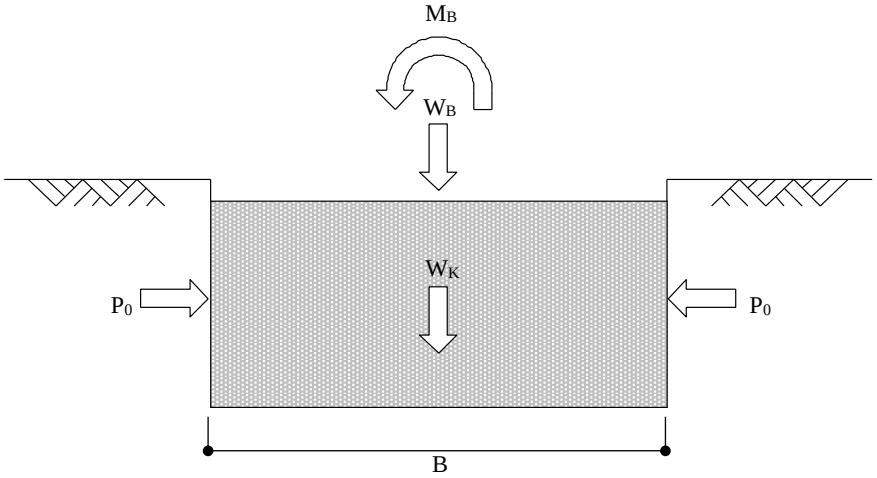

W_B：架構荷重＋基礎スラブ荷重＋地盤アンカー荷重

W_K：改良地盤の自重

M_B：架構の偏心による転倒モーメント

P_o：長期設計用土圧

B：改良幅

図 2.2.1-7　作用荷重（常時）

改良地盤の荷重負担範囲は，面積 A=1273m^2，断面係数 Z=8062m^3 となり，改良地盤底面に生じる最大接地圧は下式にて求める。

鉛直力の合計　　$\Sigma W=W_B+W_K=607373kN$

転倒モーメントの合計　　$\Sigma M=M_B=666480kNm$

改良地盤の最大接地圧　　$q_r=\Sigma W/A+\Sigma M/Z=560kN/m^2$

改良地盤に生じる最大接地圧（q_r）は，改良地盤の長期許容圧縮応力度（$_Lf_{sc}$）以下であることを確認した。

$q_r=560kN/m^2 \leqq {}_Lf_{SC}=750kN/m^2$

・支持力の検討

改良地盤底面に生じる最大接地圧（q_r）が，改良地盤直下の支持地盤の長期許容支持力度（$_Lq_a$）以下であることを確認した。

改良地盤の最大接地圧　　$q_r=560kN/m^2$

支持地盤の長期許容支持力度　$_Lq_a=1960\ kN/m^2$

$q_r=560kN/m^2 \leqq {}_Lq_a=1960\ kN/m^2$

・沈下の検討

支持地盤は泥岩（岩盤）であるため，沈下の検討は不要である。

3)　地震時に対する検討

・改良地盤の検討

地震時において，改良地盤底面の最大接地圧及びせん断応力が，改良地盤の短期許容応力度以下であることを確認する。図 2.2.1-8 に作用荷重を示す。

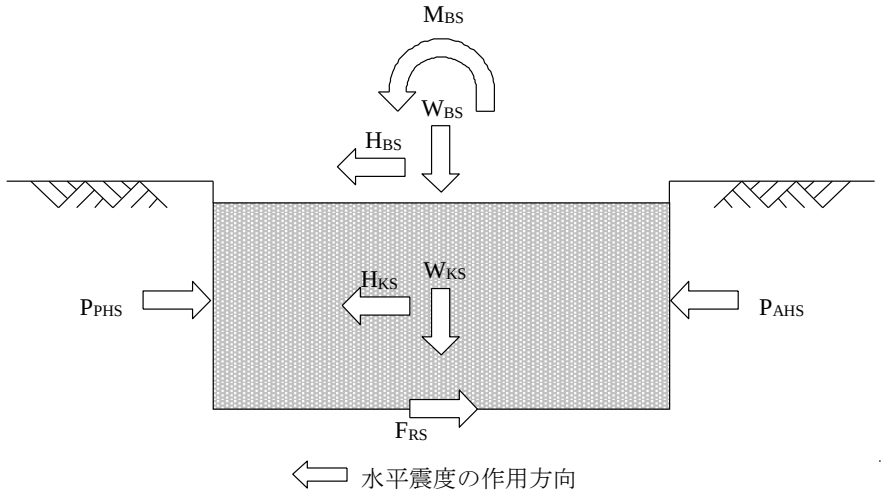

W_{BS}：架構荷重＋基礎スラブ荷重＋地盤アンカー荷重

W_{KS}：改良地盤の自重

H_{BS}：架構による水平力＋基礎スラブによる水平力

M_{BS}：架構と基礎スラブによる改良地盤底面における転倒モーメント

H_{KS}：改良地盤の慣性力（地中震度 0.15）

P_{AHS}：地震時主働土圧による水平力

P_{PHS}：地震時受働土圧による水平力

F_{RS}：支持地盤のせん断抵抗力

図 2.2.1-8　作用荷重（地震時）

改良地盤の荷重負担範囲は，面積 $A=1273m^2$，断面係数 $Z=8062m^3$ となり，改良地盤底面の最大接地圧（q_{1S}）及び最大せん断応力（τ_{max}）は下式にて求める。

鉛直力の合計　$\Sigma W=W_{BS}+W_{KS}=607373kN$

水平力の合計　$\Sigma H= H_{BS}+H_{KS}+P_{AHS}+P_{PHS}=94687kN$

転倒モーメントの合計　$\Sigma M=M_{BS}+M_{KS}+M_{AHS}+M_{PHS}=1944139kNm$

ここに，　M_{KS} ：改良地盤の転倒モーメント

M_{AHS}：地震時主働土圧による転倒モーメント

M_{PHS}：地震時受働土圧による転倒モーメント

改良地盤底面の最大接地圧　$q_{1S}=\Sigma W/A+\Sigma M/Z=719kN/m^2$

改良地盤底面の最大せん断応力　$\tau_{max}=1.2\times\Sigma H/A=90kN/m^2$

改良地盤底面の最大接地圧（q_{1S}）及び最大せん断応力（τ_{max}）は短期許容応力度（${}_sf_{sc}$ 及び ${}_sf_{ss}$）以下であることを確認した。

$q_{1S}=719kN/m^2 \leqq {}_sf_{SC}=1502\ kN/m^2$

$\tau_{max}=90kN/m^2 \leqq {}_sf_{SS}=229\ kN/m^2$

・支持力の検討

改良地盤底面に生じる最大接地圧（q_{1S}）が，改良地盤直下の支持地盤の短期許容支持力度（${}_sq_a$）以下であることを確認した。

改良地盤の最大接地圧　$q_{1S}=719kN/m^2$

支持地盤の短期許容支持力度　${}_sq_a=3920\ kN/m^2$

$q_{1S}=719kN/m^2 \leqq {}_sq_a=3920\ kN/m^2$

(5)　外装材の構造強度に対する検討

1)　設計方針

クレーン支持用架構の屋根面及び側面を覆う外装材は，鋼板パネルを用いる。設計荷重は暴風時の影響が支配的であることから積雪時及び地震時の検討は省略し，暴風時の応力が短期許容応力度以下になることを確認する。なお，許容応力度は製造メーカの推奨値を，屋根面のたわみは「鋼板製屋根構法標準（SSR2007)」(社団法人日本金属屋根協会，2007)，壁面のたわみは「建築工事標準仕様書・同解説　JASS14　カーテンウォール工事」に準じて設定した。

2)　設計用荷重

設計用風圧力は，建築基準法施行令第 82 条の 4 および建設省告示第 1458 号に基づき，基準風速 30m/s，地表面粗度区分Ⅱとして算定する。速度圧の算定結果を表 2.2.1-9 に，ピーク風力係数を表 2.2.1-10 に，風力係数の算定箇所を図 2.2.1-9 に示す。

表 2.2.1-9　速度圧の算定結果

建物高さ* H (m)	平均風速の鉛直分布係数 Er	基準風速 Vo (m/s)	平均速度圧 $\bar{q}$ (N/m²)
52.73	1.28	30	885

＊：　建物高さは，軒高さ（52.34m）と最高高さ（53.12m）の平均値とした

表 2.2.1-10　ピーク風力係数

建物高さ* H (m)	屋根面			壁面	
	一般部	周縁部	隅角部	一般部	隅角部
52.73	-2.5	-3.2	-4.3	-2.11	-2.62

＊：　建物高さは，軒高さ（52.34m）と最高高さ（53.12m）の平均値とした

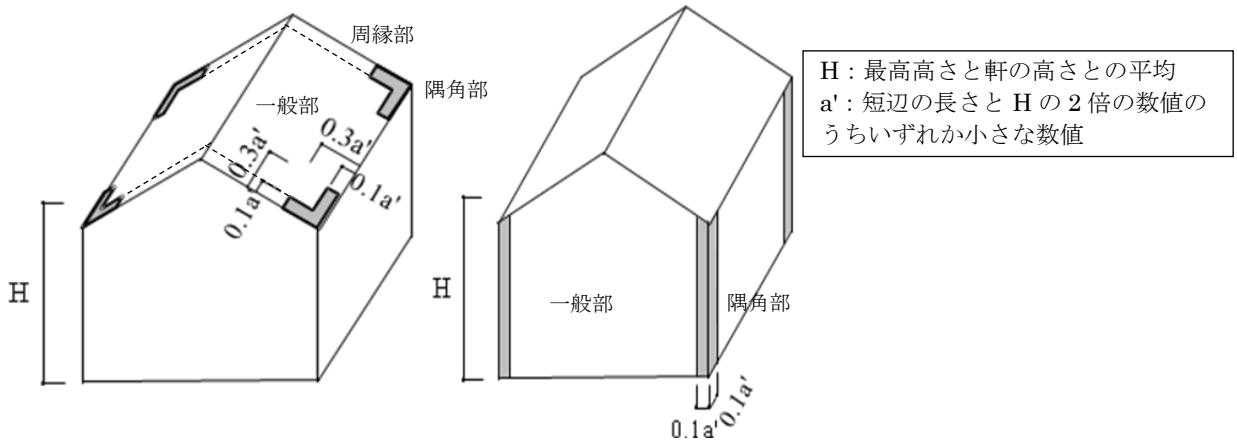

図 2.2.1-9　風力係数の算定箇所のイメージ

3)　外装材の強度検討

検討は応力が厳しくなる図 2.2.1-9 に示す隅角部について行う。ここでは，鋼板パネルの自重は考慮しないものとする。

a. 屋根材

鋼板パネルは下地材の間隔が 1.8m で連続支持されているものとし，暴風時の応力度とたわみに対して検討を行う。屋根材の材料諸元を表 2.2.1-11 に示す。

表 2.2.1-11　屋根材の材料諸元

表面材						芯材		
ヤング係数 E (N/mm^2)	せん断弾性係数 G (N/mm^2)	せん断断面積 As (mm^2)	形状係数	許容応力度 f_b (N/mm^2)	断面係数 Z (mm^3)	せん断弾性係数 G (N/mm^2)	断面積 A (mm^2)	形状係数
2.06×10^5	7.92×10^4	210.7	0.022	59.8	26.3×10^3	3.92	4.40×10^4	1.2

・応力度に対する検討

$$M = w\times L^2/8=(0.885\times4.3)\times1.8^2/8 = 1.542\ \mathrm{kNm}$$

$$\sigma_b = M/Z=1.542\times10^6/26.3\times10^3 = 58.7\ \mathrm{N/mm^2}$$

$$\frac{\sigma_b}{f_b}=\frac{58.7}{59.8}=0.982\leqq1.0 \quad \cdots\cdots\mathrm{OK}$$

・たわみの検討

たわみ量は曲げ変形成分（δ_M）とせん断変形成分（δ_Q）の和で評価し，屋根材の短期許容変形（1/300）*以下であることを確認する。

＊:「鋼板製屋根構法標準（SSR2007)」（社団法人日本金属屋根協会，2007）による

$$\delta = \delta_M+\delta_Q = 0.220 + 0.302 = 0.522\ \mathrm{cm}$$

$$\frac{\delta}{L}=\frac{0.522}{180}=\frac{1}{344}\leqq\frac{1}{300} \quad \cdots\cdots\mathrm{OK}$$

検討の結果，作用応力は屋根材の短期許容応力度以下であり，たわみは屋根材の短期許容変形以下であることを確認した。

b.　壁材

鋼板パネルは下地材の間隔が 1.2m で連続支持されているものとし，暴風時の応力とたわみに対して検討を行う。壁材の材料諸元を表 2.2.1-12 に示す。

表 2.2.1-12　壁材の材料諸元

表面材				芯材		
ヤング係数 E (N/mm^2)	せん断弾性係数 G (N/mm^2)	許容応力度 f_b (N/mm^2)	断面係数 Z (mm^3)	せん断弾性係数 G (N/mm^2)	断面積 A (mm^2)	形状係数
2.06×10^5	7.92×10^4	58.8	17.0×10^3	4.90	35000	1.2

・応力度に対する検討

$$M = w\times L^2 / 8 = (0.885\times2.62)\times1.2^2 / 8 = 0.418\ \mathrm{kNm}$$

$$\sigma_b = M / Z = 0.418\times10^6 / 17.0\times10^3 = 24.6\ \mathrm{N/mm^2}$$

$$\frac{\sigma_b}{f_b} = \frac{24.6}{58.8} = 0.419 \leqq 1.0 \quad \cdots\cdots \mathrm{OK}$$

・たわみの検討

たわみ量は曲げ変形成分（δ_M）とせん断変形成分（δ_Q）の和で評価し，壁材の短期許容変形（1/300）*以下であることを確認する。

*:「建築工事標準仕様書・同解説　JASS14　カーテンウォール工事」による

$$\delta = \delta_M + \delta_Q = 0.075 + 0.293 = 0.368\ \mathrm{cm}$$

$$\frac{\delta}{L} = \frac{0.368}{120} = \frac{1}{326} \leqq \frac{1}{300} \quad \cdots\cdots \mathrm{OK}$$

検討の結果，作用応力は壁材の短期許容応力度以下であり，たわみは壁材の短期許容変形以下であることを確認した。

2.2.2　耐震性

(1)　検討方針

耐震性の検討は，クレーン支持用架構，基礎スラブ，改良地盤及び地盤アンカーについて行い，基準地震動 Ss に対して，クレーン支持用架構，基礎スラブ，改良地盤及び周辺地盤の応答性状を適切に表現できる地震応答解析モデルを設定して実施する。

(2)　架構の耐震性に対する検討

1)　解析に用いる入力地震動

検討に用いる地震動は，「福島第一原子力発電所『発電用原子炉施設に関する耐震設計審査指針』の改訂に伴う耐震安全性評価結果　中間報告書」（平成 20 年 3 月 31 日 東京電力株式会社）にて作成した解放基盤表面で定義される基準地震動 Ss とする。

地震応答解析に用いる入力地震動の概念図を図 2.2.2-1 に示す。モデルに入力する地震動は一次元波動論に基づき，解放基盤表面で定義される基準地震動 Ss に対する地盤の応答として評価する。解放基盤表面位置における基準地震動 Ss-1，Ss-2 及び Ss-3 の加速度時刻歴波形を図 2.2.2-2(1)及び図 2.2.2-2(2)に示す。

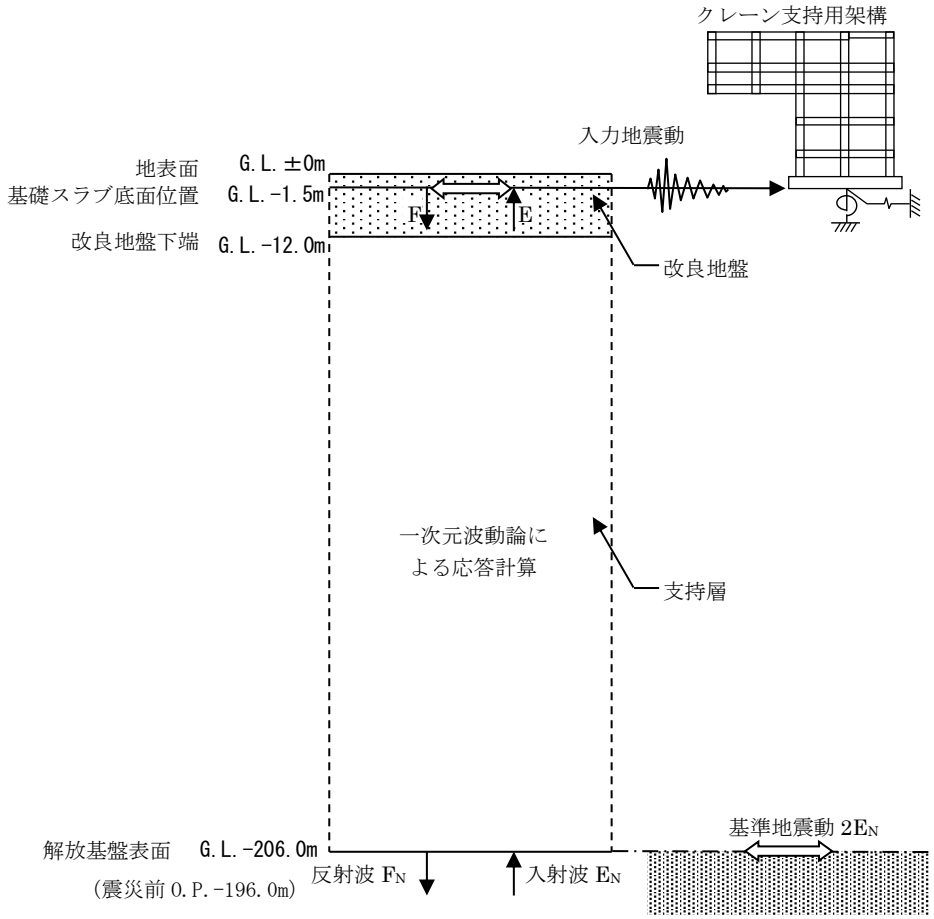

図 2.2.2-1　地震応答解析に用いる入力地震動の概念図

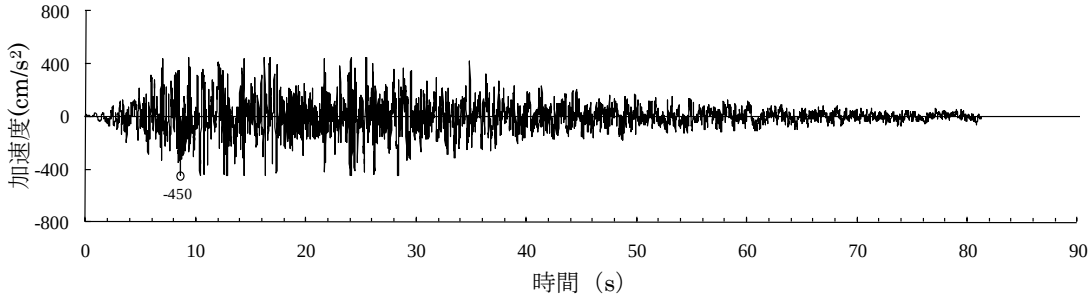

(Ss-1H)

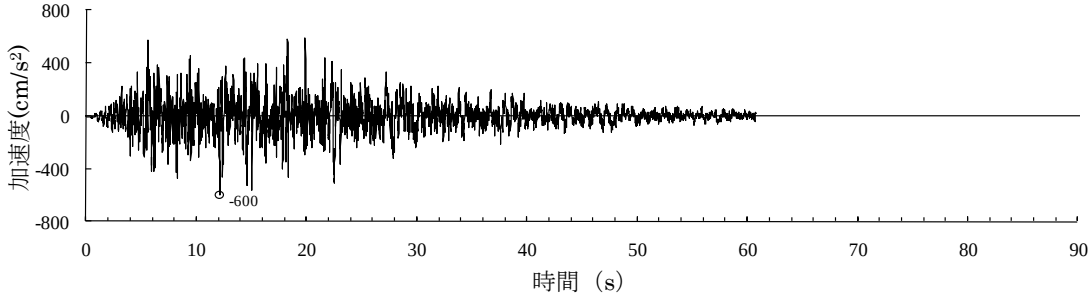

(Ss-2H)

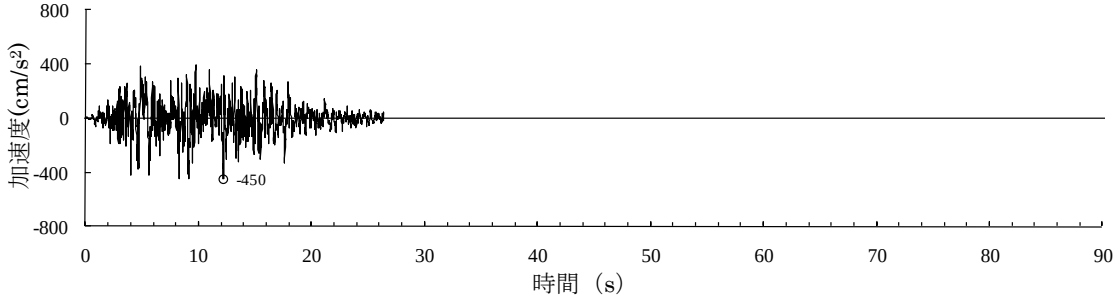

(Ss-3H)

○印は最大値を示す

図 2.2.2-2(1)　解放基盤表面における地震動の加速度時刻歴波形

(水平方向)

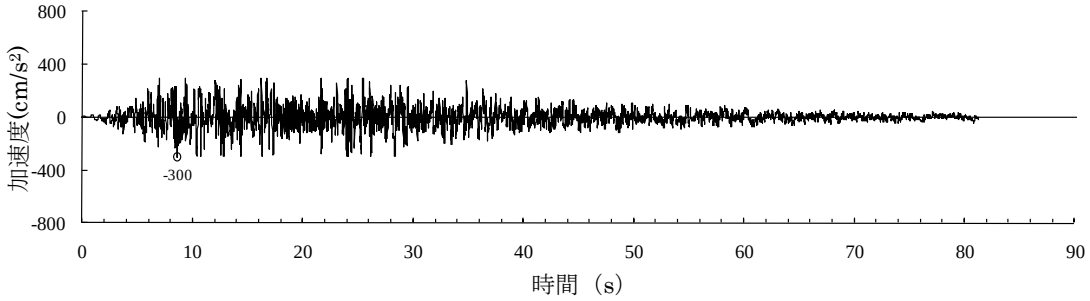

(Ss-1V)

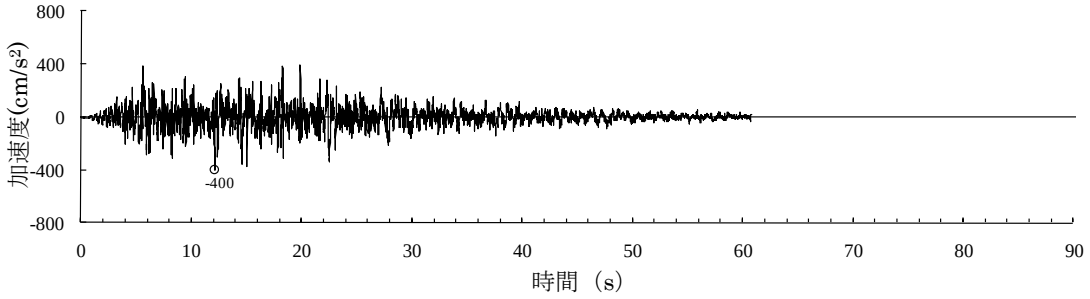

(Ss-2V)

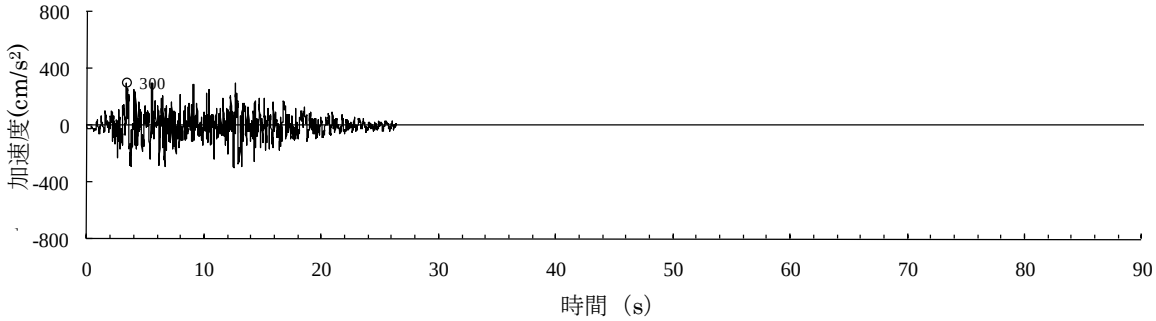

(Ss-3V)

○印は最大値を示す

図 2.2.2-2(2)　解放基盤表面における地震動の加速度時刻歴波形
(鉛直方向)

2)　地震応答解析モデル

地震応答解析モデルは,図 2.2.2-3 に示す柱及び梁を立体的にモデル化した立体架構モデルとし,地盤を等価なばねで評価した建屋－地盤連成系モデルとする。

地震応答解析に用いる物性値を表 2.2.2-1 に，層間変形角が最大となるクレーンを北端に設置した場合の地震応答解析モデルの質点重量を表 2.2.2-2 に，クレーン支持用架構の復元力特性の設定を図 2.2.2-4 に示す。復元力特性の設定は「鋼構造塑性設計指針」に準じた。

地震応答解析に用いる地盤定数は，「福島第一原子力発電所『発電用原子炉施設に関する耐震設計審査指針』の改訂に伴う耐震安全性評価結果　中間報告書」（平成 20 年 3 月 31 日 東京電力株式会社）を参考に，水平成層地盤と仮定し地震時のせん断ひずみレベルを考慮して定めた。改良地盤の諸元を表 2.2.2-3 に，地盤のひずみ依存性を図 2.2.2-5 に，地盤定数の設定結果を表 2.2.2-4 に示す。基礎底面の地盤ばねについては,「JEAG 4601-1991」に示されている手法を参考にして，地盤を成層補正し振動アドミッタンス理論により評価した。

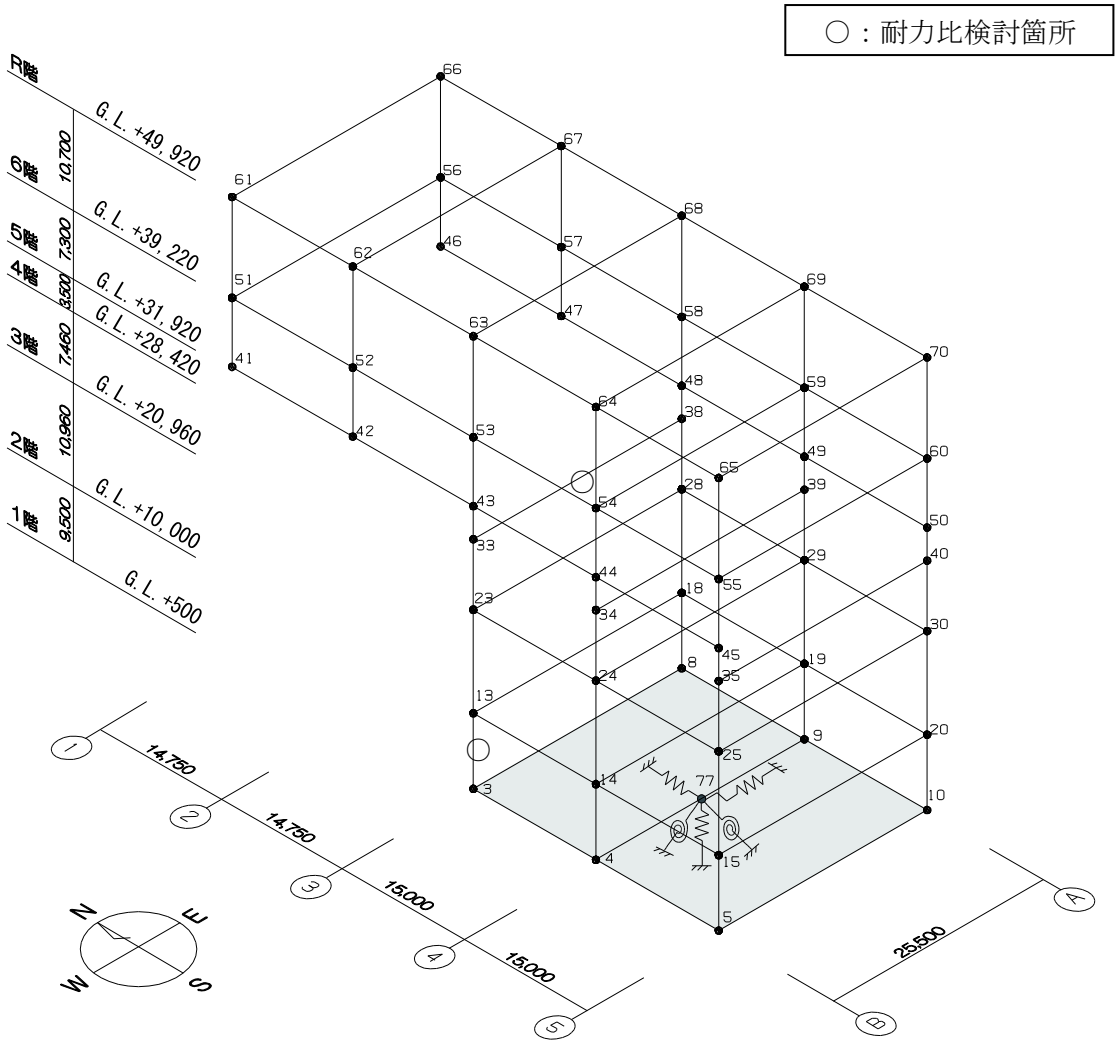

図 2.2.2-3　クレーン支持用架構の地震応答解析モデル（単位：mm）

表 2.2.2-1　地震応答解析に用いる物性値

部位	材料	ヤング係数 E(N/mm²)	ポアソン比 ν	単位体積重量 γ (kN/m³)	減衰定数 h(%)	備考
クレーン支持用架構	鉄骨	2.05×10^5	0.3	77.0	2	SM490A
基礎スラブ	ｺﾝｸﾘｰﾄ	2.44×10^4	0.2	24.0	5	設計基準強度 30(N/mm²)

表 2.2.2-2　地震応答解析モデルにおける質点重量

階	節点番号	重量(kN)
R	61	1129
	62	1221
	63	1225
	64	1200
	65	502
	66	1132
	67	1225
	68	1229
	69	1202
	70	503
6	51	2152
	52	1894
	53	1094
	54	1567
	55	718
	56	1629
	57	1538
	58	1094
	59	1375
	60	718
5	41	393
	42	600
	43	657
	44	598
	45	321
	46	377
	47	605
	48	700
	49	622
	50	321
4	33	2235
	34	2135
	35	374
	38	2176
	39	1726
	40	374
3	23	897
	24	1647
	25	635
	28	819
	29	1178
	30	607
2	13	1044
	14	1722
	15	700
	18	920
	19	1315
	20	689
1	3	26894
	4	41540
	5	21558
	8	26896
	9	41034
	10	21268
	77	0
合　計		229924

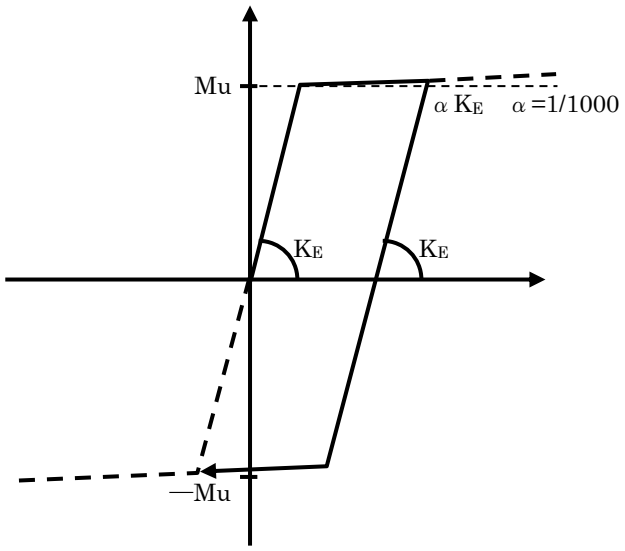

ここに,

Mu：全塑性モーメント

$$M_{uy}=\left\{A_{fy}(b-t_1)\sigma_y+\frac{1}{4}A_{wy}(b-2t_1)\sigma_y\right\} \qquad M_{uz}=\left\{A_{fz}(d-t_2)\sigma_y+\frac{1}{4}A_{wz}(d-2t_2)\sigma_y\right\}$$

$A_{fy}=d\cdot t_1$　　$A_{fz}=b\cdot t_2$

$A_{wy}=2\cdot(b-2\cdot t_1)\cdot t_2$　　$A_{wz}=2\cdot(d-2\cdot t_2)\cdot t_1$

$A=b\cdot d-(b-2\cdot t_1)\cdot(d-2\cdot t_2)$　　σ_y：降伏強度

なお，せん断耐力は下式とする。

Qu：せん断耐力

$$Q_{uy}=\frac{1}{\sqrt{3}}A_{wz}\cdot\sigma_y \qquad Q_{uz}=\frac{1}{\sqrt{3}}A_{wy}\cdot\sigma_y$$

$A_{fy}=d\cdot t_1$　　$A_{fz}=b\cdot t_2$

$A_{wy}=2\cdot(b-2\cdot t_1)\cdot t_2$　　$A_{wz}=2\cdot(d-2\cdot t_2)\cdot t_1$

$A=b\cdot d-(b-2\cdot t_1)\cdot(d-2\cdot t_2)$　　σ_y：降伏強度

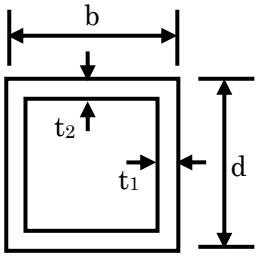

図 2.2.2-4　クレーン支持用架構の復元力特性の設定

表 2.2.2-3　改良地盤の諸元

せん断波速度* Vs (m/s)	単位体積重量 γ (kN/m³)	ポアソン比* ν	初期せん断弾性係数 G_0 ($\times 10^5$kN/m²)
800	17.7	0.31	11.52

＊:『柏崎刈羽原子力発電所 1 号機　建物・構築物の耐震安全性評価について（指摘事項に関する回答)』（平成 22　年 2 月 19 日 東京電力株式会社），総合資源エネルギー調査会原子力安全・保安部会耐震・構造設計小委員会構造 WG（第 46 回）会合資料

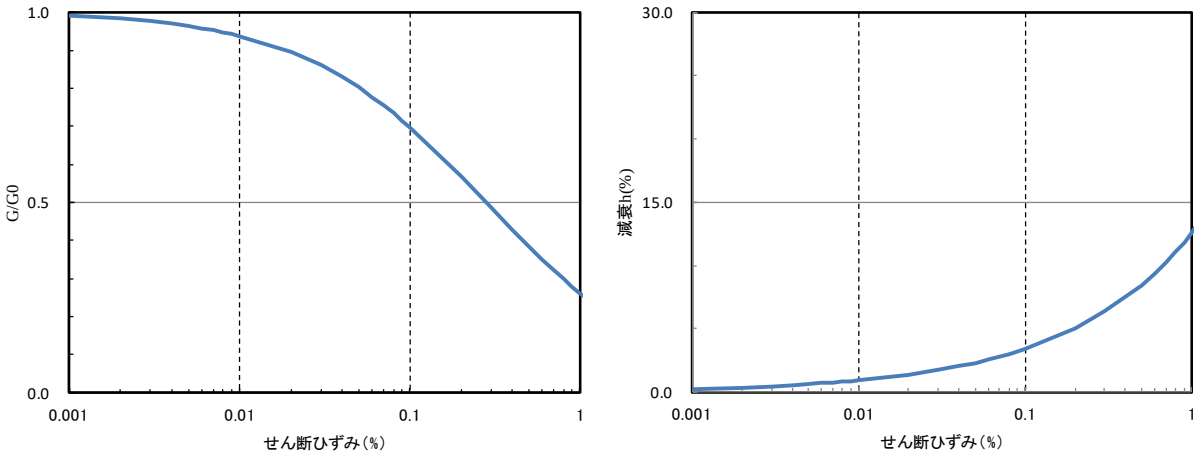

図 2.2.2-5　地盤のひずみ依存性(泥岩)*

＊:『福島第一原子力発電所３号機「新耐震指針に照らした耐震安全性評価（中間報告)」に関する補足説明資料（コメント回答資料）－建物・構築物－』（平成 22　年 6 月 29 日　東京電力株式会社），総合資源エネルギー調査会原子力安全・保安部会耐震・構造設計小委員会構造 WG（第 26 回）A サブグループ会合資料

表 2.2.2-4　地盤定数の設定結果

(a) Ss-1

G.L. (m)	地質	せん断波 速度 Vs (m/s)	単位体積 重量 γ (kN/m^3)	ﾎﾟｱｿﾝ 比 ν	せん断 弾性係数 G (×10^{5}kN/m^2)	初期せん断 弾性係数 G_0 (×10^{5}kN/m^2)	剛性 低下率 G/G_0	ヤング 係数 E (×10^{5}kN/m^2)	減衰 定数 h (%)	層厚 H (m)
±0										
	改良地盤	800	17.7	0.310	11.43	11.52	0.99	29.94	2	12.0
-12.0		450	16.5	0.464	2.97	3.41	0.87	8.70	3	8.0
-20.0		500	17.1	0.455	3.59	4.36	0.82	10.44	3	70.0
	泥岩	560	17.6	0.446	4.60	5.63	0.82	13.31	3	28.0
-90.0		600	17.8	0.442	5.29	6.53	0.81	15.25	3	88.0
-118.0										
-206.0	(解放基盤)	700	18.5	0.421	9.24	9.24	1.00	26.26	-	-

(b) Ss-2

G.L. (m)	地質	せん断波 速度 Vs (m/s)	単位体積 重量 γ (kN/m^3)	ﾎﾟｱｿﾝ 比 ν	せん断 弾性係数 G (×10^{5}kN/m^2)	初期せん断 弾性係数 G_0 (×10^{5}kN/m^2)	剛性 低下率 G/G_0	ヤング 係数 E (×10^{5}kN/m^2)	減衰 定数 h (%)	層厚 H (m)
±0										
	改良地盤	800	17.7	0.310	11.43	11.52	0.99	29.94	2	12.0
-12.0		450	16.5	0.464	2.98	3.41	0.87	8.72	3	8.0
-20.0		500	17.1	0.455	3.59	4.36	0.82	10.45	3	70.0
	泥岩	560	17.6	0.446	4.62	5.63	0.82	13.36	3	28.0
-90.0		600	17.8	0.442	5.50	6.53	0.84	15.85	3	88.0
-118.0										
-206.0	(解放基盤)	700	18.5	0.421	9.24	9.24	1.00	26.26	-	-

(c) Ss-3

G.L. (m)	地質	せん断波 速度 Vs (m/s)	単位体積 重量 γ (kN/m^3)	ﾎﾟｱｿﾝ 比 ν	せん断 弾性係数 G (×10^{5}kN/m^2)	初期せん断 弾性係数 G_0 (×10^{5}kN/m^2)	剛性 低下率 G/G_0	ヤング 係数 E (×10^{5}kN/m^2)	減衰 定数 h (%)	層厚 H (m)
±0										
	改良地盤	800	17.7	0.310	11.44	11.52	0.99	29.98	2	12.0
-12.0		450	16.5	0.464	3.00	3.41	0.88	8.79	3	8.0
-20.0		500	17.1	0.455	3.53	4.36	0.81	10.27	3	70.0
	泥岩	560	17.6	0.446	4.52	5.63	0.80	13.07	3	28.0
-90.0		600	17.8	0.442	4.97	6.53	0.76	14.34	3	88.0
-118.0										
-206.0	(解放基盤)	700	18.5	0.421	9.24	9.24	1.00	26.26	-	-

3) 地震応答解析結果

地震応答解析は水平方向と鉛直方向を同時入力した。最大応答加速度を図 2.2.2-6 及び図 2.2.2-7 に示す。

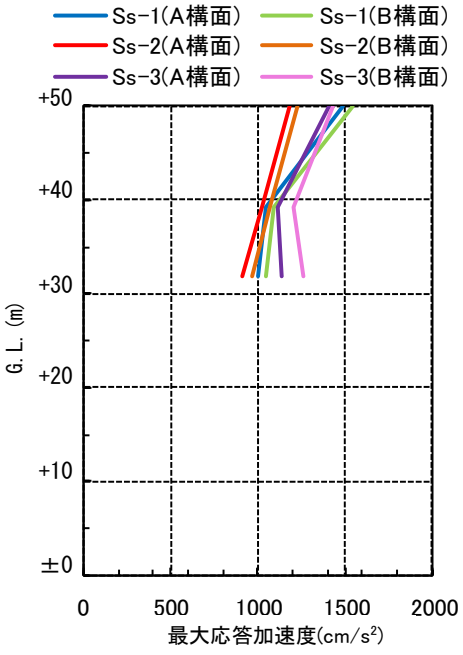

（１通り）

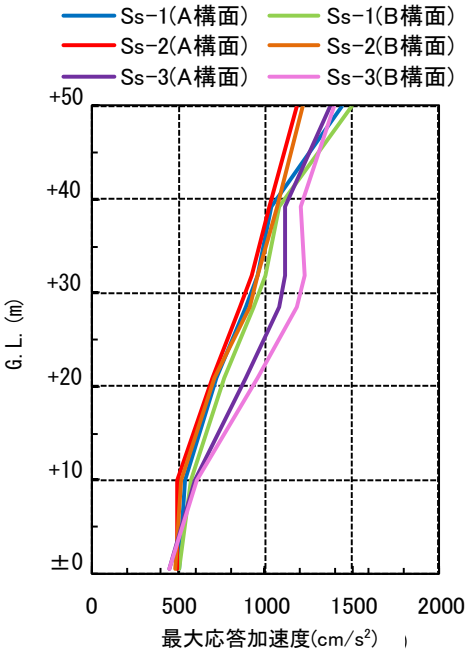

（３通り）

(a) 最大応答加速度（水平(NS)成分）

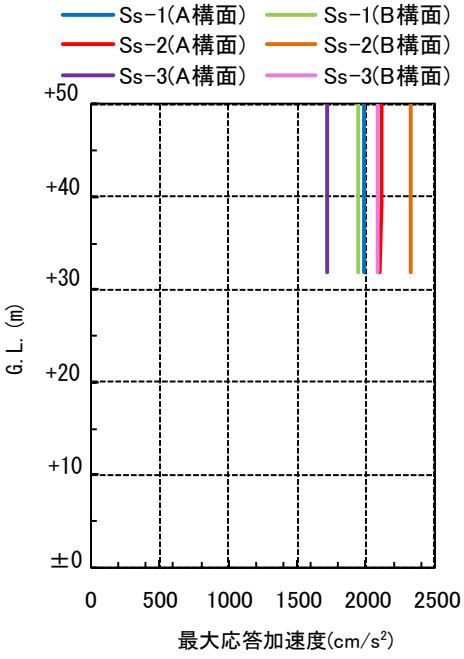

（１通り）

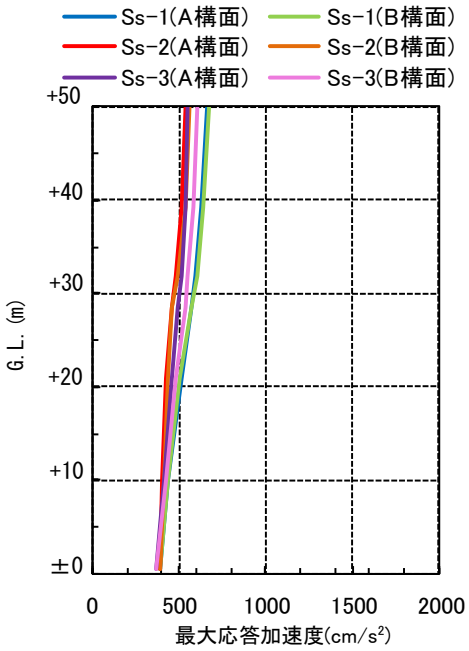

（３通り）

(b) 最大応答加速度（鉛直成分）

図 2.2.2-6　最大応答加速度（NS 方向入力時）

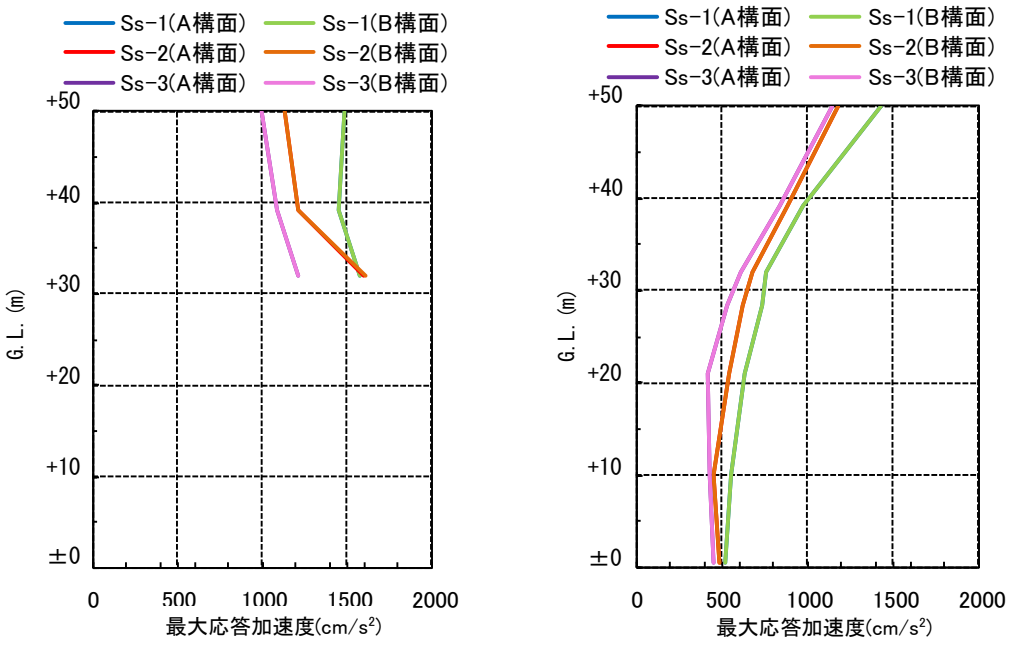

（１通り）　　（３通り）

(a)最大応答加速度（水平(EW)成分）

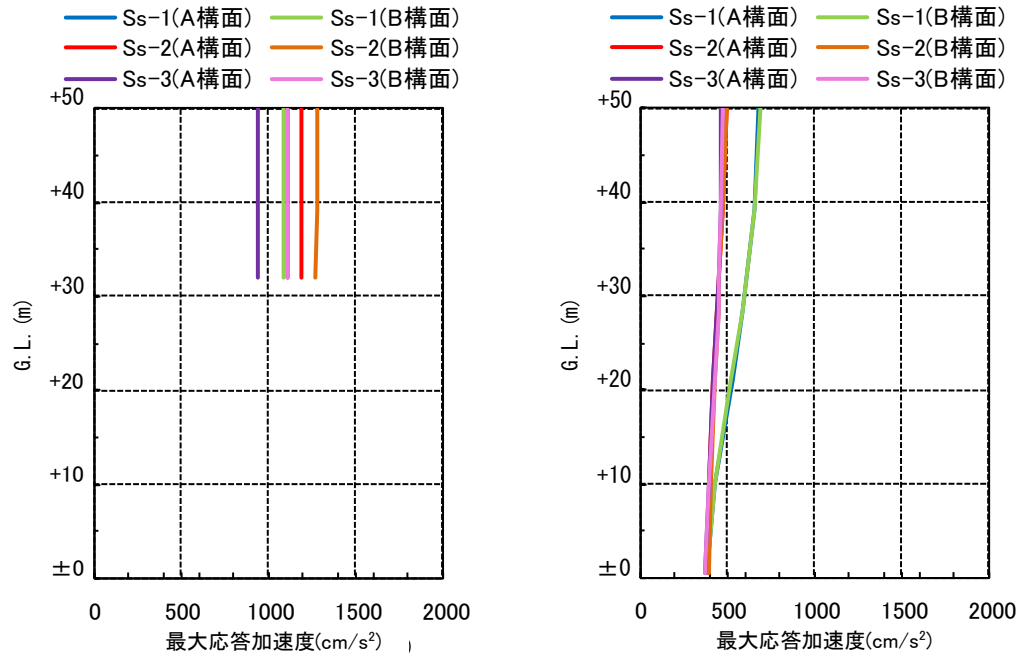

（１通り）　　（３通り）

(b)最大応答加速度（鉛直成分）

図 2.2.2-7　最大応答加速度（EW 方向入力時）

4)波及的影響の評価

地震応答解析結果が，JSCA 性能メニュー（社団法人日本建築構造技術者協会，2002 年）を参考に定めたクライテリア（「層間変形角は 1/75 以下，層の塑性率は 4 以下，部材の塑性率は 5 以下」*1 及びせん断力はせん断耐力以下）を満足することを確認する。

なお，解析結果が「時刻歴応答解析建築物性能評価業務方法書」（財団法人日本建築センター，平成 19 年 7 月 20 日）に示されるクライテリア（層間変形角は 1/100 以下，層の塑性率は 2 以下，部材の塑性率は 4 以下）を超える場合には水平変形に伴う鉛直荷重の付加的影響を考慮した解析を実施し，安全性を確認する。

*1：北村春幸，宮内洋二，浦本弥樹「性能設計における耐震性能判断基準値に関する研究」，日本建築学会構造系論文集，第 604 号，2006 年 6 月

・層間変形角の検討

層間変形の評価はクレーン支持用架構の剛心位置で評価し，表 2.2.2-5 に検討結果を示す。

検討の結果，層間変形角は 1/75 以下となりクライテリアを満足することを確認した。

表 2.2.2-5　層間変形角の検討結果

検討箇所	最大応答値						ｸﾗｲﾃﾘｱ	判定
	NS 方向入力時			EW 方向入力時				
	Ss-1	Ss-2	Ss-3	Ss-1	Ss-2	Ss-3		
6 階	1/256	1/278	1/229	1/298	1/356	1/352	1/75	OK
5 階	1/240	1/266	1/220	1/239	1/295	1/288	1/75	OK
4 階	1/228	1/249	1/225	1/207	1/243	1/252	1/75	OK
3 階	1/194	1/205	1/199	1/196	1/233	1/237	1/75	OK
2 階	1/206	1/211	1/194	1/187	1/224	1/229	1/75	OK
1 階	1/357	1/359	1/317	1/329	1/397	1/409	1/75	OK

・塑性率の検討

部材の塑性率は，最大応答曲げモーメント時の曲率を全塑性モーメントに至る時の曲率で除した値で表される。最大曲げモーメントが全塑性モーメント以下の場合は弾性であり塑性率は 1 以下となる。最大応答値を全塑性モーメントまたはせん断耐力で除した値を耐力比と定義し，表 2.2.2-6 に検討結果を示す。

表 2.2.2-6 より曲げモーメント及びせん断力については，全てのケースで耐力比が 1 を下回ることから塑性率は 1 以下となり，クライテリアを満足することを確認した。

表 2.2.2-6　耐力比の検討結果

部位	検討箇所	部材形状 (mm)	地震波	入力方向	耐力比		判定
柱	1 階 3-B	B□-3000×3000 ×28×28	Ss-1	EW	M_z/M_{uz}	0.85	OK
			Ss-3	NS	M_y/M_{uy}	0.86	
			Ss-3	NS	Q_z/Q_{uz}	0.27	
			Ss-1	EW	Q_y/Q_{uy}	0.37	
梁	4 階 3/A-B	B□-3000×3000 ×25×25	Ss-1	EW	M_z/M_{uz}	0.80	OK
					M_y/M_{uy}	0.01	
					Q_z/Q_{uz}	0.00	
					Q_y/Q_{uy}	0.32	

M_z：部材 z 軸回りの曲げモーメントの最大値　　M_{uz}：部材 z 軸回りの全塑性モーメント

M_y：部材 y 軸回りの曲げモーメントの最大値　　M_{uy}：部材 y 軸回りの全塑性モーメント

Q_z：部材 z 方向のせん断力の最大値　　Q_{uz}：　部材 z 軸方向のせん断耐力

Q_y：部材 y 方向のせん断力の最大値　　Q_{uy}：　部材 y 軸方向のせん断耐力

(3)　基礎スラブの耐震性に対する検討

1)解析モデル

基礎スラブの応力解析は，弾性地盤上に支持された版として有限要素法を用いて行う。解析モデルは，図 2.2.2-8 に示すように四辺形の均質等方な板要素により構成し，支持地盤は等価な弾性ばねとしてモデル化する。

検討は組合せ係数法にて行い，荷重組合せケースを表 2.2.2-7 に示す。

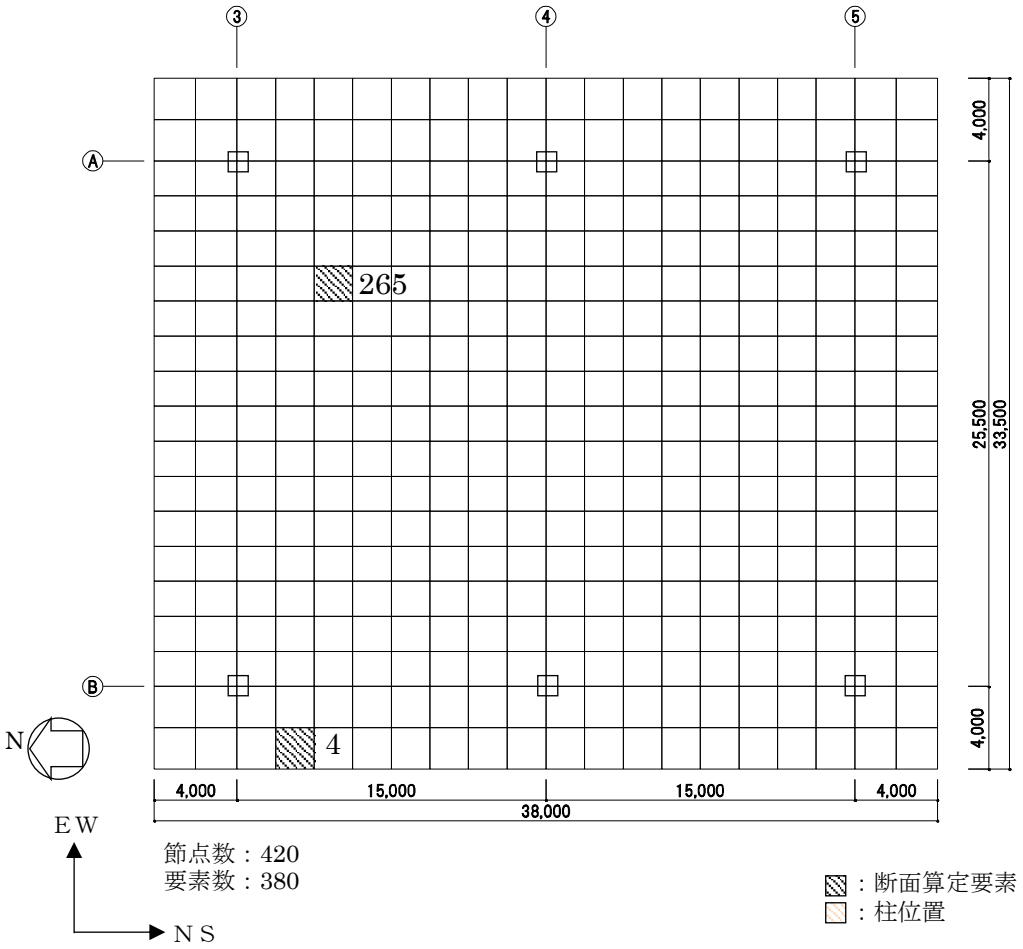

図 2.2.2-8　解析モデル図（単位：mm）

表 2.2.2-7　荷重組合せケース一覧表

荷重ケース	地震力の作用方向					
	鉛直方向		水平方向			
	上向き	下向き	N→S	S→N	E→W	W→E
Dn		○	○			
Ds		○		○		
De		○			○	
Dw		○				○
Un	○		○			
Us	○			○		
Ue	○				○	
Uw	○					○

2)　断面検討

各要素に対して，検討用応力が部材の終局耐力を下回ることを確認する。曲げ終局強度及びせん断終局強度の算定は，「原子力施設鉄筋コンクリート構造計算規準・同解説」による柱の終局強度算定式に準拠する。なお，鉄筋の引張強度は，平成 12 年建設省告示第 2464 号に定められた基準強度の 1.1 倍を用いる。検討用曲げモーメントを曲げ終局強度で除した値が最大となる箇所及び検討用せん断力をせん断終局強度で除した値が最大となる箇所の基礎スラブの断面検討結果を表 2.2.2-8 に示す。

断面検討の結果，検討用曲げモーメントは曲げ終局強度を下回り，検討用せん断力はせん断終局強度を下回ることを確認した。

表 2.2.2-8　基礎スラブの断面検討結果

要素番号	方向	荷重ケース	検討用応力			設計配筋 上段：上端筋［断面積 mm^2/m］(pt:%) 下段：下端筋［断面積 mm^2/m］(pt:%)	部材の終局強度		M/Mu	Q/Qu	判定
			N*1 (kN/m)	M (kN･m/m)	Q (kN/m)		Mu (kN･m/m)	Qu (kN/m)			
4	NS	De	129	1317	3958	D38@200+D38@400 ［8550］ (0.21) D38@200+D38@400 ［8550］ (0.21)	11995	6778	0.11	0.59	OK
	EW	De	61	1415	1507	3-D38@200 ［17100］ (0.43) 2-D38@200 ［11400］ (0.29)	15772	7294	0.09	0.21	OK
265	NS	Ds	24	3316	52	1-D38@200 ［5700］ (0.14) 1-D38@200 ［5700］ (0.14)	7873	2215	0.43	0.03	OK
	EW	Dw	-349	4927	76	1-D38@200 ［5700］ (0.14) 1-D38@200 ［5700］ (0.14)	7267	2184	0.68	0.04	OK

＊1：圧縮を正とする

(4)　改良地盤の耐震性に対する検討

1)　検討方針

検討は「JEAC 4616-2009」に準拠し，基準地震動 Ss により発生する荷重に対して許容限界を満足することを確認する。改良地盤の許容限界は，改良地盤の設計圧縮強度，せん断抵抗に対する安全率に基づき設定する。支持地盤の許容限界は，支持地盤の極限支持力に対する安全率に基づき設定する。

2)　地震応答解析モデル

応力算定用の地震応答解析モデルを図 2.2.2-9 に示す。改良地盤及び支持地盤の物性は表 2.2.2-4 を用いた。

周辺地盤の物性は，一次元波動論であらかじめ実施した等価線形解析結果をもとに改良地盤及び周辺地盤のひずみレベルに応じた等価なせん断剛性，減衰を設定した。

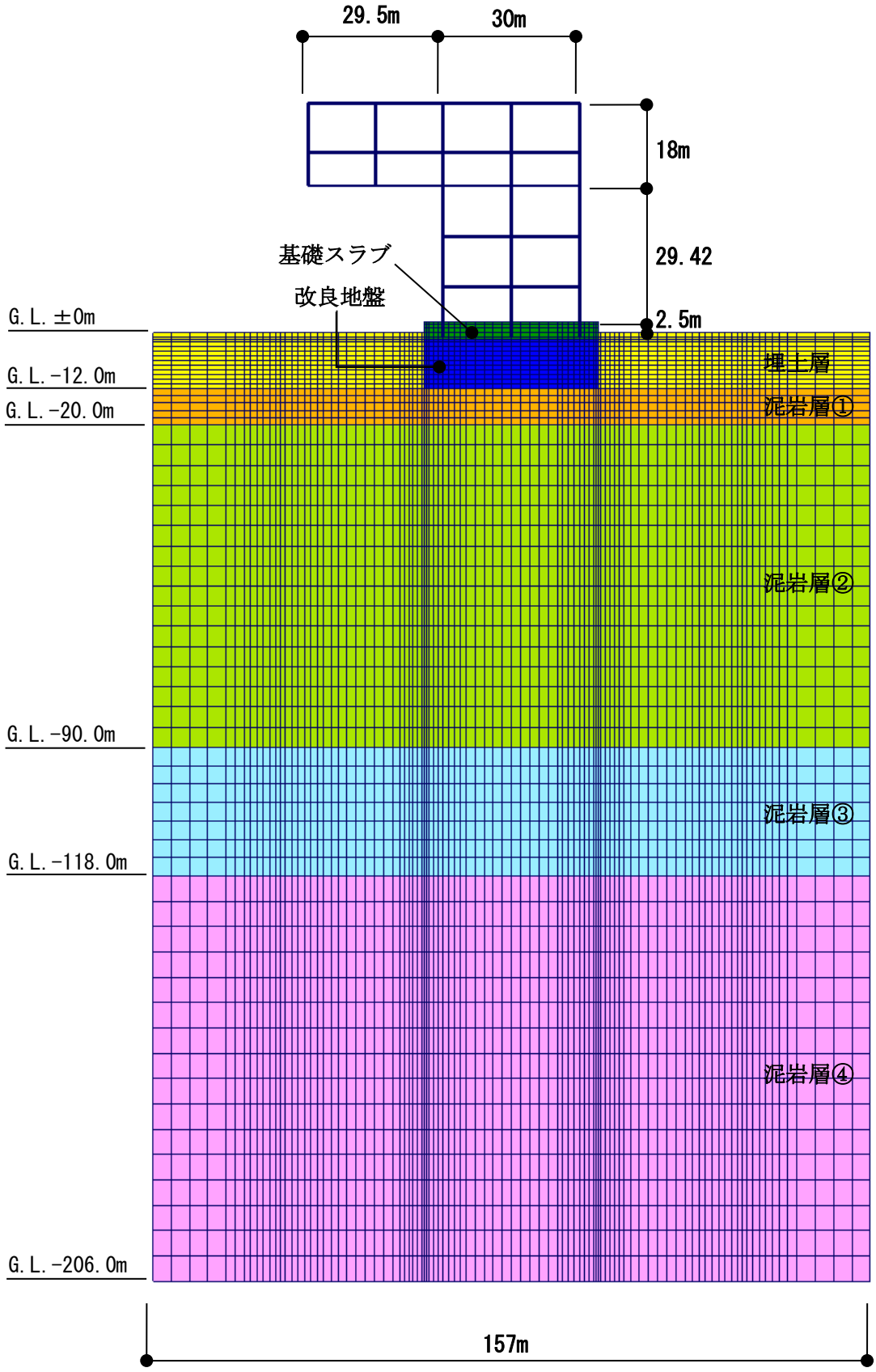

図 2.2.2-9　応力算定用地震応答解析モデル

3)　波及的影響の評価

改良地盤の評価は，「JEAC 4616-2009」に準じ，改良地盤に発生する最大応力が許容値に対して1.5以上の安全率を有していることを確認する。

・改良地盤に生じる鉛直応力に対する検討

改良地盤に作用する鉛直応力に対し改良地盤の圧縮強度の安全率が1.5以上であることを下式により確認する。

$$\frac{{}_{ss}f_{SC}}{\sigma_{ymax}} \geqq 1.5$$

ここで，　　$_{ss}f_{SC}$　：改良地盤の圧縮強度

σ_{ymax}　：有限要素解析による各要素の鉛直応力の最大値

改良地盤の圧縮強度（$_{ss}f_{SC}$）は，「JEAC 4616-2009」により改良地盤の圧縮強度の平均値である設計圧縮強度4498kN/m²（断面欠損2%を考慮する）を改良地盤の圧縮強度として検討を行う。

安全率の検討結果を表2.2.2-9に示す。検討結果より改良地盤の圧縮強度は改良地盤の基礎スラブ直下における最大鉛直応力の1.5以上の安全率を有していることを確認した。

表2.2.2-9　改良地盤の鉛直応力に対する検討結果

（改良地盤底部）

地震波	最大鉛直応力 $\sigma_{y\,max}$(kN/m²)	圧縮強度 $_{ss}f_{SC}$(kN/m²)	安全率	ｸﾗｲﾃﾘｱ	判定
Ss-1	1809	4498	2.48	1.50	OK
Ss-2	1453	4498	3.09	1.50	OK
Ss-3	1821	4498	2.47	1.50	OK

・改良地盤に作用するせん断力に対する検討

検討は，改良地盤の基礎スラブ直下及び改良地盤下端のせん断力について行う。改良地盤上端及び下端にせん断面を想定し，各時刻（t）における改良地盤に作用する水平方向せん断力 $F_H(t)$と改良地盤の水平抵抗力 $F_R(t)$を評価し，そのせん断に対する安全率 $F_S(t)$が 1.5 以上であることを下式により確認する。

$$F_S(t) = \frac{F_R(t)}{F_H(t)} \geqq 1.5$$

$$F_R(t) = \sum_i F_R(t) = \sum \tau_{Ri}(t) \cdot l_i$$

$$F_H(t) = \sum_i F_H(t) = \sum \tau_{Si}(t) \cdot l_i$$

ここで，　$F_S(t)$　：せん断に対する安全率

$F_R(t)$　：せん断面上の地盤の水平抵抗力（kN）

$F_H(t)$　：せん断面上の地盤のせん断力（kN）

$\tau_{Ri}(t)$　：せん断面の解析モデル要素 i のせん断抵抗力（kN/m²）

$\tau_{Ri}(t)$は上載圧による強度増加は無視して設定し，せん断強度 $_{ss}f_{ss}$ を用いる。なお，せん断破壊及び鉛直方向応力が引張状態になった地盤要素は評価しない

$\tau_{Si}(t)$　：せん断面の解析モデル要素 i に作用するせん断応力（kN/m²）

l_i　：解析モデル要素 i を横切るせん断面の長さ（要素 i の長さ）（m）

$_{ss}f_{ss}$　：改良地盤のせん断強度（kN/m²）

改良地盤のせん断強度（$_{ss}f_{ss}$）は下式より設定する。

$$_{ss}f_{ss} = \frac{1}{5} {}_{ss}f_{sc}$$

ここで，　$_{ss}f_{ss}$　：688kN/m²　（断面欠損 25%を考慮する）

安全率の検討結果を表 2.2.2-10 及び表 2.2.2-11 に示す。

検討結果より改良地盤の水平抵抗力は，改良地盤の基礎スラブ直下及び改良地盤下端の最大せん断力の 1.5 以上の安全率を有していることを確認した。なお，解析は二次元でモデル化しているため，単位長さ当りのせん断力及び水平抵抗力で検討する。

表 2.2.2-10　改良地盤のせん断力に対する検討

（基礎スラブ下端）

地震波	最大せん断力 F_H (kN/m)	水平抵抗力 F_R (kN/m)	安全率 F_S	ｸﾗｲﾃﾘｱ	判定
Ss-1	3635	21156	5.82	1.50	OK
Ss-2	3052	22188	7.26	1.50	OK
Ss-3	3548	20640	5.81	1.50	OK

表 2.2.2-11　改良地盤のせん断力に対する検討

（改良地盤底部）

地震波	最大せん断力 F_H (kN/m)	水平抵抗力 F_R (kN/m)	安全率 F_S	ｸﾗｲﾃﾘｱ	判定
Ss-1	7741	24080	3.11	1.50	OK
Ss-2	7481	24424	3.26	1.50	OK
Ss-3	6494	24080	3.70	1.50	OK

4)　支持力の検討

支持力の評価は，改良地盤底部における最大鉛直応力が支持地盤の極限支持力度に対して 1.5 以上の安全率を有していることを確認する。

$$\frac{R_u}{V} \geqq 1.5$$

ここで，　R_u　：極限鉛直支持力度

V　：地震応答解析から得られる最大鉛直応力

検討の結果，支持地盤の極限支持力度（6860kN/m²）*は改良地盤底部における最大鉛直応力の 1.5 以上の安全率を有していることを確認した。

＊：「福島第一原子力発電所 原子炉設置変更許可申請書（４号炉増設）」による

$$6860\text{kN/m}^2 \ / \ 1821\ \text{kN/m}^2 \ = \ 3.76 \ \geqq \ 1.50 \ \cdots\cdot\text{OK}$$

(5)　地盤アンカーの耐震性に対する検討

1)　検討方針

地盤アンカーは，図 2.2.2-10 に示すように基礎スラブ上端を緊張端とし，泥岩層 G.L.-17.0m 以深を定着長部としている。地盤アンカーの検討は基準地震動 Ss 時に自由長部に発生する応力が規格降伏耐力以下及び定着長部の設計定着長が必要定着長以上であることを確認する。検討は，旧建築基準法第 38 条の規定に基づく認定工法「STK 永久アンカー工法」（建設省阪住指発第 353 号，平成 8 年 10 月 16 日）における設計マニュアルに基づき実施する。

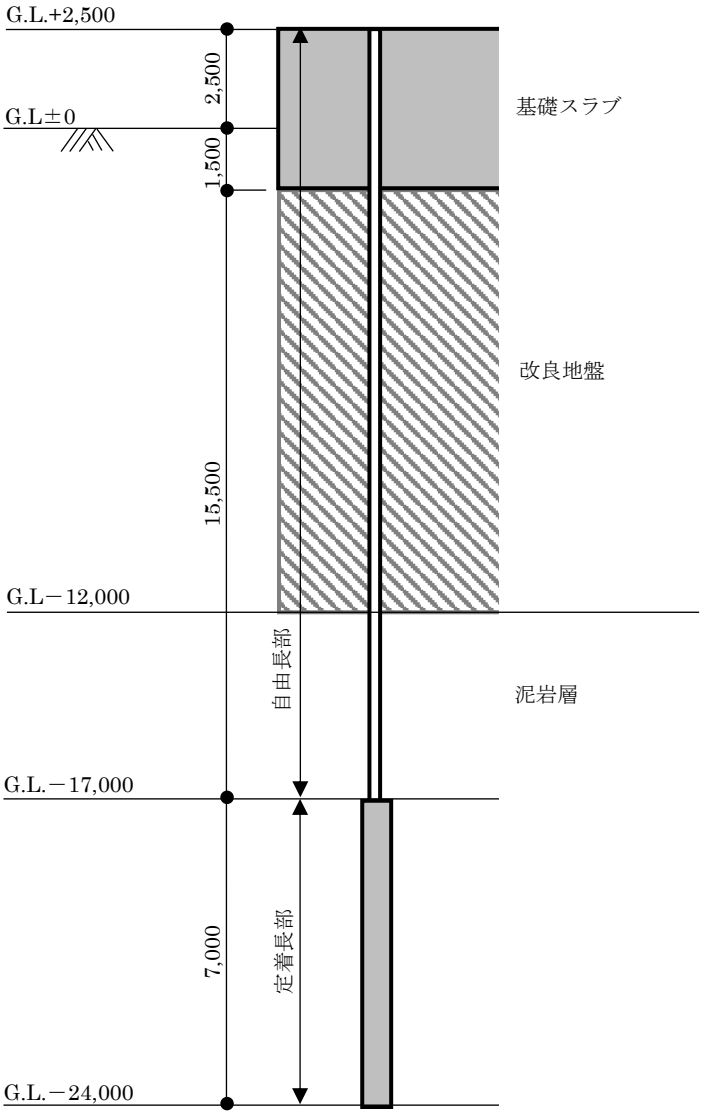

図 2.2.2-10　地盤アンカー設置計画（単位：mm）

2)　地盤アンカーの検討

・自由長部の検討

地盤アンカーに発生する応力と規格降伏耐力を比較した結果を表 2.2.2-12 に示す。地盤アンカーは STK-200 (SWPR19 4-φ21.8)を用いる。

検討の結果，耐力比が 1 以下になることを確認した。

表 2.2.2-12　自由長部の検討結果

発生応力 T_{max} (kN/本)	規格降伏耐力 T_{ys} (kN/本)	耐力比 $T_{max}／T_{ys}$	判定
1590	1981	0.81	OK

・定着長部の検討

定着長部の検討は，地盤アンカーの規格降伏耐力と地盤の極限摩擦抵抗力から求める必要定着長が，設計定着長を下回ることを確認する。結果を表 2.2.2-13 に示す。

検討の結果，検定比が 1 以下になることを確認した。

$$L_a = \frac{T_{ys} \times F}{\tau_u \times \pi \times D_d}$$

ここで，

La　：必要定着長（cm）

T_{ys}　：地盤アンカーの規格降伏耐力（1981kN）

F　：安全率（=1.0）

τ_u　：地盤の極限摩擦抵抗力（N/cm²）（137N/cm²）*

＊：旧建築基準法第 38 条の規定に基づく認定工法「STK 永久アンカー工法」(建設省阪住指発第 353 号，平成 8 年 10 月 16 日)，設計マニュアルより N 値 50 以上の泥岩の値

D_d　：地盤アンカー体の設計径（17cm）

表 2.2.2-13　定着長の検討結果

必要定着長 L_a (cm)	設計定着長 L_d (cm)	検定比 $L_a／L_d$	判定
271	700	0.39	OK

2.3　燃料取扱機支持用架構の構造強度及び耐震性について

燃料取扱機支持用架構の構造強度及び耐震性の検討フローを図 2.3-1 に示す。

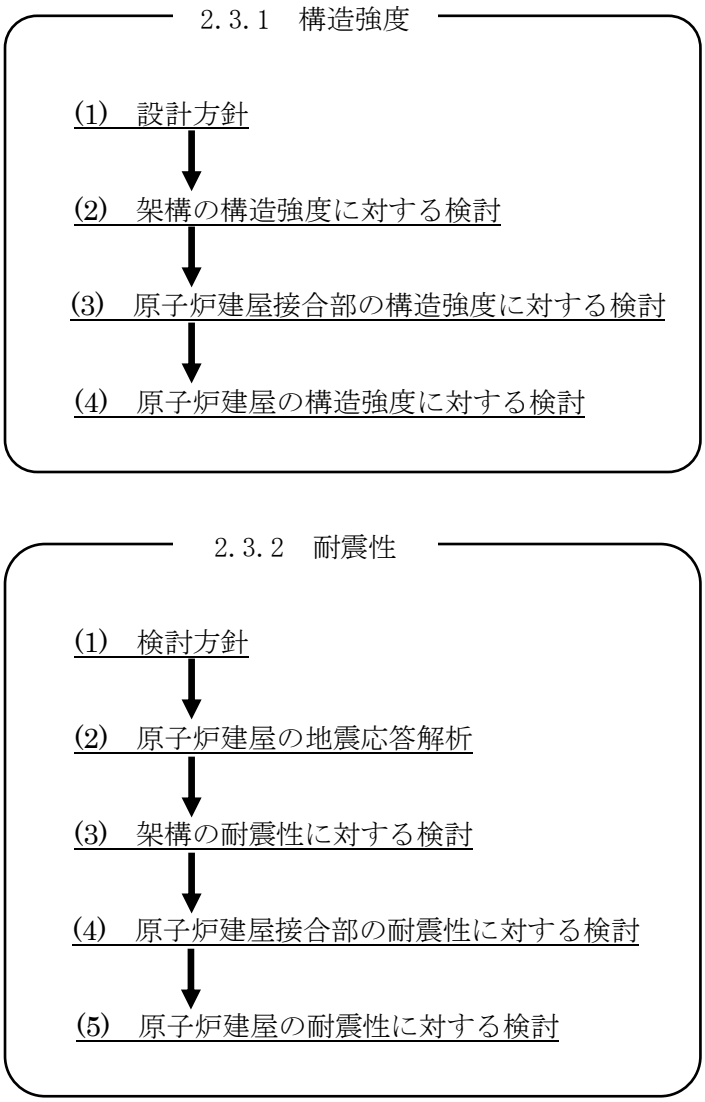

図 2.3-1　燃料取扱機支持用架構の検討フロー

2.3.1　構造強度

(1)　設計方針

構造強度の検討は，燃料取扱機支持用架構，原子炉建屋接合部及び架構反力が作用する原子炉建屋について許容応力度設計を実施する。

1)　使用材料及び許容応力度

燃料取扱機支持用架構の物性値及び許容応力度を表 2.3.1-1 に示す。

表 2.3.1-1　燃料取扱機支持用架構の物性値及び許容応力度

材料定数

部位	材料	ヤング係数 E（N/mm²）	ポアソン比 ν	単位体積重量 γ（kN/m³）
架　　構	鉄骨	2.05×10^5	0.3	77.0
基礎構造	コンクリート	2.44×10^4	0.2	24.0

コンクリートの許容応力度　（単位：N/mm²）

	長期			短期		
設計基準強度= 30	圧縮	引張	せん断	圧縮	引張	せん断
	10.0	－	0.790	20.0	－	1.185

鉄筋の許容応力度　（単位：N/mm²）

記号	鉄筋径	長期		短期	
		引張及び圧縮	せん断補強	引張及び圧縮	せん断補強
SD345	D29 未満	215	195	345	345
	D29 以上	195			

構造用鋼材の許容応力度　（単位：N/mm²）

板厚	材料	基準強度 F	許容応力度
T≦40 mm	SS400	235	「鋼構造設計規準」に従い，左記 F の値より求める
T≦40 mm	SM490A	325	
T＞40 mm	TMCP325B*，TMCP325C*	325	
－	BCP325	325	
－	BCR295	295	
－	SNR490B	325	

*：国土交通大臣指定書（国住指第 326-2，平成 14 年 5 月 7 日）による

2)　荷重及び荷重組合せ

設計で考慮する荷重を以下に示す。

・鉛直荷重（VL）

燃料取扱機支持用架構に作用する鉛直方向の荷重で，固定荷重，機器荷重，配管荷重及び積載荷重とする。

・クレーン荷重（CL）

吊荷荷重を含む燃料取扱機による荷重を表 2.3.1-2 に示す。

表 2.3.1-2　クレーン荷重一覧表

燃料取扱機	735 kN
作業台車	196 kN

・地震荷重（K）

燃料取扱機支持用架構に作用させる地震荷重は，G.L.-12.06m（原子炉建屋基礎スラブ上端レベル）を基準面とした原子炉建屋の地震層せん断力係数の算定結果より設定する。原子炉建屋の地震層せん断力係数は下式より算定し，算定結果を表 2.3.1-4 に示す。

$$Qi = n \cdot Ci \cdot Wi$$

$$Ci = Z \cdot Rt \cdot Ai \cdot Co$$

ここで，

Qi：水平地震力（kN）

n　：施設の重要度に応じた係数（n=1.5）

建築基準法で定める地震力の 1.5 倍を考慮する。

Ci：地震層せん断力係数

Wi：当該部分が支える重量（kN）

ここに，燃料取扱機支持用架構の設計で考慮する原子炉建屋の全体重量は，瓦礫撤去の効果と燃料取扱機支持用架構を新規に設置する影響を考慮した。原子炉建屋の全体重量を表 2.3.1-3 に示す。

表 2.3.1-3　原子炉建屋の全体重量(kN)

原子炉建屋全体重量*1	1078100
瓦礫撤去による軽減重量	-39810
燃料取扱機支持用架構の付加重量	+6490
燃料取扱機支持用架構設計用原子炉建屋全体重量	1044780

*1　「福島第一原子力発電所の原子炉建屋の現状の耐震安全性および補強等に関する検討に係る報告書（その１）」（平成 23 年 5 月 28 日　東京電力株式会社）にて用いた原子炉建屋重量(1069320kN)に使用済燃料プール底部の支持構造物の設置工事による重量(8780kN)を加算したもの

Z　：地震地域係数（Z=1.0）

Rt　：振動特性係数（Rt=0.8）

Ai　：地震層せん断力係数の高さ方向の分布係数で，燃料取扱機支持用架構の固有値を用いたモーダル法（二乗和平方根法）により求める。

C_0　：標準せん断力係数（C_0=0.2）

表 2.3.1-4　原子炉建屋の地震層せん断力係数の算定結果

階	G.L. (m)	各階重量 (kN)	Wi (kN)	Ai		n･Ci	
				NS 方向	EW 方向	NS 方向	EW 方向
5	+29.92	77700	－	－	－	－	－
4	+29.92～+22.30	88770	77700	2.070	2.218	0.497	0.533
3	+22.30～+16.90	122210	166470	1.787	1.831	0.429	0.440
2	+16.90～+8.70	127700	288680	1.520	1.549	0.365	0.372
1	+8.70～+0.20	208960	416380	1.309	1.315	0.314	0.316
B1	+0.20～-12.06	－	625340	1.000	1.000	0.240	0.240

燃料取扱機支持用架構に作用させる水平震度は，原子炉建屋 4 階の NS 方向地震層せん断力係数(n・Ci=0.497)及び EW 方向地震層せん断力係数(n・Ci=0.533)より，水平震度を Ki=n・Ci として水平地震力を設定する。表 2.3.1-5 に燃料取扱機支持用架構に作用させる水平地震力の算定結果を示す。

表 2.3.1-5　水平地震力の算定結果

G.L. (m)	各階重量 (kN)	NS 方向		EW 方向	
		水平震度 Ki	水平地震力 Pi (kN)	水平震度 Ki	水平地震力 Pi (kN)
+30.77	2487	0.497	1236	0.533	1326
+20.485	298	0.497	148	0.533	159
+10.20	188	0.497	93	0.533	100

ここに，燃料取扱機支持用架構は鉄骨造で剛性が小さく，原子炉建屋は壁式鉄筋コンクリート造で剛性が非常に高いことから，燃料取扱機支持用架構の変形量に対して原子炉建屋の変形量は非常に小さく，地震時の原子炉建屋の変形が燃料取扱機支持用架構に及ぼす影響は考慮しないものとした。

・荷重組合せ

設計で考慮する燃料取扱機の位置を図 2.3.1-1 に，荷重組合せを表 2.3.1-6 に示す。なお，燃料取扱機支持用架構はクレーン支持用架構に覆われているため，積雪時及び暴風時は考慮しないものとした。

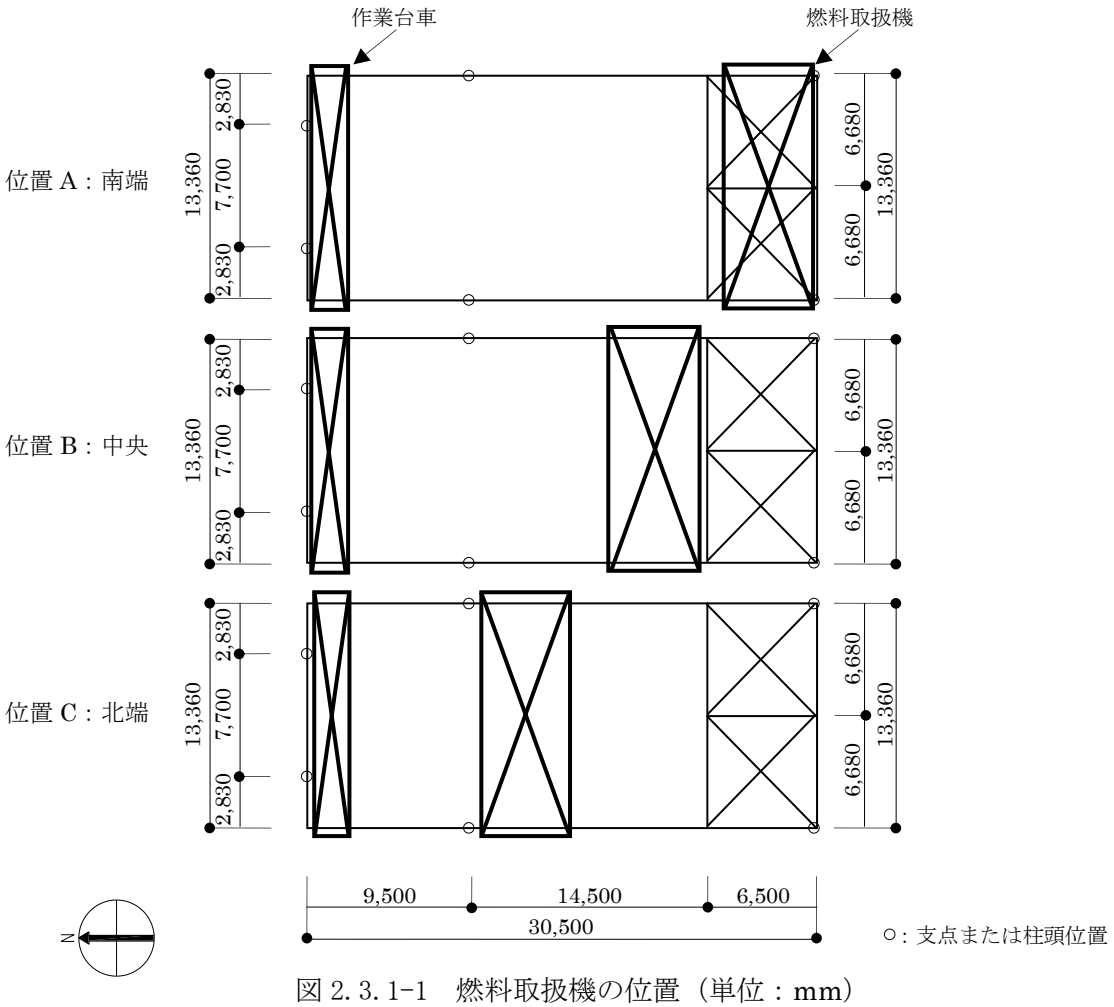

図 2.3.1-1　燃料取扱機の位置（単位：mm）

表 2.3.1-6　燃料取扱機支持用架構の荷重組合せ

想定する状態	荷重ケース	荷重組合せ内容	許容応力度
常時	C	VL＋CL	長期
地震時	E1	VL＋CL＋K(＋NS)*1	短期
	E2	VL＋CL＋K(－NS)*1	
	E3	VL＋CL＋K(＋EW)*1	
	E4	VL＋CL＋K(－EW)*1	

*1：地震荷重は NS 方向及び EW 方向を考慮する

(2)　架構の構造強度に対する検討

1)　解析モデル

燃料取扱機支持用架構の解析モデルは，G.L.+8.70m より上部を立体架構モデルとし，柱及び梁端部の境界条件は剛接，原子炉建屋シェル壁上端はピン及び原子炉建屋南側外壁の柱脚部は固定とする。解析モデル，部材寸法及び応力検討箇所を図 2.3.1-2 に示す。

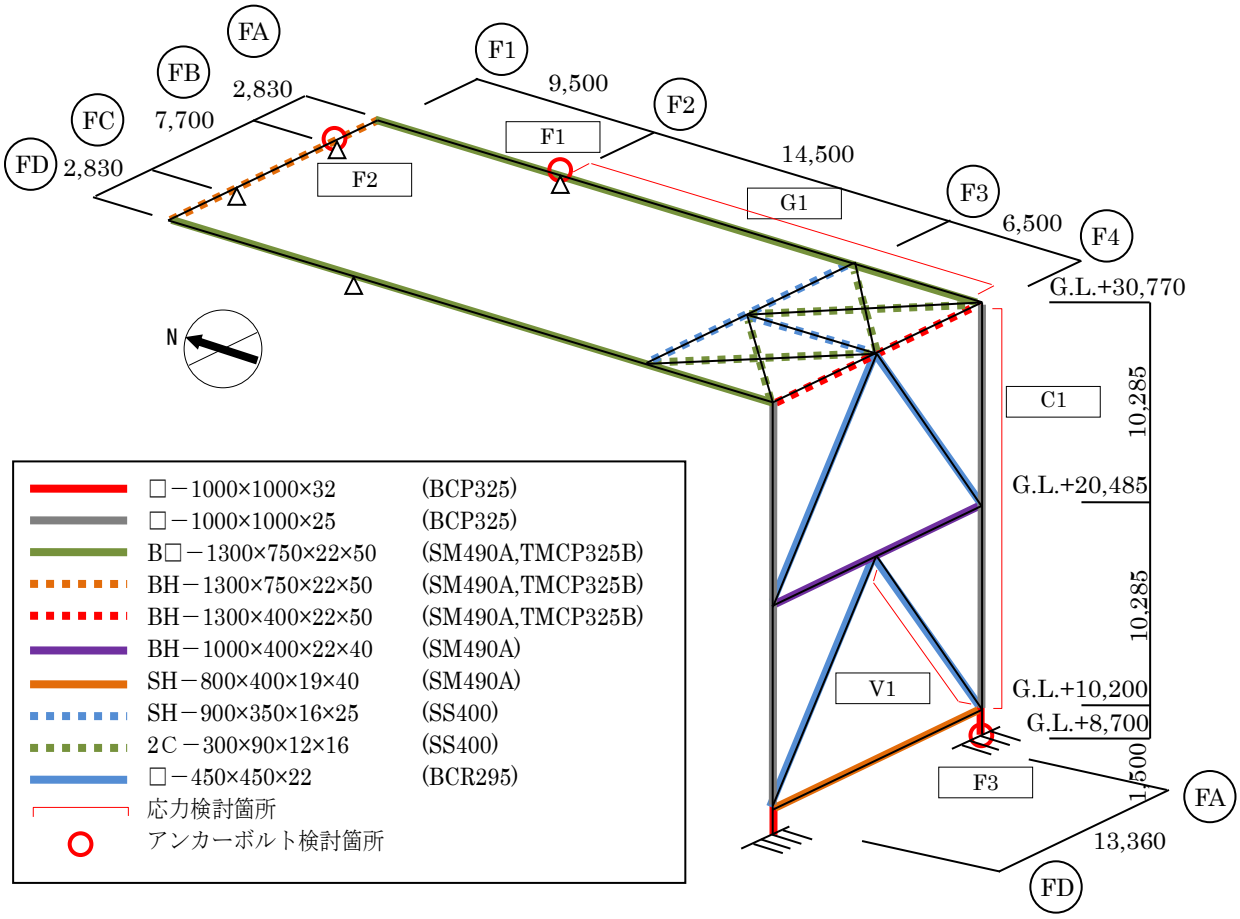

図 2.3.1-2　解析モデル図（単位：mm）

2)　断面検討

応力解析結果を用い，断面検討は二方向の曲げを図 2.3.1-3 に示すように考慮する。

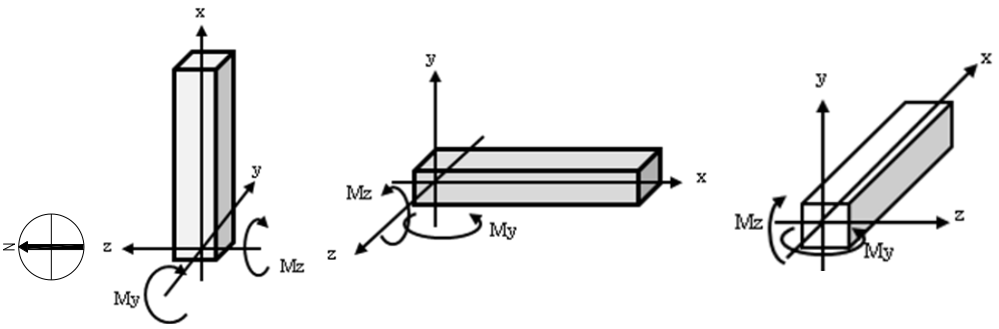

柱要素　　NS 方向梁要素　　EW 方向梁要素

図 2.3.1-3　曲げモーメントの方向

応力度比の検討は「鋼構造設計規準」に従い，軸力及び曲げモーメントに対する検討は下式にて行う。

・軸圧縮の場合　　$\dfrac{\sigma_c}{f_c}+\dfrac{\sigma_{bz}+\sigma_{by}}{f_b}\leqq 1$

・軸引張の場合　　$\dfrac{\sigma_c+\sigma_{bz}+\sigma_{by}}{f_t}\leqq 1$

ここで，

σ_c：軸応力度（=N／A）

N：軸力，A：断面積

σ_{bz}：部材 z 軸方向曲げ応力度（＝M_z／Z_z）

M_z，Z_z：部材 z 軸回りモーメント及び断面係数

σ_{by}：部材 y 軸方向曲げ応力度（＝M_y／Z_y）

M_y，Z_y：部材 y 軸回りモーメント及び断面係数

f_c：許容圧縮応力度

f_b：許容曲げ応力度

f_t：許容引張応力度

また，せん断力に対する検討は，下式にて行う。

$$\frac{\sqrt{(\sigma_c+\sigma_{bz}+\sigma_{by})^2+3\tau_z^{\,2}}}{f_t}\leqq 1 \quad \text{かつ} \quad \frac{\sqrt{(\sigma_c+\sigma_{bz}+\sigma_{by})^2+3\tau_y^{\,2}}}{f_t}\leqq 1$$

ここで，

τ_z：部材 z 軸方向せん断応力度（＝Q_z／A_{wz}）

Q_z，A_{wz}：部材 z 軸方向せん断力及びせん断断面積

τ_y：部材 y 軸方向せん断応力度（＝Q_y／A_{wy}）

Q_y，A_{wy}：部材 y 軸方向せん断力及びせん断断面積

表 2.3.1-7 及び表 2.3.1-8 に応力度比が最大となる部位の断面検討結果を示す。

断面検討の結果，全ての部材に対する応力度比が 1 以下になることを確認した。

表 2.3.1-7　断面検討結果（常時）

部位	検討箇所	部材形状 (mm)	荷重ケース (位置)*1	作用 応力度 (N/mm²)		許容 応力度 (N/mm²)	応力度比	判定
柱	C1	□-1000×1000 ×25×25	C (B)	曲げ Mz	0.3	216.7	0.13	OK
				曲げ My	20.0	216.7		
				圧縮 N	4.2	150.1		
				せん断 Qz	0.9	125.1		
				せん断 Qy	0.0	125.1		
梁	G1	B□-1300×750 ×22×50	C (B)	曲げ Mz	36.6	216.7	0.18	OK
				曲げ My	1.2	216.7		
				圧縮 N	0.4	134.0		
				せん断 Qz	0.2	125.1		
				せん断 Qy	0.5	125.1		
ブレース	V1	□-450×450 ×22	C (B)	曲げ Mz	0.0	196.7	0.02	OK
				曲げ My	1.5	196.7		
				圧縮 N	1.5	135.1		
				せん断 Qz	0.1	113.5		
				せん断 Qy	0.0	113.5		

*1：燃料取扱機の位置を示す

表 2.3.1-8　断面検討結果（地震時）

部位	検討箇所	部材形状 (mm)	荷重ケース (位置)*1	作用 応力度 (N/mm²)		許容 応力度 (N/mm²)	応力度比	判定
柱	C1	□-1000×1000 ×25×25	E2 (B)	曲げ Mz	0.2	325.0	0.10	OK
				曲げ My	25.1	325.0		
				圧縮 N	4.3	225.2		
				せん断 Qz	1.7	187.6		
				せん断 Qy	0.0	187.6		
梁	G1	B□-1300×750 ×22×50	E3 (C)	曲げ Mz	34.2	325.0	0.21	OK
				曲げ My	28.5	325.0		
				圧縮 N	1.2	201.0		
				せん断 Qz	3.4	187.6		
				せん断 Qy	10.2	187.6		
ブレース	V1	□-450×450 ×22	E3 (A)	曲げ Mz	2.8	295.0	0.13	OK
				曲げ My	0.0	295.0		
				圧縮 N	23.9	202.7		
				せん断 Qz	0.0	170.3		
				せん断 Qy	0.2	170.3		

*1：燃料取扱機の位置を示す

(3)　原子炉建屋接合部の構造強度に対する検討

1)　許容耐力の算定

燃料取扱機支持用架構の原子炉建屋上の支点は接着系アンカーボルトを用いて一体化が図られる。接着系アンカーボルトの許容耐力は「各種合成構造設計指針・同解説」に従い，原子炉建屋の設計基準強度(22.1N/mm²)を用いて下式によって求め，計算結果を表 2.3.1-9 に示す。

$$p_a = \min(p_{a1},\ p_{a3})$$
$$q_a = \min(q_{a1},\ q_{a2},\ q_{a3})$$

ここで，

p_a　：接着系アンカーボルトの許容引張力

p_{a1}　：アンカーボルトの降伏により決まる許容引張力

p_{a3}　：付着力により決まる許容引張力

q_a　：接着系アンカーボルトの許容せん断力

q_{a1}　：アンカーボルトのせん断強度により決まる許容せん断力

q_{a2}　：躯体の支圧強度により決まる許容せん断力

q_{a3}　：躯体のコーン破壊により決まる許容せん断力

表 2.3.1-9　接着系アンカーボルトの許容耐力

箇所			シェル壁上端（F1，F2）	南側外壁(F3)
高さ		m	G.L.+29.92	G.L.-0.40～G.L.+8.70
鋼材種類			M27	D25
			SNR490B	SD345
埋め込み長さ		mm	700	450
アンカーボルトの間隔		mm	300	400
長期	許容引張力(p_{aL})	kN/本	58	51
	許容せん断力(q_{aL})	kN/本	53	58
短期	許容引張力(p_{aS})	kN/本	116	102
	許容せん断力(q_{aS})	kN/本	104	116

2)　シェル壁上端位置の検討

燃料取扱機支持用架構とシェル壁との接合部の概要を図 2.3.1-4 に，作用応力と許容耐力を比較した結果を表 2.3.1-10 に示す。

検討の結果，全ての応力度比が 1 以下になることを確認した。

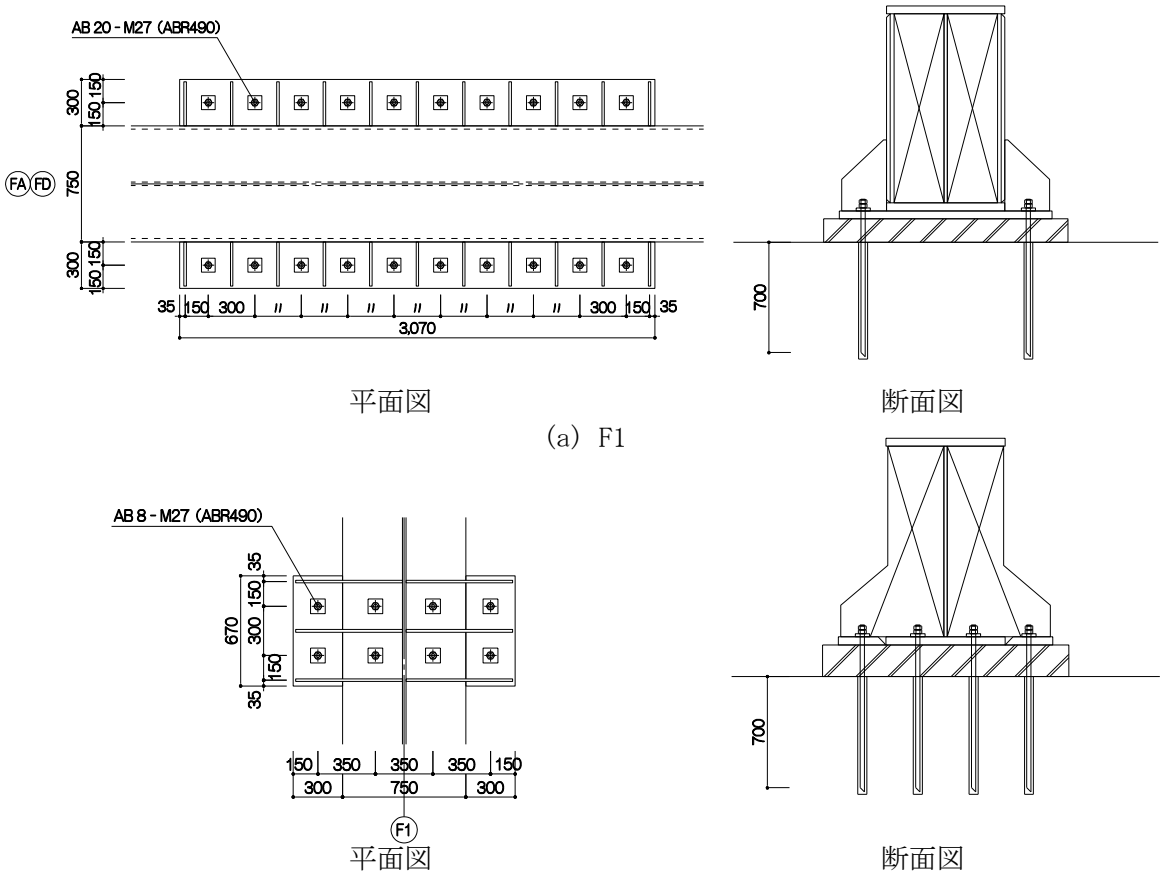

図 2.3.1-4　シェル壁上端位置の接合部概要（単位：mm）

表 2.3.1-10　　シェル壁上端位置の検討結果

検討箇所 (ｱﾝｶｰ本数) *1	荷重ケース (位置) *2	作用応力		許容耐力		応力度比	判定
		引抜力 P (kN)	せん断力 Q (kN)	許容引張力 p_a (kN)	許容せん断力 q_a (kN)		
F1 (20)	C (B)	0	41	1160	1060	0.04	OK
	E2 (B)	0	669	2320	2080	0.33	OK
F2 (8)	C (A)	0	10	464	424	0.03	OK
	E3 (A)	0	94	928	832	0.12	OK

*1：設計で考慮するアンカーボルトの本数
*2：燃料取扱機の位置を示す

3)　南側外壁位置の検討

燃料取扱機支持用架構と南側外壁との接合部の概要を図 2.3.1-5 に，作用応力と許容耐力を比較した結果を表 2.3.1-11 に示す。

検討の結果，全ての応力度比が 1 以下になることを確認した。

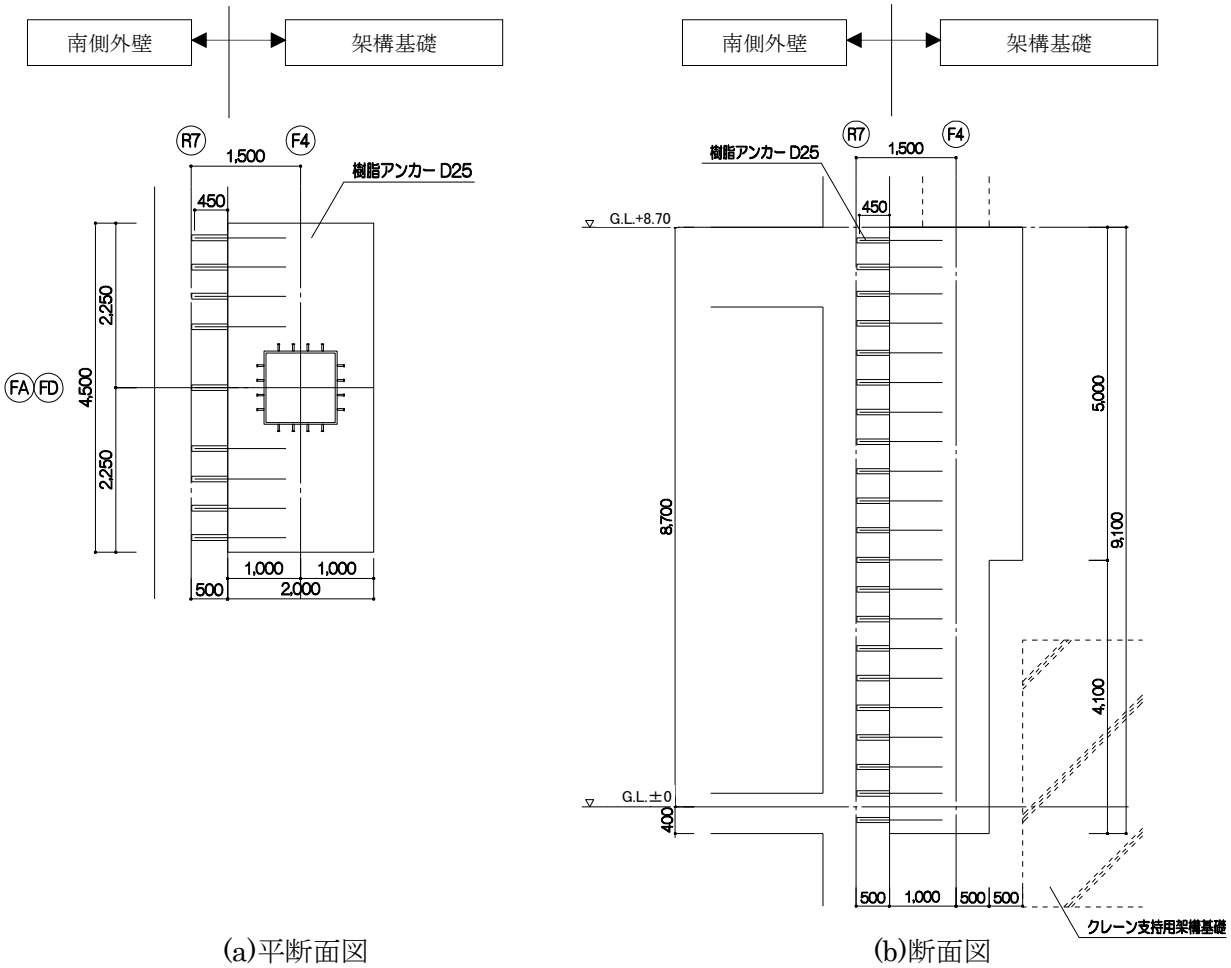

(a)平断面図　　(b)断面図

図 2.3.1-5　南側外壁位置の接合部概要（単位：mm）

表 2.3.1-11　南側外壁位置の検討結果

検討箇所 方向 (ｱﾝｶｰ本数)*1	荷重ケース (位置)*2	作用応力		許容耐力		応力度比	判定
		引抜力 P (kN)	せん断力 Q (kN)	許容引張力 p_a (kN)	許容せん断力 q_a (kN)		
F3 NS 方向 (引張 24) (せん断 99)	C (A)	552	2622	1224	5742	0.46	OK
	E1 (A)	951	2613	2448	11484	0.39	OK
F3 EW 方向 (引張 15) (せん断 99)	C (A)	24	2622	765	5742	0.46	OK
	E3 (A)	412	4049	1530	11484	0.36	OK

*1：設計で考慮するアンカーボルトの本数。アンカーボルトは引張に抵抗するものとせん断に抵抗するものをそれぞれ設定した

*2：燃料取扱機の位置を示す

(4)　原子炉建屋の構造強度に対する検討

1)　検討方針

原子炉建屋の構造強度の検討では，当該躯体建設時の設計用応力*1に架構反力により生じる応力を重ね合わせた応力が，許容応力度以下になることを確認する。ここで，燃料取扱機支持用架構の重量が原子炉建屋に比較して十分に小さいことから，検討は地震時についてのみ実施する。検討対象部位は，架構反力を受けるシェル壁と南側外壁とする。なお，シェル壁については G.L.+8.70m より上部を検討対象とする。検討対象部位を図 2.3.1-6 に示す。

*1：原子炉建屋全体重量は，瓦礫撤去の効果（－39810kN）及び燃料取扱機支持用架構の新設（＋6490kN）を考慮すると軽減傾向にあり，地震時応力は低減されるが，安全側の評価として建設時の設計用応力を用いる

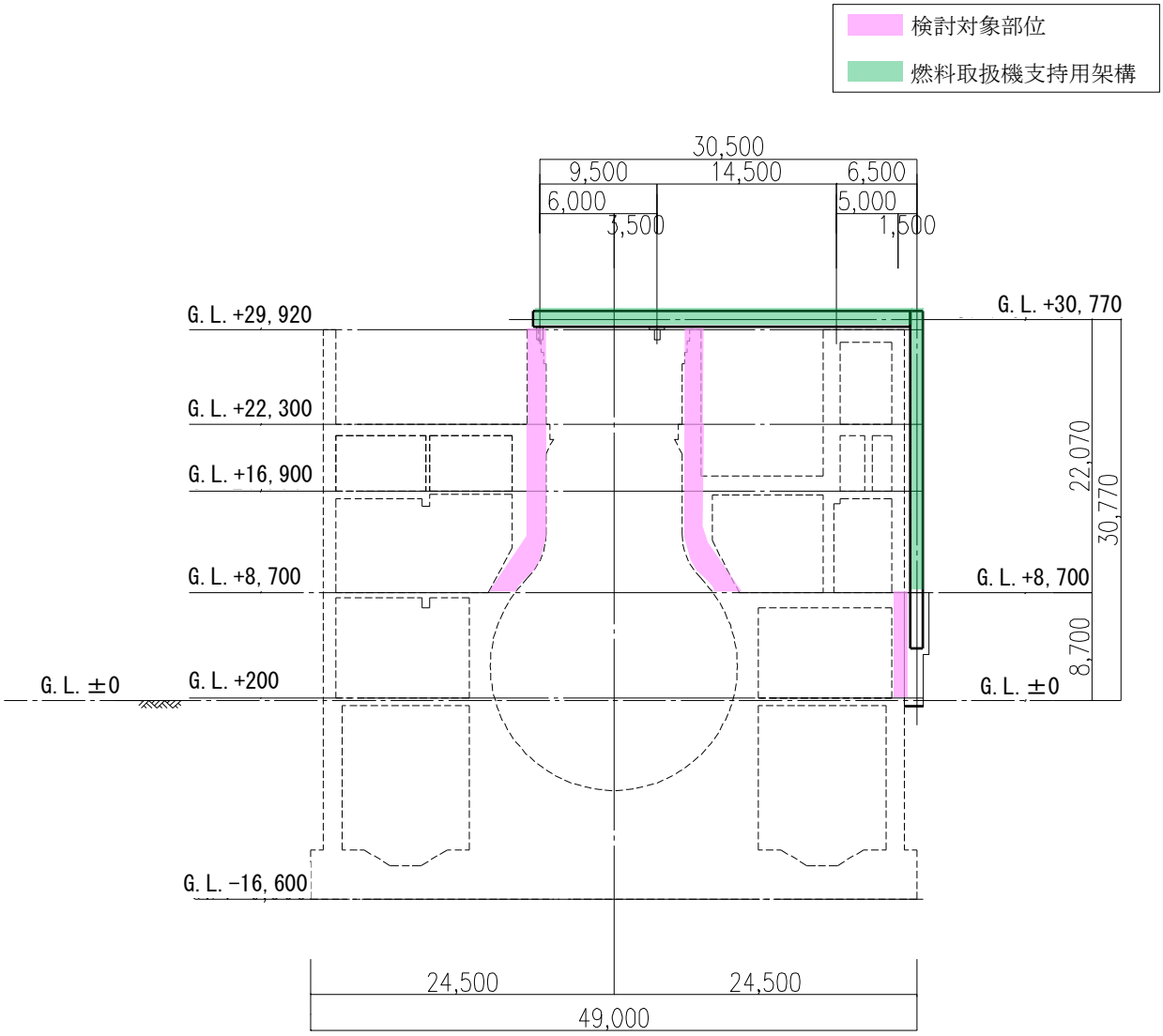

図 2.3.1-6　既存躯体の検討対象部位（単位：mm）

2) 断面検討

軸力及び曲げモーメントに対する断面検討とせん断に対する断面検討は，「原子力施設鉄筋コンクリート構造計算規準・同解説」に従い，設計基準強度(22.1N/mm²)を用いて行う。

シェル壁の軸力及び曲げモーメントに対する検討結果を表 2.3.1-12 に，せん断力に対する断面検討結果を表 2.3.1-13 に示す。南側外壁の面内方向に対する断面検討結果を表 2.3.1-14 に，面外方向に対する断面検討結果を表 2.3.1-15 に示す。

検討の結果，全ての応力度比が 1 以下になることを確認した。また，燃料取扱機支持用架構の反力により生じる応力は，建設時の設計用応力の 10%以下であることを確認した。

表 2.3.1-12　シェル壁の断面検討結果(1)
(軸力及び曲げモーメントに対する検討)

G.L. (m)	コア壁厚 t (m)	配筋 タテ筋 a_t(cm²/m) P_g(%)	鉄筋の 最大引張応力度 σ_t (N/mm²)	コンクリートの 最大圧縮応力度 σ_c (N/mm²)	応力度比 σ_t / f_t	判定
+29.92～ +22.30	1.50	a_t=87.7 P_g=1.16	58.1	2.0	0.17	OK
+22.30～ +16.90	1.85	a_t=87.7 P_g=0.94	80.1	3.4	0.24	OK
+16.90～ +8.70	2.08	a_t=171.0 P_g=1.64	64.3	3.7	0.19	OK

表 2.3.1-13　シェル壁の断面検討結果(2)
(せん断に対する検討)

G.L. (m)	コア壁厚 t (m)	配筋 上段:タテ筋 下段:ヨコ筋 a_t(cm²/m) P_g(%)	鉄筋の 最大引張応力度 σ_t (N/mm²)	応力度比 σ_t / f_t	判定
+29.92～ +22.30	1.50	a_t =87.7 P_g =1.16	86.3	0.26	OK
		a_t =76.0 P_g =1.01	99.1	0.29	OK
+22.30～ +16.90	1.85	a_t =87.7 P_g =0.94	117.1	0.34	OK
		a_t =76.0 P_g =0.82	134.2	0.39	OK
+16.90～ +8.70	2.08	a_t =171.0 P_g =1.64	125.0	0.37	OK
		a_t =171.0 P_g = 1.64	125.0	0.37	OK

表 2.3.1-14　南側外壁の断面検討結果(1)
(面内方向)

G.L. (m)	壁厚 t (m)	配筋 上段:タテ筋 下段:ヨコ筋 P_g (%)	せん断 鉄筋の 最大引張応力度 σ_t (N/mm²)	曲げモーメント 鉄筋の 最大引張応力度 σ_t (N/mm²)	曲げモーメント コンクリートの 最大圧縮応力度 σ_c (N/mm²)	応力度比 σ_t / f_t	判定
+8.70 ～ +0.20	1.00	2-D32@200 P_g=0.79 2-D32@200 P_g=0.79	278.5	0.0	2.0	0.81	OK

表 2.3.1-15　南側外壁の断面検討結果(2)
(面外方向)

G.L. (m)	壁厚 t (m)	配筋 タテ筋 P_g (%)	せん断 ｺﾝｸﾘｰﾄの最大 せん断応力度 τ_s (N/mm²)	せん断 応力 度比 τ_s / f_s	せん断 判定	曲げモーメント 鉄筋の最大 引張応力度 σ_t (N/mm²)	曲げモーメント ｺﾝｸﾘｰﾄの最大 圧縮応力度 σ_c (N/mm²)	曲げモーメント 応力 度比 σ_t / f_t	曲げモーメント 判定
+8.70 ～ +0.20	1.00	2-D32@200 P_g =0.79	0.1	0.10	OK	110.8	2.1	0.33	OK

2.3.2　耐震性

(1)　検討方針

耐震性の検討は，燃料取扱機支持用架構，原子炉建屋接合部及び原子炉建屋の健全性について行い，基準地震動 Ss に対して燃料取扱機支持用架構及び原子炉建屋の応答性状を適切に表現できる地震応答解析を用いて評価する。

(2)　原子炉建屋の地震応答解析

1)　解析に用いる入力地震動

検討に用いる地震動は，「福島第一原子力発電所『発電用原子炉施設に関する耐震設計審査指針』の改訂に伴う耐震安全性評価結果　中間報告書」（平成 20 年 3 月 31 日 東京電力株式会社）にて作成した解放基盤表面に定義される基準地震動 Ss（図 2.2.2-2(1)及び図 2.2.2-2(2)参照）とする。

地震応答解析に用いる入力地震動の概念図を図 2.3.2-1 に示す。モデルに入力する地震動は一次元波動論に基づき，解放基盤表面に定義される基準地震動 Ss に対する地盤の応答として評価する。

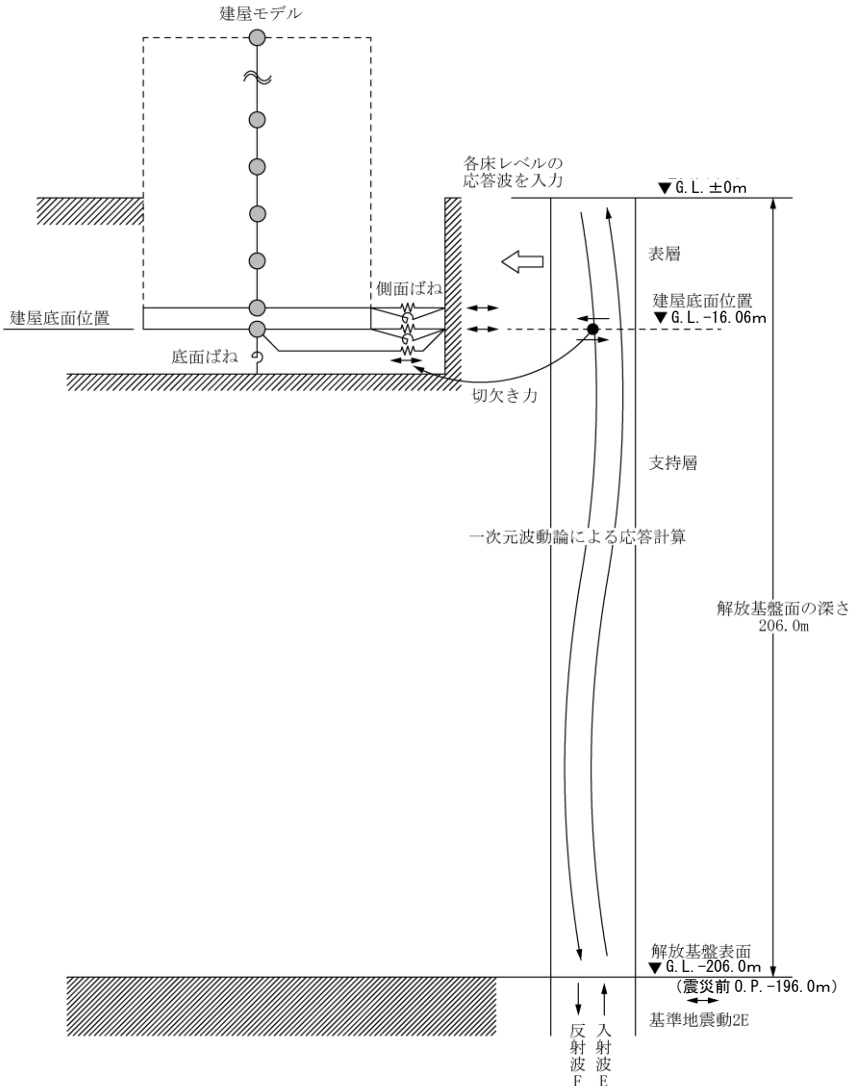

図 2.3.2-1　地震応答解析に用いる入力地震動の概念図

2)　地震応答解析モデル

原子炉建屋の地震応答解析モデルは，図 2.3.2-2 に示すように質点系でモデル化し，地盤を等価なばねで評価した建屋－地盤連成系モデルとする。

地震応答解析モデルの諸元は，「福島第一原子力発電所の原子炉建屋の現状の耐震安全性および補強等に関する検討に係る報告書（その１）」（平成 23 年 5 月 28 日　東京電力株式会社）に示される内容に，使用済燃料プール底部の支持構造物の設置工事，瓦礫撤去及び新規に設置する燃料取扱機支持用架構の重量を考慮した。解析諸元を表 2.3.2-1(1)及び表 2.3.2-1(2)に示す。

地盤定数は，水平成層地盤と仮定し地震時のせん断ひずみレベルを考慮して定めた。地盤定数の設定結果を表 2.3.2-2 に示す。基礎底面の地盤ばねについては，「JEAG 4601-1991」に示されている手法を参考にして，地盤を成層補正し振動アドミッタンス理論によりスウェイ及びロッキングばねを評価した。

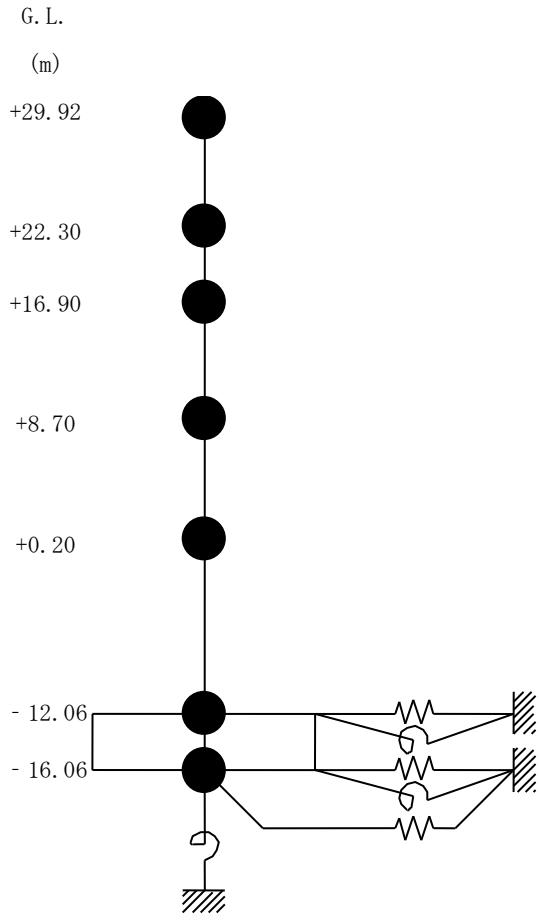

図 2.3.2-2　原子炉建屋の地震応答解析モデル

表 2.3.2-1(1)　原子炉建屋の地震応答解析モデルの諸元

(a)水平（NS）方向

G.L.(m)	質点重量 W（kN）	回転慣性重量 I_G（$\times 10^5$ kN･m^2）	せん断断面積 As（m^2）	断面二次モーメント I（m^4）
+29.92	77700	141.73		
			150.8	13068
+22.30	88770	163.44		
			103.4	15942
+16.90	122210	224.92		
			223.4	45026
+8.70	127700	244.14		
			175.4	46774
+0.20	208960	391.33		
			460.4	114194
-12.06	287050	574.38		
			2812.6	562754
-16.06	132390	264.88		
合計	1044780			

ヤング係数 Ec　2.57×10^7(kN/m^2)
せん断弾性係数 G　1.07×10^7(kN/m^2)
ポアソン比 ν　0.20
減衰 h　5%

(b)水平（EW）方向

G.L.(m)	質点重量 W（kN）	回転慣性重量 I_G（$\times 10^5$ kN･m^2）	せん断断面積 As（m^2）	断面二次モーメント I（m^4）
+29.92	77700	78.78		
			90.4	6491
+22.30	88770	91.66		
			105.8	6388
+16.90	122210	224.92		
			167.5	32815
+8.70	127700	232.88		
			166.4	46303
+0.20	208960	570.57		
			424.5	136323
-12.06	287050	828.96		
			2812.6	772237
-16.06	132390	346.27		
合計	1044780			

ヤング係数 Ec　2.57×10^7(kN/m^2)
せん断弾性係数 G　1.07×10^7(kN/m^2)
ポアソン比 ν　0.20
減衰 h　5%

表 2.3.2-1(2)　原子炉建屋の地震応答解析モデルの諸元

（鉛直方向）

G.L. (m)	質点重量 W（kN）	軸断面積 A_N（m^2）	軸ばね剛性 K_A（$\times 10^8$ kN /m^2）
+29.92	77700		
		222.6	7.41
+22.30	88770		
		218.1	10.58
+16.90	122210		
		380.4	11.92
+8.70	127700		
		340.6	10.30
+0.20	208960		
		654.7	13.72
-12.06	287050		
		2812.6	180.71
-16.06	132390		
合計	1044780		

ヤング係数 Ec	2.57×10^7(kN/m^2)
せん断弾性係数 G	1.07×10^7(kN/m^2)
ポアソン比 ν	0.20
減衰 h	5%

表 2.3.2-2　地盤定数の設定結果

(a) Ss-1

G.L. (m)	地質	せん断波 速度 Vs (m/s)	単位体積 重量 γ (kN/m^3)	ﾎﾟｱｿﾝ 比 ν	せん断 弾性係数 G (×10^{5}kN/m^2)	初期せん断 弾性係数 G_0 (×10^{5}kN/m^2)	剛性 低下率 G/G_0	ヤング 係数 E (×10^{5}kN/m^2)	減衰 定数 h (%)	層厚 H (m)
±0										
	砂岩	380	17.8	0.473	2.23	2.62	0.85	6.57	3	8.1
-8.1		450	16.5	0.464	2.66	3.41	0.78	7.79	3	11.9
-20.0		500	17.1	0.455	3.40	4.36	0.78	9.89	3	70.0
-90.0	泥岩	560	17.6	0.446	4.39	5.63	0.78	12.70	3	28.0
-118.0		600	17.8	0.442	5.09	6.53	0.78	14.68	3	88.0
-206.0	(解放基盤)	700	18.5	0.421	9.24	9.24	1.00	26.26	-	-

(b) Ss-2

G.L. (m)	地質	せん断波 速度 Vs (m/s)	単位体積 重量 γ (kN/m^3)	ﾎﾟｱｿﾝ 比 ν	せん断 弾性係数 G (×10^{5}kN/m^2)	初期せん断 弾性係数 G_0 (×10^{5}kN/m^2)	剛性 低下率 G/G_0	ヤング 係数 E (×10^{5}kN/m^2)	減衰 定数 h (%)	層厚 H (m)
±0										
	砂岩	380	17.8	0.473	2.23	2.62	0.85	6.57	3	8.1
-8.1		450	16.5	0.464	2.76	3.41	0.81	8.08	3	11.9
-20.0		500	17.1	0.455	3.53	4.36	0.81	10.27	3	70.0
-90.0	泥岩	560	17.6	0.446	4.56	5.63	0.81	13.19	3	28.0
-118.0		600	17.8	0.442	5.29	6.53	0.81	15.26	3	88.0
-206.0	(解放基盤)	700	18.5	0.421	9.24	9.24	1.00	26.26	-	-

(c) Ss-3

G.L. (m)	地質	せん断波 速度 Vs (m/s)	単位体積 重量 γ (kN/m^3)	ﾎﾟｱｿﾝ 比 ν	せん断 弾性係数 G (×10^{5}kN/m^2)	初期せん断 弾性係数 G_0 (×10^{5}kN/m^2)	剛性 低下率 G/G_0	ヤング 係数 E (×10^{5}kN/m^2)	減衰 定数 h (%)	層厚 H (m)
±0										
	砂岩	380	17.8	0.473	2.25	2.62	0.86	6.63	3	8.1
-8.1		450	16.5	0.464	2.66	3.41	0.78	7.79	3	11.9
-20.0		500	17.1	0.455	3.40	4.36	0.78	9.89	3	70.0
-90.0	泥岩	560	17.6	0.446	4.39	5.63	0.78	12.70	3	28.0
-118.0		600	17.8	0.442	5.09	6.53	0.78	14.68	3	88.0
-206.0	(解放基盤)	700	18.5	0.421	9.24	9.24	1.00	26.26	-	-

3)　地震応答解析結果

地震応答解析は水平方向と鉛直方向を別々に入力した。最大応答加速度分布を図 2.3.2-3 に示す。

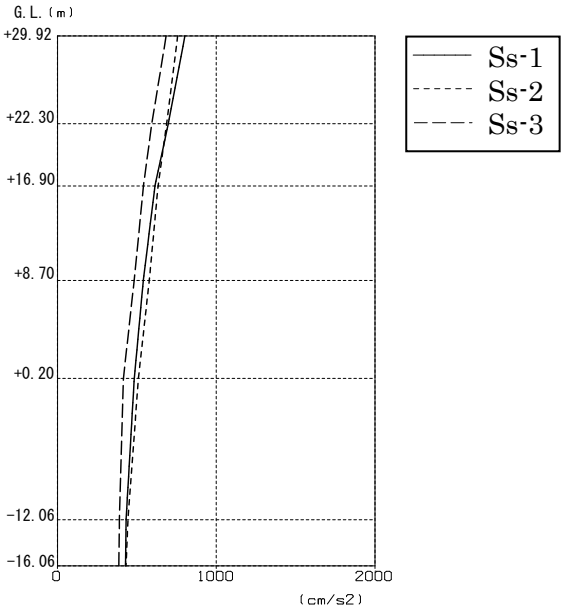

(a)水平（NS）方向

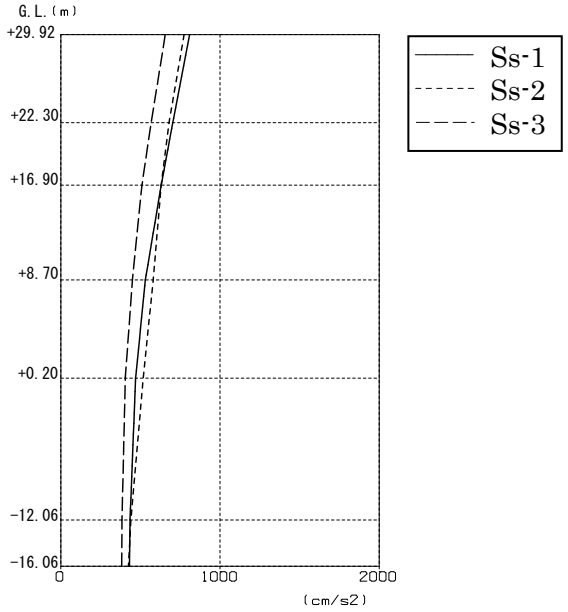

(b)水平（EW）方向

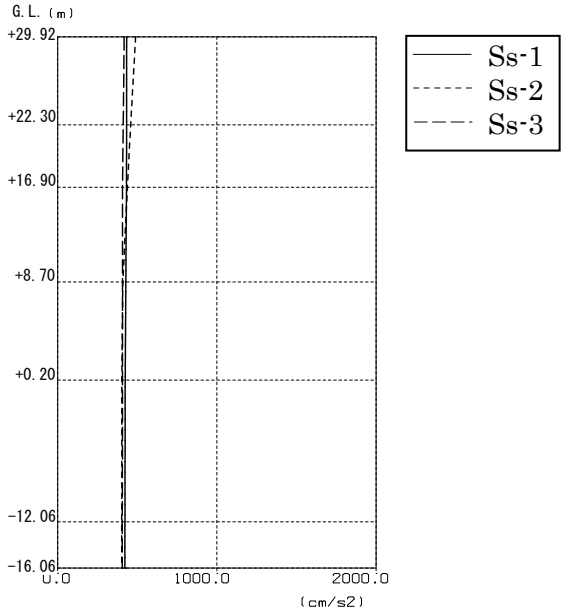

(c)鉛直方向

図 2.3.2-3　原子炉建屋の最大応答加速度分布

(3)　架構の耐震性に対する検討

1)　解析に用いる入力地震動

燃料取扱機支持用架構への入力地震動は，基準地震動 Ss を入力したときの原子炉建屋 G.L.+29.92m と G.L.+8.70m の時刻歴応答変位を用い，水平方向と鉛直方向の同時入力とする。

2)　地震応答解析モデル

地震応答解析に用いる入力地震動の概念と燃料取扱機支持用架構の解析モデルを図 2.3.2-4 に，層間変形角が最大となる燃料取扱機を南端に設置した場合の地震応答解析モデルにおける質点重量を表 2.3.2-3 に示す。

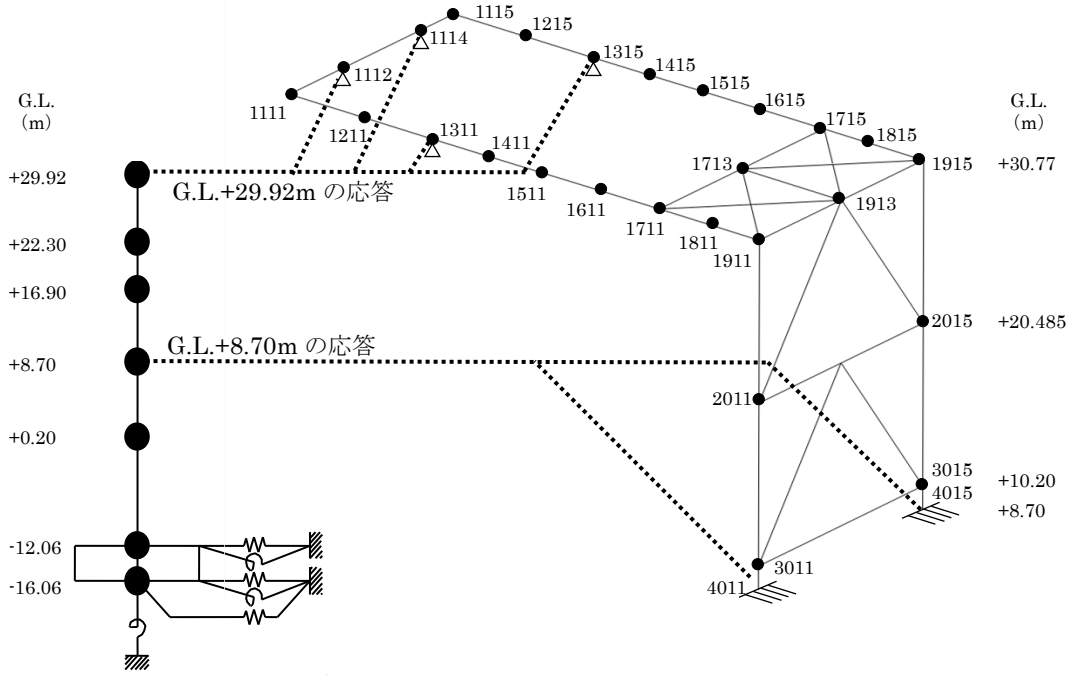

図 2.3.2-4　燃料取扱機支持用架構の地震応答解析モデル

表 2.3.2-3　燃料取扱機支持用架構の地震応答解析モデルにおける質点重量

G.L.(m)	節点番号	質点重量 (kN)
+30.77	1111	57
	1211	89
	1311	79
	1411	68
	1511	68
	1611	68
	1711	78
	1811	62
	1911	97
	1115	57
	1215	89
	1315	79
	1415	68
	1515	68
	1615	68
	1715	78
	1815	62
	1915	97
	1112	46
	1114	46
	1713	37
	1913	94
	9001	49
	9002	49
	9003	49
	9004	49
	9501	184
	9502	184
	9601	184
	9602	184
+20.485	2011	149
	2015	149
+10.20	3011	94
	3015	94
合　計		2973

3)　波及的影響の評価

地震応答解析結果が，JSCA 性能メニュー（社団法人日本建築構造技術者協会，2002 年）を参考に定めたクライテリア（「層間変形角は 1/75 以下，層の塑性率は 4 以下，部材の塑性率は 5 以下」*1 及びせん断力はせん断耐力以下）を満足することを確認する。

なお，解析結果が「時刻歴応答解析建築物性能評価業務方法書」（財団法人日本建築センター，平成 19 年 7 月 20 日）に示されるクライテリア（層間変形角は 1/100 以下，層の塑性率は 2 以下，部材の塑性率は 4 以下）を超える場合には水平変形に伴う鉛直荷重の付加的影響を考慮した解析を実施し，安全性を確認する。

*1：北村春幸，宮内洋二，浦本弥樹「性能設計における耐震性能判断基準値に関する研究」，日本建築学会構造系論文集，第 604 号，2006 年 6 月

・層間変形角の検討

燃料取扱機支持用架構の層間変形角を表 2.3.2-4 に示す。

検討の結果，層間変形角は 1/75 以下となりクライテリアを満足することを確認した。

表 2.3.2-4　層間変形角の検討結果

G.L. (m)	最大応答値						ｸﾗｲﾃﾘｱ	判定
	NS 方向入力時			EW 方向入力時				
	Ss-1	Ss-2	Ss-3	Ss-1	Ss-2	Ss-3		
+20.485～+30.77	1/10285	1/10285	1/34283	1/1686	1/2057	1/2706	1/75	OK
+8.70～+20.485	1/1061	1/1309	1/1419	1/1733	1/2104	1/2805		

・塑性率の検討

部材の塑性率は，最大応答曲げモーメント時の曲率を全塑性モーメントに至る時の曲率で除した値で表される。最大曲げモーメントが全塑性モーメント以下の場合は弾性であり塑性率は 1 以下となる。最大応答値を全塑性モーメントまたはせん断耐力で除した値を耐力比と定義し，表 2.3.2-5 に検討結果を示す。

表 2.3.2-5 より曲げモーメント及びせん断力については，全てのケースで耐力比が 1 を下回ることから塑性率は 1 以下となり，クライテリアを満足することを確認した。

表 2.3.2-5　耐力比の検討結果

部位	検討箇所	部材形状 (mm)	地震波	入力方向	耐力比		判定
柱	C1	□-1000×1000×25×25	Ss-1	NS	Mz/Muz	0.01	OK
					My/Muy	0.10	
					Qz/Quz	0.03	
					Qy/Quy	0.01	
梁	G1	B□-1300×750×22×50	Ss-1	EW	Mz/Muz	0.12	OK
					My/Muy	0.06	
					Qz/Quz	0.02	
					Qy/Quy	0.09	
ブレース	V1	□-450×450×22	Ss-1	EW	Mz/Muz	0.02	OK
					My/Muy	0.02	
					Qz/Quz	0.01	
					Qy/Quy	0.01	

M_z：部材 z 軸回りの曲げモーメントの最大値　M_{uz}：部材 z 軸回りの全塑性モーメント

M_y：部材 y 軸回りの曲げモーメントの最大値　M_{uy}：部材 y 軸回りの全塑性モーメント

Q_z：部材 z 方向のせん断力の最大値　Q_{uz}：部材 z 軸方向のせん断耐力

Q_y：部材 y 方向のせん断力の最大値　Q_{uy}：部材 y 軸方向のせん断耐力

(4) 原子炉建屋接合部の耐震性に対する検討

接着系アンカーボルトの耐震性の検討は，短期許容引張力及び短期許容せん断力を許容耐力とし，応力度比が 1 以下になることを確認する。

1) シェル壁上端位置の検討

作用応力と許容耐力を比較した結果を表 2.3.2-6 に示す。

検討の結果，全ての応力度比が 1 以下になることを確認した。

表 2.3.2-6 シェル壁上端位置の検討結果

検討箇所 (ｱﾝｶｰ本数)*1	地震波	入力 方向	作用応力		許容耐力		応力度比	判定
			引抜力 P (kN)	せん断力 Q (kN)	短期 許容引張力 p_a (kN)	短期 許容せん断力 q_a (kN)		
F1 (20)	Ss-1	NS	0	1105	2320	2080	0.54	OK
F2 (8)	Ss-1	EW	104	168	928	832	0.21	OK

*1：設計で考慮するアンカーボルトの本数

2) 南側外壁位置の検討

作用応力と許容耐力を比較した結果を表 2.3.2-7 に示す。

検討の結果，全ての応力度比が 1 以下になることを確認した。

表 2.3.2-7 南側外壁位置の検討結果

検討箇所 方向 (ｱﾝｶｰ本数)*1	地震波	入力 方向	作用応力		許容耐力		応力度比	判定
			引抜力 P (kN)	せん断力 Q (kN)	短期 許容引張力 p_a (kN)	短期 許容せん断力 q_a (kN)		
F3 NS 方向 (引張 24) (せん断 99)	Ss-1	NS	1568	3214	2448	11484	0.65	OK
F3 EW 方向 (引張 15) (せん断 99)	Ss-1	EW	863	5793	1530	11484	0.57	OK

*1：設計で考慮するアンカーボルトの本数。アンカーボルトは引張に抵抗するものとせん断に抵抗するものをそれぞれ設定した

(5)　原子炉建屋の耐震性に対する検討

1）検討方針

燃料取扱機支持用架構の設置に伴う原子炉建屋の耐震性の評価は，耐震安全上重要な設備への波及的影響防止の観点から，地震応答解析により得られる耐震壁のせん断ひずみが鉄筋コンクリート造耐震壁の終局限界に対応した評価基準値（4.0×10^{-3}）以下になることを確認する。

ここで，耐震壁のせん断ひずみは，「(2)原子炉建屋の地震応答解析」で実施した地震応答解析結果の値とする。

2）検討結果

基準地震動 Ss に対する最大応答値を，「JEAG 4601-1991」に基づき設定した耐震壁のせん断スケルトン曲線上にプロットした結果を，図 2.3.2-5 から図 2.3.2-7 に示す。

検討の結果，地震応答解析により得られる最大応答値は，評価基準値（4.0×10^{-3}）に対して十分に余裕があることを確認した。

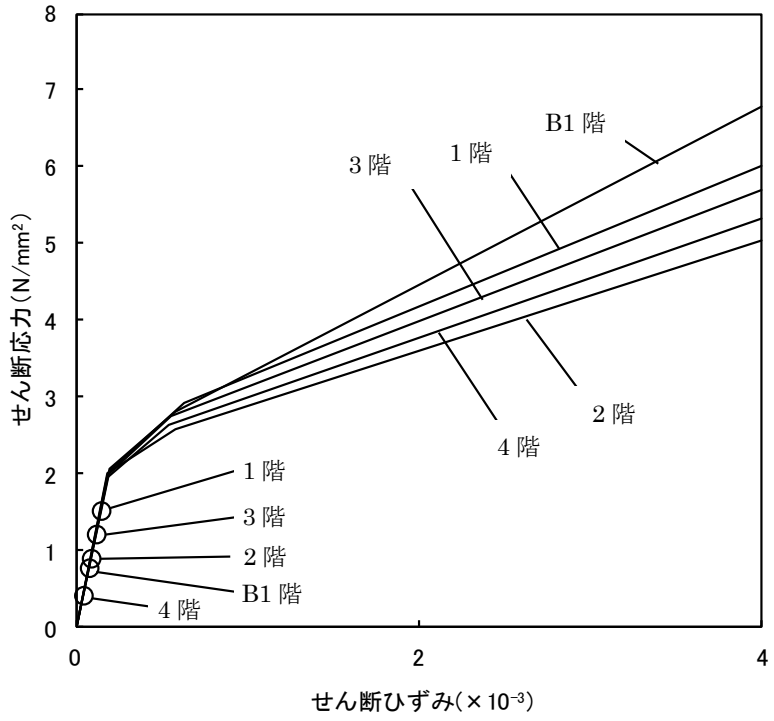

(a)NS 方向

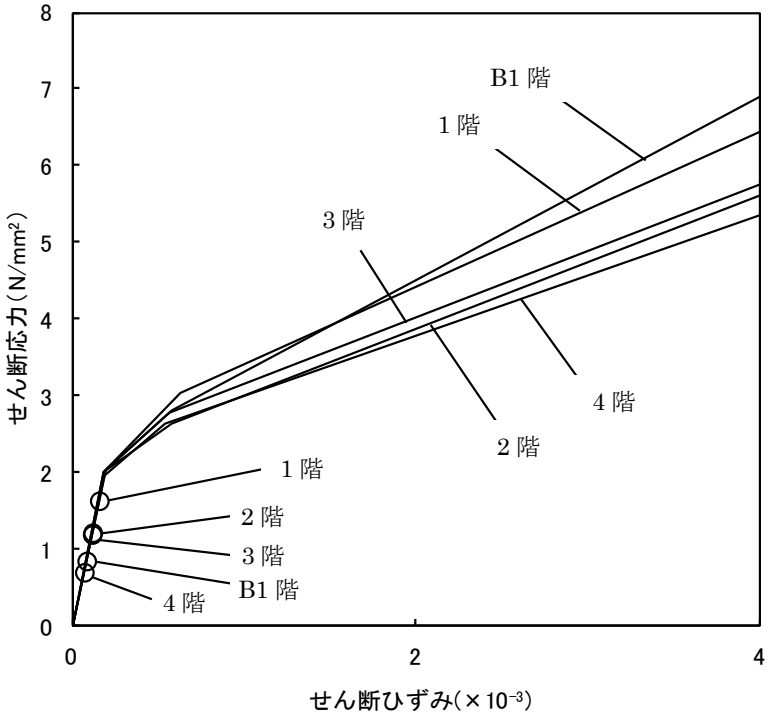

(b)EW 方向

図 2.3.2-5　せん断スケルトン曲線上の最大応答値（Ss-1）

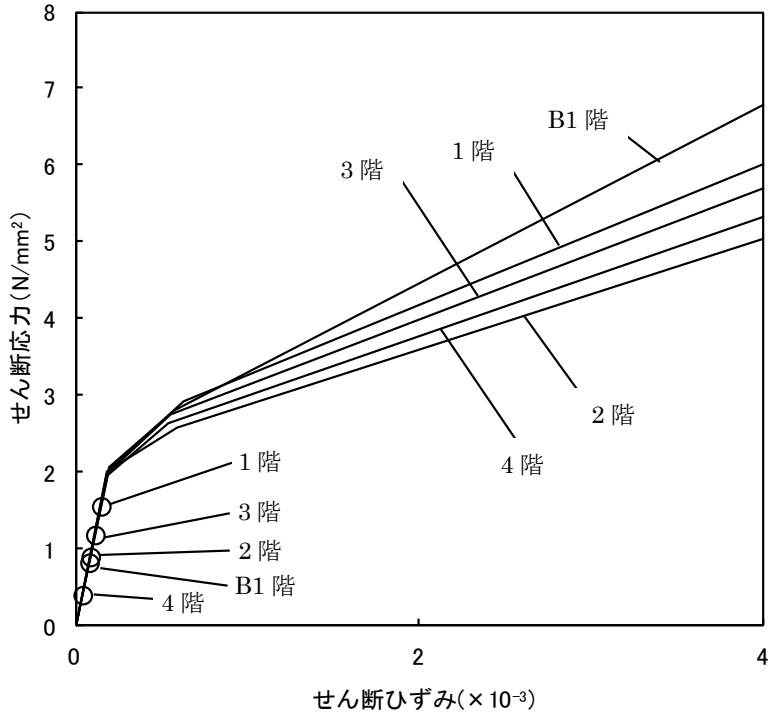

(a)NS 方向

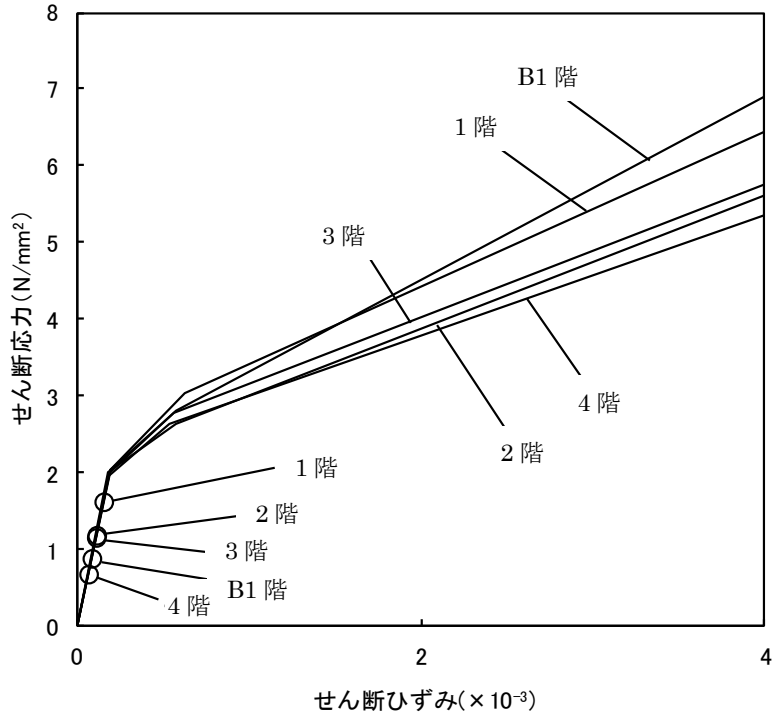

(b)EW 方向

図 2.3.2-6　せん断スケルトン曲線上の最大応答値（Ss-2）

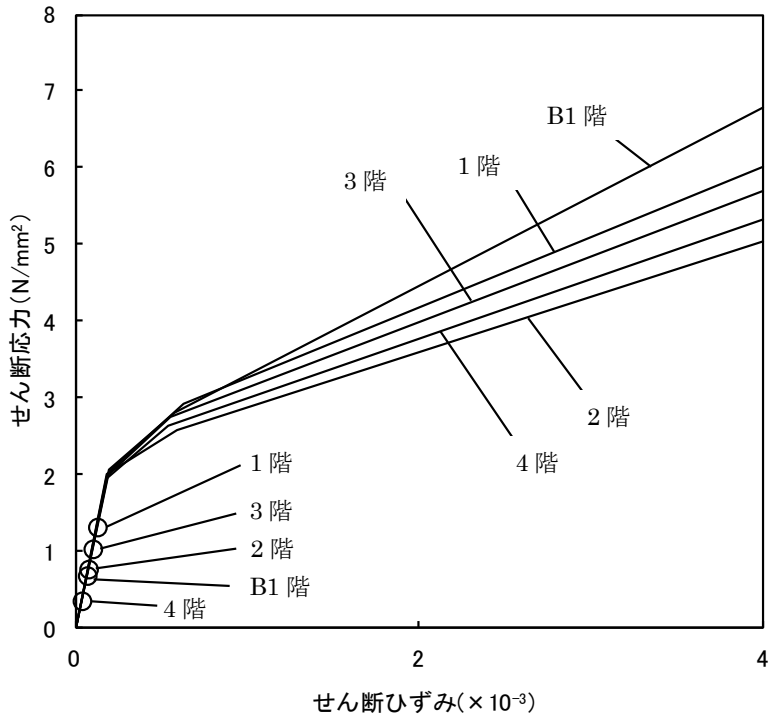

(a)NS 方向

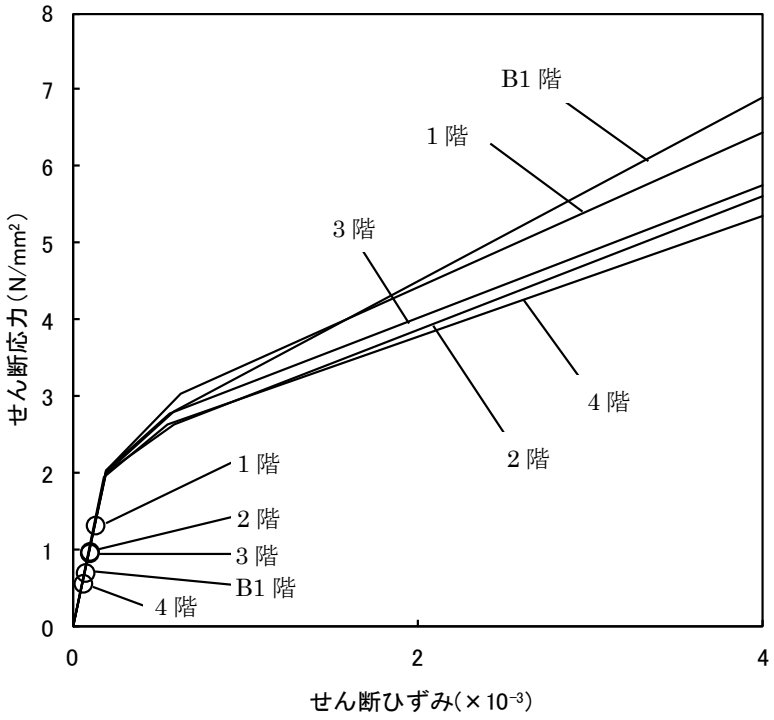

(b)EW 方向

図 2.3.2-7　せん断スケルトン曲線上の最大応答値（Ss-3）

3.　3 号機燃料取り出し用カバーの構造強度及び耐震性について

3.1　概要

3.1.1　一般事項

3 号機燃料取り出し用カバーは，使用済燃料プールを覆う構造としており，燃料取扱設備（燃料取扱機及びクレーン）を支持するドーム状の屋根を有した門型架構であり，構造強度と耐震性について検討を行う。なお，耐震設計上の重要度分類は，燃料取扱設備の間接支持構造物としてＢクラス相当とする。

架構の構造強度は一次設計に対応した許容応力度設計を実施し，耐震性は基準地震動 Ss に対する地震応答解析を実施し，架構の損傷が原子炉建屋，使用済燃料プール及び使用済燃料ラックに波及的影響を及ぼさないことを確認する。ここで，波及的影響の確認は，架構が崩壊機構に至らないことを確認する。図 3.1.1-1 に燃料取り出し用カバーのイメージを示す。

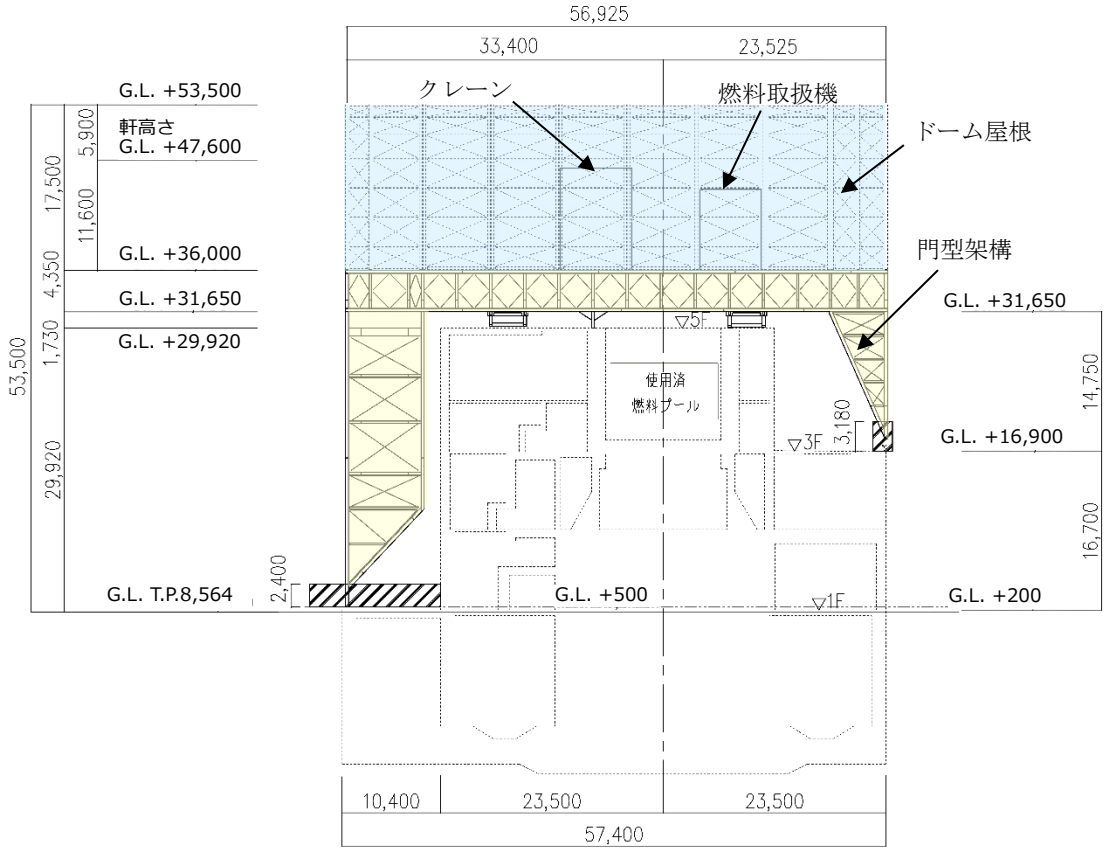

図 3.1.1-1　燃料取り出し用カバーのイメージ（単位：mm）

本章に記載の標高は，震災後の地盤沈下量(-709mm)と O.P.から T.P.への読替値(-727mm)を用いて，下式に基づき換算している。
＜換算式＞ T.P.=旧 O.P.-1.436mm

燃料取り出し用カバーの検討は原則として下記の法規及び基規準類に準拠して行う。

(1) 建築基準法・同施行令及び関連告示
(2) 原子力施設鉄筋コンクリート構造計算規準・同解説（日本建築学会，2005 制定）
(3) 鉄筋コンクリート構造計算規準・同解説（日本建築学会，2010 改定）
(4) 鋼構造設計規準（日本建築学会，2005 改定）
(5) 2007 年版 建築物の構造関係技術基準解説書(国土交通省住宅局建築指導課･国土交通省 国土技術政策総合研究所･独立行政法人建築研究所･日本建築行政会議，2007 刊行)
(6) 鋼構造塑性設計指針（日本建築学会，2010 改定）
(7) 現場打ち同等型プレキャスト鉄筋コンクリート構造設計指針(案)・同解説(2002) （日本建築学会，2002 制定）
(8) プレストレストコンクリート設計施工規準・同解説（日本建築学会，1998 改定）

また，原子力施設の設計において参照される下記の指針及び規程を参考にして検討を行う。

(1) 原子力発電所耐震設計技術指針(JEAG 4601-1987)（日本電気協会　電気技術基準調査委員会，昭和 62 年 8 月 改訂)
(2) 原子力発電所耐震設計技術指針(JEAG 4601-1991 追補版)（日本電気協会　電気技術基準調査委員会，平成 3 年 6 月 発刊)
(3) 原子力発電所耐震設計技術規程(JEAC 4601-2008)（日本電気協会　原子力規格委員会，平成 20 年 12 月 改定)

3.1.2　構造概要

燃料取り出し用カバーは燃料取扱設備を支持する架構で，南北方向に 18.50m，東西方向に 56.925m，地盤面からの高さが 53.50m のドーム状屋根を設けた門型の架構である。構造形式はトラス構造で，構造種別は鉄骨造である。

燃料取り出し用カバーは，原子炉建屋の 1 階，3 階及び 5 階に支持される構造である。なお，5 階の原子炉建屋躯体支持点においては，水平振れ止め装置（ストッパ）及び鉛直方向の制震装置（オイルダンパ）を用いる。

燃料取り出し用カバーの概要を図 3.1.2-1～図 3.1.2-5 に示す。

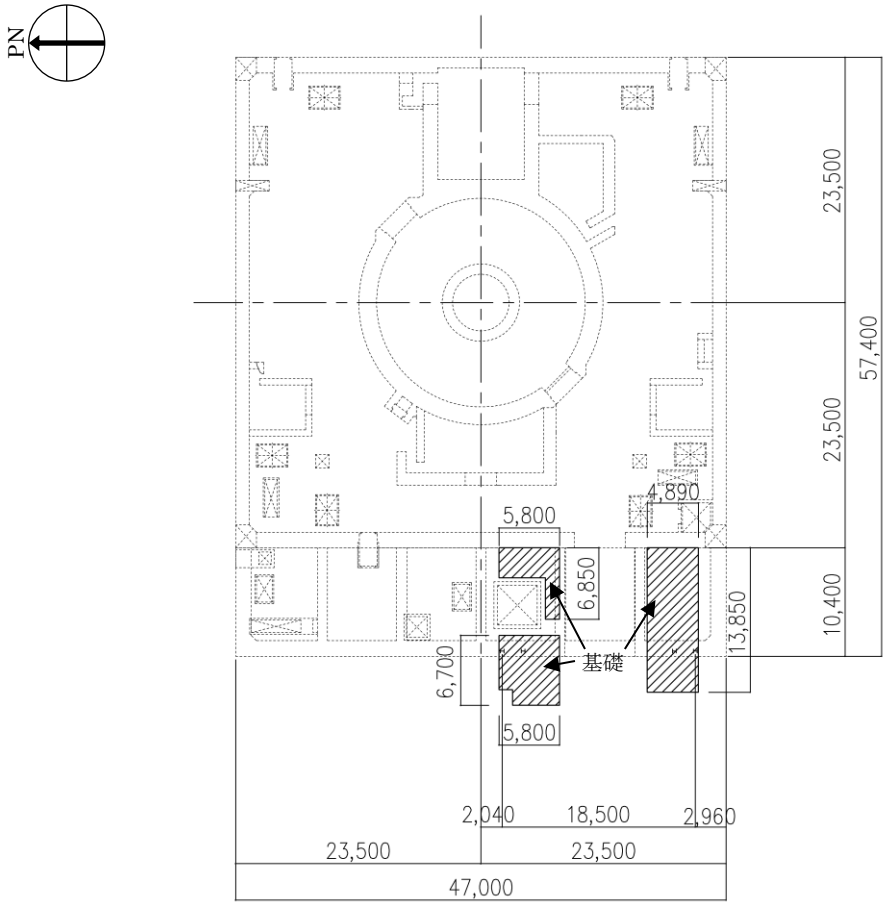

(a) 基礎伏図（G.L.+500　原子炉建屋 1 階レベル+300mm）

図 3.1.2-1　燃料取り出し用カバーの概要（単位：mm）

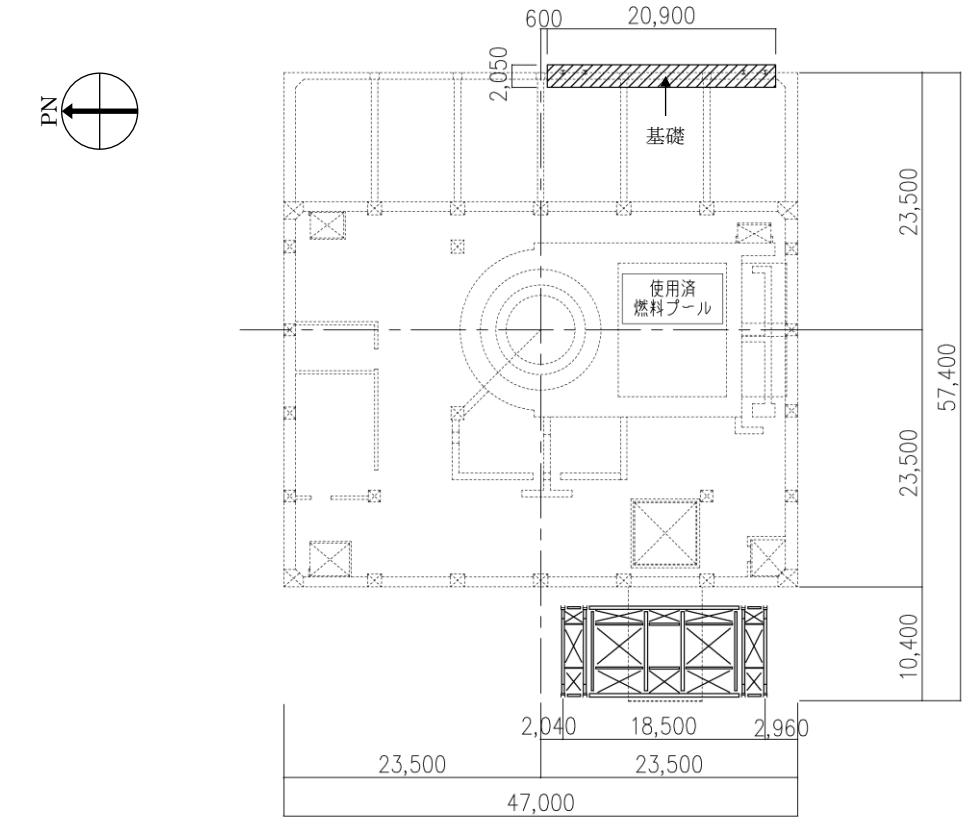

(a) 基礎伏図 (G.L.+16,900　原子炉建屋 3 階)

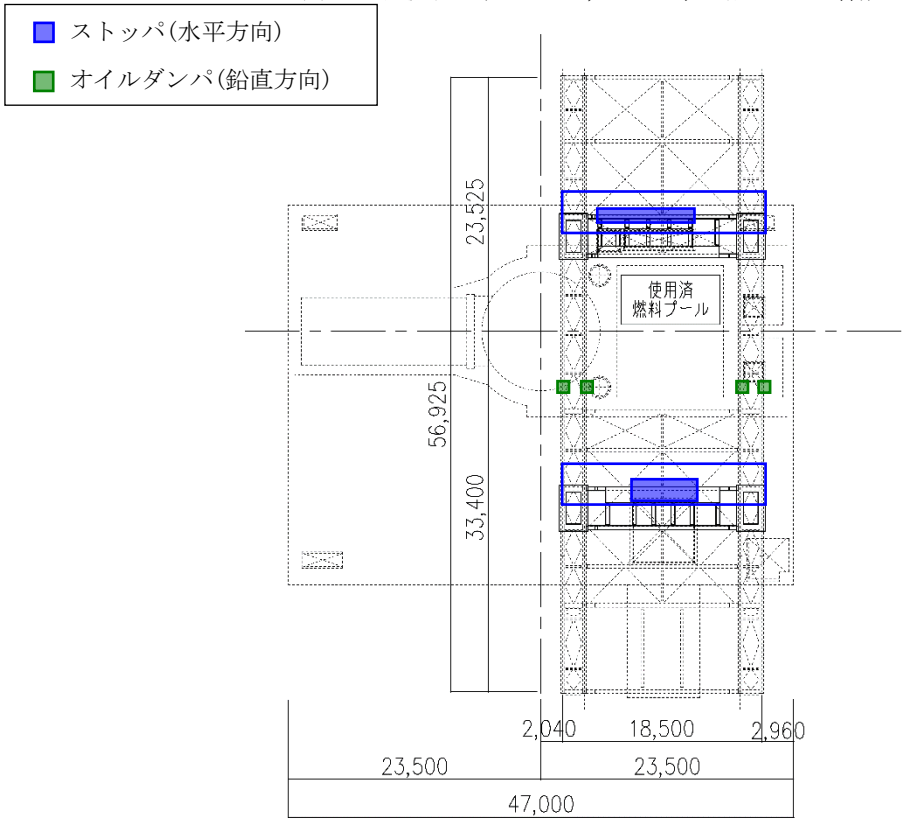

(b)梁伏図 (G.L.+29,920　原子炉建屋 5 階)

図 3.1.2-2　燃料取り出し用カバーの概要 (単位：mm)

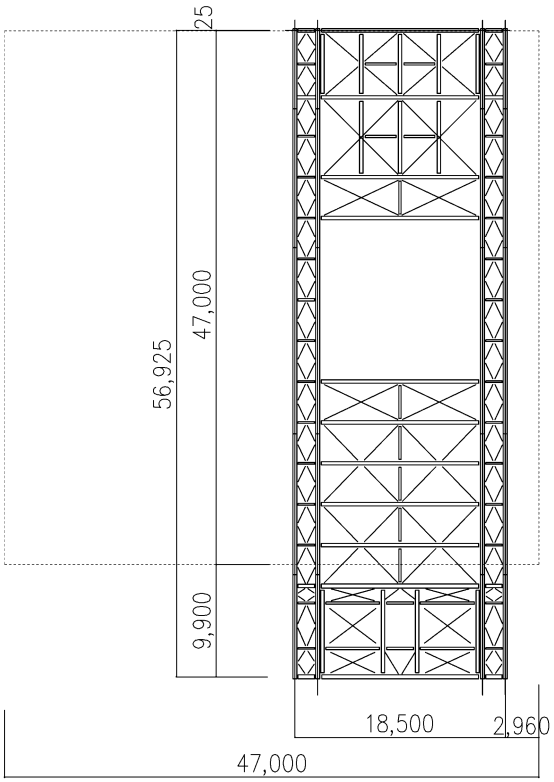

(a)架構ガーダー部平面図(G.L.+36,000)

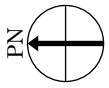

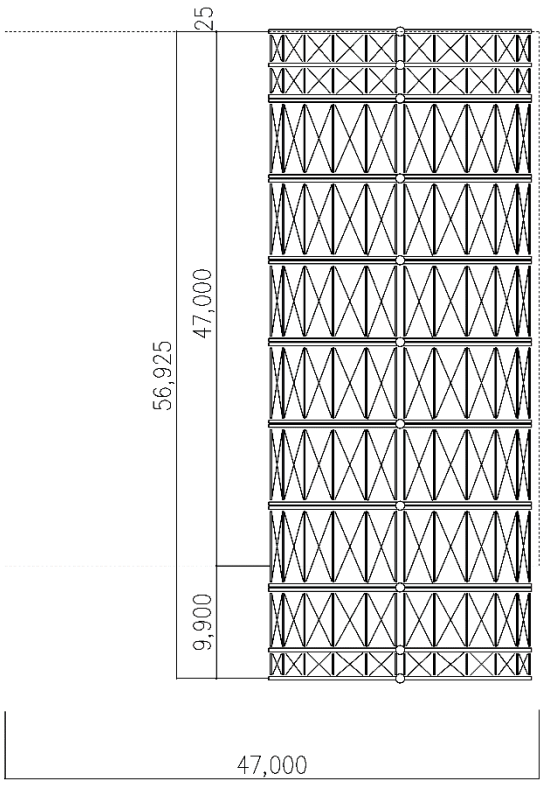

(b)屋根伏図

図 3.1.2-3　燃料取り出し用カバーの概要（単位：mm）

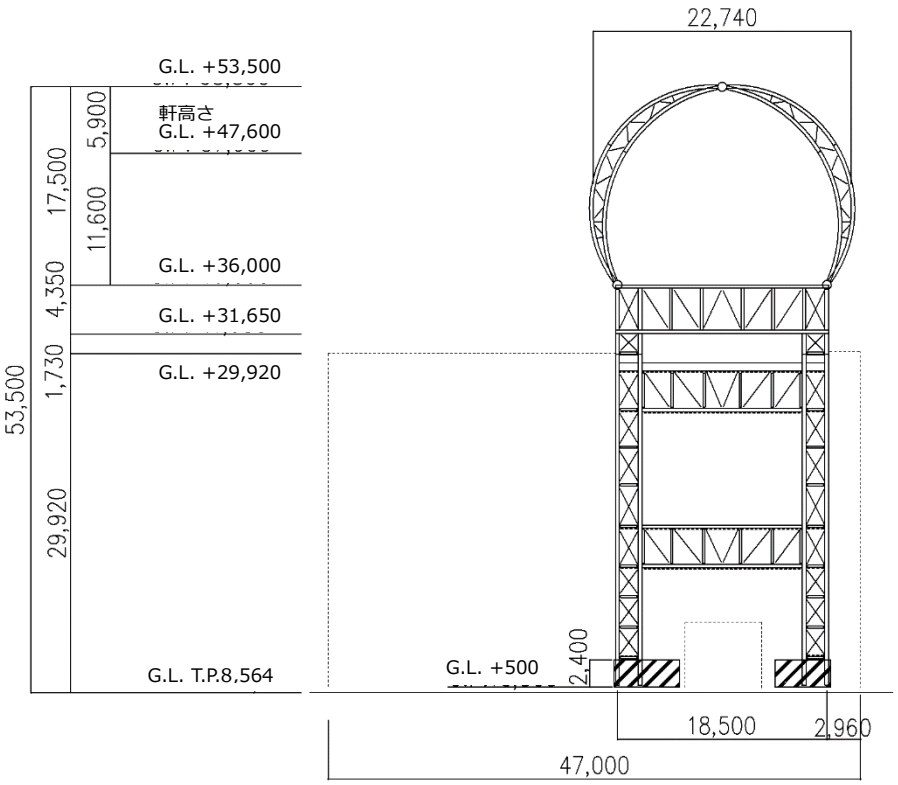

(a) 西軸組図

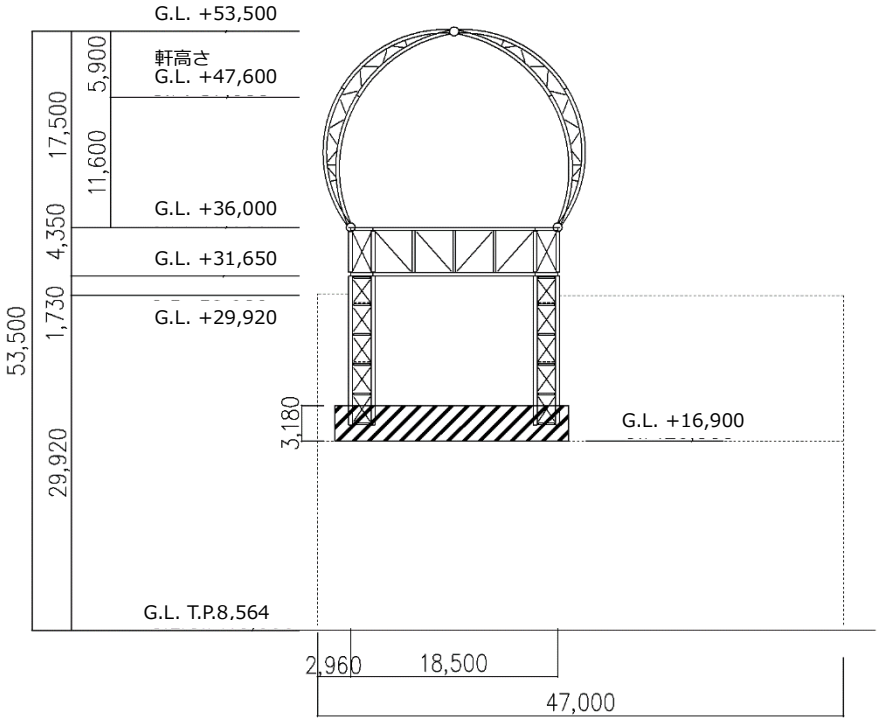

(b) 東軸組図

図 3.1.2-4　燃料取り出し用カバーの概要（単位：mm）

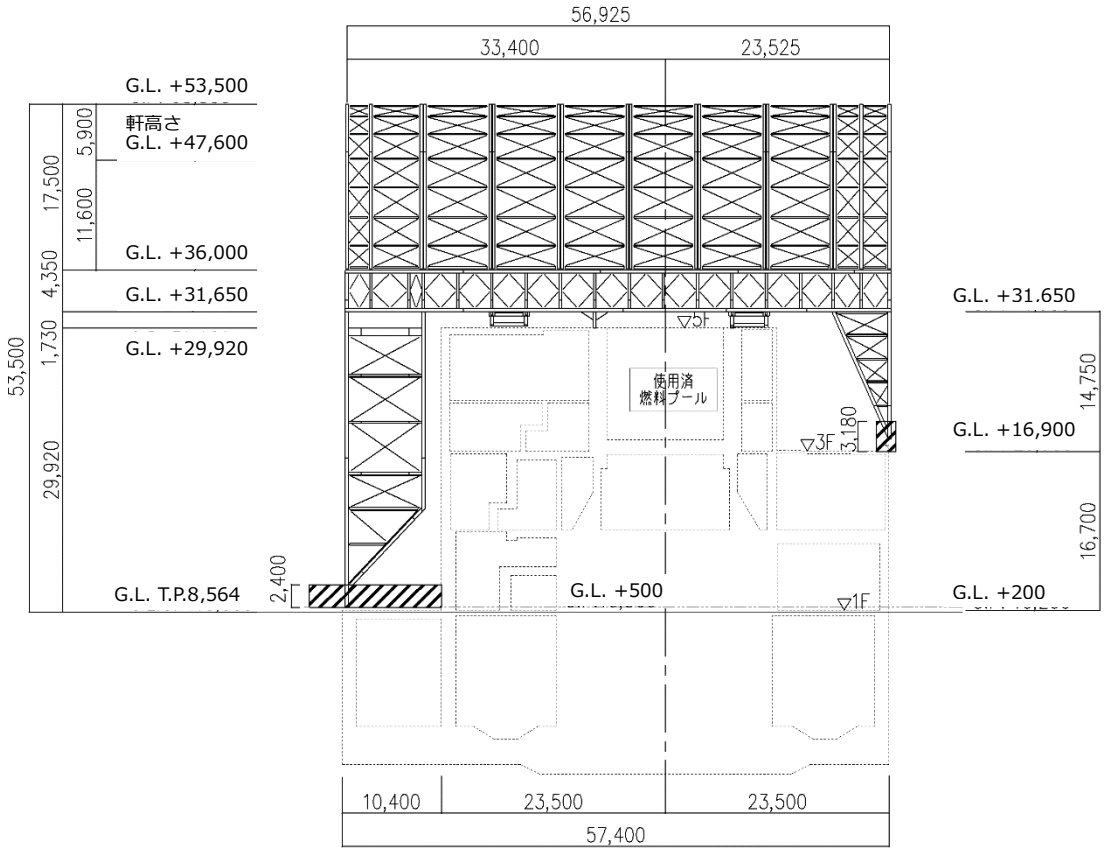

(a)南軸組図

図 3.1.2-5　燃料取り出し用カバーの概要（単位：mm）

3.1.3　検討フロー

燃料取り出し用カバーの構造強度及び耐震性の検討フローを図 3.1.3-1 に示す。

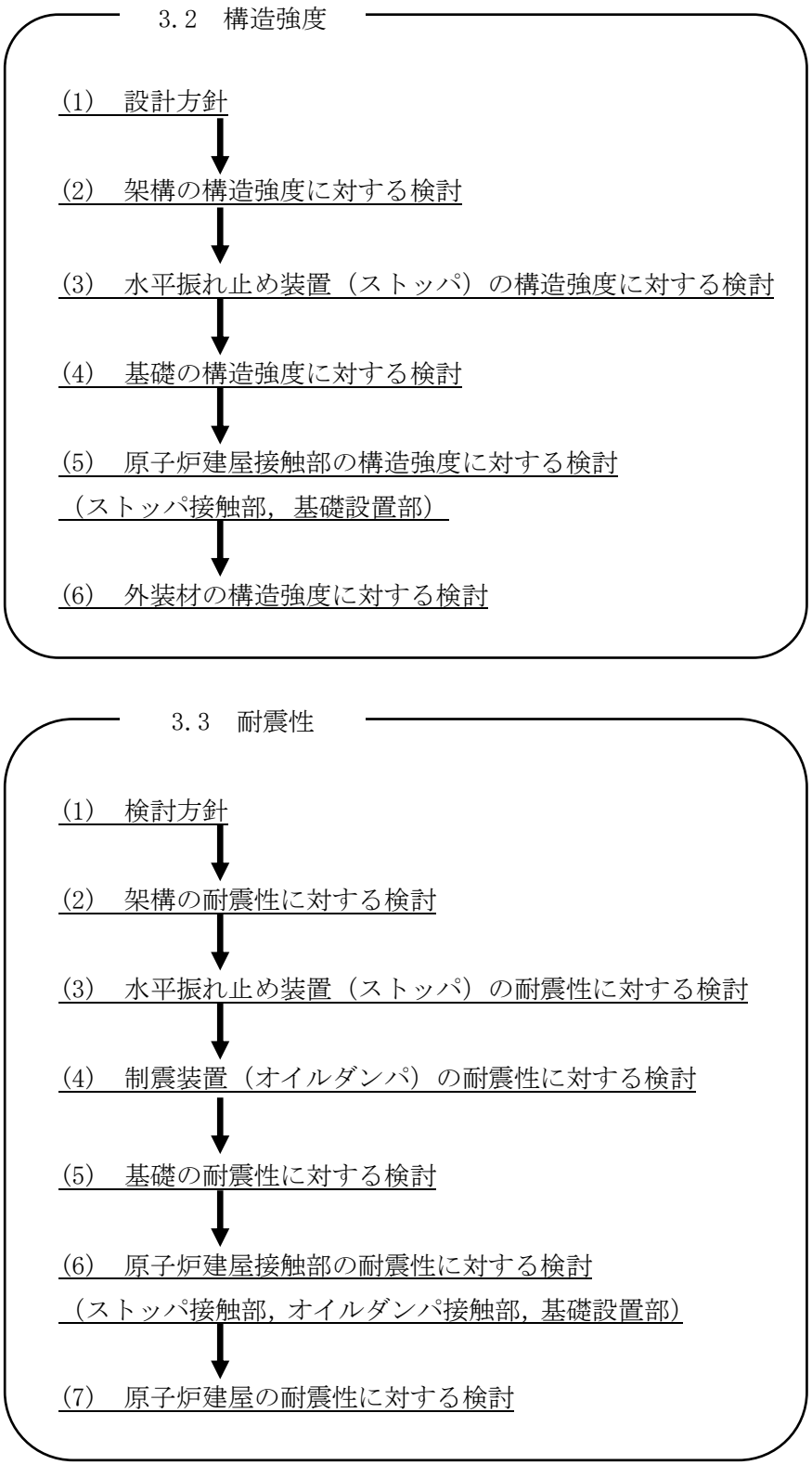

図 3.1.3-1　燃料取り出し用カバーの検討フロー

3.2　構造強度

(1)　設計方針

構造強度の検討は，門型架構及びドーム屋根，水平振れ止め装置（ストッパ），基礎及び外装材について許容応力度設計を実施する。

1)　使用材料及び許容応力度

使用材料の物性値及び許容応力度を表 3.2-1 に示す。

表 3.2-1　使用材料の物性値及び許容応力度

材料定数

部位	材料	ヤング係数 E (N/mm^2)	ポアソン比 ν	単位体積重量 γ (kN/m^3)
架　　構	鉄骨	2.05×10^5	0.3	77.0
基　　礎	コンクリート	2.27×10^4	0.2	24.0

コンクリートの許容応力度　（単位：N/mm^2）

設計基準強度＝24	長期			短期		
	圧縮	引張	せん断	圧縮	引張	せん断
	8.0	－	0.73	16.0	－	1.095

鉄筋の許容応力度　（単位：N/mm^2）

記号	鉄筋径	長期		短期	
		引張及び圧縮	せん断補強	引張及び圧縮	せん断補強
SD345	D29 未満	215	195	345	345
	D29 以上	195			

構造用鋼材の許容応力度　（単位：N/mm^2）

板厚	材料	基準強度 F	許容応力度
T≦40mm	SS400，SN400B	235	「鋼構造設計規準」に従い，左記 F の値より求める
T＞40mm	SN400B	215	
T≦40mm	SM490A，SN490B，STK490	325	
－	STKT590	440*	

＊：　「JIS G 3474-2008」による

2)　荷重及び荷重組合せ

設計で考慮する荷重を以下に示す。

・鉛直荷重（VL）

燃料取り出し用カバーに作用する鉛直方向の荷重で，固定荷重，機器荷重，配管荷重及び積載荷重とする。

・燃料取扱設備荷重（CL）

燃料取扱設備による荷重を表 3.2-2 に示す。

表 3.2-2　燃料取扱設備荷重一覧表

燃料取扱機	788 kN
クレーン	755 kN
吊荷	461 kN

・積雪荷重（SL）

積雪荷重は建築基準法施行令及び福島県建築基準法施行規則細則に準拠し以下の条件とする。

積雪量：30cm，単位荷重：20N/m^2/cm

・風圧力（WL）

風圧力は建築基準法施行令第 87 条および建設省告示第 1454 号に基づき，基準風速を 30m/s，地表面粗度区分Ⅱとして算定する。速度圧の算定結果を表 3.2-3 に示す。

表 3.2-3　速度圧の算定結果

建物高さ* H (m)	平均風速の 鉛直分布係数 Er	ガスト 影響係数 Gf	建物高さと粗度 区分による係数 E	基準風速 Vo (m/s)	速度圧 q (N/m^2)
50.55	1.27	2.00	3.23	30	1750

＊：　建物高さは，軒高さ（47.60m）と最高高さ（53.50m）の平均値とした

・地震荷重（K）

燃料取り出し用カバーに作用させる地震荷重は，G.L.-12.06m（原子炉建屋基礎スラブ上端レベル）を基準面とした原子炉建屋の水平地震力の算定結果より設定する。原子炉建屋の水平地震力は下式より算定し，算定結果を表 3.2-5 及び表 3.2-6 に示す。

$$Qi = n \cdot Ci \cdot Wi$$

$$Ci = Z \cdot Rt \cdot Ai \cdot Co$$

ここで，

Qi ：水平地震力（kN）

n ：施設の重要度に応じた係数（n=1.5）

建築基準法で定める地震力の 1.5 倍を考慮する。

Ci ：地震層せん断力係数

Wi ：当該部分が支える重量（kN）

ここに，燃料取り出し用カバーの設計で考慮する原子炉建屋の全体重量は，瓦礫撤去の効果と遮へい体及び燃料取り出し用カバーを新規に設置する影響を考慮した。原子炉建屋の全体重量を表 3.2-4 に示す。

表 3.2-4　原子炉建屋の全体重量(kN)

原子炉建屋全体重量*	1092200
瓦礫撤去による軽減重量	-24640
遮へい体設置による付加重量	+18000
燃料取り出し用カバー等の付加重量	+44750
燃料取り出し用カバー設計用原子炉建屋全体重量	1130310

＊：「福島第一原子力発電所の原子炉建屋の現状の耐震安全性および補強等に関する検討に係る報告書（その２）」（東京電力株式会社，平成 23 年 7 月 13 日）において用いた各階重量の総計

Z ：地震地域係数（Z=1.0）

Rt ：振動特性係数（Rt=0.8）

Ai ：地震層せん断力係数の高さ方向の分布係数で，原子炉建屋の固有値を用いたモーダル解析法（二乗和平方根法）により求める。

C_0 ：標準せん断力係数（C_0=0.2）

i 層の水平震度 ki は，下式によって算定する。

$$Pi=Q_i-Q_{i-1}$$

$$ki=Pi/wi$$

ここで，

Pi：当該階とその直下階の水平地震力の差（kN）

wi：各階重量（kN）

表 3.2-5　原子炉建屋の水平震度の算定結果（NS 方向）

階	標 高 G.L.(m)	各階重量 wi(kN)	Wi (kN)	Ai	n・Ci	Qi (kN)	Pi (kN)	水平震度 ki
5	+29.92	87590	—	—	—	—	43010	0.492
4	+29.92～+22.30	119490	87590	2.046	0.491	43010	42720	0.358
3	+22.30～+16.90	111340	207080	1.728	0.414	85730	31770	0.286
2	+16.90～+8.70	130160	318420	1.537	0.369	117500	26050	0.201
1	+8.70～+0.20	253710	448580	1.331	0.320	143550	25000	0.099
B1	+0.20～-12.06	—	702290	1.000	0.240	168550	—	—

表 3.2-6　原子炉建屋の水平震度の算定結果（EW 方向）

階	標 高 G.L.(m)	各階重量 wi(kN)	Wi (kN)	Ai	n・Ci	Qi (kN)	Pi (kN)	水平震度 ki
5	+29.92	87590	—	—	—	—	48610	0.555
4	+29.92～+22.30	119490	87590	2.311	0.555	48610	39610	0.332
3	+22.30～+16.90	111340	207080	1.775	0.426	88220	30230	0.272
2	+16.90～+8.70	130160	318420	1.552	0.372	118450	24200	0.186
1	+8.70～+0.20	253710	448580	1.323	0.318	142650	25900	0.103
B1	+0.20～-12.06	—	702290	1.000	0.240	168550	—	—

架構に作用させる水平震度は，原子炉建屋 1 階，3 階及び 5 階の水平震度を用いるものとし，水平地震力を設定する。ドーム屋根部分の水平震度は，建設省告示第 1389 号に基づく 1.0 に 1.5 を乗じて用いる。表 3.2-7 に燃料取り出し用カバーに作用させる水平地震力の算定結果を示す。

表 3.2-7　水平地震力の算定結果

標高 G.L.(m)	各階重量 wi(kN)	NS 方向		EW 方向	
		水平震度 ki	水平地震力 Pi　(kN)	水平震度 ki	水平地震力 Pi　(kN)
+53.50	3200	1.500	4800	1.500	4800
+36.00	11400	0.492	5609	0.555	6327
+16.90	200	0.286	57	0.272	54
+0.20	1200	0.099	119	0.103	124

・荷重組合せ

設計で考慮する燃料取扱機及びクレーンの位置を図 3.2-1 に，荷重組合せを表 3.2-8 に示す。

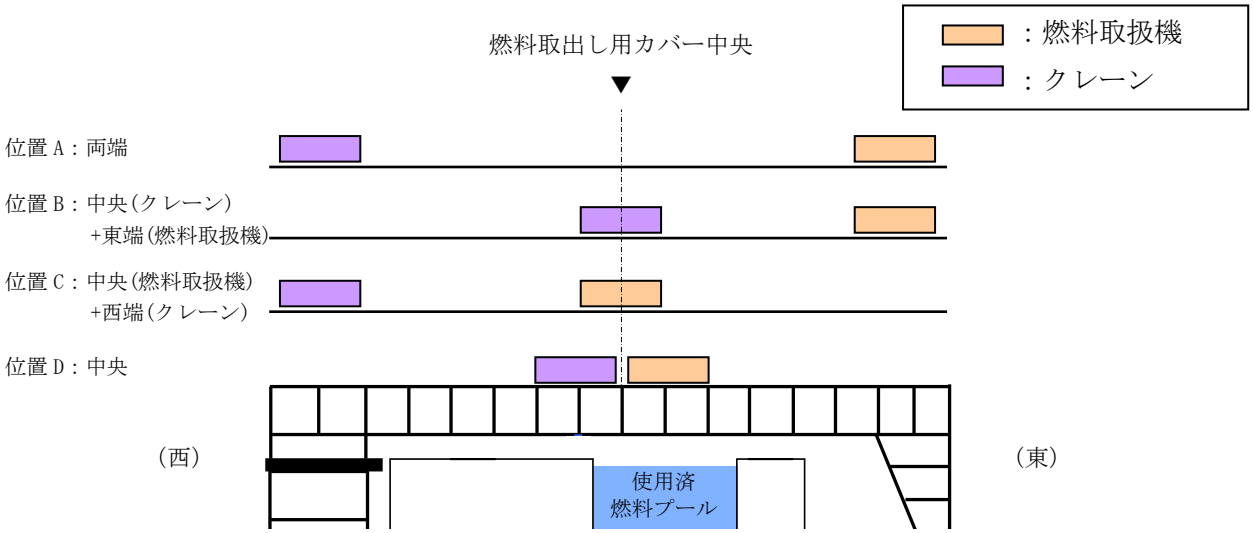

図 3.2-1　燃料取扱設備の位置

表 3.2-8　燃料取り出し用カバーの荷重組合せ

想定する状態	荷重ケース	荷重組合せ内容	許容応力度
常時	C	VL+CL*1	長期
積雪時*3	S	VL+CL*1+SL	短期
暴風時*3	W	VL+CL*1+WL	
地震時	E1	VL+CL*1+K(+NS) *2	
	E2	VL+CL*1+K(-NS) *2	
	E3	VL+CL*1+K(+EW) *2	
	E4	VL+CL*1+K(-EW) *2	

＊1：吊荷荷重は，常時，積雪時及び暴風時は図 3.2-1 に示すクレーンの位置，地震時は使用済燃料プール直上の架構にて考慮する。

＊2：地震荷重は NS 方向及び EW 方向を考慮する。

＊3：短期事象では地震時が支配的であることから，積雪時及び暴風時の検討は省略する。ただし，外装材の検討は暴風時が支配的であることから暴風時に対し検討を行う。

なお，地震時と暴風時の架構の層せん断力について，風荷重の受圧面積が最大になる NS 方向で比較した結果を図 3.2-2 に示す。図 3.2-2 より，地震時の層せん断力は暴風時の層せん断力を包絡しており，支配的な荷重である。

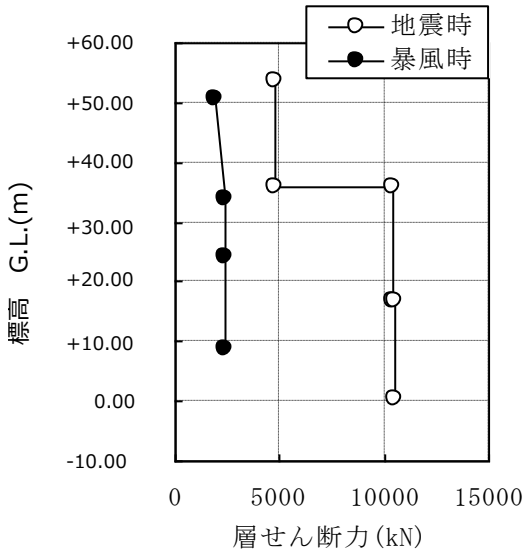

図 3.2-2　地震時と暴風時の層せん断力の比較

(2)　架構の構造強度に対する検討

1)　解析モデル

架構の解析モデルは，門型架構及びドーム屋根を構成する主要な鉄骨部材からなる立体架構モデルとする。図 3.2-3 に架構の立体解析モデルを示す。解析モデルの柱脚部はピン支持，ストッパ取り付き部は水平方向のみピン支持とする。

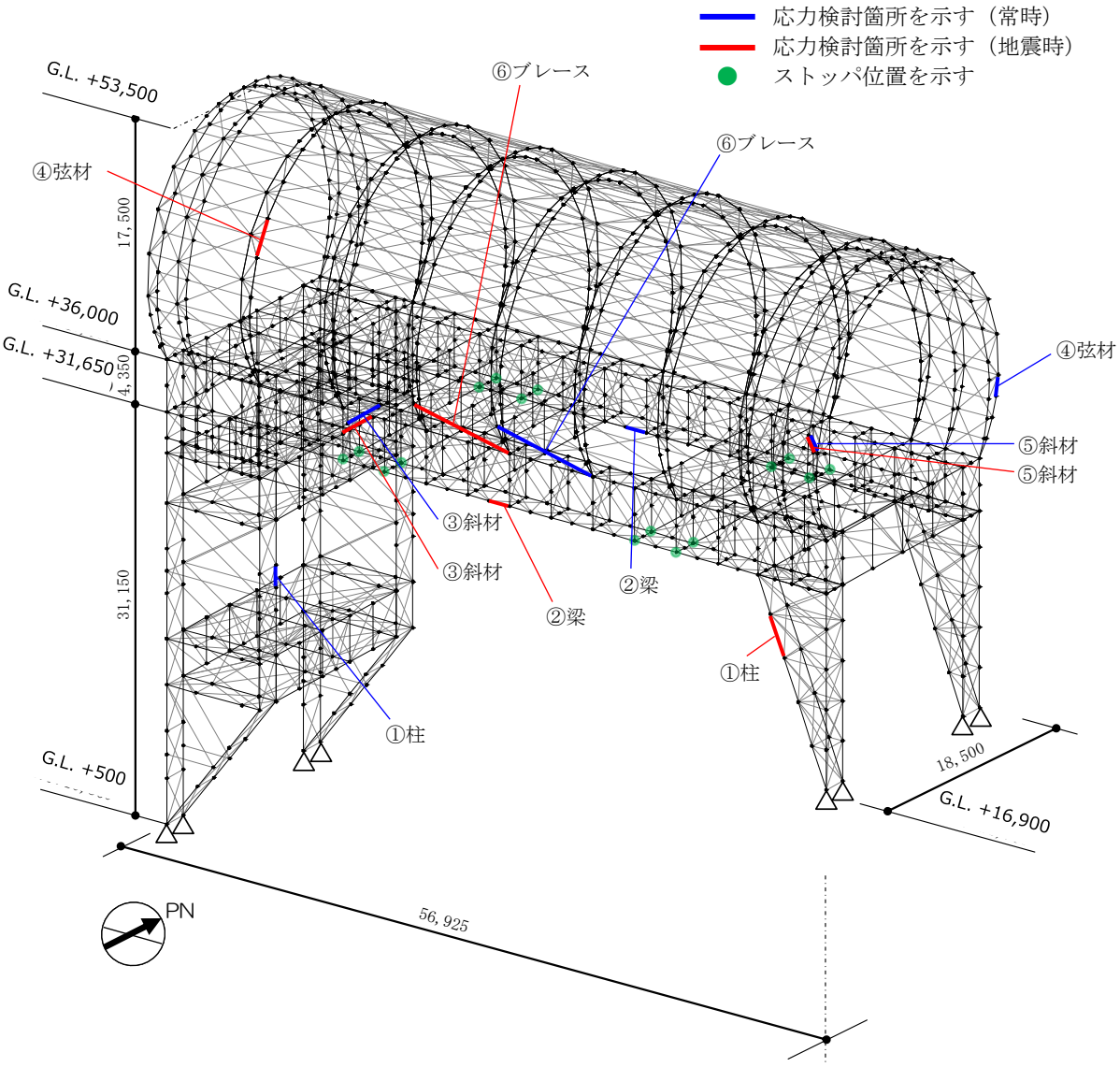

図 3.2-3　解析モデル図（単位：mm）

2)　断面検討

応力度比の検討は「鋼構造設計規準」に従い，軸力に対して下式にて検討を行う。

・軸圧縮の場合　　$\frac{\sigma_c}{f_c} \leqq 1$

・軸引張の場合　　$\frac{\sigma_t}{f_t} \leqq 1$

ここで，　　σ_c，σ_t：圧縮応力度（N/A）及び引張応力度（T/A）(N/mm^2)

N：圧縮力(N)，T：引張力(N)，A：断面積(mm^2)

f_c：許容圧縮応力度(N/mm^2)

f_t：許容引張応力度(N/mm^2)

表 3.2-9 及び表 3.2-10 に応力度比が最大となる部位の断面検討結果を示す。

断面検討の結果，全ての部材に対する応力度比が 1 以下になることを確認した。

表 3.2-9　断面検討結果（常時）

部　位*1			部材形状 (mm) 〈使用材料〉	荷重ケース （位置）*2	作用 応力度 (N/mm^2)		許容 応力度 (N/mm^2)	応力度比	判定
門型 架構	①	柱	H-350×350 ×12×19 〈SM490〉	C (D)	圧縮	77.4	164	0.48	O.K.
	②	梁	H-350×350 ×12×19 〈SM490〉	C (D)	引張	91.4	216	0.43	O.K.
	③	斜材	2[s-150×75 ×6.5×10 〈SM490〉	C (D)	圧縮	103.0	120	0.86	O.K.
ドーム 屋根	④	弦材	φ-318.5×6.9 〈STKT590〉	C (B)	引張	33.5	293	0.12	O.K.
	⑤	斜材	φ-139.8×4.5 〈STK490〉	C (B)	圧縮	43.4	203	0.22	O.K.
	⑥	ブレース	φ-114.3×4.5 〈STK490〉	C (D)	圧縮	19.4	92	0.22	O.K.

＊1：①～⑥の符号は図 3.2-3 の応力検討箇所を示す

＊2：図 3.2-1 に示す燃料取扱設備の位置を示す

表 3.2-10　断面検討結果（地震時）

部　位*1			部材形状 (mm) 〈使用材料〉	荷重ケース (位置) *2	作用 応力度 (N/mm²)		許容 応力度 (N/mm²)	応力度比	判定
門型 架構	①	柱	H-350×350 ×12×19 〈SM490〉	E1 (D)	圧縮	138.9	289	0.49	O.K.
	②	梁	H-350×350 ×12×19 〈SM490〉	E1 (D)	引張	108.3	324	0.34	O.K.
	③	斜材	2[s-150×75 ×6.5×10 〈SM490〉	E1 (D)	圧縮	164.5	180	0.92	O.K.
ドーム 屋根	④	弦材	φ-267.4×6.6 〈STKT590〉	E1 (D)	圧縮	155.2	396	0.40	O.K.
	⑤	斜材	φ-139.8×4.5 〈STK490〉	E3 (A)	圧縮	165.8	304	0.55	O.K.
	⑥	ブレース	φ-114.3×4.5 〈STK490〉	E3 (D)	圧縮	80.6	138	0.59	O.K.

＊1：①～⑥の符号は図 3.2-3 の応力検討箇所を示す

＊2：図 3.2-1 に示す燃料取扱設備の位置を示す

(3)　水平振れ止め装置（ストッパ）の構造強度に対する検討

原子炉建屋の 5 階床上面 2 か所に鋼製のストッパを設置し，架構に発生する水平力を，ストッパを介して原子炉建屋に支持させる。原子炉建屋へは，5 階床の床開口部に突出させた強固なシアキにより水平力を伝達させる。図 3.2-4 にストッパ概要図を示す。

ストッパについては，架構と原子炉建屋を結んだバネ材に発生する水平力の最大値が，床開口に差し込むシアキの短期許容せん断力以下であることを確認する。

なお，原子炉建屋と水平振れ止め装置（ストッパ）の接触部については，不具合が見つかった場合には適切に補修等を実施する。

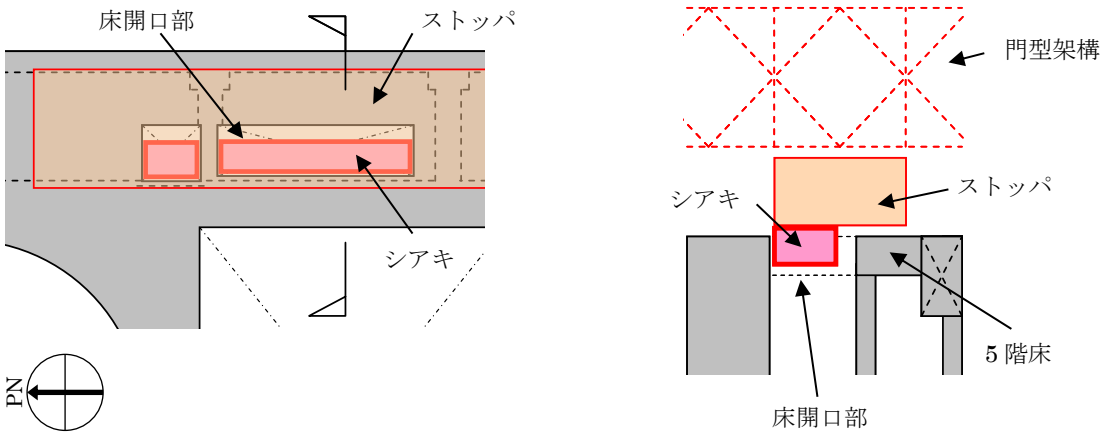

(a)伏図　　(b)断面図

図 3.2-4　ストッパ概要図

シアキの許容せん断力は下式より算定し，表 3.2-11 に応力比が最大となる部位の断面検討結果を示す。

断面検討の結果，全てのストッパに対する応力比が 1 以下になることを確認した。

$$Q_a = A \cdot f_s$$

ここに，

Qa：短期許容せん断力(kN)

A：シアキの断面積（mm^2）

f_s：短期許容せん断応力度(N/mm^2)（SM490A）

表 3.2-11　ストッパ（シアキ）の断面検討結果

部位	荷重ケース (位置)*	ストッパ反力 Q(kN)	短期許容せん断力 Qa(kN)	応力比 Q/Qa	判定
東側ストッパ	E4 (A)	2560	8620	0.30	O.K.

＊：図 3.2-1 に示す燃料取扱設備の位置を示す

(4)　基礎の構造強度に対する検討

架構の基礎は独立フーチング基礎とし，西側柱脚部は原子炉建屋の地下 1 階壁の直上に設置し，

東側柱脚部は原子炉建屋2階壁の直上に設置して基礎反力が原子炉建屋を介して地盤に伝わるようにする。ここでは，基礎の浮き上がりに対しては基礎反力（圧縮力を正）の最小値が0以上であることを確認し，基礎のすべりに対しては基礎反力の水平力が許容摩擦力以下であることを確認する。

なお，基礎底面の摩擦係数は「現場打ち同等型プレキャスト鉄筋コンクリート構造設計指針(案)・同解説(2002)」に準じて，特に先打ちコンクリート表面に処理をしない場合の後打ちコンクリートとの境界面で設定する0.6(普通コンクリートの場合)とする。

表3.2-12に基礎反力が最小となる部位の基礎浮き上がりの検討結果を示す。

基礎浮き上がりの検討の結果，全ての基礎の最小圧縮力が0以上であることを確認した。

表3.2-12　基礎浮き上がりの検討結果

部位	荷重ケース （位置）＊	最小圧縮力 N(kN)	判定
東側柱脚 （北側）	E1 (C)	1990	O.K.

＊：図3.2-1に示す燃料取扱設備の位置を示す

許容摩擦力は下式より算定し，表3.2-13に応力比が最大となる部位の検討結果を示す。

基礎すべりの検討の結果，全ての基礎に対する応力比が1以下になることを確認した。

$$V_a = \mu(N + R)$$

ここに，

Va：許容摩擦力(kN)

μ ：摩擦係数（μ=0.6）

N：基礎重量(kN)

R：基礎上端の架構の鉛直反力(kN)

表3.2-13　基礎すべりの検討結果

部位	荷重ケース （位置）＊	水平力 Q(kN)	許容摩擦力 Va(kN)	応力比 Q/Va	判定
東側柱脚	C (D)	2410	5270	0.46	O.K.
	E4 (D)	2430	4580	0.54	O.K.

＊：図3.2-1に示す燃料取扱設備の位置を示す

(5)　原子炉建屋接触部の構造強度に対する検討

1)　ストッパ接触部

ストッパ接触部の構造強度の検討では，ストッパ水平反力が，既存躯体の短期許容支圧力以下になることを確認する。なお，許容支圧応力度は，原子炉建屋の設計基準強度(22.1N/mm^2)を用いて「プレストレストコンクリート設計施工規準・同解説」に基づき算出する。

短期許容支圧力 Na は下式より算定し，表 3.2-14 に応力比が最大となる部位の検討結果を示す。

検討の結果，全てのストッパ接触部に対する応力比が 1 以下になることを確認した。

$$N_a = f_n \cdot A_l$$

$$f_n = f_{na}\sqrt{\frac{A_c}{A_l}} \quad \text{ただし，} \quad \sqrt{\frac{A_c}{A_l}} \leq 2.0$$

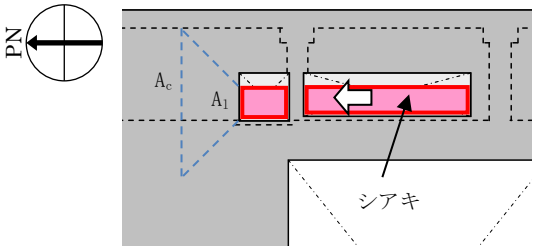

ここに，

f_n ：短期許容支圧応力度(N/mm^2)

f_{na}：$F_{ci}/1.25$ または $0.6F_c$ のうち小さいほうの値(N/mm^2)

F_{ci}：コンクリート強度，特に定めのない場合には 20N/mm^2　(F_{ci}=22.1N/mm^2)

A_c ：支圧端から離れて応力が一様分布となったところのコンクリートの支承面積(mm^2)

A_1 ：局部圧縮を受ける支圧面積(mm^2)

表 3.2-14　ストッパ接触部の検討結果

部位	荷重ケース（位置）＊	ストッパ水平反力 N(kN)	短期許容支圧力 Na(kN)	応力比 N/Na	判定
東側ストッパ	E2 (B)	3980	10300	0.39	O.K.

＊：図 3.2-1 に示す燃料取扱設備の位置を示す

2)　基礎設置部

架構の西側脚部は原子炉建屋 1 階レベル（G.L.+0.2m）で支持し，東側脚部は原子炉建屋 3 階レベル（G.L.+16.9m）で支持している。基礎設置部については，柱脚の鉛直反力により生じる直下壁の軸力が壁の許容軸力以下であることを確認する。

許容軸力 Na は下式より算定し，表 3.2-15 に応力比が最大となる部位の検討結果を示す。

検討の結果，全ての基礎設置部に対する応力比が 1 以下になることを確認した。

$${}_L N_a = {}_L f_c \cdot A_l \quad , \quad {}_S N_a = {}_S f_c \cdot A_l$$

ここに，

${}_L f_c$：長期許容圧縮応力度(N/mm^2)（${}_L f_c$=22.1×1/3=7.4）

${}_S f_c$：短期許容圧縮応力度(N/mm^2)（${}_S f_c$=22.1×2/3=14.7）

A_1：　柱脚部支配面積(mm^2)

表 3.2-15　壁の圧縮力の検討結果

部位	荷重ケース（位置）＊	軸力 N(kN)	許容軸力 Na(kN)	応力比 N/Na	判定
東側柱脚（南側）	C (B)	4280	12900	0.34	O.K.
	E1 (B)	6540	25900	0.26	O.K.

＊：図 3.2-1 に示す燃料取扱設備の位置を示す

(6)　外装材の構造強度に対する検討

1)　検討箇所

架構の屋根面及び側面を覆う外装材は，折板を用いる。強度検討は，壁材，屋根材それぞれに風圧力により生じる応力度が短期許容応力度以下であることを確認する。なお，短期事象においては，暴風時の影響が支配的であることから，積雪時及び地震時の検討は省略する。検討箇所を図 3.2-5 に示す。

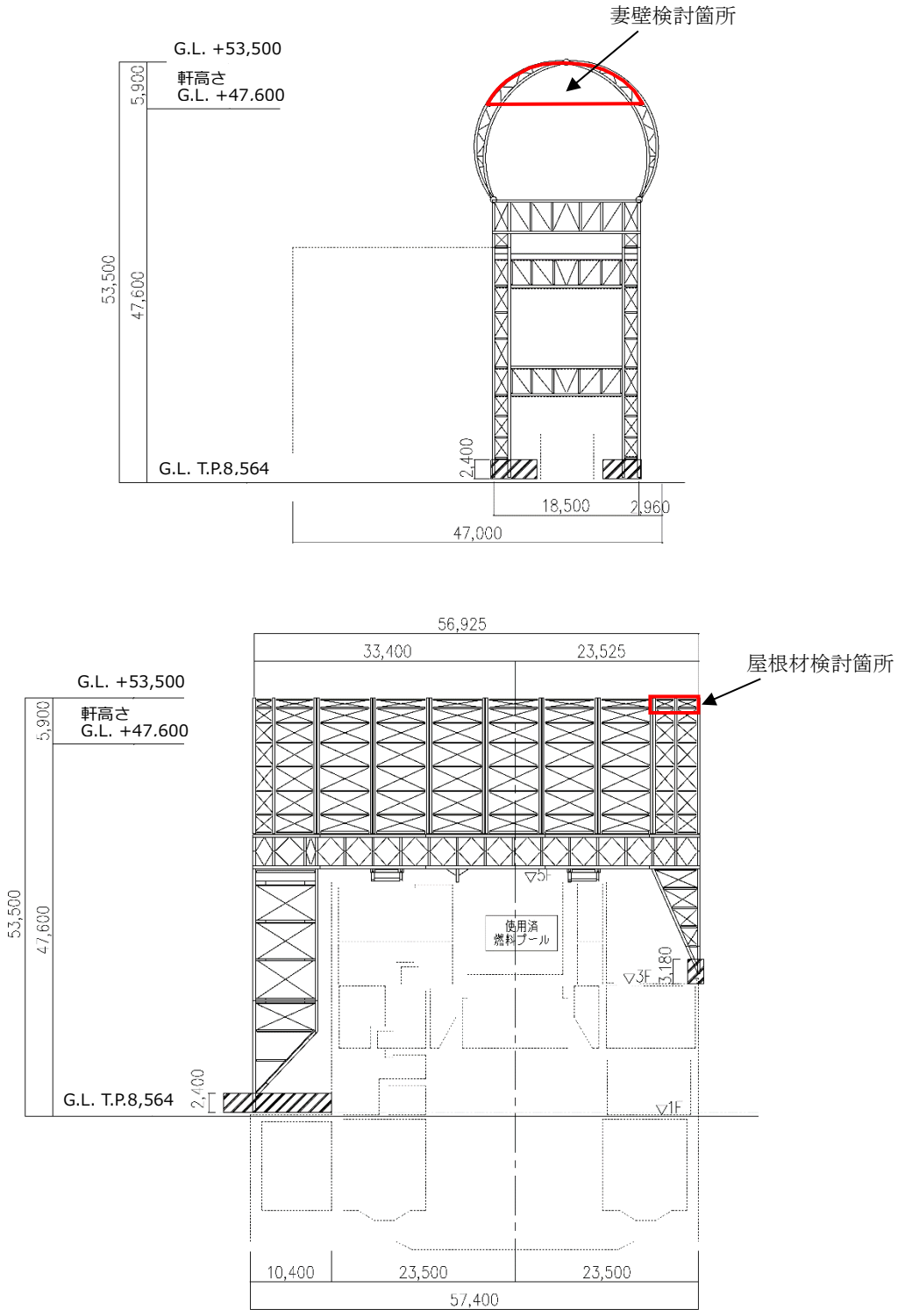

図 3.2-5　外装材検討箇所（単位：mm）

2)　設計用荷重の算定

設計用風圧力は，建築基準法施行令第 82 条の 4 および建設省告示第 1458 号に基づき，基準風速 30m/s，地表面粗度区分Ⅱとして算定する。速度圧の算定結果を表 3.2-16 に，ピーク風力係数を表 3.2-17 に，風力係数の算定箇所を図 3.2-6 に示す。

表 3.2-16　速度圧の算定結果

建物高さ* H (m)	平均風速の高さ方向の分布を表す係数 E_r	基準風速 V_0 (m/s)	平均速度圧 q (N/m^2)
50.55	1.27	30	871

*：建物高さは，軒高さ（47.60m）と最高高さ（53.50m）の平均値とした

表 3.2-17　ピーク風力係数

建物高さ* H (m)	屋根面		妻壁面	
	一般部	周縁部	一般部	隅角部
50.55	-2.5	-3.2	-2.02	-2.5

*：建物高さは，軒高さ（47.60m）と最高高さ（53.50m）の平均値とした

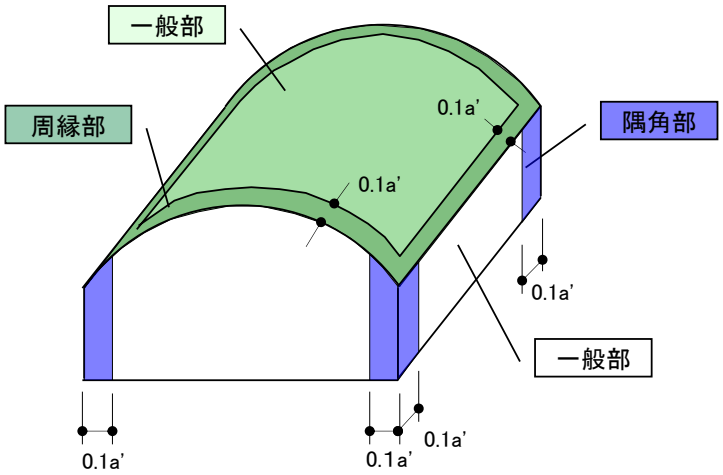

a'は平面の短辺の長さと H の 2 倍の数値のうちいずれか小さな数値（30 を超えるときは，30 とする）（単位：m）

図 3.2-6　風力係数の算定箇所

3)　外装材の強度検討

検討は，応力が厳しくなる部位について行う。ここでは，折板の自重は考慮しないものとする。折板の間隔はドーム屋根が 3.4m で連続支持，妻壁が 4.0m で単純支持されているものと仮定する。

屋根材及び壁材の材料諸元を表 3.2-18 に示す。また，検討結果を表 3.2-19 に示す。

断面検討の結果，全ての外装材に対する応力度比が 1 以下になることを確認した。

表 3.2-18　屋根材及び壁材の材料諸元

板厚	自重	正曲げ方向		負曲げ方向	
		断面 2 次モーメント	断面係数	断面 2 次モーメント	断面係数
t (mm)	G (N/m^2)	I_x (cm^4/m)	Z_x (cm^3/m)	I_x (cm^4/m)	Z_x (cm^3/m)
0.8	118	360	43.6(13.1*)	347	40.6(12.2*)

＊：括弧内の数値は折曲加工部を示す

表 3.2-19　応力度に対する検討結果

部位	作用応力度 (N/mm^2)	許容応力度 (N/mm^2)	応力度比	判定
ドーム屋根	189	205*	0.93	O.K.
妻壁	109	205*	0.54	O.K.

＊：「JIS G 3321-2010」による

・応力度に対する検討

①ドーム屋根

$w = 871 \times (-3.20) = -2790 (N/m^2)$

$M = (9/128) \times w \times L^2 = (9/128) \times (-2790) \times 3.4^2 \times 10^{-3} = -2.3 (kNm/m)$

$\sigma_b = M/Z = 2.3 \times 10^6 / (12.2 \times 10^3) = 189 (N/mm^2)$

$\sigma_b / f_b = 189/205 = 0.93 \leqq 1.0$　　OK

②妻壁

$w = 871 \times (-2.50) = -2180 (N/m^2)$

$M = (1/8) \times w \times L^2 = (1/8) \times (-2180) \times 4.0^2 \times 10^{-3} = -4.4 (kNm/m)$

$\sigma_b = M/Z = 4.4 \times 10^6 / (40.6 \times 10^3) = 109 (N/mm^2)$

$\sigma_b / f_b = 109/205 = 0.54 \leqq 1.0$　　OK

3.3　耐震性

(1)　検討方針

耐震性の検討は，架構，水平振れ止め装置（ストッパ），制震装置（オイルダンパ），基礎，原子炉建屋接触部及び原子炉建屋の健全性について行い，基準地震動 Ss に対して，これらの応答性状を適切に表現できる地震応答解析を用いて評価する。なお，地震応答解析は水平方向及び鉛直方向を同時に入力する。

(2)　架構の耐震性に対する検討

1)　解析に用いる入力地震動

検討に用いる地震動は,「福島第一原子力発電所『発電用原子炉施設に関する耐震設計審査指針』の改訂に伴う耐震安全性評価結果　中間報告書」（東京電力株式会社，平成 20 年 3 月 31 日）にて作成した解放基盤表面で定義される基準地震動 Ss とする。

地震応答解析に用いる入力地震動の概念図を図 3.3-1 に示す。モデルに入力する地震動は一次元波動論に基づき，解放基盤表面で定義される基準地震動 Ss に対する地盤の応答として評価する。解放基盤表面位置（G.L.-206.0m(震災前 O.P.-196.0m)）における基準地震動 Ss-1，Ss-2 及び Ss-3 の加速度時刻歴波形を図 3.3-2(1)及び図 3.3-2(2)に示す。

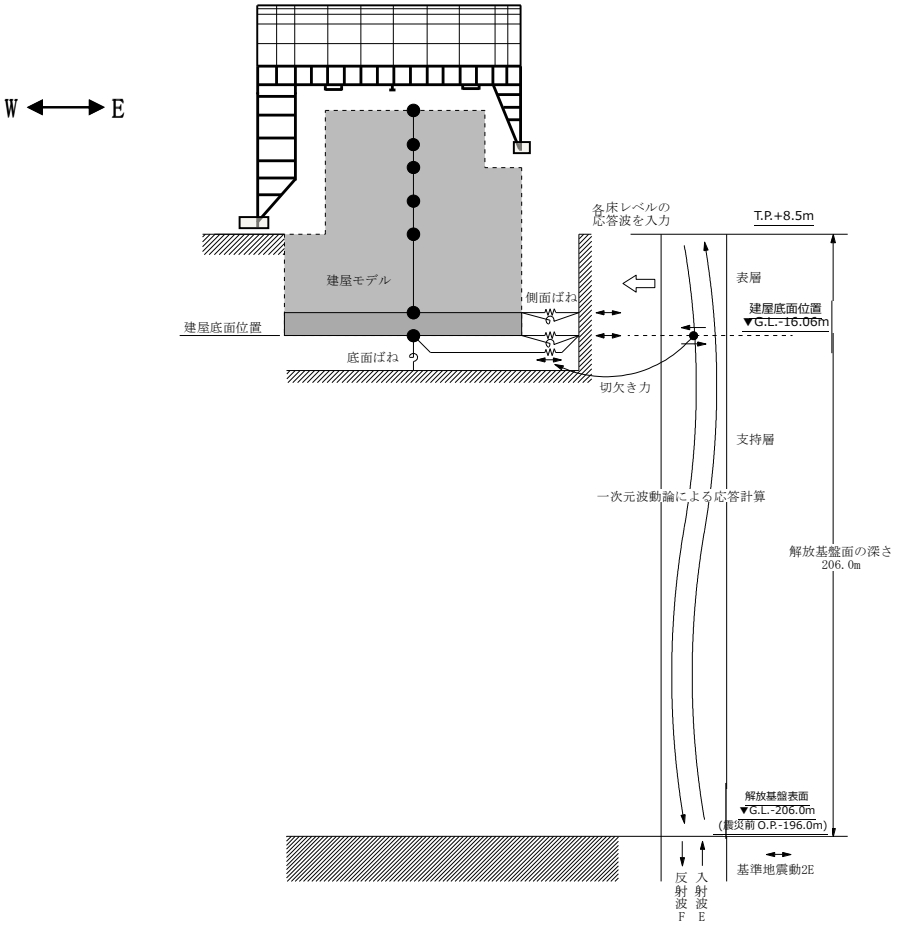

図 3.3-1　地震応答解析に用いる入力地震動の概念図

本章に記載の標高は，震災後の地盤沈下量(-709mm)と O.P.から T.P.への読替値(-727mm)を用いて，下式に基づき換算している。
＜換算式＞ T.P.=旧 O.P.-1,436mm

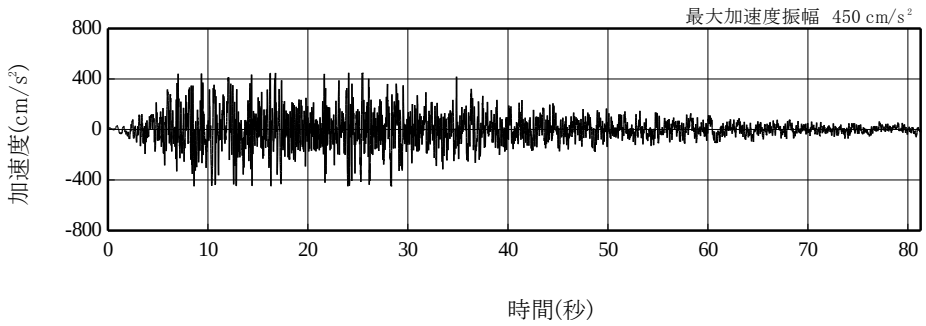

(Ss-1H)

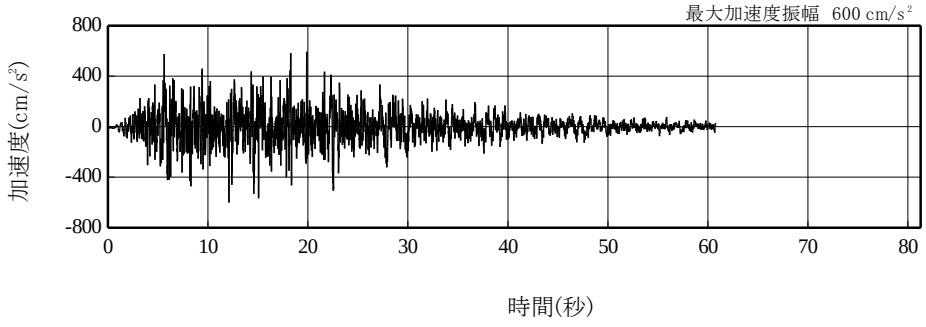

(Ss-2H)

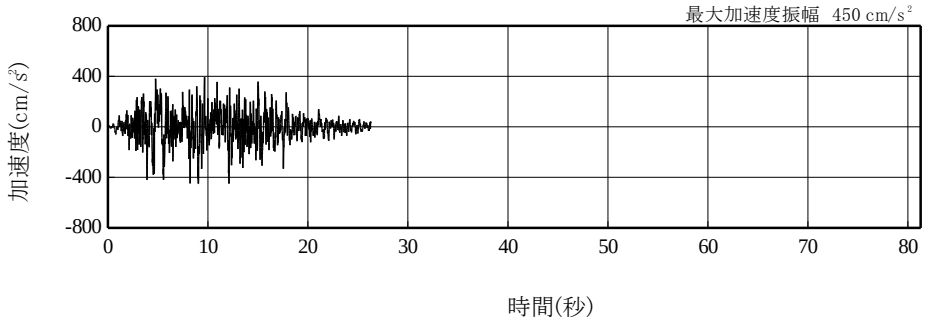

(Ss-3H)

図 3.3-2(1) 解放基盤表面位置における地震動の加速度時刻歴波形(水平方向)

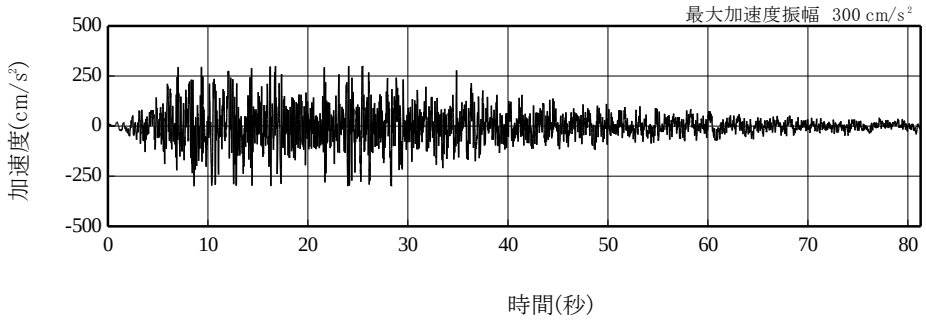

(Ss-1V)

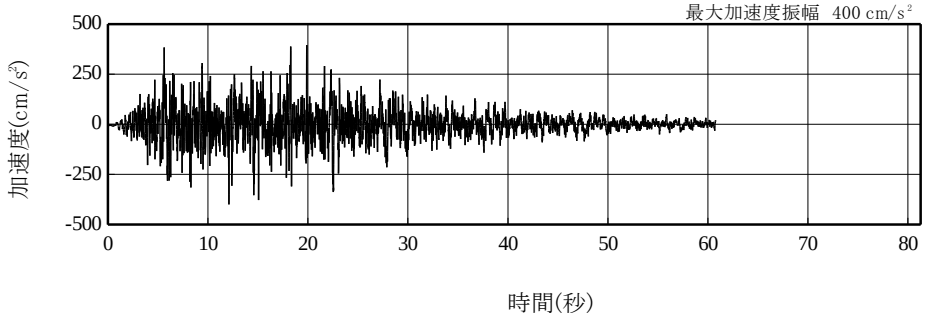

(Ss-2V)

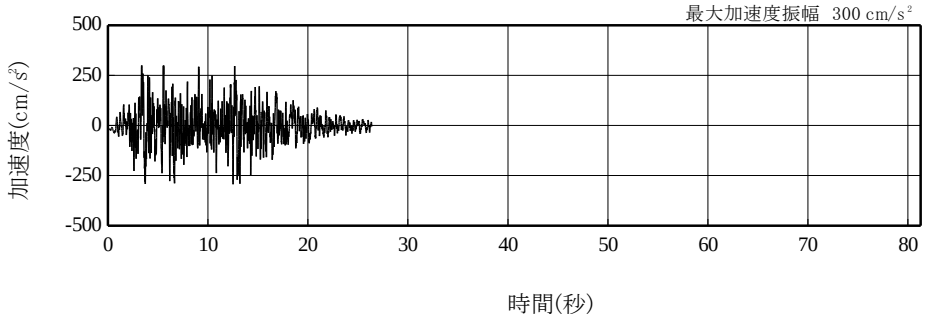

(Ss-3V)

図 3.3-2(2)　解放基盤表面における地震動の加速度時刻歴波形
（鉛直方向）

2)　地震応答解析モデル

地震応答解析モデルは，門型架構及びドーム屋根を構成する主要な鉄骨部材からなる立体架構を原子炉建屋の質点系モデルに接続した図 3.3-3 に示すモデルとし，地盤を等価なばねで評価した建屋－地盤連成系モデルとする。ストッパ取り付き部は原子炉建屋 5 階質点（G.L.+29.92m）と水平方向同一変位条件とし，鉛直方向の制震装置（オイルダンパ）は原子炉建屋の 5 階床上面 4 箇所に門型架構と 5 階床の鉛直方向相対変位が減少する場合に減衰力を発揮するばねに置換して立体架構モデルに組み込んでいる。

地震応答解析に用いる物性値を表 3.3-1 に示す。門型架構及びドーム屋根の部材接合部の質点は仕上げ材等を考慮した重量とし，原子炉建屋の質点は瓦礫撤去の重量等を反映した表 3.3-2 に示す重量とする。門型架構の柱・梁及びドーム屋根の弦材は弾性部材とし，その他ブレース等は「鉄骨 X 型ブレース架構の復元力特性に関する研究」(日本建築学会構造工学論文集 37B 号　1991 年 3 月）に示されている修正若林モデルによる。また，原子炉建屋は，曲げとせん断に「JEAG　4601-1991」に示されている非線形特性を考慮する。

地盤定数は，「福島第一原子力発電所『発電用原子炉施設に関する耐震設計審査指針』の改訂に伴う耐震安全性評価結果　中間報告書」（東京電力株式会社，平成 20 年 3 月 31 日）と同様とし，その結果を表 3.3-3 に示す。原子炉建屋の地盤ばねは，「JEAG　4601-1991」に示されている手法を参考にして，底面地盤を成層補正し振動アドミッタンス理論によりスウェイ及びロッキングばねを，側面地盤を Novak の方法により建屋側面ばねを評価した。

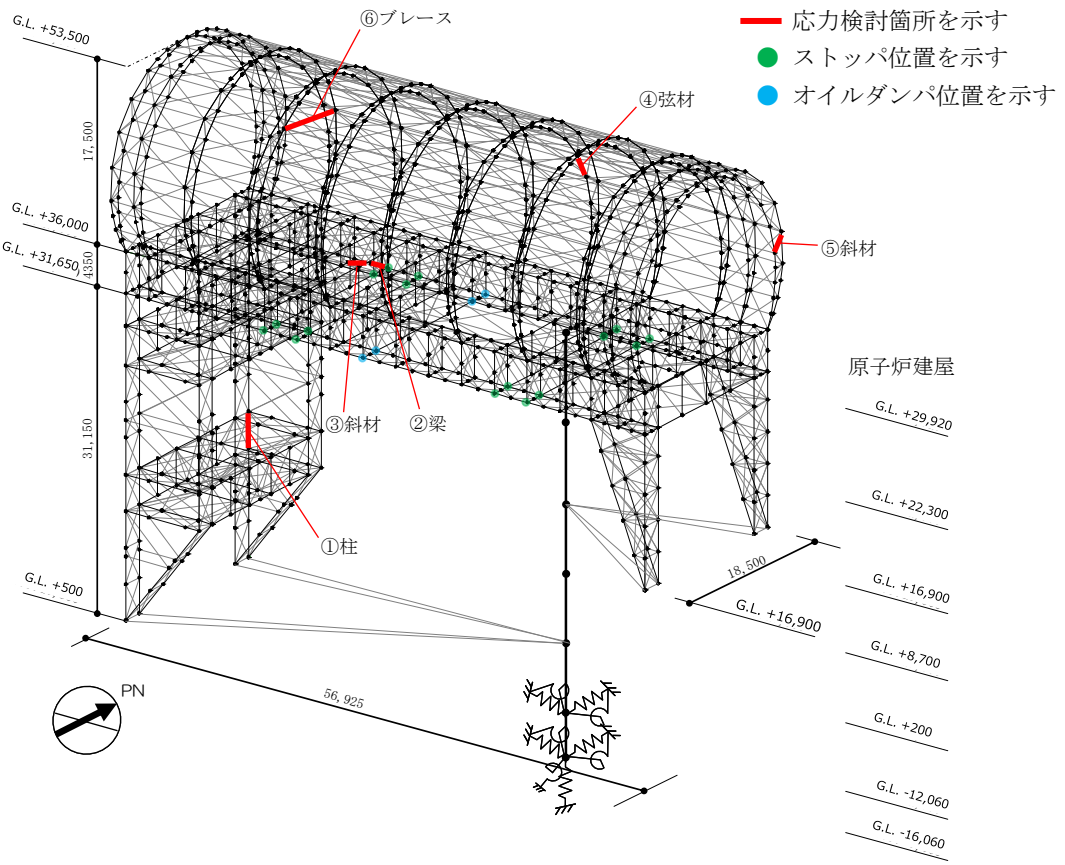

図 3.3-3　地震応答解析モデル（単位：mm）

表 3.3-1　地震応答解析に用いる物性値

部位	材料	ヤング係数 E(N/mm^2)	ポアソン比 ν	単位体積重量 γ (kN/m^3)	減衰定数 h(%)	備考
架構	鉄骨	2.05×10^5	0.3	77.0	2	SS400,SM490A STK490,STKT590

表 3.3-2　地震応答解析モデルのうち原子炉建屋の地震応答解析モデルの諸元

(a)水平（NS）方向

標高 G.L.（m）	質点重量* W（kN）	回転慣性重量 I_G（$\times10^5$ kN･m^2）	せん断断面積 As（m^2）	断面二次モーメント I（m^4）
+29.92	72990	76.95		
			145.3	9598
+22.3	119490	238.33		
			146.1	29271
+16.9	111140	204.58		
			237.3	56230
+8.7	130160	239.58		
			208.6	60144
+0.2	252510	464.88		
			458.7	112978
-12.06	301020	554.17		
			2697.8	496620
-16.06	127000	233.79		
合計	1114310			

ヤング係数 Ec　2.57×10^7(kN/m^2)
せん断弾性係数 G　1.07×10^7(kN/m^2)
ポアソン比 ν　0.20
減衰 h　5%

＊：「福島第一原子力発電所の原子炉建屋の現状の耐震安全性および補強等に関する検討に係る報告書（その２）」（東京電力株式会社，平成 23 年 7 月 13 日）において用いた各階重量に瓦礫撤去等による重量増減を考慮した数値（ただし，門型架構の重量 12800kN 及びドーム屋根重量 3200kN は含まない）

表 3.3-2　地震応答解析モデルのうち原子炉建屋の地震応答解析モデルの諸元

(b)水平（EW）方向

標高 G.L.（m）	質点重量* W（kN）	回転慣性重量 I_G（$\times 10^5$ kN･m^2）	せん断断面積 As（m^2）	断面二次モーメント I（m^4）
+29.92	72990	56.10		
			61.9	5665
+22.3	119490	124.49		
			123.4	12460
+16.9	111140	204.58		
			204.1	41352
+8.7	130160	239.58		
			226.6	61084
+0.2	252510	693.32		
			431.3	135128
-12.06	301020	826.50		
			2697.8	740717
-16.06	127000	348.72		
合計	1114310			

ヤング係数 Ec　2.57×10^7 (kN/m^2)
せん断弾性係数 G　1.07×10^7 (kN/m^2)
ポアソン比 ν　0.20
減衰 h　5%

(c)鉛直方向

標高 G.L.（m）	質点重量* W（kN）	軸断面積 A_N（m^2）	軸ばね剛性 K_A（$\times 10^8$ kN/m）
+29.92	72990		
		192.0	6.48
+22.3	119490		
		266.3	12.67
+16.9	111140		
		431.7	13.53
+8.7	130160		
		423.0	12.79
+0.2	252510		
		691.2	14.49
-12.06	301020		
		2697.8	173.33
-16.06	127000		
合計	1114310		

ヤング係数 Ec　2.57×10^7 (kN/m^2)
せん断弾性係数 G　1.07×10^7 (kN/m^2)
ポアソン比 ν　0.20
減衰 h　5%

＊：「福島第一原子力発電所の原子炉建屋の現状の耐震安全性および補強等に関する検討に係る報告書（その２）」（東京電力株式会社，平成 23 年 7 月 13 日）において用いた各階重量に瓦礫撤去等による重量増減を考慮した数値（ただし，門型架構の重量 12800kN 及びドーム屋根重量 3200kN は含まない）

表 3.3-3　地盤定数の設定結果

(a) Ss-1

標高 G.L. (m)	地質	せん断波速度 Vs (m/s)	単位体積重量 γ (kN/m^3)	ﾎﾟｱｿﾝ比 ν	せん断弾性係数 G (×10^{5}kN/m^2)	初期せん断弾性係数 G_0 (×10^{5}kN/m^2)	剛性低下率 G/G_0	ヤング係数 E (×10^{5}kN/m^2)	減衰定数 h (%)	層厚 H (m)
0.0										
	砂岩	380	17.8	0.473	2.23	2.62	0.85	6.57	3	8.1
-8.1										
		450	16.5	0.464	2.66	3.41	0.78	7.79	3	11.9
-20.0										
		500	17.1	0.455	3.40	4.36	0.78	9.89	3	70.0
-90.0	泥岩									
		560	17.6	0.446	4.39	5.63	0.78	12.70	3	28.0
-118.0										
		600	17.8	0.442	5.09	6.53	0.78	14.68	3	88.0
-206.0 (震災前 O.P.-196.0)										
	(解放基盤)	700	18.5	0.421	9.24	9.24	1.00	26.26	-	-

(b) Ss-2

標高 G.L. (m)	地質	せん断波速度 Vs (m/s)	単位体積重量 γ (kN/m^3)	ﾎﾟｱｿﾝ比 ν	せん断弾性係数 G (×10^{5}kN/m^2)	初期せん断弾性係数 G_0 (×10^{5}kN/m^2)	剛性低下率 G/G_0	ヤング係数 E (×10^{5}kN/m^2)	減衰定数 h (%)	層厚 H (m)
0.0										
	砂岩	380	17.8	0.473	2.23	2.62	0.85	6.57	3	8.1
-8.1										
		450	16.5	0.464	2.76	3.41	0.81	8.08	3	11.9
-20.0										
		500	17.1	0.455	3.53	4.36	0.81	10.27	3	70.0
-90.0	泥岩									
		560	17.6	0.446	4.56	5.63	0.81	13.19	3	28.0
-118.0										
		600	17.8	0.442	5.29	6.53	0.81	15.26	3	88.0
-206.0 (震災前 O.P.-196.0)										
	(解放基盤)	700	18.5	0.421	9.24	9.24	1.00	26.26	-	-

(c) Ss-3

標高 G.L. (m)	地質	せん断波速度 Vs (m/s)	単位体積重量 γ (kN/m^3)	ﾎﾟｱｿﾝ比 ν	せん断弾性係数 G (×10^{5}kN/m^2)	初期せん断弾性係数 G_0 (×10^{5}kN/m^2)	剛性低下率 G/G_0	ヤング係数 E (×10^{5}kN/m^2)	減衰定数 h (%)	層厚 H (m)
0.0										
	砂岩	380	17.8	0.473	2.25	2.62	0.86	6.63	3	8.1
-8.1										
		450	16.5	0.464	2.66	3.41	0.78	7.79	3	11.9
-20.0										
		500	17.1	0.455	3.40	4.36	0.78	9.89	3	70.0
-90.0	泥岩									
		560	17.6	0.446	4.39	5.63	0.78	12.70	3	28.0
-118.0										
		600	17.8	0.442	5.09	6.53	0.78	14.68	3	88.0
-206.0 (震災前 O.P.-196.0)										
	(解放基盤)	700	18.5	0.421	9.24	9.24	1.00	26.26	-	-

3)　地震応答解析結果

最大応答加速度分布を図 3.3-4(1)及び図 3.3-4(2)に示す。

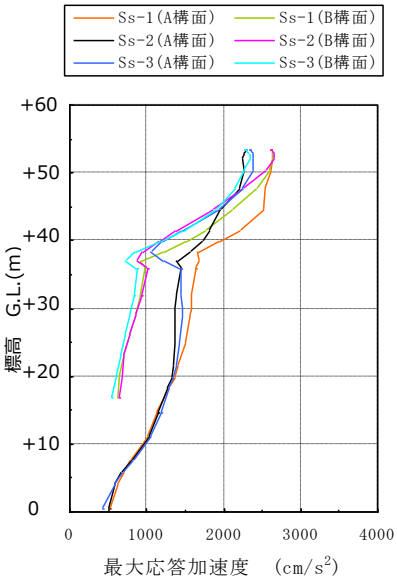

水平(NS)成分（A 構面，B 構面）

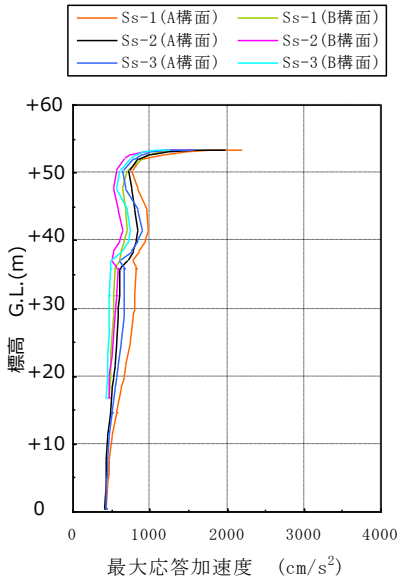

鉛直成分（A 構面，B 構面）

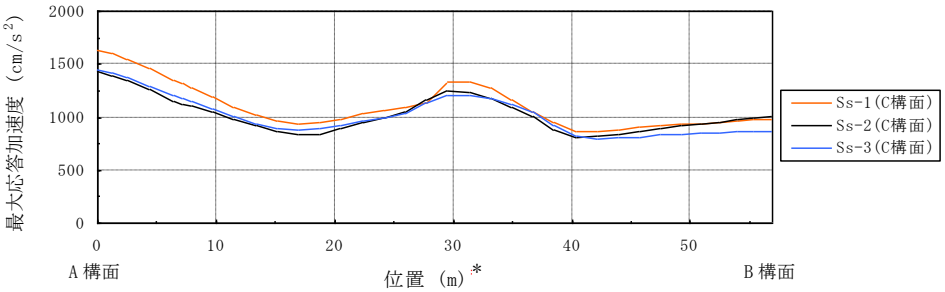

水平(NS)成分（C 構面）

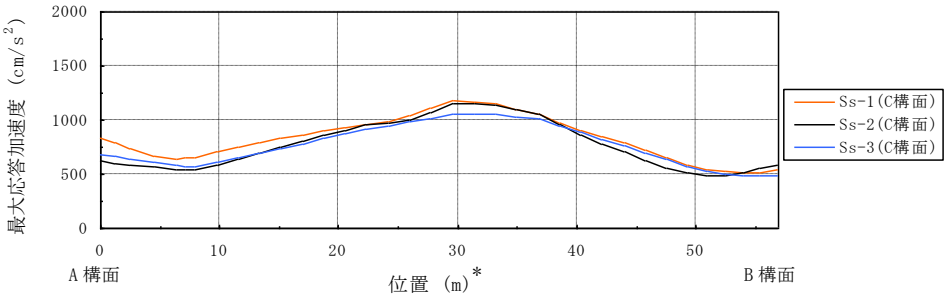

鉛直成分（C 構面）

(NS 方向)

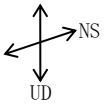

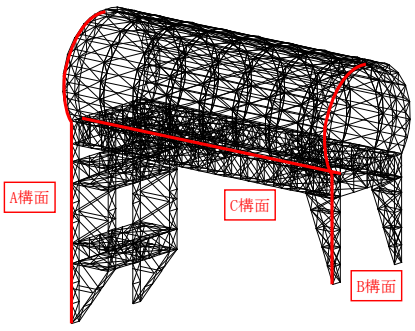

注：燃料取扱設備が門型架構の中央に位置する場合
（図 3.2-1 の位置 D）を示す

＊：位置は A 構面側からの距離を示す

図 3.3-4(1)　最大応答加速度分布

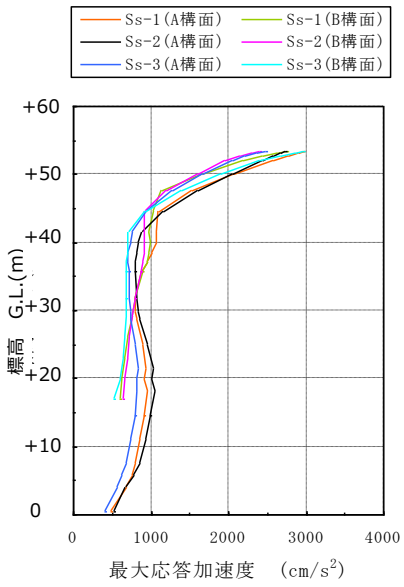

水平(EW)成分（A 構面，B 構面）

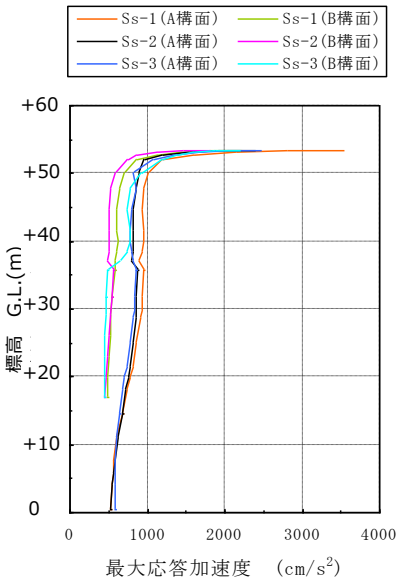

鉛直成分（A 構面，B 構面）

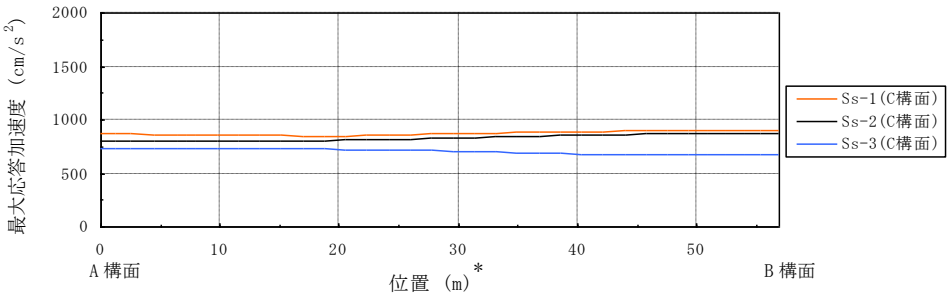

水平(EW)成分（C 構面）

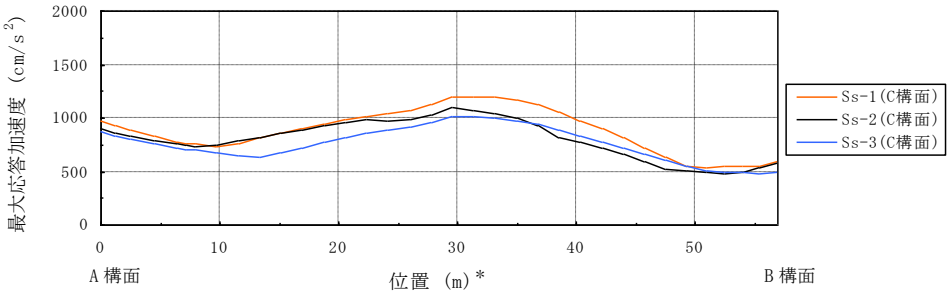

鉛直成分（C 構面）

（EW 方向）

注：燃料取扱設備が門型架構の中央に位置する場合
（図 3.2-1 の位置 D）を示す

＊：位置は A 構面側からの距離を示す

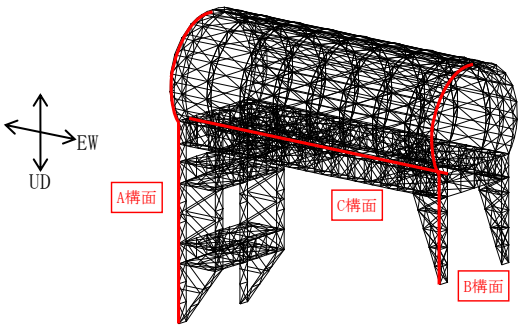

図 3.3-4(2)　最大応答加速度分布

4)　波及的影響の評価

門型架構は，JSCA 性能メニュー（社団法人日本建築構造技術者協会，2002 年）を参考に定めたクライテリア（「層間変形角は 1/75 以下，層の塑性率は 4 以下，部材の塑性率は 5 以下」*）を満足することを確認する。ドーム屋根は，柱・梁によるフレームを構成しないため，JSCA 性能メニューのうち部材の塑性率のクライテリアを満足することを確認する。

なお，解析結果が「時刻歴応答解析建築物性能評価業務方法書」（財団法人日本建築センター，平成 19 年 7 月 20 日）に示されるクライテリア（層間変形角は 1/100 以下，層の塑性率は 2 以下，部材の塑性率は 4 以下）を超える場合には水平変形に伴う鉛直荷重の付加的影響を考慮した解析を実施し，安全性を確認する。

＊：北村春幸，宮内洋二，浦本弥樹「性能設計における耐震性能判断基準値に関する研究」，日本建築学会構造系論文集，第 604 号，2006 年 6 月

・層間変形角の検討

門型架構の最大応答層間変形角を表 3.3-4 に示す。

検討の結果，最大応答層間変形角は 1/75 以下となりクライテリアを満足することを確認した。

表 3.3-4　最大応答層間変形角の検討結果

検討箇所	地震波	入力方向(位置)＊	最大応答値	ｸﾗｲﾃﾘｱ	判定
東側 G.L.+36.00(m) ～G.L.+16.90(m)	Ss-1	NS (A)	1/820	1/75	O.K.
		EW (B)	1/990	1/75	O.K.
	Ss-2	NS (B)	1/990	1/75	O.K.
		EW (B)	1/1000	1/75	O.K.
	Ss-3	NS (B)	1/990	1/75	O.K.
		EW (B)	1/1000	1/75	O.K.
西側 G.L.+36.00(m) ～G.L.+0.50(m)	Ss-1	NS (A)	1/720	1/75	O.K.
		EW (B)	1/1600	1/75	O.K.
	Ss-2	NS (C)	1/860	1/75	O.K.
		EW (B)	1/1600	1/75	O.K.
	Ss-3	NS (C)	1/800	1/75	O.K.
		EW (B)	1/1800	1/75	O.K.

＊：図 3.2-1 に示す燃料取扱設備の位置を示す

・塑性率の検討

部材の塑性率は，引張及び圧縮に対して最大軸力時のひずみを引張耐力または座屈耐力時のひずみで除した値で表される。最大軸力時のひずみが引張耐力または座屈耐力時のひずみ未満の場合は弾性であり塑性率は 1 未満となる。最大応答軸力を引張耐力または座屈耐力で除した値を耐力比と定義し，表 3.3-5 に検討結果を示す。なお，引張耐力及び座屈耐力算定時の材料強度（STKT590 材を除く）は「平成 19 年国土交通省告示第 625 号」に定められた基準強度 F 値の 1.1 倍を用いる。

表 3.3-5 より全てのケースで耐力比が 1 を下回ることから塑性率は 1 未満となり，クライテリアを満足することを確認した。

表 3.3-5　耐力比の検討結果

部位*1			部材形状 (mm)	地震波	入力方向 (位置)*2	耐力比		判定
門型架構	①	柱	H-350×350 ×12×19 〈SM490A〉	Ss-2	NS (C)	C/Cu	0.50	OK
	②	梁	H-350×350 ×12×19 〈SM490A〉	Ss-1	NS (C)	C/Cu	0.45	OK
	③	斜材	2[s-150×75 ×6.5×10 〈SM490A〉	Ss-1	NS (C)	C/Cu	0.75	OK
ドーム屋根	④	弦材	φ-267.4×6.6 〈STKT590〉	Ss-1	NS (D)	C/Cu	0.63	OK
	⑤	斜材	φ-139.8×4.5 〈STK490〉	Ss-1	EW (D)	C/Cu	0.90	OK
	⑥	ブレース	φ-114.3×4.5 〈STK490〉	Ss-2	EW (C)	C/Cu	0.45	OK

＊1：①～⑥の符号は図 3.3-3 の応力検討箇所を示す

＊2：図 3.2-1 に示す燃料取扱設備の位置を示す

C ：部材軸方向の圧縮力の最大値

Cu：座屈耐力

T ：部材軸方向の引張力の最大値

Tu：引張耐力

(3)　水平振れ止め装置（ストッパ）の耐震性に対する検討

ストッパ（鋼製）の耐震性に対する検討は，材料強度を基準強度 F 値の 1.1 倍としたせん断耐力とし，耐力比が 1 以下になることを確認する。図 3.3-5 にストッパ概要図を示す。

表 3.3-6 に耐力比が最大となる部位の断面検討結果を示す。

断面検討の結果，全てのストッパに対する耐力比が 1 以下になることを確認した。

表 3.3-6　ストッパ（シアキ）の断面検討結果

部位	地震波	入力方向（位置）＊	最大応答ストッパ反力 Q(kN)	せん断耐力 Qu(kN)	耐力比 Q/Qu	判定
東側ストッパ	Ss-1	EW (D)	3970	9480	0.42	O.K.

＊：図 3.2-1 に示す燃料取扱設備の位置を示す

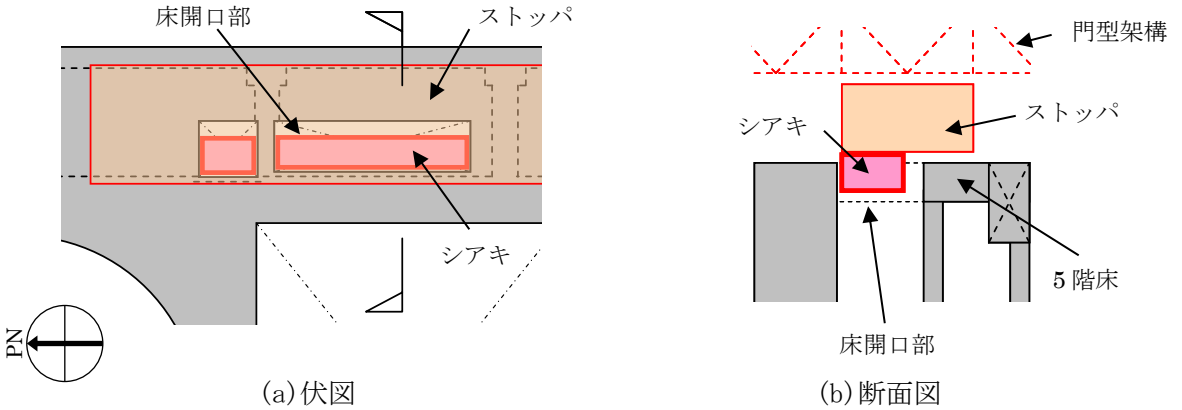

(a)伏図　　(b)断面図

図 3.3-5　ストッパ概要図

(4)　制震装置（オイルダンパ）の耐震性に対する検討

原子炉建屋の 5 階床上面 4 箇所に設置するオイルダンパ概念図を図 3.3-6 に示す。

オイルダンパの耐震性に対する検討は，架構と原子炉建屋 5 階床がオイルダンパを介して各々変形する時の相対的な応答値がオイルダンパの許容値以下であることを確認する。

表 3.3-7 に最大応答値と許容値を比較した結果を示す。

検討の結果，全てのオイルダンパで最大応答値が許容値以下になることを確認した。

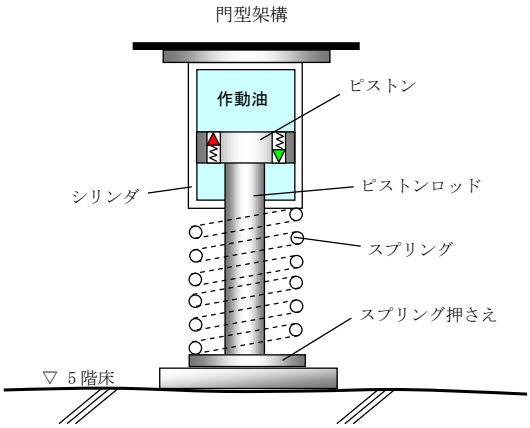

図 3.3-6　オイルダンパ概念図

表 3.3-7　オイルダンパの検討結果

検討	地震波	入力方向 （位置）＊	最大応答値	許容値	判定
オイルダンパ変位 (mm)	Ss-3	NS (D)	72	±100	O.K.
オイルダンパ速度 (m/s)	Ss-1	NS (D)	0.48	1.00	O.K.

＊：図 3.2-1 に示す燃料取扱設備の位置を示す

(5)　基礎の耐震性に対する検討

基礎の浮き上がりに対しては基礎反力（圧縮力を正）の最小値が 0 以上であることを確認し，基礎のすべりに対しては基礎反力の水平力が摩擦耐力以下であることを確認する。

1)　基礎浮き上がりの検討

表 3.3-8 に基礎反力が最小となる部位の基礎浮き上がりの検討結果を示す。

検討の結果，全ての基礎の最小圧縮力が 0 以上になることを確認した。

表 3.3-8　基礎浮き上がりの検討結果

部位	地震波	入力方向 （位置）＊	最小圧縮力 N(kN)	判定
東側柱脚 (北側)	Ss-3	NS (C)	227	O.K.

＊：図 3.2-1 に示す燃料取扱設備の位置を示す

2)　基礎すべりの検討

表 3.3-9 に耐力比が最大となる部位の検討結果を示す。

検討の結果，全ての耐力比が 1 以下になることを確認した。

表 3.3-9　基礎すべりの検討結果

部位	地震波	入力方向 （位置）＊	最大水平力 Q(kN)	摩擦耐力 Vu(kN)	耐力比 Q/Vu	判定
東側柱脚	Ss-1	EW (D)	2810	4780	0.59	O.K.

＊：図 3.2-1 に示す燃料取扱設備の位置を示す

(6)　原子炉建屋接触部の耐震性に対する検討

1)　ストッパ接触部

ストッパ接触部の耐震性の検討では，最大ストッパ水平反力が，既存躯体の支圧耐力以下になることを確認する。なお，支圧耐力は，原子炉建屋の設計基準強度(22.1N/mm^2)を用いて「プレストレストコンクリート設計施工規準・同解説」に基づき算出する。

表 3.3-10 に耐力比が最大となる部位の検討結果を示す。

検討の結果，全てのストッパ接触部に対する耐力比が 1 以下になることを確認した。

表 3.3-10　ストッパ接触部の検討結果

部位	地震波	入力方向（位置）＊	最大ストッパ水平反力 N(kN)	支圧耐力 Nu(kN)	耐力比 N/Nu	判定
西側ストッパ	Ss-1	NS (C)	10400	19600	0.54	O.K.

＊：図 3.2-1 に示す燃料取扱設備の位置を示す

2)　オイルダンパ接触部

オイルダンパ接触部の耐震性の検討では，最大オイルダンパ鉛直反力が，既存躯体の支圧耐力以下になることを確認する。なお，支圧耐力は，原子炉建屋の設計基準強度(22.1N/mm^2)を用いて「プレストレストコンクリート設計施工規準・同解説」に基づき算出する。

表 3.3-11 に耐力比が最大となる部位の検討結果を示す。

検討の結果，全てのオイルダンパ接触部に対する耐力比が 1 以下になることを確認した。

$$N_u = f_n \cdot A_l$$

$$f_n = f_{na}\sqrt{\frac{A_c}{A_l}} \quad \text{ただし，} \quad \sqrt{\frac{A_c}{A_l}} \leq 2.0 *$$

ここに，

f_n ：短期許容支圧応力度(N/mm^2)

f_{na} ：$F_{ci}/1.25$ または $0.6F_c$ のうち小さいほうの値(N/mm^2)

F_{ci} ：コンクリート強度，特に定めのない場合には 20N/mm^2　(F_{ci}=22.1N/mm^2)

A_c ：支圧端から離れて応力が一様分布となったところのコンクリートの支承面積(mm^2)

A_l ：局部圧縮を受ける支圧面積(mm^2)

(500×500=2.50×10^{5}mm^2)

表 3.3-11　オイルダンパ接触部の検討結果

部位	地震波	入力方向 （位置）＊	最大オイルダンパ 鉛直反力 N(kN)	支圧耐力 Nu(kN)	耐力比 N/Nu	判定
南側端部	Ss-1	NS (D)	1250	6620	0.19	O.K.

＊：図 3.2-1 に示す燃料取扱設備の位置を示す

3)　基礎設置部

基礎設置部の耐震性の検討では，柱脚の鉛直反力により生じる直下壁の最大軸力が壁の軸耐力以下であることを確認する。

表 3.3-12 に耐力比が最大となる部位の検討結果を示す。

検討の結果，全ての基礎設置部に対する耐力比が 1 以下になることを確認した。

$$N_u = {}_Sf_c \cdot A_1$$

ここに，

${}_Sf_c$：短期許容圧縮応力度(N/mm^2)（${}_Sf_c$=22.1×2/3=14.7）

A_1：柱脚部支配面積(mm^2)

表 3.3-12　壁の圧縮力の検討結果

部位	地震波	入力方向 （位置）＊	最大軸力 N(kN)	軸耐力 Nu(kN)	耐力比 N/Nu	判定
東側柱脚 （南側）	Ss-3	NS (B)	7430	25900	0.29	O.K.

＊：図 3.2-1 に示す燃料取扱設備の位置を示す

(7)　原子炉建屋の耐震性に対する検討

1)　検討方針

架構の設置に伴う原子炉建屋の耐震性の評価は，耐震安全上重要な設備への波及的影響防止の観点から，地震応答解析により得られる耐震壁のせん断ひずみが鉄筋コンクリート造耐震壁の終局限界に対応した評価基準値（4.0×10^{-3}）以下になることを確認する。

2)　原子炉建屋の地震応答解析

・解析に用いる入力地震動

検討に用いる地震動は，「(2) 架構の耐震性に対する検討」で示した基準地震動 Ss とする。

地震応答解析に用いる入力地震動の概念図は図 3.3-1 と同様であり，モデルに入力する地震動は「(2) 架構の耐震性に対する検討」に示したものと同一である。

・地震応答解析モデル

原子炉建屋の地震応答解析モデルは，図 3.3-7 に示すように質点系でモデル化し，地盤を等価なばねで評価した建屋－地盤連成系モデルとする。

地震応答解析モデルの諸元は，「福島第一原子力発電所の原子炉建屋の現状の耐震安全性および補強等に関する検討に係る報告書（その 2)」（東京電力株式会社，平成 23 年 7 月 13 日）に示される内容に，瓦礫撤去等による重量増減及び新規に設置する燃料取り出し用カバーの重量を考慮した。地震応答解析モデルの諸元のうち表 3.3-2 から変更した質点重量及び回転慣性重量を表 3.3-13 に示す。

地盤定数は，「(2) 架構の耐震性に対する検討」で示した地盤定数と同一である。

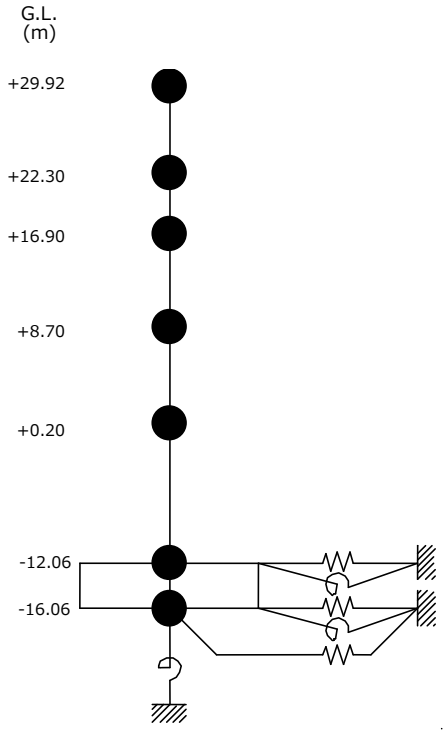

図 3.3-7　原子炉建屋の地震応答解析モデル

表 3.3-13　原子炉建屋の地震応答解析モデルの諸元（水平方向）

標高 G.L. (m)	質点重量 W (kN)	回転慣性重量 I_G ($\times 10^5$ kN･m^2)	
		水平(NS)方向	水平(EW 方向)
+29.92	87590	92.34	67.32
+22.3	119490	238.33	124.49
+16.9	111340	204.95	204.95
+8.7	130160	239.58	239.58
+0.2	253710	467.09	696.62
-12.06	301020	554.17	826.50
-16.06	127000	233.79	348.72
合計	1130310		

3) 検討結果

基準地震動 Ss に対する最大応答値を，「JEAG 4601-1991」に基づき設定した耐震壁のせん断スケルトン曲線上にプロットした結果を，図 3.3-8 から図 3.3-10 に示す。

検討の結果，地震応答解析により得られる最大応答値は，評価基準値（4.0×10^{-3}）に対して十分に余裕があることを確認した。

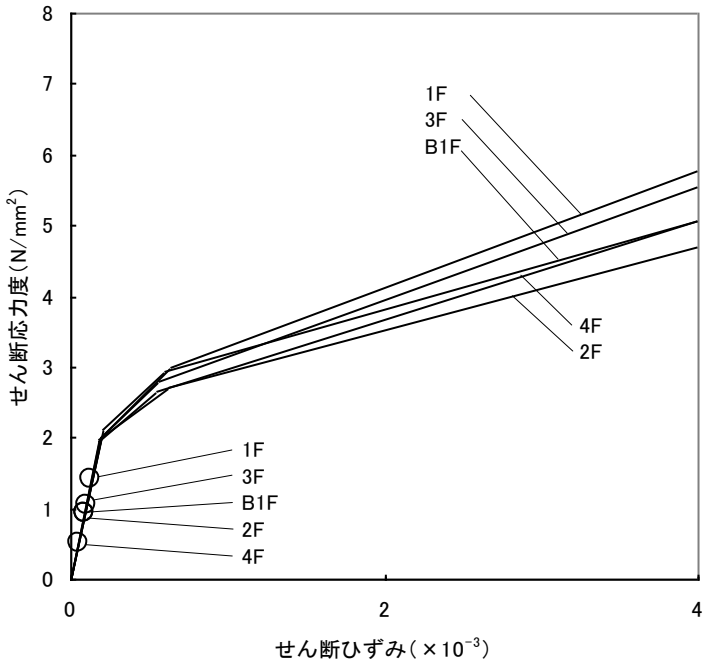

(a) NS 方向

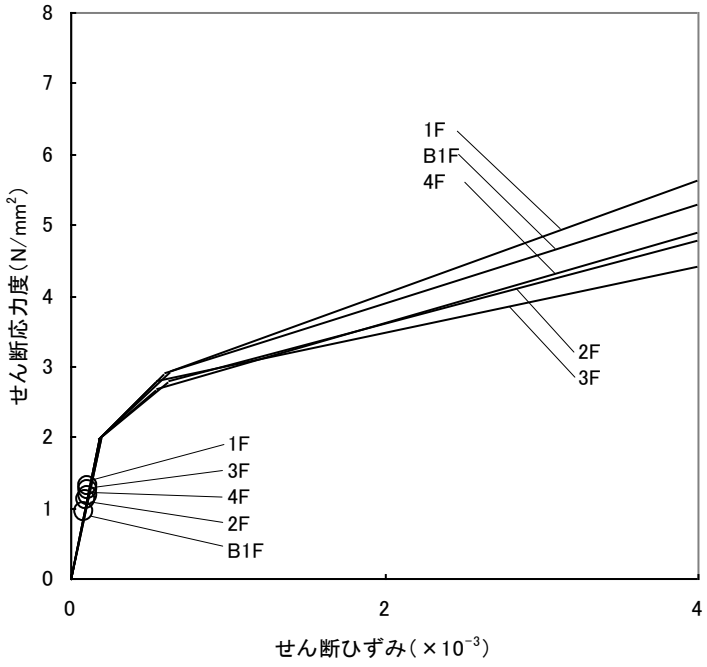

(b) EW 方向

図 3.3-8　せん断スケルトン曲線上の最大応答値（Ss-1）

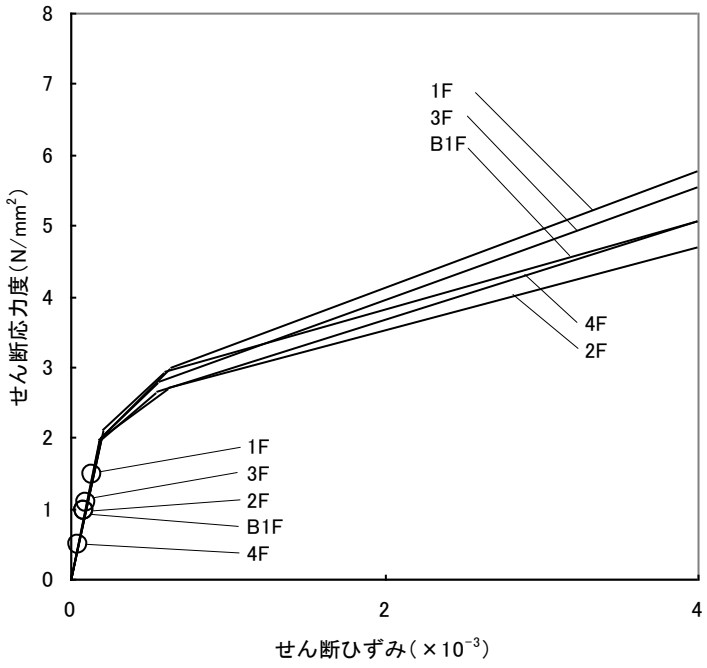

(a) NS 方向

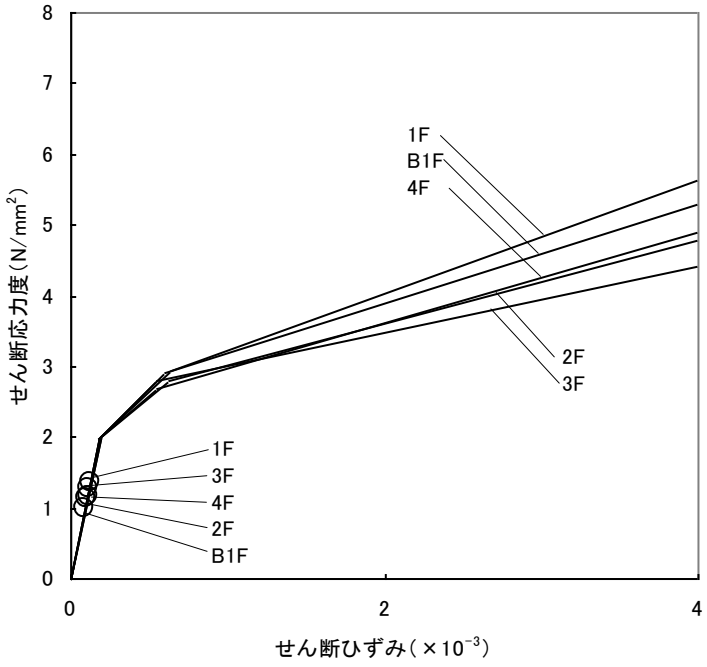

(b) EW 方向

図 3.3-9　せん断スケルトン曲線上の最大応答値（Ss-2）

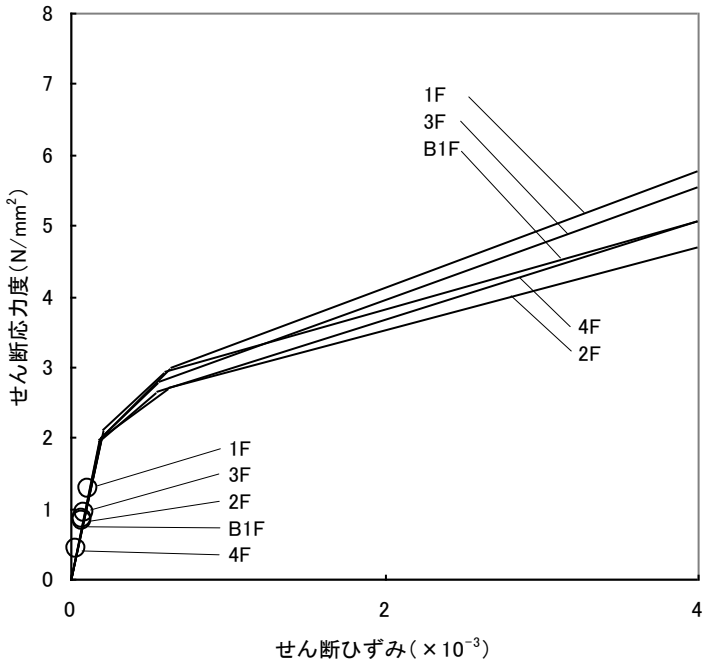

(a) NS 方向

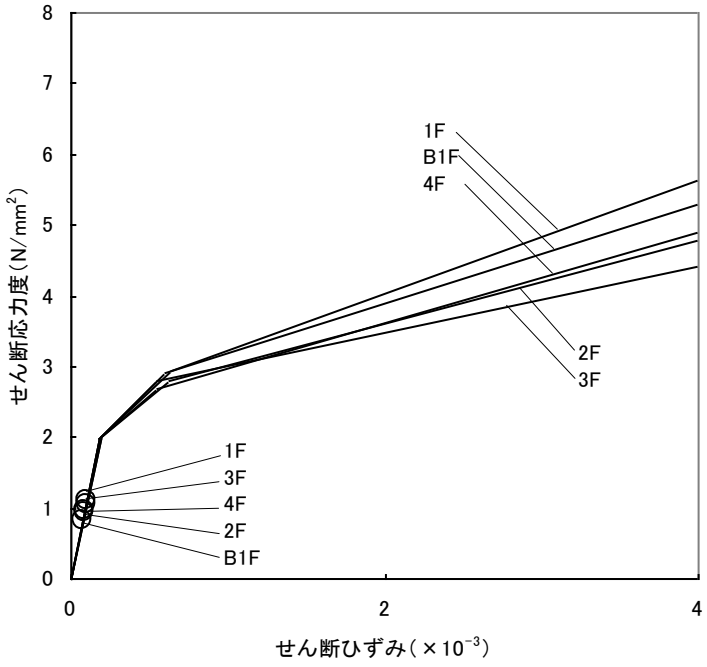

(b) EW 方向

図 3.3-10　せん断スケルトン曲線上の最大応答値（Ss-3）

4.　2 号機燃料取り出し用構台の構造強度及び耐震性について

4.1　概要

4.1.1　一般事項

2 号機燃料取り出し用構台は，原子炉建屋の南側に設置される基礎・構台・前室と，原子炉建屋に延伸して設置されるランウェイガーダ，弾性支承，オイルダンパから構成され，改良地盤上に設置する。また，ランウェイガーダ上を燃料取扱設備が走行する。ここでは，本燃料取り出し用構台の構造強度と耐震性について検討を行う。なお，2021 年 9 月 8 日の原子力規制委員会で示された耐震設計の考え方を踏まえ，安全機能の重要度，地震によって機能の喪失を起こした場合の安全上の影響（公衆への被ばく影響）や廃炉活動への影響等を考慮した上で，核燃料物質を非密封で扱う燃料加工施設や使用施設等における耐震クラス分類を参考にして適切な耐震設計上の区分を行うとともに，適切と考えられる設計用地震力に十分耐えられる設計とし，具体的には B+クラスに分類される燃料取出設備の間接支持構造物として，B+クラス相当の地震力に対する耐震評価を行う。なお，耐震クラス分類に係わる被ばく評価については，「別冊２８　２号機　使用済燃料プールからの燃料取り出し設備に係る補足説明」（以下，別冊２８と記載）P113～P130 参照。

燃料取り出し用構台の構造強度は一次設計に対応した許容応力度設計を実施し，耐震性は検討用地震動（最大加速度 900gal）の 1/2 の最大加速度 450gal の地震動（以下，1/2Ss450 と記載）に対する地震応答解析を実施し，燃料取り出し用構台の損傷が原子炉建屋，使用済燃料プール及び使用済燃料ラックに波及的影響を及ぼさないことを確認する。ここで，波及的影響の確認は，燃料取り出し用構台が崩壊機構に至らないことを確認する。検討用地震動（最大加速度 900gal）は「東京電力福島第一原子力発電所の外部事象に対する防護の検討について」（東京電力株式会社，平成 26 年 10 月 3 日，特定原子力施設監視・評価検討会（第 27 回））にて提示した地震動とする。

なお，2 号機燃料取り出し用構台については，実施計画変更認可申請の審査期間中に，適用地震動見直しが行われたことから，一部の評価については，「福島第一原子力発電所『発電用原子炉施設に関する耐震設計審査指針』の改訂に伴う耐震安全性評価結果中間報告書」（東京電力株式会社，平成 20 年 3 月 31 日）にて作成した解放基盤表面で定義される新規制基準によらない従来の Ss（最大加速度 600gal）（以下，Ss600 と記載）に対する地震応答解析結果との比較から耐震性を確認する。図 4.1.1-1 に燃料取り出し用構台のイメージを示す。

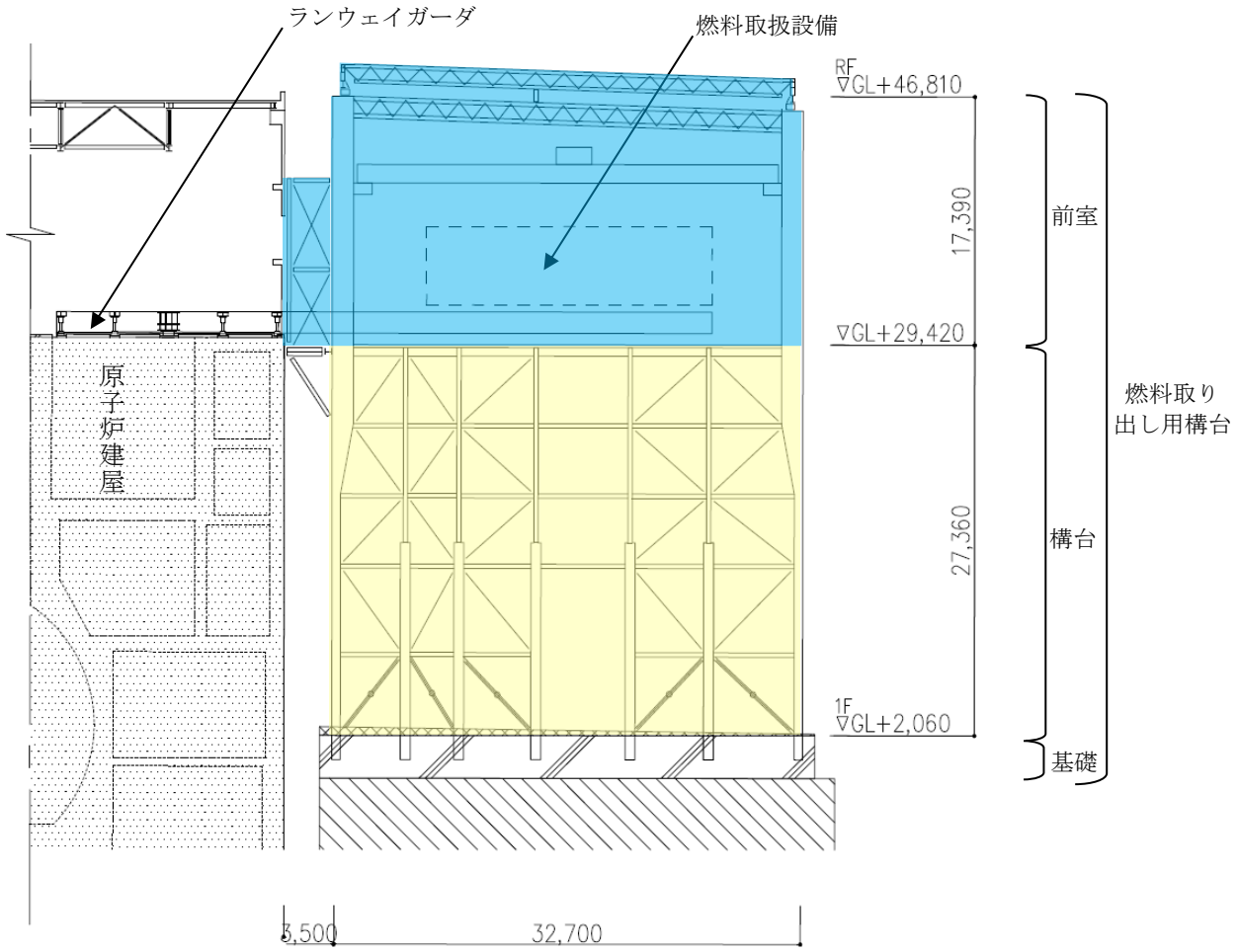

図 4.1.1-1　燃料取り出し用構台のイメージ（単位：mm）

燃料取り出し用構台の検討は原則として下記の法規及び基規準類に準拠して行う。

(1) 建築基準法・同施行令及び関連告示
(2) 原子力施設鉄筋コンクリート構造計算規準・同解説（日本建築学会，改訂版 2013 年８月発行）
(3) 鉄筋コンクリート構造計算規準・同解説（日本建築学会，2018 年 12 月）
(4) 鋼構造設計規準－許容応力度設計法－（日本建築学会，2005 年 9 月）
(5) 2015 年版 建築物の構造関係技術基準解説書(国土交通省住宅局建築指導課･国土交通省 国土技術政策総合研究所･独立行政法人建築研究所･日本建築行政会議，2015 年)
(6) 鋼構造塑性設計指針（日本建築学会，2010 改定）
(7) 原子力発電所耐震設計技術指針(JEAG 4601-1987)（日本電気協会 電気技術基準調査委員会，昭和 62 年 8 月 改訂）
(8) 原子力発電所耐震設計技術指針(JEAG 4601-1991 追補版)（日本電気協会 電気技術基準調査委員会，平成 3 年 6 月 発刊）
(9) 原子力発電所耐震設計技術規程(JEAC 4601-2015)（日本電気協会 原子力規格委員会，平成 27 年 6 月 改定）
(10) 乾式キャスク使用済燃料中間建屋の基礎構造の設計技術規程(JEAC 4616-2009)（日本電気協会 原子力規格委員会，平成 22 年 4 月 発刊）

4.1.2　構造概要

燃料取り出し用構台は，東西方向 27.0m，南北方向 32.7m，高さ 44.75m の矩形架構で構造種別は鉄骨造である。燃料取り出し用構台の概要を以下に示す。なお，オイルダンパ，弾性支承の設置目的及び役割については，別冊２８ P6 参照。

(1) 原子炉建屋と燃料取り出し用構台の間にオイルダンパ（水平棟間）を設置する。

(2) 構台は 5 層の柱・梁・ブレース及びオイルダンパ（鉛直）から成る架構とし，オイルダンパ（鉛直）はブレース状に配置する。

(3) 前室は，柱・梁・ブレース及び屋根トラスから成る架構とする。

(4) ランウェイガーダは，原子炉建屋南側外壁に開口を設け，構台と原子炉建屋に跨がる形で設置する。構台内では EW 方向の大梁に接続し，水平方向，鉛直方向ともに支持する。原子炉建屋内では水平方向の支持は行わないため，構台からの片持形式であり，鉛直方向は弾性支承で支持する。なお，弾性支承と原子炉建屋床面の固定は行わない。また，ランウェイガーダと原子炉建屋床面との間にばね付きオイルダンパを設置する。ばね付きオイルダンパの下面にはすべり材を取付け，原子炉建屋床面上に設置したすべり板との間で接触させ，水平方向に滑動可能な構造とする。

燃料取り出し用構台の概要図を図 4.1.2-1～図 4.1.2-3 に示す。

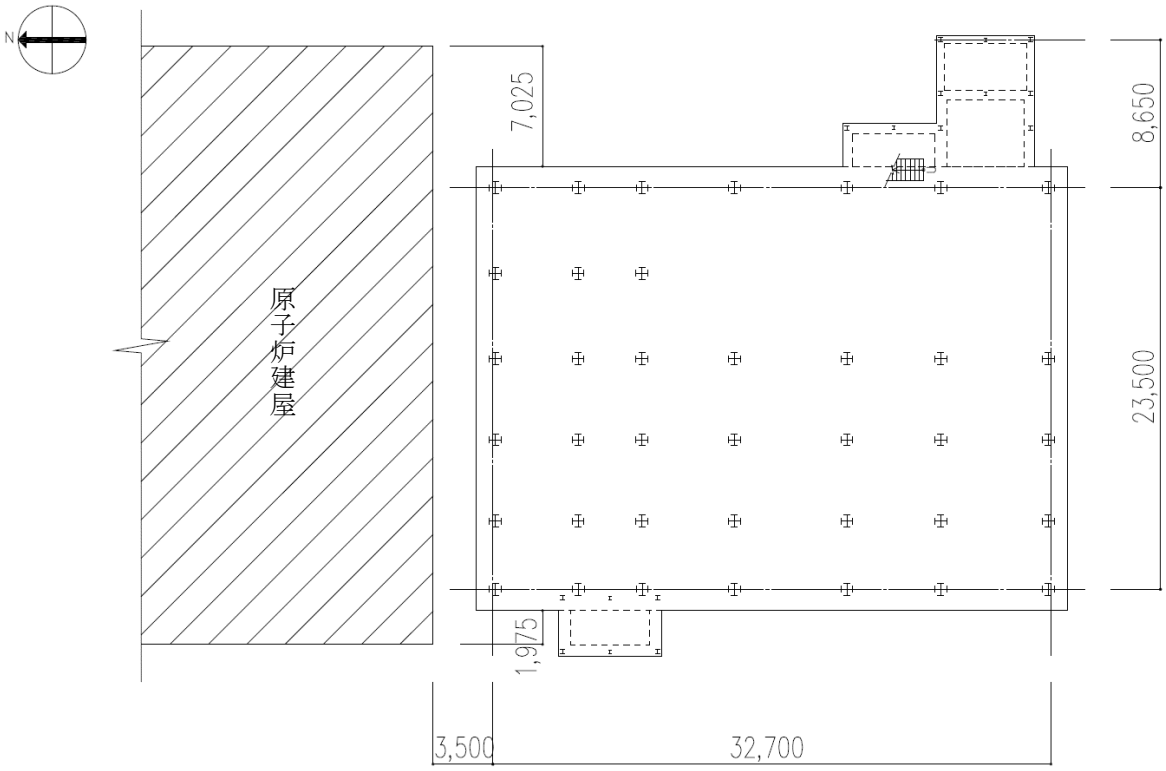

(a) 1F 伏図(G.L.2,020)

図 4.1.2-1　燃料取り出し用構台の概要（単位：mm）

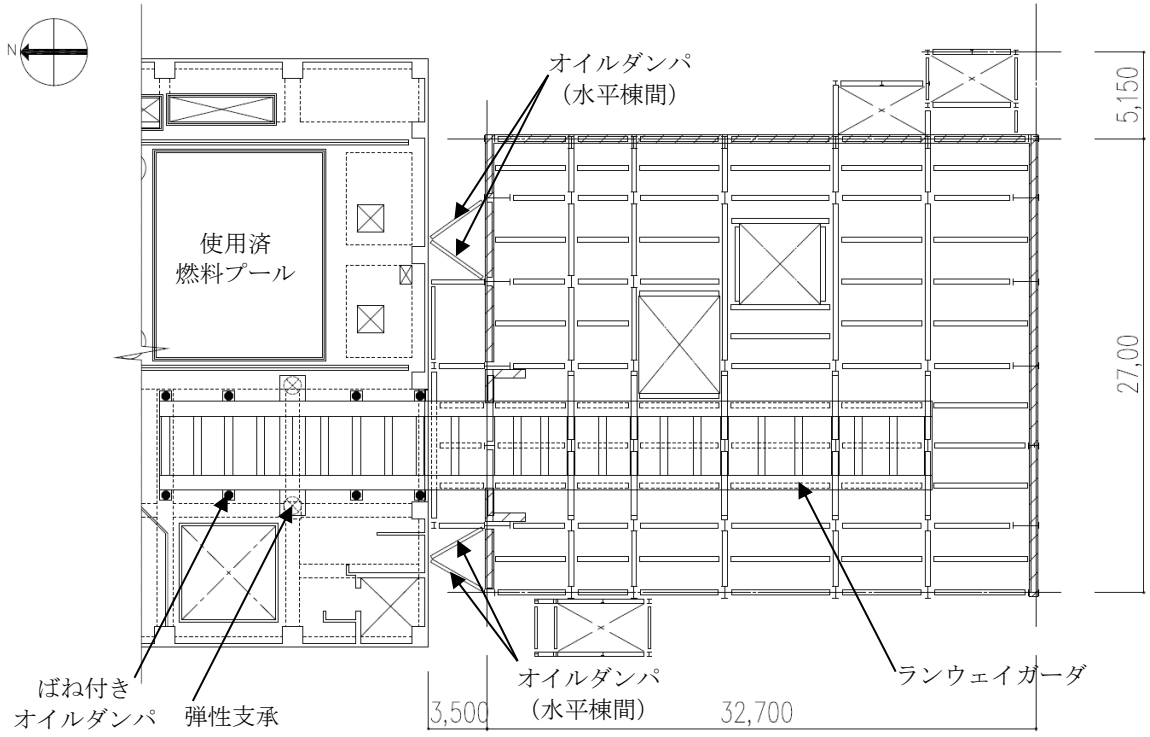

(a) 6F 伏図(G. L. 29, 420)

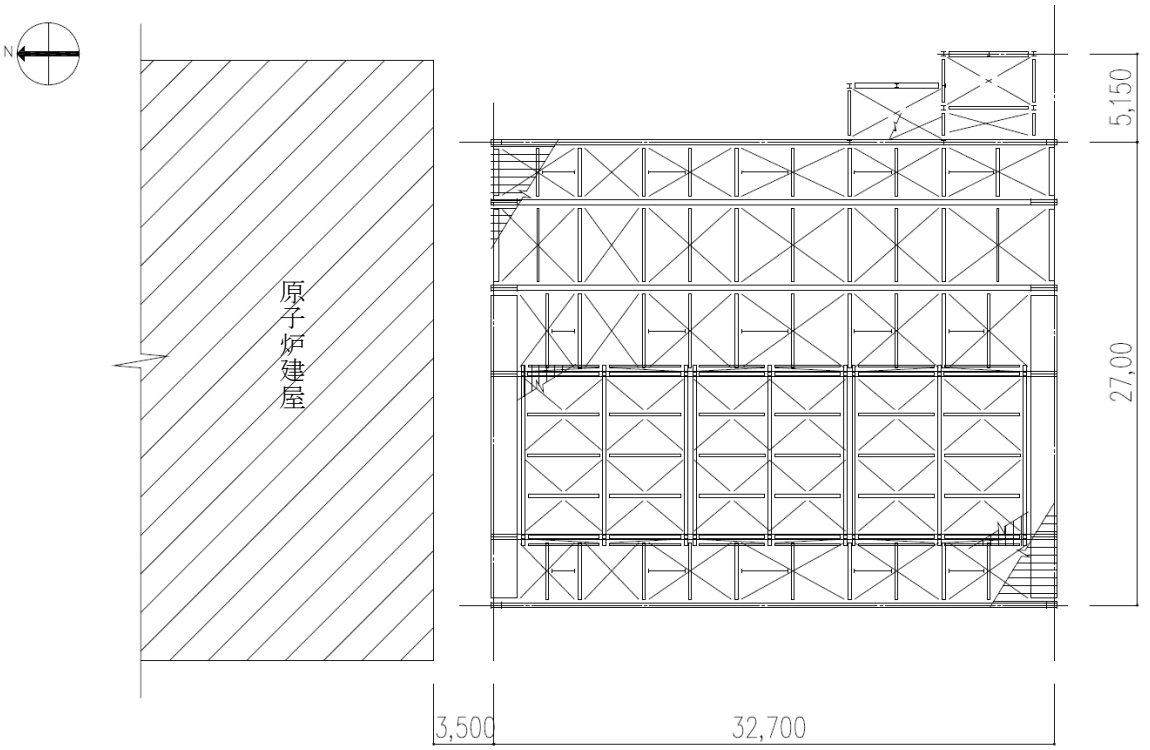

(b) 屋根伏図

図 4.1.2-2　燃料取り出し用構台の概要（単位：mm）

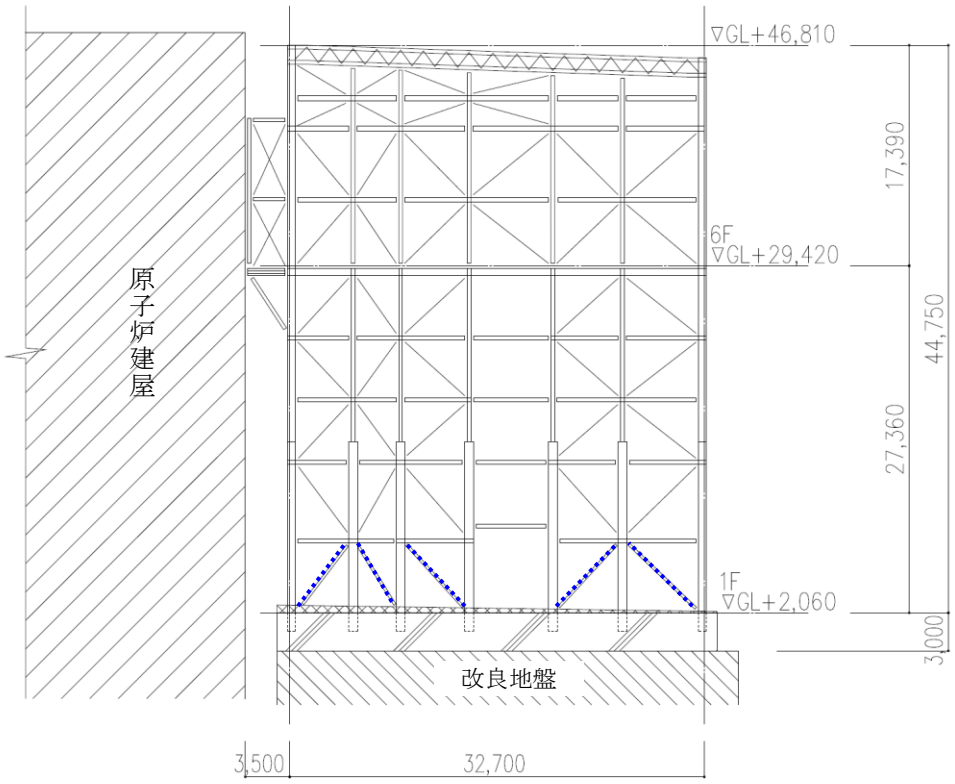

(a) 構台最西側軸組図

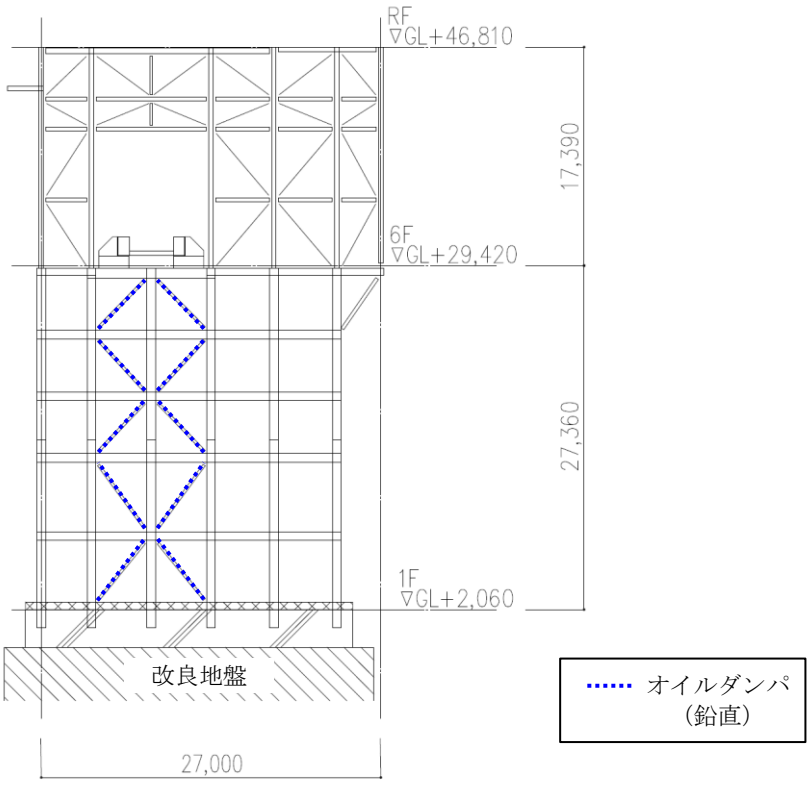

(b) 構台最北側軸組図

図 4.1.2-3　燃料取り出し用構台の概要（単位：mm）

4.1.3　検討フロー

燃料取り出し用構台の構造強度及び耐震性の検討フローを図 4.1.3-1 に示す。

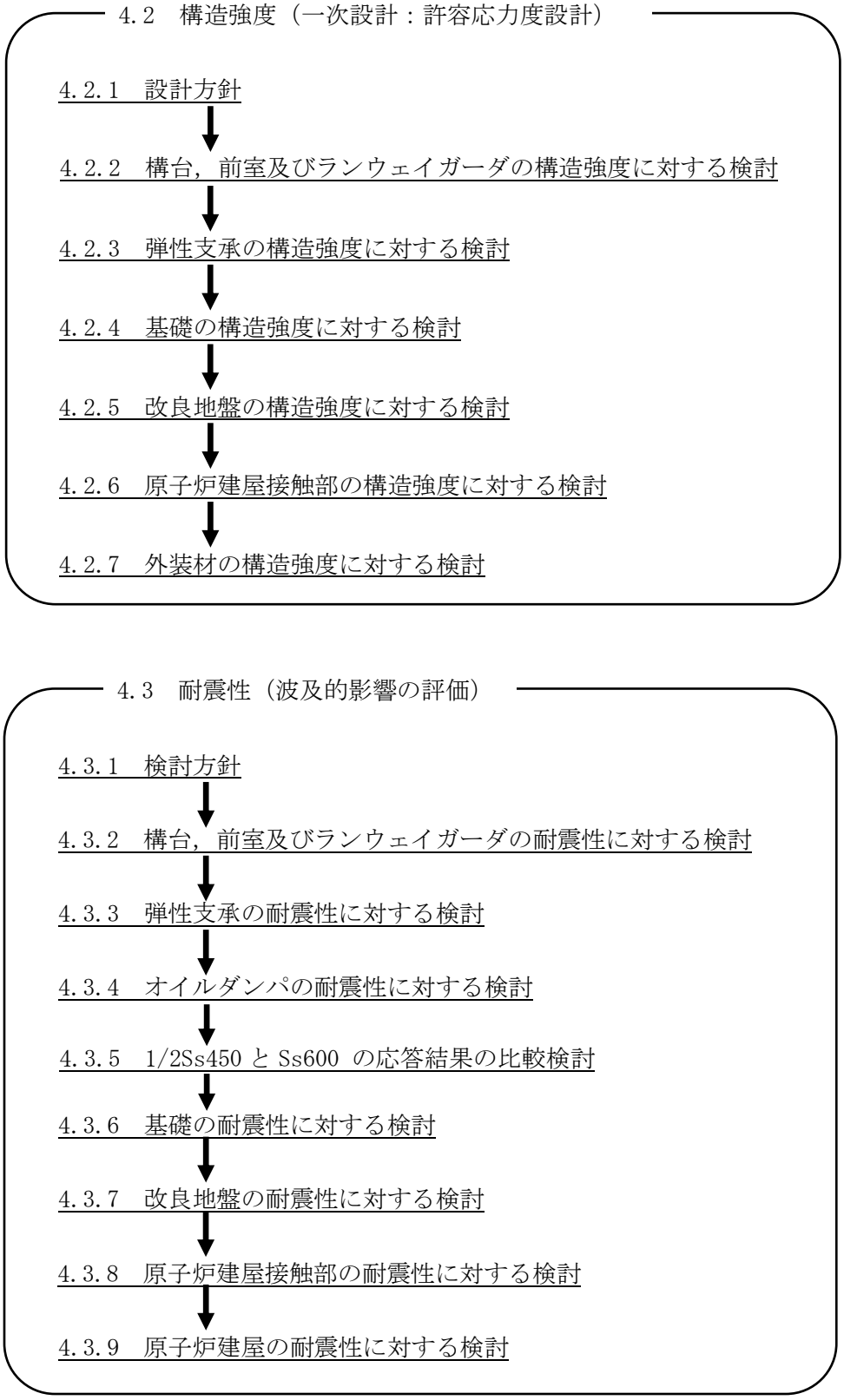

図 4.1.3-1　燃料取り出し用構台の検討フロー

4.2　構造強度

4.2.1　設計方針

構造強度の検討は，構台，前室及びランウェイガーダ，弾性支承，基礎及び改良地盤について許容応力度設計を実施する。

(1)　使用材料及び許容応力度

使用材料の物性値及び許容応力度を表 4.2.1-1～表 4.2.1-3 に示す。なお，弾性支承の詳細仕様については，別冊２８ P46，P47 参照。

表 4.2.1-1　燃料取り出し用構台の物性値及び許容応力度

材料定数

部位	材料	ヤング係数 E (N/mm^2)	ポアソン比 ν	単位体積重量 γ (kN/m^3)
架　　構	鉄骨	2.05×10^5	0.3	77.0
床・基礎スラブ	コンクリート	2.27×10^4	0.2	23.0

コンクリートの許容応力度　（単位：N/mm^2）

設計基準強度	長期			短期		
24	圧縮	引張	せん断	圧縮	引張	せん断
	8.0	－	0.73	16.0	－	1.095

鉄筋の許容応力度　（単位：N/mm^2）

記号	鉄筋径	長期		短期	
		引張及び圧縮	せん断補強	引張及び圧縮	せん断補強
SD295	－	195	195	295	295
SD345	D29 未満	215	195	345	345
	D29 以上	195			

構造用鋼材の許容応力度　（単位：N/mm^2）

板厚	材料	基準強度 F	許容応力度
T≦40mm	SGLCC	205	JIS G 3321 に従い，左記 F の値（降伏点又は耐力）より求める
	SS400	235 *	「建設省告示第 2464 号」に従い，左記 F の値より求める *:終局強度は基準強度 F 値の 1.1 倍とする。
	SM490A，STK490	325 *	
	SN490B，SN490C	325 *	
T＞40mm	SN490B	295 *	
	TMCP325	325	

表 4.2.1-2　弾性支承の物性値

弾性支承の物性値

種別	ゴム			鋼　材	
積層ゴム	ゴム径 (mm)	鉛直剛性 ($\times 10^3$ kN/m)	水平剛性 ($\times 10^3$ kN/m)	フランジ プレート	内部鋼板
	750	2140	0*	SS400	SS400

＊：ローラー支承と仮定

表 4.2.1-3　改良地盤・支持地盤の許容応力度

改良地盤の許容応力度　　(単位：kN/m^2)

設計基準強度=3000*1	長期			短期		
	圧縮	引張	せん断	圧縮	引張	せん断
改良地盤	1000	－	200	2000	－	400
断面欠損を考慮*2	980	－	150	1960	－	300

＊1：設計圧縮強度 = 5000kN/m^2

＊2：「JEAC4616-2009」に準拠し，断面欠損を鉛直方向に 2%，せん断方向に 25%考慮した

支持地盤の許容支持力度　　(単位：kN/m^2)

種別	長期*3	短期*3
泥岩（岩盤）	1960	3920

＊3：「福島第一原子力発電所第４号機工事計画認可申請書」による

(2)　荷重及び荷重組合せ

設計で考慮する荷重を以下に示す。

1)　鉛直荷重（VL）

燃料取り出し用構台に作用する鉛直方向の荷重で，固定荷重，機器荷重，配管荷重及び積載荷重とする。

・燃料取扱設備荷重（CL）

燃料取扱設備による荷重を表 4.2.1-4 に示す。なお，燃料取扱設備位置の選定根拠については，別冊２８ P52～P54 参照。

構内用輸送容器揚重時を想定し，構内用輸送容器を含んだ重量とする。

表 4.2.1-4　燃料取扱設備荷重

位　置	合計重量(t)
原子炉建屋内(A)	310
前室内(B)	310

2)　積雪荷重（SL）

積雪荷重は建築基準法施行令第 86 条及び福島県建築基準法施行規則細則に準拠し以下の条件とする。

なお，国土交通省告示 594 号による多雪区域以外の区域における積雪後の降雨を見込んだ割増係数を乗じた積雪荷重を考慮する。

積雪量：30cm，単位荷重：20N/m^2/cm

3)　風圧力（WL）

風圧力は建築基準法施行令第 87 条および建設省告示第 1454 号に基づき，基準風速を 30m/s，地表面粗度区分Ⅱとして算定する。速度圧の算定結果を表 4.2.1-5 に示す。

表 4.2.1-5　速度圧の算定結果

建物高さ* H(m)	平均風速の 鉛直分布係数 Er	ガスト 影響係数 Gf	建物高さと粗度 区分による係数 E	基準風速 Vo(m/s)	速度圧 q(N/m^2)
46.81	1.26	2.00	3.16	30	1707

＊：建物高さは，安全側に水上鉄骨天端とする

4)　地震荷重（K）

燃料取り出し用構台に作用させる地震荷重は，G.L.+2.06m（構台基礎上端レベル）を基準面とした構台の水平地震力の算定結果より設定する。水平地震力は下式より算定し，算定結果を表4.2.1-6および表4.2.1-7に示す。

$$Qi = n \cdot Ci \cdot Wi$$

$$Ci = Z \cdot Rt \cdot Ai \cdot Co$$

ここで，

Qi：層せん断力（kN）

n　：施設の重要度に応じた係数

建築基準法で定める地震力の1.5倍を考慮する。

Ci：地震層せん断力係数

Wi：当該部分が支える重量（kN）

Z　：地震地域係数（Z=1.0）

Rt　：振動特性係数（Rt=0.8）

Ai　：地震層せん断力係数の高さ方向の分布係数で，燃料取り出し用構台の固有値を用いたモーダル解析法（二乗和平方根法）により求める。

C_0　：標準せん断力係数（C_0=0.2）

i層の水平震度kiは，下式によって算定する。

$Pi=Q_i-Q_{i-1}$

$ki=Pi/wi$

ここで，

Pi：当該階とその直下階の水平地震力の差（kN）

wi：各階重量（kN）

表 4.2.1-6　燃料取り出し用構台の水平震度の算定結果（NS 方向）

階	標 高 G.L.(m)	各階重量 wi(kN)	Wi (kN)	Ai	n・Ci	Qi (kN)	Pi (kN)	水平震度 ki
R	46.81	3523.2	—	—	—	—	1068	0.304
8	46.81～40.42	2275.1	3523.2	1.263	0.303	1068	655	0.288
7	40.42～34.82	1316.1	5798.3	1.238	0.297	1722	354	0.269
6	34.82～29.42	22168.4	7114.4	1.216	0.293	2076	5631	0.254
5	29.42～24.30	2805.8	29282.8	1.097	0.263	7707	638	0.228
4	24.30～19.38	2426.8	32088.5	1.084	0.260	8345	487	0.201
3	19.38～14.46	2957.4	34515.3	1.066	0.257	8832	524	0.178
2	14.46～8.26	3530.4	37472.7	1.040	0.249	9356	484	0.138
1	8.26～2.06	—	41003.1	1.000	0.240	9841	—	—

表 4.2.1-7　燃料取り出し用構台の水平震度の算定結果（EW 方向）

階	標 高 G.L.(m)	各階重量 wi(kN)	Wi (kN)	Ai	n・Ci	Qi (kN)	Pi (kN)	水平震度 ki
R	46.81	3523.2	—	—	—	—	1147	0.326
8	46.81～40.42	2275.1	3523.2	1.357	0.326	1147	719	0.317
7	40.42～34.82	1316.1	5798.3	1.341	0.323	1866	376	0.286
6	34.82～29.42	22168.4	7114.4	1.313	0.315	2242	6033	0.273
5	29.42～24.30	2805.8	29282.8	1.178	0.282	8276	609	0.217
4	24.30～19.38	2426.8	32088.5	1.154	0.278	8884	394	0.163
3	19.38～14.46	2957.4	34515.3	1.120	0.269	9278	339	0.115
2	14.46～8.26	3530.4	37472.7	1.069	0.257	9617	224	0.064
1	8.26～2.06	—	41003.1	1.000	0.240	9841	—	—

5)　荷重組合せ

設計で考慮する燃料取扱設備の位置を図 4.2.1-1 に，荷重組合せを表 4.2.1-8 に示す。

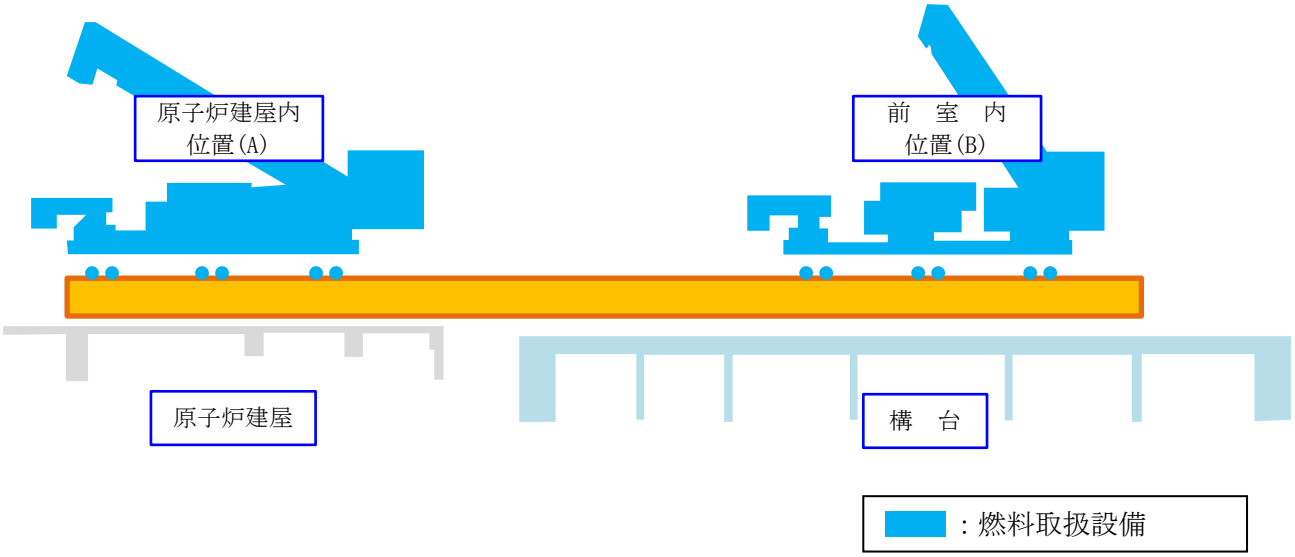

図 4.2.1-1　燃料取扱設備の位置

表 4.2.1-8　荷重組合せ

想定する状態	荷重ケース	荷重組合せ内容	許容応力度
常時	C	VL	長期
積雪時	S	VL+SL	短期
暴風時	W	VL+WL	
地震時	E1	VL+K(+NS)	
	E2	VL+K(-NS)	
	E3	VL+K(+EW)	
	E4	VL+K(-EW)	

注：各荷重ケースにおいて，燃料取扱設備の位置は原子炉建屋内位置(A)と前室内位置(B)の 2 ケース考慮する。

地震時と暴風時の燃料取り出し用構台の層せん断力について，風荷重の受圧面積が大きい EW 方向で比較した結果を図 4.2.1-2 に示す。図 4.2.1-2 より，地震時の層せん断力は暴風時の層せん断力を包絡しており，支配的な荷重である。

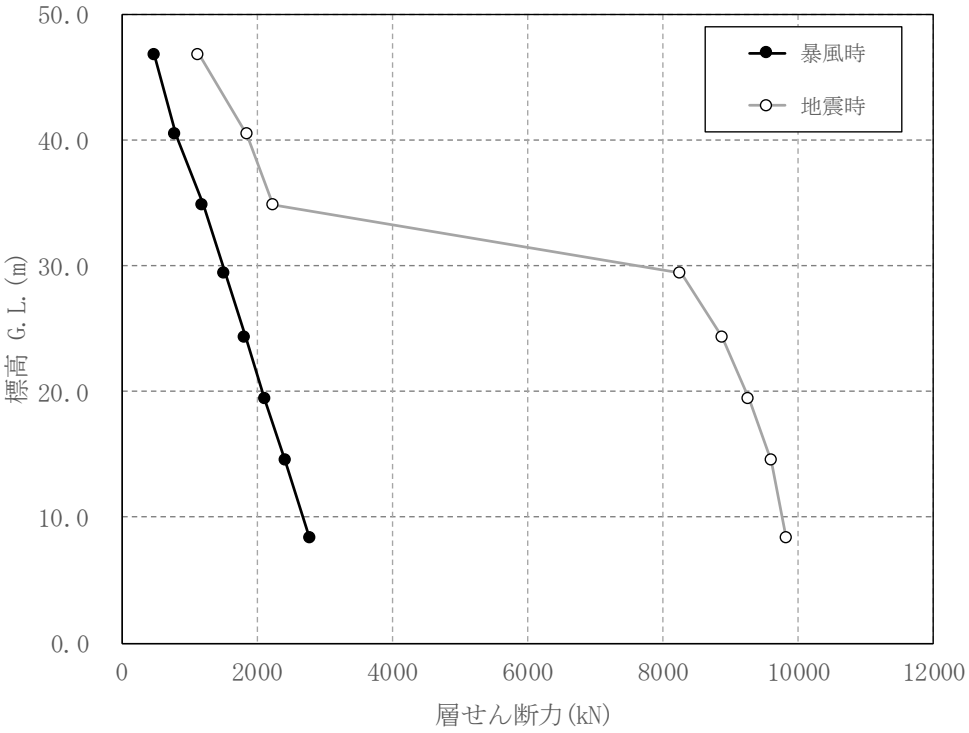

図 4.2.1-2　地震時と暴風時の層せん断力の比較（EW 方向）

4.2.2　構台，前室及びランウェイガーダの構造強度に対する検討

(1) 解析モデル

架構の解析モデルは，構台及び前室とランウェイガーダを構成する主要な鉄骨部材からなる立体架構モデルとする。図 4.2.2-1 に架構の立体解析モデルを示す。解析モデルの柱脚部は固定とする。

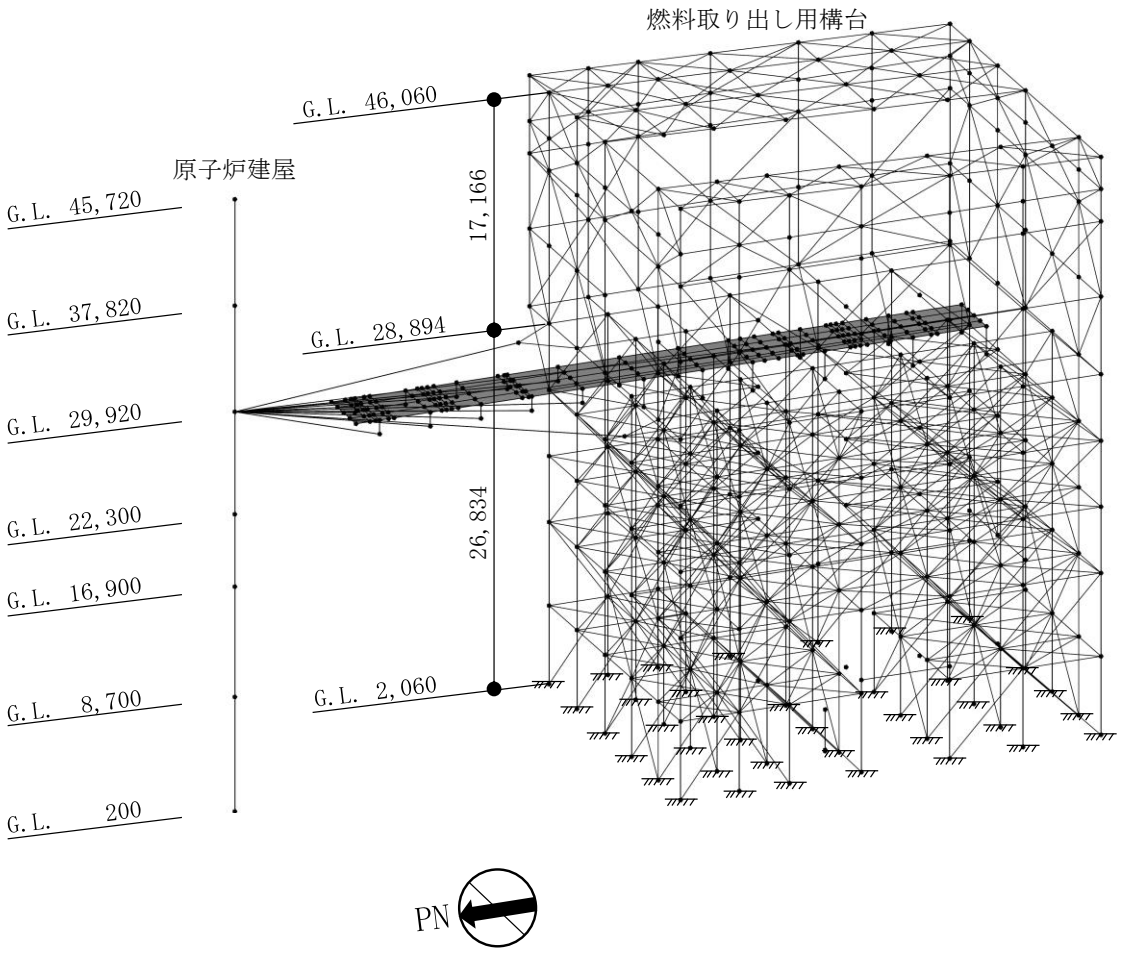

図 4.2.2-1　解析モデル

(2)　断面検討

1)　柱及び梁部材の検討

部材の応力度比は,「鋼構造設計規準」に従い，2 方向の曲げ，軸力及びせん断力の各最大応力と各許容応力度との比を組み合わせた値で表される。

・軸圧縮の場合　　$\sqrt{\left(\frac{\sigma_c}{f_c}+\frac{\sigma_{by}}{f_{by}}+\frac{\sigma_{bz}}{f_{bz}}\right)^2+\left(\frac{\tau}{f_s}\right)^2} \leqq 1$

・軸引張の場合　　$\sqrt{\left(\frac{\sigma_t}{f_t}+\frac{\sigma_{by}}{f_{by}}+\frac{\sigma_{bz}}{f_{bz}}\right)^2+\left(\frac{\tau}{f_s}\right)^2} \leqq 1$

ここで，　　σ_c，σ_t：圧縮応力度（N/A）及び引張応力度（T/A）(N/mm^2)

N：圧縮力(N)，T：引張力(N)，A：断面積(mm^2)

σ_{by}，σ_{bz}：強軸まわりの曲げ応力度（M_y/Z_y）

及び弱軸まわりの曲げ応力度（M_z/Z_z）(N/mm^2)

M_y，Z_y：強軸まわりの曲げモーメント(Nm)及び断面係数(mm^3)

M_z，Z_z：弱軸まわりの曲げモーメント(Nm)及び断面係数(mm^3)

τ：せん断応力度（Q/A_s）(N/mm^2)

Q：せん断力(N)，A_s：せん断断面積(mm^2)

f_c：許容圧縮応力度(N/mm^2)

f_t：許容引張応力度(N/mm^2)

f_{by}：強軸まわりの許容曲げ応力度(N/mm^2)

f_{bz}：弱軸まわりの許容曲げ応力度(N/mm^2)

f_s：許容せん断応力度(N/mm^2)

2)　トラス梁の斜材，ブレースの検討

応力度比の検討は，軸力に対し下式にて検討を行う。

・軸圧縮の場合　　$\frac{\sigma_c}{f_c} \leqq 1$

・軸引張の場合　　$\frac{\sigma_t}{f_t} \leqq 1$

ここで，　　σ_c，σ_t：圧縮応力度（N/A）及び引張応力度（T/A）(N/mm^2)

N：圧縮力(N)，T：引張力(N)，A：断面積(mm^2)

f_c：許容圧縮応力度(N/mm^2)

f_t：許容引張応力度(N/mm^2)

表 4.2.2-1 に常時に応力度比が最大となる部位の断面検討結果を，図 4.2.2-2 に応力度比が最大となる部材を示した図を示す。同様に，表 4.2.2-2 に地震時に応力度比が最大となる部位の断面検討結果を，図 4.2.2-3 に応力度比が最大となる部位を示した図を示す。

断面検討の結果，全ての部材に対する応力度比が 1 以下になることを確認した。

表 4.2.2-1　断面検討結果（常時）

部　位		部材形状(mm) 〈使用材料〉	荷重ケース (位置)	作用応力度 (N/mm^2)		許容応力度 (N/mm^2)		応力度比	判定
前室	ⓐ柱	H-1500×400 ×16×32 〈SM490A〉	C (A,B)	σ_c	7.4	f_c	203	0.32	O.K.
				σ_{by}	49.7	f_{by}	211		
				σ_{bz}	9.4	f_{bz}	216		
				τ	4.6	f_s	125		
	ⓑ梁	H-1500×500 ×19×40 〈SM490A〉	C (A,B)	σ_t	0.2	f_t	216	0.11	O.K.
				σ_{by}	5.1	f_{by}	193		
				σ_{bz}	16.0	f_{bz}	216		
				τ	1.2	f_s	125		
	ⓒ鉛直 ブレース	φ-355.6×9.5 〈STK490〉	C (A,B)	σ_c	30.2	f_c	157	0.20	O.K.
	ⓓ屋根トラス上下弦材	H-300×300×16 ×16 〈SM490A〉	C (A,B)	σ_c	76.4	f_c	174	0.45	O.K.
				σ_{bz}	2.1	f_{bz}	216		
				τ	0.2	f_s	125		
	ⓔ屋根トラス斜材	2[s-150×75× 6.5×10 〈SS400〉	C (A,B)	σ_c	59.9	f_c	136	0.45	O.K.
	ⓕランウェイガーダ	□-1500×900× (80+40)×80 〈SN490B〉	C (B)	σ_c	0.0	f_c	196	0.25	O.K.
				σ_b	45.7	f_b	196		
				τ	9.2	f_s	113		
構台	ⓖ柱	H-700×300 ×16×32 〈SM490A〉	C (B)	σ_c	48.7	f_c	144	0.48	O.K.
				σ_{by}	20.5	f_{by}	161		
				σ_{bz}	2.1	f_{bz}	216		
				τ	3.8	f_s	125		
	ⓗ梁	H-800×350 ×19×36 〈SM490A〉	C (B)	σ_c	0.0	f_c	200	0.44	O.K.
				σ_{by}	59.0	f_{by}	207		
				σ_{bz}	0.0	f_{bz}	216		
				τ	41.4	f_s	125		
	①鉛直 ブレース	φ-355.6×9.5 〈STK490〉	C (B)	σ_c	21.4	f_c	142	0.16	O.K.

＊1：ⓐ～①の符号は図 4.2.2-2 の応力検討箇所を示す

＊2：(　)内は，燃料取扱設備の位置を示す。(表 4.2.1-4 参照)

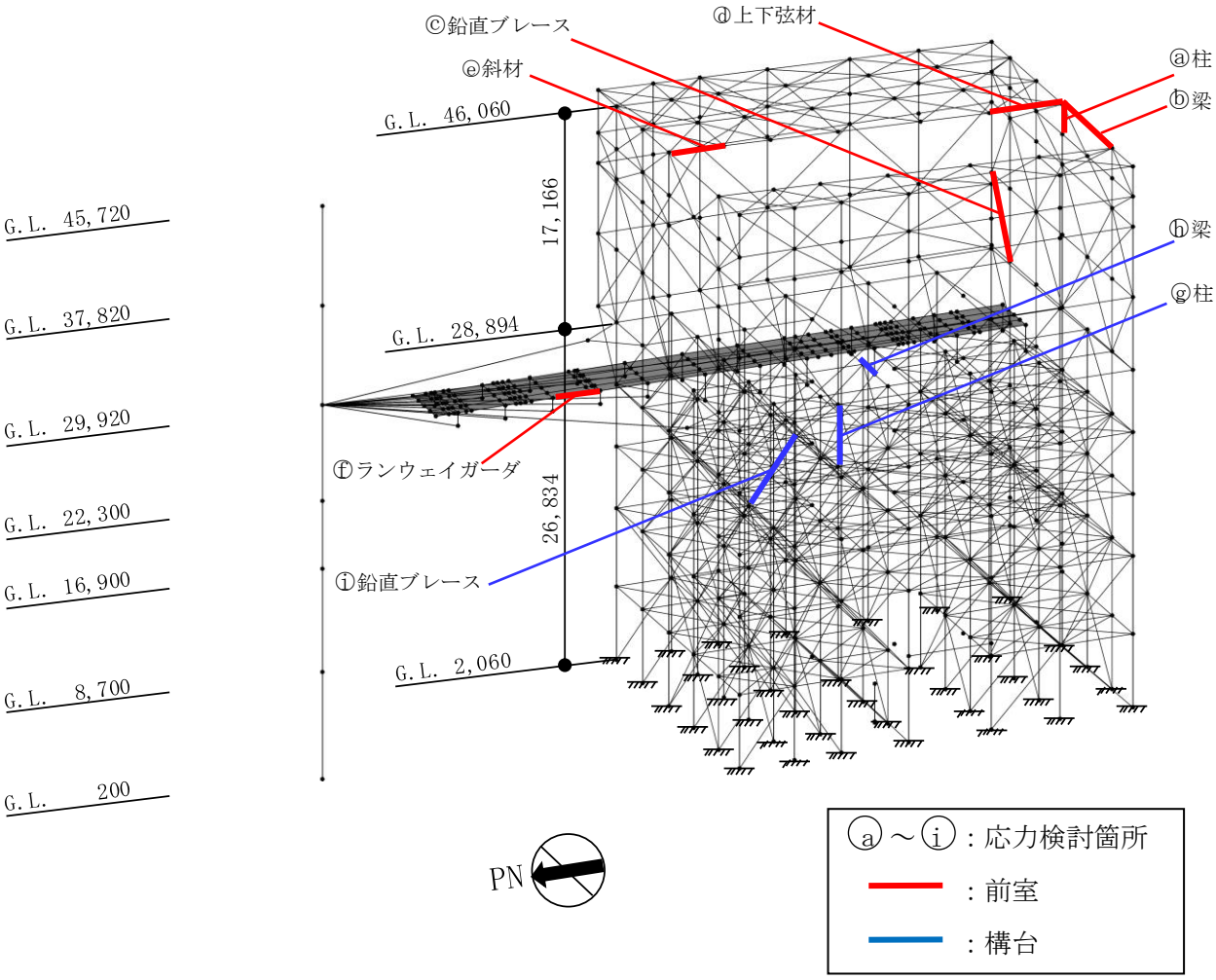

図 4.2.2-2　応力度比が最大となる部材（常時）

表 4.2.2-2　断面検討結果（地震時）

部　位		部材形状(mm) 〈使用材料〉	荷重ケース (位置)	作用応力度 (N/mm^2)		許容応力度 (N/mm^2)		応力度比	判定
前室	ⓐ柱	H-1500×400 ×16×32 〈SM490A〉	E3 (B)	σ_c	7.8	f_c	304	0.25	O.K.
				σ_{by}	48.5	f_{by}	316		
				σ_{bz}	21.1	f_{bz}	324		
				τ	4.4	f_s	187		
	ⓑ梁	H-390×300 ×10×16 〈SM490A〉	E3 (B)	σ_t	9.2	f_t	192	0.17	O.K.
				σ_{by}	0.0	f_{by}	220		
				σ_{bz}	37.5	f_{bz}	324		
				τ	0.6	f_s	187		
	ⓒ鉛直 ブレース	φ-406.4×12.7 〈STK490〉	E3 (A)	σ_c	76.2	f_c	253	0.31	O.K.
	ⓓ水平ブレース	2[s-150×75×9 ×12.5 〈SS400〉	E3 (A)	σ_t	35.8	f_t	234	0.16	O.K.
	ⓔ屋根トラス上下弦材	H-300×300×16 ×16 〈SM490A〉	E4 (A)	σ_c	80.3	f_c	261	0.35	O.K.
				σ_{bz}	10.5	f_{bz}	324		
				τ	0.3	f_s	187		
	ⓕ屋根トラス斜材	2[s-150×75× 6.5×10 〈SS400〉	E2 (A,B)	σ_c	61.0	f_c	204	0.30	O.K.
	ⓖランウェイガーダ	□-1500×900× (80+40)×80 〈SN490B〉	E3 (B)	σ_c	14.3	f_c	294	0.22	O.K.
				σ_b	45.7	f_b	294		
				τ	9.2	f_s	169		
構台	ⓗ柱	(X)H-700×300 ×40×40 (Y)H-700×350 ×40×40 〈SM490A〉	E1 (A)	σ_c	42.5	f_c	285	0.67	O.K.
				σ_{by}	11.2	f_{by}	312		
				σ_{bz}	154.4	f_{bz}	324		
				τ	7.3	f_s	187		
	ⓘ梁	H-700×350 ×19×36 〈SM490A〉	E3 (A)	σ_c	1.0	f_c	241	0.57	O.K.
				σ_{by}	134.0	f_{by}	261		
				σ_{bz}	2.1	f_{bz}	324		
				τ	38.1	f_s	187		
	ⓙ鉛直 ブレース	φ-406.4×9.5 〈STK490〉	E2 (A)	σ_t	83.8	f_t	231	0.37	O.K.
	ⓚ水平 ブレース	[-180×75×7× 10.5 〈SS400〉	E1 (A)	σ_t	44.5	f_t	234	0.20	O.K.

＊1：ⓐ～ⓚの符号は図 4.2.2-3 の応力検討箇所を示す

＊2：(　)内は，燃料取扱設備の位置を示す。(表 4.2.1-4 参照)

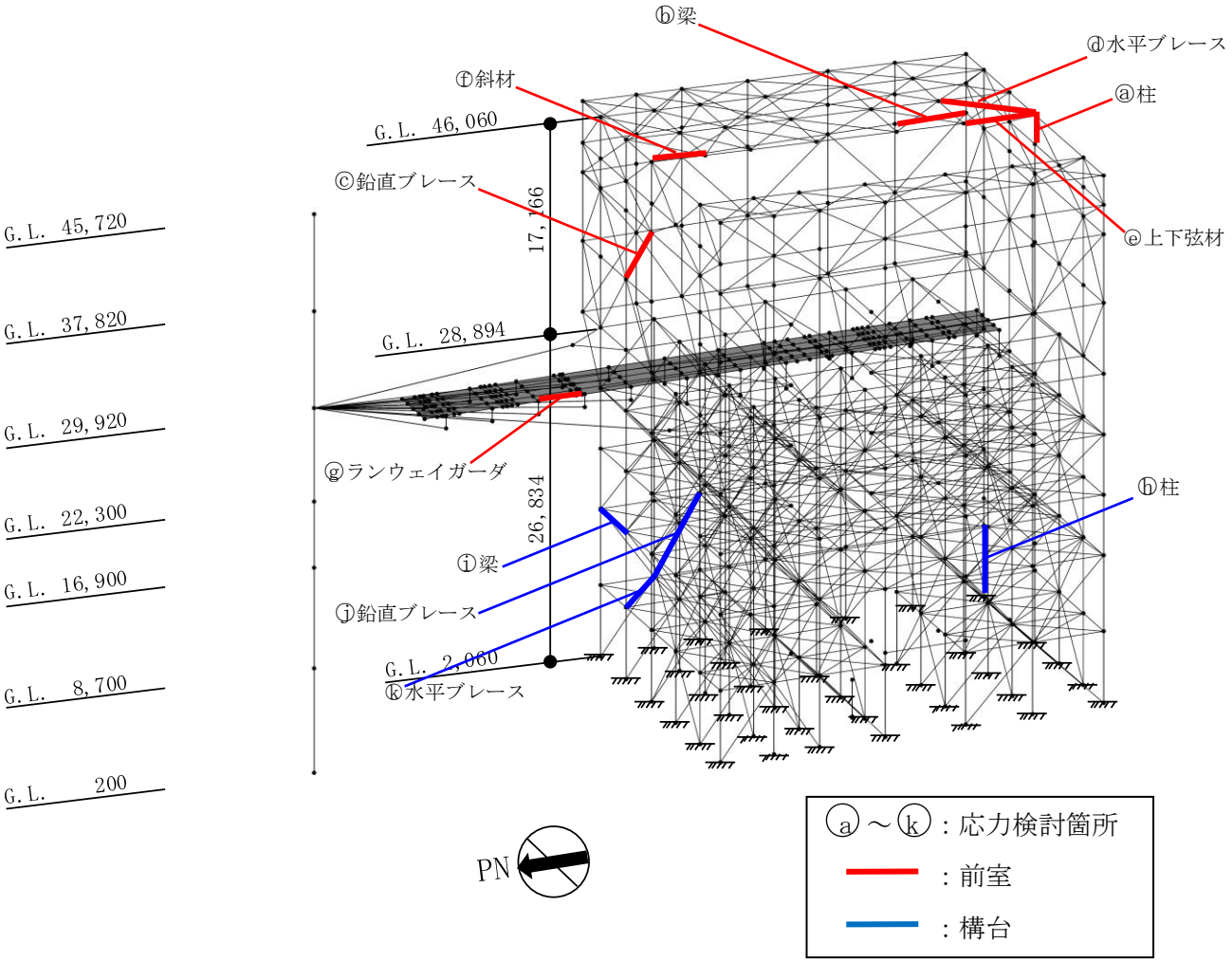

図 4.2.2-3　応力度比が最大となる部材（地震時）

4.2.3　弾性支承の構造強度に対する検討

弾性支承に作用する圧縮力による面圧が，弾性支承の圧縮限界強度以下となることを確認する。圧縮限界強度はゴム材料の弾性係数に応じて製品が規定する数値である。

検討の結果，最大圧縮面圧が圧縮限界強度以下となることを確認した。

表 4.2.3-1　弾性支承の構造強度に対する検討結果

設置位置	最大面圧発生ケース (位置)*	圧縮限界強度 σ_v (N/mm^2)	最大圧縮面圧 σ_D(N/mm^2)	σ_D/σ_v	判定
西側	E2(A)	43.00	6.37	0.15	O.K.
東側	E2(A)	43.00	6.36	0.15	O.K.

*：(　)内は，燃料取扱設備の位置を示す。(表 4.2.1-4 参照)

4.2.4　基礎の構造強度に対する検討

(1)　設計方針

基礎の応力解析は，弾性地盤上に支持された版として有限要素法を用いて行い，解析モデルは図4.2.4-1 に示すように四辺形の均質等方な板要素により構成し，支持地盤は等価な弾性ばねとしてモデル化する。但し，浮き上がった場合は，ばねの剛性が０となる。

(2)　解析モデル

解析モデルを図 4.2.4-1，図 4.2.4-2 に示す。

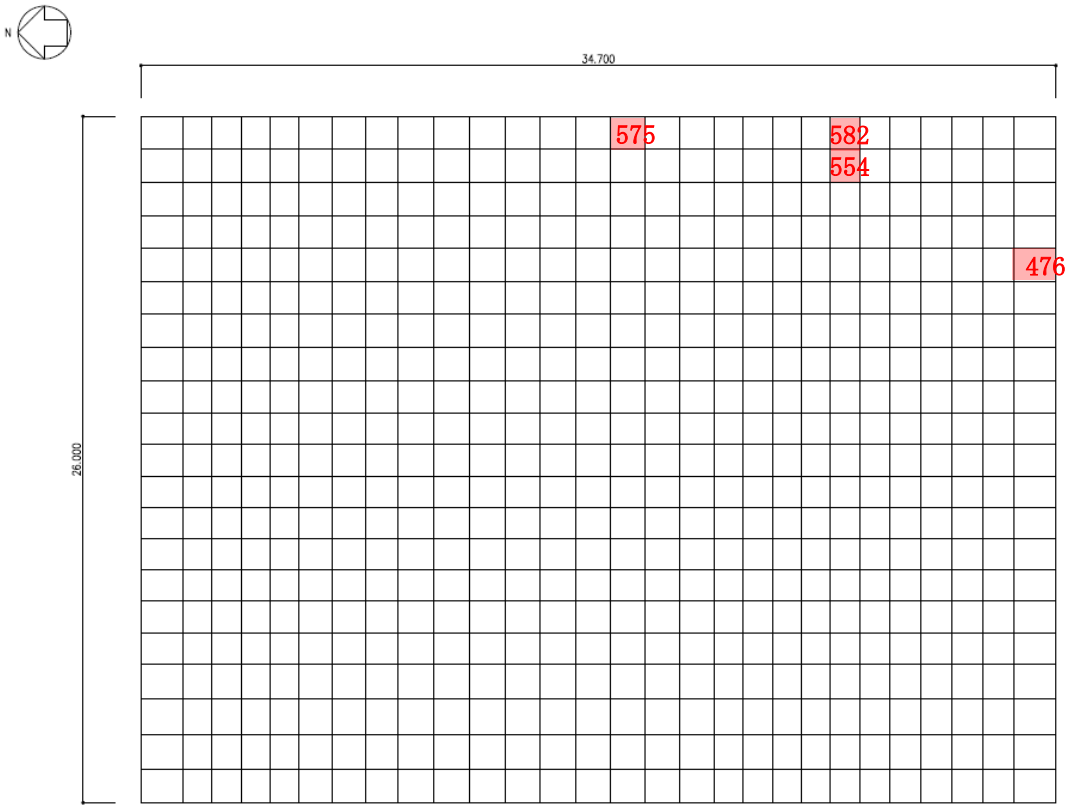

凡例　###：断面算定要素(常時:C)（数字は要素番号）

図 4.2.4-1　解析モデル図(常時:C)（単位：mm）

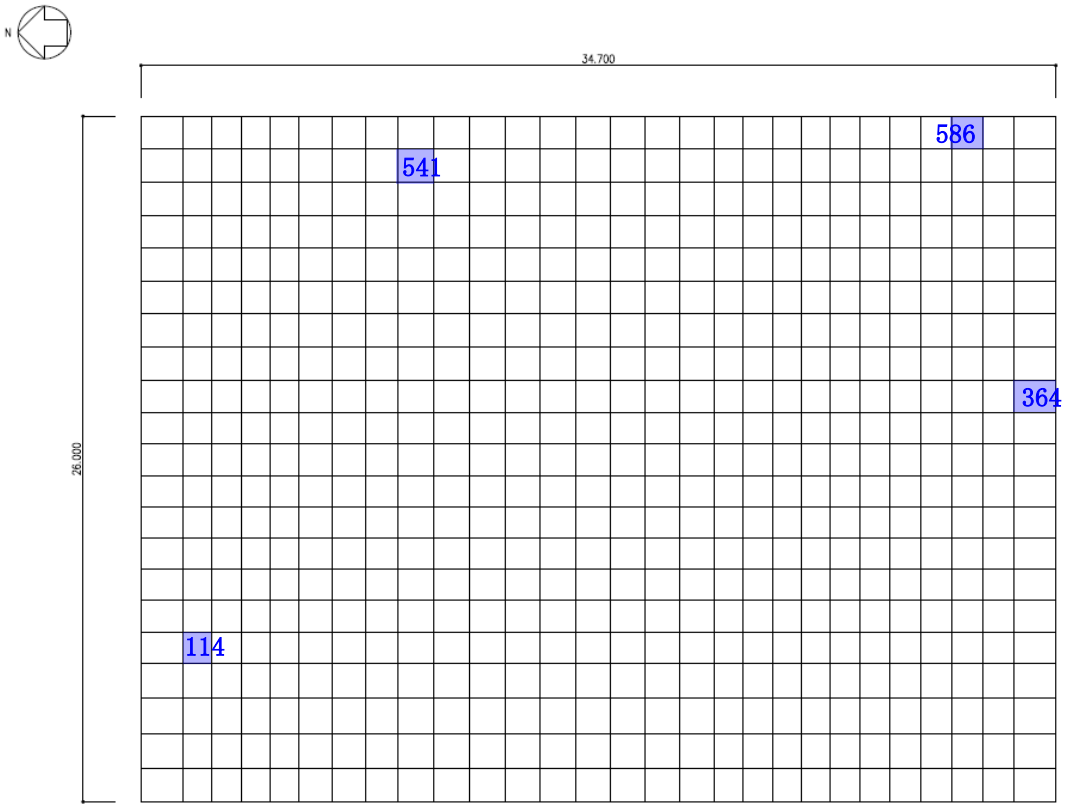

凡例　###：断面算定要素(地震時:E1～E4)（数字は要素番号）

図 4.2.4-2　解析モデル図（単位：mm）

(3)　断面検討

組合せた応力より，各要素の必要鉄筋比を「原子力施設鉄筋コンクリート構造計算規準・同解説」より求め，設計配筋が必要鉄筋比を上回ること及び面外せん断力が許容せん断力以下であることを確認する。必要鉄筋比が最大となる要素と設計面外せん断力と許容せん断力との比が最大になる要素の断面検討結果を表 4.2.4-1，表 4.2.4-2 に示し，配筋図を図 4.2.4-3 に示す。

断面検討の結果，設計配筋は必要鉄筋比を上回り，面外せん断力は許容せん断力以下であることを確認した。

表 4.2.4-1　断面検討結果（常時:C）

要素番号	方向	荷重ケース（位置）*1	設計応力		N/(b・D) *2 ($\times 10^{-2}$ N/mm^2)	M/(b・D^2) ($\times 10^{-2}$ N/mm^2)	Pt (%)	設計配筋 上段：上端筋 (pt:%) 下段：下端筋 (pt:%)	設計面外せん断力 Q (kN/m)	許容せん断力 fs・b・j (kN/m)	判定
			N*2 (kN/m)	M (kN・m/m)							
575	NS	C(B)	-0.5	408.2	0.000	0.045	0.026	2-D38@200 (0.38) 2-D38@200 (0.38)	75.5	1775	O.K.
476	EW	C(B)	-0.8	798.1	0.000	0.089	0.051	2-D38@200 (0.38) 2-D38@200 (0.38)	101.1	1775	O.K.
582	NS	C(B)	1.6	75.3	0.001	0.008	0.005	2-D38@200 (0.38) 2-D38@200 (0.38)	466.3	1775	O.K.
554	EW	C(B)	-0.7	22.0	0.000	0.002	0.001	2-D38@200 (0.38) 2-D38@200 (0.38)	488.7	1775	O.K.

表 4.2.4-2　断面検討結果（地震時:E1～E4 ）

要素番号	方向	荷重ケース（位置）*1	設計応力		N/(b・D) *2 ($\times 10^{-2}$ N/mm^2)	M/(b・D^2) ($\times 10^{-2}$ N/mm^2)	Pt (%)	設計配筋 上段：上端筋 (pt:%) 下段：下端筋 (pt:%)	設計面外せん断力 Q (kN/m)	許容せん断力 fs・b・j (kN/m)	判定
			N*2 (kN/m)	M (kN・m/m)							
541	NS	E2(B)	-119.5	969.9	0.040	0.108	0.061	2-D38@200 (0.38) 3-D38@200 (0.57)	50.8	2616	O.K.
114	EW	E4(A)	-104.7	1140.3	0.035	0.127	0.046	2-D38@200 (0.38) 2-D38@200 (0.38)	14.4	2663	O.K.
586	NS	E3(A)	29.4	316.8	0.010	0.035	0.010	2-D38@200 (0.38) 2-D38@200 (0.38)	748.8	2663	O.K.
364	EW	E1(B)	26.5	109.7	0.009	0.012	0.003	2-D38@200 (0.38) 2-D38@200 (0.38)	677.2	2663	O.K.

*1：(　)内は，燃料取扱設備の位置を示す。(表 4.2.1-4 参照)

*2：圧縮を正とする。

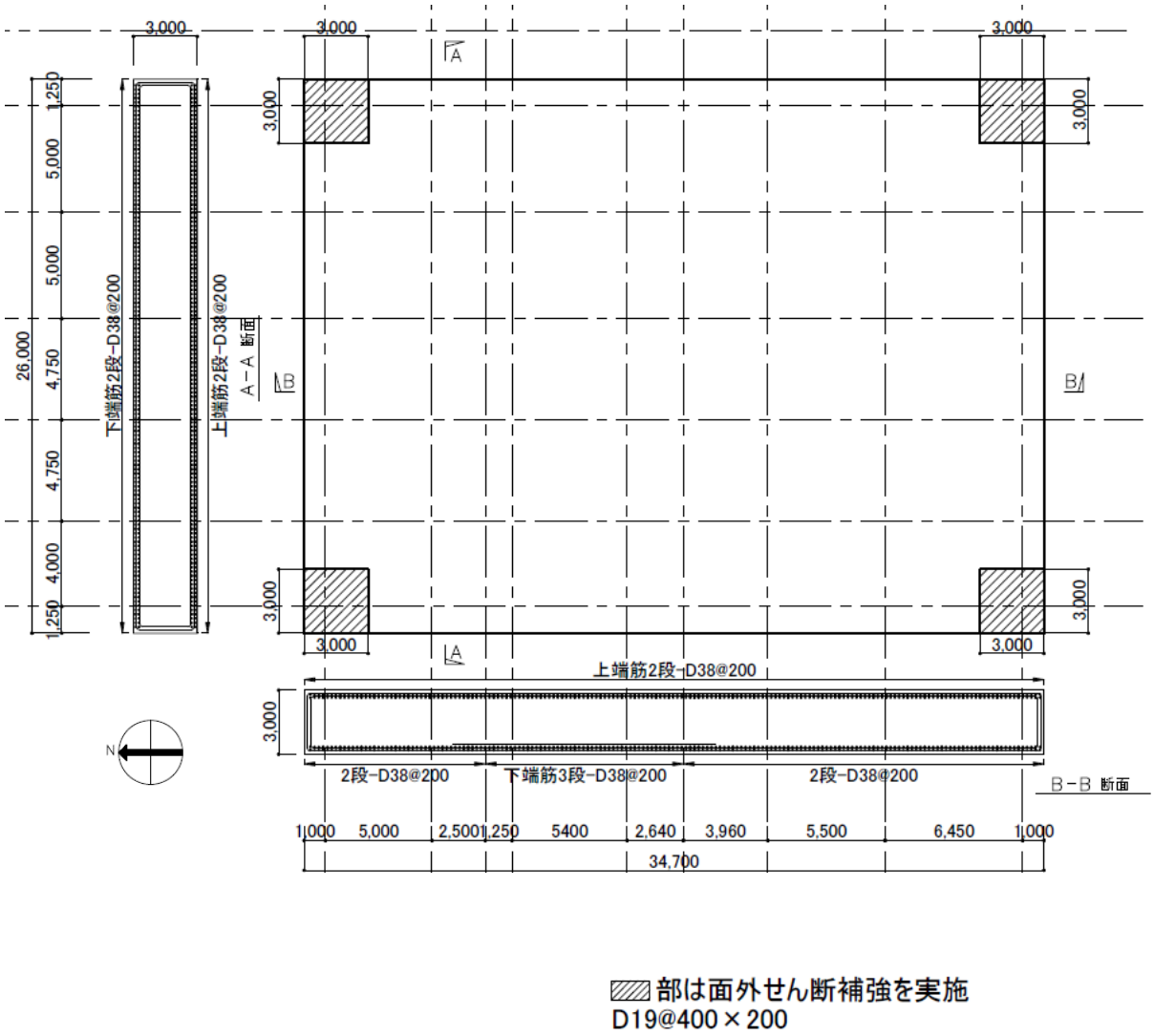

図 4.2.4-3　基礎の配筋図（単位：mm）

4.2.5　改良地盤の構造強度に対する検討

(1)　設計方針

燃料取り出し用構台を支持する改良地盤は，基礎直下の地盤を南北方向に 34.7m，東西方向に 26.0m，改良厚さ 7.16m とし，G.L.-8.1m の泥岩に支持する。検討は「JEAC4616-2009」に準拠し，常時及び地震時の改良地盤に生じる最大応力が許容応力度以下であることを確認する。さらに，改良地盤直下の支持地盤の支持力に対して，常時及び地震時の改良地盤に生じる最大接地圧が許容支持力度以下であることを確認する。

(2)　常時に対する検討

1)　改良地盤の検討

常時において，改良地盤底面に生じる最大接地圧が改良地盤の長期許容圧縮応力度以下であることを確認する。図 4.2.5-1 に作用荷重を示す。

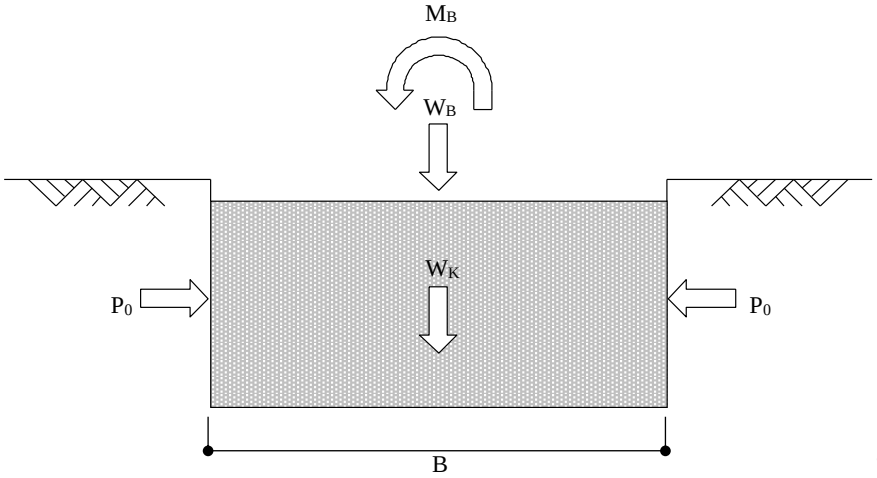

W_B：燃料取り出し用構台荷重

W_K：改良地盤の自重

M_B：燃料取り出し用構台の偏心による転倒モーメント

P_o：長期設計用土圧

B：改良幅

図 4.2.5-1　作用荷重（常時:C）

改良地盤の荷重負担範囲は，基礎底盤における矩形断面部分を対象とした面積 $A=902.2m^2$，断面係数 $Z_X=3909m^3$，$Z_Y=5217m^3$ として算定する。改良地盤底面に生じる最大接地圧は下式にて求める。

鉛直力の合計　　$\Sigma W = WB+WK = 233360$ kN

転倒モーメントの合計　　$\Sigma M_{BX} = 32707$ kNm（X 軸回り:EW 方向加力）

$\Sigma M_{BY} = 58936$ kNm（Y 軸回り:NS 方向加力）

改良地盤の最大接地圧　　$qr = \Sigma W/A + \Sigma M_{BX}/Z_X + \Sigma M_{BY}/Z_Y = 279$ kN/m^2

改良地盤に生じる最大接地圧（qr）は，改良地盤の長期許容圧縮応力度（${}_Lfsc$）以下であることを確認した。

$qr = 279$ kN/m^2 ≦ ${}_Lf_{SC} = 980$ kN/m^2

2)　支持力の検討

改良地盤底面に生じる最大接地圧（qr）が，改良地盤直下の支持地盤の長期許容支持力度（${}_Lqa$）以下であることを確認した。

改良地盤の最大接地圧　　$qr = 279$ kN/m^2

支持地盤の長期許容支持力度　　${}_Lqa = 1960$ kN/m^2

$qr = 279$ kN/m^2 ≦ ${}_Lqa = 1960$ kN/m^2

3)　沈下の検討

支持地盤は泥岩（岩盤）であるため，沈下の検討は不要である。

(3)　地震時に対する検討

1)　改良地盤の検討

地震時において，改良地盤底面の最大接地圧及びせん断応力が，改良地盤の短期許容応力度以下であることを確認する。図 4.2.5-2 に作用荷重を示す。

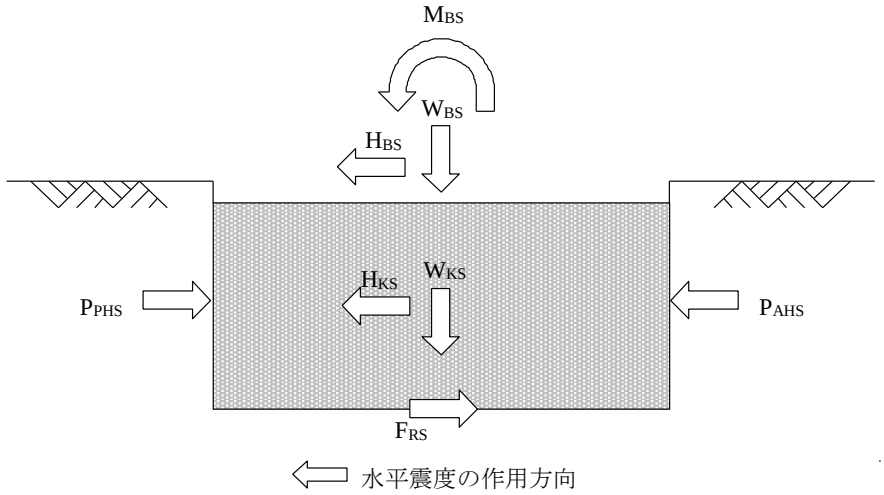

W_{BS}：燃料取り出し用構台荷重

W_{KS}：改良地盤の自重

H_{BS}：燃料取り出し用構台による水平力

M_{BS}：燃料取り出し用構台による改良地盤底面における転倒モーメント

H_{KS}：改良地盤の慣性力（地中震度 0.15）

P_{AHS}：地震時主働土圧による水平力

P_{PHS}：地震時受働土圧による水平力

F_{RS}：支持地盤のせん断抵抗力

図 4.2.5-2　作用荷重（地震時:E1～E4）

改良地盤の荷重負担範囲は，基礎底盤における矩形断面部分を対象とした面積 $A=902.2m^2$，断面係数 $Z_X=3909m^3$，$Z_Y=5217m^3$ として算定する。改良地盤底面の最大接地圧（q_{1S}）及び最大せん断応力（τ max）は下式にて求める。

鉛直力の合計　　$\Sigma W = W_{BS}+W_{KS} = 233360$ kN

水平力の合計　　$\Sigma H_X = H_{BS}+H_{KS}+P_{AHS}+P_{PHS} = 37007$ kN（NS 方向）

$\Sigma H_Y = H_{BS}+H_{KS}+P_{AHS}+P_{PHS} = 37391$ kN（EW 方向）

転倒モーメントの合計　$\Sigma M_X = M_{BS}+M_{KS}+M_{AHS}+M_{PHS} = 629283$ kNm（X 軸回り:EW 方向加力）

$\Sigma M_Y = M_{BS}+M_{KS}+M_{AHS}+M_{PHS} = 611209$ kNm（Y 軸回り:NS 方向加力）

ここに，　M_{KS}：改良地盤の転倒モーメント

M_{AHS}：地震時主働土圧による転倒モーメント

M_{PHS}：地震時受働土圧による転倒モーメント

改良地盤底面の最大接地圧　$q_{1SX} = \Sigma W/A+\Sigma M_Y/Z_Y = 396$ kN/m^2

$q_{1SY} = \Sigma W/A+\Sigma M_X/Z_X = 440$ kN/m^2

改良地盤底面の最大せん断応力　$\tau_{Xmax} = 1.2\times\Sigma H_X/A = 50$ kN/m^2

$\tau_{Ymax} = 1.2\times\Sigma H_Y/A = 50$ kN/m^2

改良地盤底面の最大接地圧（q_{1S}）及び最大せん断応力（τ_{max}）は短期許容応力度（${}_sf_{sc}$ 及び ${}_sf_{ss}$）以下であることを確認した。

$q_{1S} = 440$ kN/m^2 ≦ ${}_sf_{SC} = 1960$ kN/m^2

$\tau_{max} = 50$ kN/m^2 ≦ ${}_sf_{SS} = 300$ kN/m^2

2)　支持力の検討

改良地盤底面に生じる最大接地圧（q_{1S}）が，改良地盤直下の支持地盤の短期許容支持力度（${}_sq_a$）以下であることを確認した。

改良地盤の最大接地圧　$q_{1S} = 440$ kN/m^2

支持地盤の短期許容支持力度　${}_sq_a = 3920$ kN/m^2

$q_{1S} = 440$ kN/m^2 ≦ ${}_sq_a = 3920$ kN/m^2

4.2.6　原子炉建屋接触部の構造強度に対する検討

(1)　弾性支承反力に対する検討

弾性支承からの反力によって原子炉建屋 RC 梁に生じるせん断力が，梁の許容せん断耐力以下となることを確認する。

弾性支承の反力は基本的に，プール壁及び下階柱に直接かかるように配置するが，一部梁端に作用するため，それを考慮する。

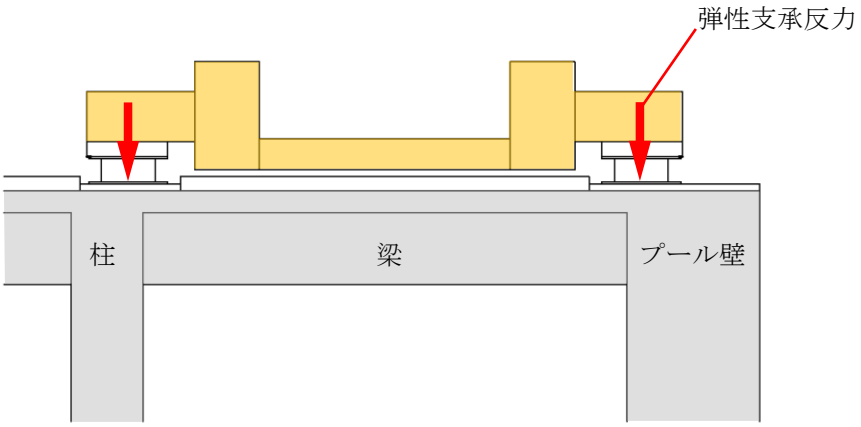

図 4.2.6-1　弾性支承からの反力

検討の結果，梁の発生せん断力が長期許容せん断力以下になることを確認した。

表 4.2.6-1　弾性支承反力に対する検討結果

部位	荷重ケース (位置)*	梁端せん断力 Q(kN)	長期許容せん断力 Qa(kN)	耐力比 Q/Qa	判定
弾性支承受梁	C (A)	760	1486	0.52	O.K.

*：(　)内は，燃料取扱設備の位置を示す。（表 4.2.1-4 参照）

4.2.7　外装材の構造強度に対する検討

(1)　設置目的

燃料取り出し用構台前室周囲には，燃料取り出し作業環境の整備並びに放射性物質の飛散・拡散防止のため，外装材を設置する。

(2)　評価方針

架構の屋根材，壁材には金属製外装材を用いる。断面検討は，屋根材，壁材それぞれに風圧力によって生じる応力度が短期許容応力度以下であることを確認する。

(3)　検討箇所

短期事象においては，暴風時の影響が支配的であることから，積雪時及び地震時の検討は省略する。検討箇所を図 4.2.7-1 に示す。

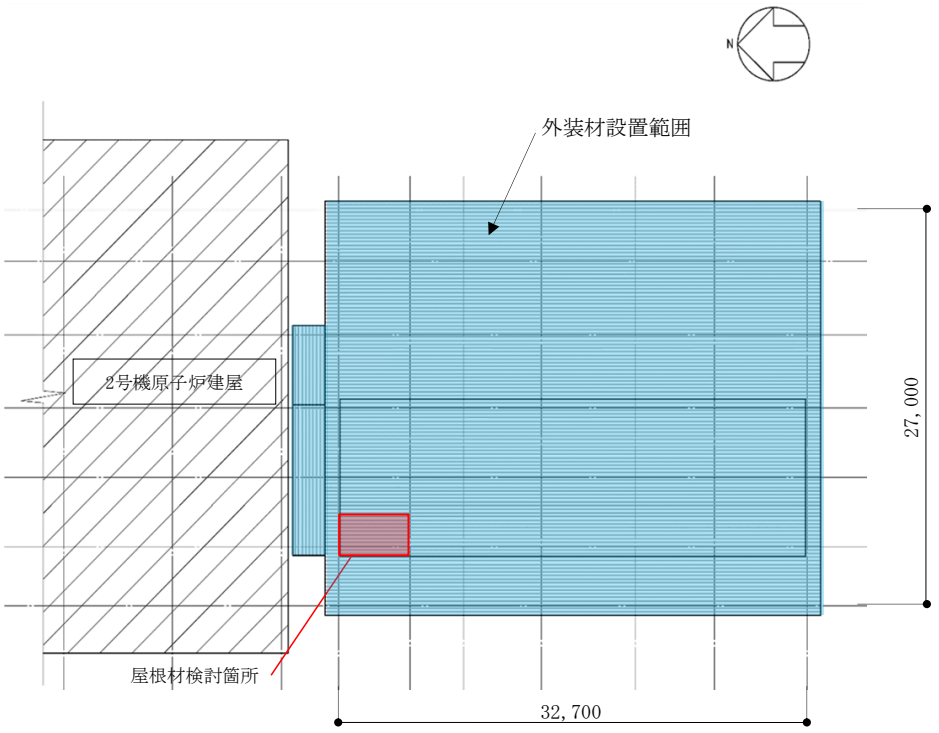

a. 屋根伏図

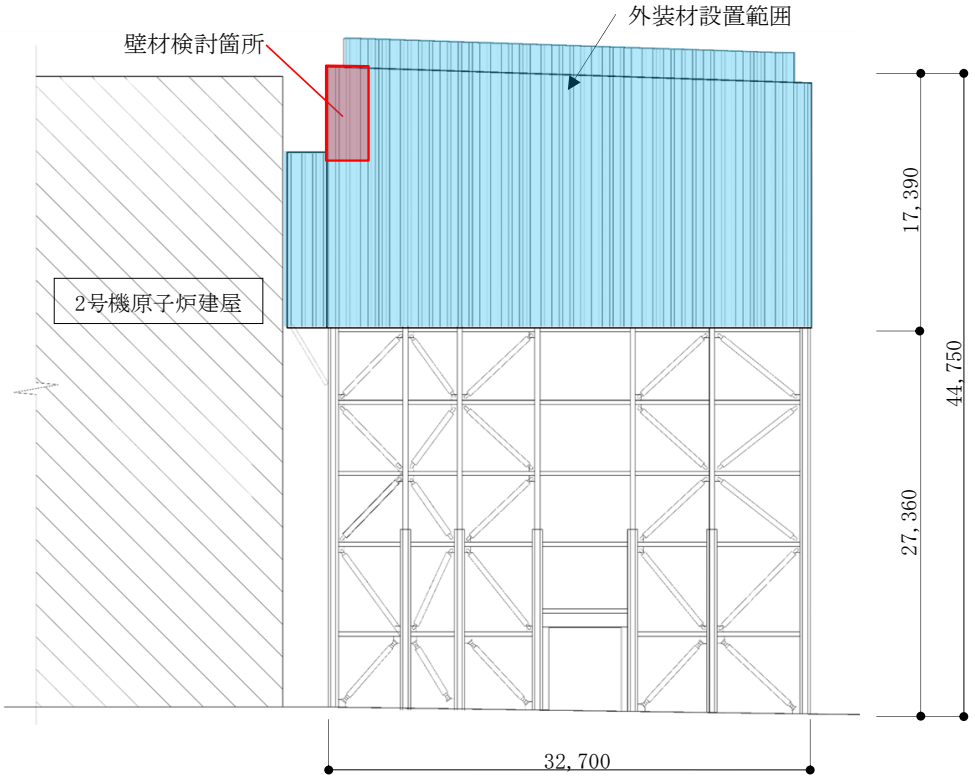

b. 西側立面

図 4.2.7-1　外装材検討箇所（単位：mm）

(3)　設計用荷重の算定

設計用風圧力は，建築基準法施行令第 82 条の 4 及び建設省告示第 1458 号に基づき，基準風速 30m/s，地表面粗度区分Ⅱとして算定する。

表 4.2.7-1　速度圧の算定結果

建物高さ* H (m)	平均風速の高さ方向の分布を表す係数 Er	基準風速 V_0 (m/s)	平均速度圧 q (N/m^2)
47	1.258	30	855

表 4.2.7-2　ピーク風力係数（屋根）

建物高さ* H (m)	正圧	負圧		
		一般部	周縁部 1	周縁部 2
47	0.50	-2.50	-3.20	-4.30

表 4.2.7-3　ピーク風力係数（壁）

建物高さ* H (m)	正圧	負圧	
		一般部	隅角部
47	2.60	-1.88	-2.31

＊：建物高さは，安全側に建築物の高さと軒の高さ(水上側鉄骨天端)との平均値以上とした

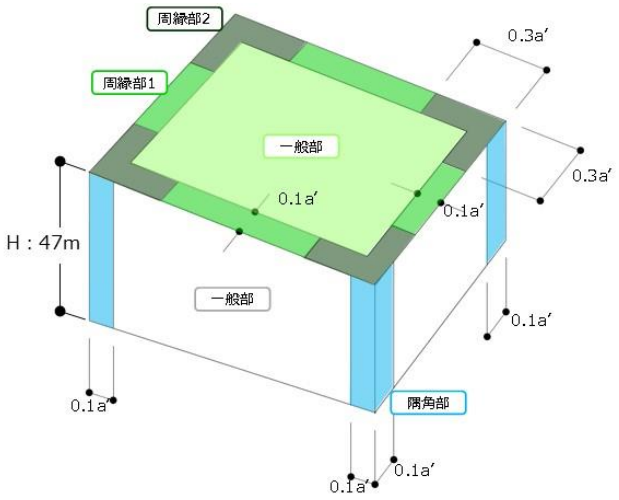

a'は平面の短辺の長さと H の 2 倍の数値のうちいずれか
小さな数値（30 を超えるときは，30 とする）（単位：m）

図 4.2.7-2　風力係数の算定箇所

(4) 外装材の断面検討

検討は，応力が厳しくなる部位について行う。ここでは，外装材の自重は考慮しないものとする。外装材の支持間隔は，保守的な評価となるように最長スパンを用いて評価するものとし，屋根材の間隔は，3.3m で連続支持，壁材は 0.75m で連続支持されているものと仮定する。

屋根材及び壁材の材料諸元を表 4.2.7-4 及び表 4.2.7-5 に示す。また，検討結果を表 4.2.7-6 に示す。

断面検討の結果，全ての外装材に対する応力度比が 1 以下になることを確認した。

表 4.2.7-4　屋根材の材料諸元

板厚	自重	正曲げ方向		負曲げ方向	
		断面 2 次モーメント	断面係数	断面 2 次モーメント	断面係数
t (mm)	G (N/m^2)	I_x (cm^4/m)	Z_x (cm^3/m)	I_x (cm^4/m)	Z_x (cm^3/m)
0.8	118	360	43.6	347	40.6

表 4.2.7-5　壁材の材料諸元

板厚	自重	正曲げ方向		負曲げ方向	
		断面 2 次モーメント	断面係数	断面 2 次モーメント	断面係数
t (mm)	G (N/m^2)	I_x (cm^4/m)	Z_x (cm^3/m)	I_x (cm^4/m)	Z_x (cm^3/m)
0.6	59	2.31	1.67	2.31	1.67

表 4.2.7-6　応力度に対する検討結果

部位	材料	作用応力度 (N/mm^2)	許容応力度 (N/mm^2)	応力度比	判定
屋根材	SGLCC[*1]	124	205[*2]	0.61	O.K.
壁　材	SGLCC[*1]	96	205[*2]	0.47	O.K.

＊1：溶融 55%アルミニウム－亜鉛合金めっき鋼板

＊2：「JIS G 3321」の「降伏点又は耐力」とする

4.3　耐震性

4.3.1　検討方針

耐震性の検討は，構台，前室及びランウェイガーダ，弾性支承，オイルダンパ，基礎，改良地盤，原子炉建屋接触部及び原子炉建屋の健全性について行い，1/2Ss450 に対して，これらの応答性状を適切に表現できる地震応答解析を用いて評価する。1/2Ss450 を用いた地震応答解析は水平 2 方向及び鉛直方向を同時に入力する。また，前述の通り 2 号機燃料取り出し用構台については，実施計画変更認可申請の審査期間中に適用地震動見直しが行われたことから，一部の評価については，Ss600 に対する地震応答解析結果との比較から耐震性を確認する。Ss600 を用いた地震応答解析は水平１方向及び鉛直方向を同時に入力する。

4.3.2　構台，前室及びランウェイガーダの耐震性に対する検討

(1)　解析に用いる入力地震動

解析に用いる地震動は，2 波ある 1/2Ss450 のうち振幅の大きな検討用地震動①の 1/2 の地震動および Ss600 を用いる。

1/2Ss450 を用いた地震応答解析は水平 2 方向及び鉛直方向を同時に入力するが，全く同じ地震動が同時に水平 2 方向に入力されることは現実的に考えにくいことから，応答スペクトルに基づく検討用地震動①を作成した方法と同一の方法で，目標とする応答スペクトルに適合する位相の異なる模擬地震波（別冊２８ P98，P99 参照）を利用する。

地震応答解析に用いる入力地震動の概念図を図 4.3.2-1 に示す。なお，入力地震動策定の詳細については，別冊２８ P25，上下動の解析モデルへの入力方法の妥当性については，別冊２８ P26，P27 参照。

解放基盤表面位置（G.L.-206.0m）（震災前 O.P.-196.0m)における 1/2Ss450 と，Ss600 の 3 波の加速度時刻歴波形を図 4.3.2-2，図 4.3.2-3 及び図 4.3.2-4 に示す。

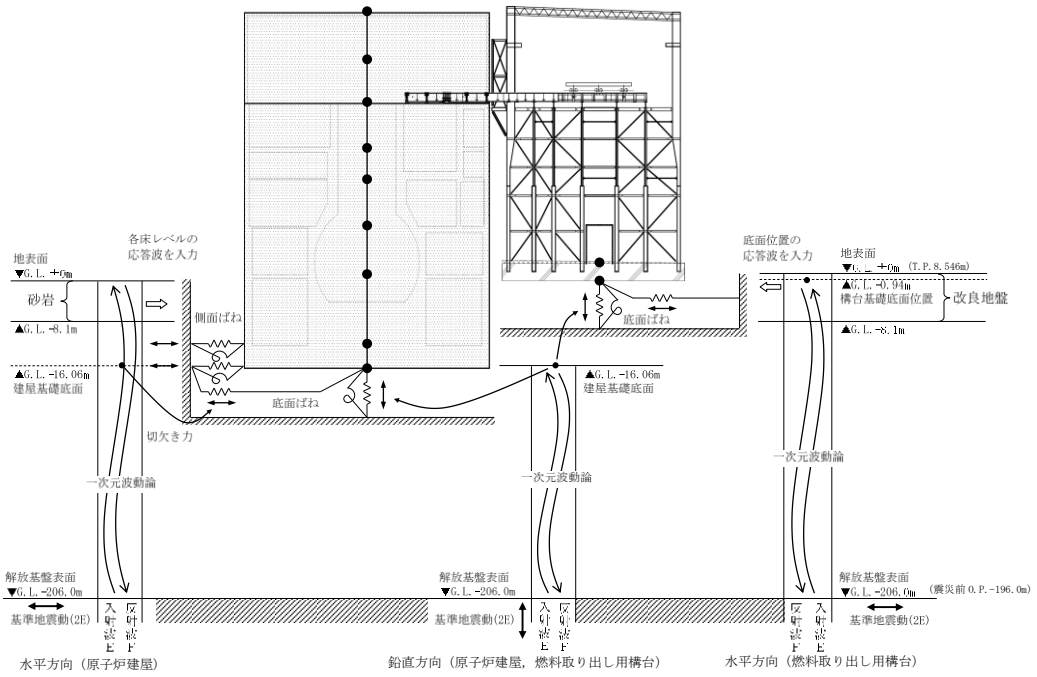

図 4.3.2-1　地震応答解析に用いる入力地震動の概念図

本章に記載の標高は，震災後の地盤沈下量(-709mm)と O.P.から T.P.への読替値(-727mm)を用いて，下式に基づき換算している。
＜換算式＞ T.P.=旧 O.P.-1,436mm

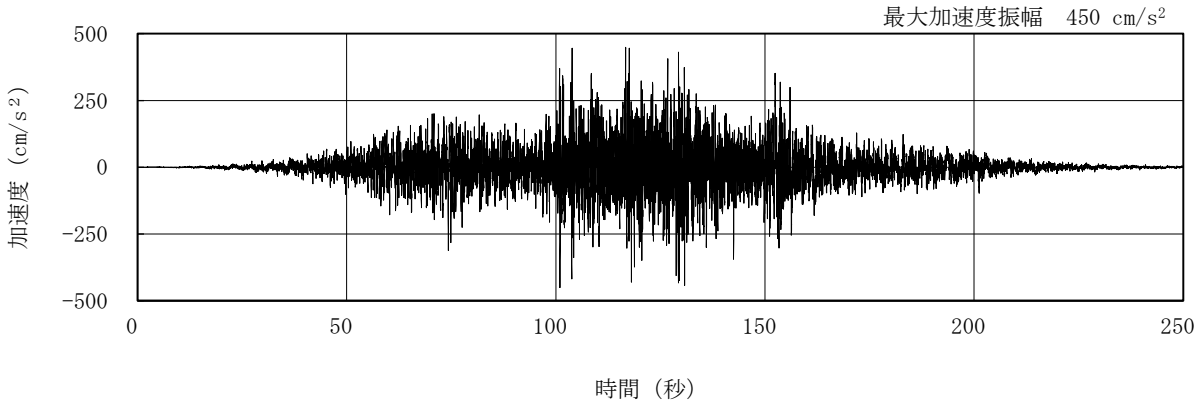

（水平）

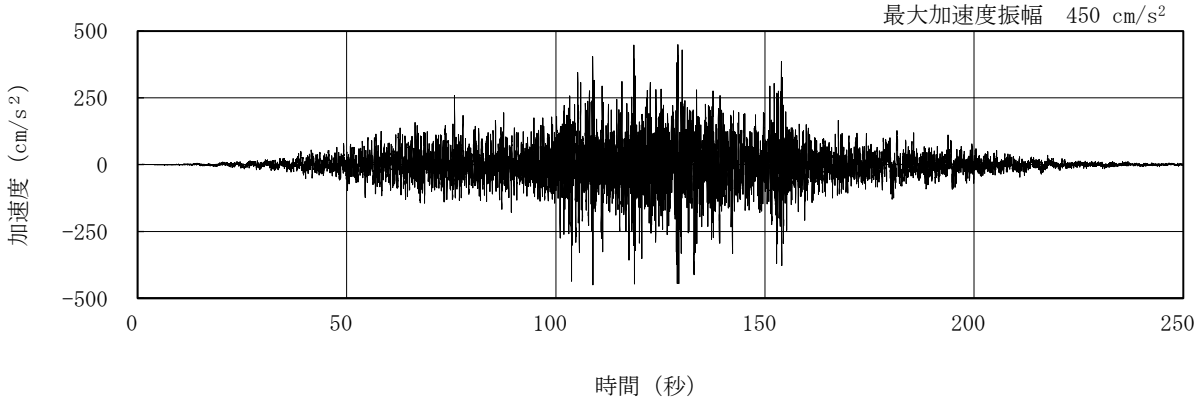

（水平，位相の異なる模擬地震波）

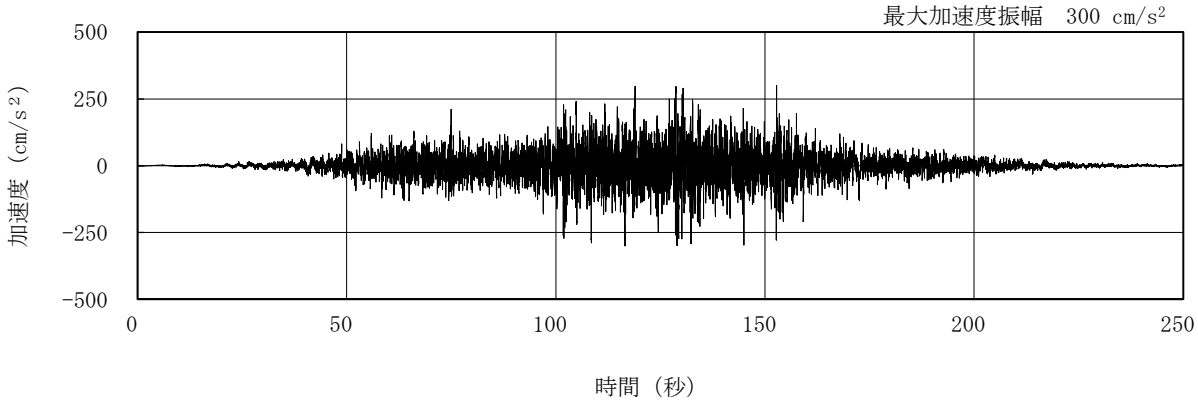

（鉛直）

図 4.3.2-2　解放基盤表面における地震動の加速度時刻歴波形
（1/2Ss450）

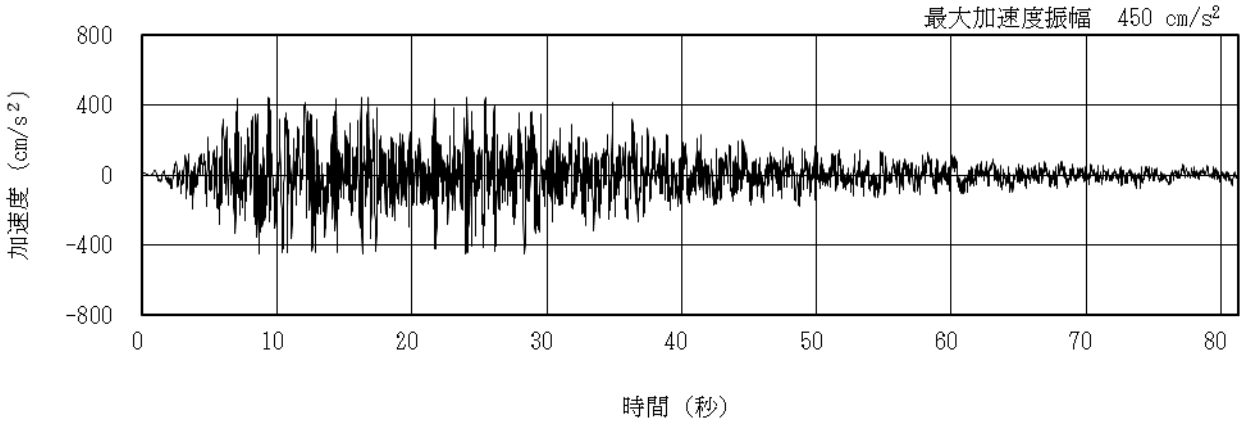

（従来の Ss-1H）

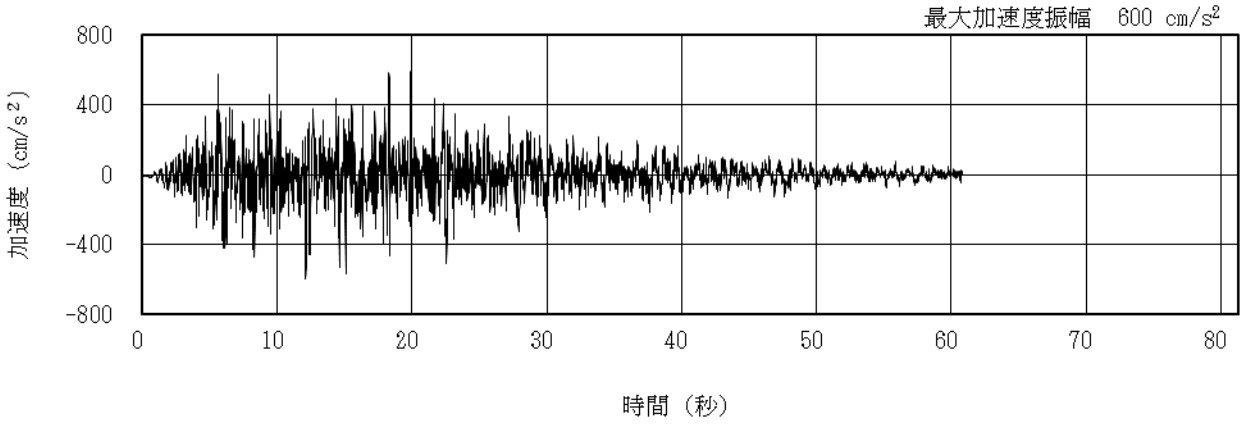

（従来の Ss-2H）

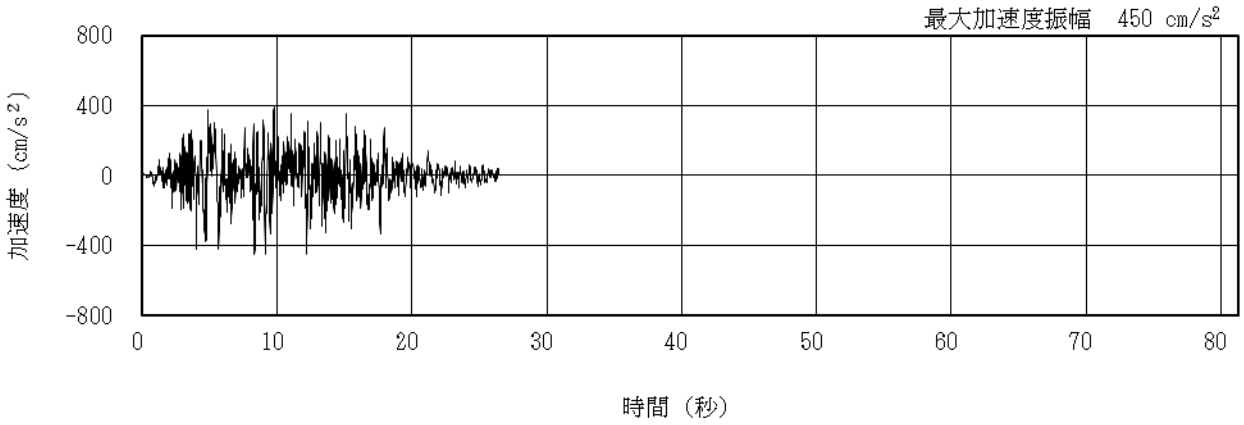

（従来の Ss-3H）

図 4.3.2-3　解放基盤表面における地震動の加速度時刻歴波形
（Ss600，水平方向）

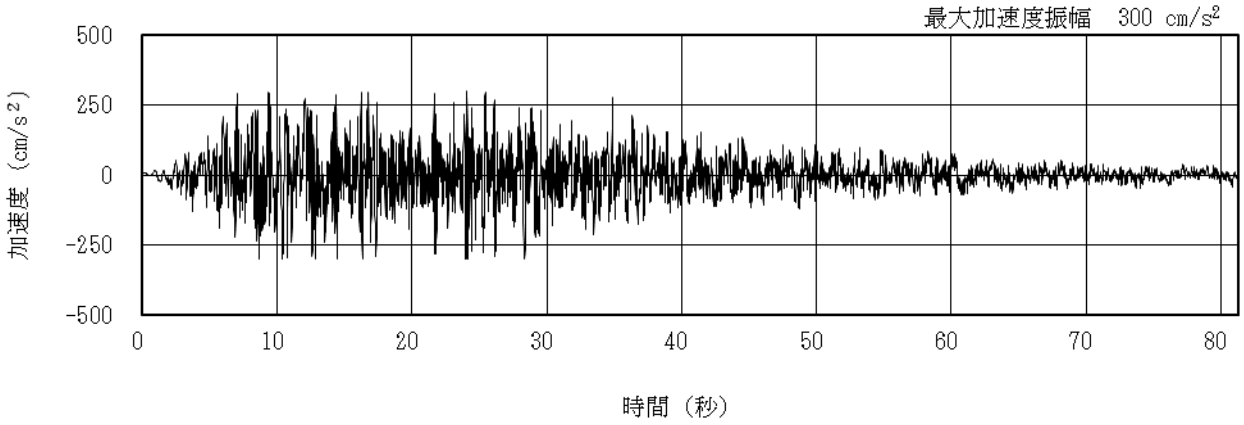

（従来の Ss-1V）

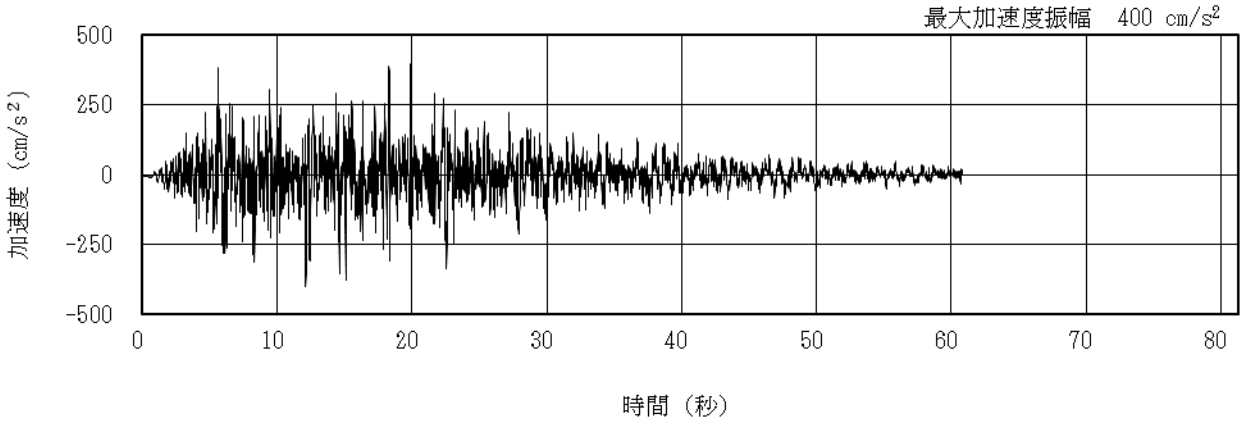

（従来の Ss-2V）

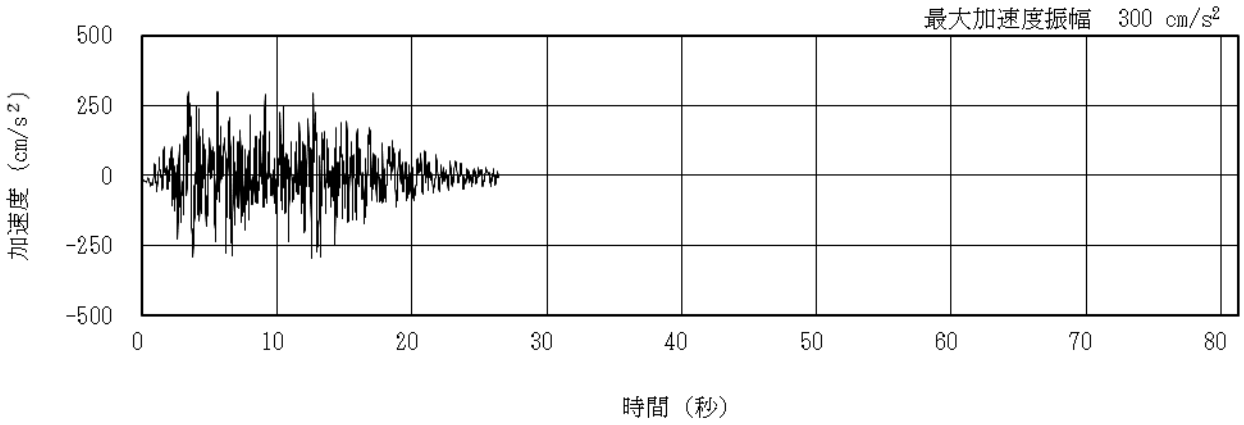

（従来の Ss-3V）

図 4.3.2-4　解放基盤表面における地震動の加速度時刻歴波形
（Ss600，鉛直方向）

(2)　地震応答解析モデル

地震応答解析モデルは，曲げ，せん断剛性及び軸剛性を考慮した原子炉建屋の質点系モデルの質点に，三次元立体骨組でモデル化した燃料取り出し用構台を接続し，地盤との相互作用を考慮した建屋－地盤連成系モデルとする。原子炉建屋のモデルは「Ⅱ章 2.11　添付資料－９　別添－１第２号機原子炉建屋西側外壁開口設置後の原子炉建屋の耐震安全性」で用いた解析モデルを基本に，南側外壁開口や遮蔽コンクリート等の設置（別冊２８　P13 参照）を考慮して，重量や剛性を増減させたモデル（別冊２８　P34，P35 参照）とする。なお，原子炉建屋の質点は炉心位置にモデル化する。解析モデルを図 4.3.2-5 及び図 4.3.2-6 に示す。

地震応答解析に用いる鉄骨およびオイルダンパの物性値を表 4.3.2-1，表 4.3.2-2 に示す。燃料取り出し用構台の部材接合部の節点は機器荷重・仕上げ材等を考慮した重量とし，原子炉建屋の質点は表 4.3.2-3 に示す重量とする。燃料取り出し用構台の柱，梁は弾性部材の梁要素，鉛直ブレースは弾性部材のトラス要素とする。

構台と原子炉建屋南側壁間，構台鉛直面，およびランウェイガーダと原子炉建屋床間に設置するオイルダンパは，減衰要素とばね要素を直列に結合したモデルとする。ランウェイガーダと原子炉建屋床間に設置する弾性支承の鉛直方向は軸ばねとし，水平方向はローラーとする。なお，床上のオイルダンパ・弾性支承とも，圧縮専用ばねを原子炉建屋質点との間に設けることにより浮き上りを許容したモデルとする。なお，弾性支承及びバネ付きオイルダンパを含めた原子炉建屋～構台間の接続条件については，別冊２８　P29，P30，弾性支承及びバネ付きオイルダンパの設置条件および境界条件設定の妥当性については，それぞれ，別冊２８　P48，別冊２８　P50，P51，弾性支承及びバネ付きオイルダンパ下部に設置するすべり材の耐放射線性については，それぞれ別冊２８　P49，別冊２８　P51 参照。また，原子炉建屋の質点系モデルは，軸方向は弾性とし，曲げとせん断に非線形特性を考慮する。

燃料取り出し用構台の地盤定数は，「福島第一原子力発電所『発電用原子炉施設に関する耐震設計審査指針』の改訂に伴う耐震安全性評価結果中間報告書」（東京電力株式会社，平成 20 年 3 月 31 日）を参考に，水平成層地盤と仮定し地震時のせん断ひずみレベルを考慮して定めた。改良地盤の諸元を表 4.3.2-4 に，非線形特性を図 4.3.2-7 に，地盤定数の設定結果を表 4.3.2-5 に示す。また，原子炉建屋の地盤定数は，1/2Ss450 に対しては上記報告書を参考に水平成層地盤と仮定し地震時のせん断ひずみレベルを考慮して定め，Ss600 に対しては上記報告書と同様として定めた。原子炉建屋の地盤定数を表 4.3.2-6 に示す。なお，改良地盤物性の設定及び改良地盤部の地中構築物の影響については，別冊２８　P40～P42 参照。

地盤ばねは，「JEAG 4601-1991 追補版」に示されている手法を参考にして，底面地盤を成層補正し振動アドミッタンス理論によりスウェイ及びロッキングばねを，側面地盤を Novak の方法により建屋側面ばねとして評価する。なお，燃料取り出し用構台は改良地盤への埋込がほとんどないため，底面地盤ばねのみ考慮する。

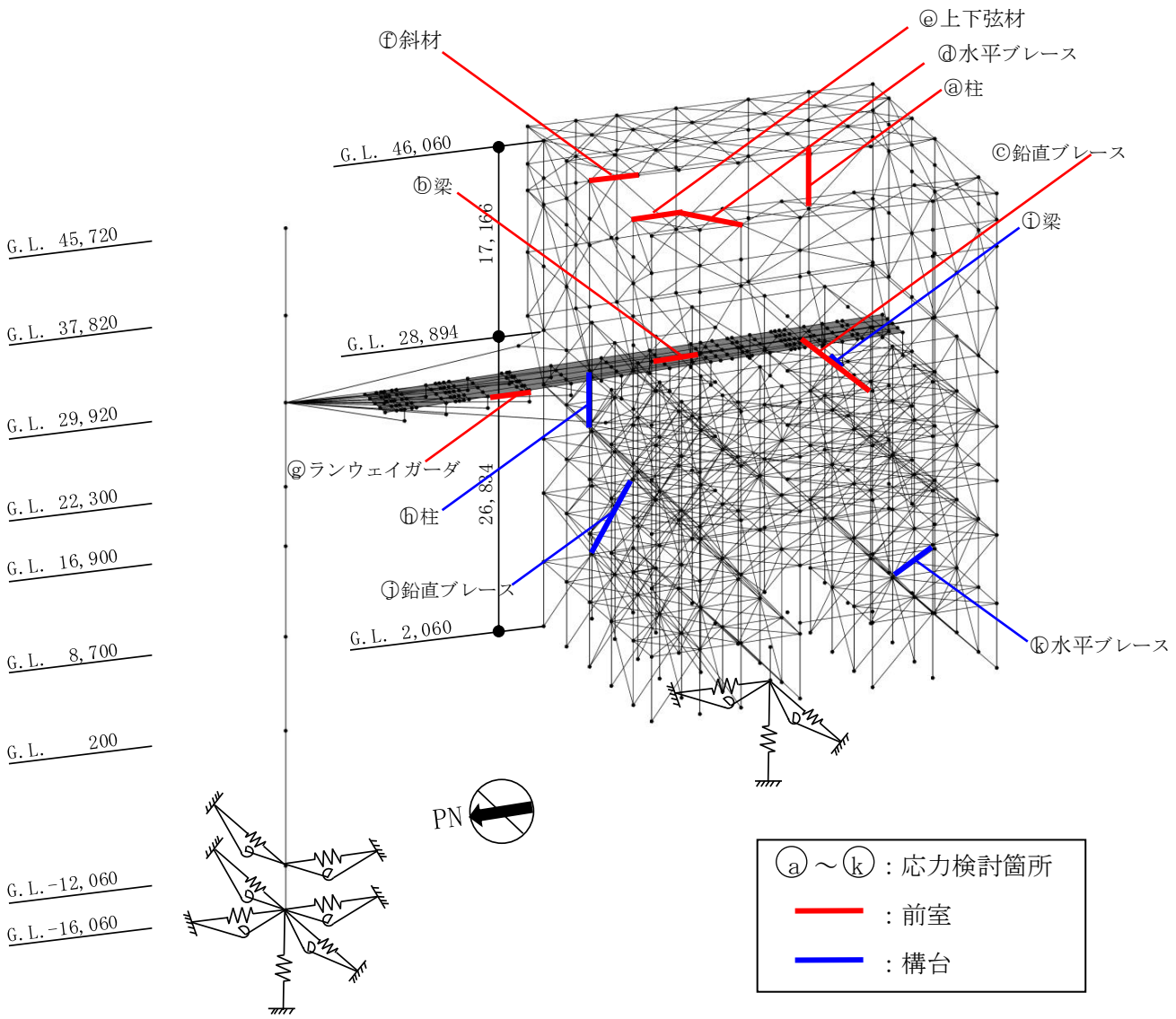

図 4.3.2-5　地震応答解析モデル（単位：mm）（1/2Ss450 応力検討箇所記載）

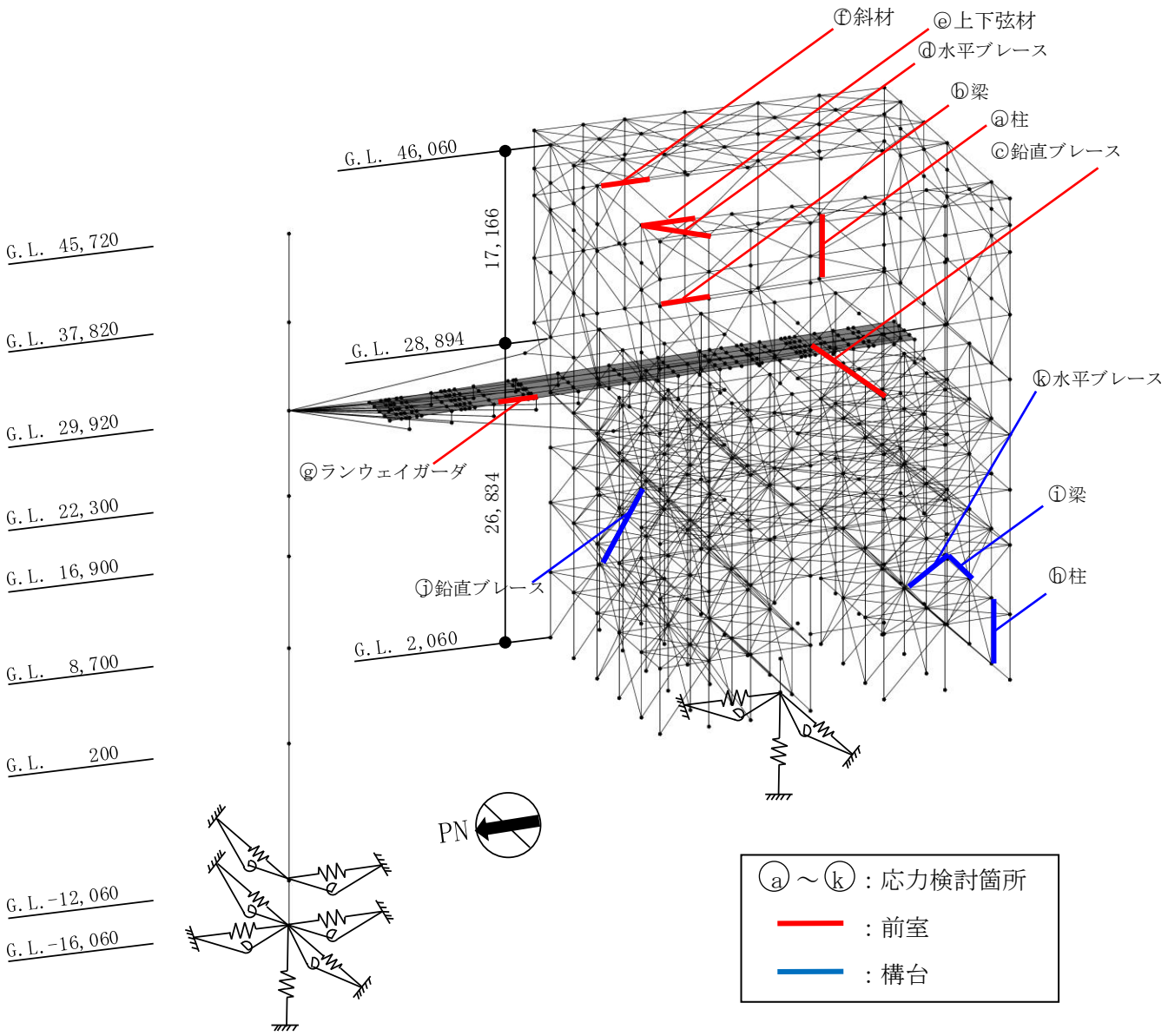

図 4.3.2-6　地震応答解析モデル（単位：mm）（Ss600 応力検討箇所記載）

表 4.3.2-1　地震応答解析に用いる物性値

部位	材料	ヤング係数 E(N/mm^2)	ポアソン比 ν	単位体積重量 γ (kN/m^3)	減衰定数 h(%)	備考
燃料取り 出し用構台	鉄骨	2.05×10^5	0.3	77.0	2	SS400，SM490A，SN490B， SN490C，STK490，TMCP325

表 4.3.2-2　オイルダンパの物性値及び許容値

オイルダンパ（水平棟間）

	最大減衰力 (kN)	リリーフ荷重 (kN)	最大速度 (m/s)	第一減衰係数 (kN･s/m)	第二減衰係数 (kN･s/m)	ストローク (mm)
オイルダンパ	1970	1700	0.7	12000	490	±100

オイルダンパ（鉛直）

	最大減衰力 (kN)	リリーフ荷重 (kN)	最大速度 (m/s)	第一減衰係数 (kN･s/m)	第二減衰係数 (kN･s/m)	ストローク (mm)
オイルダンパ	2060	1600	0.5	40000	1000	±60

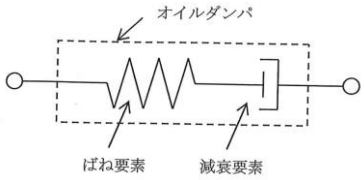

オイルダンパのモデル化

ばね付きオイルダンパ

	最大減衰力 (kN)	リリーフ荷重 (kN)	最大速度 (m/s)	第一減衰係数 (kN･s/m)	第二減衰係数 (kN･s/m)	ストローク (mm)
ばね付き オイルダンパ	1500	1200	1.0	5000	395	±100

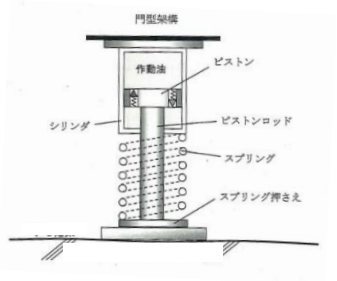

ばね付きオイルダンパ概念図

表 4.3.2-3(1)　地震応答解析モデルのうち原子炉建屋の地震応答解析モデルの諸元

(a)水平（NS）方向

標高 G.L.（m）	質点重量 W（kN）	回転慣性重量 I_G（$\times 10^5$ kN･m^2）	せん断断面積 As（m^2）	断面二次モーメント I（m^4）
45.72	12880	23.28		
			18.6	10154
37.82	10220	18.53		
			16.1	10626
29.92	74470	134.76		
			184.3	22551
22.3	79440	143.78		
			166.8	24629
16.9	107720	194.96		
			249.3	44401
8.7	116670	211.14		
			157.1	40661
0.2	201190	364.11		
			456.8	110444
-12.06	341290	617.55		
			2656.2	480675
-16.06	125030	226.24		
合計	1068910			

ヤング係数 Ec	2.57×10^7(kN/m^2)
せん断弾性係数 G	1.07×10^7(kN/m^2)
ポアソン比 ν	0.20
減衰 h	5%

表 4.3.2-3(2)　地震応答解析モデルのうち原子炉建屋の地震応答解析モデルの諸元

(b)水平（EW）方向

標高 G.L.（m）	質点重量 W（kN）	回転慣性重量 I_G（$\times 10^5$ kN･m^2）	せん断断面積 As（m^2）	断面二次モーメント I（m^4）
45.72	12880	13.18		
			13.6	5926
37.82	10220	10.40		
			12.6	6255
29.92	74470	76.06		
			108.2	11927
22.3	79440	81.06		
			117.3	14199
16.9	107720	194.96		
			185.7	33796
8.7	116670	211.14		
			173.1	41960
0.2	201190	544.79		
			418.1	132121
-12.06	341290	923.98		
			2656.2	719166
-16.06	125030	338.53		
合計	1068910			

ヤング係数 Ec	2.57×10^7(kN/m^2)
せん断弾性係数 G	1.07×10^7(kN/m^2)
ポアソン比 ν	0.20
減衰 h	5%

表 4.3.2-3(3)　地震応答解析モデルのうち原子炉建屋の地震応答解析モデルの諸元

(c)鉛直方向

標高 G.L. (m)	質点重量 W (kN)	軸断面積 A_N (m^2)	軸ばね剛性 K_A ($\times 10^8$ kN/m)
45.72	12880		
		43.0	1.40
37.82	10220		
		42.5	1.38
29.92	74470		
		291.9	9.84
22.3	79440		
		295.1	14.04
16.9	107720		
		437.5	13.71
8.7	116670		
		359.4	10.87
0.2	201190		
		627.4	13.15
-12.06	341290		
		2656.2	170.66
-16.06	125030		
合計	1068910		

ヤング係数 Ec　2.57×10^7 (kN/m^2)
せん断弾性係数 G　1.07×10^7 (kN/m^2)
ポアソン比 ν　0.20
減衰 h　5%

表 4.3.2-4　改良地盤の諸元

せん断波速度*	単位体積重量	ポアソン比*	初期せん断弾性係数
Vs (m/s)	γ (kN/m^3)	ν	G_0 ($\times 10^5$kN/m^2)
800	17.7	0.31	11.52

*:『柏崎刈羽原子力発電所 1 号機　建物・構築物の耐震安全性評価について（指摘事項に関する回答)』(東京電力株式会社，平成 22 年 2 月 19 日，総合資源エネルギー調査会原子力安全・保安部会耐震・構造設計小委員会構造 WG（第 46 回）会合資料)

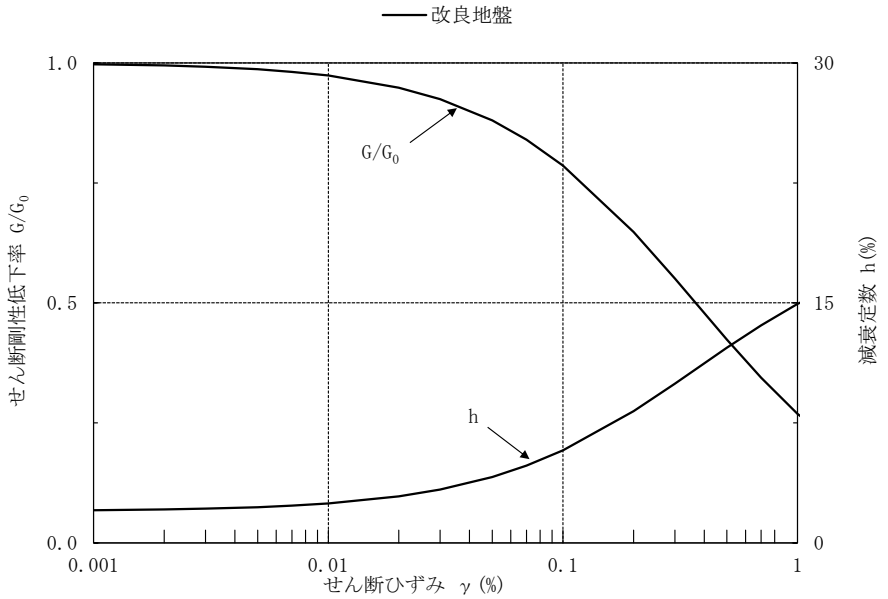

*:『柏崎刈羽原子力発電所 1 号機　建物・構築物の耐震安全性評価について（指摘事項に関する回答)』(東京電力株式会社，平成 22 年 2 月 19 日，総合資源エネルギー調査会原子力安全・保安部会耐震・構造設計小委員会構造 WG（第 46 回）会合資料)

図 4.3.2-7　改良地盤の非線形特性

表 4.3.2-5(1)　地盤定数の設定結果（燃料取り出し用構台）

(a) 1/2Ss450

標高 G.L. (m)	地質	せん断波 速度 Vs (m/s)	単位体積 重量 γ (kN/m^3)	ﾎﾟｱｿﾝ 比 ν	せん断 弾性係数 G ($\times 10^5$kN/m^2)	初期せん断 弾性係数 G_0 ($\times 10^5$kN/m^2)	剛性 低下率 G/G_0	ヤング 係数 E ($\times 10^5$kN/m^2)	減衰 定数 h (%)	層厚 H (m)
0.0										
	改良地盤	800	17.7	0.310	11.40	11.52	0.99	29.87	2	8.1
-8.1										
	泥岩	450	16.5	0.464	2.73	3.41	0.80	7.99	3	11.9
-20.0										
		500	17.1	0.455	3.49	4.36	0.80	10.16	3	70.0
-90.0										
		560	17.6	0.446	4.50	5.63	0.80	13.01	3	28.0
-118.0										
		600	17.8	0.442	5.22	6.53	0.80	15.05	3	88.0
-206.0										
	(解放基盤)	700	18.5	0.421	9.24	9.24	-	-	-	-

表 4.3.2-5(2)　地盤定数の設定結果（燃料取り出し用構台）

(b)従来の Ss-1

標高 G.L. (m)	地質	せん断波 速度 Vs (m/s)	単位体積 重量 γ (kN/m^3)	ﾎﾟｱｿﾝ 比 ν	せん断 弾性係数 G ($\times 10^5$kN/m^2)	初期せん断 弾性係数 G_0 ($\times 10^5$kN/m^2)	剛性 低下率 G/G_0	ヤング 係数 E ($\times 10^5$kN/m^2)	減衰 定数 h (%)	層厚 H (m)
0.0										
	改良地盤	800	17.7	0.310	11.40	11.52	0.99	29.87	2	8.1
-8.1										
		450	16.5	0.464	2.66	3.41	0.78	7.79	3	11.9
-20.0										
		500	17.1	0.455	3.40	4.36	0.78	9.89	3	70.0
-90.0	泥岩									
		560	17.6	0.446	4.39	5.63	0.78	12.70	3	28.0
-118.0										
		600	17.8	0.442	5.09	6.53	0.78	14.68	3	88.0
-206.0										
	(解放基盤)	700	18.5	0.421	9.24	9.24	1.00	26.26	-	-

(c) 従来の Ss-2

標高 G.L. (m)	地質	せん断波 速度 Vs (m/s)	単位体積 重量 γ (kN/m^3)	ﾎﾟｱｿﾝ 比 ν	せん断 弾性係数 G ($\times 10^5$kN/m^2)	初期せん断 弾性係数 G_0 ($\times 10^5$kN/m^2)	剛性 低下率 G/G_0	ヤング 係数 E ($\times 10^5$kN/m^2)	減衰 定数 h (%)	層厚 H (m)
0.0										
	改良地盤	800	17.7	0.310	11.40	11.52	0.99	29.87	2	8.1
-8.1										
		450	16.5	0.464	2.73	3.41	0.80	7.99	3	11.9
-20.0										
		500	17.1	0.455	3.49	4.36	0.80	10.16	3	70.0
-90.0	泥岩									
		560	17.6	0.446	4.50	5.63	0.80	13.01	3	28.0
-118.0										
		600	17.8	0.442	5.22	6.53	0.80	15.05	3	88.0
-206.0										
	(解放基盤)	700	18.5	0.421	9.24	9.24	1.00	26.26	-	-

(d) 従来の Ss-3

標高 G.L. (m)	地質	せん断波 速度 Vs (m/s)	単位体積 重量 γ (kN/m^3)	ﾎﾟｱｿﾝ 比 ν	せん断 弾性係数 G ($\times 10^5$kN/m^2)	初期せん断 弾性係数 G_0 ($\times 10^5$kN/m^2)	剛性 低下率 G/G_0	ヤング 係数 E ($\times 10^5$kN/m^2)	減衰 定数 h (%)	層厚 H (m)
0.0										
	改良地盤	800	17.7	0.310	11.40	11.52	0.99	29.87	2	8.1
-8.1										
		450	16.5	0.464	2.63	3.41	0.77	7.70	3	11.9
-20.0										
		500	17.1	0.455	3.36	4.36	0.77	9.78	3	70.0
-90.0	泥岩									
		560	17.6	0.446	4.34	5.63	0.77	12.55	3	28.0
-118.0										
		600	17.8	0.442	5.03	6.53	0.77	14.51	3	88.0
-206.0										
	(解放基盤)	700	18.5	0.421	9.24	9.24	1.00	26.26	-	-

表 4.3.2-6(1)　地盤定数の設定結果（原子炉建屋）

(a) 1/2Ss450

標高 G.L. (m)	地質	せん断波 速度 Vs (m/s)	単位体積 重量 γ (kN/m^3)	ﾎﾟｱｿﾝ 比 ν	せん断 弾性係数 G (×10^{5}kN/m^2)	初期せん断 弾性係数 G_0 (×10^{5}kN/m^2)	剛性 低下率 G/G_0	ヤング 係数 E (×10^{5}kN/m^2)	減衰 定数 h (%)	層厚 H (m)
0.0										
	砂岩	380	17.8	0.473	2.23	2.62	0.85	6.57	3	8.1
-8.1										
	泥岩	450	16.5	0.464	2.73	3.41	0.80	7.99	3	11.9
-20.0										
		500	17.1	0.455	3.49	4.36	0.80	10.16	3	70.0
-90.0										
		560	17.6	0.446	4.50	5.63	0.80	13.01	3	28.0
-118.0										
		600	17.8	0.442	5.22	6.53	0.80	15.05	3	88.0
-206.0										
	(解放基盤)	700	18.5	0.421	9.24	9.24	-	-	-	-

表 4.3.2-6(2)　地盤定数の設定結果（原子炉建屋）

(b) 従来の Ss-1

標高 G.L. (m)	地質	せん断波 速度 Vs (m/s)	単位体積 重量 γ (kN/m^3)	ﾎﾟｱｿﾝ 比 ν	せん断 弾性係数 G ($\times 10^5$kN/m^2)	初期せん断 弾性係数 G_0 ($\times 10^5$kN/m^2)	剛性 低下率 G/G_0	ヤング 係数 E ($\times 10^5$kN/m^2)	減衰 定数 h (%)	層厚 H (m)
0.0										
	砂岩	380	17.8	0.473	2.23	2.62	0.85	6.57	3	8.1
-8.1		450	16.5	0.464	2.66	3.41	0.78	7.79	3	11.9
-20.0		500	17.1	0.455	3.40	4.36	0.78	9.89	3	70.0
-90.0	泥岩	560	17.6	0.446	4.39	5.63	0.78	12.70	3	28.0
-118.0		600	17.8	0.442	5.09	6.53	0.78	14.68	3	88.0
-206.0	(解放基盤)	700	18.5	0.421	9.24	9.24	1.00	26.26	-	-

(c) 従来の Ss-2

標高 G.L. (m)	地質	せん断波 速度 Vs (m/s)	単位体積 重量 γ (kN/m^3)	ﾎﾟｱｿﾝ 比 ν	せん断 弾性係数 G ($\times 10^5$kN/m^2)	初期せん断 弾性係数 G_0 ($\times 10^5$kN/m^2)	剛性 低下率 G/G_0	ヤング 係数 E ($\times 10^5$kN/m^2)	減衰 定数 h (%)	層厚 H (m)
0.0										
	砂岩	380	17.8	0.473	2.23	2.62	0.85	6.57	3	8.1
-8.1		450	16.5	0.464	2.76	3.41	0.81	8.08	3	11.9
-20.0		500	17.1	0.455	3.53	4.36	0.81	10.27	3	70.0
-90.0	泥岩	560	17.6	0.446	4.56	5.63	0.81	13.19	3	28.0
-118.0		600	17.8	0.442	5.29	6.53	0.81	15.26	3	88.0
-206.0	(解放基盤)	700	18.5	0.421	9.24	9.24	1.00	26.26	-	-

(d) 従来の Ss-3

標高 G.L. (m)	地質	せん断波 速度 Vs (m/s)	単位体積 重量 γ (kN/m^3)	ﾎﾟｱｿﾝ 比 ν	せん断 弾性係数 G ($\times 10^5$kN/m^2)	初期せん断 弾性係数 G_0 ($\times 10^5$kN/m^2)	剛性 低下率 G/G_0	ヤング 係数 E ($\times 10^5$kN/m^2)	減衰 定数 h (%)	層厚 H (m)
0.0										
	砂岩	380	17.8	0.473	2.25	2.62	0.86	6.63	3	8.1
-8.1		450	16.5	0.464	2.66	3.41	0.78	7.79	3	11.9
-20.0		500	17.1	0.455	3.40	4.36	0.78	9.89	3	70.0
-90.0	泥岩	560	17.6	0.446	4.39	5.63	0.78	12.70	3	28.0
-118.0		600	17.8	0.442	5.09	6.53	0.78	14.68	3	88.0
-206.0	(解放基盤)	700	18.5	0.421	9.24	9.24	1.00	26.26	-	-

(3)　地震応答解析結果

最大応答加速度分布を図 4.3.2-8(1) 及び図 4.3.2-8(2) に示す。

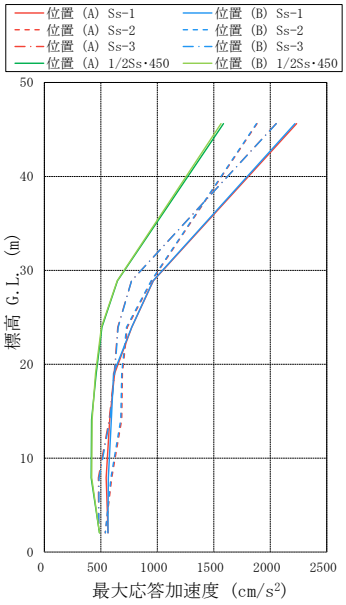

(a) 水平(NS)成分 (構台+前室)

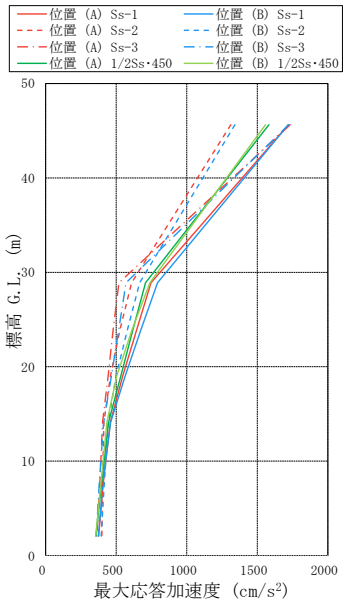

(b) 鉛直成分 (構台+前室)

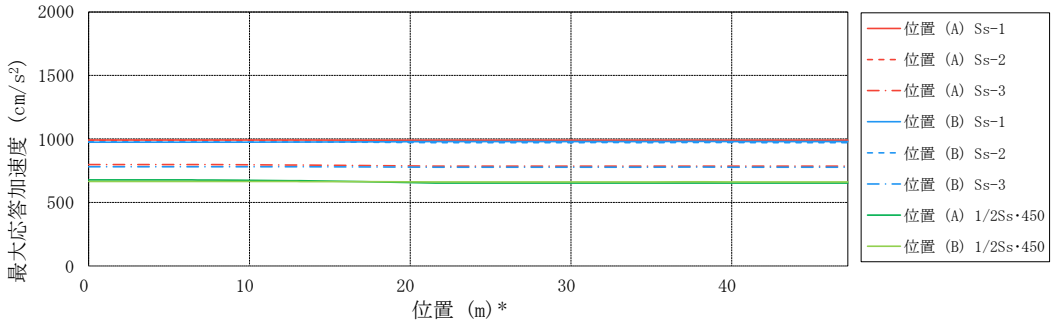

(c) 水平(NS)成分 (ランウェイガーダ)

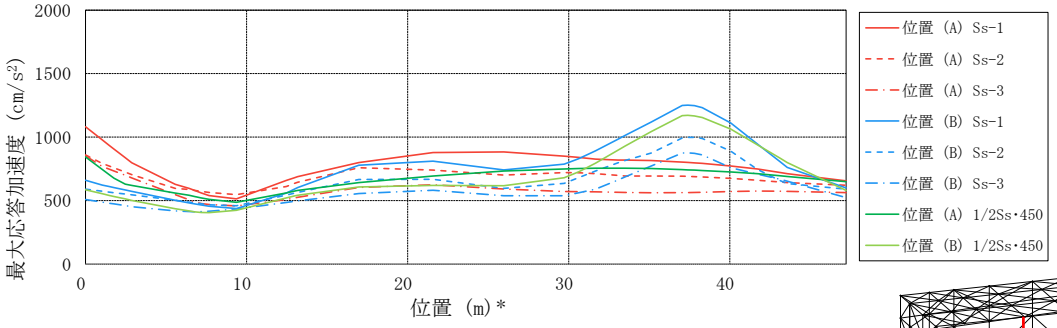

(d) 鉛直成分 (ランウェイガーダ)

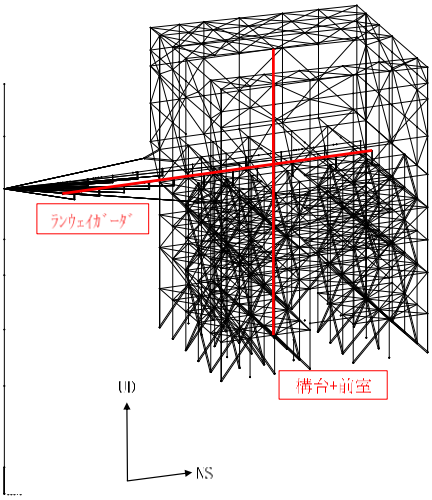

注：凡例位置の条件は表 4.2.1-4 に示す

＊：位置は原子炉建屋側の先端からの距離を示す

図 4.3.2-8(1)　最大応答加速度分布

(Ss600：NS 及び UD 方向加力時，1/2Ss450：3 方向加力時)

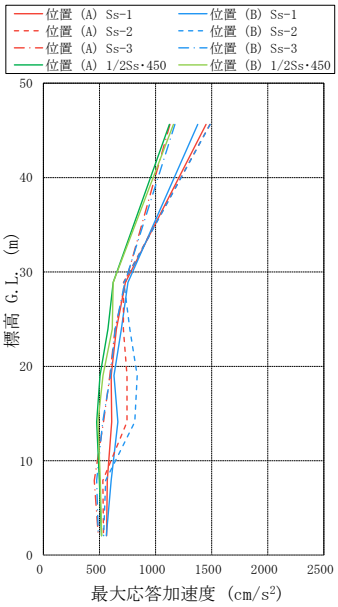

(a)水平(EW)成分 (構台+前室)

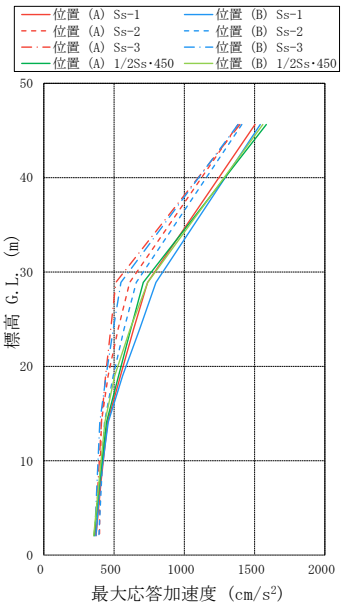

(b)鉛直成分 (構台+前室)

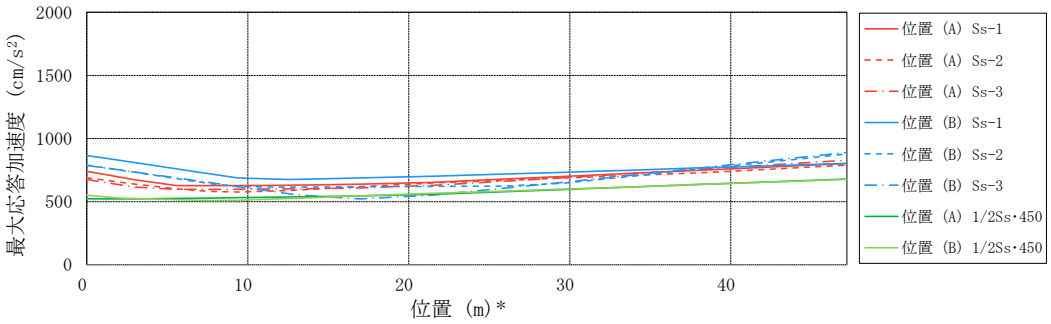

(c)水平(EW)成分 (ランウェイガーダ)

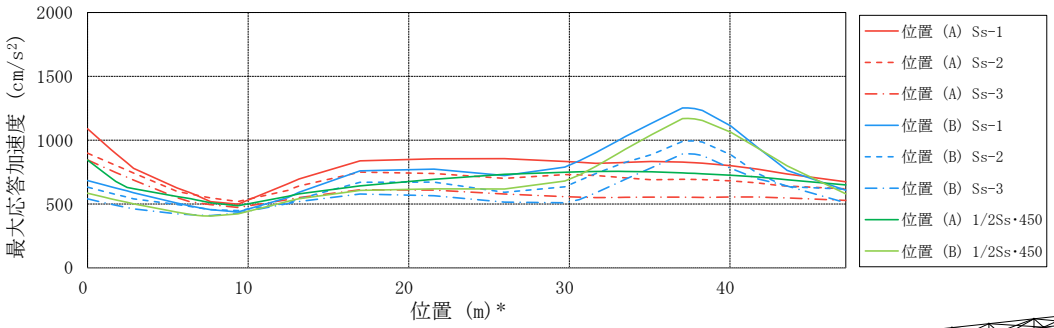

(d)鉛直成分 (ランウェイガーダ)

注：凡例位置の条件は表 4.2.1-4 に示す
＊：位置は原子炉建屋側の先端からの距離を示す

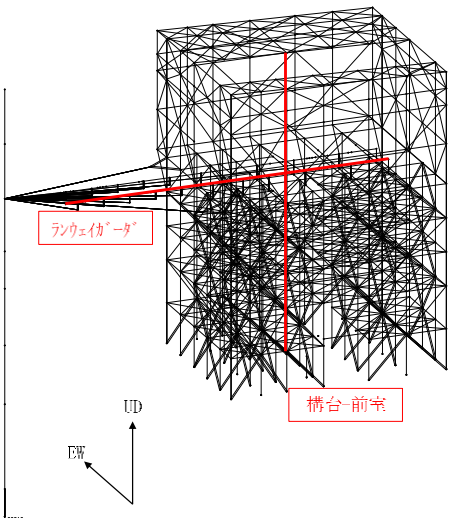

図 4.3.2-8(2)　最大応答加速度分布
(Ss600：EW 及び UD 方向加力時，1/2Ss450：3 方向加力時)

(4) 波及的影響の評価

地震応答解析結果が，JSCA 性能メニュー（社団法人日本建築構造技術者協会，2018 年）を参考に定めたクライテリア（「層間変形角は 1/75 以下，層の塑性率は 4 以下，部材の塑性率は 5 以下」*及びせん断力はせん断耐力以下）を満足することを確認する。

なお，解析結果が「時刻歴応答解析建築物性能評価業務方法書」（財団法人日本建築センター，平成 19 年 7 月 20 日）に示されるクライテリア（層間変形角は 1/100 以下，層の塑性率は 2 以下，部材の塑性率は 4 以下）を超える場合には水平変形に伴う鉛直荷重の付加的影響を考慮した解析を実施し，安全性を確認する。

*：北村春幸，宮内洋二，浦本弥樹「性能設計における耐震性能判断基準値に関する研究」，日本建築学会構造系論文集，第 604 号，2006 年 6 月

1) 層間変形角の検討

最大応答層間変形角を表 4.3.2-7 に示す。

検討の結果，最大応答層間変形角は 1/75 以下となりクライテリアを満足することを確認した。

表 4.3.2-7(1) 最大応答層間変形角の検討結果（1/2Ss450）

検討箇所	地震波	入力方向（位置）*	最大応答値	ｸﾗｲﾃﾘｱ	判定
前室	1/2Ss450	NS（A）	1/604	1/75	O.K.
		EW（B）	1/624	1/75	O.K.
構台		NS（B）	1/741	1/75	O.K.
		EW（B）	1/386	1/75	O.K.

*：（ ）内は，燃料取扱設備の位置を示す。（表 4.2.1-4 参照）

表 4.3.2-7(2) 最大応答層間変形角の検討結果（Ss600）

検討箇所	地震波	入力方向（位置）*	最大応答値	ｸﾗｲﾃﾘｱ	判定
前室	従来の Ss-1	NS（A）	1/431	1/75	O.K.
		EW（A）	1/484	1/75	O.K.
	従来の Ss-2	NS（A）	1/433	1/75	O.K.
		EW（A）	1/472	1/75	O.K.
	従来の Ss-3	NS（B）	1/442	1/75	O.K.
		EW（A）	1/551	1/75	O.K.
構台	従来の Ss-1	NS（B）	1/443	1/75	O.K.
		EW（B）	1/320	1/75	O.K.
	従来の Ss-2	NS（B）	1/461	1/75	O.K.
		EW（B）	1/280	1/75	O.K.
	従来の Ss-3	NS（A）	1/591	1/75	O.K.
		EW（B）	1/262	1/75	O.K.

*：（ ）内は，燃料取扱設備の位置を示す。（表 4.2.1-4 参照）

2) 断面検討

部材の応答結果が塑性していないため，断面検討結果を応力度比で示す。部材の応力度比は，2方向の曲げ，軸力及びせん断力の各最大応力と各許容応力度との比を組み合わせた値で表される。表 4.3.2-8 に断面検討結果を示す。なお，各許容応力度，引張耐力及び座屈耐力算定時の材料強度は「平成 12 年建設省告示第 2464 号」に定められた基準強度 F 値の 1.1 倍を用いる。

表 4.3.2-8 より全てのケースで応力度比が 1 以下になり，クライテリアを満足することを確認した。

表 4.3.2-8(1) 断面検討結果（前室）(1/2Ss450)

部 位*1		部材形状(mm) 〈使用材料〉	燃料取扱 設備位置*2	作用応力度 (N/mm²)		許容応力度 (N/mm²)		応力度比	判定
前室	ⓐ柱	H-700×300 ×14×28 〈SM490A〉	A	σ_c	24.2	f_c	310	0.71	O.K.
				σ_{by}	180.8	f_{by}	313		
				σ_{bz}	17.9	f_{bz}	357		
				τ	3.0	f_s	205		
	ⓑ梁	H-390×300 ×10×16 〈SM490A〉	B	σ_t	3.8	f_t	357	0.70	O.K.
				σ_{by}	0.0	f_{by}	273		
				σ_{bz}	243.8	f_{bz}	357		
				τ	4.2	f_s	205		
	ⓒ鉛直 ブレース	ϕ-355.6×9.5 〈STK490〉	B	σ_c	128.8	f_c	279	0.47	O.K.
	ⓓ水平 ブレース	2[s-150×75×9 ×12.5 〈SS400〉	B	σ_t	129.7	f_t	258	0.51	O.K.
	ⓔ屋根トラス上下弦材	H-300×300×16 ×16 〈SM490A〉	B	σ_c	169.2	f_c	316	0.66	O.K.
				σ_{bz}	43.7	f_{bz}	357		
				τ	0.7	f_s	205		
	ⓕ屋根トラス斜材	2[s-150×75× 6.5×10 〈SS400〉	A	σ_c	117.1	f_c	239	0.49	O.K.
	ⓖランウェイガーダ	□-1500×900× (80+40)×80 〈SN490B〉	A	σ_c	20.4	f_c	323	0.29	O.K.
				σ_b	69.8	f_b	323		
				τ	12.5	f_s	186		

*1：ⓐ～ⓖの符号は図 4.3.2-5 の応力検討箇所を示す

*2：表 4.2.1-4 参照

表 4.3.2-8(2)　断面検討結果（構台）(1/2Ss450)

部　位[*1]		部材形状(mm) 〈使用材料〉	燃料取扱 設備位置[*2]	作用応力度 (N/mm^2)		許容応力度 (N/mm^2)		応力度比	判定
構台	ⓗ柱	(X)H-1500×400 ×16×32 (Y)H- 700×350 ×16×32 〈SM490A〉	B	σ_c	41.6	f_c	348	0.83	O.K.
				σ_{by}	120.5	f_{by}	303		
				σ_{bz}	108.5	f_{bz}	357		
				τ	12.8	f_s	205		
	ⓘ梁	H-800×350 ×19×36 〈SM490A〉	B	σ_c	0.1	f_c	342	0.69	O.K.
				σ_{by}	152.4	f_{by}	339		
				σ_{bz}	0.7	f_{bz}	357		
				τ	106.1	f_s	205		
	ⓙ鉛直 ブレース	φ-406.4×9.5 〈STK490〉	B	σ_c	137.7	f_c	294	0.47	O.K.
	ⓚ水平 ブレース	[-180×75×7× 10.5 〈SS400〉	B	σ_t	36.1	f_t	258	0.14	O.K.

*1：ⓗ～ⓚの符号は図 4.3.2-5 の応力検討箇所を示す

*2：表 4.2.1-4 参照

表 4.3.2-8(3)　断面検討結果（前室）（Ss600）

部　位*1		部材形状(mm) 〈使用材料〉	荷重ケース (位置)*2	作用応力度 (N/mm²)		許容応力度 (N/mm²)		応力度比	判定
前室	ⓐ柱	H-700×300 ×14×28 〈SM490A〉	従来の Ss-1 -EW+UD (A)	σ_c	13.7	f_c	310	0.82	O.K.
				σ_{by}	223.5	f_{by}	298		
				σ_{bz}	3.6	f_{bz}	357		
				τ	27.6	f_s	205		
	ⓑ梁	H-390×300 ×10×16 〈SM490A〉	従来の Ss-1 +EW-UD (B)	σ_t	6.8	f_t	357	0.91	O.K.
				σ_{by}	0.0	f_{by}	273		
				σ_{bz}	314.6	f_{bz}	357		
				τ	5.5	f_s	205		
	ⓒ鉛直 ブレース	ϕ-355.6×9.5 〈STK490〉	従来の Ss-2 +NS+UD (A)	σ_c	199.6	f_c	279	0.72	O.K.
	ⓓ水平 ブレース	2[s-200×90×8 ×13.5 〈SS400〉	従来の Ss-1 +EW-UD (B)	σ_t	178.7	f_t	258	0.70	O.K.
	ⓔ屋根トラス上下弦材	H-300×300×16 ×16 〈SM490A〉	従来の Ss-1 +NS-UD (B)	σ_c	221.0	f_c	316	0.80	O.K.
				σ_{bz}	33.3	f_{bz}	357		
				τ	0.5	f_s	205		
	ⓕ屋根トラス斜材	2[s-150×75× 6.5×10 〈SS400〉	従来の Ss-1 -NS+UD (B)	σ_c	148.7	f_c	239	0.63	O.K.
	ⓖランウェイガーダ	□-1500×900× (80+40)×80 〈SN490B〉	従来の Ss-1 +NS-UD と +EW-UD と の包絡 (A)	σ_c	24.2	f_c	323	0.35	O.K.
				σ_b	85.4	f_b	323		
				τ	14.9	f_s	186		

*1：ⓐ～ⓖの符号は図 4.3.2-6 の応力検討箇所を示す

*2：(　)内は，燃料取扱設備の位置を示す。（表 4.2.1-4 参照）

表 4.3.2-8(4)　断面検討結果（構台）（Ss600）

部　位*1		部材形状(mm) 〈使用材料〉	荷重ケース (位置)*2	作用応力度 (N/mm²)		許容応力度 (N/mm²)		応力度比	判定
構台	ⓗ柱	(X)H-700×300 ×36×36 (Y)H-700×350 ×36×40 〈SM490A〉	従来の Ss-3 +EW-UD (B)	σ_c	43.4	f_c	343	0.91	O.K.
				σ_{by}	246.2	f_{by}	337		
				σ_{bz}	17.1	f_{bz}	357		
				τ	18.8	f_s	205		
	ⓘ梁	H-750×350 ×40×40 〈SM490A〉	従来の Ss-3 +EW-UD (B)	σ_c	24.1	f_c	350	0.87	O.K.
				σ_{by}	265.9	f_{by}	352		
				σ_{bz}	5.0	f_{bz}	357		
				τ	41.5	f_s	205		
	ⓙ鉛直 ブレース	φ-406.4×9.5 〈STK490〉	従来の Ss-1 +NS-UD (B)	σ_c	214.2	f_c	294	0.73	O.K.
	ⓚ水平 ブレース	[-180×75×7× 10.5 〈SS400〉	従来の Ss-3 -EW+UD (B)	σ_t	63.3	f_t	258	0.25	O.K.

*1：ⓗ～ⓚの符号は図 4.3.2-6 の応力検討箇所を示す

*2：(　)内は，燃料取扱設備の位置を示す。(表 4.2.1-4 参照)

4.3.3　弾性支承の耐震性に対する検討

弾性支承に作用する圧縮力による面圧が，圧縮限界強度以下となることを確認する。圧縮限界強度はゴム材料の弾性係数に応じて製品が規定する数値である。

検討の結果，最大圧縮面圧が圧縮限界強度以下となることを確認した。

表 4.3.3-1(1)　弾性支承の耐震性に対する検討結果（1/2Ss450）

設置位置	燃料取扱設備位置*	圧縮限界強度 σ_v (N/mm^2)	最大圧縮面圧 σ_D (N/mm^2)	σ_D/σ_v	判定
西側	A	43.00	8.80	0.21	O.K.
東側	A	43.00	8.86	0.21	O.K.

*：表 4.2.1-4 参照

表 4.3.3-1(2)　弾性支承の耐震性に対する検討結果（Ss600）

設置位置	荷重ケース (位置)*	圧縮限界強度 σ_v (N/mm^2)	最大圧縮面圧 σ_D (N/mm^2)	σ_D/σ_v	判定
西側	従来の Ss-1 +NS-UD (A)	43.00	10.83	0.26	O.K.
東側	従来の Ss-1 +NS-UD (A)	43.00	10.83	0.26	O.K.

*：(　)内は，燃料取扱設備の位置を示す。（表 4.2.1-4 参照）

4.3.4　オイルダンパの耐震性に対する検討

各部位で用いられるオイルダンパの耐震性に対する検討は，地震応答解析における最大応答値が許容値以下であることを確認する。

表 4.3.4-1 に最大応答値と許容値を比較した結果を示す。

検討の結果，全てのオイルダンパで最大応答値が許容値以下になることを確認した。

表 4.3.4-1(1)　オイルダンパの検討結果（1/2Ss450）

種類	検討項目	燃料取扱設備位置*	最大応答値	許容値	判定
オイルダンパ（水平棟間）	変位（mm）	A	40	±100	O.K.
	速度（m/s）	A	0.42	0.70	O.K.
オイルダンパ（鉛直）	変位（mm）	B	13	±60	O.K.
	速度（m/s）	B	0.07	0.50	O.K.
ばね付きオイルダンパ	変位（mm）	A	14	±100	O.K.
	速度（m/s）	A	0.10	1.00	O.K.

＊：表 4.2.1-4 参照

表 4.3.4-1(2)　オイルダンパの検討結果（Ss600）

種類	検討項目	荷重ケース（位置）*	最大応答値	許容値	判定
オイルダンパ（水平棟間）	変位（mm）	従来の Ss-1 NS (B)	50	±100	O.K.
	速度（m/s）	従来の Ss-2 NS (B)	0.54	0.70	O.K.
オイルダンパ（鉛直）	変位（mm）	従来の Ss-3 EW (B)	18	±60	O.K.
	速度（m/s）	従来の Ss-1 NS (B)	0.16	0.50	O.K.
ばね付きオイルダンパ	変位（mm）	従来の Ss-1 NS (A)	18	±100	O.K.
	速度（m/s）	従来の Ss-1 NS (A)	0.14	1.00	O.K.

＊：（　）内は，燃料取扱設備の位置を示す。（表 4.2.1-4 参照）

4.3.5　1/2Ss450 と Ss600 の応答結果の比較検討

前述の通り，最大応答層間変形角，部材の断面検討結果，弾性支承の最大圧縮面圧およびオイルダンパの最大応答の全てにおいて，1/2Ss450 評価結果が Ss600 評価結果を下回り，1/2Ss450 を適用した場合の影響が十分小さいことをことを確認した。（別冊２８ P97～P103 参照）

4.3.6　基礎の耐震性に対する検討

(1)　解析モデル

基礎の応力解析は，弾性地盤上に支持された版として有限要素法を用いて行う。解析モデルは，図 4.3.6-1 に示すように四辺形の均質等方な板要素により構成し，支持地盤は等価な弾性ばねとしてモデル化する。但し，浮き上がった場合は，ばねの剛性が 0 となる。

なお，前述の通り 1/2Ss450 を適用した場合の影響が十分小さいことを確認したことから，Ss600 での検討結果を記載する。

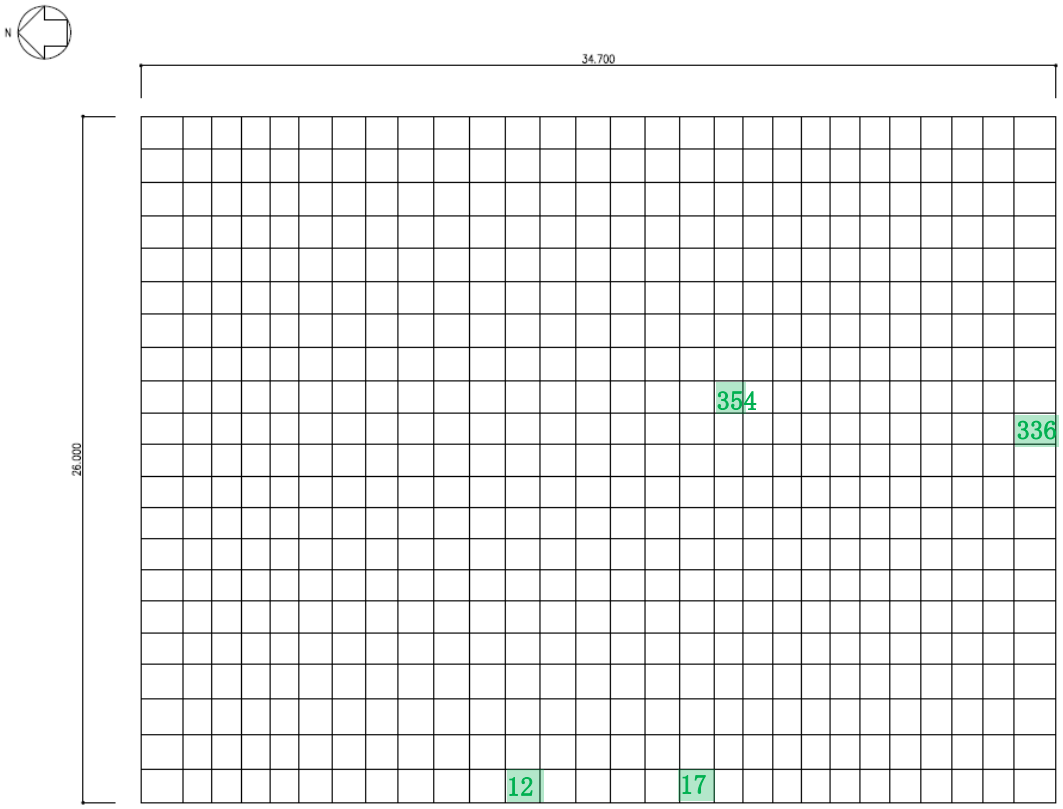

凡例　###　：Ss600 時断面算定要素（数字は要素番号）

図 4.3.6-1　基礎モデル(Ss600 時)

(2)　断面検討

組合せた応力より，各要素の必要鉄筋比を「原子力施設鉄筋コンクリート構造計算規準・同解説」より求め，設計配筋が必要鉄筋比を上回ること及び面外せん断力が許容せん断力以下であることを確認する。必要鉄筋比が最大となる要素と設計面外せん断力と許容せん断力との比が最大になる要素の断面検討結果を表 4.3.6-1 に示す。なお，各許容応力度，引張耐力及び座屈耐力算定時の材料強度は「平成 12 年建設省告示第 2464 号」に定められた基準強度 F 値の 1.1 倍を用いる。

断面検討の結果，設計配筋は必要鉄筋比を上回り，面外せん断力は許容せん断力以下であることを確認した。

表 4.3.6-1　断面検討結果

要素番号	方向	荷重ケース (位置)*1	設計応力		N/(b・D)*2 ($\times 10^{-2}$ N/mm^2)	M/(b・D^2) ($\times 10^{-2}$ N/mm^2)	Pt (%)	設計配筋 上段：上端筋　(pt:%) 下段：下端筋　(pt:%)	設計面外 せん断力 Q (kN/m)	許容せん断力 fs・b・j (kN/m)	判定
			N*2 (kN/m)	M (kN・m/m)							
12	NS	従来のSs-1 +NS-UD (A)	382.3	11137.8	0.127	1.238	0.378	2-D38@200　(0.38) 3-D38@200　(0.57)	542.8	2616	O.K.
336	EW	従来のSs-3 +EW-UD (B)	702.3	8453.6	0.234	0.939	0.261	2-D38@200　(0.38) 2-D38@200　(0.38)	513.9	2663	O.K.
17	NS	従来のSs-1 +NS-UD (A)	485.8	3585.9	0.162	0.398	0.099	2-D38@200　(0.38) 2-D38@200　(0.38)	2048.4	2663	O.K.
354	EW	従来のSs-2 -EW+UD (B)	700.2	4994.3	0.233	0.555	0.139	2-D38@200　(0.38) 2-D38@200　(0.38)	1806.0	2663	O.K.

*1：（　）内は，燃料取扱設備の位置を示す。（表 4.2.1-4 参照）
*2：圧縮を正とする。

4.3.7　改良地盤の耐震性に対する検討

(1)　検討方針

検討は「JEAC 4616-2009」に準拠し，地震により発生する荷重に対して許容限界を満足することを確認する。改良地盤の許容限界は，改良地盤の設計圧縮強度，せん断抵抗に対する安全率に基づき設定する。支持地盤の許容限界は，支持地盤の極限支持力に対する安全率に基づき設定する。

なお，前述の通り 1/2Ss450 を適用した場合の影響が十分小さいことを確認したことから，Ss600 での検討結果を記載する。

(2)　地震時に対する検討

地震時において，改良地盤底面の最大接地圧及びせん断応力が，改良地盤の短期許容応力以下であることを確認する。図 4.3.7-1 に作用荷重を示す。

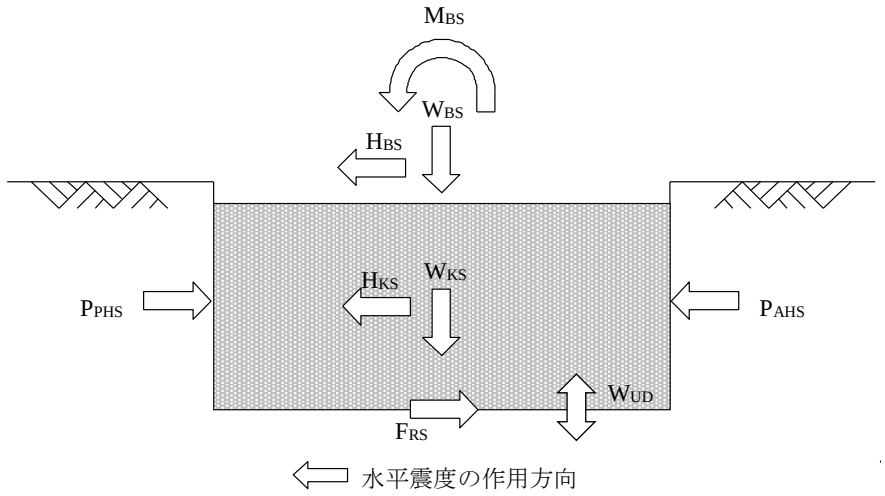

W_{BS}：燃料取り出し用構台荷重
W_{KS}：改良地盤の自重
H_{BS}：燃料取り出し用構台による水平力
M_{BS}：燃料取り出し用構台による改良地盤底面における
　　転倒モーメント
H_{KS}：改良地盤の慣性力
P_{AHS}：地震時主働土圧による水平力
P_{PHS}：地震時受働土圧による水平力
F_{RS}： 支持地盤のせん断抵抗力
W_{UD}： 上下動による鉛直応力

図 4.3.7-1　作用荷重（Ss600 時）

改良地盤の荷重負担範囲は，基礎底盤における矩形断面部分を対象とした面積 $A=902.2m^2$，断面係数 $Z_X=3909m^3$，$Z_Y=5217m^3$ として算定する。改良地盤底面の最大接地圧（q_{1S}）及び最大せん断応力（τmax）は下式にて求める。

鉛直力の合計　$\Sigma W = W_{BS}+W_{KS}$

水平力の合計　$\Sigma H_X= H_{BS}+H_{KS}+P_{AHS}+P_{PHS}$（NS 方向）

$\Sigma H_Y= H_{BS}+H_{KS}+P_{AHS}+P_{PHS}$（EW 方向）

転倒モーメントの合計　$\Sigma M_X= M_{BS}+M_{KS}+M_{AHS}+M_{PHS}$（X 軸回り:EW 方向加力）

$\Sigma M_Y= M_{BS}+M_{KS}+M_{AHS}+M_{PHS}$（Y 軸回り:NS 方向加力）

ここに，　M_{KS}：改良地盤の転倒モーメント

M_{AHS}：地震時主働土圧による転倒モーメント

M_{PHS}：地震時受働土圧による転倒モーメント

改良地盤底面の最大接地圧

$$q_{2SX+} = \Sigma W/A+\Sigma M_Y/Z_Y+W_{UD}/A$$

$$q_{2SX-} = \Sigma W/A+\Sigma M_Y/Z_Y-W_{UD}/A$$

$$q_{2SY+} = \Sigma W/A+\Sigma M_X/Z_X+W_{UD}/A$$

$$q_{2SY-} = \Sigma W/A+\Sigma M_X/Z_X-W_{UD}/A$$

ここに，　W_{UD}：上下動による鉛直応力

(3)　波及的影響の評価

改良地盤の評価は，「JEAC 4616-2009」に準じ，改良地盤に発生する最大応力が許容値に対して1.5以上の安全率を有していることを確認する。

1)　改良地盤に生じる鉛直応力に対する検討結果

改良地盤に作用する鉛直応力に対し改良地盤の圧縮強度の安全率が 1.5 以上であることを確認する。

$$\frac{{}_{SS}f_{SC}}{\sigma_{ymax}} \geqq 1.5$$

ここで，　${}_{SS}f_{SC}$　：改良地盤の圧縮強度

σ_{ymax}　：有限要素解析による各要素の鉛直応力の最大値

改良地盤の圧縮強度（${}_{SS}f_{SC}$）は，「JEAC 4616-2009」により改良地盤の圧縮強度の平均値である設計圧縮強度 5000 kN/m^2 とし，断面欠損を考慮した場合 4900 kN/m^2 とする。

安全率の検討結果を表 4.3.7-1 に示す。検討結果より改良地盤の圧縮強度は改良地盤の基礎スラブ直下における最大鉛直応力の 1.5 以上の安全率を有していることを確認した。

表 4.3.7-1　改良地盤の鉛直応力に対する検討結果

方向	最大鉛直応力 σ_{ymax}(kN/m^2)	最大鉛直応力発生地震波	圧縮強度 $_{SS}f_{SC}$(kN/m^2)	安全率	ｸﾗｲﾃﾘｱ	判定
NS	761	従来の Ss-1	4900	6.43	1.50	OK
EW	793	従来の Ss-2	4900	6.17	1.50	OK

2)　改良地盤に作用するせん断力に対する検討

検討は，改良地盤の基礎直下及び改良地盤下端のせん断力について行う。改良地盤上端及び下端にせん断面を想定し，せん断に対する安全率 $F_S(t)$ が 1.5 以上であることを確認する。

$$F_S(t)=\frac{F_R(t)}{F_H(t)}\geqq 1.5$$

ここで，　$F_S(t)$：せん断に対する安全率

$F_R(t)$：せん断面上の地盤の水平抵抗力（kN）

$F_H(t)$：せん断面上の地盤のせん断力（kN）

$_{SS}f_{SS}$：改良地盤のせん断強度（kN/m^2）

改良地盤のせん断強度（$_{SS}f_{SS}$）は下式より設定する。

$$_{SS}f_{SS}=\frac{1}{5}{}_{SS}f_{SC}$$

ここで，　$_{SS}f_{SS}$：1000 kN/m^2

断面欠損を考慮し

$_{SS}f_{SS}$：　750 kN/m^2

安全率の検討結果を表 4.3.7-2，表 4.3.7-3 に示す。

検討結果より改良地盤の水平抵抗力は，改良地盤の基礎直下及び改良地盤下端の最大せん断力の 1.5 以上の安全率を有していることを確認した。

表 4.3.7-2　改良地盤のせん断力に対する検討結果（基礎下端）

方向	最大せん断力発生地震波	最大せん断力 F_H (kN)	水平抵抗力 F_R (kN)	安全率 F_S	ｸﾗｲﾃﾘｱ	判定
NS	従来の Ss-2	56816	676650	11.90	1.50	OK
EW	従来の Ss-1	55076	676650	12.28	1.50	OK

表 4.3.7-3　改良地盤のせん断力に対する検討結果（改良地盤下端）

方向	最大せん断力発生地震波	最大せん断力 F_H (kN)	水平抵抗力 F_R (kN)	安全率 F_S	ｸﾗｲﾃﾘｱ	判定
NS	従来の Ss-2	105335	676650	6.42	1.50	OK
EW	従来の Ss-1	106956	676650	6.32	1.50	OK

3)　支持力の検討

支持力の評価は，改良地盤下端における最大鉛直応力が支持地盤の極限支持力度に対して 1.5 以上の安全率を有していることを確認する。

$$\frac{R_u}{V} \geqq 1.5$$

ここで，　　R_u:極限鉛直支持力度

V:地震応答解析から得られる最大鉛直応力

検討の結果，支持地盤の極限支持力度（ 6860 kN/m^2）*は改良地盤底部における最大鉛直応力の 1.5 以上の安全率を有していることを確認した。

＊:「福島第一原子力発電所 原子炉設置変更許可申請書（４号炉増設)」による

NS 方向：6860 kN/m^2 ／ 761 kN/m^2 ＝ 9.01 ≧ 1.50 ・・・・OK

EW 方向：6860 kN/m^2 ／ 793 kN/m^2 ＝ 8.65 ≧ 1.50 ・・・・OK

4.3.8　原子炉建屋接触部の耐震性に対する検討

(1)　弾性支承反力に対する検討

地震応答解析で得られる弾性支承に生ずる最大圧縮軸力の反力として原子炉建屋の RC 梁に生じるせん断力が，梁の許容せん断耐力以下となることを確認する。なお，原子炉建屋接触部の状況については，別冊２８ P64 参照。

弾性支承の反力は基本的に，プール壁及び下階柱に直接かかるように配置するが，一部梁端に作用するため，それを考慮する。この時，地震時の鉛直方向震度を下向きに考慮する。鉛直震度は，時刻歴解析時のオペフロ床質点の鉛直方向最大加速度を震度換算して算定する。

なお，前述の通り 1/2Ss450 を適用した場合の影響が十分小さいことを確認したことから，Ss600 での検討結果を記載する。

検討の結果，梁のせん断力が許容せん断耐力以下となることを確認した。

表 4.3.8-1　弾性支承反力に対する検討結果

部位	荷重ケース (位置)*	梁端せん断力 Q(kN)	許容せん断耐力 Qa(kN)	耐力比	判定
弾性支承受梁	従来の Ss-1 NS (A)	1203	2313	0.52	O.K.

*：(　)内は，燃料取扱設備の位置を示す。（表 4.2.1-4 参照）

(2)　ばね付きオイルダンパの反力に対する検討

ばね付きオイルダンパの反力を受ける原子炉建屋床架構を有限要素法を用いてモデル化し弾性解析を行う。床スラブは板要素で，大梁は線材でモデル化する。

ばね付きオイルダンパの反力は，地震応答解析における各支点での最大鉛直方向反力値を取り出し静的に作用させる。

なお，前述の通り 1/2Ss450 を適用した場合の影響が十分小さいことを確認したことから，Ss600 での検討結果を記載する。

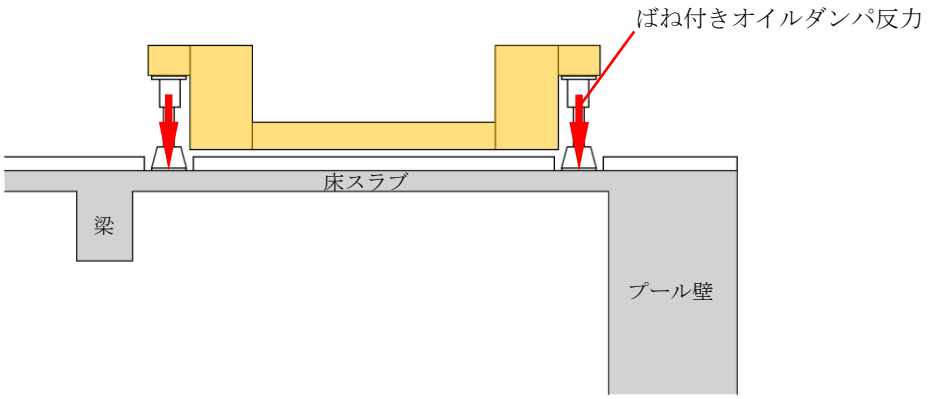

図 4.3.8-1　ばね付きオイルダンパ反力概要図

検討の結果，床スラブの発生応力が許容耐力以下となることを確認した。

表 4.3.8-2　ばね付きオイルダンパの反力に対する検討結果

部位	荷重ケース (位置) *	応力	発生応力	許容耐力	耐力比	判定
ばね付きオイルダンパ 受け床スラブ	従来の Ss-1 NS (A)	曲げ M (kN・m)	79	216	0.37	O.K.
		せん断 Q(kN)	321	420	0.77	O.K.

*：(　)内は，燃料取扱設備の位置を示す。（表 4.2.1-4 参照）

(3)　オイルダンパ（水平棟間）反力に対する検討

オイルダンパ（水平棟間）の反力を受ける原子炉建屋南側外壁（壁・大梁及び柱）を有限要素法を用いてモデル化し，弾性解析を行う。

床スラブ・壁付梁は板要素で，柱は線材でモデル化する。

オイルダンパ（水平棟間）の反力を受ける箇所は 2 箇所あるが，面外方向の反力値が大きく，躯体断面の小さい西側での検定比が支配的となるため西側での検討を代表として行う。

オイルダンパ（水平棟間）の反力は，地震応答解析において発生した最大反力を取り出し静的に作用させる。

この時，地震時の水平方向震度を考慮する。水平震度は，時刻歴解析の原子炉建屋床質点の水平方向最大加速度を震度換算して算定し，慣性力として架構面外に作用させる。

なお，前述の通り 1/2Ss450 を適用した場合の影響が十分小さいことを確認したことから，Ss600 での検討結果を記載する。

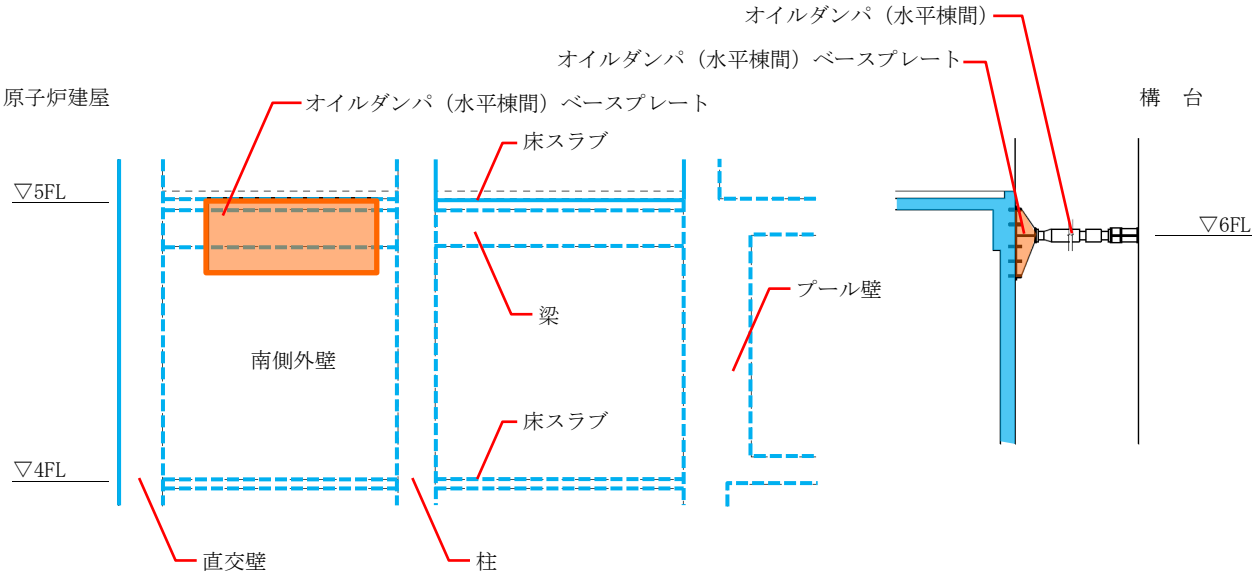

図 4.3.8-2　オイルダンパ（水平棟間）ベースプレート概要図

検討の結果，原子炉建屋南側外壁の発生応力が許容耐力以下となることを確認した。

表 4.3.8-3　オイルダンパ（水平棟間）反力に対する検討結果

部位	荷重ケース （位置）＊	応力	発生応力	許容耐力	耐力比	判定
オイルダンパ （水平棟間） 受け外壁	従来の Ss-2 NS (B)	曲げ M（kN・m）	206	422	0.49	O.K.
		せん断 Q(kN/m)	273	589	0.47	O.K.

＊：（　）内は，燃料取扱設備の位置を示す。（表 4.2.1-4 参照）

(4)　オイルダンパ（水平棟間）反力に対するあと施工アンカーの検討

オイルダンパ（水平棟間）は，原子炉建屋南側外壁のオペフロ床より少し下がった位置で，あと施工アンカー（M30及びM60 の2種類）を用いて壁面に固定されたベースプレートと接続している。取り合い部の詳細を図 4.3.8-3 に示す。なお，あと施工アンカーの適用性については，別冊２８P63 参照。

なお，前述の通り 1/2Ss450 を適用した場合の影響が十分小さいことを確認したことから，Ss600での検討結果を記載する。

あと施工アンカーは，地震応答解析で得られたオイルダンパ（水平棟間）の反力（引張及びせん断方向）の最大値に対して短期許容強度以下となることを確認した。

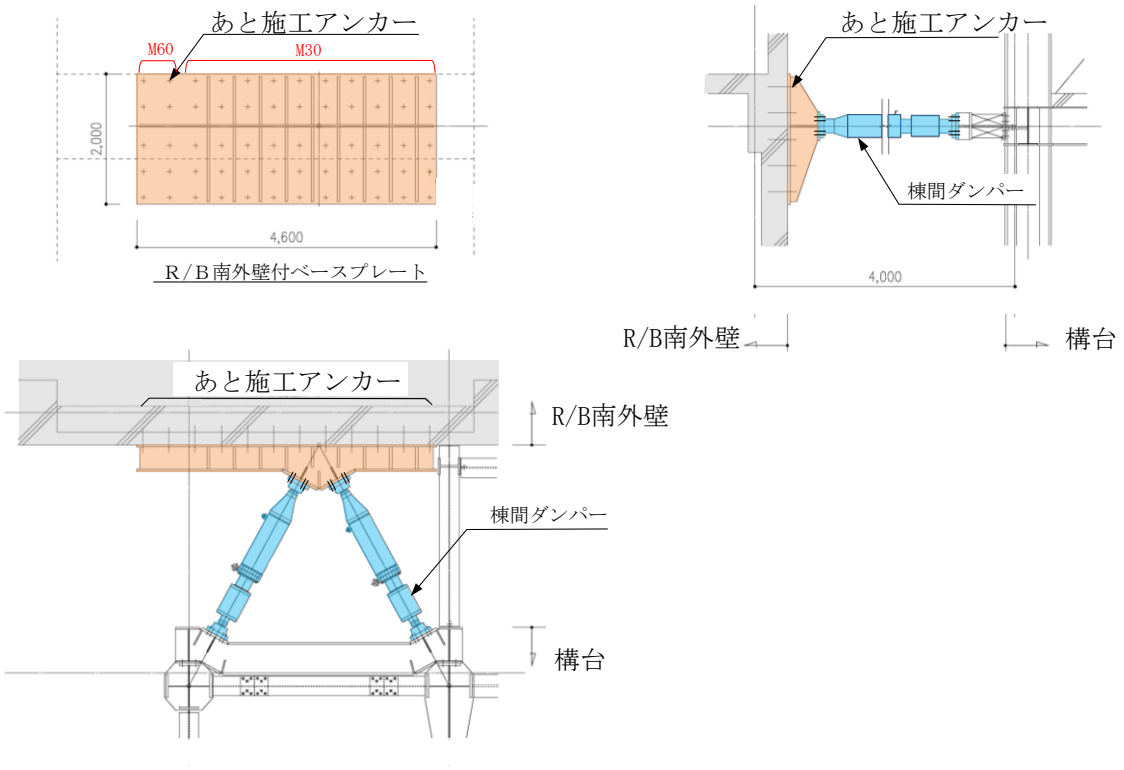

図 4.3.8-3　取り合い部の詳細

表 4.3.8-4　オイルダンパ（水平棟間）反力に対するあと施工アンカーの検討結果

一般あと施工アンカー及び FM ボルトの許容耐力

種　類	径	有効埋込長	短期許容強度	
一般あと施工アンカー	M30	300 mm	107 kN/本	引張
FM ボルト	M60	265 mm	329 kN/本	せん断

検討結果

種　類	作用応力(kN)	許容耐力(kN)	耐力比	判定
引張	3203	5350	0.60	O.K.
せん断	2219	3290	0.68	O.K.

4.3.9　原子炉建屋の耐震性に対する検討

(1)　検討方針

燃料取り出し用構台を支持する原子炉建屋の耐震性の検討は，耐震安全上重要な設備への波及的影響防止の観点から，原子炉建屋の耐震壁及び屋根トラス（以下，原子炉建屋上部架構）の健全性について行い，Ss600 に対して原子炉建屋上部架構の応答性状を適切に表現できる地震応答解析を用いて評価する。

なお，前述の通り 1/2Ss450 を適用した場合の影響が十分小さいことを確認したことから，Ss600 での検討結果を記載する。

(2)　原子炉建屋上部架構の地震応答解析

1)　解析に用いる入力地震動

原子炉建屋上部架構の地震応答解析に用いる入力地震動は，Ss600 を入力したときの原子炉建屋 G.L.29.92m の時刻歴応答加速度とし，水平方向，回転方向及び鉛直方向の同時入力とする。入力地震動の概念図を図 4.3.9-1 に示す。

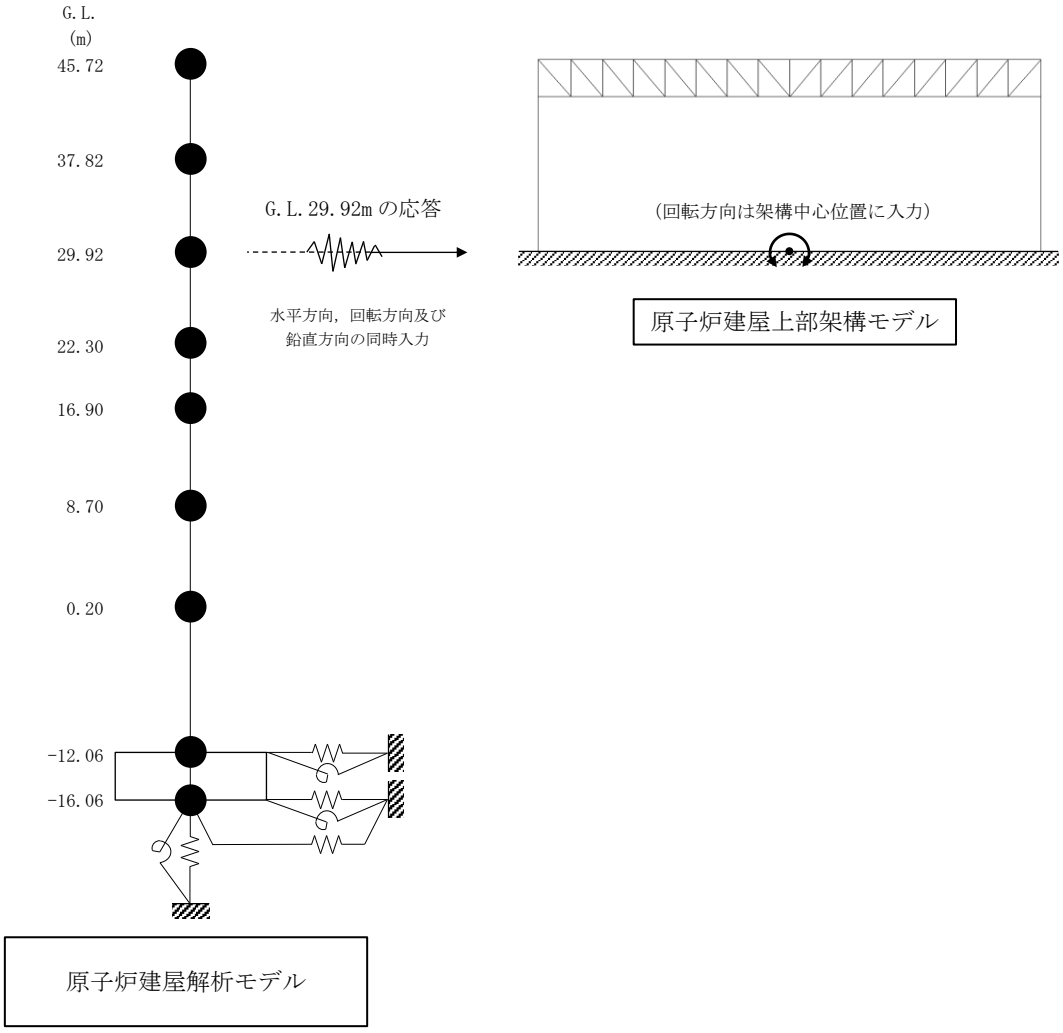

図 4.3.9-1　入力地震動の概念図

2)　地震応答解析モデル

原子炉建屋上部架構の地震応答解析モデルは，G.L.29.92m より上部の鉄骨造の屋根と鉄筋コンクリート造の柱，梁及び耐震壁を組み込んだ立体架構モデルとし，境界条件は柱及び耐震壁脚を固定とする。解析モデルを図 4.3.9-2 に，物性値を表 4.3.9-1 に示す。

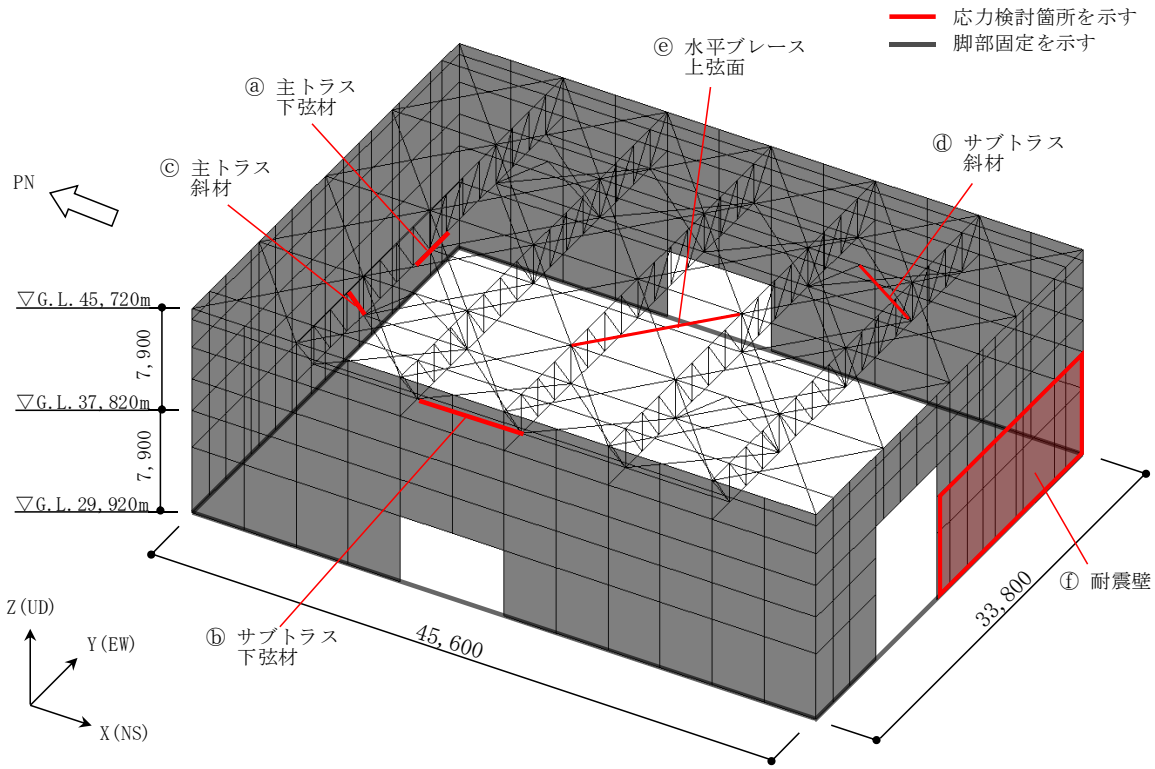

図 4.3.9-2　原子炉建屋上部架構の地震応答解析モデル

表 4.3.9-1　地震応答解析に用いる物性値

部　位	材　料	ヤング係数 E (N/mm^2)	せん断弾性係数 G (N/mm^2)	減衰定数 h (%)
屋根	鉄骨	2.05×10^5	7.90×10^4	2
外周部	コンクリート*	2.57×10^4	1.07×10^4	5

＊：実強度(Fc35)に基づく物性値を示す。

(3) 波及的影響の評価

原子炉建屋上部架構の変形は，JSCA 性能メニュー（社団法人日本建築構造技術者協会，2018 年）を参考に定めたクライテリアとして，鉄骨造部材は，塑性率が 5 以下を満足することを確認する。

耐震壁のせん断ひずみは，鉄筋コンクリート造耐震壁の終局限界に対応した評価基準値（4.0×10^{-3}）以下になることを確認する。

1) 応力度比及び塑性率の検討

部材の応力度比は，2 方向の曲げ，軸力及びせん断力の各最大応力と各許容応力度との比を組み合わせた値で表され，部材の塑性率は，引張及び圧縮に対して最大軸力時のひずみを引張耐力または座屈耐力時のひずみで除した値で表される。表 4.3.9-2 及び表 4.3.9-3 に応力度比及び塑性率が最大となる部位の検討結果を示す。なお，各許容応力度，引張耐力及び座屈耐力算定時の材料強度は「平成 12 年建設省告示第 2464 号」に定められた基準強度 F 値の 1.1 倍を用いる。

表 4.3.9-2 より応力度比は 1 以下，表 4.3.9-3 より塑性率は 5 以下となり，クライテリアを満足することを確認した。

表 4.3.9-2　応力度比の検討結果

部　位*1			部材形状 (mm) 〈使用材料〉	荷重ケース (位置) *2	作用応力度 (N/mm²)		許容応力度 (N/mm²)	応力度比	判定
主トラス	ⓐ	下弦材	H-400×400 ×13×21 〈SS400〉	従来の Ss-1 +NS+UD (A)	σ_t	108.4	258	0.72	O.K.
					σ_{by}	49.7	190		
					σ_{bz}	7.4	258		
					τ	5.0	148		
サブトラス	ⓑ	下弦材	H-248×249 ×8×13 〈SS400〉	従来の Ss-1 +EW-UD (A)	σ_c	53.1	142	0.38	O.K.
					σ_{by}	0.0	157		
					σ_{bz}	0.0	258		
					τ	0.0	148		

＊1：ⓐ，ⓑの符号は図 4.3.9-2 の応力検討箇所を示す
＊2：(　)内は，燃料取扱設備の位置を示す。(表 4.2.1-4 参照)

σ_t ：引張応力度の最大値
σ_c ：圧縮応力度の最大値
σ_{by} ：強軸まわりの曲げ応力度の最大値ｂ
σ_{bz} ：弱軸まわりの曲げ応力度の最大値
τ ：せん断応力度の最大値

表 4.3.9-3　塑性率の検討結果

部　位*1			部材形状 (mm) 〈使用材料〉	荷重ケース (位置) *2	塑性率		判定
主トラス	ⓒ	斜材	2Ls-100×100×13 〈SS400〉	従来の Ss-1 +NS+UD (A)	T/Tu	0.82	O.K.
サブ トラス	ⓓ	斜材	2Ls-100×100×7 〈SS400〉	従来の Ss-1 +NS+UD (A)	C/Cu	0.58	O.K.
水平 ブレース	ⓔ	上弦面	CT-125×250×9× 14 〈SS400〉	従来の Ss-2 +EW-UD (A)	C/Cu	1.68	O.K.

＊1：ⓒ～ⓔの符号は図 4.3.9-2 の応力検討箇所を示す

＊2：(　)内は，燃料取扱設備の位置を示す。(表 4.2.1-4 参照)

C　：部材軸方向の圧縮力の最大値

Cu ：座屈耐力

T　：部材軸方向の引張力の最大値

Tu ：引張耐力

2)　耐震壁のせん断ひずみの検討

原子炉建屋上部架構の耐震壁の最大せん断ひずみを表 4.3.9-4 に示す。

検討の結果，耐震壁の最大せん断ひずみは 4.0×10^{-3} 以下となり，クライテリアを満足することを確認した。

また，「4.3.2　構台，前室及びランウェイガーダの耐震性に対する検討」で実施した地震応答解析による原子炉建屋の最大せん断ひずみを，「JEAG 4601-1991 追補版」に基づき設定した耐震壁のせん断スケルトン曲線上にプロットした結果を図 4.3.9-3 に示す。

検討の結果，耐震壁の最大せん断ひずみは 4.0×10^{-3} 以下となり，クライテリアを満足することを確認した。

表 4.3.9-4　耐震壁の最大せん断ひずみの検討結果

部　位*1			部材形状 (mm) 〈使用材料〉	荷重ケース (位置) *2	せん断ひずみ ($\times10^{-3}$)	判定
耐震壁	ⓕ	建屋南側 5F	t=200 〈Fc22.1〉	従来の Ss-1 +EW+UD (A)	0.24	O.K.

＊1：ⓕの符号は図 4.3.9-2 の応力検討箇所を示す

＊2：(　)内は，燃料取扱設備の位置を示す。(表 4.2.1-4 参照)

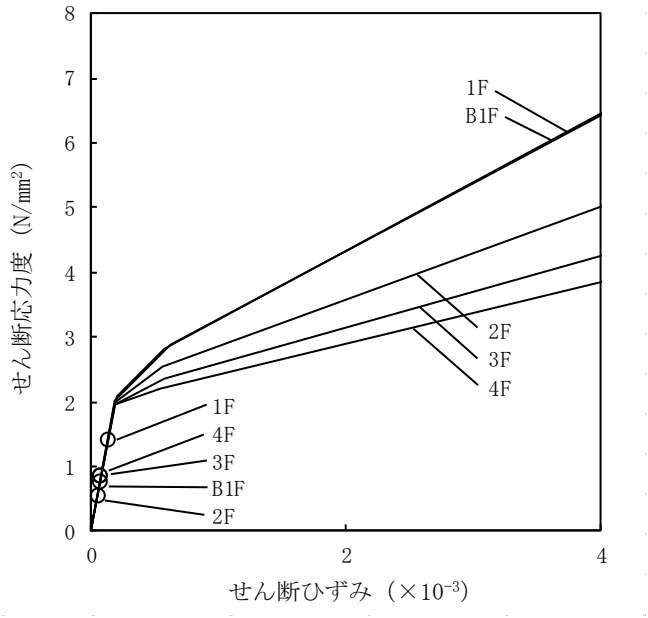

(a) NS 方向

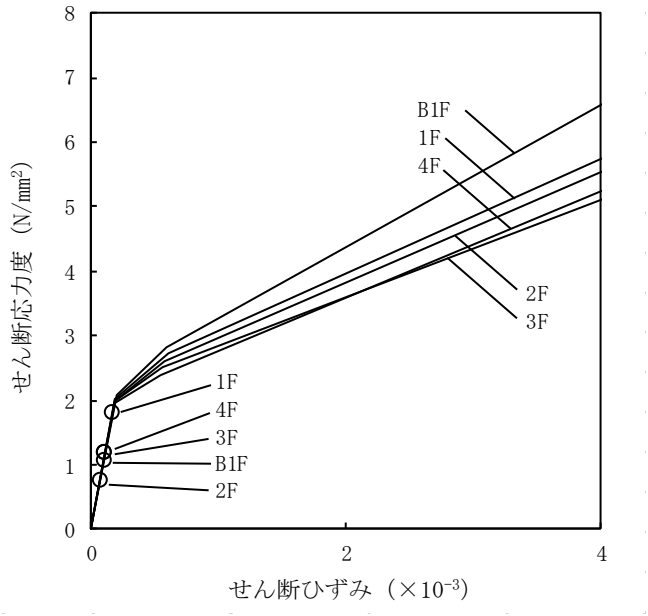

(b) EW 方向

図 4.3.9-3　せん断スケルトン曲線上の最大応答値

5.　1 号機燃料取り出し用カバーの構造強度及び耐震性について

5.1　概要

5.1.1　一般事項

1 号機燃料取り出し用カバーは，大型カバーと内部カバーから構成されている。ここでは，大型カバーの構造強度と機能維持及び波及的影響の防止について検討を行う。

大型カバーは，原子炉建屋オペレーティングフロアを覆う構造としており，屋根部，一般部及び燃料取扱設備支持部から構成され，オペレーティングフロア上にあるガレキを撤去するガレキ撤去用天井クレーンを有する。また，大型カバーの燃料取扱設備支持部は燃料取扱設備（燃料取扱機及びクレーン）を支持する。

大型カバーおよびガレキ撤去用天井クレーンの耐震クラス分類は，2021 年 9 月 8 日及び 2022 年 11 月 16 日の原子力規制委員会で示された耐震設計の考え方を踏まえ，安全機能の重要度，地震によって機能の喪失を起こした場合における公衆への被ばく影響を評価した結果，C クラスとなる。なお，燃料取扱設備支持部が燃料取扱設備の間接支持構造物であることから，大型カバーに適用する地震力は B+クラス相当とする。

大型カバーの構造強度は，B+クラスの設備に要求される静的地震力に対して許容応力度設計を実施し，耐震性のうち機能維持の検討は，基準地震動 Ss（最大加速度 900gal。以下，「Ss900」という。）の 1/2 の最大加速度 450gal の地震動（以下，「1/2Ss450」という。）に対する地震応答解析を実施し，燃料取扱設備の間接支持機能が維持されることを確認する。

ガレキ撤去用天井クレーンの構造強度は，C クラスの設備に要求される静的地震力に対して許容応力度設計を実施する。

大型カバーとガレキ撤去用天井クレーンの耐震性のうち波及的影響の防止の検討は，Ss900 に対する地震応答解析を実施し，大型カバーおよびガレキ撤去用天井クレーンの損傷が原子炉建屋，使用済燃料プール及び使用済燃料ラックに波及的影響を及ぼさないことを確認する。ここで，波及的影響の確認は，大型カバー及びガレキ撤去用天井クレーンが崩壊機構に至らないことを確認する。図 5.1.1-1 に大型カバーのイメージを示す。

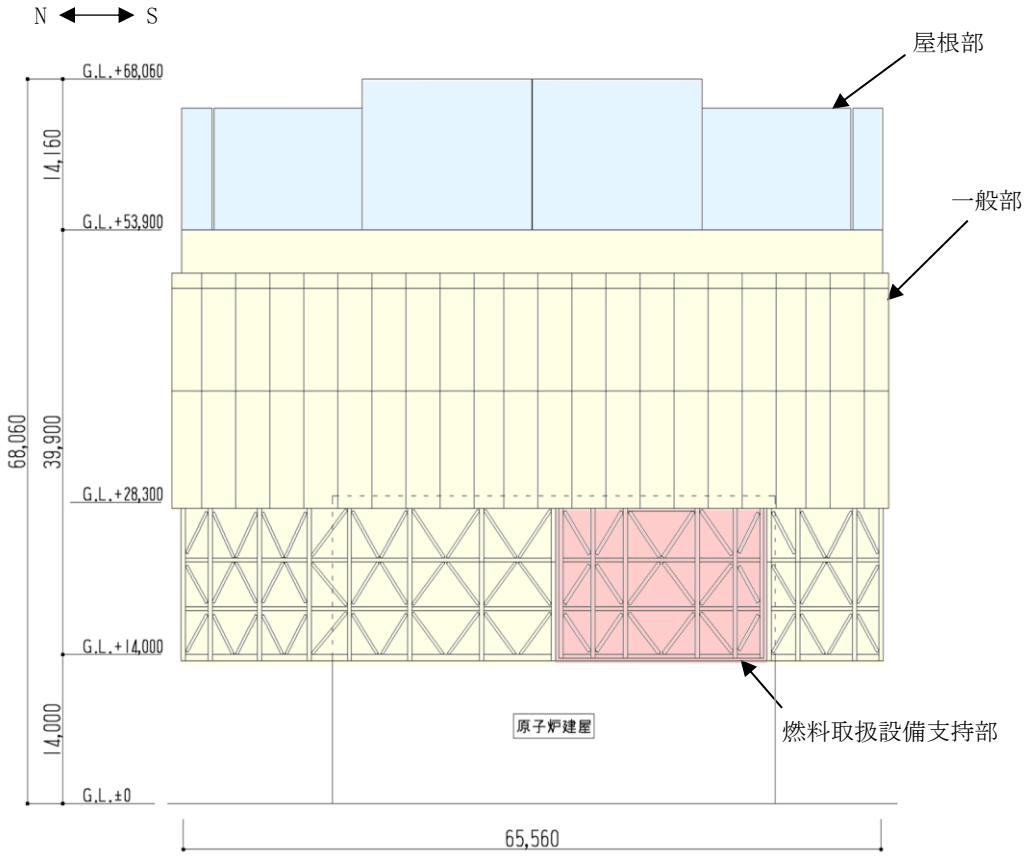

図 5.1.1-1　大型カバーのイメージ（単位：mm）

本章では，G.L.±0m=T.P.8,564mm*とする。
また，記載の寸法は現場状況に応じて変更する場合がある。
*：震災後の地盤沈下量(-709mm)と O.P.から T.P.への読替値(-727mm)を用いて，下式に基づき換算している。
＜換算式＞T.P.=旧 O.P.-1,436mm

大型カバーの検討は原則として下記の法規及び基規準類に準拠して行う。

(1) 建築基準法・同施行令及び関連告示
(2) 原子力施設鉄筋コンクリート構造計算規準・同解説（日本建築学会，改定版 2013 年）
(3) 鉄筋コンクリート構造計算規準・同解説（日本建築学会，2018 年）
(4) 鋼構造設計規準－許容応力度設計法－（日本建築学会，2005 年）
(5) 2015 年版 建築物の構造関係技術基準解説書(国土交通省住宅局建築指導課・国土交通省国土技術政策総合研究所・独立行政法人建築研究所・日本建築行政会議，2015 年)
(6) 各種合成構造設計指針・同解説（日本建築学会，2010 年）
(7) クレーン等安全規則（昭和 47 年 9 月 30 日労働省令第 34 号）
(8) クレーン構造規格（平成 7 年 12 月 26 日労働省令第 134 号）
(9) 日本産業規格（JIS）

また，原子力施設の設計において参照される下記の指針及び規程を参考にして検討を行う。

(10) 原子力発電所耐震設計技術指針(JEAG 4601-1987)（日本電気協会 電気技術基準調査委員会，昭和 62 年)
(11) 原子力発電所耐震設計技術指針(JEAG 4601-1991 追補版)（日本電気協会 電気技術基準調査委員会，平成 3 年)
(12) 原子力発電所耐震設計技術規程(JEAC 4601-2015)（日本電気協会 原子力規格委員会，平成 27 年)

5.1.2　構造概要

大型カバーは，東西方向 55.92m，南北方向 65.56m，高さ 68.06m の構造物で，構造形式はトラス構造，構造種別は鉄骨造である。また，一般部と燃料取扱設備支持部は構造的に分離している。大型カバー頂部付近は，水平剛性を高めるため，鋼板による箱桁架構とし，屋根は可動式としている。

大型カバーは，原子炉建屋に支持される構造物である。原子炉建屋との取り合い部においては，アンカーボルトにより接続している。

屋根は，４つの架構（中央の２つを「大屋根」，大屋根の外側の２つを「小屋根」という。また，小屋根の外側の稼働しない部分を「妻壁」という。）から構成され，それぞれが可動する構造である。屋根と大型カバーは構造的に分離されており，屋根は通常時，固定ピンを介して大型カバーに固定されている。また，屋根は固定ピンを外すことによって，南北方向へ動くことが可能となる。なお，屋根の逸走を防止するための逸走防止受けを大型カバー頂部にある鋼板部（以下，「箱桁架構」という）に設置し，屋根が動く際には屋根の落下防止材として機能する。

大型カバー内部にあるガレキ撤去用天井クレーンは，箱桁架構を南北方向に走行する。また，ガレキ撤去用天井クレーンを構成する２本のクレーンガーダ上に２台のトロリーがあり，これらが東西方向に移動する。

大型カバーの概要図を図 5.1.2-1 及び図 5.1.2-2 に示す。ガレキ撤去用天井クレーンの概要図を図 5.1.2-3 に示す。屋根伏図を図 5.1.2-4 に，断面図を図 5.1.2-5 に示す。屋根部の落下防止の概要図を図 5.1.2-6 に示す。

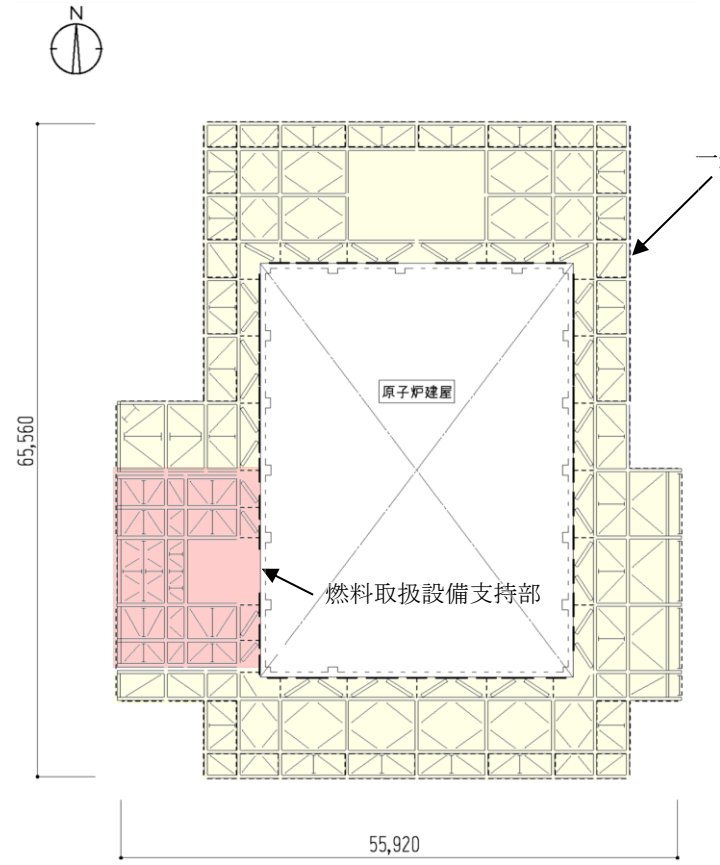

(a)伏図(G.L.+28,300)

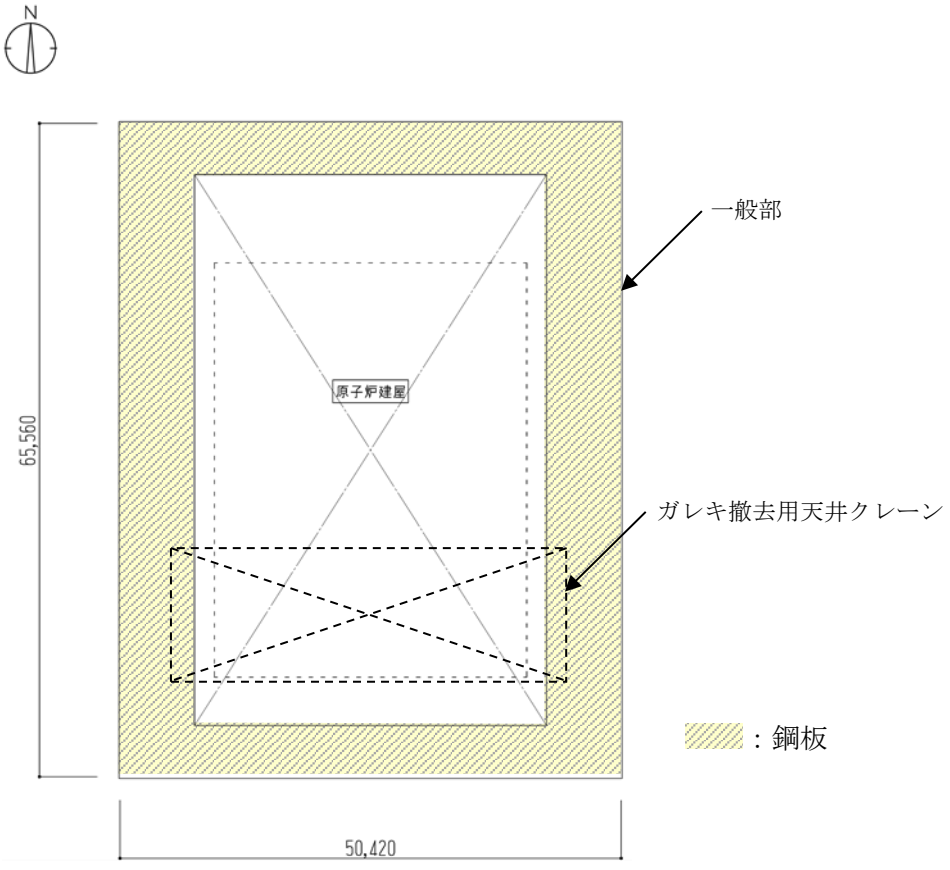

(b)伏図(G.L.+53,900)

図 5.1.2-1(1)　大型カバーの概要（単位：mm）

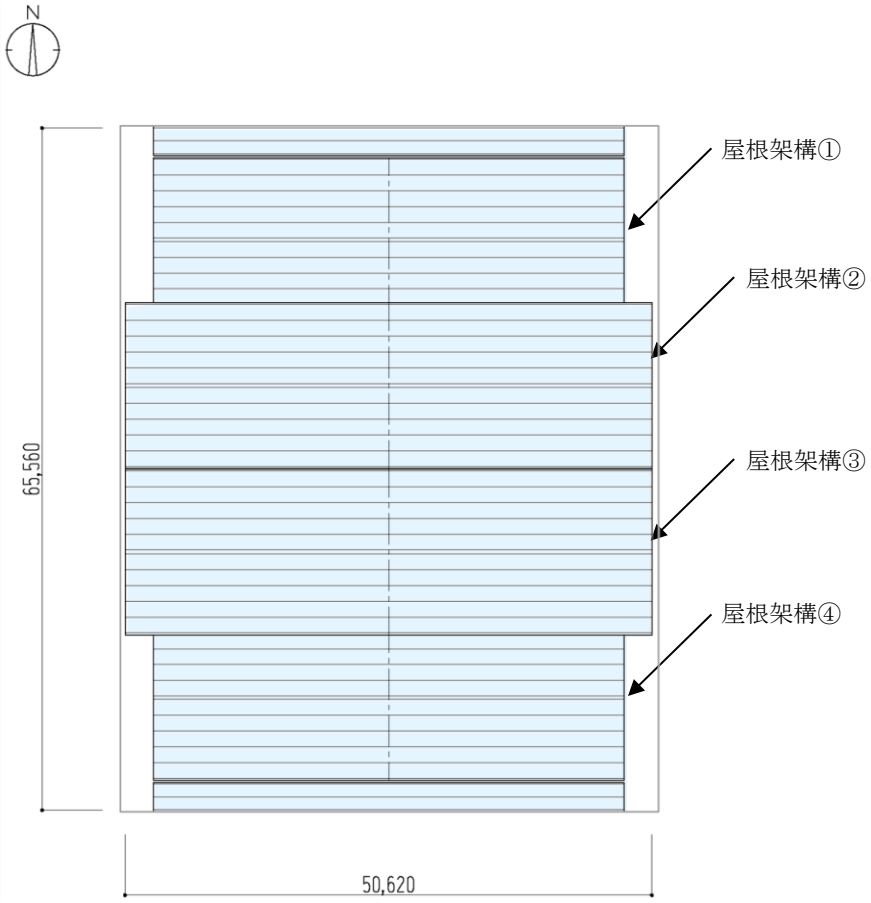

屋根伏図

図 5.1.2-1(2)　大型カバーの概要（単位：mm）

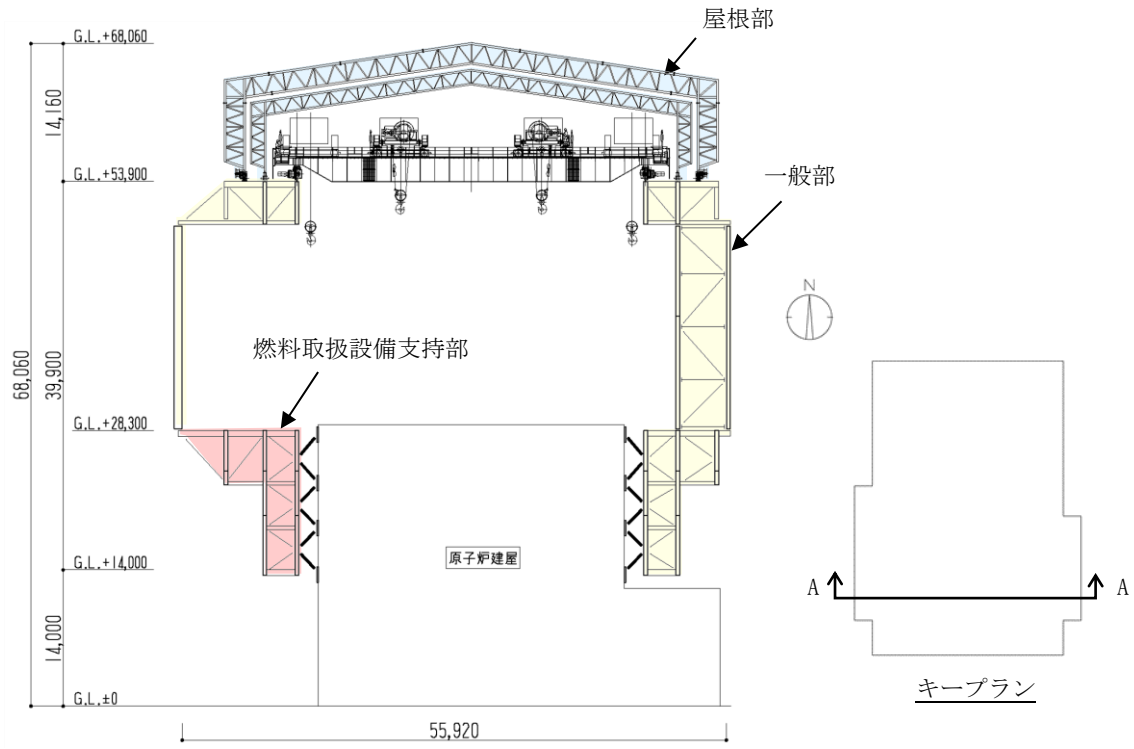

(a) 大型カバーA-A 断面図

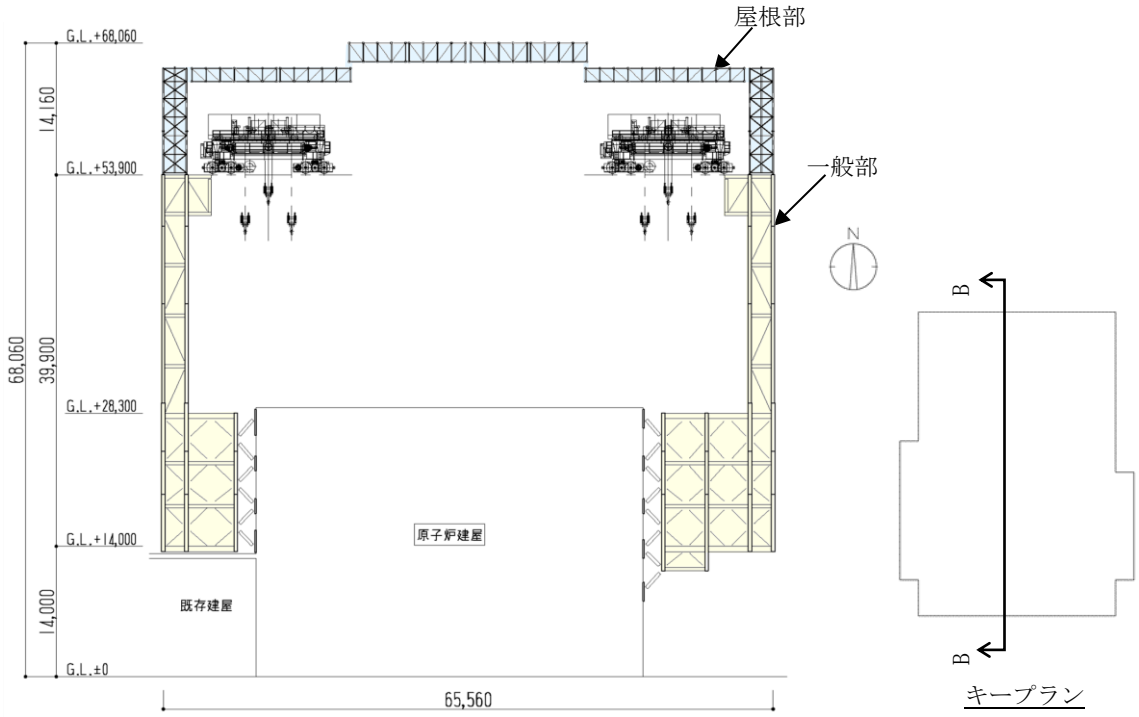

(b) 大型カバーB-B 断面図

図 5.1.2-2　大型カバーの概要（単位：mm）

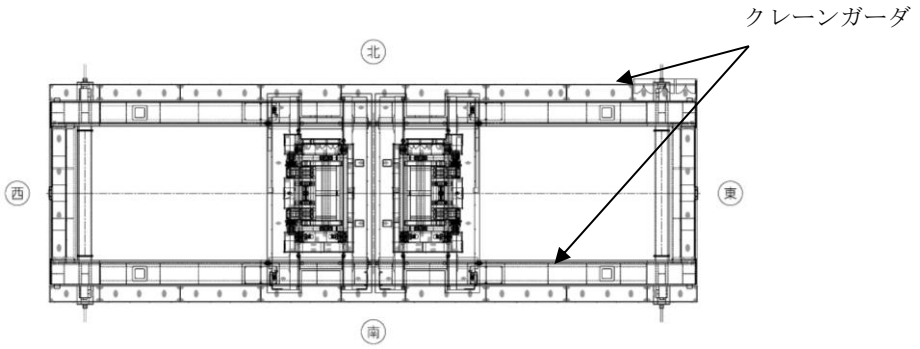

平面図

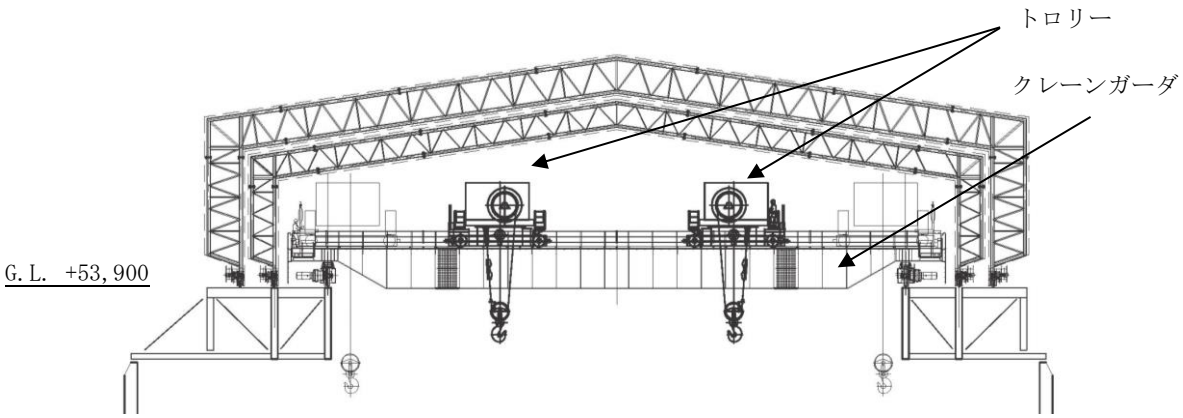

東西立面図

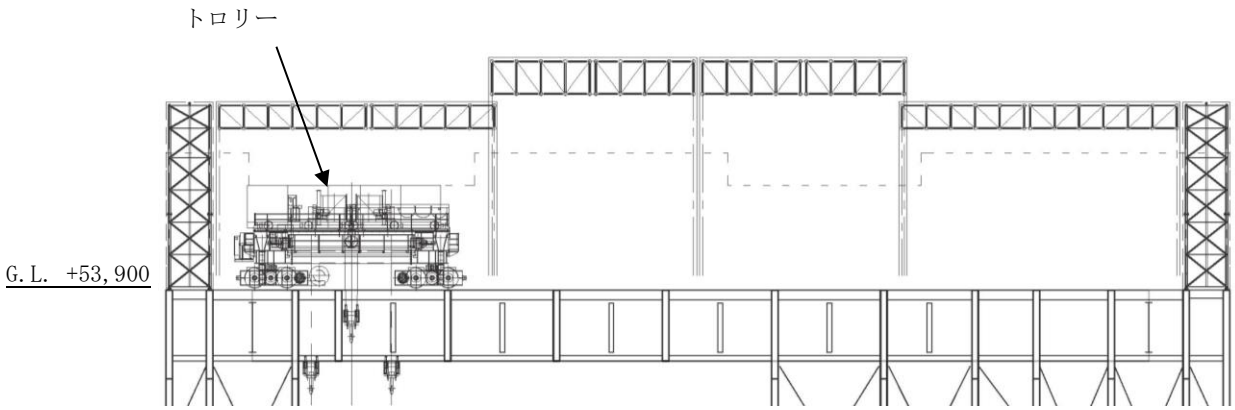

南北立面図

図 5.1.2-3　ガレキ撤去用天井クレーン概要図

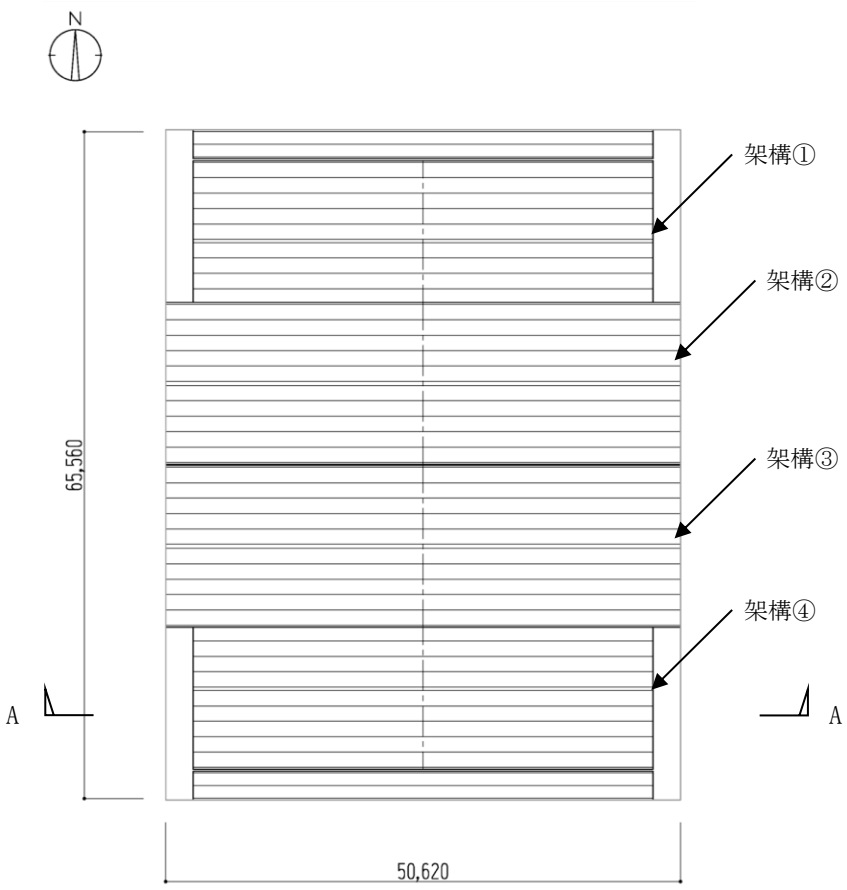

図 5.1.2-4　屋根伏図（単位：mm）

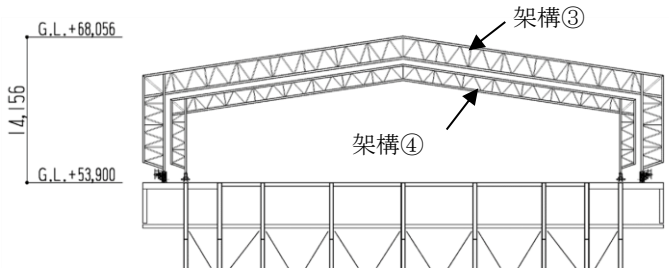

図 5.1.2-5　A-A 断面図（単位：mm）

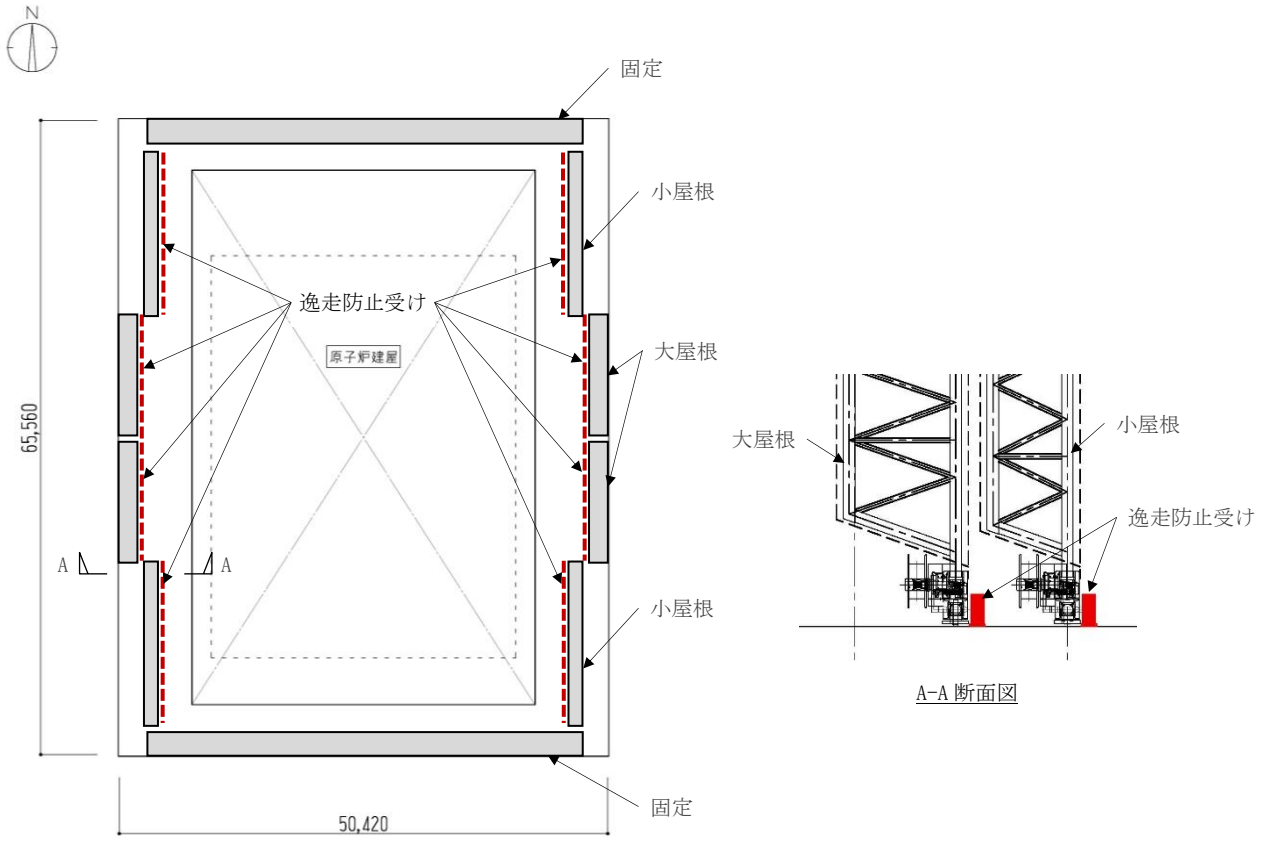

図 5.1.2-6　屋根部の落下防止概要図

5.1.3　検討フロー

大型カバーの構造強度及び耐震性の検討フローを図 5.1.3-1～2 に示す。検討に当たっては，大型カバーを設置し，原子炉建屋上のガレキを撤去しようとする状態（以下，「ガレキ撤去時」という）と，ガレキを撤去した後に，燃料取扱設備を設置した状態（以下，「燃料取り出し時」という）を評価する。

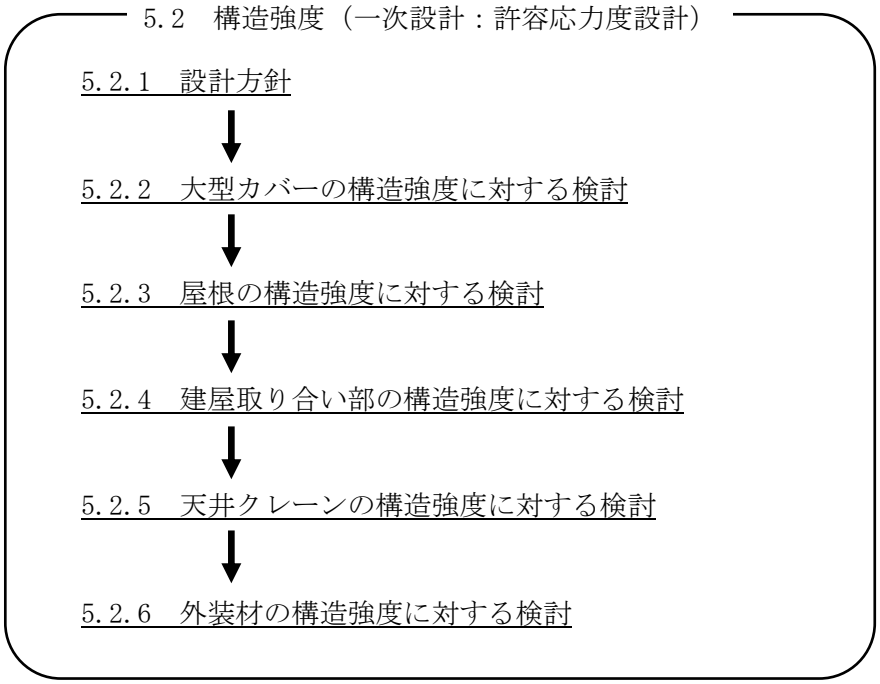

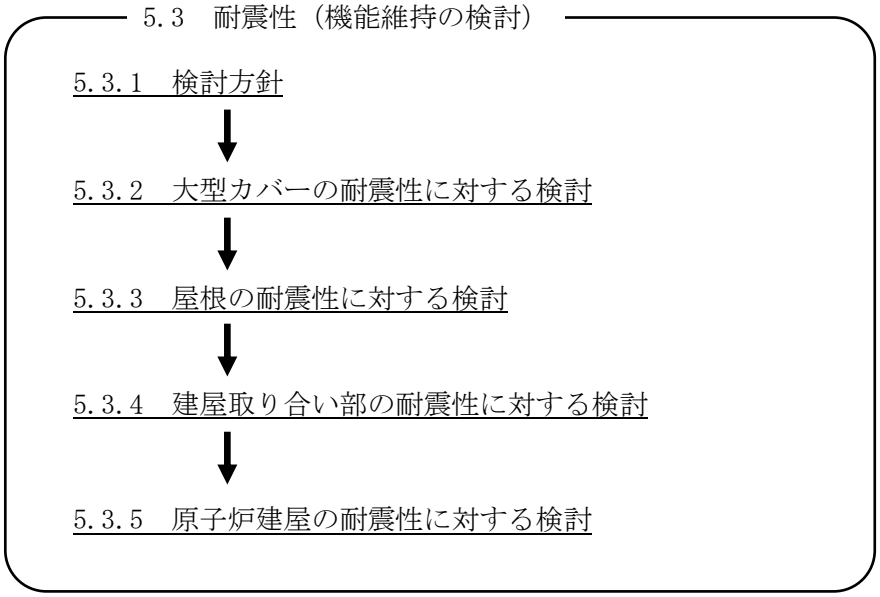

図 5.1.3-1　大型カバーの検討フロー

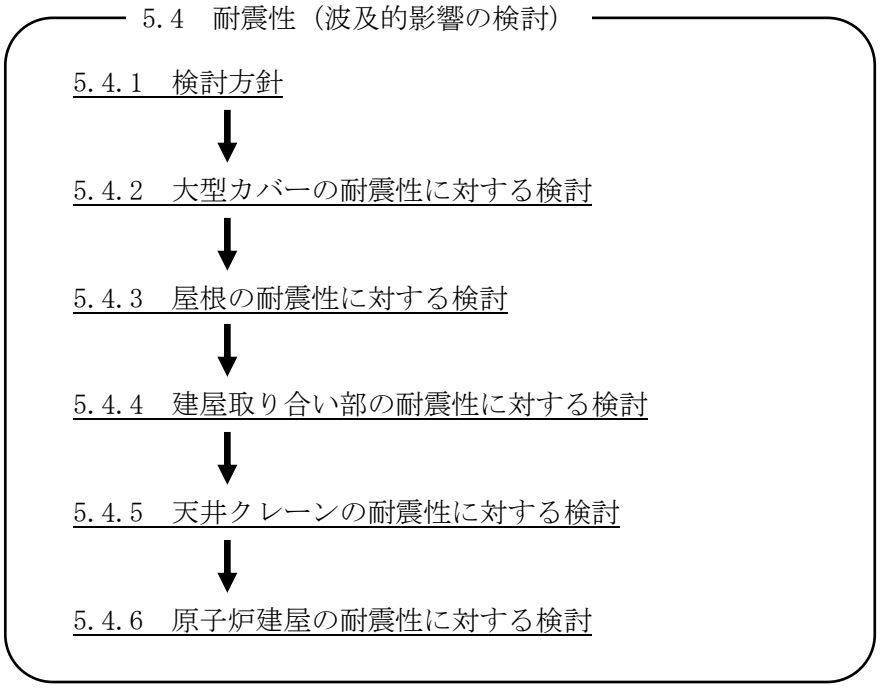

図 5.1.3-2　大型カバーの検討フロー

5.2　構造強度

5.2.1　設計方針

構造強度の検討は，大型カバー，屋根，建屋取り合い部，天井クレーン及び外装材について許容応力度設計を実施する。

(1)　使用材料及び許容応力度

使用材料の物性値及び許容応力度を表 5.2.1-1 に示す。

表 5.2.1-1　使用材料の物性値及び許容応力度

材料定数

部位	材料	ヤング係数 E (N/mm^2)	ポアソン比 ν	単位体積重量 γ (kN/m^3)
大型カバー	鉄骨	2.05×10^5	0.3	77.0
原子炉建屋	コンクリート	2.57×10^4*	0.2	24.0

*：実強度に基づく剛性

コンクリートの許容応力度　(単位：N/mm^2)

設計基準強度	長期			短期		
22.1	圧縮	引張	せん断	圧縮	引張	せん断
(225) *	7.4	－	0.71	14.8	－	1.07

*：建設時の設計基準強度（単位：kgf/cm^2）

鉄筋の許容応力度　(単位：N/mm^2)

記号	鉄筋径	長期		短期	
		引張及び圧縮	せん断補強	引張及び圧縮	せん断補強
SD345	D29 未満	215	195	345	345
	D29 以上	195			

構造用鋼材の許容応力度　(単位：N/mm^2)

板厚	材料	基準強度 F	許容応力度*3
T≦40mm	SS400, SN400B, STK400	235	建築基準法及び国土交通省告示に従い，左記 F の値より求める
T＞40mm	SN400B	215	
T≦40mm	SM490A, SN490B, STKN490B STK490, SNR490B	325	
T＞40mm	TMCP325B	325*1	
－	S45C	490*2	

*1：国土交通大臣指定書（国住指第 326-2, 平成 14 年 5 月 7 日又は国住指第 1208-2, 1209-2, 平成 15 年 7 月 31 日）による

*2：「JIS G 4051-2005」による

*3：終局強度は許容応力度を 1.1 倍とする

(2)　解析モデル

大型カバーの解析モデルは，原子炉建屋を質点系とし，一般部，燃料取扱設備支持部及び屋根部を構成する主要な鉄骨部材をモデル化した立体架構モデルとする。また，ガレキ撤去用天井クレーンもモデル化する。図 5.2.1-1 に立体解析モデルを示す。

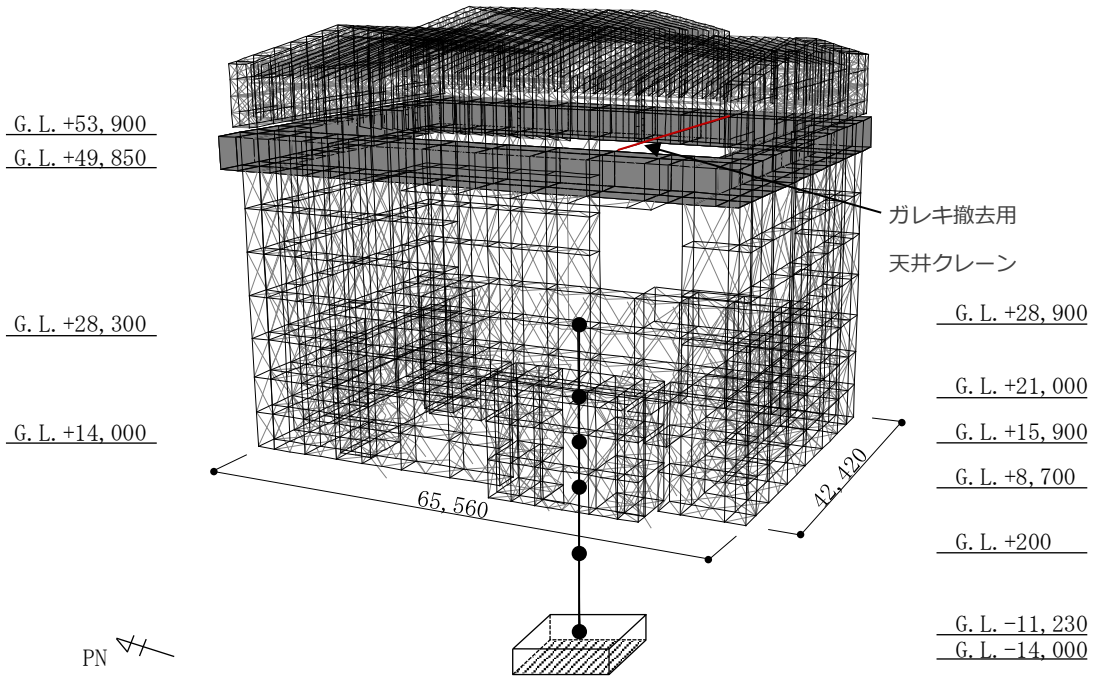

図 5.2.1-1　解析モデル

(3) 荷重及び荷重組合せ

設計で考慮する荷重を以下に示す。

1) 鉛直荷重（VL）

大型カバー及び原子炉建屋に作用する鉛直方向の荷重で，固定荷重，機器荷重，配管荷重及び積載荷重とする。主な鉛直荷重を表 5.2.1-2 及び表 5.2.1-3 に示す。

表 5.2.1-2 大型カバーに作用する主な鉛直荷重(kN)

	ガレキ撤去時	燃料取り出し時
屋根	3800	3800
外装材	5800	4360
遮蔽体	1050	6430
ガレキ撤去用天井クレーン	4200	4200
遠隔解体重機	2600	0
配管	500	830

表 5.2.1-3 原子炉建屋に作用する主な鉛直荷重(kN)

	ガレキ撤去時	燃料取り出し時
ガレキ	12130	0
機器等	4260	43540
遮蔽体	0	21110

2) 積雪荷重（SL）

積雪荷重は建築基準法施行令第 86 条及び福島県建築基準法施行規則細則に準拠し，以下の条件とする。

なお，国土交通省告示第594号による多雪区域以外の区域における積雪後の降雨を見込んだ割増係数を乗じた積雪荷重を考慮する。

積雪量：30cm，単位荷重：20N/m^2/cm

3) 風圧力（WL）

風圧力は建築基準法施行令第 87 条および建設省告示第 1454 号に基づき，基準風速を 30m/s，地表面粗度区分Ⅱとして算定する。速度圧の算定結果を表 5.2.1-4 に示す。

表 5.2.1-4 速度圧の算定結果

建物高さ* H(m)	平均風速の鉛直分布係数 Er	ガスト影響係数 Gf	建物高さと粗度区分による係数 E	基準風速 Vo(m/s)	速度圧 q(N/m^2)
66.2	1.32	2.00	3.51	30	1900

*：建物高さは，軒高さ（64.3m）と最高高さ（68.1m）の平均値とした

4)　地震荷重（K）

大型カバーに作用させる地震荷重は，G.L.+0.20m（原子炉建屋1階床）を基準面とした水平地震力の算定結果より設定する。水平地震力は下式より算定する。

$$Qi = n \cdot Ci \cdot Wi$$
$$Ci = Z \cdot Rt \cdot Ai \cdot Co$$

ここで，

Qi：層せん断力（kN）

n　：施設の重要度に応じた係数

建築基準法で定める地震力の1.5倍を考慮する。

なお，天井クレーンに関しては1.2倍を考慮する。

Ci：地震層せん断力係数

Wi：当該部分が支える重量（kN）

ここに，大型カバーの設計で考慮する原子炉建屋の全体重量は，ガレキ撤去の効果と大型カバー等を新規に設置する影響を考慮した。原子炉建屋の全体重量を表5.2.1-5に示す。

表5.2.1-5　原子炉建屋の全体重量(kN)

	ガレキ撤去時	燃料取り出し時
原子炉建屋の全体重量	701430	701430
ガレキ撤去による軽減重量	0	-12130
大型カバー設置等の付加重量	+82500	+143090
大型カバー設計用原子炉建屋全体重量	783930	832390

Z　：地震地域係数（Z=1.0）

Rt：振動特性係数（Rt=0.8）

Ai：地震層せん断力係数の高さ方向の分布係数で，原子炉建屋の固有値を用いたモーダル解析法（二乗和平方根法）により求める。

C_0：標準せん断力係数（C_0=0.2）

i層の水平震度kiは，下式によって算定する。

$$Pi=Q_i-Q_{i-1}$$
$$ki=P_i/w_i$$

ここで，

Pi：当該階とその直下階の水平地震荷重の差（kN）

wi：各階重量（kN）

算定した水平地震力を原子炉建屋，大型カバー一般部，燃料取扱設備支持部及び屋根の重量比に基づいて分配し，それぞれに作用させる水平地震力を算定する。屋根については各架構が構造

的に分離されていることから，大屋根，小屋根，妻壁の３種類に分けて水平地震力を算定する。なお，高さ方向に関しては，原子炉建屋の各階の高さと大型カバーの節点の高さが異なるため，高さ毎に区分けを行った上で重量比を計算する。図5.2.1-2に大型カバーに作用させる水平地震力の概要図を示す。

Pi_2=Pi×（i 層の大型カバー（一般部又は燃料取扱設備支持部）の重量／i 層の原子炉建屋及び大型カバーの重量）

Pi_2：当該階とその直下階の大型カバー（一般部又は燃料取扱設備支持部）に作用させる水平地震荷重の差（kN）

n=1.5 とした算定結果を表 5.2.1-6 及び表 5.2.1-7 に示し，n=1.2 とした算定結果を表 5.2.1-8 及び表 5.2.1-9 に示す。

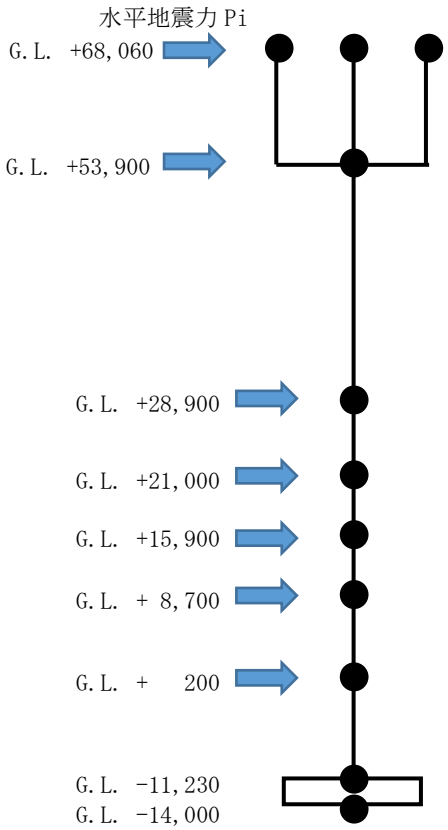

原子炉建屋と大型カバー集約質点系モデル

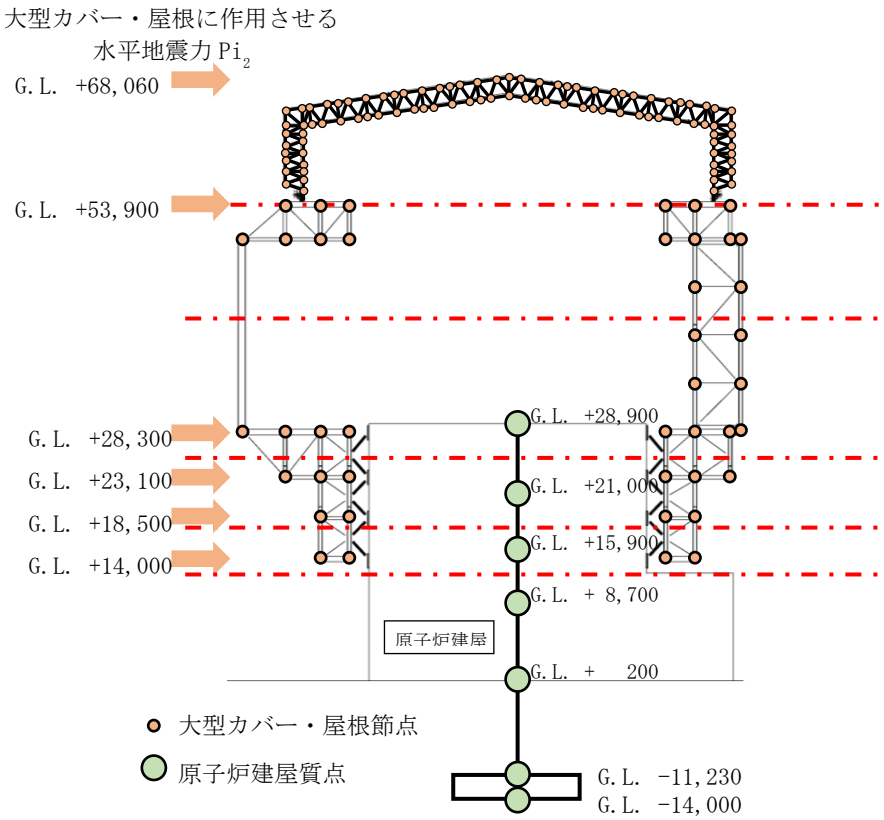

大型カバーの解析モデル

図 5.2.1-2　大型カバーの水平地震力の概要図（単位：mm）

表 5.2.1-6(1)　ガレキ撤去時の水平地震力の算定結果（大型カバー検討用）(NS 方向)

G.L.(m)		各階重量 wi(kN)	Wi (kN)	Ai	n・Ci	Qi (kN)	Pi (kN)	水平震度 ki
+68.06	大屋根	1800	—	5.473	1.314	—	2365	1.314
	小屋根	1400	—	5.283	1.268	—	1775	1.268
	妻壁	600	—	5.220	1.253	—	752	1.253
+68.06～+53.9		21050	3800	—	—	4892	20828	0.989
+53.9～+28.9		88990	24850	4.314	1.035	25720	11506	0.129
+28.9～+21.0		83750	113840	1.360	0.327	37226	18494	0.221
+21.0～+15.9		88690	197590	1.172	0.282	55720	18570	0.209
+15.9～+8.7		87240	286280	1.082	0.260	74290	15355	0.176
+8.7～+0.2		—	373520	1.000	0.240	89645	—	—

＊：n=1.5 とした算定結果を示す

表 5.2.1-6(2)　ガレキ撤去時の水平地震力の算定結果（大型カバー検討用）(EW 方向)

G.L.(m)		各階重量 wi(kN)	Wi (kN)	Ai	n・Ci	Qi (kN)	Pi (kN)	水平震度 ki
+68.06	大屋根	1800	—	6.617	1.589	—	2859	1.588
	小屋根	1400	—	7.115	1.707	—	2390	1.707
	妻壁	600	—	6.441	1.547	—	928	1.547
+68.06～+53.9		21050	3800	—	—	6177	20027	0.951
+53.9～+28.9		88990	24850	4.391	1.055	26204	13071	0.147
+28.9～+21.0		83750	113840	1.437	0.345	39275	17631	0.211
+21.0～+15.9		88690	197590	1.200	0.288	56906	17813	0.201
+15.9～+8.7		87240	286280	1.089	0.261	74719	14926	0.171
+8.7～+0.2		—	373520	1.000	0.240	89645	—	—

＊：n=1.5 とした算定結果を示す

表 5.2.1-6(3)　ガレキ撤去時の大型カバーの地震荷重の算定結果（大型カバー検討用）

(NS・EW 方向)

G.L.(m)		各階重量 wi(kN)	NS 方向			EW 方向		
			Pi (kN)	屋根 一般部 Pi_2(kN)	燃料取扱 設備支持部 Pi_2(kN)	Pi (kN)	屋根 一般部 Pi_2(kN)	燃料取扱 設備支持部 Pi_2(kN)
+68.06	大屋根	1800	2400	2400	—	2900	2900	—
	小屋根	1400	1800	1800	—	2400	2400	—
	妻壁	600	800	800	—	1000	1000	—
+53.9		21050	21000	21000	—	20100	20100	—
+28.3		88990	11900	3300	600	13500	3700	700
+23.1		83750	18600	1300	300	17900	1300	300
+18.5				1000	200		1000	200
		88690	18700			18000		
+14.0				1100	250		1100	250

＊：n=1.5 とした算定結果を示す

表 5.2.1-7(1)　燃料取り出し時の水平震度の算定結果（大型カバー検討用）(NS 方向)

G.L.(m)		各階重量 wi(kN)	Wi (kN)	Ai	n・Ci	Qi (kN)	Pi (kN)	水平震度 ki
+68.06	大屋根	1800	―	5.901	1.416	―	2549	1.416
	小屋根	1400	―	5.650	1.356	―	1898	1.356
	妻壁	600	―	5.602	1.344	―	806	1.343
+68.06～+53.9		20510	3800	―	―	5253	22023	1.074
+53.9～+28.9		137080	24310	4.678	1.122	27276	24530	0.179
+28.9～+21.0		83750	161390	1.338	0.321	51806	18427	0.220
+21.0～+15.9		88680	245140	1.191	0.287	70233	16894	0.191
+15.9～+8.7		87810	333820	1.090	0.261	87127	14064	0.160
+8.7～+0.2		―	421630	1.000	0.240	101191	―	―

＊：n=1.5 とした算定結果を示す

表 5.2.1-7(2)　燃料取り出し時の水平震度の算定結果（大型カバー検討用）(EW 方向)

G.L.(m)		各階重量 wi(kN)	Wi (kN)	Ai	n・Ci	Qi (kN)	Pi (kN)	水平震度 ki
+68.06	大屋根	1800	―	6.546	1.571	―	2827	1.571
	小屋根	1400	―	5.982	1.436	―	2010	1.436
	妻壁	600	―	5.788	1.389	―	833	1.388
+68.06～+53.9		20510	3800	―	―	5670	20402	0.995
+53.9～+28.9		137080	24310	4.466	1.073	26072	27429	0.200
+28.9～+21.0		83750	161390	1.384	0.332	53501	18202	0.217
+21.0～+15.9		88680	245140	1.216	0.293	71703	16425	0.185
+15.9～+8.7		87810	333820	1.099	0.264	88128	13063	0.149
+8.7～+0.2		―	421630	1.000	0.240	101191	―	―

＊：n=1.5 とした算定結果を示す

表 5.2.1-7(3)　燃料取り出し時の大型カバーの地震荷重の算定結果（大型カバー検討用）

(NS・EW 方向)

G.L.(m)		各階重量 wi(kN)	NS 方向			EW 方向		
			Pi (kN)	屋根 一般部 Pi_2(kN)	燃料取扱 設備支持部 Pi_2(kN)	Pi (kN)	屋根 一般部 Pi_2(kN)	燃料取扱 設備支持部 Pi_2(kN)
+68.06	大屋根	1800	2600	2600	－	2900	2900	－
	小屋根	1400	1900	1900	－	2100	2100	－
	妻壁	600	900	900	－	900	900	－
+53.9		20510	22300	22300	－	20600	20600	－
+28.3		137080	24800	4300	900	27600	4700	1000
+23.1		83750	18600	1300	300	18400	1300	300
+18.5				1000	200		1000	200
+14.0		88680	17200	1100	250	16700	1000	250

＊：n=1.5 とした算定結果を示す

表 5.2.1-8(1)　ガレキ撤去時の水平地震力の算定結果（天井クレーン検討用）(NS 方向)

G.L.(m)		各階重量 wi(kN)	Wi (kN)	Ai	n・Ci	Qi (kN)	Pi (kN)	水平震度 ki
+68.06	大屋根	1800	—	5.473	1.051	—	1892	1.051
	小屋根	1400	—	5.283	1.014	—	1420	1.014
	妻壁	600	—	5.220	1.002	—	601	1.002
+68.06～+53.9		21050	3800	—	—	3913	16663	0.792
+53.9～+28.9		88990	24850	4.314	0.828	20576	9205	0.103
+28.9～+21.0		83750	113840	1.360	0.262	29781	14795	0.177
+21.0～+15.9		88690	197590	1.172	0.226	44576	14856	0.168
+15.9～+8.7		87240	286280	1.082	0.208	59432	12284	0.141
+8.7～+0.2		—	373520	1.000	0.192	71716	—	—

＊：n=1.2 とした算定結果を示す

表 5.2.1-8(2)　ガレキ撤去時の水平地震力の算定結果（天井クレーン検討用）(EW 方向)

G.L.(m)		各階重量 wi(kN)	Wi (kN)	Ai	n・Ci	Qi (kN)	Pi (kN)	水平震度 ki
+68.06	大屋根	1800	—	6.617	1.271	—	2287	1.271
	小屋根	1400	—	7.115	1.366	—	1912	1.366
	妻壁	600	—	6.441	1.237	—	742	1.237
+68.06～+53.9		21050	3800	—	—	4941	16022	0.761
+53.9～+28.9		88990	24850	4.391	0.844	20963	10457	0.118
+28.9～+21.0		83750	113840	1.437	0.276	31420	14105	0.168
+21.0～+15.9		88690	197590	1.200	0.230	45525	14250	0.161
+15.9～+8.7		87240	286280	1.089	0.209	59775	11941	0.137
+8.7～+0.2		—	373520	1.000	0.192	71716	—	—

＊：n=1.2 とした算定結果を示す

表 5.2.1-8(3)　ガレキ撤去時の大型カバーの地震荷重の算定結果（天井クレーン検討用）

(NS・EW 方向)

G.L.(m)		各階重量 wi(kN)	NS 方向			EW 方向		
			Pi (kN)	屋根 一般部 Pi_2(kN)	燃料取扱 設備支持部 Pi_2(kN)	Pi (kN)	屋根 一般部 Pi_2(kN)	燃料取扱 設備支持部 Pi_2(kN)
+68.06	大屋根	1800	1900	1900	—	2300	2300	—
	小屋根	1400	1500	1500	—	2000	2000	—
	妻壁	600	700	700	—	800	800	—
+53.9		21050	16800	16800	—	16100	16100	—
+28.3		88990	9500	2600	500	10800	3000	500
+23.1		83750	14900	1100	200	14300	1100	200
+18.5				800	150		800	150
+14.0		88690	15100	1000	200	14400	900	200

＊：n=1.2 とした算定結果を示す

表 5.2.1-9(1)　燃料取り出し時の水平震度の算定結果（天井クレーン検討用）(NS 方向)

G.L.(m)		各階重量 wi(kN)	Wi (kN)	Ai	n・Ci	Qi (kN)	Pi (kN)	水平震度 ki
+68.06	大屋根	1800	—	5.901	1.133	—	2039	1.133
	小屋根	1400	—	5.650	1.085	—	1519	1.085
	妻壁	600	—	5.602	1.075	—	645	1.075
+68.06～+53.9		20510	3800	—	—	4203	17618	0.859
+53.9～+28.9		137080	24310	4.678	0.898	21821	19624	0.143
+28.9～+21.0		83750	161390	1.338	0.257	41445	14741	0.176
+21.0～+15.9		88680	245140	1.191	0.229	56186	13516	0.152
+15.9～+8.7		87810	333820	1.090	0.209	69702	11251	0.128
+8.7～+0.2		—	421630	1.000	0.192	80953	—	—

*：n=1.2 とした算定結果を示す

表 5.2.1-9(2)　燃料取り出し時の水平震度の算定結果（天井クレーン検討用）(EW 方向)

G.L.(m)		各階重量 wi(kN)	Wi (kN)	Ai	n・Ci	Qi (kN)	Pi (kN)	水平震度 ki
+68.06	大屋根	1800	—	6.546	1.256	—	2262	1.257
	小屋根	1400	—	5.982	1.148	—	1608	1.149
	妻壁	600	—	5.788	1.111	—	667	1.112
+68.06～+53.9		20510	3800	—	—	4537	16321	0.796
+53.9～+28.9		137080	24310	4.466	0.858	20858	21943	0.160
+28.9～+21.0		83750	161390	1.384	0.265	42801	14562	0.174
+21.0～+15.9		88680	245140	1.216	0.234	57363	13140	0.148
+15.9～+8.7		87810	333820	1.099	0.211	70503	10450	0.119
+8.7～+0.2		—	421630	1.000	0.192	80953	—	—

*：n=1.2 とした算定結果を示す

表 5.2.1-9(3)　燃料取り出し時の大型カバーの地震荷重の算定結果（天井クレーン検討用）

(NS・EW 方向)

G.L.(m)		各階重量 wi(kN)	NS 方向			EW 方向		
			Pi (kN)	屋根 一般部 Pi_2(kN)	燃料取扱 設備支持部 Pi_2(kN)	Pi (kN)	屋根 一般部 Pi_2(kN)	燃料取扱 設備支持部 Pi_2(kN)
+68.06	大屋根	1800	2100	2100	－	2300	2300	－
	小屋根	1400	1600	1600	－	1700	1700	－
	妻壁	600	700	700	－	700	700	－
+53.9		20510	17700	17700	－	16400	16400	－
+28.3		137080	20000	3500	800	22200	3900	800
+23.1		83750	14900	1100	200	14700	1100	200
+18.5				800	150		800	150
+14.0		88680	13800	900	200	13400	900	200

＊：n=1.2 とした算定結果を示す

5)　荷重組合せ

設計で考慮する荷重組合せを表 5.2.1-10 に示す。また，ガレキ撤去時におけるガレキ撤去用天井クレーンの位置を図 5.2.1-3 に，燃料取り出し時における燃料取扱設備の位置を図 5.2.1-4 に示す。なお，燃料取り出し時にはガレキ撤去用天井クレーンの位置は北側とする。

表 5.2.1-10　荷重組合せ

想定する状態	荷重ケース*1	荷重組合せ内容	許容応力度
常時	C	VL	長期
積雪時*2	S	VL+SL	短期
暴風時*2	W	VL+WL	
地震時	E1	VL+K(+NS)	
	E2	VL+K(-NS)	
	E3	VL+K(+EW)	
	E4	VL+K(-EW)	

*1：ガレキ撤去時は case1 及び case2，燃料取り出し時は case3 及び case4 の状態とする。
*2：短期事象では地震時が支配的であることから，積雪時及び暴風時の検討は省略する。ただし，外装材の検討は暴風時が支配的であることから暴風時に対して検討を行う。

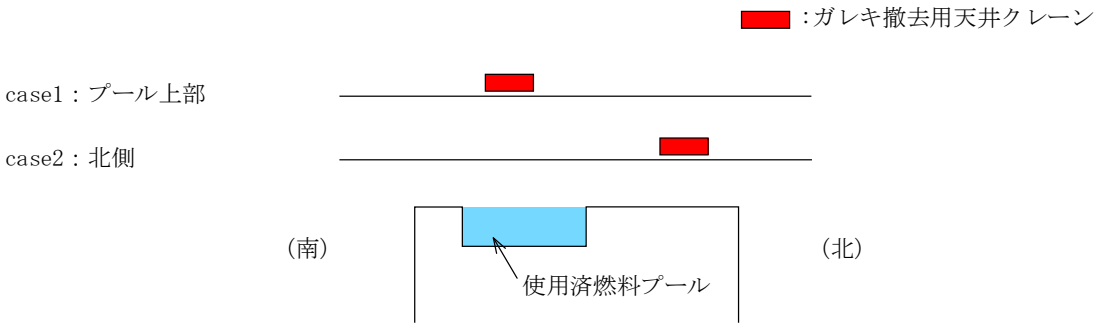

図 5.2.1-3　ガレキ撤去用天井クレーンの位置

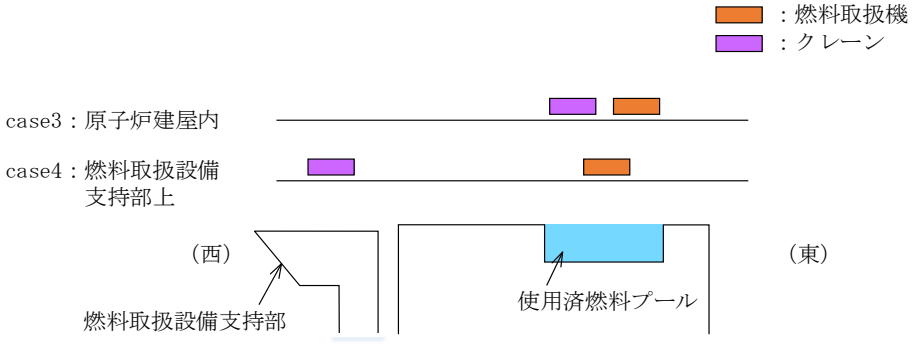

※：原子炉建屋オペレーティングフロア上で，燃料取扱機及びクレーンを用い燃料をキャスクに入れる。その後，クレーンを用いキャスクを燃料取扱設備支持部に移動させ地上に下ろす。従って，燃料取扱機とクレーンの両方が原子炉建屋内にいるケースと燃料取扱機が原子炉建屋内，クレーンが燃料取扱設備支持部上にいるケースの 2 ケースとなる。
※：燃料取り出し時のガレキ撤去用天井クレーン位置は北側とする。

図 5.2.1-4　燃料取扱設備の位置

地震時と暴風時の大型カバーの層せん断力について，風荷重の受圧面積が大きい EW 方向で比較した結果を図 5.2.1-5 に示す。図 5.2.1-5 より，地震時の層せん断力は暴風時の層せん断力を包絡しており，支配的な荷重である。

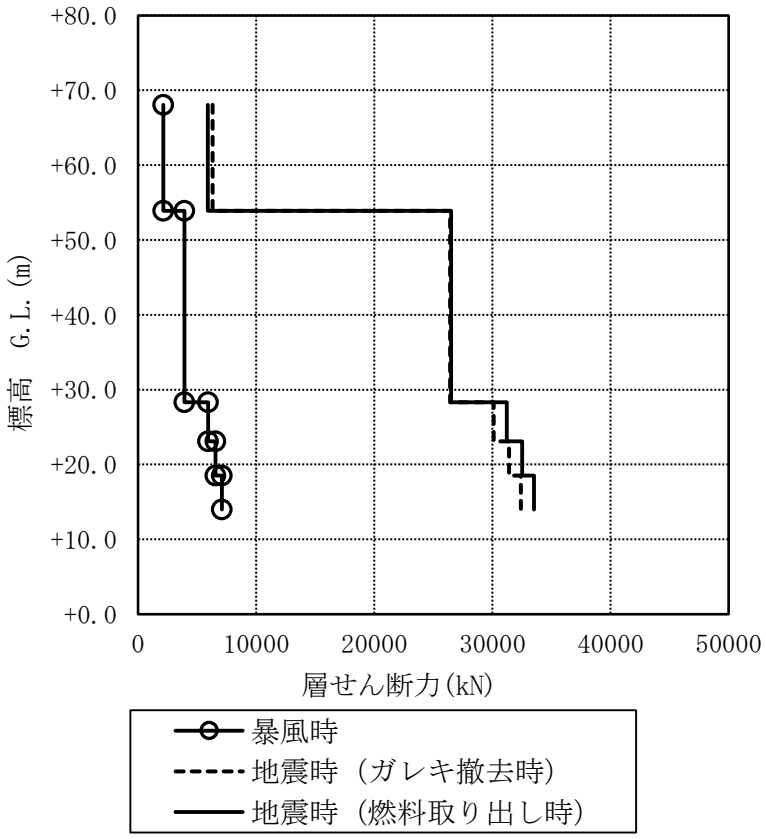

図 5.2.1-5　地震時と暴風時の層せん断力の比較（EW 方向）

5.2.2　大型カバーの構造強度に対する検討

(1)　断面検討

1)　柱，梁，水平・鉛直ブレース

部材の応力度比は，「鋼構造設計規準」に従い，軸力に対して下式にて検討を行う。

・軸圧縮の場合　　$\frac{\sigma_c}{f_c} \leqq 1$

・軸引張の場合　　$\frac{\sigma_t}{f_t} \leqq 1$

ここで，　σ_c　：圧縮応力度（N/A）(N/mm^2)

σ_t　：引張応力度（T/A）(N/mm^2)

N：圧縮力(N)，T：引張力(N)，A：断面積(mm^2)

f_c　：許容圧縮応力度(N/mm^2)

f_t　：許容引張応力度(N/mm^2)

2)　大型カバー頂部鋼板部

応力度比の検討は，「鋼構造設計規準」に従い，面内力に対し下式にて検討を行う。

・組合せ応力の場合　$\frac{{\sigma_x}^2+{\sigma_y}^2-\sigma_x\cdot\sigma_y+3{\tau_{xy}}^2}{{f_t}^2} \leqq 1$

ここで，　σ_x　：X 方向圧縮応力度（Nx/A）(N/mm^2)

σ_y　：Y 方向圧縮応力度（Ny/A）(N/mm^2)

Nx：X 方向面内力(N)，Ny：Y 方向面内力(N)，A：断面積(mm^2)

τ_{xy}　：せん断応力度（Nxy/As）(N/mm^2)

Nxy：面内せん断力(N)，As：せん断断面積(mm^2)

f_t　：許容引張応力度(N/mm^2)

3)　ガレキ撤去時

表 5.2.2-1 及び表 5.2.2-2 に応力度比が最大となる部位の断面検討結果を示す。

断面検討の結果，全ての部材に対する応力度比が 1 以下になることを確認した。

表 5.2.2-1(1)　断面検討結果（一般部，常時）上部架構

部位*1		部材形状（mm） 〈使用材料*2〉	荷重 ケース (位置) *3	作用 応力度 (N/mm²)		許容 応力度 (N/mm²)		応力 度比	判定
①	柱	H-400×400×13×21	C (case1)	σ_c	96.1	f_c	170.9	0.57	O.K.
②	梁	B[-300×220×16×25	C (case1)	σ_t	47.8	f_t	216.6	0.23	O.K.
③	鉛直 ブレース	φ-267.4×6.6	C (case2)	σ_c	61.6	f_c	173.0	0.36	O.K.
④	鋼板	PL-16 〈SN400B〉	C (case1)	σ_x	1.9	f_t	156.0	0.31	O.K.
				σ_y	4.1				
				τ_{xy}	27.2				

表 5.2.2-1(2)　断面検討結果（一般部，常時）下部架構

部位*1		部材形状（mm） 〈使用材料*2〉	荷重 ケース (位置) *3	作用 応力度 (N/mm²)		許容 応力度 (N/mm²)		応力 度比	判定
⑤	柱	H-400×400×13×21	C (case2)	σ_c	102.4	f_c	202.7	0.51	O.K.
⑥	梁	H-588×300×12×20	C (case1)	σ_c	52.9	f_c	201.1	0.27	O.K.
⑦	鉛直 ブレース	φ-267.4×6.6	C (case1)	σ_c	153.7	f_c	203.0	0.76	O.K.
⑧	接続部 水平ブレース	十字 PL（PL-28×210 +2PL-28×91）	C (case1)	σ_c	110.8	f_c	187.5	0.60	O.K.
⑨	接続部 鉛直ブレース	十字 PL（PL-28×210 +2PL-28×91）	C (case2)	σ_c	123.6	f_c	197.7	0.63	O.K.

表 5.2.2-1(3)　断面検討結果（燃料取扱設備支持部，常時）

部位[*1]		部材形状（mm） 〈使用材料[*2]〉	荷重 ケース (位置)[*3]	作用 応力度 (N/mm^2)		許容 応力度 (N/mm^2)		応力 度比	判定
⑩	柱	H-400×400×13×21	C (case1)	σ_c	15.1	f_c	183.1	0.09	O.K.
⑪	梁	H-800×300×14×26	C (case1)	σ_c	20.3	f_c	175.8	0.12	O.K.
⑫	水平 ブレース	十字 PL (PL-28×210 +2PL-28×91)	C (case1)	σ_t	40.8	f_t	216.6	0.19	O.K.
⑬	鉛直 ブレース	φ-355.6×7.9	C (case1)	σ_c	58.7	f_c	207.7	0.29	O.K.

*1：①～⑬の符号は図 5.2.2-1 の応力検討箇所を示す

*2：各部材の使用材料は，特記なき限り，鋼管：STKN490B，その他 SN490B

*3：図 5.2.1-3 にガレキ撤去用天井クレーンの位置を示す

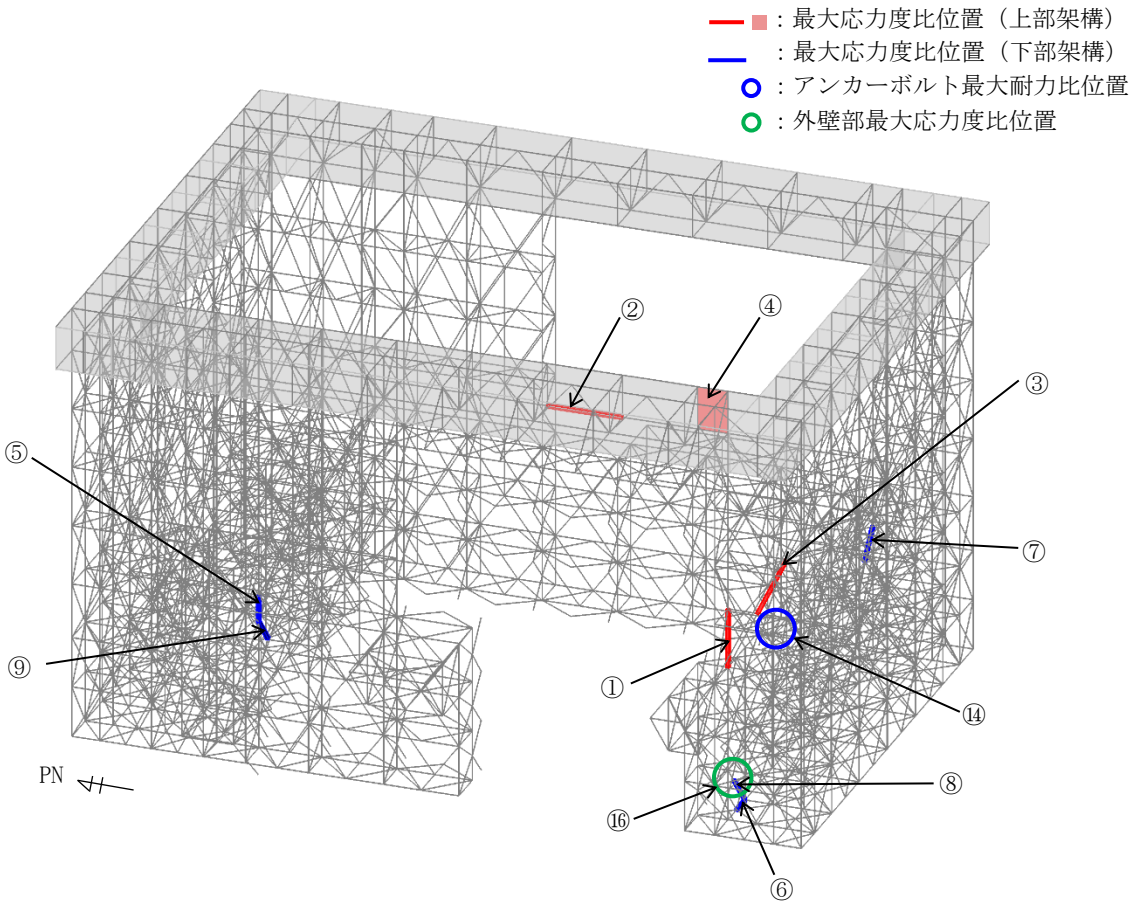

図 5.2.2-1(1)　最大応力度比位置図(一般部，常時)

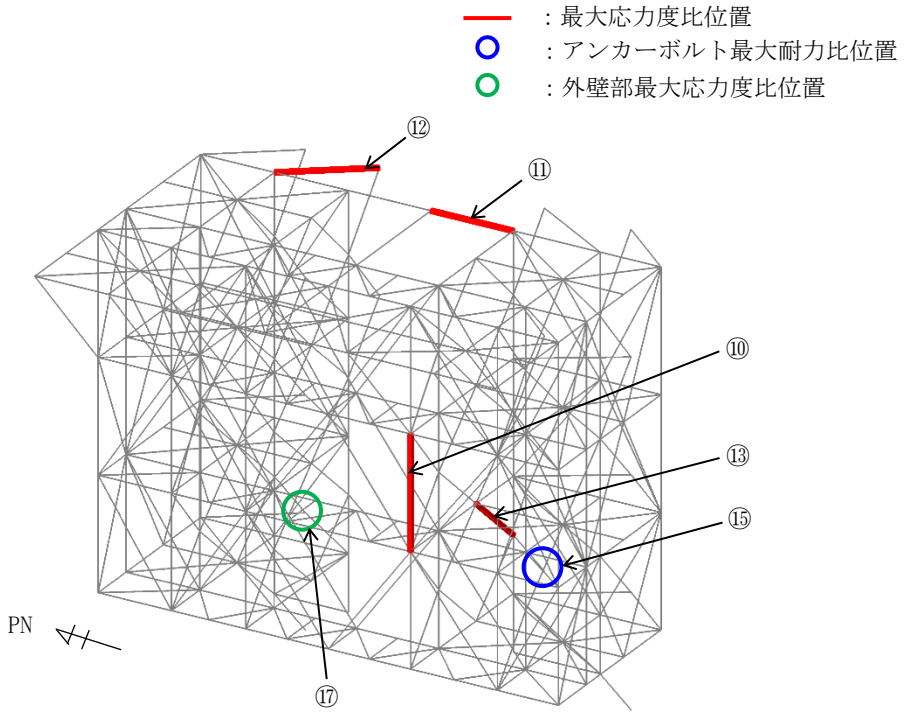

図 5.2.2-1(2)　最大応力度比位置図(燃料取扱設備支持部，常時)

表 5.2.2-2(1)　断面検討結果（一般部，地震時）上部架構

部位*1		部材形状（mm） 〈使用材料*2〉	荷重 ケース (位置)*3	作用 応力度 (N/mm²)		許容 応力度 (N/mm²)		応力 度比	判定
①	柱	H-400×400×13×21	E4 (case1)	σ_c	142.0	f_c	256.4	0.56	O.K.
②	梁	B[-300×220×16×25	E1 (case1)	σ_c	85.4	f_c	269.9	0.32	O.K.
③	鉛直 ブレース	φ-355.6×9.5	E1 (case1)	σ_c	259.5	f_c	282.0	0.93	O.K.
④	鋼板	PL-16 〈SN400B〉	E2 (case1)	σ_x	1.9	f_t	235.0	0.35	O.K.
				σ_y	9.2				
				τ_{xy}	46.9				

表 5.2.2-2(2)　断面検討結果（一般部，地震時）下部架構

部位*1		部材形状（mm） 〈使用材料*2〉	荷重 ケース (位置)*3	作用 応力度 (N/mm²)		許容 応力度 (N/mm²)		応力 度比	判定
⑤	柱	H-400×400×13×21	E1 (case2)	σ_c	179.6	f_c	304.1	0.60	O.K.
⑥	梁	H-588×300×12×20	E4 (case1)	σ_c	136.9	f_c	301.6	0.46	O.K.
⑦	鉛直 ブレース	φ-267.4×6.6	E1 (case2)	σ_t	301.3	f_t	325.0	0.93	O.K.
⑧	接続部 水平ブレース	十字 PL（PL-28×210 +2PL-28×91）	E4 (case2)	σ_t	306.2	f_t	325.0	0.95	O.K.
⑨	接続部 鉛直ブレース	十字 PL（PL-28×210 +2PL-28×91）	E1 (case2)	σ_c	266.8	f_c	297.4	0.90	O.K.

表 5.2.2-2(3)　断面検討結果（燃料取扱設備支持部，地震時）

部位*1		部材形状（mm） 〈使用材料*2〉	荷重 ケース (位置)*3	作用 応力度 (N/mm^2)		許容 応力度 (N/mm^2)		応力 度比	判定
⑩	柱	H-400×400×13×21	E4 (case1)	σ_c	15.9	f_c	274.7	0.06	O.K.
⑪	梁	H-800×300×14×26	E4 (case1)	σ_c	23.5	f_c	263.7	0.09	O.K.
⑫	水平 ブレース	十字 PL (PL-28×210 +2PL-28×91)	E1 (case1)	σ_t	56.0	f_t	325.0	0.18	O.K.
⑬	鉛直 ブレース	ϕ-355.6×7.9	E1 (case1)	σ_c	68.4	f_c	311.5	0.22	O.K.

*1：①～⑬の符号は図 5.2.2-2 の応力検討箇所を示す

*2：各部材の使用材料は，特記なき限り，鋼管：STKN490B，その他 SN490B

*3：図 5.2.1-3 にガレキ撤去用天井クレーンの位置を示す

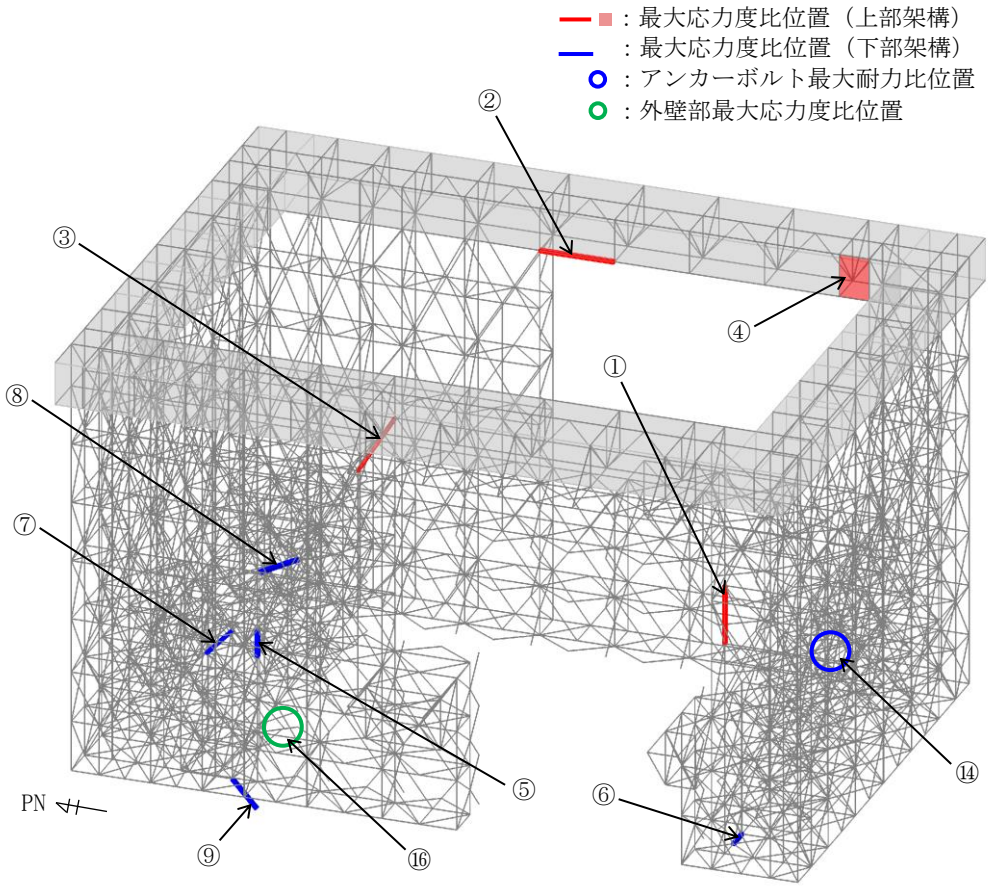

図 5.2.2-2(1)　最大応力度比位置図(一般部，地震時)

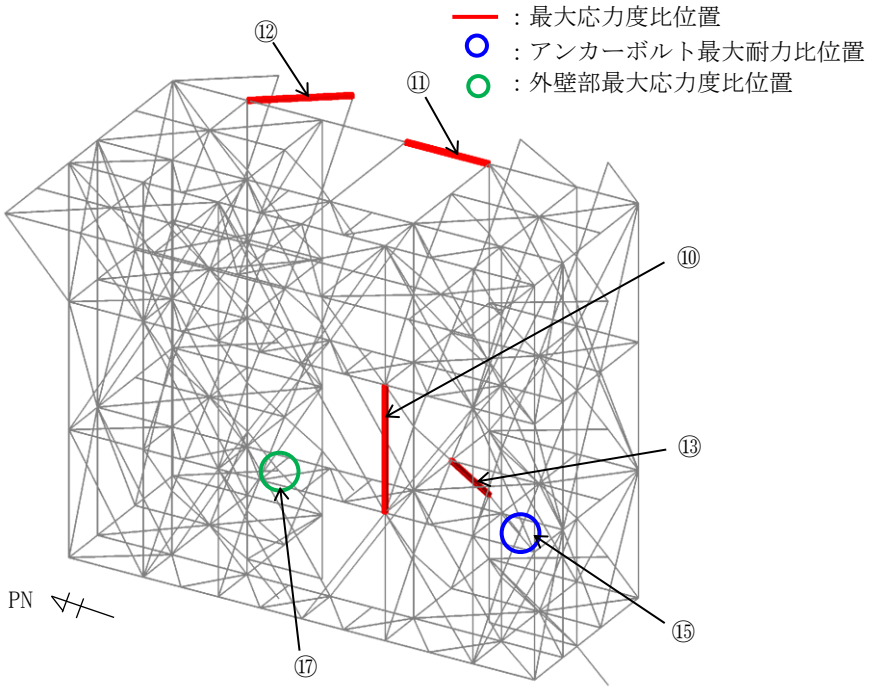

図 5.2.2-2(2)　最大応力度比位置図(燃料取扱設備支持部，地震時)

4) 燃料取り出し時

表 5.2.2-3 及び表 5.2.2-4 に応力度比が最大となる部位の断面検討結果を示す。

断面検討の結果，全ての部材に対する応力度比が 1 以下になることを確認した。

表 5.2.2-3(1) 断面検討結果（一般部，常時）上部架構

部位*1		部材形状（mm）<使用材料*2>	荷重ケース(位置)*3	作用応力度 (N/mm²)		許容応力度 (N/mm²)		応力度比	判定
①	柱	H-400×400×13×21	C (case4)	σ_c	68.8	f_c	170.9	0.41	O.K.
②	梁	B[-300×220×16×25	C (case4)	σ_c	17.9	f_c	179.9	0.10	O.K.
③	鉛直ブレース	φ-267.4×6.6	C (case4)	σ_c	57.0	f_c	173.0	0.33	O.K.
④	鋼板	PL-16 <SN400B>	C (case4)	σ_x	0.0	f_t	156.0	0.17	O.K.
				σ_y	9.5				
				τ_{xy}	13.8				

表 5.2.2-3(2) 断面検討結果（一般部，常時）下部架構

部位*1		部材形状（mm）<使用材料*2>	荷重ケース(位置)*3	作用応力度 (N/mm²)		許容応力度 (N/mm²)		応力度比	判定
⑤	柱	H-400×400×13×21	C (case4)	σ_c	93.1	f_c	202.7	0.46	O.K.
⑥	梁	H-350×350×12×19	C (case4)	σ_c	49.5	f_c	183.8	0.27	O.K.
⑦	鉛直ブレース	φ-267.4×6.6	C (case4)	σ_c	122.8	f_c	196.2	0.63	O.K.
⑧	接続部水平ブレース	十字 PL（PL-28×210 +2PL-28×91）	C (case4)	σ_c	90.1	f_c	187.5	0.49	O.K.
⑨	接続部鉛直ブレース	十字 PL（PL-28×210 +2PL-28×91）	C (case4)	σ_c	112.4	f_c	197.7	0.57	O.K.

表 5.2.2-3(3)　断面検討結果（燃料取扱設備支持部，常時）

部位*1		部材形状（mm） 〈使用材料*2〉	荷重 ケース (位置)*3	作用 応力度 (N/mm^2)		許容 応力度 (N/mm^2)		応力 度比	判定
⑩	柱	H-400×400×13×21	C (case4)	σ_c	34.7	f_c	202.7	0.18	O.K.
⑪	梁	H-350×350×12×19	C (case4)	σ_c	29.1	f_c	201.5	0.15	O.K.
⑫	水平 ブレース	十字 PL (PL-28×210 +2PL-28×91)	C (case4)	σ_t	42.9	f_t	216.6	0.20	O.K.
⑬	鉛直 ブレース	φ-355.6×7.9	C (case4)	σ_c	93.6	f_c	207.7	0.46	O.K.

*1：①～⑬の符号は図 5.2.2-3 の応力検討箇所を示す

*2：各部材の使用材料は，特記なき限り，鋼管：STKN490B，その他 SN490B

*3：図 5.2.1-4 に燃料取扱設備の位置を示す

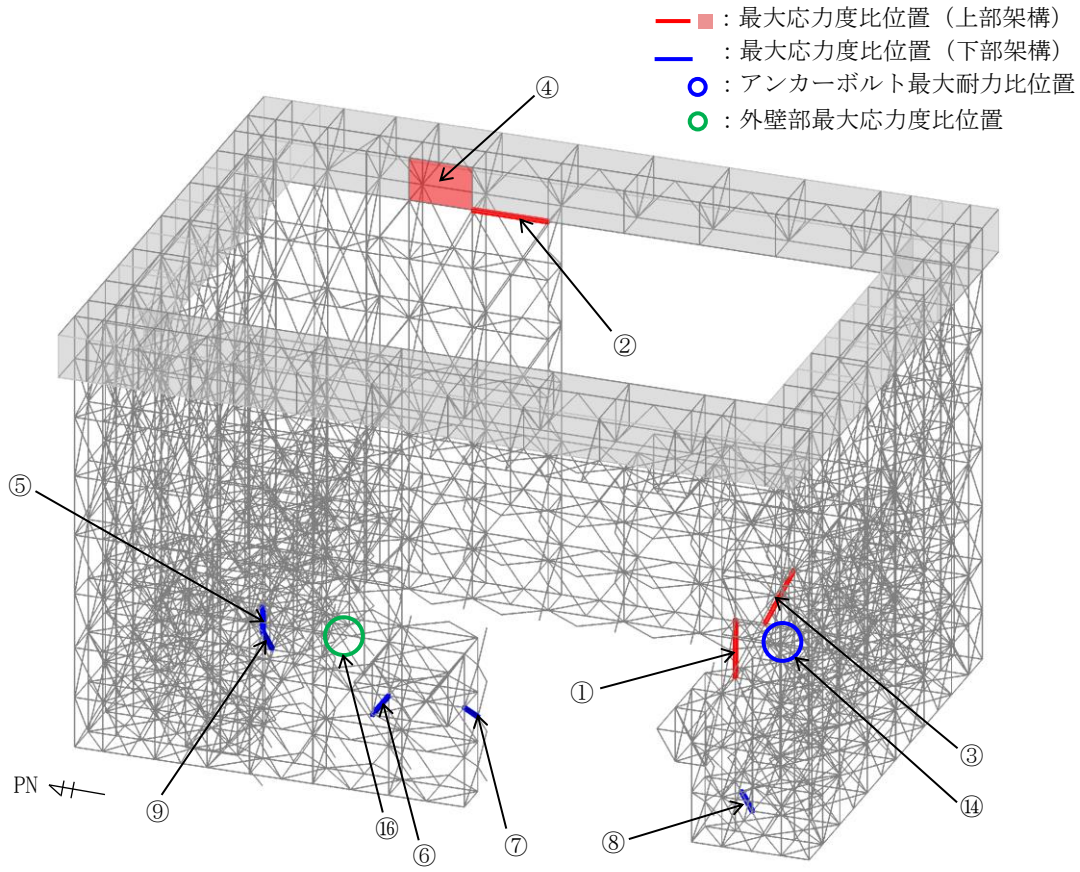

図 5.2.2-3(1)　最大応力度比位置図(一般部，常時)

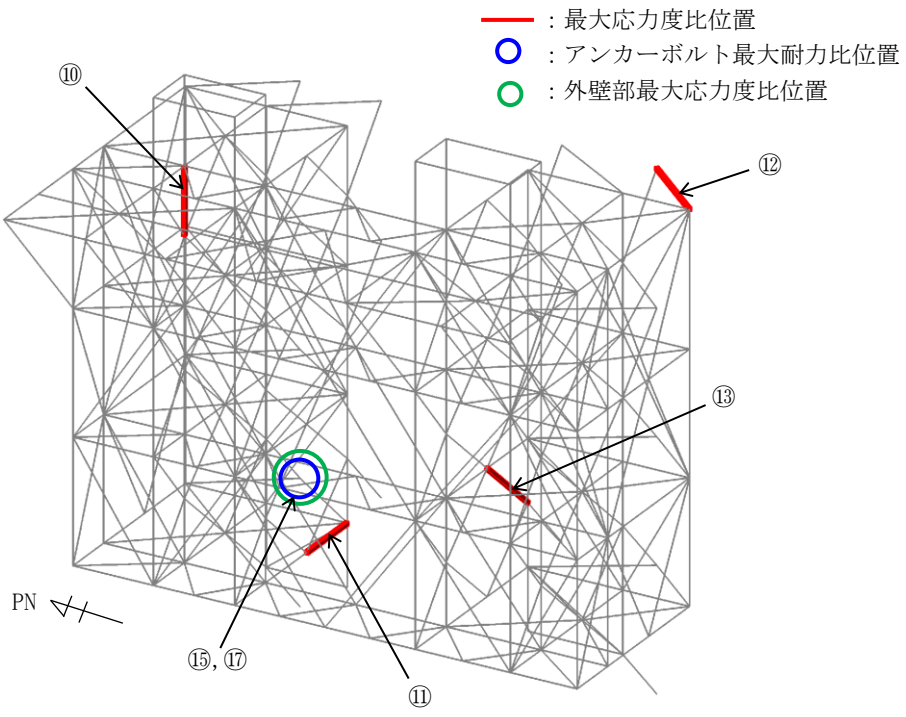

図 5.2.2-3(2)　最大応力度比位置図(燃料取扱設備支持部，常時)

表 5.2.2-4(1)　断面検討結果（一般部，地震時）上部架構

部位*1		部材形状（mm） 〈使用材料*2〉	荷重 ケース (位置)*3	作用 応力度 (N/mm²)		許容 応力度 (N/mm²)		応力 度比	判定
①	柱	H-400×400×13×21	E2 (case4)	σ_c	136.8	f_c	256.4	0.54	O.K.
②	梁	B[-300×220×16×25	E1 (case4)	σ_c	67.5	f_c	269.9	0.26	O.K.
③	鉛直 ブレース	φ-355.6×9.5	E1 (case4)	σ_c	245.5	f_c	282.0	0.88	O.K.
④	鋼板	PL-16 〈SN400B〉	E4 (case4)	σ_x	28.0	f_t	235.0	0.33	O.K.
				σ_y	9.1				
				τ_{xy}	41.6				

表 5.2.2-4(2)　断面検討結果（一般部，地震時）下部架構

部位*1		部材形状（mm） 〈使用材料*2〉	荷重 ケース (位置)*3	作用 応力度 (N/mm²)		許容 応力度 (N/mm²)		応力 度比	判定
⑤	柱	H-400×400×13×21	E1 (case4)	σ_c	176.0	f_c	304.1	0.58	O.K.
⑥	梁	H-588×300×12×20	E1 (case4)	σ_t	138.0	f_t	325.0	0.43	O.K.
⑦	鉛直 ブレース	φ-267.4×6.6	E1 (case4)	σ_t	298.9	f_t	325.0	0.92	O.K.
⑧	接続部 水平ブレース	十字 PL (PL-28×210 +2PL-28×91)	E4 (case4)	σ_t	298.8	f_t	325.0	0.92	O.K.
⑨	接続部 鉛直ブレース	十字 PL (PL-28×210 +2PL-28×91)	E2 (case4)	σ_c	269.3	f_c	296.6	0.91	O.K.

表 5.2.2-4(3)　断面検討結果（燃料取扱設備支持部，地震時）

部位*1		部材形状（mm） 〈使用材料*2〉	荷重 ケース (位置)*3	作用 応力度 (N/mm^2)		許容 応力度 (N/mm^2)		応力 度比	判定
⑩	柱	H-400×400×13×21	E4 (case4)	σ_c	33.0	f_c	274.7	0.13	O.K.
⑪	梁	H-350×350×12×19	E1 (case4)	σ_c	38.7	f_c	302.3	0.13	O.K.
⑫	水平 ブレース	十字 PL (PL-28×210 +2PL-28×91)	E1 (case4)	σ_t	60.6	f_t	325.0	0.19	O.K.
⑬	鉛直 ブレース	φ-355.6×7.9	E1 (case4)	σ_c	106.1	f_c	311.5	0.35	O.K.

*1：①～⑬の符号は図 5.2.2-4 の応力検討箇所を示す

*2：各部材の使用材料は，特記なき限り，鋼管：STKN490B，その他 SN490B

*3：図 5.2.1-4 に燃料取扱設備の位置を示す

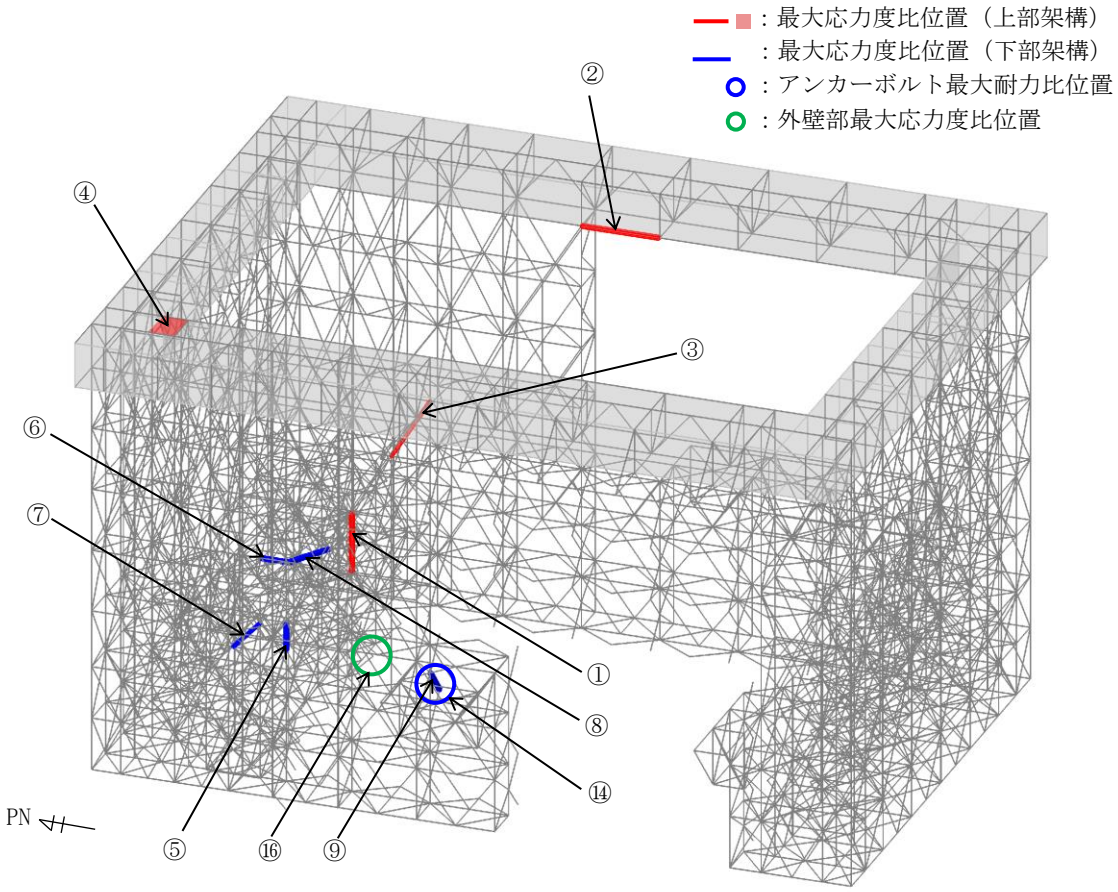

図 5.2.2-4(1)　最大応力度比位置図(一般部，地震時)

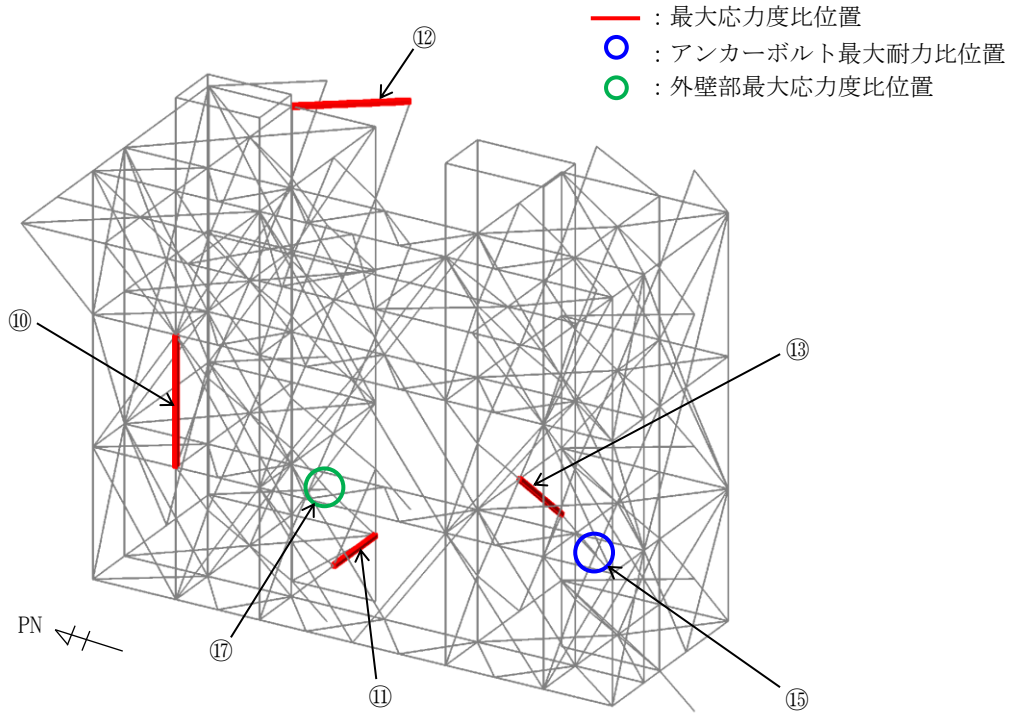

図 5.2.2-4(2)　最大応力度比位置図(燃料取扱設備支持部，地震時)

5.2.3　屋根の構造強度に対する検討

(1)　断面検討

1)　弦材，斜材，ブレース

部材の応力度比は，「鋼構造設計規準」に従い，下記にて検討を行う。

・軸圧縮の場合　　$\frac{\sigma_c}{f_c} \leqq 1$

・軸引張の場合　　$\frac{\sigma_t}{f_t} \leqq 1$

ここで，　σ_c ：圧縮応力度（N/A）（N/mm^2）

σ_t ：引張応力度（T/A）（N/mm^2）

N：圧縮力(N)，T：引張力(N)，A：断面積(mm^2)

f_c ：許容圧縮応力度(N/mm^2)

f_t ：許容引張応力度(N/mm^2)

2)　検討結果

表 5.2.3-1 に応力度比が最大となる部位の断面検討結果を示す。

断面検討の結果，全ての部材に対する応力度比が 1 以下になることを確認した。

表 5.2.3-1(1)　断面検討結果（常時，ガレキ撤去時）

部位*1		部材形状 (mm)	荷重 ケース (位置)*2	作用 応力度 (N/mm²)		許容 応力度 (N/mm²)		応力 度比	判定
①	弦材	P-216.3φ×7.0t <STK490>	C (case1)	σ_c	48.2	f_c	213.1	0.23	O.K.
②	斜材	P-89.1φ×3.2t <STK400>	C (case1)	σ_t	42.3	f_t	156.7	0.27	O.K.
③	ブレース	1-M30 <SNR490B>	C (case1)	σ_t	107.7	f_t	216.7	0.50	O.K.

*1：①～③の符号は図 5.2.3-1 の応力検討箇所を示す

*2：図 5.2.1-3 にガレキ撤去用天井クレーンの位置を示す

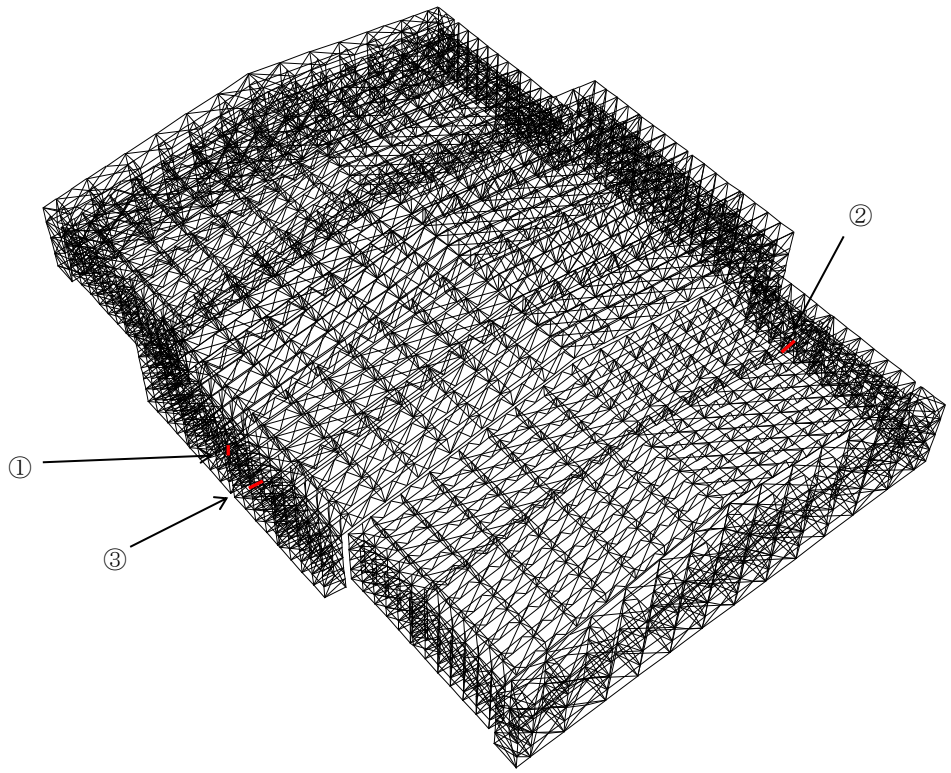

図 5.2.3-1　最大応力度比位置図

表 5.2.3-1(2)　断面検討結果（常時，燃料取り出し時）

部位*1		部材形状 (mm)	荷重 ケース (位置)*2	作用 応力度 (N/mm²)		許容 応力度 (N/mm²)		応力 度比	判定
①	弦材	P-216.3φ×6.0t <STK490>	C (case4)	σ_c	23.4	f_c	214.1	0.11	O.K.
②	斜材	P-89.1φ×3.2t <STK400>	C (case4)	σ_t	32.6	f_t	156.7	0.21	O.K.
③	ブレース	1-M27 <SNR490B>	C (case4)	σ_t	75.0	f_t	216.7	0.35	O.K.

*1：①～③の符号は図 5.2.3-2 の応力検討箇所を示す

*2：図 5.2.1-4 に燃料取扱設備の位置を示す

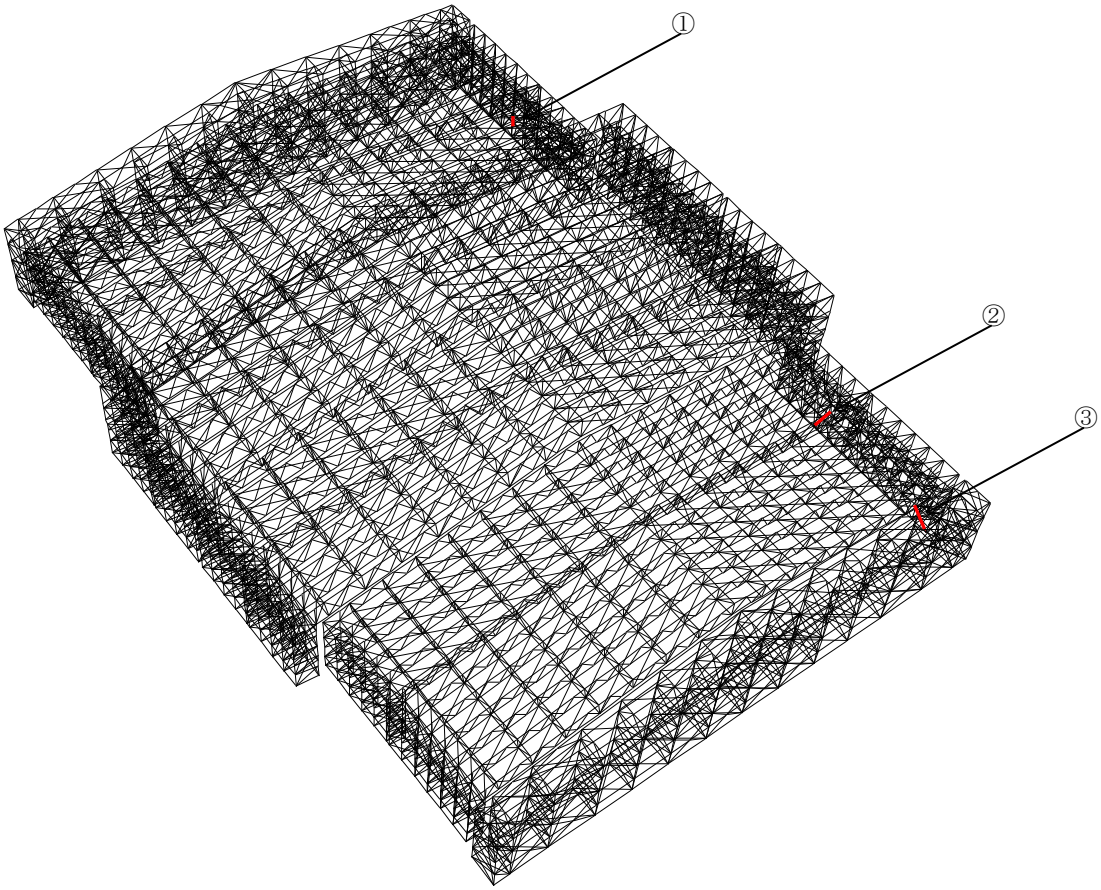

図 5.2.3-2　最大応力度比位置図

表 5.2.3-1(3)　断面検討結果（地震時,ガレキ撤去時）

部位*1		部材形状 (mm)	荷重ケース (位置)*2	作用応力度 (N/mm²)		許容応力度 (N/mm²)		応力度比	判定
①	弦材	P-216.3φ×7.0t <STK490>	E2 (case1)	σ_c	99.2	f_c	319.7	0.32	O.K.
②	斜材	P-89.1φ×3.2t <STK400>	E3 (case2)	σ_t	159.2	f_t	235.0	0.68	O.K.
③	ブレース	1-M27 <SNR490B>	E1 (case1)	σ_t	299.7	f_t	325.0	0.93	O.K.

*1：①～③の符号は図 5.2.3-3 の応力検討箇所を示す

*2：図 5.2.1-3 にガレキ撤去用天井クレーンの位置を示す

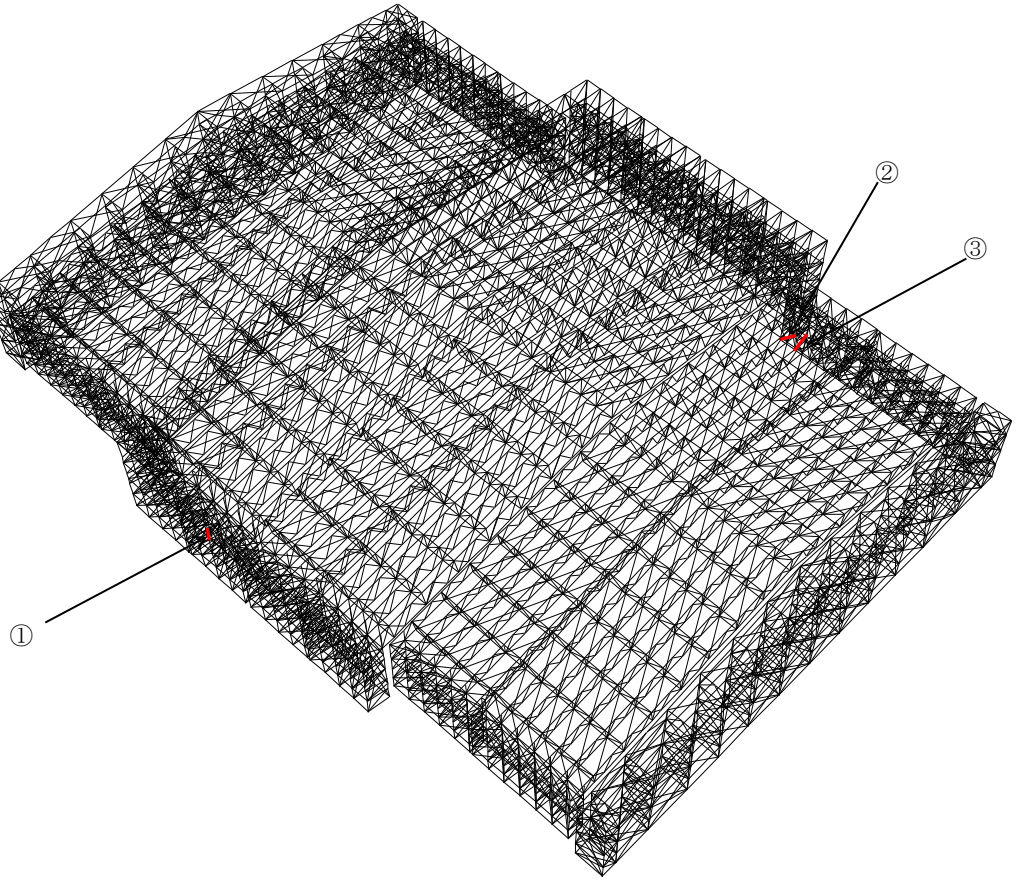

図 5.2.3-3　最大応力度比位置図

表 5.2.3-1(4)　断面検討結果（地震時,燃料取り出し時）

部位*1		部材形状 (mm)	荷重ケース (位置)*2	作用応力度 (N/mm²)		許容応力度 (N/mm²)		応力度比	判定
①	弦材	P-216.3φ×7.0t <STK490>	E2 (case4)	σ_t	81.6	f_t	325.0	0.26	O.K.
②	斜材	P-89.1φ×3.2t <STK400>	E3 (case4)	σ_t	154.2	f_t	235.0	0.66	O.K.
③	ブレース	1-M30 <SNR490B>	E1 (case4)	σ_t	261.0	f_t	325.0	0.81	O.K.

*1：①～③の符号は図 5.2.3-4 の応力検討箇所を示す

*2：図 5.2.1-4 に燃料取扱設備の位置を示す

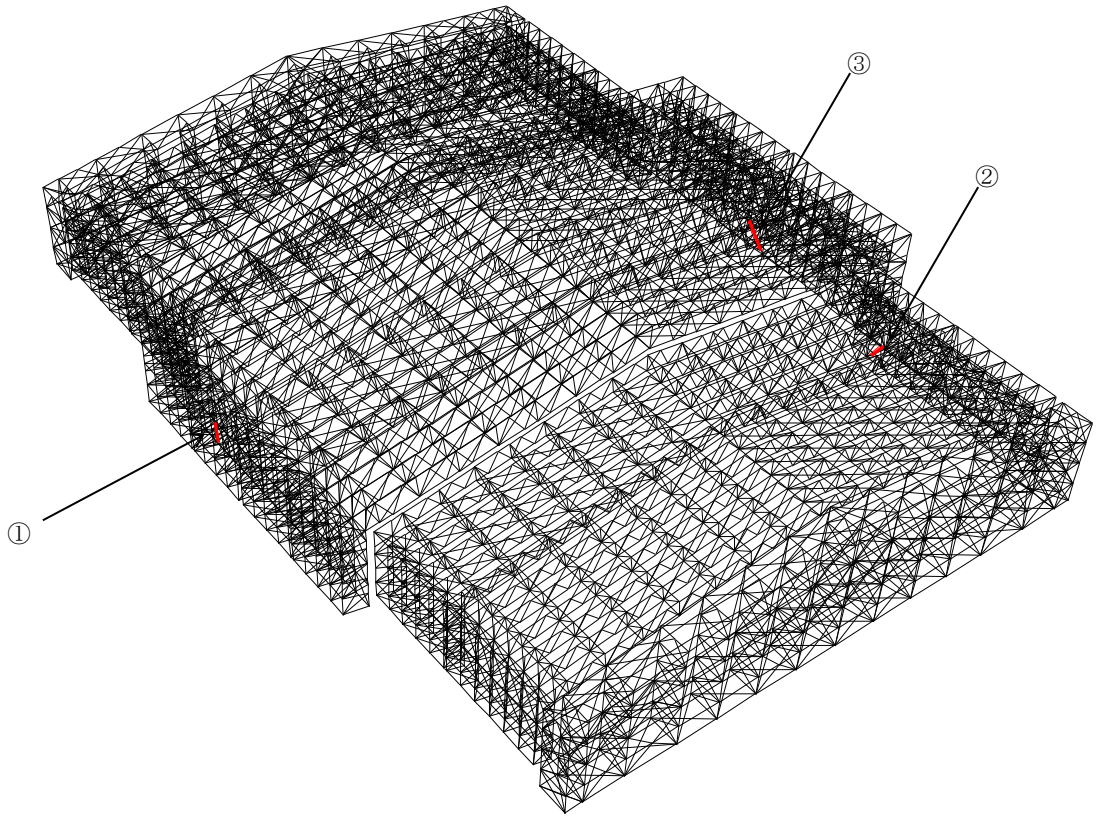

図 5.2.3-4　最大応力度比位置図

5.2.4　建屋取り合い部の構造強度に対する検討

(1)　アンカーボルトの検討（引抜き，せん断）

大型カバーはアンカーボルトにより原子炉建屋外壁に取り付く。アンカーボルトの仕様は，M33（SNR490B）の接着系アンカーボルトとし，許容耐力は「あと施工アンカー施工指針（案）（一般社団法人日本建築あと施工アンカー協会)」,「各種合成構造設計指針・同解説」に従い，原子炉建屋の設計基準強度を用いて下式によって求める。表 5.2.4-1 にアンカーボルトの許容耐力を，図 5.2.4-1 にアンカー標準図を示す。

$$pa = \min(\phi_1 \cdot pa_1,\ \phi_2 \cdot pa_2,\ \phi_3 \cdot pa_3)$$

$$qa = \min(\phi_1 \cdot qa_1,\ \phi_2 \cdot qa_2)$$

ϕ_1～ϕ_3：低減係数（長期，短期）

pa　：接着系アンカーボルトの許容引張力（kN/本）

pa_1　：アンカーボルトの降伏により決まる許容引張力（kN/本）

pa_2　：躯体のコーン状破壊により決まる許容引張力（kN/本）

pa_3　：付着力により決まる許容引張力（kN/本）

qa　：接着系アンカーボルトの許容せん断力（kN/本）

qa_1　：アンカーボルトのせん断強度により決まる許容せん断力（kN/本）

qa_2　：躯体の支圧強度により決まる許容せん断力（kN/本）

表 5.2.4-1 接着系アンカーボルトの許容耐力

部位		一般部	燃料取扱設備支持部	
			GL+13.7	
タイプ		標準	標準	
鋼材種類		M33	M33	
		SNR490B	SNR490B	
埋め込み長さ　(mm)		345	345	
アンカーボルト間隔　(mm)		400	400	
長期	許容引張力(pa_L)　(kN/本)	78	106	92
	許容せん断力(qa_L)　(kN/本)	76	76	76
短期	許容引張力(pa_S)　(kN/本)	156	212	185
	許容せん断力(qa_S)　(kN/本)	152	152	152

アンカーボルトの検討は，建屋取り合い部に生じる最大支点反力に対し，下式にて検討を行う。

$$\frac{P}{P_a} \leqq 1$$

$$\frac{Q}{Q_a} \leqq 1$$

$$\left(\frac{P}{P_a}\right)^2+\left(\frac{Q}{Q_a}\right)^2 \leqq 1$$

Pa：アンカーボルトの許容引張耐力（kN）
Qa：アンカーボルトの許容せん断耐力（kN）
P ：アンカーボルトの引張力（kN）
Q ：アンカーボルトのせん断力（kN）

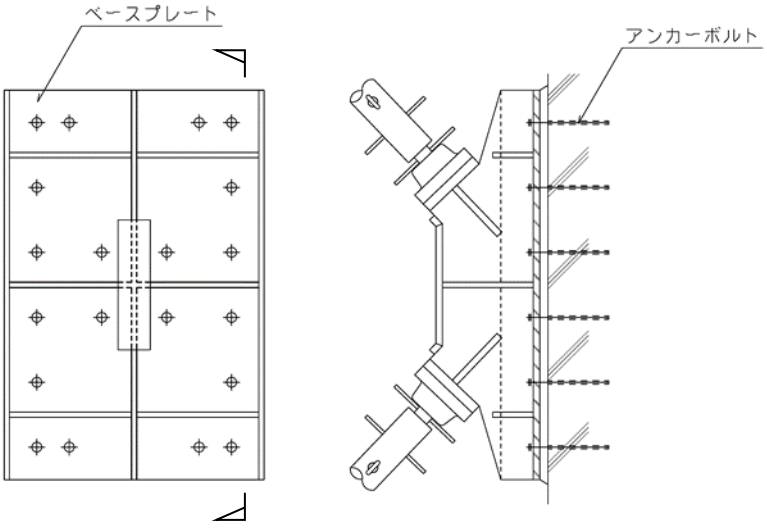

立面図　　断面図

図 5.2.4-1　アンカー標準図

1)　ガレキ撤去時

表 5.2.4-2 に耐力比が最大となる部位の検討結果を示す。

検討の結果，アンカーボルトの最大耐力比は 1 以下になることを確認した。

表 5.2.4-2(1)　アンカーボルトの検討結果（一般部，常時）

部位*1（アンカー本数）		荷重ケース（位置）*2	作用応力		許容耐力		耐力比	判定
			引張力 P (kN)	せん断力 Q (kN)	許容引張力 Pa(kN)	許容せん断力 Qa(kN)		
⑭	アンカーボルト (12)	C (case1)	36	749	936	912	0.83	O.K.

表 5.2.4-2(2)　アンカーボルトの検討結果（燃料取扱設備支持部，常時）

部位*1（アンカー本数）		荷重ケース（位置）*2	作用応力		許容耐力		耐力比	判定
			引張力 P (kN)	せん断力 Q (kN)	許容引張力 Pa(kN)	許容せん断力 Qa(kN)		
⑮	アンカーボルト (12)	C (case1)	0	349	1272	912	0.39	O.K.

*1：図 5.2.2-1 に応力検討箇所を示す

*2：図 5.2.1-3 にガレキ撤去用天井クレーンの位置を示す

表 5.2.4-2(3)　アンカーボルトの検討結果（一般部，地震時）

部位*1（アンカー本数）		荷重ケース（位置）*2	作用応力		許容耐力		耐力比	判定
			引張力 P (kN)	せん断力 Q (kN)	許容引張力 Pa(kN)	許容せん断力 Qa(kN)		
⑭	アンカーボルト (34)	E3 (case1)	0	3412	5304	5168	0.67	O.K.

表 5.2.4-2(4)　アンカーボルトの検討結果（燃料取扱設備支持部，地震時）

部位*1（アンカー本数）		荷重ケース（位置）*2	作用応力		許容耐力		耐力比	判定
			引張力 P (kN)	せん断力 Q (kN)	許容引張力 Pa(kN)	許容せん断力 Qa(kN)		
⑮	アンカーボルト (12)	E1 (case1)	0	474	2544	1824	0.26	O.K.

*1：図 5.2.2-2 に応力検討箇所を示す

*2：図 5.2.1-3 にガレキ撤去用天井クレーンの位置を示す

2) 燃料取り出し時

表 5.2.4-3 に耐力比が最大となる部位の検討結果を示す。

検討の結果，アンカーボルトの最大耐力比は 1 以下になることを確認した。

表 5.2.4-3(1) アンカーボルトの検討結果（一般部，常時）

部位*1 (アンカー本数)		荷重ケース (位置)*2	作用応力		許容耐力		耐力比	判定
			引張力 P (kN)	せん断力 Q (kN)	許容引張力 Pa(kN)	許容せん断力 Qa(kN)		
⑭	アンカーボルト (12)	C (case4)	0	744	936	912	0.82	O.K.

表 5.2.4-3(2) アンカーボルトの検討結果（燃料取扱設備支持部，常時）

部位*1 (アンカー本数)		荷重ケース (位置)*2	作用応力		許容耐力		耐力比	判定
			引張力 P (kN)	せん断力 Q (kN)	許容引張力 Pa(kN)	許容せん断力 Qa(kN)		
⑮	アンカーボルト (16)	C (case4)	0	770	1472	1216	0.64	O.K.

*1：図 5.2.2-3 に応力検討箇所を示す

*2：図 5.2.1-4 に燃料取扱設備の位置を示す

表 5.2.4-3(3)　アンカーボルトの検討結果（一般部，地震時）

部位*1（アンカー本数）		荷重ケース（位置）*2	作用応力		許容耐力		耐力比	判定
			引張力 P (kN)	せん断力 Q (kN)	許容引張力 Pa(kN)	許容せん断力 Qa(kN)		
⑭	アンカーボルト (36)	E2 (case4)	0	3537	5616	5472	0.65	O.K.

表 5.2.4-3(4)　アンカーボルトの検討結果（燃料取扱設備支持部，地震時）

部位*1（アンカー本数）		荷重ケース（位置）*2	作用応力		許容耐力		耐力比	判定
			引張力 P (kN)	せん断力 Q (kN)	許容引張力 Pa(kN)	許容せん断力 Qa(kN)		
⑮	アンカーボルト (12)	E1 (case4)	0	695	2544	1824	0.39	O.K.

*1：図 5.2.2-4 に応力検討箇所を示す

*2：図 5.2.1-4 に燃料取扱設備の位置を示す

(2)　原子炉建屋外壁部の検討

原子炉建屋外壁部に生じる最大圧縮反力に対し，下式にて検討を行う。

図 5.2.4-2 にベースプレート標準図を示す。

$$\frac{\sigma_c}{f_c} \leqq 1$$

ここで，　σ_c：圧縮応力度（N/A）(N/mm^2)

N：圧縮力(N)，A：ベースプレート面積（B×H）(mm^2)

f_c：許容応力度(N/mm^2)

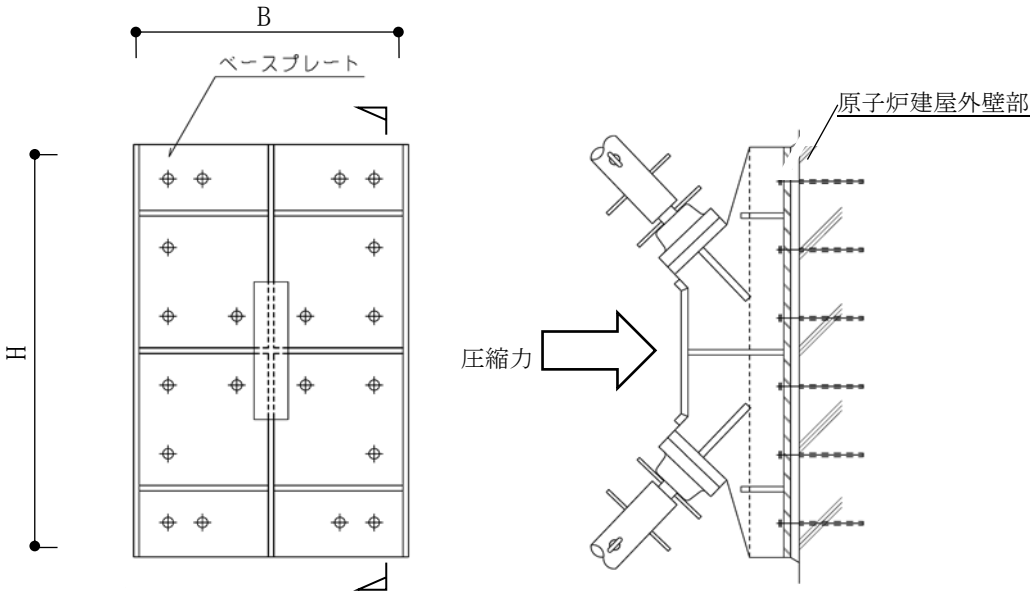

図 5.2.4-2　ベースプレート標準図

1)　ガレキ撤去時

表 5.2.4-4 及び表 5.2.4-5 に応力度比が最大となる部位の検討結果を示す。

検討の結果，原子炉建屋外壁部の最大応力度比は 1 以下になることを確認した。

表 5.2.4-4(1)　外壁部の検討結果（一般部，常時）

部位*1		荷重ケース (位置)*2	作用応力度 (N/mm²)	許容応力度 (N/mm²)	応力度比	判定
⑯	外壁	C (case1)	0.3	7.4	0.05	O.K.

表 5.2.4-4(2)　外壁部の検討結果（燃料取扱設備支持部，常時）

部位*1		荷重ケース (位置)*2	作用応力度 (N/mm²)	許容応力度 (N/mm²)	応力度比	判定
⑰	外壁	C (case2)	0.3	7.4	0.05	O.K.

*1：図 5.2.2-1 に応力検討箇所を示す

*2：図 5.2.1-3 にガレキ撤去用天井クレーンの位置を示す

表 5.2.4-5(1)　外壁部の検討結果（一般部，地震時）

部位*1		荷重ケース (位置)*2	作用応力度 (N/mm²)	許容応力度 (N/mm²)	応力度比	判定
⑯	外壁	E1 (case2)	0.6	14.8	0.05	O.K.

表 5.2.4-5(2)　外壁部の検討結果（燃料取扱設備支持部，地震時）

部位*1		荷重ケース (位置)*2	作用応力度 (N/mm²)	許容応力度 (N/mm²)	応力度比	判定
⑰	外壁	E1 (case2)	0.3	14.8	0.03	O.K.

*1：図 5.2.2-2 に応力検討箇所を示す

*2：図 5.2.1-3 にガレキ撤去用天井クレーンの位置を示す

2) 燃料取り出し時の検討

表 5.2.4-6 及び表 5.2.4-7 に応力度比が最大となる部位の検討結果を示す。

検討の結果，原子炉建屋外壁部の最大応力度比は 1 以下になることを確認した。

表 5.2.4-6(1) 外壁部の検討結果（一般部，常時）

部位*1		荷重ケース (位置)*2	作用応力度 (N/mm^2)	許容応力度 (N/mm^2)	応力度比	判定
⑯	外壁	C (case4)	0.3	7.4	0.05	O.K.

表 5.2.4-6(2) 外壁部の検討結果（燃料取扱設備支持部，常時）

部位*1		荷重ケース (位置)*2	作用応力度 (N/mm^2)	許容応力度 (N/mm^2)	応力度比	判定
⑰	外壁	C (case4)	0.4	7.4	0.06	O.K.

*1：図 5.2.2-3 に応力検討箇所を示す

*2：図 5.2.1-4 に燃料取扱設備の位置を示す

表 5.2.4-7(1) 外壁部の検討結果（一般部，地震時）

部位*1		荷重ケース (位置)*2	作用応力度 (N/mm^2)	許容応力度 (N/mm^2)	応力度比	判定
⑯	外壁	E1 (case4)	0.6	14.8	0.05	O.K.

表 5.2.4-7(2) 外壁部の検討結果（燃料取扱設備支持部，地震時）

部位*1		荷重ケース (位置)*2	作用応力度 (N/mm^2)	許容応力度 (N/mm^2)	応力度比	判定
⑰	外壁	E1 (case4)	0.5	14.8	0.04	O.K.

*1：図 5.2.2-4 に応力検討箇所を示す

*2：図 5.2.1-4 に燃料取扱設備の位置を示す

5.2.5　天井クレーンの構造強度に対する検討

(1)　断面検討

1)　クレーンガーダ

部材の応力度比は，「鋼構造設計規準」に従い，曲げモーメントに対して下式にて検討を行う。

$$\frac{\sigma_b}{f_b} \leqq 1$$

ここで，　　σ_b　：曲げ応力度（M/Z）（N/mm^2）

f_b　：許容曲げ応力度(N/mm^2)

2)　検討結果

2.1)　ガレキ撤去時

表 5.2.5-1 に断面検討結果を示す。

断面検討の結果，全応力度比が 1 以下になることを確認した。

表 5.2.5-1(1)　断面検討結果（常時）

部位		部材形状 (mm)	荷重ケース (位置)*1	作用応力度 (鉛直) (N/mm^2)		許容応力度 (鉛直) (N/mm^2)		応力度比	判定
①	クレーンガーダ	□-1500×2700 〈SM490〉	C (case1)	σ_b	82.3	f_b	216.7	0.38	O.K.

*1：図 5.2.1-3 にガレキ撤去用天井クレーンの位置を示す

表 5.2.5-1(2)　断面検討結果（地震時）

部位		部材形状 (mm)	荷重ケース (位置)*1	作用応力度 (鉛直) (N/mm^2)		許容応力度 (鉛直) (N/mm^2)		応力度比	判定
①	クレーンガーダ	□-1500×2700 〈SM490〉	E2 (case1)	σ_b	82.3	f_b	325.0	0.26	O.K.

*1：図 5.2.1-3 にガレキ撤去用天井クレーンの位置を示す

2.2)　燃料取り出し時

表 5.2.5-2 に断面検討結果を示す。

断面検討の結果，全応力度比が 1 以下になることを確認した。

表 5.2.5-2(1)　断面検討結果（常時）

部位		部材形状 (mm)	荷重ケース (位置)*1	作用応力度 (鉛直) (N/mm²)		許容応力度 (鉛直) (N/mm²)		応力度比	判定
①	クレーンガーダ	□-1500×2700 〈SM490〉	C (case4)	σ_b	55.6	f_b	216.7	0.26	O.K.

*1：図 5.2.1-4 に燃料取扱設備の位置を示す

表 5.2.5-2(2)　断面検討結果（地震時）

部位		部材形状 (mm)	荷重ケース (位置) *1	作用応力度 (鉛直) (N/mm²)		許容応力度 (鉛直) (N/mm²)		応力度比	判定
①	クレーンガーダ	□-1500×2700 〈SM490〉	E2 (case4)	σ_b	55.6	f_b	325.0	0.18	O.K.

*1：図 5.2.1-4 に燃料取扱設備の位置を示す

5.2.6　外装材の構造強度に対する検討

(1)　検討箇所

大型カバーの側面を覆う外装材は，折板を用いる。強度検討は，外装材に風圧力により生じる応力度が短期許容応力度以下であることを確認する。なお，短期事象においては，暴風時の影響が支配的であることから，積雪時及び地震時の検討は省略する。検討箇所を図 5.2.6-1 に示す。

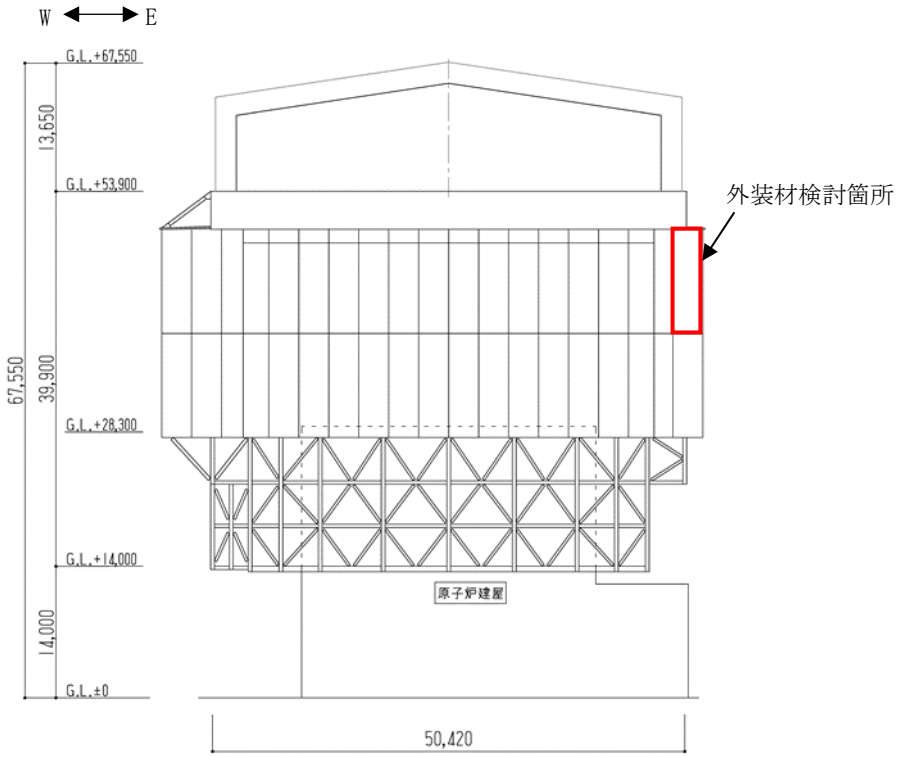

図 5.2.6-1　外装材検討箇所（単位：mm）

(2)　設計用荷重の算定

設計用風圧力は，建築基準法施行令第 82 条の 4 及び建設省告示第 1458 号に基づき，基準風速 30m/s，地表面粗度区分Ⅱとして算定する。速度圧の算定結果を表 5.2.6-1 に，ピーク風力係数を表 5.2.6-2 に，風力係数の算定箇所を図 5.2.6-2 に示す。

表 5.2.6-1　速度圧の算定結果

高さ* H (m)	平均風速の高さ方向の分布を表す係数 E_r	基準風速 V_0 (m/s)	平均速度圧 q (N/m^2)
49.9	1.32	30	945

*：高さは外装材の最頂部の高さとした

表 5.2.6-2　ピーク風力係数

高さ* H (m)	壁面		
	正圧	負圧(一般部)	負圧(隅角部)
49.9	2.43	-2.40	-3.00

*：高さは外装材の最頂部の高さとした

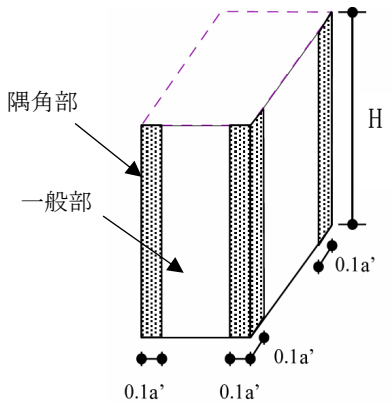

a'は平面の短辺の長さと H の 2 倍の数値のうちいずれか小さな数値

（30 を超えるときは，30 とする）（単位：m）

図 5.2.6-2　風力係数の算定箇所のイメージ

(3)　外装材の強度検討

検討は，応力が厳しくなる部位について行う。ここでは，折板の自重は考慮しないものとする。折板の間隔は 0.6m で単純支持されているものと仮定する。

外装材の材料諸元を表 5.2.6-3 に示す。また，検討結果を表 5.2.6-4 に示す。

断面検討の結果，全ての外装材に対する応力度比が 1 以下になることを確認した。

表 5.2.6-3　外装材の材料諸元

板厚	自重	正曲げ方向		負曲げ方向	
		断面 2 次モーメント	断面係数	断面 2 次モーメント	断面係数
t (mm)	G (N/m^2)	I_x (cm^4/m)	Z_x (cm^3/m)	I_x (cm^4/m)	Z_x (cm^3/m)
0.6	59	2.31	1.67	2.31	1.67

表 5.2.6-4　応力度に対する検討結果

部位	作用応力度 (N/mm^2)	許容 応力度* (N/mm^2)	応力度比	判定
外装材	78	137	0.57	O.K.

*:「JIS G 3321-2010」による

・応力度に対する検討

壁面

$w=945\times(-3.00)=-2835(N/m^2)$

$M=(1/8)\times w\times L^2=(1/8)\times(-2835)\times 0.6^2\times 10^{-3}=-0.13(kNm/m)$

$\sigma_b=M/Z=0.13\times 10^6/(1.67\times 10^3)=78(N/mm^2)$

$\sigma_b/f_b=78/137=0.57\leqq 1.0$　　O.K.

5.3　耐震性（機能維持の検討）

5.3.1　検討方針

耐震性のうち機能維持の検討は，大型カバー，屋根，建屋取り合い部及び原子炉建屋について行い，1/2Ss450 に対して，これらの応答性状を適切に表現できる地震応答解析を用いて評価する。なお，地震応答解析は水平 2 方向及び鉛直方向の 3 方向の地震動を同時に入力する。

(1)　解析に用いる入力地震動

地震応答解析に用いる入力地震動の概念図を図 5.3.1-1 に示す。モデルに入力する地震動は一次元波動論に基づき，解放基盤表面で定義される地震動 1/2Ss450 に対する地盤の応答として評価する。解放基盤表面位置（G.L.-206.0m（震災前 O.P.-196.0m））における地震動 1/2Ss450 Ss-1 及び Ss-2 の加速度時刻歴波形を図 5.3.1-2～図 5.3.1-4 に示す。

地震波の入力方向は下記のように表し，3 方向の組合せを表現する。

+NS：建屋北側から南側方向への地震入力

-NS：建屋南側から北側方向への地震入力

+EW：建屋東側から西側方向への地震入力

-EW：建屋西側から東側方向への地震入力

+UD：建屋上側から下側方向への地震入力

-UD：建屋下側から上側方向への地震入力

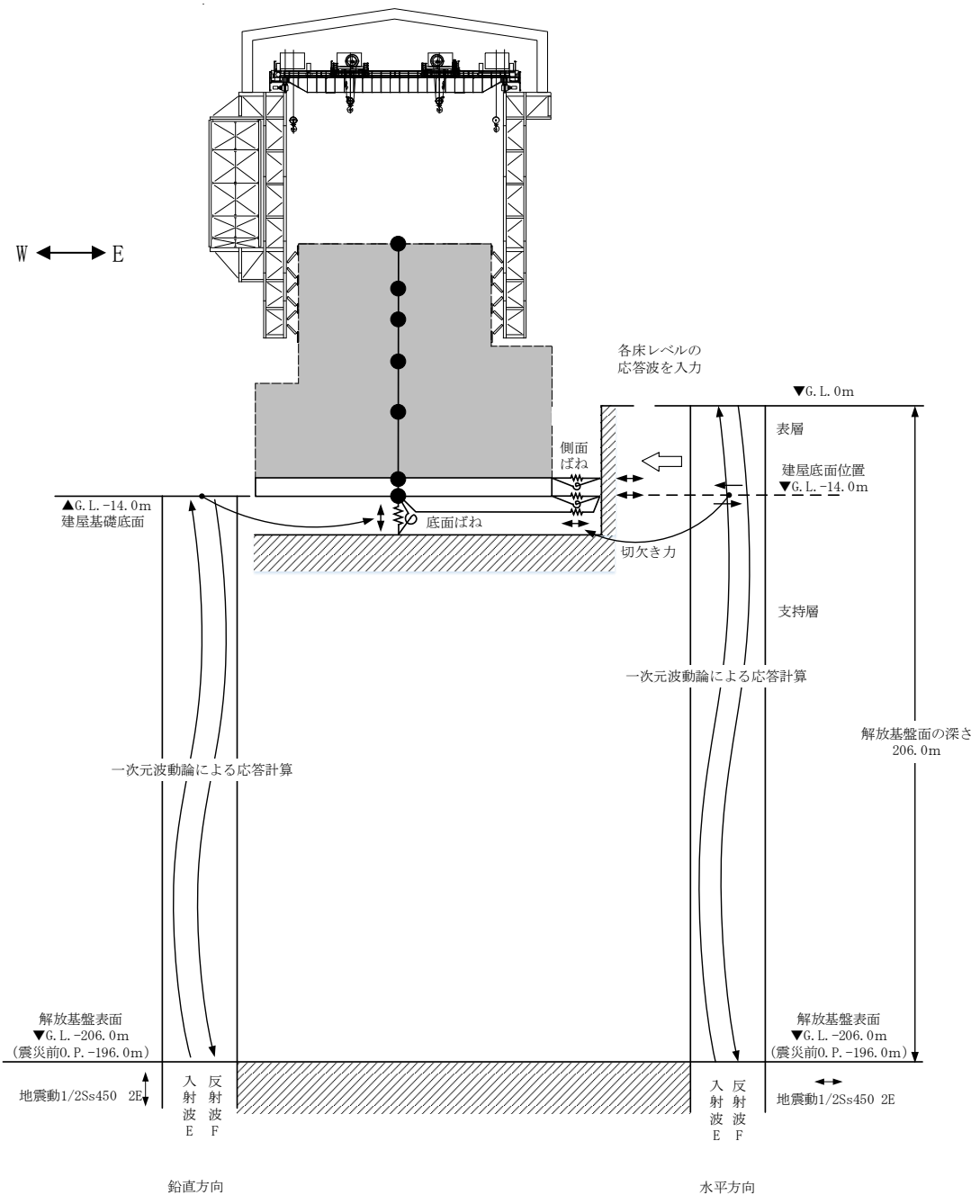

図 5.3.1-1　地震応答解析に用いる入力地震動の概念図

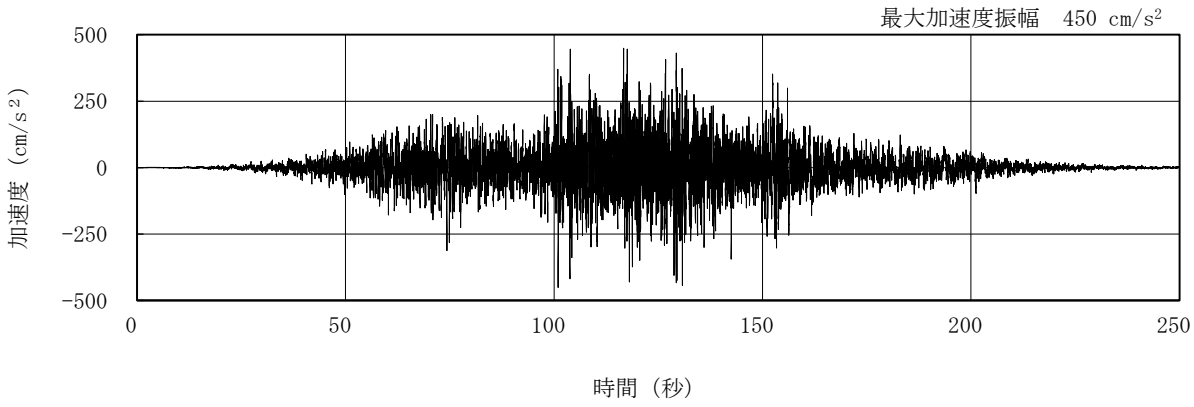

（1/2Ss450-1 NS 方向）

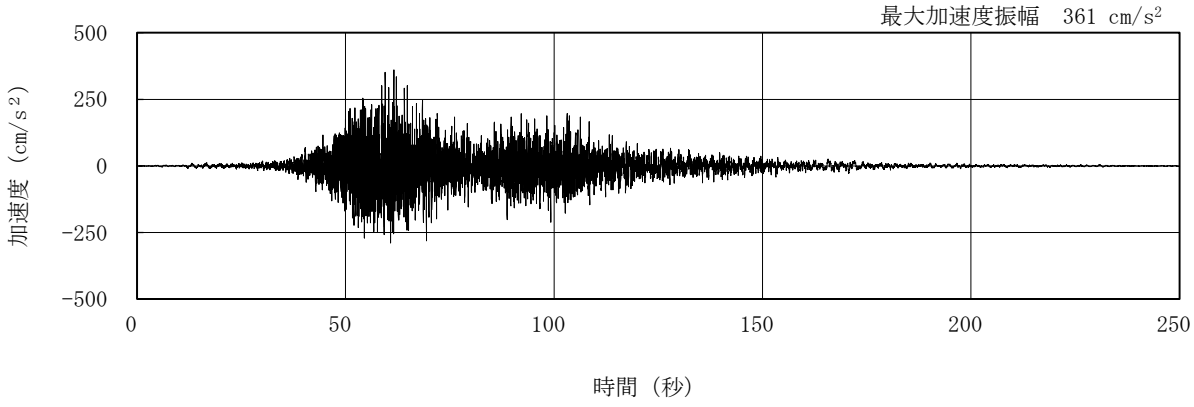

（1/2Ss450-2 NS 方向）

図 5.3.1-2　解放基盤表面における地震動の加速度時刻歴波形
（NS 方向）

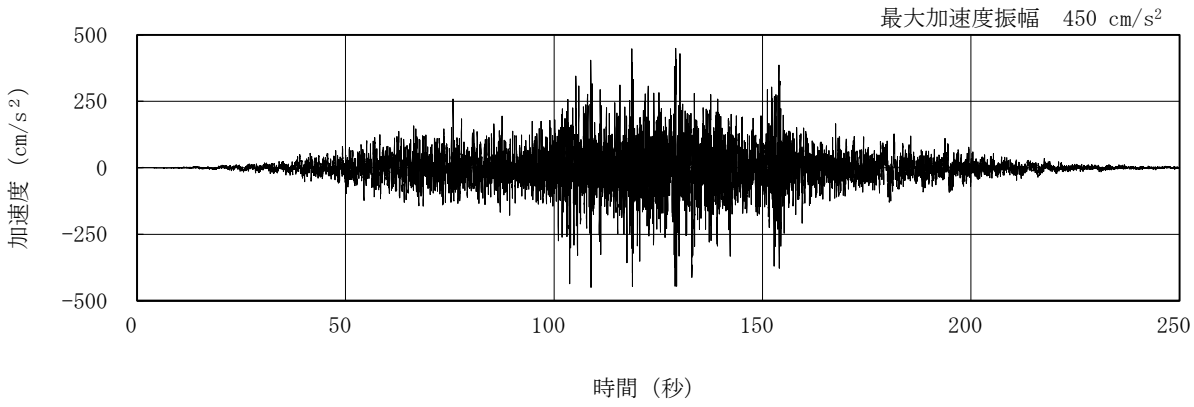

（1/2Ss450-1 EW 方向）

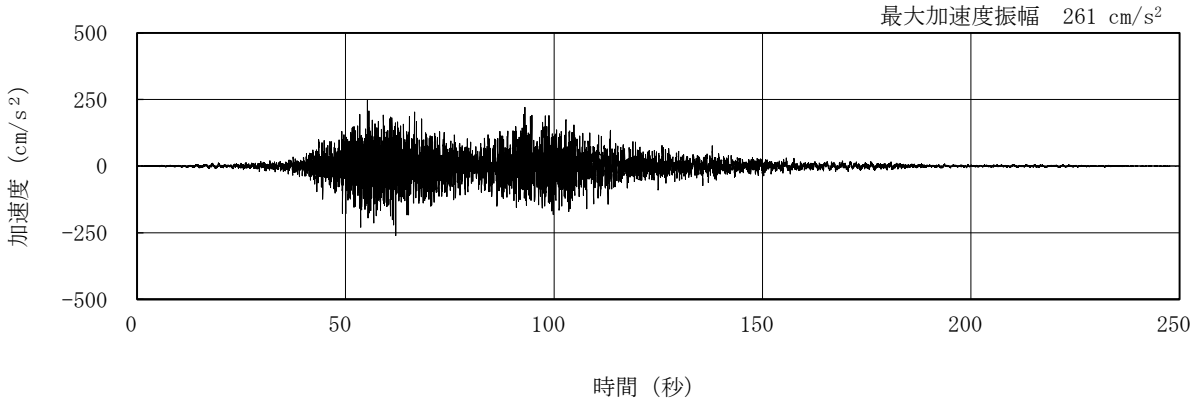

（1/2Ss450-2 EW 方向）

図 5.3.1-3　解放基盤表面における地震動の加速度時刻歴波形
（EW 方向）

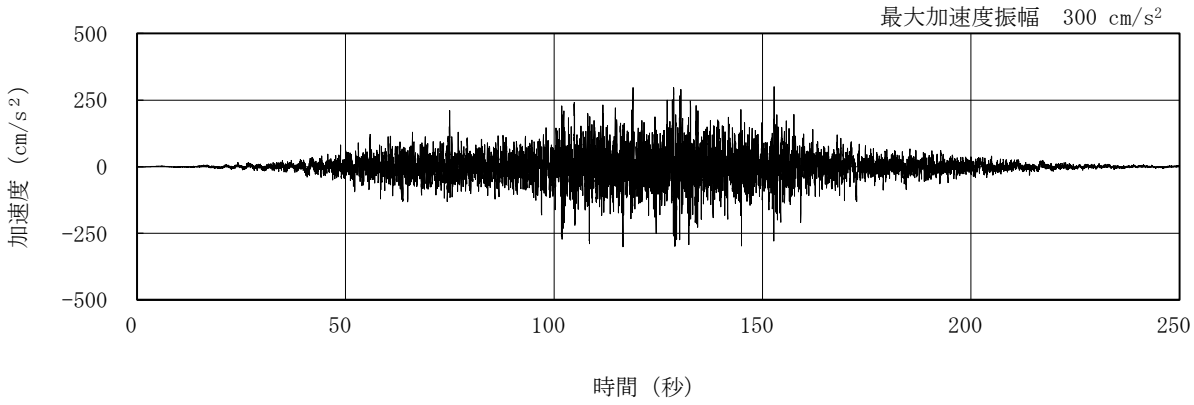

（1/2Ss450-1 UD 方向）

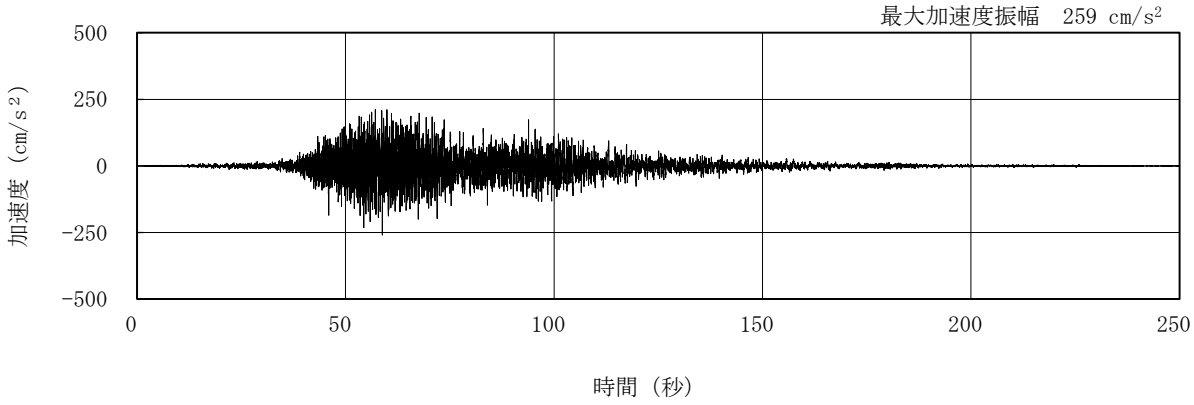

（1/2Ss450-2 UD 方向）

図 5.3.1-4　解放基盤表面における地震動の加速度時刻歴波形
（鉛直方向）

(2)　地震応答解析モデル

地震応答解析モデルは，曲げ，せん断剛性及び軸剛性を考慮した原子炉建屋の質点系モデルの質点に，立体架構でモデル化した大型カバーを接続し，地盤との相互作用を考慮した建屋－地盤連成系モデルとする。なお，原子炉建屋の質点は炉心位置にモデル化する。解析モデルを図5.3.1-5に示す。

地震応答解析に用いる鉄骨の物性値を表5.3.1-1に示す。大型カバーの部材接合部の節点は機器荷重・仕上げ材等を考慮した重量とし，原子炉建屋の諸元は表5.3.1-2～表5.3.1-3に示す諸元とする。大型カバーの柱・梁・鋼板は弾性部材とし，大型カバーのブレースは「鉄骨X型ブレース架構の復元力特性に関する研究」（日本建築学会構造工学論文集37B号1991年3月）に示されている修正若林モデルによる。また，原子炉建屋の質点系モデルは，軸方向は弾性とし，曲げとせん断に「JEAG4601-1991」に示されている非線形特性を考慮する。

大型カバーの地盤定数は，「福島第一原子力発電所『発電用原子炉施設に関する耐震設計審査指針』の改訂に伴う耐震安全性評価結果 中間報告書」（東京電力株式会社，平成20年3月31日）と同様とし，その結果を表5.3.1-4に示す。

原子炉建屋の地盤ばねは，「JEAG4601-1991」に示されている手法を参考にして，底面地盤を成層補正し振動アドミッタンス理論によりスウェイ及びロッキングばねを，側面地盤をNovakの方法により建屋側面ばねとして評価する。NS方向，EW方向，UD方向の3方向全ての地盤ばねが取り付いた解析モデルを用いる。

表5.3.1-1　地震応答解析に用いる物性値

材料	ヤング係数 $E(N/mm^2)$	ポアソン比 ν	単位体積重量 $\gamma(kN/m^3)$	減衰定数 h(%)	備考
鉄骨	2.05×10^5	0.3	77.0	2	SS400，SN400B，SM490A，SN490B，STKN490B，TMCP325B，S45C

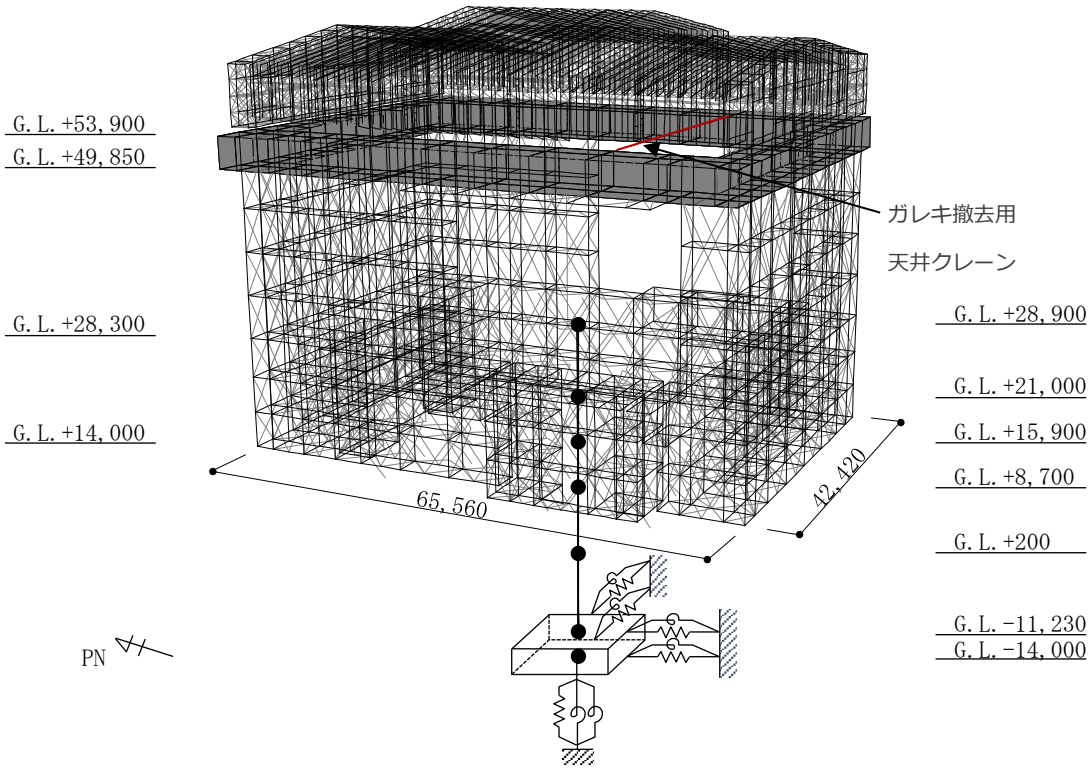
G. L. +53, 900
G. L. +49, 850
G. L. +28, 300
G. L. +14, 000
ガレキ撤去用
天井クレーン
G. L. +28, 900
G. L. +21, 000
G. L. +15, 900
G. L. +8, 700
G. L. +200
G. L. -11, 230
G. L. -14, 000
65, 560
42, 420
PN

図 5.3.1-5　解析モデル

表 5.3.1-2(1)　ガレキ撤去時の原子炉建屋の地震応答解析モデルの諸元

(a)水平（NS）方向

G.L.(m)	質点重量* W (kN)	回転慣性重量 I_G ($\times 10^5$ kN･m^2)	せん断断面積 As (m^2)	断面二次モーメント I (m^4)
+28.90	58690	84.43		
			135.0	16012
+21.00	72170	103.90		
			160.8	21727
+15.90	77220	111.11		
			132.8	24274
+8.70	87200	125.53		
			155.6	36481
+0.20	162800	234.31		
			294.0	52858
-11.23	185210	266.64		
			1914.3	275530
-14.00	62400	89.83		
合計	705690			

ヤング係数 Ec　2.57×10^7(kN/m^2)
せん断弾性係数 G　1.07×10^7(kN/m^2)
ポアソン比 ν　0.20
減衰 h　5%

(b)水平（EW）方向

G.L.(m)	質点重量* W (kN)	回転慣性重量 I_G ($\times 10^5$ kN･m^2)	せん断断面積 As (m^2)	断面二次モーメント I (m^4)
+28.90	58690	48.33		
			102.7	9702
+21.00	72170	59.41		
			163.9	13576
+15.90	77220	63.55		
			131.6	14559
+8.70	87200	125.53		
			197.8	36427
+0.20	162800	234.31		
			294.0	52858
-11.23	185210	327.39		
			1914.3	338428
-14.00	62400	110.32		
合計	705690			

ヤング係数 Ec　2.57×10^7(kN/m^2)
せん断弾性係数 G　1.07×10^7(kN/m^2)
ポアソン比 ν　0.20
減衰 h　5%

*:「Ⅱ.2.6　滞留水を貯留している（滞留している場合を含む）建屋　添付資料－２　構造強度及び耐震性（地下滞留水を考慮した建屋の耐震安全評価）」において用いた各階重量

表 5.3.1-2(2)　ガレキ撤去時の原子炉建屋の地震応答解析モデルの諸元

(c)鉛直方向

G.L.(m)	質点重量* W (kN)	軸断面積 A_N (m^2)	軸ばね剛性 K_A ($\times 10^8$ kN/m)
+28.90	58690		
		151.1	4.92
+21.00	72170		
		205.0	10.33
+15.90	77220		
		221.7	7.91
+8.70	87200		
		301.0	9.10
+0.20	162800		
		495.7	11.15
-11.23	185210		
		1914.3	177.61
-14.00	62400		
合計	705690		

ヤング係数 Ec　2.57×10^7 (kN/m^2)

せん断弾性係数 G　1.07×10^7 (kN/m^2)

ポアソン比 ν　0.20

減衰 h　5%

*:「Ⅱ.2.6　滞留水を貯留している（滞留している場合を含む）建屋　添付資料－２　構造強度及び耐震性（地下滞留水を考慮した建屋の耐震安全評価)」において用いた各階重量

表 5.3.1-3(1)　燃料取り出し時の原子炉建屋の地震応答解析モデルの諸元

(a)水平（NS）方向

G.L.(m)	質点重量* W (kN)	回転慣性重量 I_G ($\times 10^5$ kN·m^2)	せん断断面積 As (m^2)	断面二次モーメント I (m^4)
+28.90	106080	152.60		
			135.0	16012
+21.00	72170	103.90		
			160.8	21727
+15.90	77220	111.11		
			132.8	24274
+8.70	87730	126.29		
			155.6	36481
+0.20	163140	234.80		
			294.0	52858
-11.23	185210	266.64		
			1914.3	275530
-14.00	62400	89.83		
合計	753950			

ヤング係数 Ec　2.57×10^7(kN/m^2)
せん断弾性係数 G　1.07×10^7(kN/m^2)
ポアソン比 ν　0.20
減衰 h　5%

(b)水平（EW）方向

G.L.(m)	質点重量* W (kN)	回転慣性重量 I_G ($\times 10^5$ kN·m^2)	せん断断面積 As (m^2)	断面二次モーメント I (m^4)
+28.90	106080	87.35		
			102.7	9702
+21.00	72170	59.41		
			163.9	13576
+15.90	77220	63.55		
			131.6	14559
+8.70	87730	126.29		
			197.8	36427
+0.20	163140	234.80		
			294.0	52858
-11.23	185210	327.39		
			1914.3	338428
-14.00	62400	110.32		
合計	753950			

ヤング係数 Ec　2.57×10^7(kN/m^2)
せん断弾性係数 G　1.07×10^7(kN/m^2)
ポアソン比 ν　0.20
減衰 h　5%

*:「Ⅱ.2.6　滞留水を貯留している（滞留している場合を含む）建屋　添付資料－２　構造強度及び耐震性（地下滞留水を考慮した建屋の耐震安全評価）」において用いた各階重量にガレキ撤去等による重量増減を考慮した数値

表 5.3.1-3(2)　燃料取り出し時の原子炉建屋の地震応答解析モデルの諸元

(c)鉛直方向

G.L.(m)	質点重量* W (kN)	軸断面積 A_N (m^2)	軸ばね剛性 K_A ($\times 10^8$ kN/m)
+28.90	106080		
		151.1	4.92
+21.00	72170		
		205.0	10.33
+15.90	77220		
		221.7	7.91
+8.70	87730		
		301.0	9.10
+0.20	163140		
		495.7	11.15
-11.23	185210		
		1914.3	177.61
-14.00	62400		
合計	753950		

ヤング係数 Ec	2.57×10^7 (kN/m^2)
せん断弾性係数 G	1.07×10^7 (kN/m^2)
ポアソン比 ν	0.20
減衰 h	5%

*:「Ⅱ.2.6　滞留水を貯留している（滞留している場合を含む）建屋　添付資料－２　構造強度及び耐震性（地下滞留水を考慮した建屋の耐震安全評価）」において用いた各階重量にガレキ撤去等による重量増減を考慮した数値

表 5.3.1-4　地盤定数の設定結果

(a) 1/2Ss450-1

G.L. (m)	地質	せん断 波速度 Vs (m/s)	単位体 積重量 γ (kN/m^3)	ポアソン 比 ν	せん断 弾性係数 G (×10^{5}kN/m^2)	初期せん断 弾性係数 G_0 (×10^{5}kN/m^2)	剛性 低下率 G/G_0	ヤング 係数 E (×10^{5}kN/m^2)	減衰 定数 h (%)	層厚 H (m)
0.0										
	砂岩	380	17.8	0.473	2.23	2.62	0.85	6.57	3	8.1
-8.1		450	16.5	0.464	2.73	3.41	0.80	7.99	3	11.9
-20.0		500	17.1	0.455	3.49	4.36	0.80	10.16	3	70.0
-90.0	泥岩	560	17.6	0.446	4.50	5.63	0.80	13.01	3	28.0
-118.0		600	17.8	0.442	5.22	6.53	0.80	15.05	3	88.0
-206.0	(解放基盤)	700	18.5	0.421	9.24	9.24	1.00	26.26	-	-

(b) 1/2Ss450-2

G.L. (m)	地質	せん断 波速度 Vs (m/s)	単位体 積重量 γ (kN/m^3)	ポアソン 比 ν	せん断 弾性係数 G (×10^{5}kN/m^2)	初期せん断 弾性係数 G_0 (×10^{5}kN/m^2)	剛性 低下率 G/G_0	ヤング 係数 E (×10^{5}kN/m^2)	減衰 定数 h (%)	層厚 H (m)
0.0										
	砂岩	380	17.8	0.473	2.33	2.62	0.89	6.86	3	8.1
-8.1		450	16.5	0.464	3.03	3.41	0.89	8.87	3	11.9
-20.0		500	17.1	0.455	3.88	4.36	0.89	11.29	3	70.0
-90.0	泥岩	560	17.6	0.446	5.01	5.63	0.89	14.49	3	28.0
-118.0		600	17.8	0.442	5.81	6.53	0.89	16.76	3	88.0
-206.0	(解放基盤)	700	18.5	0.421	9.24	9.24	1.00	26.26	-	-

5.3.2　大型カバーの耐震性に対する検討

(1)　地震応答解析結果

1)　ガレキ撤去時

ガレキ撤去時の一般部の最大応答加速度分布を図 5.3.2-1 に，燃料取扱設備支持部の最大応答加速度分布を図 5.3.2-2 に示す。なお，ガレキ撤去用天井クレーン位置は case1 とする。

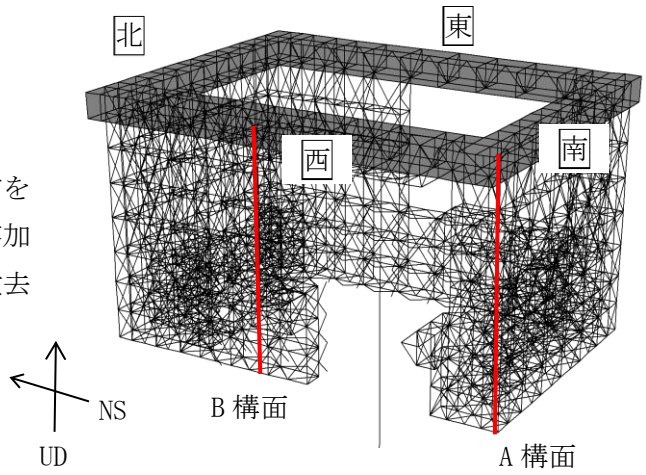

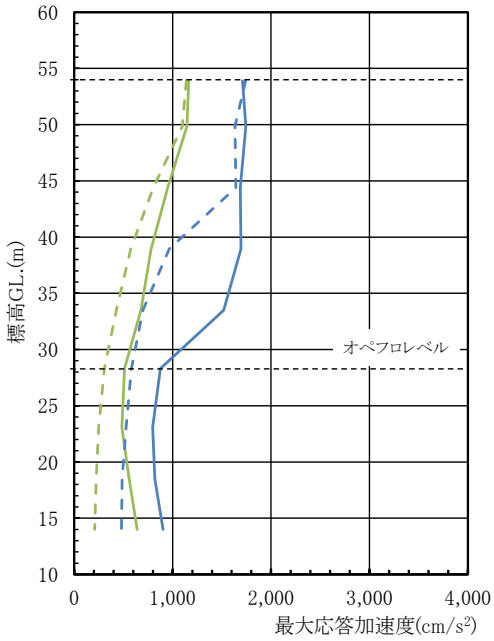

(a) 水平(NS)成分　(A，B構面)

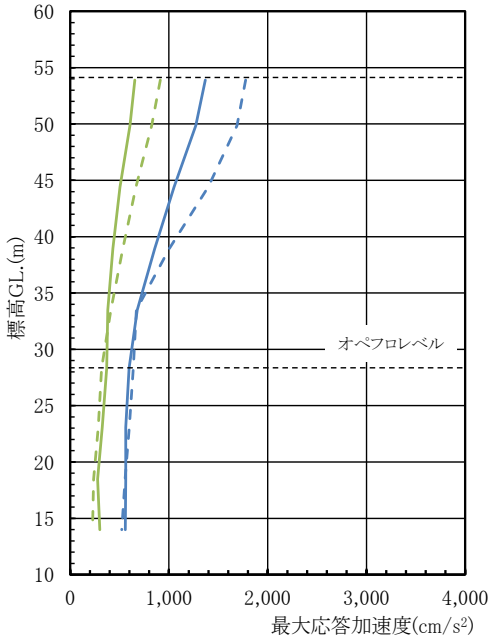

(b) 水平(EW)成分　(A，B構面)

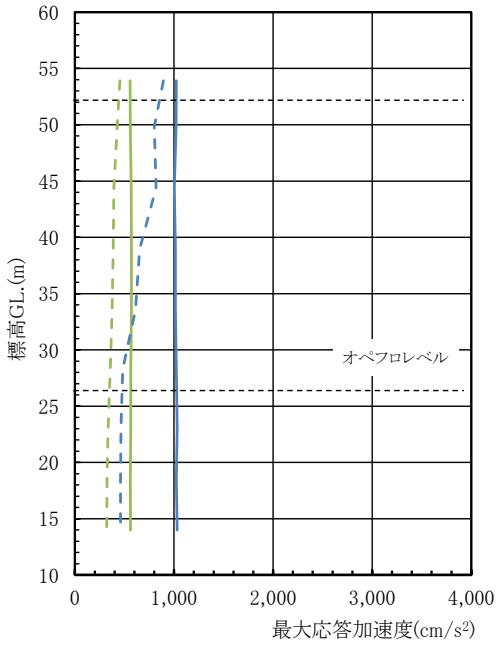

(c) 鉛直(UD)成分　(A，B構面)

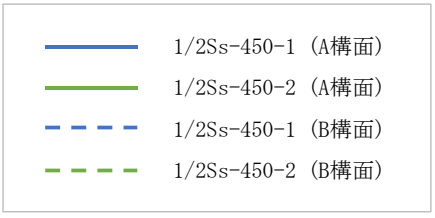

図 5.3.2-1(1)　NS・EW・UD 方向　最大応答加速度分布(一般部)

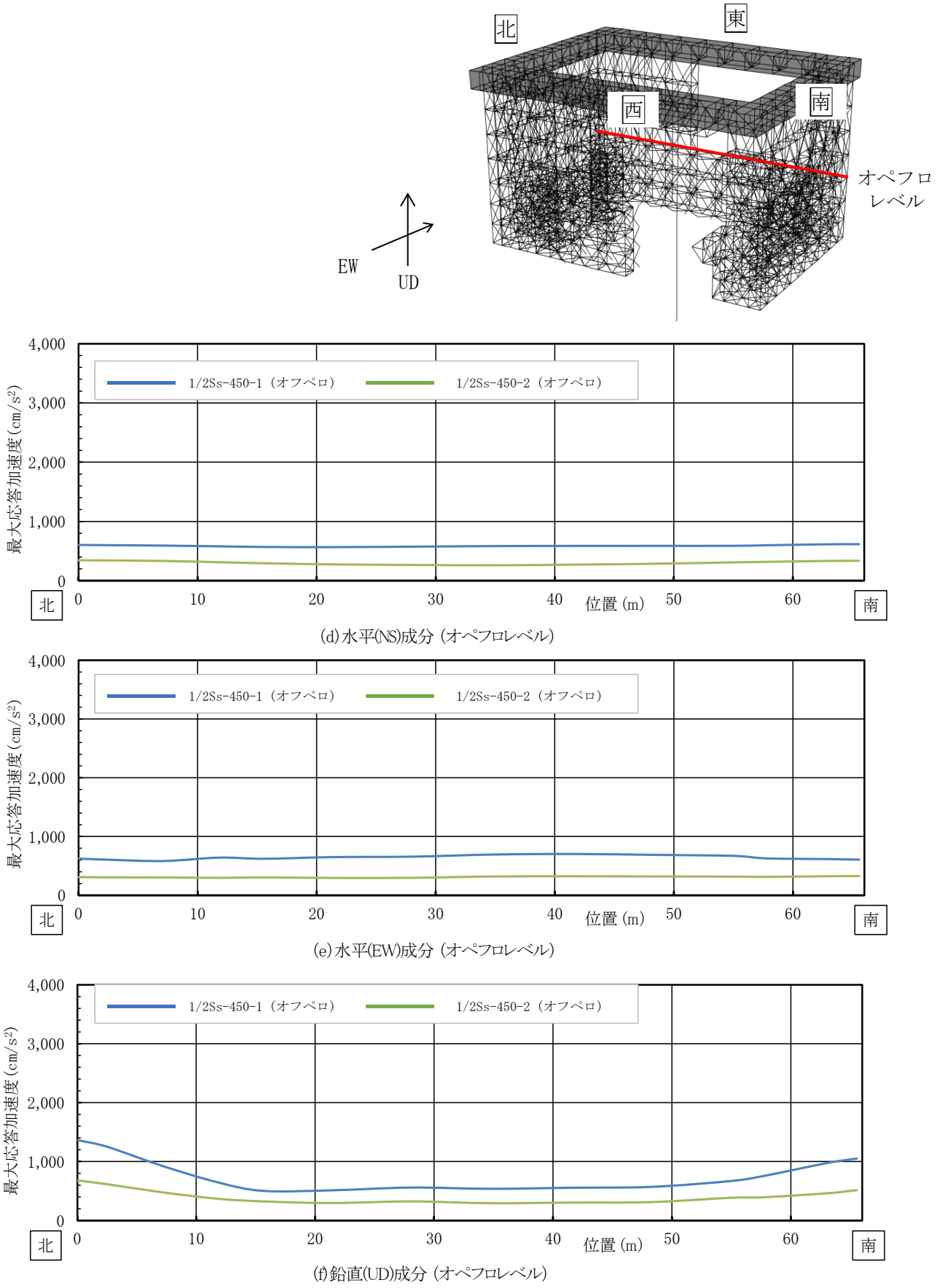

図 5.3.2-1(2)　NS・EW・UD 方向　最大応答加速度分布(一般部)

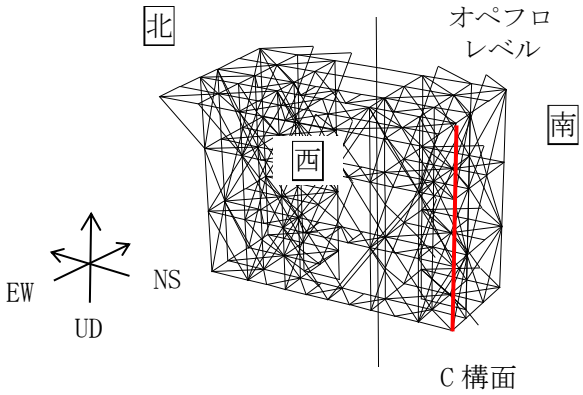

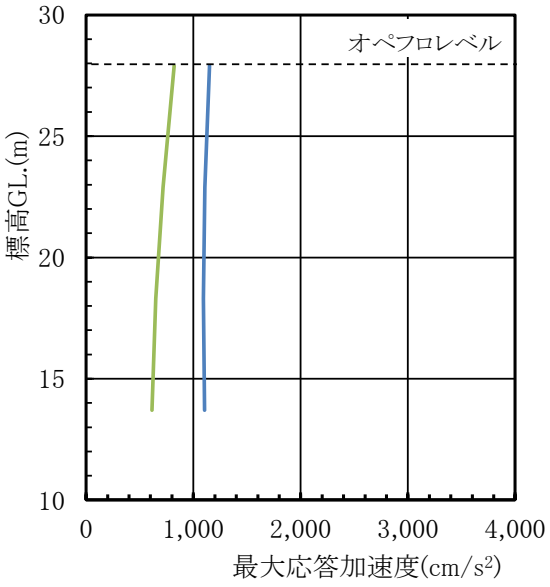

(a)水平(NS)成分 (C構面)

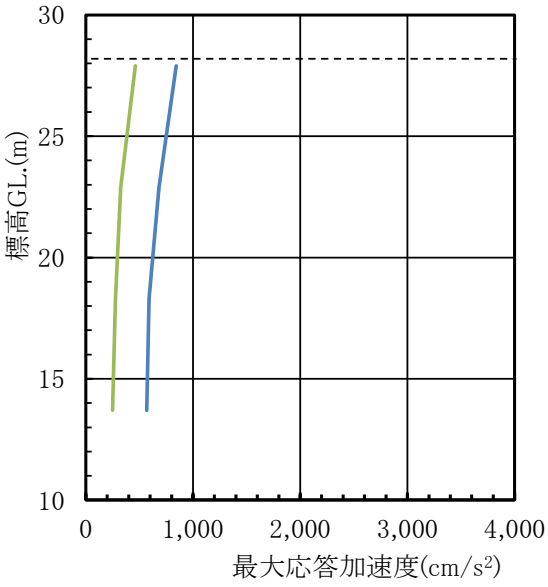

(b)水平(EW)成分 (C構面)

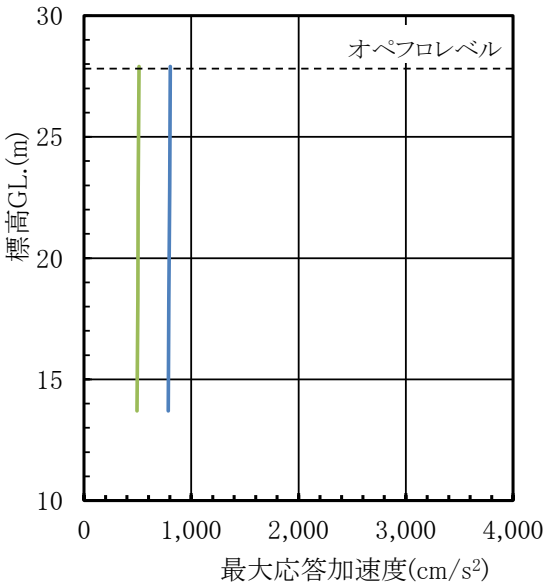

(c)鉛直(UD)成分 (C構面)

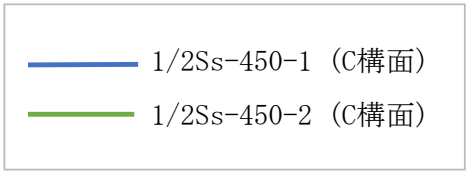

図 5.3.2-2　NS・EW・UD 方向　最大応答加速度分布(燃料取扱設備支持部)

2)燃料取り出し時

燃料取り出し時の一般部の最大応答加速度分布を図 5.3.2-3 に，燃料取扱設備支持部最大応答加速度分布を図 5.3.2-4 に示す。なお，燃料取扱設備位置は case4 とする。

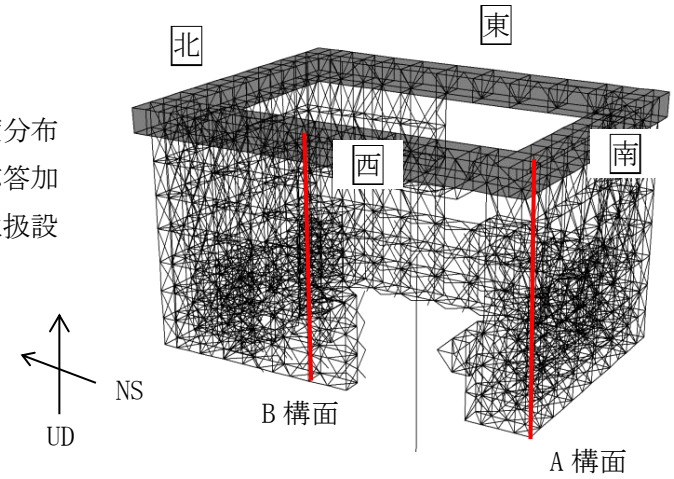

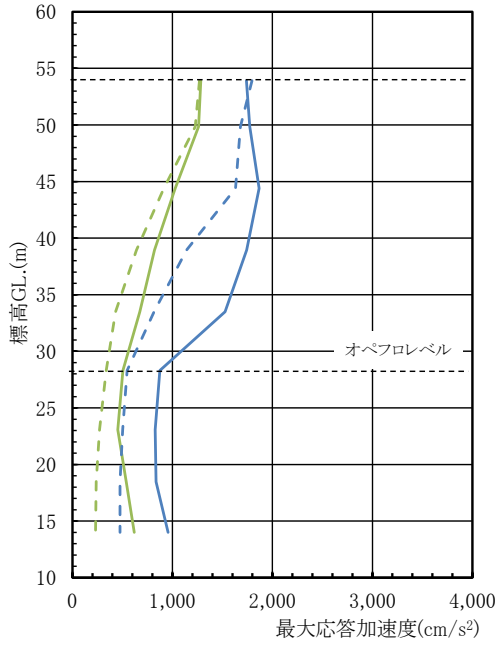

(a) 水平(NS)成分 （A，B構面）

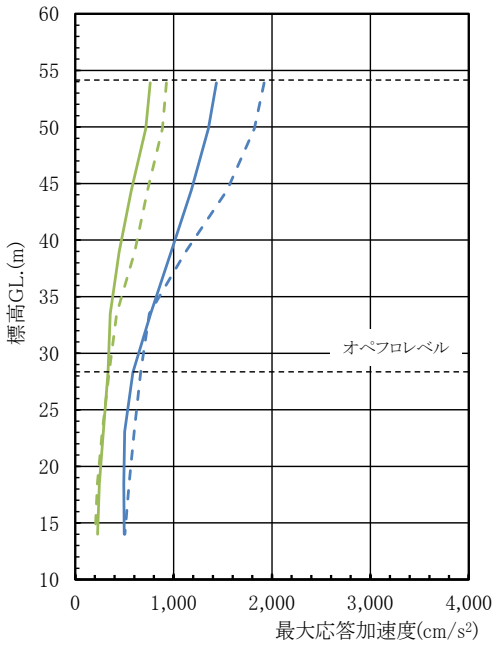

(b) 水平(EW)成分 （A，B構面）

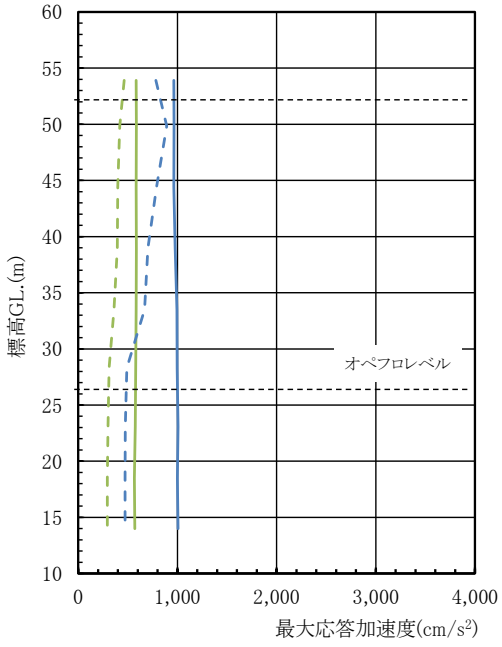

(c) 鉛直(UD)成分 （A，B構面）

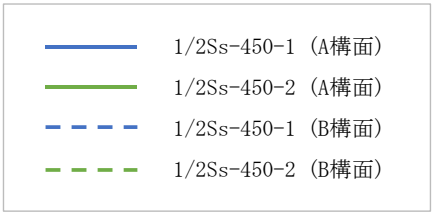

図 5.3.2-3(1)　NS・EW・UD 方向　最大応答加速度分布(一般部)

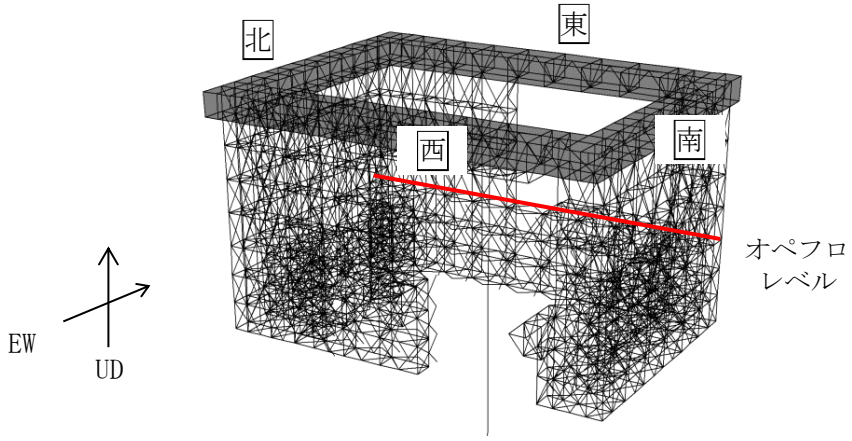

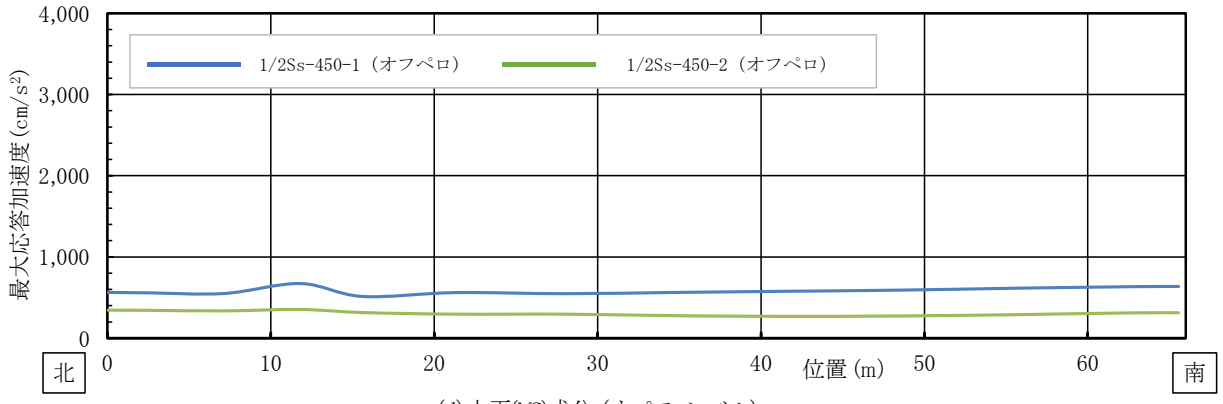

(d)水平(NS)成分（オペフロレベル）

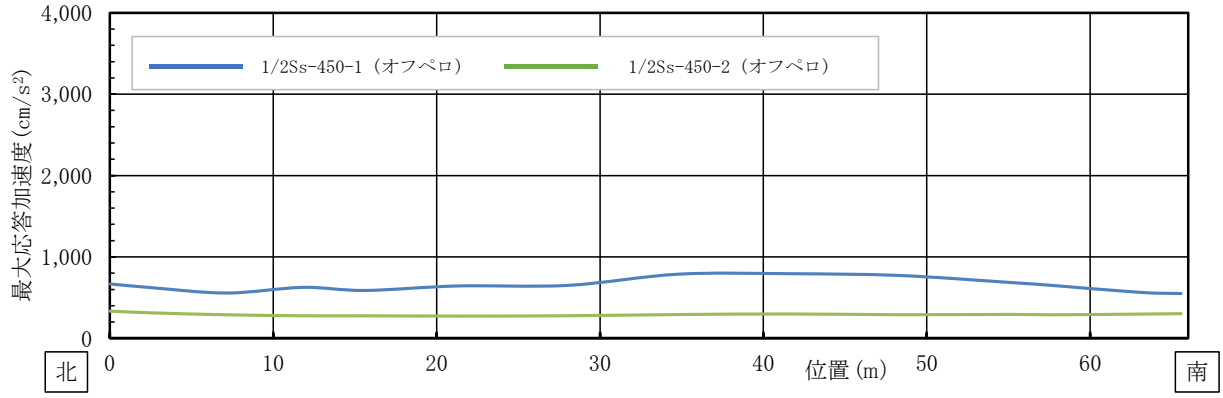

(e)水平(EW)成分（オペフロレベル）

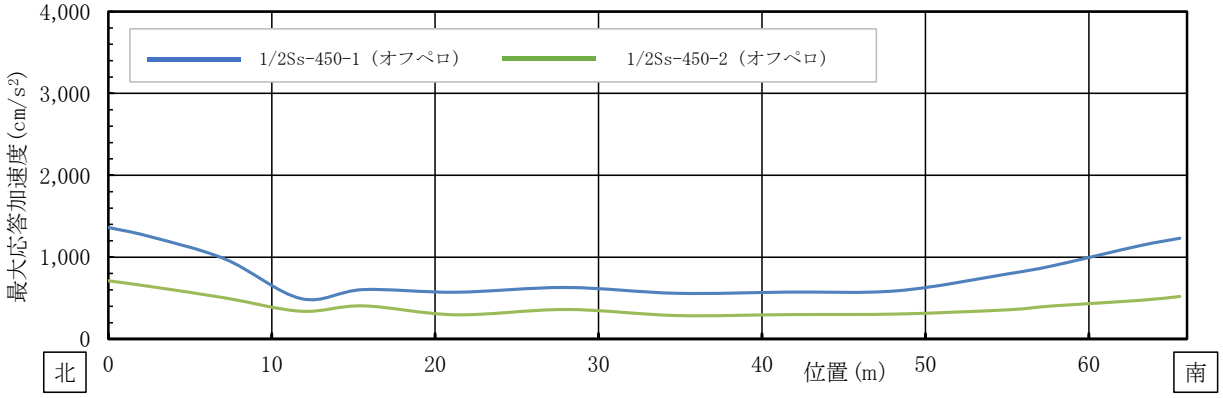

(f)鉛直(UD)成分（オペフロレベル）

図 5.3.2-3(2)　NS・EW・UD 方向　最大応答加速度分布(一般部)

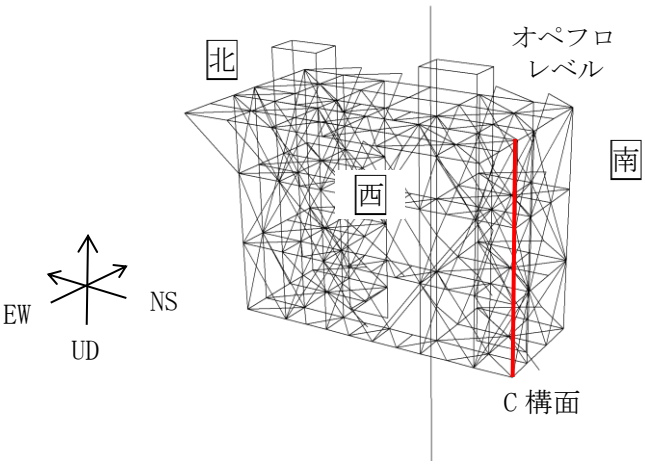

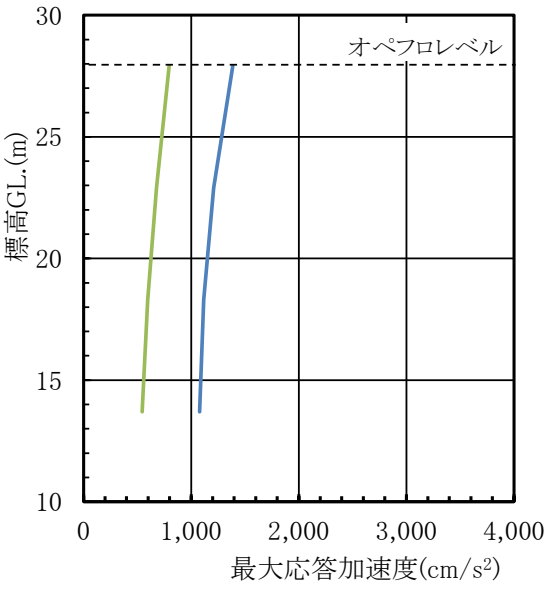

(a)水平(NS)成分 (C構面)

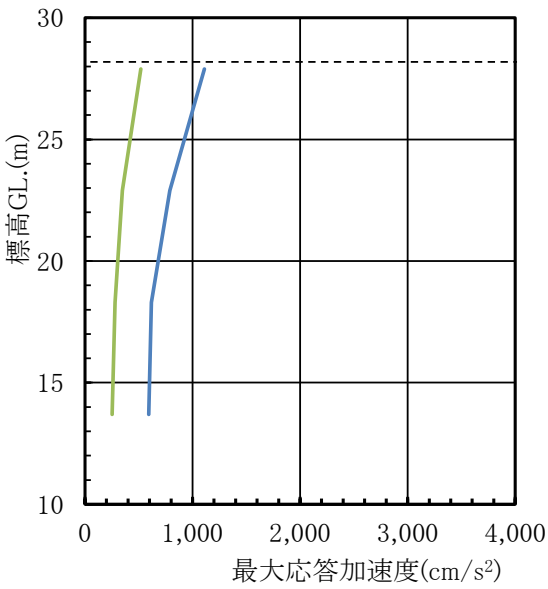

(b)水平(EW)成分 (C構面)

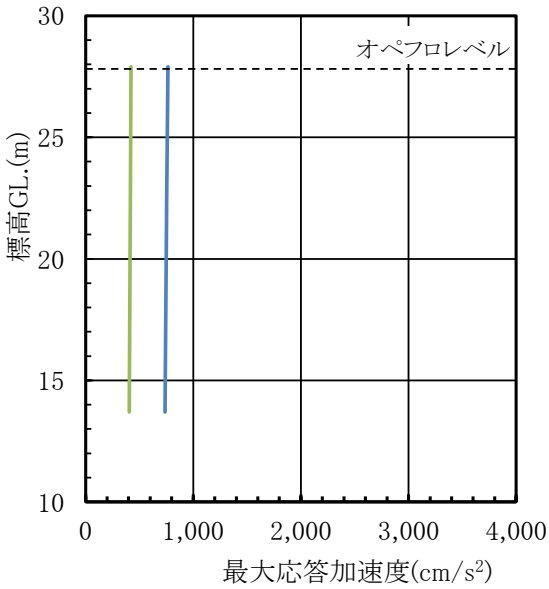

(c)鉛直(UD)成分 (C構面)

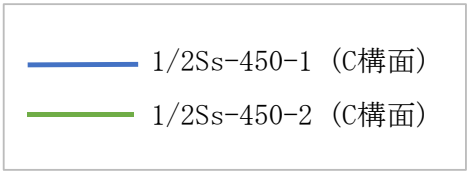

図 5.3.2-4　NS・EW・UD 方向　最大応答加速度分布(燃料取扱設備支持部)

(2)　機能維持の検討

地震応答解析結果が，JSCA 性能設計説明書 2017 年版（社団法人日本建築構造技術者協会，2018 年）を参考に定めたクライテリア（「層間変形角は 1/75 以下，層の塑性率は 4 以下，部材の塑性率は 5 以下」*を満足することを確認する。なお，大型カバーは立体架構による検討のため，JSCA 性能メニューのうち層の塑性率の評価を省略する。

また，主要架構（柱，梁）の解析結果が「時刻歴応答解析建築物性能評価業務方法書」（財団法人日本建築センター，平成 19 年 7 月 20 日）に示されるクライテリア（層間変形角は 1/100 以下，層の塑性率は 2 以下，部材の塑性率は 4 以下）を超える場合には水平変形に伴う鉛直荷重の付加的影響を考慮した解析を実施し，安全性を確認する。

＊：北村春幸，宮内洋二，浦本弥樹「性能設計における耐震性能判断基準値に関する研究」，日本建築学会構造系論文集，第 604 号，2006 年 6 月

1)　層間変形角の検討

a)　ガレキ撤去時

最大応答層間変形角を表 5.3.2-1 に示す。

検討の結果，最大応答層間変形角は 1/75 以下となりクライテリアを満足することを確認した。

表 5.3.2-1　一般部の最大応答層間変形角の検討結果

検討箇所	地震波 (位置)*1	方向	応答値	ｸﾗｲﾃﾘｱ	判定
南北側 G.L.+53.9(m) ～G.L.+28.3(m) h =25.6(m)	1/2Ss450-1 (case1)	NS	1/167	1/75	O.K.
東西側 G.L.+53.9(m) ～G.L.+28.3(m) h =25.6(m)	1/2Ss450-1 (case1)	EW	1/176	1/75	O.K.

*1：図 5.2.1-3 にガレキ撤去用天井クレーンの位置を示す

b) 燃料取り出し時

最大応答層間変形角を表 5.3.2-2 に示す。

検討の結果，最大応答層間変形角は 1/75 以下となりクライテリアを満足することを確認した。

表 5.3.2-2 一般部の最大応答層間変形角の検討結果

検討箇所	地震波 (位置)*1	方向	応答値	ｸﾗｲﾃﾘｱ	判定
南北側 G.L.+53.9(m) ～G.L.+28.3(m) h=25.6(m)	1/2Ss450-1 (case4)	NS	1/160	1/75	O.K.
東西側 G.L.+53.9(m) ～G.L.+28.3(m) h=25.6(m)	1/2Ss450-1 (case4)	EW	1/163	1/75	O.K.

*1：図 5.2.1-4 に燃料取扱設備の位置を示す

2) 断面検討

部材の応答結果が塑性化する箇所があるため，断面検討結果は応力度比または塑性率で示す。

部材の応力度比は，軸力と各許容応力度との比で表される。部材の塑性率は，引張及び圧縮に対して最大軸力時のひずみを引張耐力又は座屈耐力時のひずみで除した値で表される。表 5.3.2-3 及び 5.3.2-4 に断面検討結果を示す。なお，各許容応力度，引張耐力及び座屈耐力算定時の材料強度は「平成 12 年建設省告示第 2464 号」に定められた基準強度 F 値の 1.1 倍を用いる。

a) ガレキ撤去時

表 5.3.2-3 に応力度比が最大となる部位の断面検討結果を示す。断面検討の結果，全ての部材の応力度比が 1 以下または，塑性率が 5 以下になることを確認した。

表 5.3.2-3(1)　断面検討結果（一般部，1/2Ss450 地震時，応力度比）上部架構

部位*1		部材形状（mm） 〈使用材料*2〉	地震波 (位置)*3	入力 方向	作用 応力度 (N/mm²)		許容 応力度 (N/mm²)		応力 度比	判定
①	柱	H-428×407×20×35	1/2Ss450-1 (case1)	-NS-EW-UD	σ_c	286.2	f_c	344.0	0.84	O.K.
②	梁	B[-300×220×16×25	1/2Ss450-1 (case1)	-NS-EW+UD	σ_c	175.1	f_c	322.9	0.55	O.K.
③	ブレース	φ-355.6×7.9	1/2Ss450-1 (case1)	-NS+EW+UD	σ_c	251.3	f_c	337.2	0.75	O.K.
④	鋼板	PL-16 〈SN400B〉	1/2Ss450-1 (case1)	+NS+EW+UD	σ_x	45.9	f_t	258.0	0.63	O.K.
					σ_y	15.0				
					τ_{xy}	90.7				

表 5.3.2-3(2)　断面検討結果（一般部，1/2Ss450 地震時，塑性率）上部架構

部位*1		部材形状（mm） 〈使用材料*2〉	地震波 (位置)*3	入力 方向	塑性率	判定
⑤	鉛直ブレース	φ-267.4×6.6	1/2Ss450-1 (case1)	+NS-EW-UD	2.15	O.K.

表 5.3.2-3(3)　断面検討結果（一般部，1/2Ss450 地震時，応力度比）下部架構

部位*1		部材形状（mm） 〈使用材料*2〉	地震波 (位置)*3	入力 方向	作用 応力度 (N/mm²)		許容 応力度 (N/mm²)		応力 度比	判定
⑥	柱	H-400×400×13×21	1/2Ss450-1 (case1)	-NS+EW-UD	σ_c	273.6	f_c	320.4	0.86	O.K.
⑦	梁	H-588×300×12×20	1/2Ss450-1 (case1)	+NS+EW+UD	σ_t	235.8	f_t	357.5	0.66	O.K.

表 5.3.2-3(4)　断面検討結果（一般部，1/2Ss450 地震時，塑性率）下部架構

部位*1		部材形状（mm） 〈使用材料*2〉	地震波 (位置)*3	入力 方向	塑性率	判定
⑧	鉛直ブレース	φ-267.4×6.6	1/2Ss450-1 (case1)	+NS+EW-UD	2.42	O.K.
⑨	接続部水平ブレース	十字 PL（PL-28×210 +2PL-28×91）	1/2Ss450-1 (case1)	+NS-EW-UD	2.82	O.K.
⑩	接続部鉛直ブレース	十字 PL（PL-28×210 +2PL-28×91）	1/2Ss450-1 (case1)	+NS+EW+UD	1.96	O.K.

表 5.3.2-3(5)　断面検討結果（燃料取扱設備支持部，1/2Ss450 地震時，応力度比）

部位*1		部材形状（mm） 〈使用材料*2〉	地震波 (位置)*3	入力 方向	作用 応力度 (N/mm^2)		許容 応力度 (N/mm^2)		応力 度比	判定
⑪	柱	H-400×400×13×21	1/2Ss450-1 (case1)	-NS-EW+UD	σ_c	37.9	f_c	326.1	0.12	O.K.
⑫	梁	H-350×350×12×19	1/2Ss450-1 (case1)	+NS-EW-UD	σ_t	77.5	f_t	357.5	0.22	O.K.
⑬	水平 ブレース	十字 PL（PL-28×210 +2PL-28×91）	1/2Ss450-1 (case1)	+NS-EW-UD	σ_t	167.1	f_t	357.5	0.47	O.K.
⑭	鉛直 ブレース	φ-355.6×7.9	1/2Ss450-1 (case1)	+NS-EW-UD	σ_c	144.2	f_c	349.6	0.42	O.K.

*1：①～⑭の符号は図 5.3.2-5 の応力検討箇所を示す

*2：特記なき限り，各部材の使用材料は，鋼管：STKN490B，その他は SN490B

*3：図 5.2.1-3 にガレキ撤去用天井クレーンの位置を示す

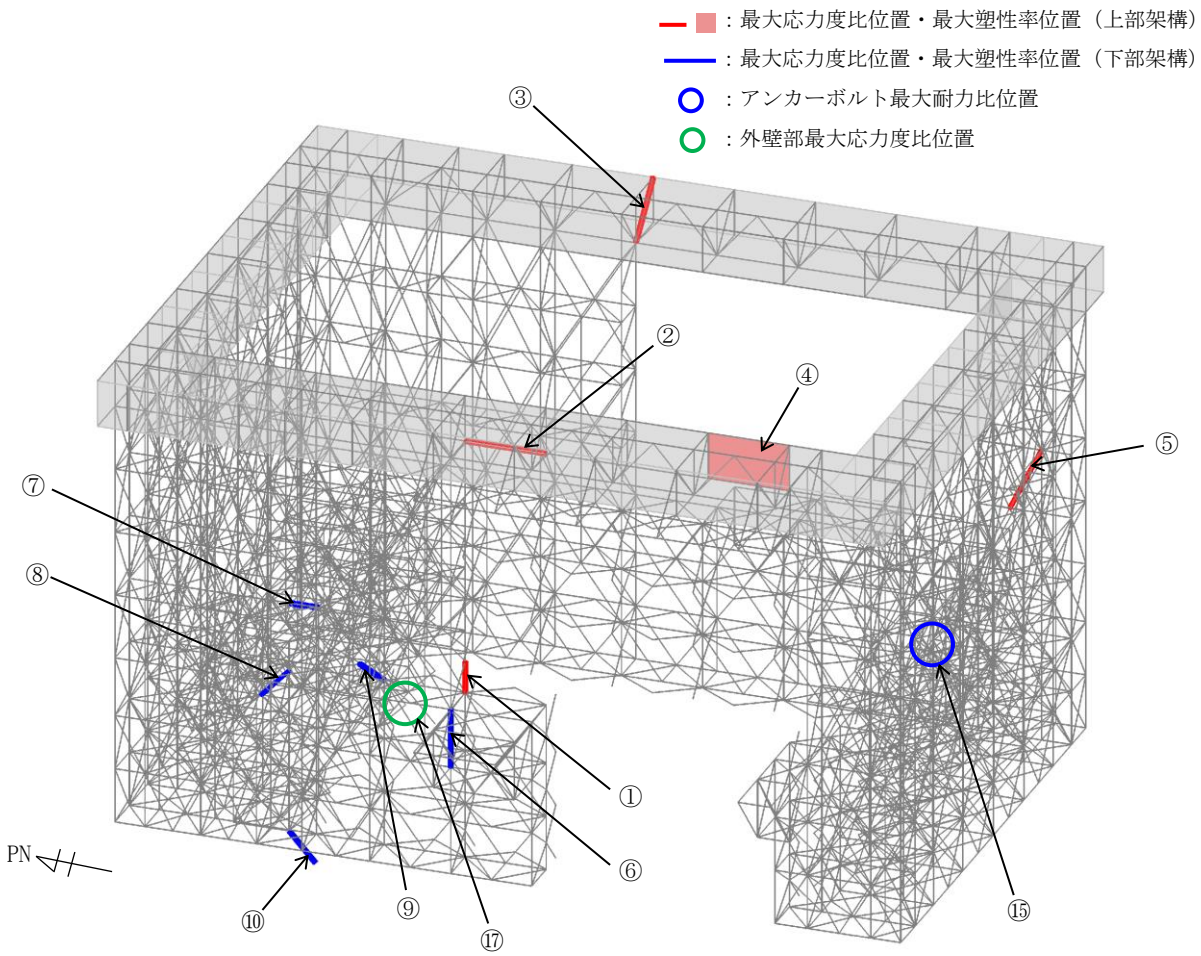

図 5.3.2-5(1)　最大応力度比位置図(一般部，1/2Ss450 地震時)

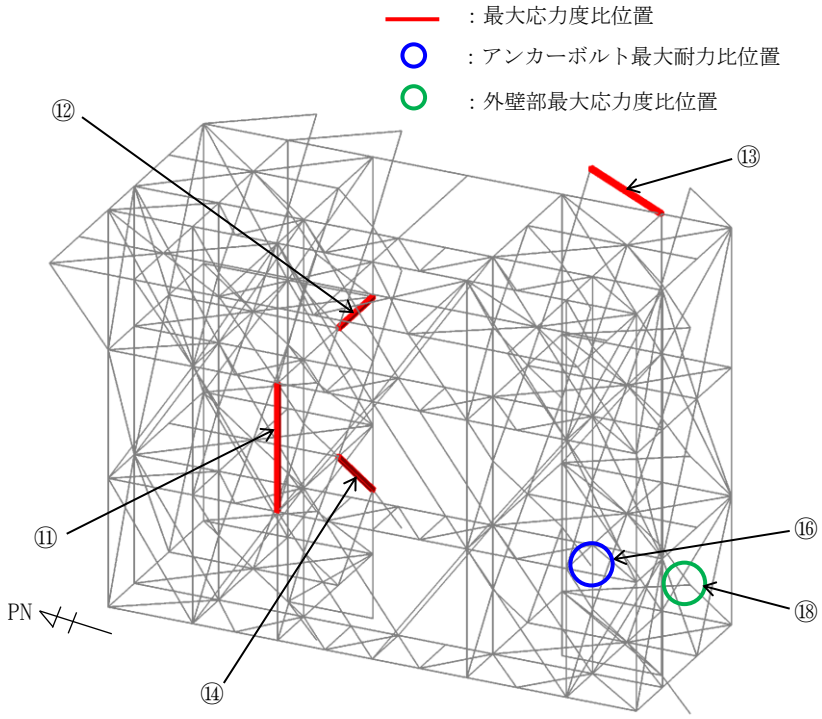

図 5.3.2-5(2)　最大応力度比位置図(燃料取扱設備支持部，1/2Ss450 地震時)

b) 燃料取り出し時

表 5.3.2-4 に応力度比が最大となる部位の断面検討結果を示す。断面検討の結果，全ての部材の応力度比が 1 以下又は，塑性率が 5 以下になることを確認した。

表 5.3.2-4(1)　断面検討結果（一般部，1/2Ss450 地震時，応力度比）上部架構

部位*1		部材形状（mm） 〈使用材料*2〉	地震波 (位置)*3	入力 方向	作用 応力度 (N/mm²)		許容 応力度 (N/mm²)		応力 度比	判定
①	柱	H-428×407×20×35	1/2Ss450-1 (case4)	-NS-EW+UD	σ_c	281.2	f_c	344.0	0.82	O.K.
②	梁	B[-300×220×16×25	1/2Ss450-1 (case4)	-NS+EW-UD	σ_c	142.2	f_c	322.9	0.45	O.K.
③	ブレース	φ-355.6×7.9	1/2Ss450-1 (case4)	+NS+EW+UD	σ_c	271.3	f_c	337.2	0.81	O.K.
④	鋼板	PL-16 〈SN400B〉	1/2Ss450-1 (case4)	+NS+EW-UD	σ_x	88.4	f_t	258.0	0.58	O.K.
					σ_y	56.9				
					τ_{xy}	72.4				

表 5.3.2-4(2)　断面検討結果（一般部，1/2Ss450 地震時，塑性率）上部架構

部位*1		部材形状（mm） 〈使用材料*2〉	地震波 (位置)*3	入力 方向	塑性率	判定
⑤	鉛直ブレース	φ-267.4×6.6	1/2Ss450-1 (case4)	+NS-EW-UD	2.23	O.K.

表 5.3.2-4(3)　断面検討結果（一般部，1/2Ss450 地震時，応力度比）下部架構

部位*1		部材形状（mm） 〈使用材料*2〉	地震波 (位置)*3	入力 方向	作用 応力度 (N/mm²)		許容 応力度 (N/mm²)		応力 度比	判定
⑥	柱	H-400×400×13×21	1/2Ss450-1 (case4)	-NS-EW-UD	σ_c	309.6	f_c	345.1	0.90	O.K.
⑦	梁	H-588×300×12×20	1/2Ss450-1 (case4)	-NS-EW+UD	σ_t	238.9	f_t	357.5	0.67	O.K.

表 5.3.2-4(4)　断面検討結果（一般部，1/2Ss450 地震時，塑性率）下部架構

部位*1		部材形状（mm） 〈使用材料*2〉	地震波 (位置)*3	入力 方向	塑性率	判定
⑧	鉛直ブレース	φ-267.4×6.6	1/2Ss450-1 (case4)	+NS+EW+UD	2.86	O.K.
⑨	接続部水平ブレース	十字 PL（PL-28×210 +2PL-28×91）	1/2Ss450-1 (case4)	+NS-EW-UD	3.20	O.K.
⑩	接続部鉛直ブレース	十字 PL（PL-28×210 +2PL-28×91）	1/2Ss450-1 (case4)	-NS-EW-UD	2.20	O.K.

表 5.3.2-4(5)　断面検討結果（燃料取扱設備支持部，1/2Ss450 地震時，応力度比）

部位*1		部材形状（mm） 〈使用材料*2〉	地震波 (位置)*3	入力 方向	作用 応力度 (N/mm^2)		許容 応力度 (N/mm^2)		応力 度比	判定
⑪	柱	H-400×400×13×21	1/2Ss450-1 (case4)	-NS-EW+UD	σ_c	70.4	f_c	326.1	0.22	O.K.
⑫	梁	H-350×350×12×19	1/2Ss450-1 (case4)	+NS-EW+UD	σ_t	116.3	f_t	357.5	0.33	O.K.
⑬	水平 ブレース	十字 PL（PL-28×210 +2PL-28×91）	1/2Ss450-1 (case4)	+NS-EW-UD	σ_t	199.0	f_t	357.5	0.56	O.K.
⑭	鉛直 ブレース	φ-355.6×7.9	1/2Ss450-1 (case4)	-NS-EW+UD	σ_c	222.0	f_c	349.6	0.64	O.K.

*1：①～⑭の符号は図 5.3.2-6 の応力検討箇所を示す

*2：特記なき限り，各部材の使用材料は，鋼管：STKN490B，その他は SN490B

*3：図 5.2.1-4 に燃料取扱設備の位置を示す

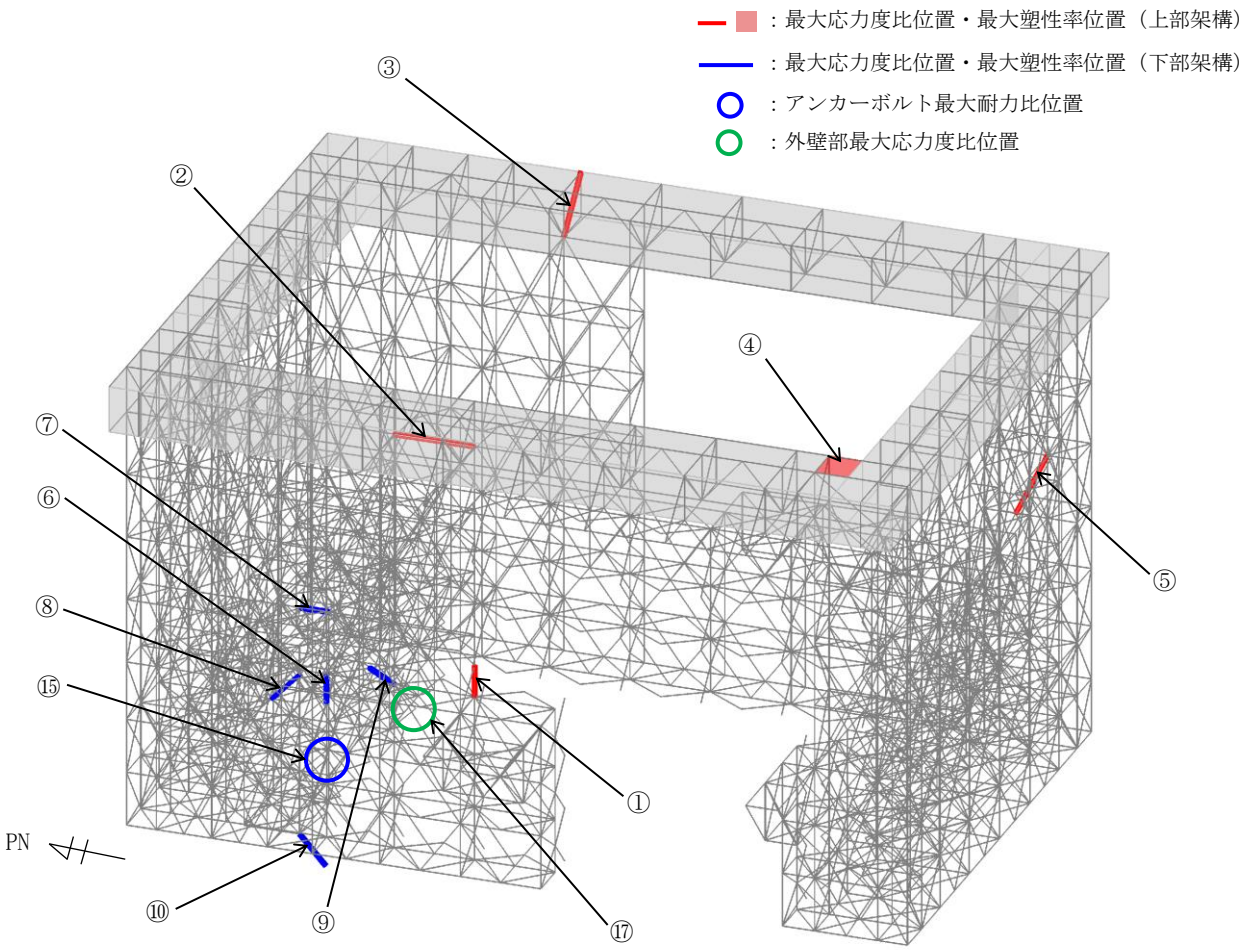

図 5.3.2-6(1)　最大応力度比位置図(一般部，1/2Ss450 地震時)

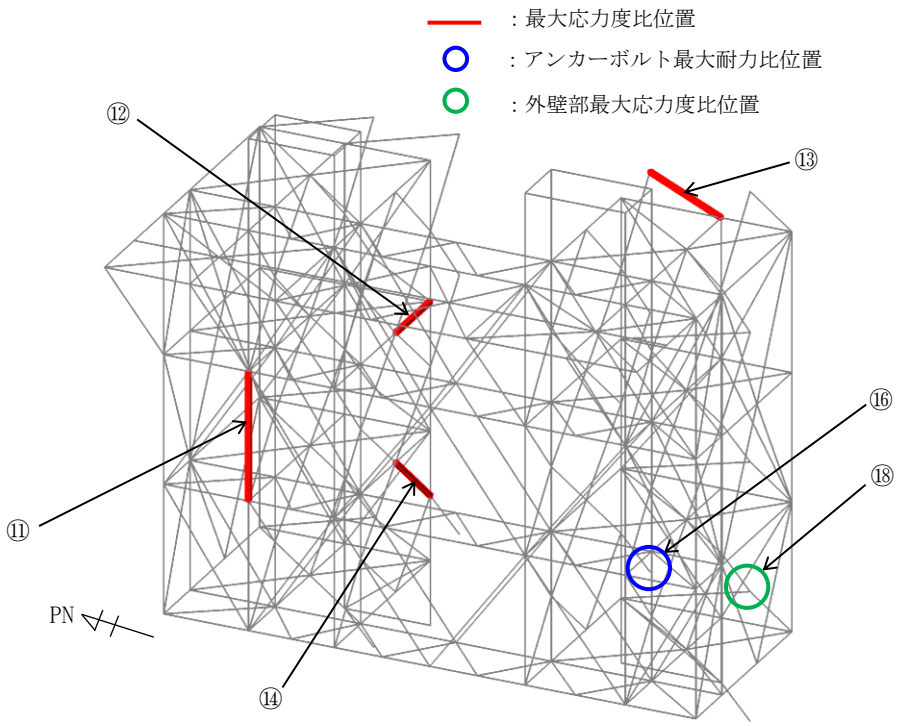

図 5.3.2-6(2)　最大応力度比位置図(燃料取扱設備支持部，1/2Ss450 地震時)

5.3.3　屋根の耐震性に対する検討

(1)　断面検討

部材の塑性率は，引張及び圧縮に対して最大軸力時のひずみを引張耐力または座屈耐力時のひずみで除した値で表される。表 5.3.3-1 及び表 5.3.3-2 に断面検討結果を示す。なお，各許容応力度，引張耐力及び座屈耐力算定時の材料強度は「平成 12 年建設省告示第 2464 号」に定められた基準強度 F 値の 1.1 倍を用いる。

1)　ガレキ撤去時

表 5.3.3-1 に塑性率が最大となる部位の断面検討結果を示す。断面検討の結果，全ての部材の塑性率が 5 以下になることを確認した。

表 5.3.3-1　断面検討結果（屋根部，1/2Ss450 地震時）

部位*1		部材形状（mm） 〈使用材料〉	地震波 （位置）*2	塑性率	判定
①	弦材	P-190.7φ×5.3t 〈STK490〉	1/2Ss450-1 (case1)	0.62	O.K.
②	斜材	P-89.1φ×3.2t 〈STK400〉	1/2Ss450-1 (case1)	4.22	O.K.
③	ブレース	1-M16 〈SNR400B〉	1/2Ss450-1 (case1)	2.61	O.K.

*1：①～③の符号は図 5.3.3-1 の応力検討箇所を示す

*2：図 5.2.1-3 にガレキ撤去用天井クレーンの位置を示す

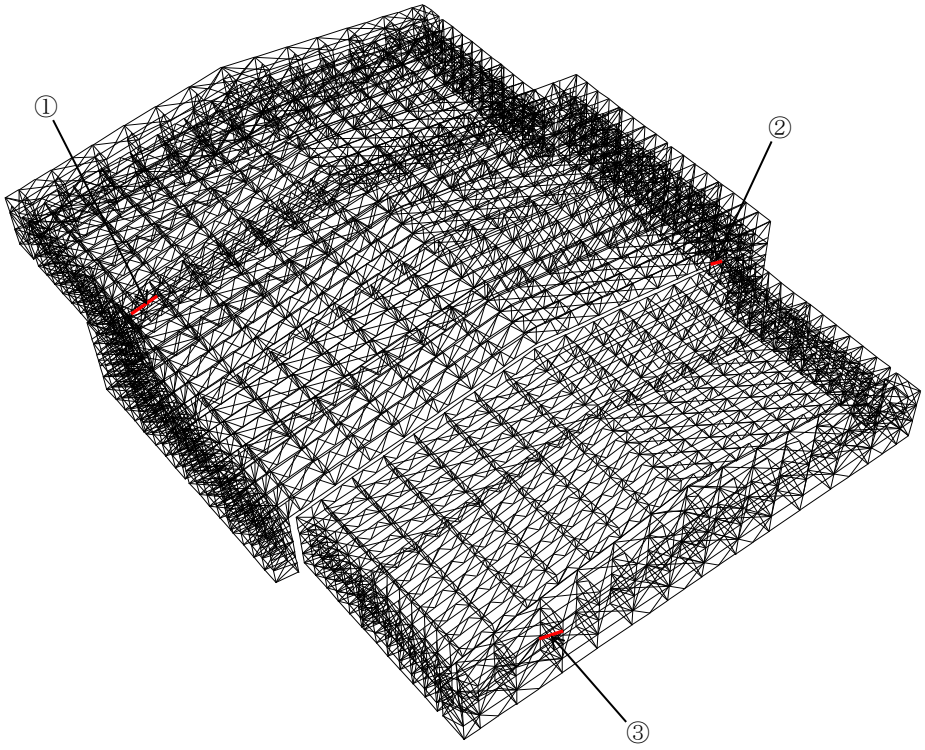

図 5.3.3-1　最大塑性率位置図

2)　燃料取り出し時

表 5.3.3-2 に塑性率が最大となる部位の断面検討結果を示す。断面検討の結果，全ての部材の塑性率が 5 以下になることを確認した。

表 5.3.3-2　断面検討結果（屋根部，1/2Ss450 地震時）

部位*1		部材形状（mm） 〈使用材料〉	地震波 （位置）*2	塑性率	判定
①	弦材	P-190.7φ×5.3t 〈STK490〉	1/2Ss450-1 (case4)	0.60	O.K.
②	斜材	P-89.1φ×3.2t 〈STK400〉	1/2Ss450-1 (case4)	4.47	O.K.
③	ブレース	1-M16 〈SNR400B〉	1/2Ss450-1 (case4)	2.59	O.K.

*1：①～③の符号は図 5.3.3-2 の応力検討箇所を示す

*2：図 5.2.1-4 に燃料取扱設備の位置を示す

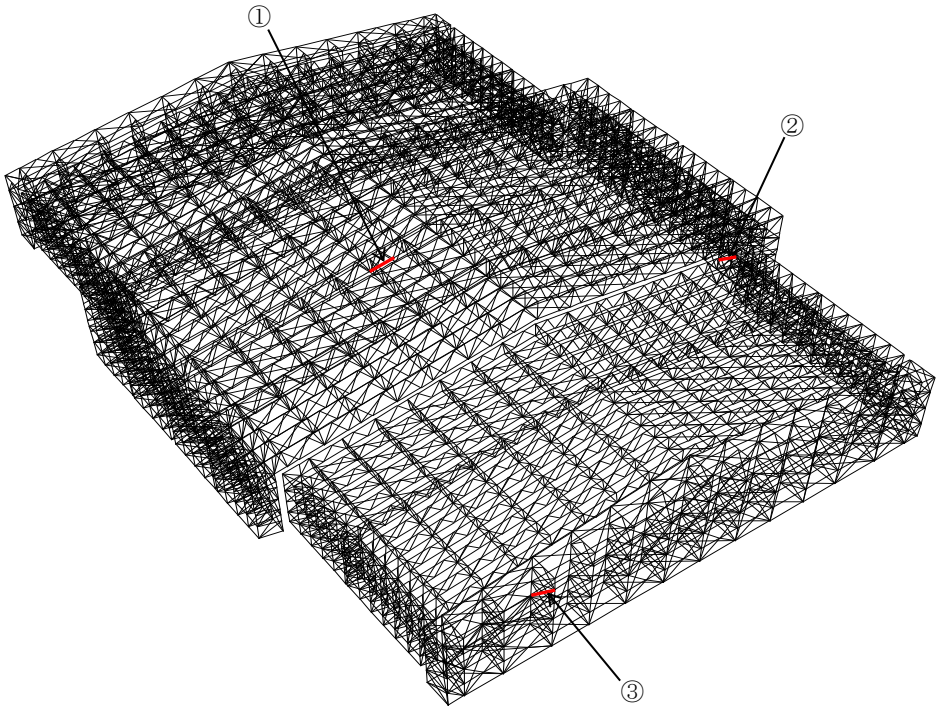

図 5.3.3-2　最大塑性率位置図

5.3.4　建屋取り合い部の耐震性に対する検討

(1)　アンカーボルトの検討（引抜き，せん断）

大型カバーはアンカーボルトにより原子炉建屋外壁に取り付く。アンカーボルトの仕様は，M33（SNR490B）の接着系アンカーボルトとし，終局耐力は「あと施工アンカー施工指針（案）（一般社団法人日本建築あと施工アンカー協会)」に従い，原子炉建屋の設計基準強度を用いて下式によって求める。表 5.3.4-1 にアンカーボルトの終局耐力を示す。

$$pu = \min(pu_1,\ pu_2,\ pu_3)$$

$$qu = \min(qu_1,\ qu_2)$$

pu　：接着系アンカーボルトの終局引張力（kN/本）

pu_1　：アンカーボルトの降伏により決まる終局引張力（kN/本）

pu_2　：躯体のコーン状破壊により決まる終局引張力（kN/本）

pu_3　：付着力により決まる終局引張力（kN/本）

qu　：接着系アンカーボルトの終局せん断力（kN/本）

qu_1　：アンカーボルトのせん断強度により決まる終局せん断力（kN/本）

qu_2　：躯体の支圧強度により決まる終局せん断力（kN/本）

表 5.3.4-1 接着系アンカーボルトの終局耐力

部位		一般部	燃料取扱設備 支持部
			GL+13.7
タイプ		標準	標準
鋼材種類		M33	M33
		SNR490B	SNR490B
埋め込み長さ　(mm)		345	345
アンカーボルト間隔　(mm)		400	400
終局	許容引張力(pu)　(kN/本)	234	318
	許容せん断力(qu)　(kN/本)	193	193

アンカーボルトの検討は，建屋取り合い部に生じる最大支点反力に対し，下式にて検討を行う。

$$\frac{P}{P_u} \leqq 1$$

$$\frac{Q}{Q_u} \leqq 1$$

$$\left(\frac{P}{P_u}\right)^2+\left(\frac{Q}{Q_u}\right)^2 \leqq 1$$

Pu：アンカーボルトの終局引張耐力（kN）

Qu：アンカーボルトの終局せん断耐力（kN）

P ：アンカーボルトの引張力（kN）

Q ：アンカーボルトのせん断力（kN）

1) ガレキ撤去時

表 5.3.4-2 に耐力比が最大となる部位の検討結果を示す。

検討の結果，アンカーボルトの最大耐力比は 1 以下になることを確認した。

表 5.3.4-2(1) アンカーボルトの検討結果（一般部，1/2Ss450 地震時）

部位*1（アンカー本数）		地震波（位置）*2	入力方向	作用応力		終局耐力		耐力比	判定
				引張力 P (kN)	せん断力 Q (kN)	引張耐力 Pu(kN)	せん断耐力 Qu(kN)		
⑮	アンカーボルト (34)	1/2Ss450-1 (case1)	-NS+EW+UD	565	5056	7956	6562	0.78	O.K.

表 5.3.4-2(2) アンカーボルトの検討結果（燃料取扱設備支持部，1/2Ss450 地震時）

部位*1（アンカー本数）		地震波（位置）*2	入力方向	作用応力		終局耐力		耐力比	判定
				引張力 P (kN)	せん断力 Q (kN)	引張耐力 Pu(kN)	せん断耐力 Qu(kN)		
⑯	アンカーボルト (12)	1/2Ss450-1 (case1)	-NS-EW-UD	354	1191	3816	2316	0.52	O.K.

*1：図 5.3.2-5 に応力検討箇所を示す

*2：図 5.2.1-3 にガレキ撤去用天井クレーンの位置を示す

2) 燃料取り出し時

表 5.3.4-3 に耐力比が最大となる部位の検討結果を示す。

検討の結果，アンカーボルトの最大耐力比は 1 以下になることを確認した。

表 5.3.4-3(1) アンカーボルトの検討結果（一般部，1/2Ss450 地震時）

部位*1（アンカー本数）		地震波（位置）*2	入力方向	作用応力		終局耐力		耐力比	判定
				引張力 P (kN)	せん断力 Q (kN)	引張耐力 Pu(kN)	せん断耐力 Qu(kN)		
⑮	アンカーボルト (32)	1/2Ss450-1 (case4)	-NS-EW-UD	604	5145	7488	6176	0.84	O.K.

表 5.3.4-3(2) アンカーボルトの検討結果（燃料取扱設備支持部，1/2Ss450 地震時）

部位*1（アンカー本数）		地震波（位置）*2	入力方向	作用応力		終局耐力		耐力比	判定
				引張力 P (kN)	せん断力 Q (kN)	引張耐力 Pu(kN)	せん断耐力 Qu(kN)		
⑯	アンカーボルト (12)	1/2Ss450-1 (case4)	-NS-EW+UD	527	1635	3816	2316	0.71	O.K.

*1：図 5.3.2-6 に応力検討箇所を示す

*2：図 5.2.1-4 に燃料取扱設備の位置を示す

(2)　原子炉建屋外壁部の検討

「5.2.4(2)　原子炉建屋外壁部の検討」と同様に，壁面の圧縮応力度が許容応力度以下となることを確認する。

1)　ガレキ撤去時

表 5.3.4-4 に応力度比が最大となる部位の検討結果を示す。

検討の結果，原子炉建屋外壁部の最大応力度比は 1 以下になることを確認した。

表 5.3.4-4(1)　外壁部の検討結果（一般部，1/2Ss450 地震時）

部位*1		地震波 (位置)*2	入力 方向	作用応力度 (N/mm^2)	許容応力度 (N/mm^2)	応力 度比	判定
⑰	外壁	1/2Ss450-1 (case1)	+NS-EW-UD	1.0	22.1	0.05	O.K.

表 5.3.4-4(2)　外壁部の検討結果（燃料取扱設備支持部，1/2Ss450 地震時）

部位*1		地震波 (位置)*2	入力 方向	作用応力度 (N/mm^2)	許容応力度 (N/mm^2)	応力 度比	判定
⑱	外壁	1/2Ss450-1 (case1)	-NS+EW+UD	0.6	22.1	0.03	O.K.

*1：図 5.3.2-5 に応力検討箇所を示す

*2：図 5.2.1-3 にガレキ撤去用天井クレーンの位置を示す

2)　燃料取り出し時

表 5.3.4-5 に応力度比が最大となる部位の検討結果を示す。

検討の結果，原子炉建屋外壁部の最大応力度比は 1 以下になることを確認した。

表 5.3.4-5(1)　外壁部の検討結果（一般部，1/2Ss450 地震時）

部位*1		地震波 (位置)*2	入力 方向	作用応力度 (N/mm^2)	許容応力度 (N/mm^2)	応力 度比	判定
⑰	外壁	1/2Ss450-1 (case4)	+NS-EW+UD	1.1	22.1	0.05	O.K.

表 5.3.4-5(2)　外壁部の検討結果（燃料取扱設備支持部，1/2Ss450 地震時）

部位*1		地震波 (位置)*2	入力 方向	作用応力度 (N/mm^2)	許容応力度 (N/mm^2)	応力 度比	判定
⑱	外壁	1/2Ss450-1 (case4)	-NS-EW+UD	1.0	22.1	0.05	O.K.

*1：図 5.3.2-6 に応力検討箇所を示す

*2：図 5.2.1-4 に燃料取扱設備の位置を示す

5.3.5　原子炉建屋の耐震性に対する検討

(1)　検討方針

大型カバーの設置に伴う原子炉建屋の耐震性の評価は，燃料取扱設備の間接支持機能維持の観点から，地震応答解析により得られる耐震壁のせん断ひずみが鉄筋コンクリート造耐震壁の許容限界に対応した評価基準値（2.0×10^{-3}）以下になることを確認する。また，最大接地圧が地盤の許容限界を超えないことを確認する。

(2)　原子炉建屋の地震応答解析

1)　解析に用いる入力地震動

検討に用いる地震動は，「5.3.1　検討方針」で示した 1/2Ss450 とする。

地震応答解析に用いる入力地震動の概念図は図 5.3.1-1 と同様である。

2)　地震応答解析モデル

原子炉建屋の地震応答解析モデルは，図 5.3.5-1 に示すように質点系でモデル化し，地盤を等価なばねで評価した建屋－地盤連成系モデルとする。

地震応答解析モデルの諸元は，「Ⅱ.2.6　滞留水を貯留している（滞留している場合を含む）建屋　添付資料－２　構造強度及び耐震性（地下滞留水を考慮した建屋の耐震安全評価）」に示される内容に，ガレキ撤去等による重量増減及び新規に設置する大型カバー，燃料取扱設備等の重量を考慮した。地震応答解析モデルの諸元の質点重量および回転慣性重量を表 5.3.5-1 に示す。

地盤定数は，「5.3.1　検討方針」で示した地盤定数と同一である。

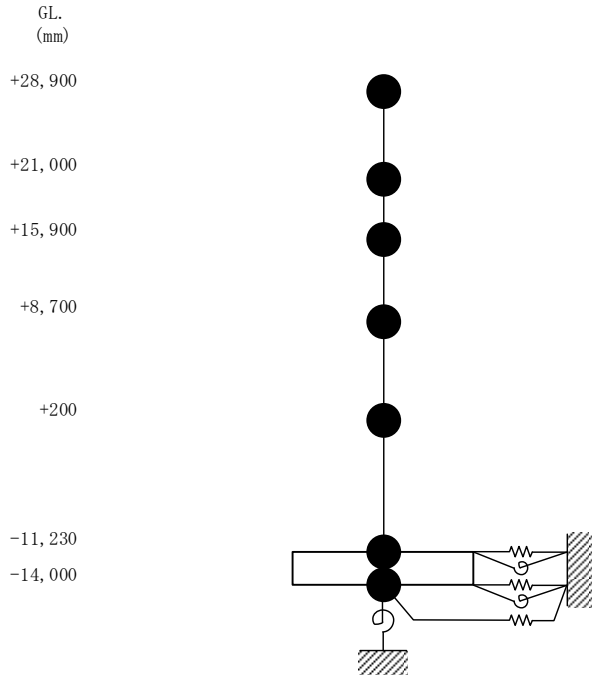

図 5.3.5-1　原子炉建屋の地震応答解析モデル

表 5.3.5-1(1)　原子炉建屋の地震応答解析モデルの諸元（水平方向，ガレキ撤去時）

G.L.(m)	質点重量 W (kN)	回転慣性重量 I_G ($\times 10^5$ kN･m^2)	
		水平(NS)方向	水平(EW 方向)
+28.90	113830	163.75	93.73
+21.00	81500	117.34	67.09
+15.90	90680	130.48	74.63
+8.70	87510	125.98	125.98
+0.20	162800	234.31	234.31
-11.23	185210	266.64	327.39
-14.00	62400	89.83	110.32
合計	783930		

表 5.3.5-1(2)　原子炉建屋の地震応答解析モデルの諸元（水平方向，燃料取り出し時）

G.L.(m)	質点重量 W (kN)	回転慣性重量 I_G ($\times 10^5$ kN･m^2)	
		水平(NS)方向	水平(EW 方向)
+28.90	161390	232.17	132.90
+21.00	81500	117.34	67.09
+15.90	90670	130.46	74.62
+8.70	88080	126.80	126.80
+0.20	163140	234.80	234.80
-11.23	185210	266.64	327.39
-14.00	62400	89.83	110.32
合計	832390		

(3) 検討結果

1/2Ss450 に対する最大応答値を，「JEAG4601-1991」に基づき設定した耐震壁のせん断スケルトン曲線上にプロットした結果を，図 5.3.5-2 及び図 5.3.5-3 に示す。

検討の結果，地震応答解析により得られる最大応答値は，評価基準値（2.0×10^{-3}）以下となり，クライテリアを満足することを確認した。

また，1/2Ss450 に対する最大接地圧を，表 5.3.5-2 に示す。最大接地圧は，地盤の極限支持力度（9800kN/m^2） を超えないことを確認した。

表 5.3.5-2(1) 1/2Ss450 に対する最大接地圧（ガレキ撤去時）

	NS 方向	EW 方向
地震波	1/2Ss450-1	1/2Ss450-1
鉛直力N （$\times10^5$kN）	9.1	9.1
転倒モーメントM （$\times10^6$kN･m）	8.0	9.1
最大接地圧 （kN/m^2）	1210	1310

表 5.3.5-2(2) 1/2Ss450 に対する最大接地圧（燃料取り出し時）

	NS 方向	EW 方向
地震波	1/2Ss450-1	1/2Ss450-1
鉛直力N （$\times10^5$kN）	9.7	9.7
転倒モーメントM （$\times10^6$kN･m）	9.2	10.0
最大接地圧 （kN/m^2）	1380	1440

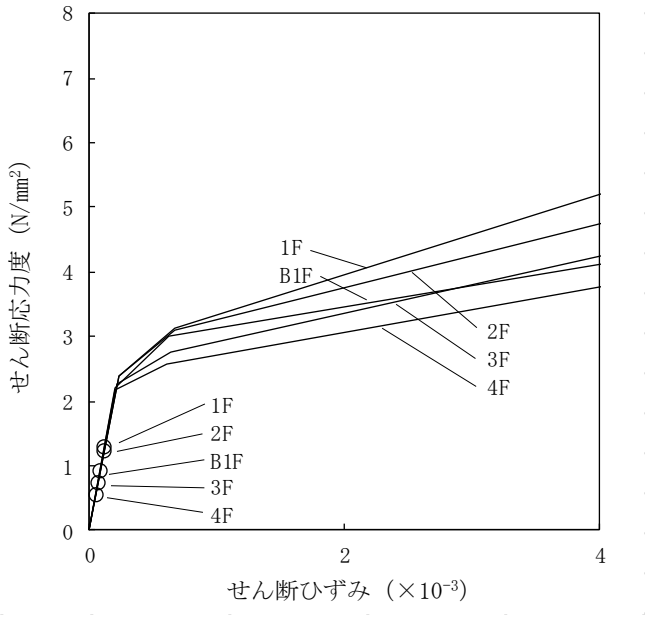

(a) NS 方向

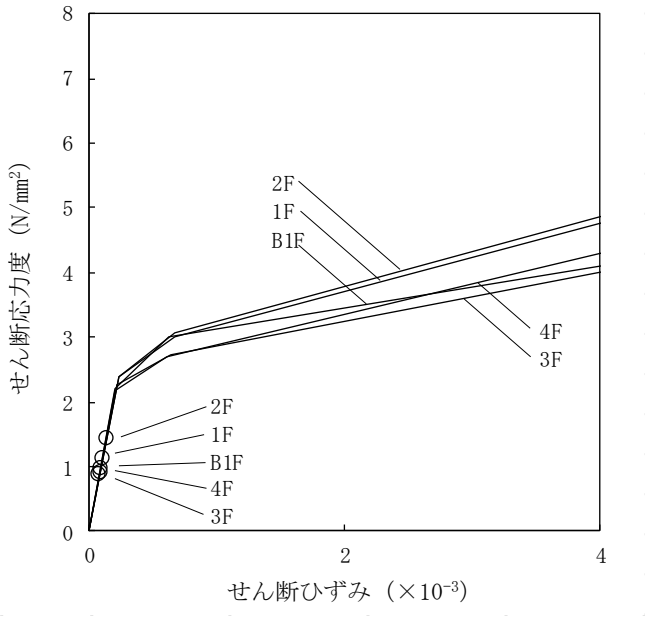

(b) EW 方向

図 5.3.5-2(1)　せん断スケルトン曲線上の最大応答値（1/2Ss450-1）（ガレキ撤去時）

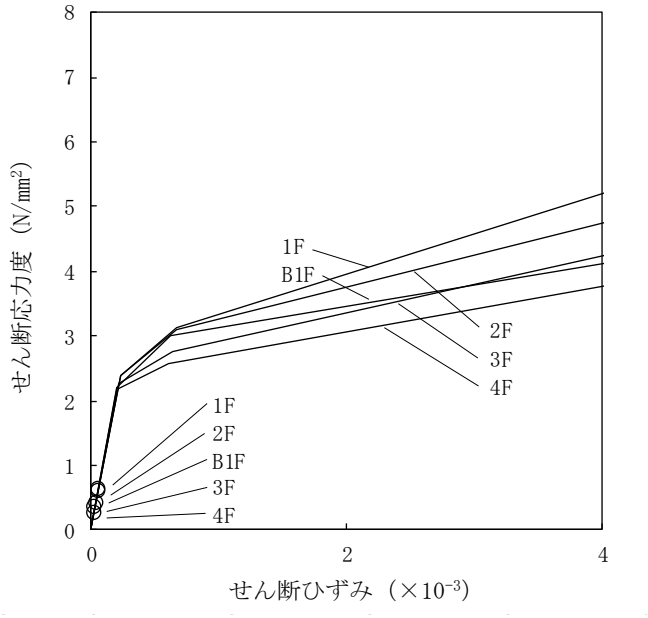

(a) NS 方向

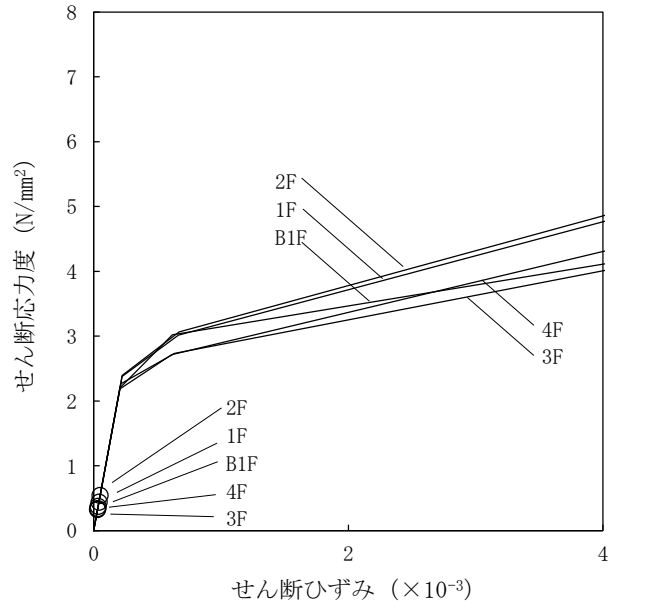

(b) EW 方向

図 5.3.5-2(2)　せん断スケルトン曲線上の最大応答値（1/2Ss450-2）（ガレキ撤去時）

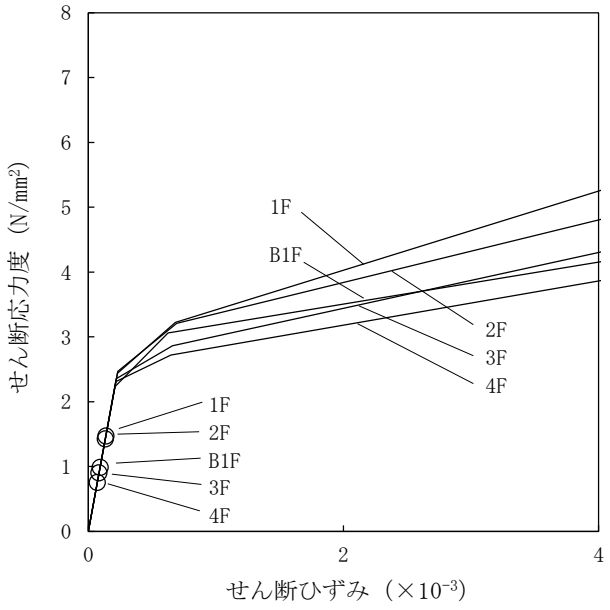

(a) NS 方向

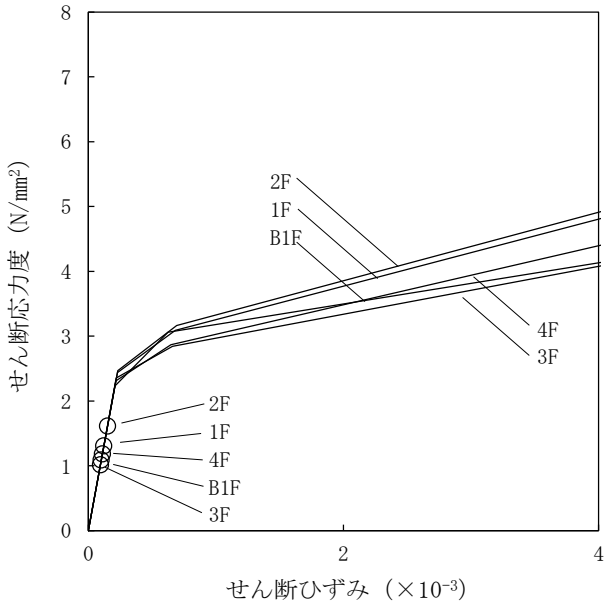

(b) EW 方向

図 5.3.5-3(1)　せん断スケルトン曲線上の最大応答値（1/2Ss450-1）（燃料取り出し時）

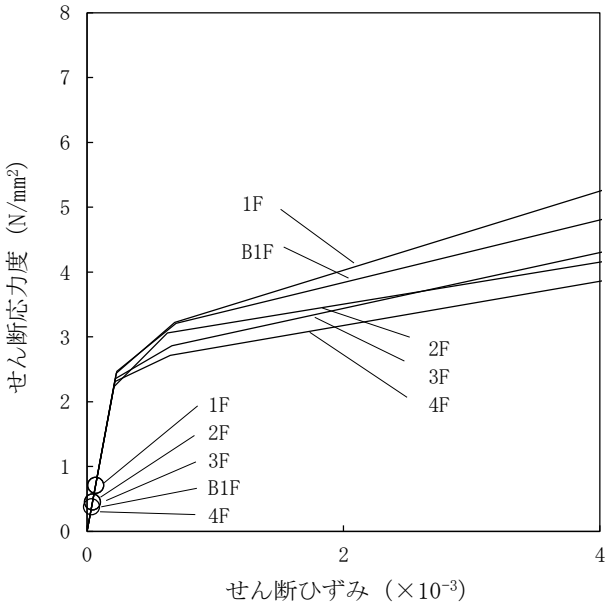

(a) NS 方向

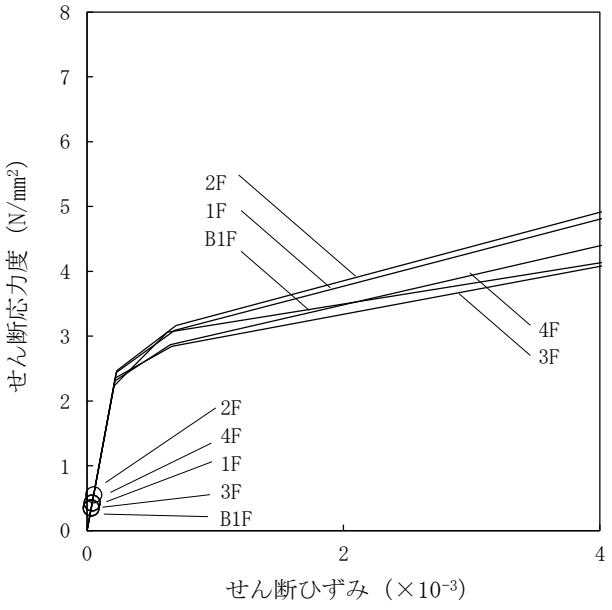

(b) EW 方向

図 5.3.5-3(2)　せん断スケルトン曲線上の最大応答値（1/2Ss450-2）（燃料取り出し時）

5.4　耐震性（波及的影響の検討）

5.4.1　検討方針

耐震性のうち波及的影響の検討は，大型カバー，屋根，建屋取り合い部，ガレキ撤去用天井クレーン及び原子炉建屋について行い，Ss900 に対して，これらの応答性状を適切に表現できる地震応答解析を用いて評価する。なお，地震応答解析は水平 2 方向及び鉛直の 3 方向の地震動を同時に入力する。

(1)　解析に用いる入力地震動

地震応答解析に用いる入力地震動の概念図は図 5.3.1-1 と同一である。モデルに入力する地震動は，2 波ある Ss900 のうち振幅の大きな検討用地震動①を用いる。Ss900 の加速度時刻歴波形を図 5.4.1-1～図 5.4.1-2 に示す。

Ss900 を用いた地震応答解析は水平 2 方向及び鉛直方向を同時に入力するが，全く同じ地震動が同時に水平 2 方向に入力されることは現実的に考えにくい。このため，応答スペクトルに基づく検討用地震動①を作成した方法と同一の方法で，目標とする応答スペクトルに適合し，Ss900-1 と直交する位相を用いた模擬地震波を利用する。検討用地震動①と組み合わせる模擬地震波の加速度時刻歴波形を図 5.4.1-3 に示す。

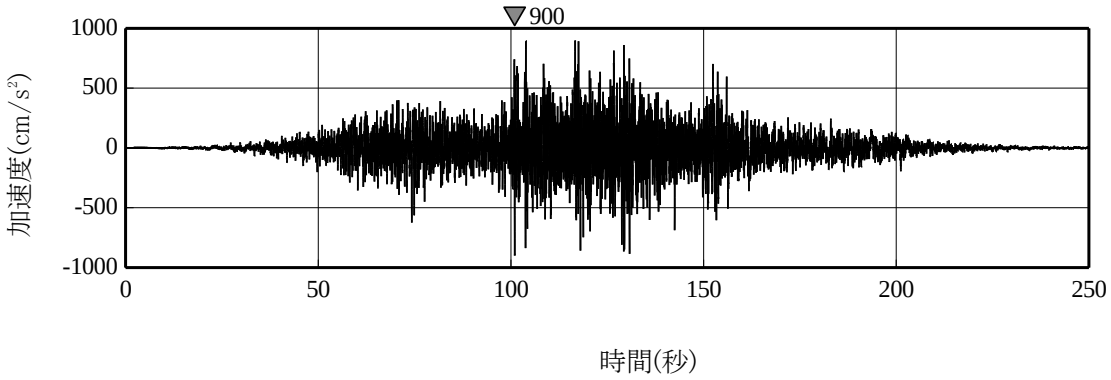

(a)　水平方向

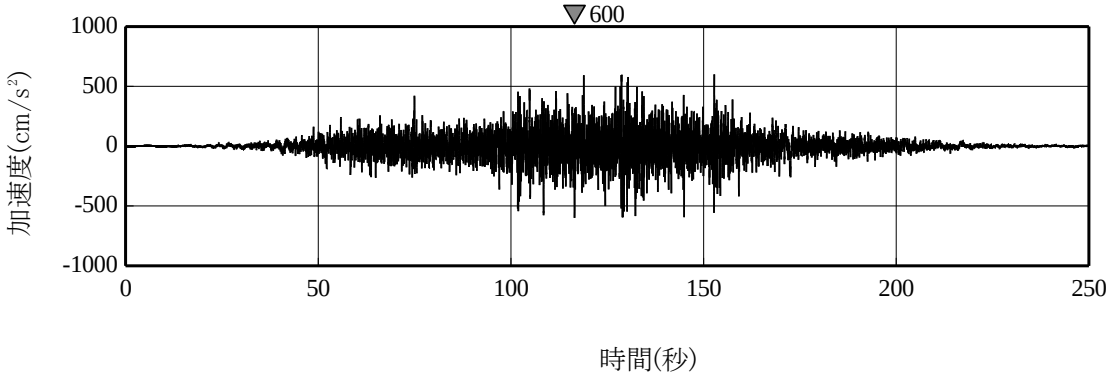

(b)　鉛直方向

図 5.4.1-1　Ss900 のうち検討用地震動①

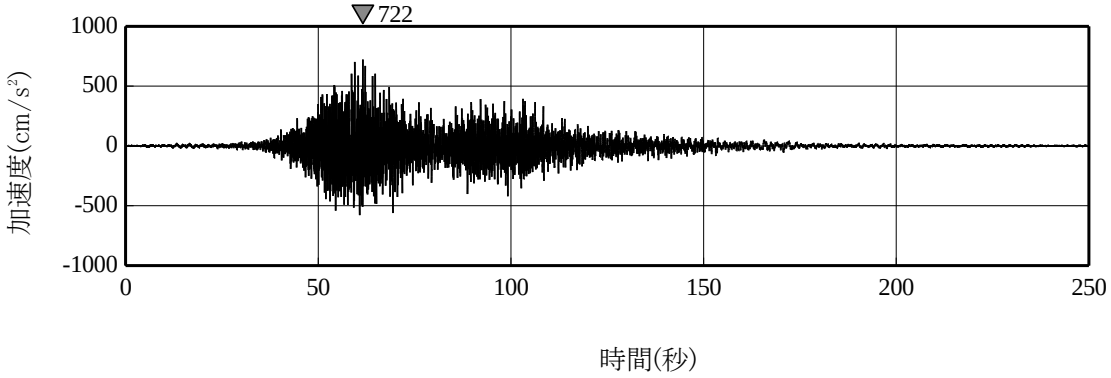

(a)　NS 方向

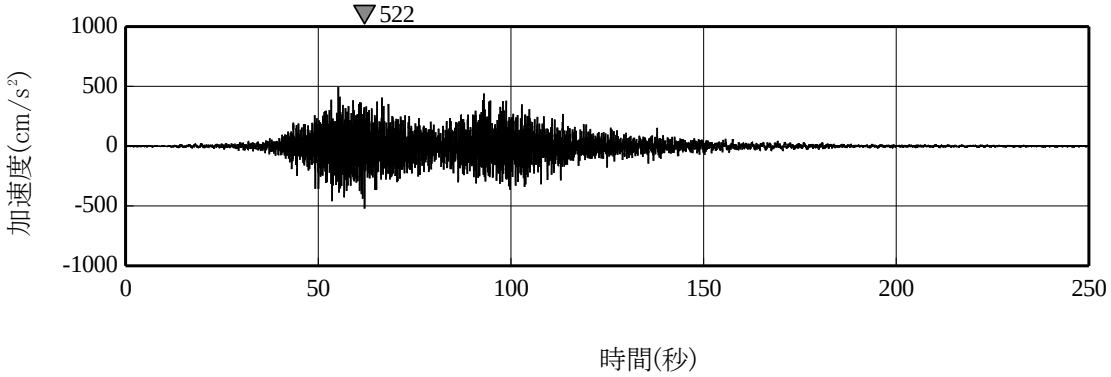

(b)　EW 方向

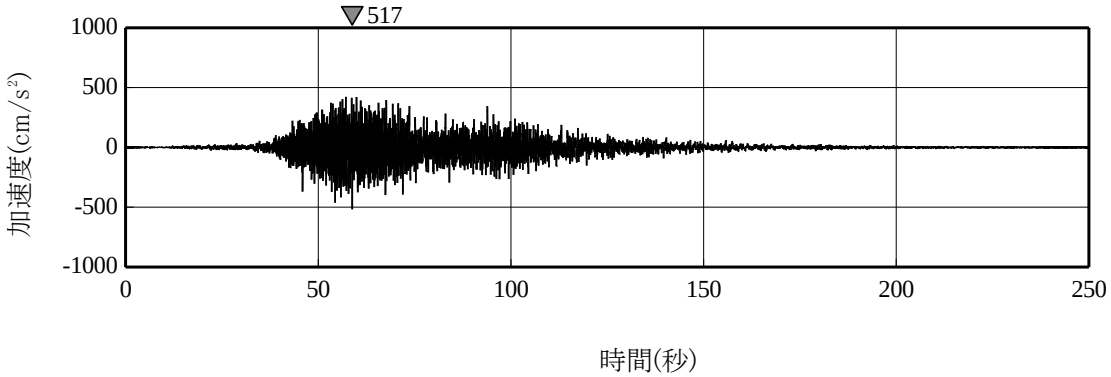

(c)　鉛直方向

図 5.4.1-2　Ss900 のうち検討用地震動②

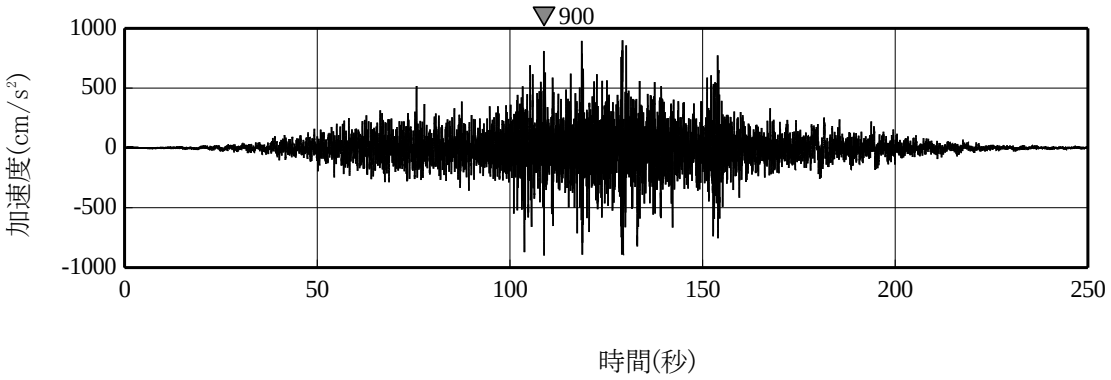

図 5.4.1-3　検討用地震動①（水平方向）と組み合わせる模擬地震波

(2)　地震応答解析モデル

地震応答解析モデル，地震応答解析に用いる鉄骨の物性値及び原子炉建屋の諸元は，「5.3.1(2) 地震応答解析モデル」と同一である。

大型カバーの地盤定数は，「福島第一原子力発電所『発電用原子炉施設に関する耐震設計審査指針』の改訂に伴う耐震安全性評価結果 中間報告書」（東京電力株式会社，平成 20 年 3 月 31 日）と同様とし，その結果を表 5.4.1-1 に示す。

表 5.4.1-1　等価地盤物性

G.L. (m)	地質	せん断波速度 Vs (m/s)	単位体積重量 γ (kN/m^3)	ポアソン比 ν	せん断弾性係数 G (×10^{5}kN/m^2)	初期せん断弾性係数 G_0 (×10^{5}kN/m^2)	剛性低下率 G/G_0	ヤング係数 E (×10^{5}kN/m^2)	減衰定数 h (%)	層厚 H (m)
0.0										
	砂岩	380	17.8	0.473	2.04	2.62	0.78	6.01	4	8.1
-8.1										
		450	16.5	0.464	2.32	3.41	0.68	6.79	3	11.9
-20.0										
		500	17.1	0.455	2.96	4.36	0.68	8.61	3	70.0
-90.0	泥岩									
		560	17.6	0.446	3.83	5.63	0.68	11.08	3	28.0
-118.0										
		600	17.8	0.442	4.44	6.53	0.68	12.80	3	88.0
-206.0										
	(解放基盤)	700	18.5	0.421	9.24	9.24	1.00	26.26	－	－

(3)　解析ケース

ガレキ撤去時と燃料取り出し時の 2 ケースについて地震応答解析を行う。

ガレキ撤去時は，使用済み燃料プール上部にガレキ撤去用天井クレーンを配置し，定格荷重相当のガレキを吊った状態を想定する。

燃料取り出し時は，ガレキ撤去用天井クレーンの使用頻度は低いため，北側配置で吊り荷なしの状態を想定する。

表 5.4.1-2　解析ケース

ケース No.	状態	入力地震動 (3 方向同時入力)			ガレキ撤去用 天井クレーン状態
		NS 方向	EW 方向	UD 方向	
1	ガレキ撤去時	Ss900 +NS (N→S)	Ss900 +EW (E→W)	Ss900 +UD (U→D)	プール上部配置 吊り荷考慮 (case1)
2	燃料取り出し時	同上	同上	同上	北側配置 吊り荷なし (case2)

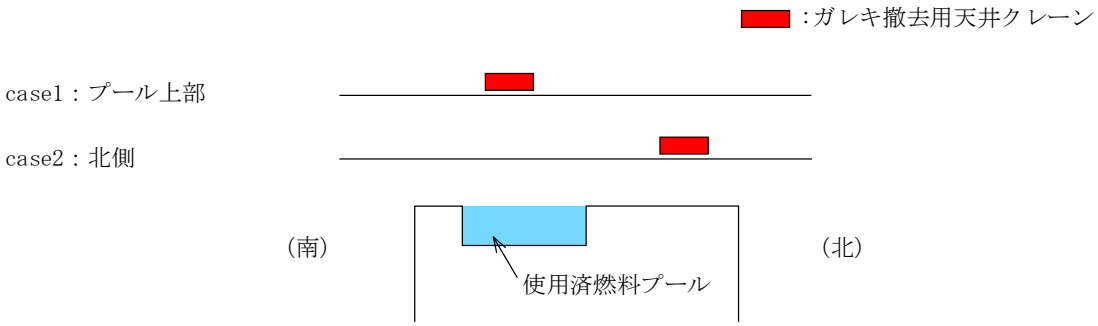

図 5.4.1-4　ガレキ撤去用天井クレーンの位置

(4) 評価項目とクライテリア

波及的影響の検討は，表 5.4.1-3 に示す項目について評価を行う。

表 5.4.1-3(1) 大型カバーのクライテリア

部位	考え方	許容限界
大型カバー架構 （一般部）	最大層間変形角が波及的影響を及ぼさないための許容限界を超えないことを確認	層間変形角 1/30※1
大型カバー架構 （柱梁・鋼板） （屋根弦材）	部材に生じる応力が許容限界を超えないことを確認，超える場合はエネルギー一定則による評価を実施し，塑性率の許容限界を超えないことを確認	弾性限界強度または 塑性率 5.0※2
大型カバー架構 （ブレース） （屋根斜材・ 屋根ブレース）	部材に生じる塑性率が許容限界を超えないことを確認，超える場合は応答による繰り返し回数が許容限界に対して十分な裕度を有することを確認	塑性率 5.0 または 評価最大ひずみ度に対する 破断寿命 1.0
大型カバー架構 アンカーボルト	引張とせん断の二乗累加則により検定し許容限界に至らないことを確認	終局強度に対する検定比 1.0

※1：「震災建築物の被災度区分判定基準及び復旧技術指針（(財) 日本建築防災協会)」を参考に許容限界を設定している。なお，被災度区分判定基準においては，柱の残留傾斜角が 1/30 を超えた場合に大破と判定しているが，保守的に最大層間変形角を用いて評価を行う。

※2：JSCA 性能メニュー（社団法人日本建築構造技術者協会，2002 年）を参考に定めたクライテリア
（北村他：「性能設計における耐震性能判断基準値に関する研究」，日本建築学会構造系論文集，第 604 号，PP183-191，2006.6）

表 5.4.1-3(2) ガレキ撤去用天井クレーンのクライテリア

部位	考え方	許容限界
ガレキ撤去用 天井クレーン クレーンガーダ	東西レール間の最大相対水平変位がクリーンの水平かかり代に比べ小さいことを確認	東西レール間相対変位 2300mm
	クレーンガーダの最大応答値が全塑性モーメントを超える不安定状態に至らないことを確認	全塑性モーメント Mp
ガレキ撤去用 天井クレーン トロリー	クレーンガーダの最大応答変位がトロリ脱落防止材の鉛直かかり代に比べ小さいことを確認	鉛直変位 259mm
	トロリの水平力による脱落防止材の発生応力が弾性限界強度を超えないことを確認	弾性限界せん断強度 149N/mm^2(SS400)

5.4.2　大型カバーの耐震性に対する検討

(1)　層間変形角の検討結果

大型カバー一般部の層間変形角を表 5.4.2-1 に示す。

ガレキ撤去時及び燃料取り出し時の最大層間変形角は，許容限界である 1/30 を超えないことを確認した。

表 5.4.2-1(1)　最大応答層間変形角（ガレキ撤去時）

方向	地震条件	検討箇所	最大層間変形角	許容限界	判定
南北方向	Ss900 (+NS+EW+UD)	G.L.+53.9(m) ～+28.3(m) h=25.6(m)	1/87	1/30	O.K.
東西方向	Ss900 (+NS+EW+UD)	G.L.+53.9(m) ～+28.3(m) h=25.6(m)	1/84	1/30	O.K.

表 5.4.2-1(2)　最大応答層間変形角（燃料取り出し時）

方向	地震条件	検討箇所	最大層間変形角	許容限界	判定
南北方向	Ss900 (+NS+EW+UD)	G.L.+53.9(m) ～+28.3(m) h=25.6(m)	1/73	1/30	O.K.
東西方向	Ss900 (+NS+EW+UD)	G.L.+53.9(m) ～+28.3(m) h=25.6(m)	1/78	1/30	O.K.

(2) 断面検討結果

1) 一般部

大型カバー一般部の断面検討結果を表 5.4.2-2 に示す。

柱，梁は一部で弾性限界を超えるものの，エネルギー一定則による評価で最大塑性率が 5 を超えないことを確認した。なお，弾性限に対する検定比は（）内に示す。また，ブレース，鋼板の最大塑性率は 5 を超えないことを確認した。

接続部ブレース及び下部ブレースは最大塑性率が 5 を超えることから，破断寿命評価を実施し，部材が破断しないことを確認した。

表 5.4.2-2(1) 断面検討結果（一般部，ガレキ撤去時）

部位	部材形状（mm）	地震条件		最大応力度 (N/mm^2)		許容応力度 (N/mm^2)		最大塑性率	判定
柱	H-400×400×13×21	Ss900	+NS+EW+UD	σ_c	343.0	f_c	320.4	1.08(1.08)	O.K.
梁	H-800×300×14×26	Ss900	+NS+EW+UD	σ_c	212.7	f_c	184.1	1.17(1.16)	O.K.
ブレース	φ-355.6×7.9	Ss900	+NS+EW+UD	σ_c	—	f_c	337.2	2.09	O.K.
鋼板	PL-12	Ss900	+NS+EW+UD	σ_x	18.8	f_t	258.0	0.97	O.K.
				σ_y	256.6				
				τ_{xy}	19.8				

表 5.4.2-2(2) 断面検討結果（一般部，燃料取り出し時）

部位	部材形状（mm）	地震条件		最大応力度 (N/mm^2)		許容応力度 (N/mm^2)		最大塑性率	判定
柱	H-400×400×13×21	Ss900	+NS+EW+UD	σ_c	423.5	f_c	345.1	1.26(1.23)	O.K.
梁	H-800×300×14×26	Ss900	+NS+EW+UD	σ_c	260.5	f_c	184.1	1.50(1.42)	O.K.
ブレース	φ-355.6×7.9	Ss900	+NS+EW+UD	σ_c	—	f_c	337.2	2.20	O.K.
鋼板	PL-12	Ss900	+NS+EW+UD	σ_x	17.3	f_t	258.0	0.91	O.K.
				σ_y	239.5				
				τ_{xy}	19.5				

表 5.4.2-2(3)　断面検討結果（一般部，ガレキ撤去時）

部位	部材形状（mm）	地震条件		最大塑性率 （破断寿命評価）	判定
接続部ブレース	十字 PL（PL-28×210 +2PL-28×91）	Ss900	+NS+EW+UD	19.40 (0.37)	O.K.
下部ブレース	φ-267.4×6.6	Ss900	+NS+EW+UD	15.84 (0.69)	O.K.

表 5.4.2-2(4)　断面検討結果（一般部，燃料取り出し時）

部位	部材形状（mm）	地震条件		最大塑性率 （破断寿命評価）	判定
接続部ブレース	十字 PL（PL-28×210 +2PL-28×91）	Ss900	+NS+EW+UD	10.64 (0.04)	O.K.
下部ブレース	φ-318.5×6.9	Ss900	+NS+EW+UD	16.57 (0.86)	O.K.

なお，大型カバーと燃料取扱設備支持部との地震時の干渉について，一般部と燃料取扱設備支持部のクリアランス 30cm に対して最大相対変位が 18.9cm（燃料取り出し時）であることから，地震時に衝突しないことを確認している。

2) 燃料取扱設備支持部

大型カバー燃料取扱設備支持部の断面検討結果を表 5.4.2-3 に示す。

ガレキ撤去時，燃料取り出し時共に，応力度比 1.0 を超えないことを確認した。

表 5.4.2-3(1)　断面検討結果（燃料取扱設備支持部，ガレキ撤去時）

部位	部材形状（mm） 〈使用材料〉	地震波 （位置）	入力 方向	作用 応力度 (N/mm^2)		許容 応力度 (N/mm^2)		応力 度比	判定
柱	H-400×400×13×21	Ss900	+NS+EW+UD	σ_c	51.5	f_c	326.1	0.16	O.K.
梁	H-350×350×12×19	Ss900	+NS+EW+UD	σ_c	102.2	f_c	344.0	0.30	O.K.
接続部 ブレース	十字 PL（PL-28×10 +2PL-28×91）	Ss900	+NS+EW+UD	σ_t	240.3	f_t	357.5	0.68	O.K.
下部 ブレース	φ-355.6×7.9	Ss900	+NS+EW+UD	σ_c	202.4	f_c	349.6	0.58	O.K.

表 5.4.2-3(2)　断面検討結果（燃料取扱設備支持部，燃料取り出し時）

部位	部材形状（mm） 〈使用材料〉	地震波 （位置）	入力 方向	作用 応力度 (N/mm^2)		許容 応力度 (N/mm^2)		応力 度比	判定
柱	H-400×400×13×21	Ss900	+NS+EW+UD	σ_c	89.9	f_c	326.1	0.28	O.K.
梁	H-350×350×12×19	Ss900	+NS+EW+UD	σ_t	135.5	f_t	357.5	0.38	O.K.
接続部 ブレース	十字 PL（PL-28×10 +2PL-28×91）	Ss900	+NS+EW+UD	σ_t	246.2	f_t	357.5	0.69	O.K.
下部 ブレース	φ-406.4×9.5	Ss900	+NS+EW+UD	σ_c	279.8	f_c	351.3	0.80	O.K.

5.4.3　屋根の耐震性に対する検討

大型カバー屋根部の断面検討結果を表 5.4.3-1 に示す。弦材，ブレースは最大塑性率 5 を超えないことを確認した。斜材は最大塑性率が 5 を超えることから，破断寿命評価を実施し，部材が破断しないことを確認した。

表 5.4.3-1(1)　断面検討結果（ガレキ撤去時）

部位	部材形状（mm）	地震条件		最大塑性率 （破断寿命評価）	判定
弦材	P-190.7φ×5.3t	Ss900	+NS+EW+UD	0.80	O.K.
斜材	P-89.1φ×3.2t	Ss900	+NS+EW+UD	15.72 (0.26)	O.K.
ブレース	1-M30	Ss900	+NS+EW+UD	4.12	O.K.

表 5.4.3-1(2)　断面検討結果（燃料取り出し時）

部位	部材形状（mm）	地震条件		最大塑性率 （破断寿命評価）	判定
弦材	P-261.3φ×7.0t	Ss900	+NS+EW+UD	0.94	O.K.
斜材	P-89.1φ×3.2t	Ss900	+NS+EW+UD	20.90 (0.39)	O.K.
ブレース	1-M27	Ss900	+NS+EW+UD	4.69	O.K.

5.4.4　建屋取り合い部の耐震性に対する検討

大型カバーのアンカーボルトの終局強度に対する検定比を表5.4.4-1に示す。ガレキ撤去時及び燃料取り出し時ともに，検定比1.0を超えないこと確認した。

表5.4.4-1(1)　アンカーボルトの検討結果（一般部，ガレキ撤去時）

部位 （アンカー本数）	地震条件		最大反力		終局強度		耐力比	判定
			引張力 (kN)	せん断力 (kN)	引張 (kN)	せん断 (kN)		
アンカー ボルト (16)	Ss900	+NS+EW+UD	1860	2329	3744	3088	0.83	O.K.

表5.4.4-1(2)　アンカーボルトの検討結果（一般部，燃料取り出し時）

部位 （アンカー本数）	地震条件		最大反力		終局強度		耐力比	判定
			引張力 (kN)	せん断力 (kN)	引張 (kN)	せん断 (kN)		
アンカー ボルト (16)	Ss900	+NS+EW+UD	1802	2350	3744	3088	0.84	O.K.

表5.4.4-1(3)　アンカーボルトの検討結果（燃料取扱設備支持部，ガレキ撤去時）

部位 （アンカー本数）	地震条件		最大反力		終局強度		耐力比	判定
			引張力 (kN)	せん断力 (kN)	引張 (kN)	せん断 (kN)		
アンカー ボルト (12)	Ss900	+NS+EW+UD	906	1606	3816	2316	0.70	O.K.

表5.4.4-1(4)　アンカーボルトの検討結果（燃料取扱設備支持部，燃料取り出し時）

部位 （アンカー本数）	地震条件		最大反力		終局強度		耐力比	判定
			引張力 (kN)	せん断力 (kN)	引張 (kN)	せん断 (kN)		
アンカー ボルト (24)	Ss900	+NS+EW+UD	3577	2964	5832	4632	0.80	O.K.

5.4.5　天井クレーンの耐震性に対する検討

地震応答解析より得られた東西レール間の最大相対水平変位は，ガレキ撤去時 39mm，燃料取り出し時 41mm で，クレーン端部の水平かかり代 2300mm に比べ小さく，ガレキ撤去用天井クレーンが落下する危険性はないことを確認した。

地震応答解析より得られたガレキ撤去用天井クレーンガーダの水平方向（NS 方向）および鉛直方向の最大応答曲げモーメントを表 5.4.5-1 に示す。

ガレキ撤去時，燃料取り出し時ともに，クレーンガーダの全塑性曲げモーメント Mp を超える不安定状態には至らないことを確認した。

表 5.4.5-1(1)　ガレキ撤去用天井クレーンガーダの断面検討結果（ガレキ撤去時）

部位		部材形状 (mm)	荷重 ケース	最大応答曲げ モーメント （鉛直） （×10^6Nm）		全塑性 モーメント （鉛直） （×10^6Nm）		応力 度比	判定
①	クレーン ガーダ	□-1500×2700 〈SM490〉	Ss900	M	149.2	Mp	168.0	0.89	O.K.

表 5.4.5-1(2)　ガレキ撤去用天井クレーンガーダの断面検討結果（燃料取出し時）

部位		部材形状 (mm)	荷重 ケース	最大応答曲げ モーメント （鉛直） （×10^6Nm）		全塑性 モーメント （鉛直） （×10^6Nm）		応力 度比	判定
①	クレーン ガーダ	□-1500×2700 〈SM490〉	Ss900	M	107.9	Mp	168.0	0.65	O.K.

地震応答解析より得られたクレーンガーダの最大鉛直変位は，ガレキ撤去時 174mm，燃料取り出し時 119mm となり，トロリの脱落防止材の鉛直かかり代 259mm に比べ小さいことを確認した。

ガレキ撤去用天井クレーンの最大応答水平加速度にトロリ重量（56ton)を乗じ求めた水平力に対し，トロリの脱落防止材に生じるせん断応力度を求めた結果を表 5.4.5-2 に示す。

ガレキ撤去時，燃料取り出し時ともに，トロリの脱落防止材に発生する応力は弾性限界強度を超えないことを確認した。

表 5.4.5-2(1)　脱落防止材の断面検討結果（ガレキ撤去時）

天井クレーン 最大水平応答加速度 (m/s^2)	トロリー脱落防止材 水平力 (kN)	トロリー脱落防止材 せん断応力度 (N/mm^2)	弾性限界応力度 (N/mm^2)	検定比	判定
45.7	2559	94.8	149	0.64	O.K.

表 5.4.5-2(2)　脱落防止材の断面検討結果（燃料取り出し時）

天井クレーン 最大水平応答加速度 (m/s^2)	トロリー脱落防止材 水平力 (kN)	トロリー脱落防止材 せん断応力度 (N/mm^2)	弾性限界応力度 (N/mm^2)	検定比	判定
42.0	2352	87.1	149	0.58	O.K.

5.4.6　原子炉建屋の耐震性に対する検討

(1)　検討方針

大型カバー設置に伴う原子炉建屋の耐震性の評価は，耐震安全上重要な設備への波及的影響防止の観点から，地震応答解析により得られる耐震壁のせん断ひずみが鉄筋コンクリート造耐震壁の終局限界に対応した評価基準値（4.0×10^{-3}）以下になることを確認する。最大接地圧が地盤の許容限界を超えないことを確認する。

また，大型カバーを設置する前後でのオペフロでの最大応答加速度を比較する。

(2)　原子炉建屋の地震応答解析

1)　解析に用いる入力地震動

検討に用いる地震動は，「5.4.1　検討方針」で示した Ss900 とする。

地震応答解析に用いる入力地震動の概念図は図 5.3.1-1 と同様である。

2)　地震応答解析モデル

地震応答解析に用いるモデルは，図 5.4.6-1 に示すように建屋を質点系とし地盤を等価なばねで評価した建屋－地盤連成系モデルとする。

地震応答解析モデルの諸元は，「5.3.5　原子炉建屋の耐震性に対する検討」と同一である。

大型カバー設置前の原子炉建屋の建屋の諸元は「1/2Ss450gal 検討」に示す。また，地盤定数は，「5.3.1　検討方針」で示した地盤定数と同一である。

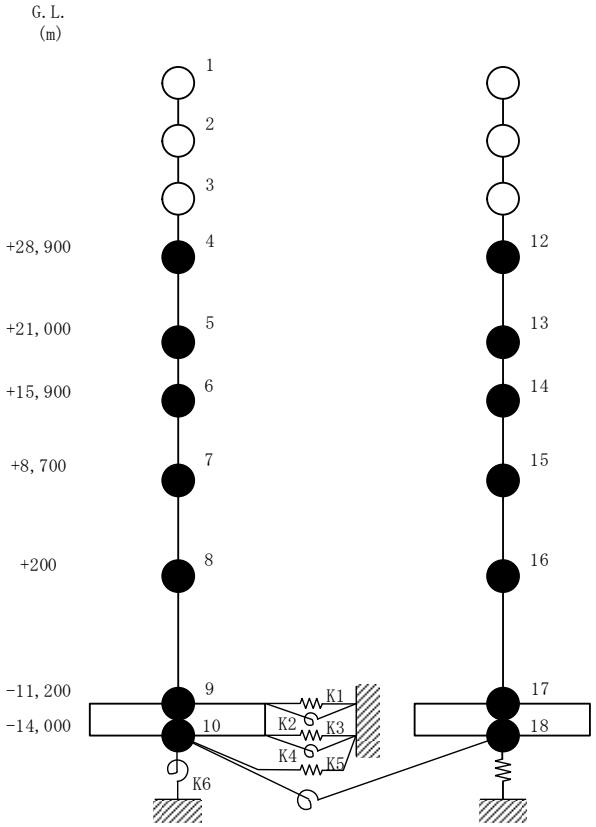

図 5.4.6-1　原子炉建屋の地震応答解析モデル

(3) 検討結果

大型カバー設置後のSs900に対する最大応答値を，「JEAG4601-1991」に基づき設定した耐震壁のせん断スケルトン曲線上にプロットした結果を図5.4.6-2に示す。

検討の結果，地震応答解析により得られる最大応答値は，評価基準値（4.0×10^{-3}）以下となり，クライテリアを満足することを確認した。

Ss900に対する最大接地圧を，表5.4.6-1に示す。最大接地圧は，地盤の極限支持力度（9800kN/m^2）を超えないことを確認した。

また，カバー設置前とカバー設置後のガレキ撤去時及び燃料取り出し時の最大応答加速度の比較を図5.4.6-3に示す。各階の最大応答加速度は大きな違いが見られず，大型カバーを設置した影響は小さい。

表5.4.6-1(1)　Ss900に対する最大接地圧（ガレキ撤去時）

	NS方向*1	EW方向*1
地震波	Ss900-1	Ss900-1
鉛直力N （×10^{5}kN）	10.4	10.4
転倒モーメントM （×10^{6}kN･m）	13.2	13.4
最大接地圧 （kN/m^2）	3480	3000

*1：誘発上下動考慮の結果を示す。

表5.4.6-1(2)　Ss900に対する最大接地圧（燃料取り出し時）

	NS方向*1	EW方向*1
地震波	Ss900-1	Ss900-1
鉛直力N （×10^{5}kN）	11.0	11.0
転倒モーメントM （×10^{6}kN･m）	13.2	14.8
最大接地圧 （kN/m^2）	2950	3680

*1：誘発上下動考慮の結果を示す。

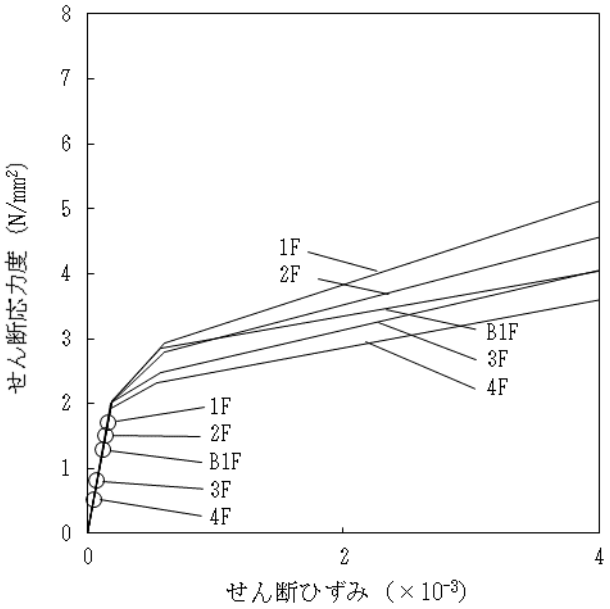

(a) NS 方向

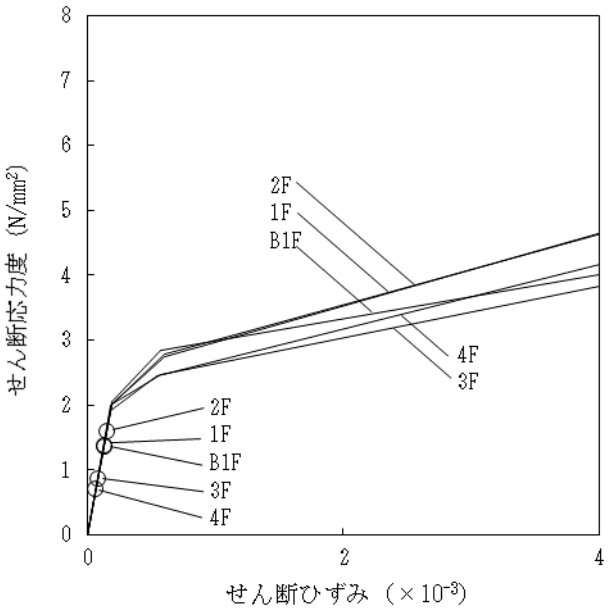

(b) EW 方向

図 5.4.6-2(1)　せん断スケルトン曲線上の最大応答値（大型カバー設置前）

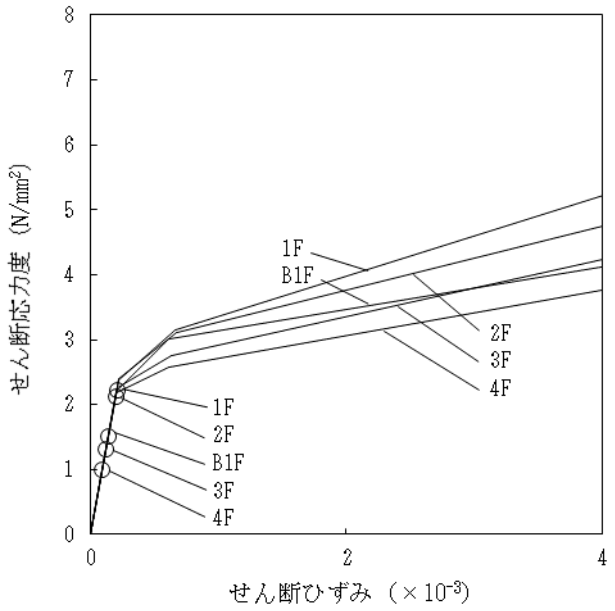

(a) NS 方向

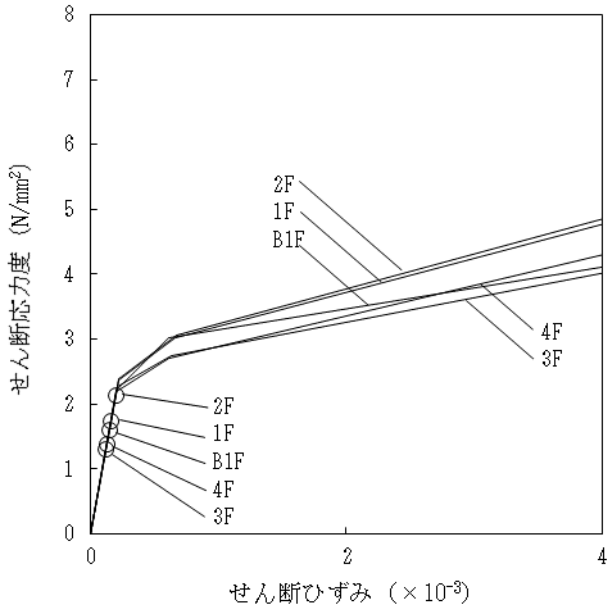

(b) EW 方向

図 5.4.6-2(2)　せん断スケルトン曲線上の最大応答値（ガレキ撤去時）

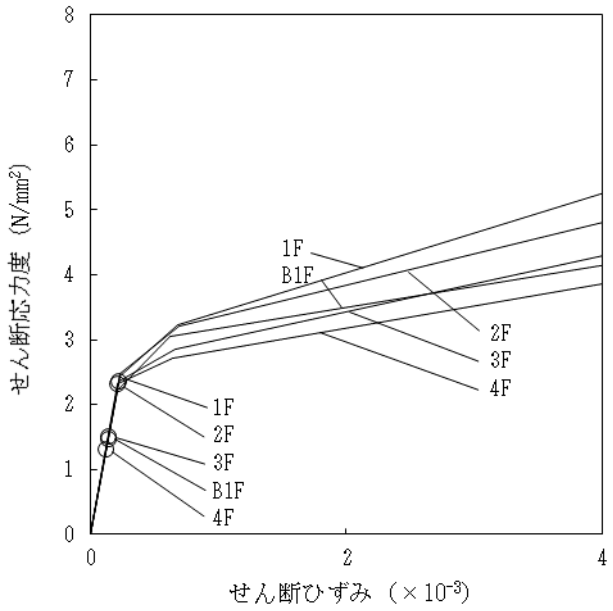

(a) NS 方向

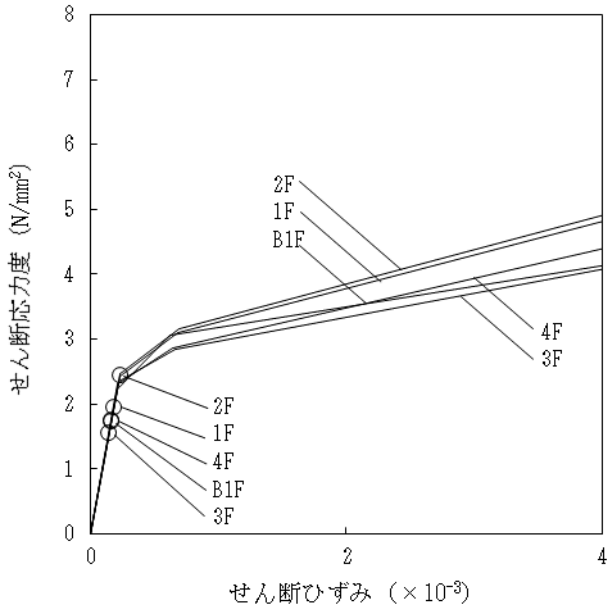

(b) EW 方向

図 5.4.6-2(3)　せん断スケルトン曲線上の最大応答値（燃料取出し時）

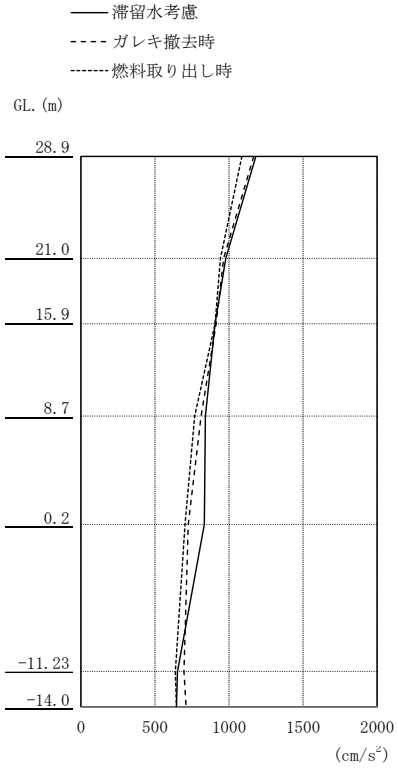

(cm/s²)

滞留水考慮	ガレキ撤去時	燃料取り出し時
1185	1167	1087
977	966	940
909	916	905
840	813	766
832	725	706
654	699	637
648	709	647

(a) NS 方向

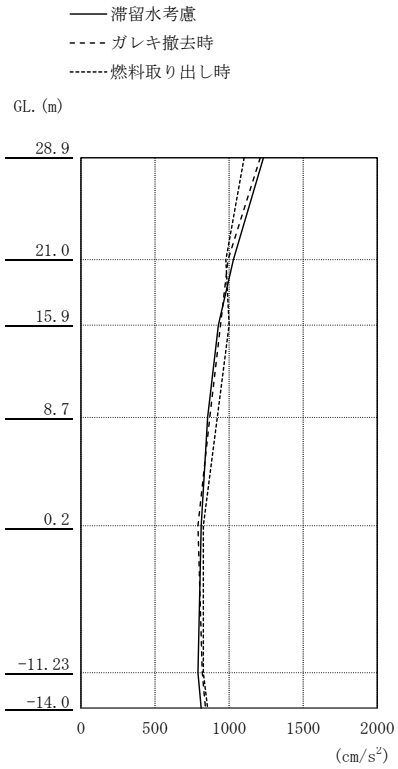

(cm/s²)

滞留水考慮	ガレキ撤去時	燃料取り出し時
1232	1212	1099
1031	990	981
926	944	999
856	867	922
812	789	828
793	816	827
813	844	856

(b) EW 方向

図 5.4.6-3　最大応答加速度の比較